

Katalog grodzisk Warmii i Mazur

pod redakcją
Rafała Soleckiego

Tom 4

Katalog grodzisk Warmii i Mazur

Tom 4

Instytut Archeologii
Uniwersytetu Kardynała Stefana Wyszyńskiego w Warszawie

**Katalog grodzisk Warmii i Mazur
pod redakcją Rafała Soleckiego**

Tom 4

Autorzy:
Przemysław Jaźdżyk, Anna Lejzerowicz, Kamil Rabiega,
Daniel Skoczylas, Rafał Solecki, Dawid F. Wieczorek

Warszawa 2024

Katalog grodzisk Warmii i Mazur. Część 2. Warmia Wschodnia i Natangia Tom 4

Publikacja recenzowana do druku przez
dr. Marka Jagodzińskiego
i dr. Łukasza Miechowicza

Redakcja: Rafał Solecki

Projekt książki: Bartłomiej Gruszka

Skład: Rafał Solecki

Korekty: Jagoda Biszkont

Projekt okładki: Rafał Solecki

© Copyright by Wydawnictwo Uniwersytetu Kardynała Stefana Wyszyńskiego,
Warszawa 2024

ISBN 978-83-8281-468-2 (wersja drukowana)

ISBN 978-83-8281-469-9 (wersja elektroniczna)

Publikacja naukowa finansowana w ramach programu

Ministra Nauki i Szkolnictwa Wyższego pod nazwą

„Narodowy Program Rozwoju Humanistyki” w latach 2018–2023,
nr projektu 11H 18 0117 86, kwota finansowania 1 346 853 zł



Wydawnictwo:

Wydawnictwo Naukowe

Uniwersytetu Kardynała Stefana Wyszyńskiego w Warszawie

ul. Dewajtis 5, domek nr 2

01-815 Warszawa

+48 22 561 89 23 (wew. 323)

wydawnictwo@uksw.edu.pl

SPIS TREŚCI

GMINA LELKOWO

Głębock, st. 5	7
Jarzeń, st. 1	21
Wilknity, st. 6	41

GMINA ORNETA

Ornetka, st. 7	67
Opin, st. 16	101

GMINA PŁOSKINIA

Giedyle, st. 1	79
Dąbrowa, st. 8	125
Dąbrowa, st. 9	145

GMINA PIENIĘŻNO

Bornity, st. 12	165
Wojnity, st. 1	185
Pieniężno, st. 5	207
Kajnity, st. 1	233
Lubianka, st. 6	249
Wopy, st. 5	305

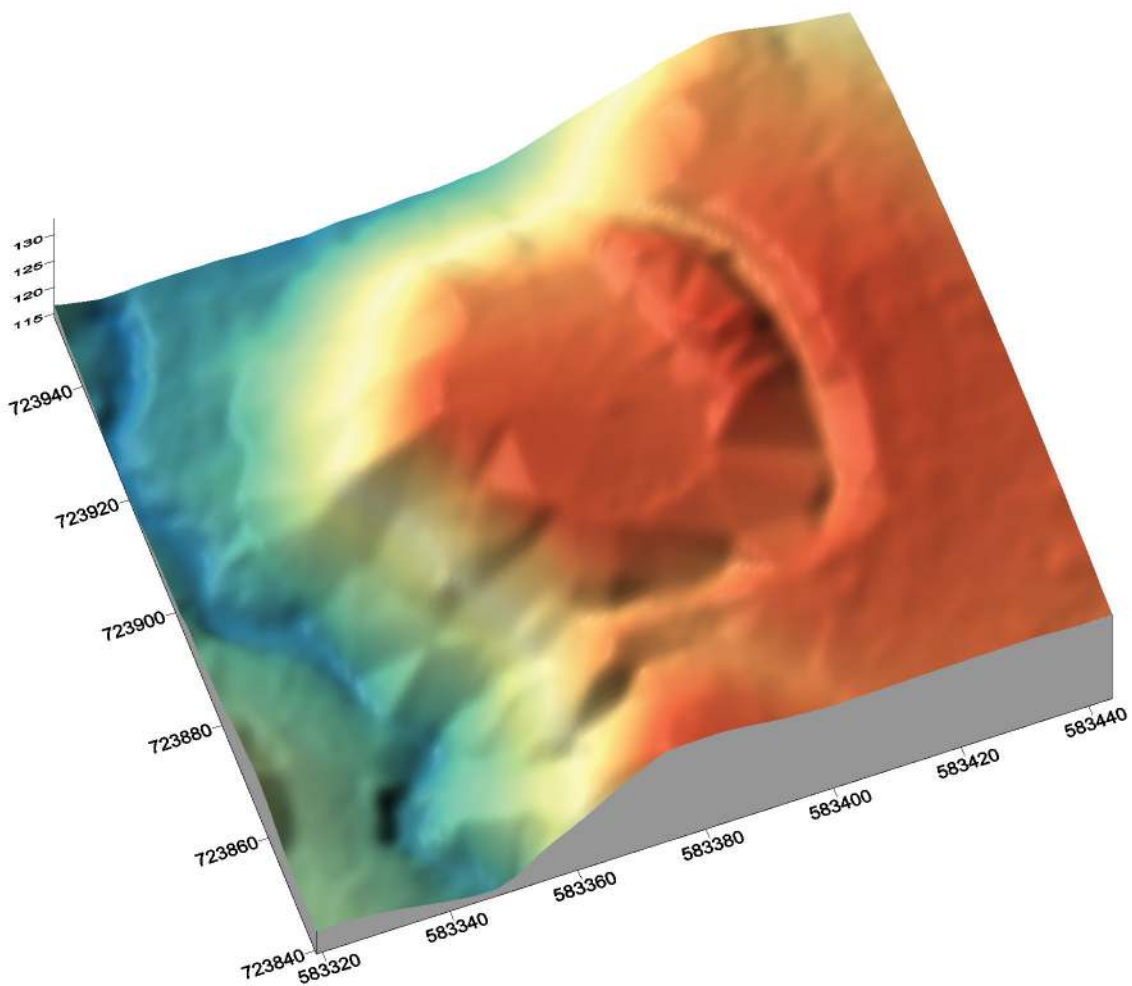
WERYFIKACJE NEGATYWNE

Wilknity, st. 1, gm. Lelkowo	327
Bieniewo, st. 7, gm. Lubomino	333
Rogiedle, st. 1, gm. Lubomino	339
Wilczkowo, st. 1, gm. Lubomino	343
Chwałęcin, st. 2, gm. Orneta	347
Osetnik, st. 2, gm. Orneta	351
Tawty, st. 1, gm. Orneta	367
Łoźnik, st. 6, gm. Pieniężno	371
Różaniec, st. 2, gm. Pieniężno	377

Wykaz cytowanej literatury	381
----------------------------------	-----

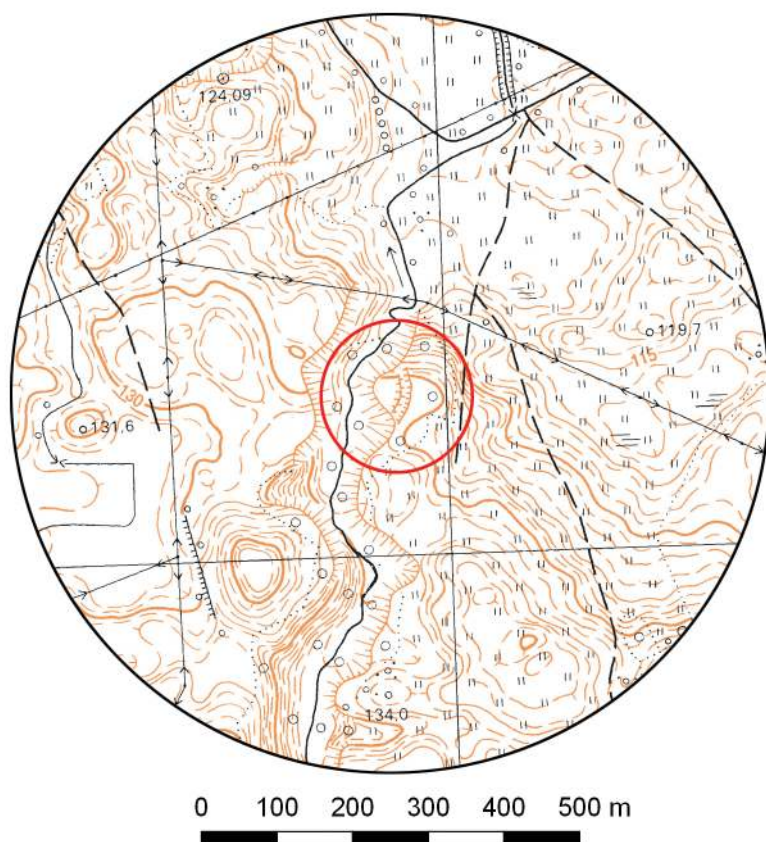
Głębock, st. 5

Gmina Lelkowo
Powiat braniewski
AZP 11-59/9
Współrzędne geograficzne:
N 54° 22' 20"
E 20° 17' 02"





Ryc. 1. Grodzisko w Głębocku, st. 5
na mapie w skali 1:25 000
(na podstawie materiałów GUGiK,
oprac. R. Solecki)



Ryc. 2. Grodzisko w Głębocku, st. 5
na mapie w skali 1:10 000
(na podstawie materiałów GUGiK,
oprac. R. Solecki)

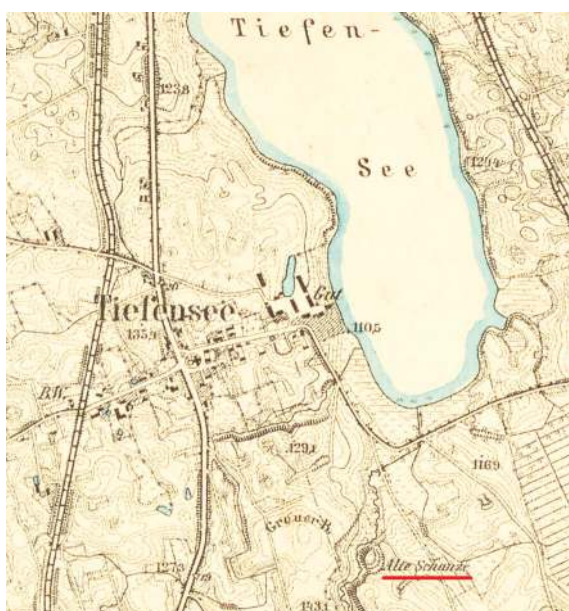
POŁOŻENIE GRODZISKA I JEGO FORMA

RAFAŁ SOLECKI

Grodzisko w Głębocku (niem. *Tiefensee*), st. 5 nie było do tej pory zewidencjonowane w ramach projektu Archeologiczne Zdjęcie Polski. Zostało rozpoznane po raz pierwszy podczas weryfikacji realizowanych w ramach projektu NPRH *Katalog grodzisk Warmii i Mazur. Część II. Warmia Wschodnia i Natangia*. Było jednak znane przed I wojną światową, gdyż zaznaczone jest na mapie z serii *Meßtischblatt Topographische Karte 1:25 000* z 1913 roku i opisane jako *Alte Shanze* (ryc. 3)¹. Dla grodziska, w okresie międzywojennym, wykonano także kartę w ramach tworzenia archiwum *Burgwall-kartei*. W ramach tej inwentaryzacji sporządzony został pierwszy plan umocnień (ryc. 4). Zbliżoną informację o stanowisku, jak na wspomnianej karcie przekazuje Hans Crome, opisując grodzisko jako *Alte Shanze*, wskazując, że położone jest w odległości około 500 m na południowy wschód od wsi i uzupełniając jego chronologię jako staropruską². Warto odnotować, że w Państwowym Rejestrze Nazw Geograficznych dostępnych na serwisie mapy.geoportal.gov.pl znajduje się oznaczenie obszaru wokół grodziska nazwą *Stary Szaniec*.

¹ *Topographische Karte 1:25 000 (Meßtischblatt)*, karta Lichtenfeld (1687) z 1913 r.

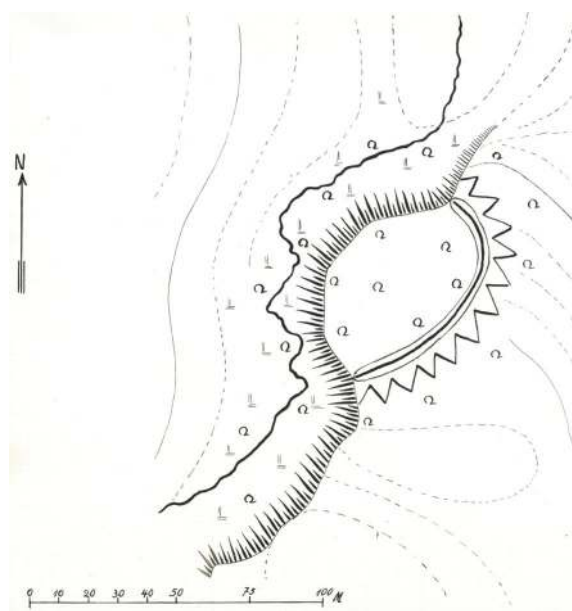
² Crome 1937: 106.



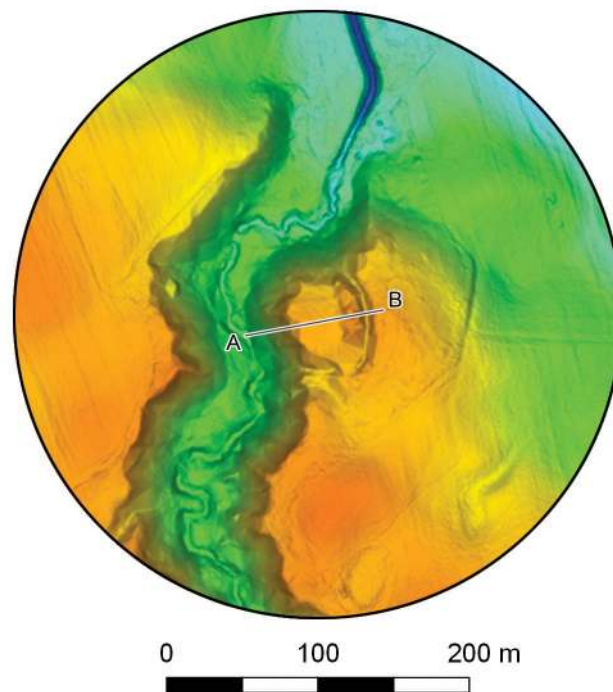
Ryc. 4. Grodzisko w Głębocku, st. 5 na mapie *Topographische Karte (Meßtischblatt) 1:25 000, karta Lichtenfeld (1687)* z 1913 r.
(źródło: www.maps.mapywig.org)

Grodzisko położone jest w odległości około 850 m na południowy wschód od centrum wsi. Znajduje się bezpośrednio przy dolinie rzeki Szarki, która na tym odcinku płynie w kierunku północnym i w odległości około 560 m uchodzi do Jeziora Głębokiego. Grodzisko zajmuje wysoki, ale niezbyt silnie wcinający się w dolinę rzeki cypel. Różnica wysokości pomiędzy dnem doliny a powierzchnią majdanu wynosi około 17 m, a najwyższy punkt w granicach grodziska osiąga poziom około 133,2 m n.p.m. Powierzchnia majdanu ma ovalny kształt o średnicach w przedziale 35–47 m i powierzchnię około 14 arów. (ryc. 5–6). Wschodnią granicę majdanu wyznacza wał, którego szerokość w najszerszym miejscu dochodzi obecnie do 14 m, a wysokość do 1,9 m. Po zewnętrznej stronie wału czytelna jest fosa szerokości do 10 m i głębokości do 1,6 m (ryc. 7). Dno fosy nawet w okresie letnim jest grząskie, a w wyniku opadów wypełnia się wodą, która potrafi utrzymywać się przez długi czas. Południowa część wału jest częściowo zniszczona, prawdopodobnie w wyniku prac związanych z organizacją młodnika.

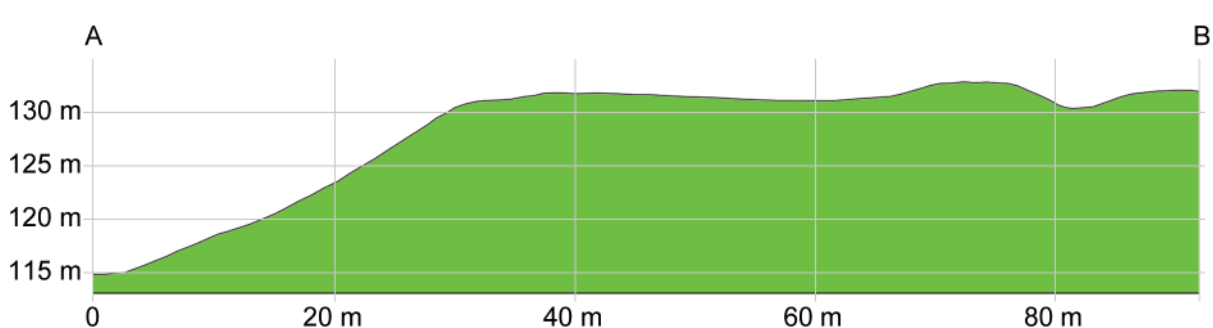
Obecnie całe bezpośrednie otoczenie grodziska zajmuje las liściasty z dominującymi gatunkami grabu i olchy, a powierzchnię majdanu zajmuje młodnik, co uniemożliwiło przeprowadzenie tam jakichkolwiek badań wykopaliskowych. Jedyny obszar, który mógł być poddany rozpoznaniu metodami archeologicznymi to fosa i nieduże odcinki wału.



Ryc. 4. Grodzisko w Głębocku, st. 5 na karcie ze zbioru *Burgwall-kartei* (źródło: *Staatliche Museen zu Berlin, Museum für Vor- und Frühgeschichte*, IXc 90, Bl. 113)



Ryc. 5. Grodzisko w Głębocku, st. 5 na zobrazowaniu ALS (na podstawie materiałów GUGiK, oprac. R. Solecki)



Ryc. 6. Przekrój grodziska w Głębocku, st. 5 uzyskany z danych ALS (na podstawie materiałów GUGiK, oprac. R. Solecki)



Ryc. 7. Głębock, st. 5. Widok w kierunku południowym na fosę i wał grodziska (fot. R. Solecki)

ŚRODOWISKO

FIZYCZNOGEOGRAFICZNE

ANNA LEJZEROWICZ

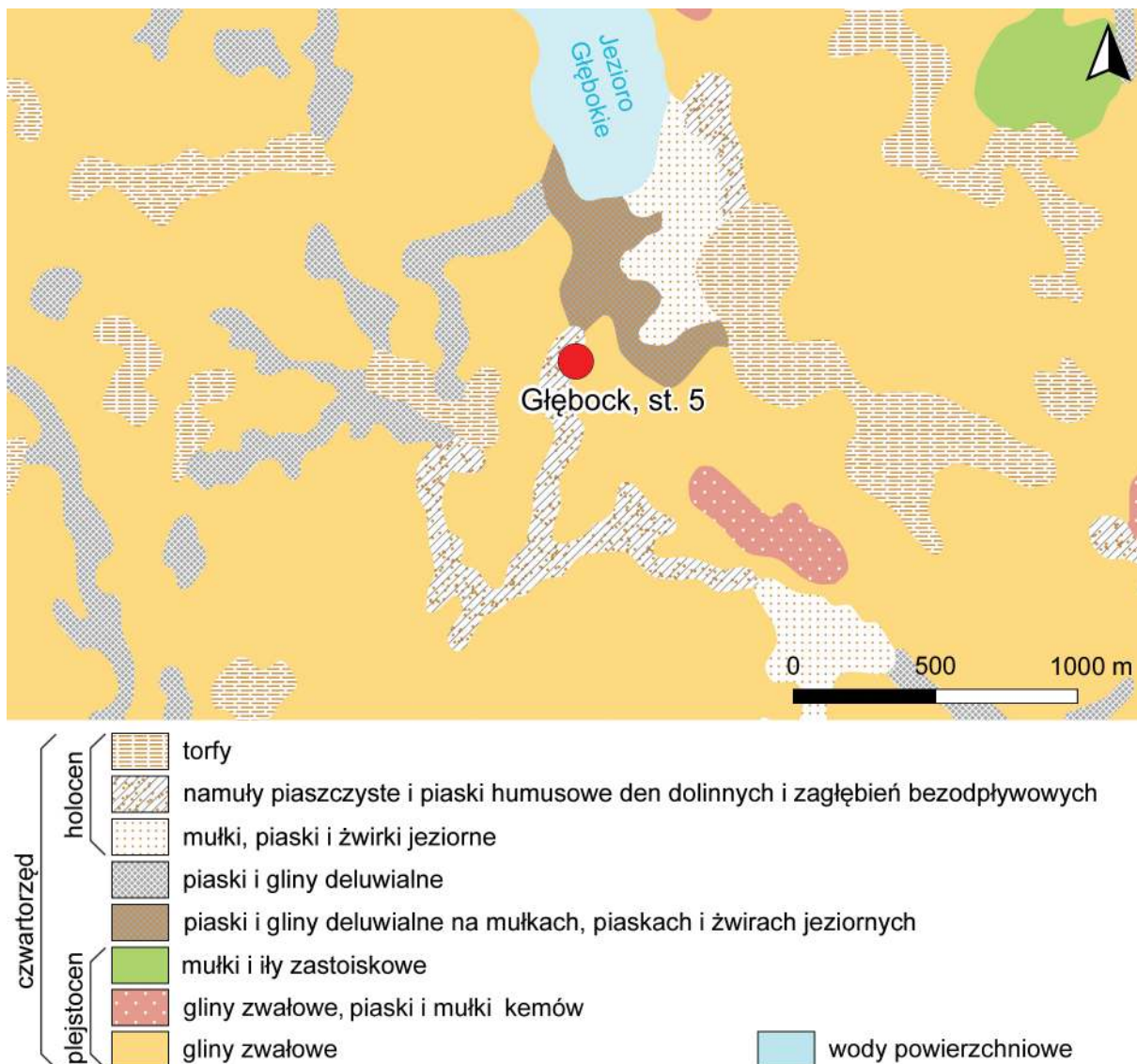
Według podziału fizycznogeograficznego Polski Jerzego Kondrackiego grodzisko w Głęboczu, st. 5 znajduje się w mezoregionie Wznieśnia Górowskie³.

Teren badań znajduje się na synklinie perybałtyckiej platformy wschodnioeuropejskiej, a warstwy związane z paleogenem znajdują się tu bezpośrednio poniżej osadów czwartorzędowych. W paleocenie śródziemnym omawiany obszar znajdował się w granicach płytowego zbiornika morskiego, którego pozostałością są osady piasków glaukonitowych i margli. W eocenie i oligocenie, miała miejsce akumulacja morska, w wyni-

ku której osadziły się mułki i ily. Neogen był okresem lądowym i związane są z nim sedymenty mioceńskich piasków, mułków i ilów. W trakcie zlodowacenia Narwi, Nidy, Odry i Wisły obszar ten był przykryty lądolodem. Osady czwartorzędowe mają tu miąższość ponad 200 m, w tym grubość osadów najmłodszego zlodowacenia Wisły (stadiałów: śródziemnego i górnego) wynosi 45–105 m. Tworzą je głównie gliny zwałowe rozdzielone osadami wodnolodowcowymi i zastoiskowymi. Podczas deglacacji powstawały formy szczelinowe – kemy – a gdy w holocene zaczęły się roztapiać ostatnie bryły martwego lodu, to w obrębie równin sandrowych i wysoczyzny morenowej powstały zagłębienia, w których osadzały się namuły piaszczyste i piaski humusowe⁴.

³ Kondracki 2002: 100–102.

⁴ Honczaruk i Kacprzak 2014a: 9–28.



Ryc. 8. Wycinek arkusza Szczegółowej Mapy Geologicznej Polski z zaznaczonym grodziskiem w Głęboczu, st. 5 (źródło: www.cbdgmapa.pgi.gov.pl/arcgis/services/kartografia/smgp50k/MapServer/WMServer, oprac. R. Solecki)

Według *Szczegółowej Mapy Geologicznej Polski* w skali 1:50 000 (arkusz Głębock) stanowisko znajduje się na obszarze występowania glin zwałowych (ryc. 8)⁵. Według *Mapy Geologicznej Polski* w skali 1:500 000 znajdują się tu gliny zwałowe, ich zwietrzeliny oraz piaski i żwiry lodowcowe. Natomiast według *Mapy Litogenetycznej Polski* w skali 1:50 000 jest to obszar występowania glin zwałowych pochodzenia lodowcowego.

Grodzisko w Głębocku zlokalizowane jest na płaskim, rozległym szczycie wzniesienia o wysokości dochodzącej do 17 m ponad dolinę rzeki Szarki, która opływa stanowisko od zachodu. Wyniesienie to wchodzi delikatnie w koryto doliny. Od wschodu dojście na stanowisko jest stosunkowo płaskie.

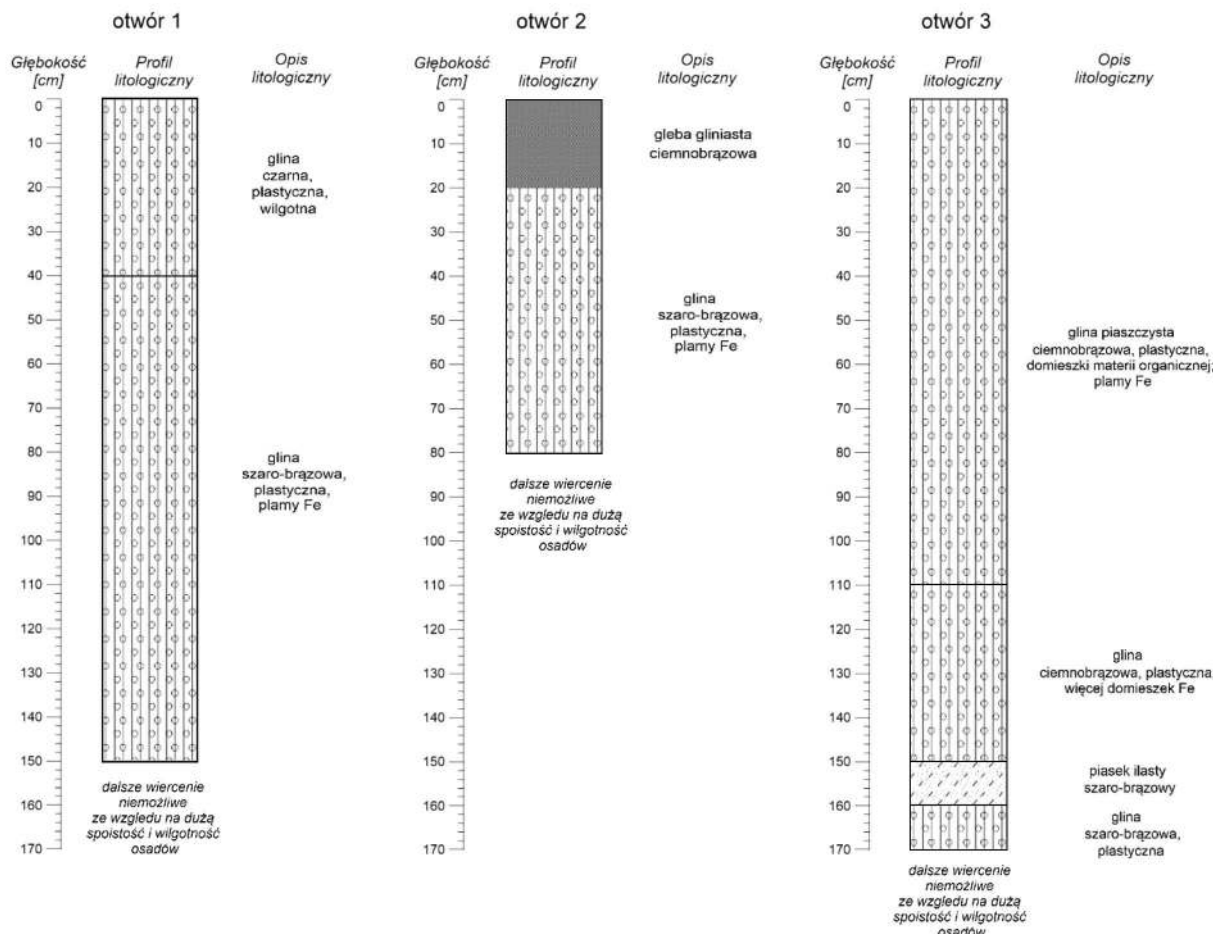
Ze względu na fakt, że cypel, na którym znajduje się stanowisko, porośnięty jest gęstą roślinnością, zostały wykonane jedynie trzy wiercenia w celu rozpoznania jego budowy geologicznej. Nie udało się dostać na szczyt, który był zarazem obszarem majdanu. W odwiertach zaobserwowano występowanie przede wszystkim glin polodowcowych

o szaro-brązowym zabarwieniu z wyraźnymi plamami związków żelaza. Osady te charakteryzowały się dużą spójnością i plastycznością, przez co wykonanie odwiertów sprawiało duży kłopot. Dlatego też maksymalna głębokość, na jaką udało się jeździć to 1,7 m. Szczegółowa litologia jest widoczna oraz została opisana na poszczególnych profilach wiercen (ryc. 9). Na podstawie wykonanych odwiertów stworzony został schematyczny przekrój geologiczny przez stanowisko (ryc. 10).

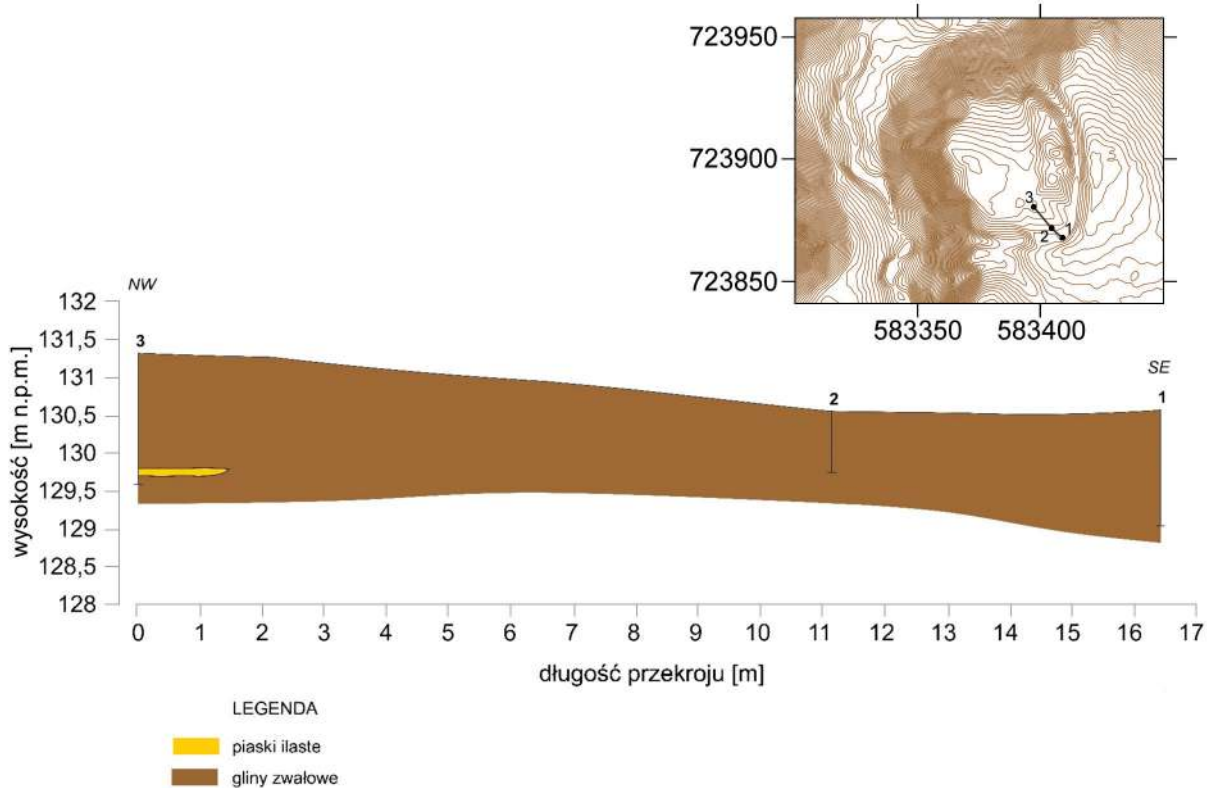
Wykonane wiercenia w pełni potwierdzają obecność glin zwałowych pochodzenia lodowcowego na badanym stanowisku. Osady te twierdzą związki żelaza, co nadaje im pstre, rdzawe zabarwienie. Osady te budują obszar wysoczyzny morenowej falistej, która według *Szczegółowej Mapy Geologicznej Polski* na tym obszarze zbudowana jest z piasków i żwirów wodnomorenowych (powstałych w wyniku krótkotrwałego przepływu wód roztopowych blisko czoła lądolodu), jak również z glin wodnomorenowych, które to powstały na skutek spływu osadów błotnych⁶.

⁵ Honczaruk i Kacprzak 2014a.

⁶ Honczaruk i Kacprzak 2014a: 10–23.



Ryc. 9. Profile litologiczne odwiertów wykonanych na obszarze grodziska w Głębocku, st. 5 (oprac. A. Lejzerowicz)



Ryc. 10. Schematyczny przekrój geologiczny przez grodzisko w Głębocku, st. 5 (oprac. A. Lejzerowicz)

BADANIA ARCHEOLOGICZNE RAFAŁ SOLECKI I KAMIL RABIEGA

Przebieg badań terenowych

Pierwsza weryfikacja terenowa stanowiska odbyła się w 2021 r. W jej trakcie okazało się, że na majdanie i wale grodziska został zasadzony młody las przez co na obszarze tym nie można było przeprowadzić badań. Wykonano jedynie odwierty w celu określenia budowy geologicznej podłoża i określenia miąższości warstw kulturowych. Badania wykopaliskowe przeprowadzono w 2023 r. Ze względu na utrudniony dostęp do majdanu i wału, możliwe było wytyczenie tylko małego sondażu W1 o wymiarach $1 \times 1,5$ m, który przecinał wał na jego południowym odcinku. Drugi wykop W2 o wymiarach 1×5 m wytyczono w poprzek fosy w jej północnym odcinku. Położenie wykopów prezentuje ryc. 12.

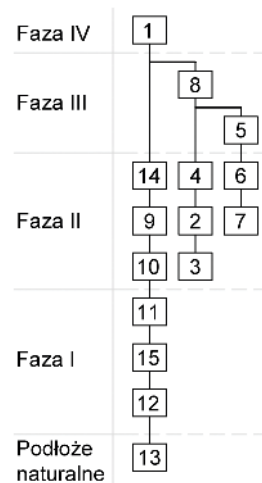
Stratygrafia stanowiska

W trakcie omawianych badań archeologicznych wydzielono łącznie 15 jednostek stratygraficznych (tabela 1). Możliwe było ich rozdzielenie pomiędzy warstwy naturalne i cztery fazy „użytkowe”. W W2, w obrębie fosy, nie udało się odsłonić stropu calca ze wzglę-

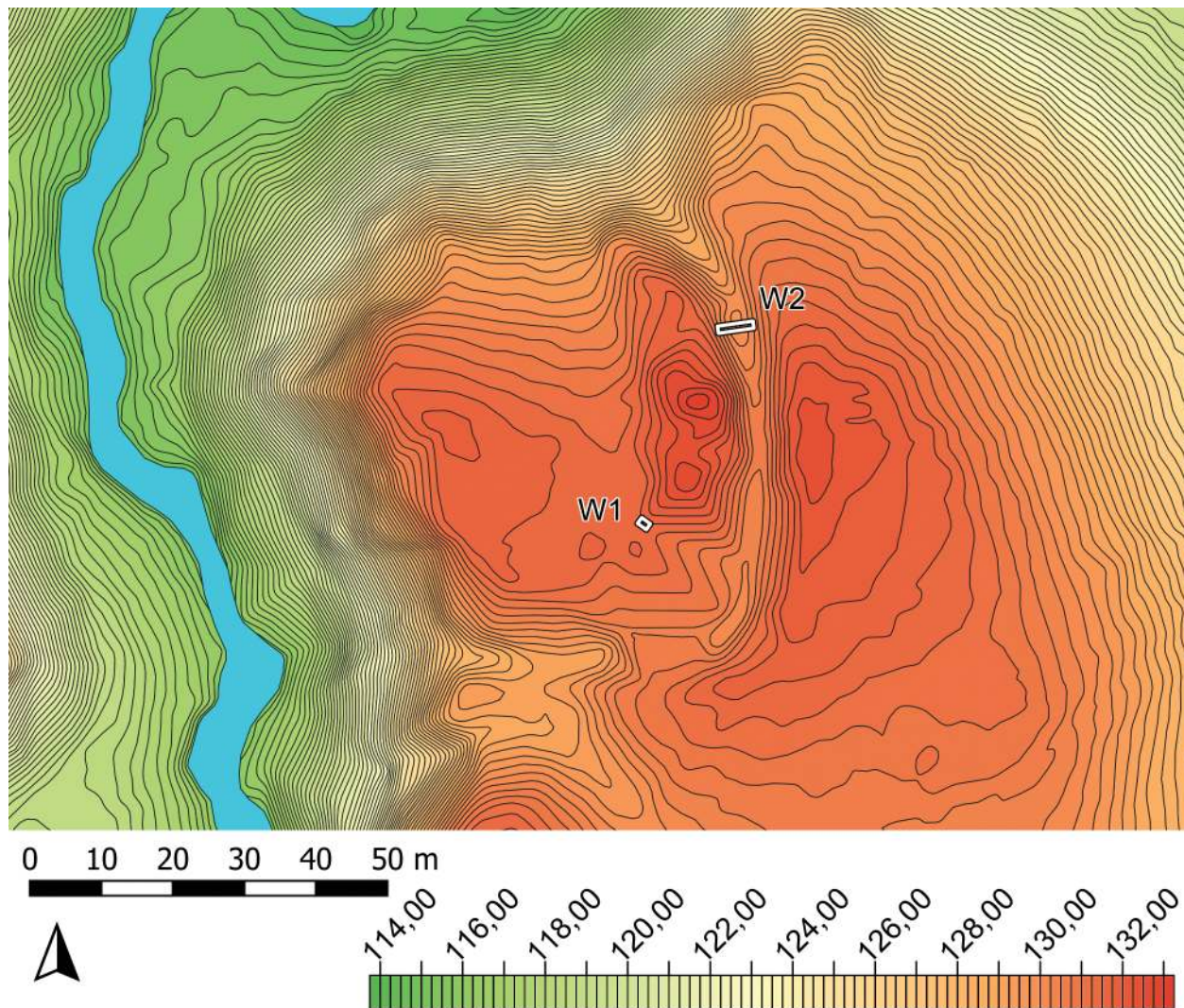
du na płytka występującą wodę gruntową. Z tego względu odsłonięto warstwy kulturowe tylko do tego poziomu. Diagram Harrisa dla wydzielonych jednostek stratygraficznych przedstawia ryc. 11, a zadokumentowane powierzchnie ryc. 13–14.

Warstwy naturalne

W trakcie badań, jako jednostkę naturalną zidentyfikowano plastyczną, lekko piaszczystą gline 13. Najwyższy zanotowany punkt



Ryc. 11. Głębock, st. 5. Diagram relacji stratygraficznych (oprac. R. Solecki)



Ryc. 12. Głębock, st. 5. Plan grodziska z naniesionymi wykopami archeologicznymi (oprac. R. Solecki)

naturalnego podłoża geologicznego znajdował się poniżej nasypu wału i osiągał poziom 103,05 m n.p.m.

Faza I

Faza ta wyznacza okres związany z funkcjonowaniem najstarszego osadnictwa na badanym stanowisku. Jednostki związane z tą fazą odsłonięto tylko w W1, w linii wału widocznego na powierzchni.

Najstarszą jednostką jest lekko piaszczysta glina z domieszką materii organicznej 12. Na jej stropie zarejestrowano liczne, ułożone luźno kamienie 15 o średnicy do 15 cm. Ponad tymi kamieniami znajduje się nasyp lub niwelacja, którą tworzy lekko piaszczysta glina z cętkami żelazistych wytrąceń i z pojedynczymi skupiskami węgla drzewnego 11. Miąższość tej warstwy dochodzi do 65 cm, a jej najwyższy punkt osiąga poziom 130,85 m n.p.m. Z warstwy 11 pobrano próbę węgla do analizy radiowęglowej. Wynik tej analizy dał po ka-

libracji przedział lat 1746–1540 p.n.e. z prawdopodobieństwem 95,4%⁷.

Faza II

Faza ta wyznacza okres związany z budową wału oraz fosy.

Z budową wału należy wiązać dwie jednostki stratygraficzne: piaszczystą glinę z plamami żelazistych wytrąceń 10 i gliniasty piasek z domieszką materii organicznej 9. Zadokumentowana w W1 miąższość tych warstw wynosi około 60 cm, a najwyższy punkt osiąga poziom 131,35 m n.p.m. Na powierzchni nasypu wydzielono luźno ułożone kamienie 14 o średnicy do 10 cm, które pierwotnie mogły pełnić funkcję zabezpieczenia jego powierzchni przed czynnikami erozyjnymi.

W obrębie fosy wydzielono kilka jednostek, które powiązano z jej budową. Na stoku od strony wału znajduje się piaszczysta glina,

⁷ Analiza przeprowadzona w Poznańskim Laboratorium Radiowęglowym, próba nr Poz-162590.

Tabela 1. Głębock, st. 5. Katalog warstw i obiektów oraz ich zależności stratygraficznych
(oprac. R. Solecki i K. Turzyński)

Numer jednostki	Numer obiektu	Numer wykopu	Położenie w obrębie stanowiska	Współrzędne geodezyczne (PUWG 1992)	Opis jednostki stratygraficznej	Barwa (Munsell)	Pozycja stratygraficzna	
							Zdaje się pod	Znajduje się nad
1	-	1, 2	Obszar całego stanowiska	X=723884,2-723913,6; Y=583397,9-583414,4	Ciemny, mocno organiczny, gliniasty piasek silnie przeróśnięty korzeniami; miąższość do 25 cm; humus leśny	10YR 3/2	-	2, 4, 5, 8, 9, 14
2	-	2	Fosa	X=723912,3-723913,6; Y=583412,9-583414,4	Piaszczysta glina silnie poprzerastana korzeniami, z domieszką materii organicznej; miąższość do 45 cm; wyłożenie zewnętrzne stoku fosy	10YR 5/4	1, 4	3
3	-	2	Fosa	X=723912,3-723913,6; Y=583412,9-583414,4	Piaszczysta glina z domieszką materii organicznej i pojedynczymi kamieniami; miąższość co najmniej 15 cm; jednostka związana z budową fosy	10YR 5/3	2, 4	-
4	-	2	Fosa	X=723912,2-723913,6; Y=583412,6-583414,4	Piaszczysta glina z dużą domieszką materii organicznej; miąższość do 20 cm; poziom użytkowy okresu funkcjonowania fosy	10Y 4/4	1, 8	2, 3
5	-	2	Fosa	X=723911,8-723913,1; Y=583409,1-583410,9	Lekko gliniasty piasek z niewielką domieszką materii organicznej; miąższość do 40 cm; warstwa erozyjna na wewnętrznym stoku fosy	10YR 5/4	1, 8	6
6	-	2	Fosa	X=723911,8-723913,1; Y=583409,1-583410,9	Piaszczysta glina z dużą domieszką materii organicznej; miąższość do 20 cm; poziom użytkowy okresu funkcjonowania fosy	10YR 4/4	5, 8	7
7	-	2	Fosa	X=723911,8-723913,1; Y=583409,1-583410,9	Piaszczysta glina, z domieszką materii organicznej; miąższość co najmniej 35 cm; wyłożenie zewnętrzne stoku fosy	10YR 5/4	6	-
8	-	2	Fosa	X=723911,9-723913,4; Y=583409,8-583413,6	Gliniasty piasek z bardzo dużą domieszką materii organicznej; miąższość co najmniej 30 cm; najmłodsze wypełnisko fosy	10YR 2/2	1	4, 6
9	-	1	Wał	X=723884,2-723886,1; Y=583397,9-583399,8	Gliniasty piasek z domieszką materii organicznej; miąższość do 45 cm; jedna z warstw nasypowych wału	10YR 5/4	1, 14	10
10	-	1	Wał	X=723884,2-723886,1; Y=583397,9-583399,8	Piaszczysta glina z plamami żelazistych wytrąceń; miąższość do 25 cm; jedna z warstw nasypowych wału	10YR 5/6	9	11
11	-	1	Wał	X=723884,2-723886,1; Y=583397,9-583399,8	Lekko piaszczysta glina z cętkami żelazistych wytrąceń i z pojedynczymi węglami drzewnymi; miąższość do 60 cm; jedna z warstw nasypowych wału	10YR 6/3	10	12
12	-	1	Wał	X=723884,2-723886,1; Y=583397,9-583399,8	Lekko piaszczysta glina z domieszką materii organicznej; miąższość do 30 cm; poziom poprzedzający budowę wału	10YR 6/4	11, 15	13
13	-	1	Wał	X=723884,2-723886,1; Y=583397,9-583399,8	Plastyczna glina, lekko piaszczysta; podłoże naturalne	10YR 5/2	12	-
14	-	1	Wał	X=723884,2-723886,1; Y=583397,9-583399,8	Luźno ułożone kamienie o średnicy do 10 cm; wyłożenie powierzchni wału	-	1	9
15	-	1	Wał	X=723884,2-723886,1; Y=583397,9-583399,8	Luźno ułożone kamienie o średnicy do 15 cm; wyłożenie podstawy wału	-	11	12

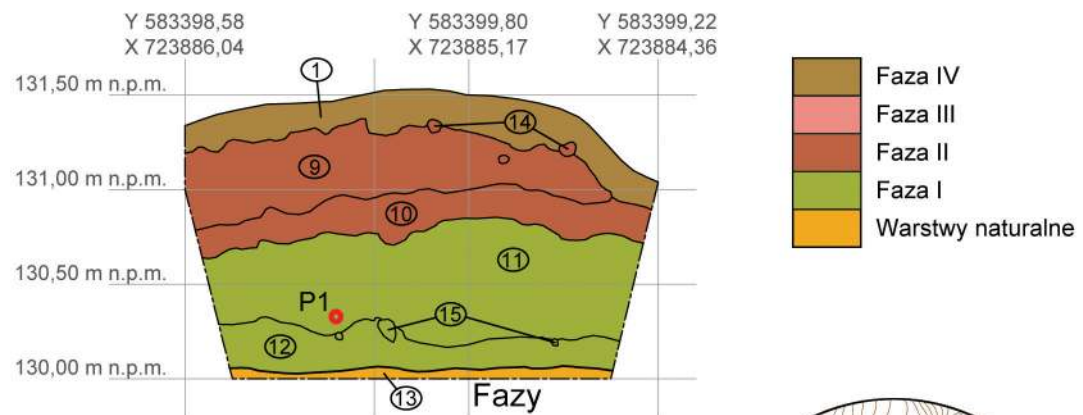
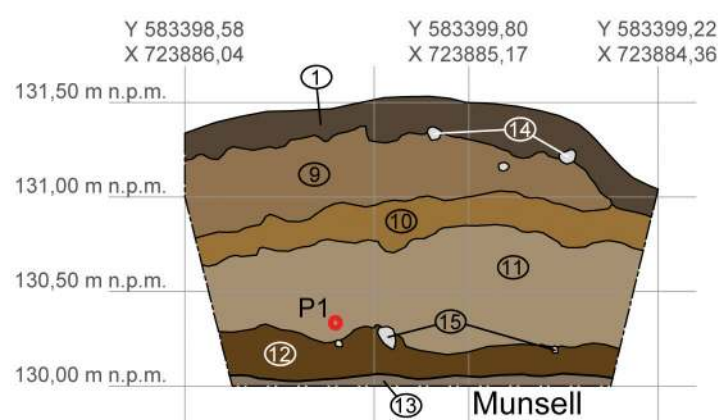
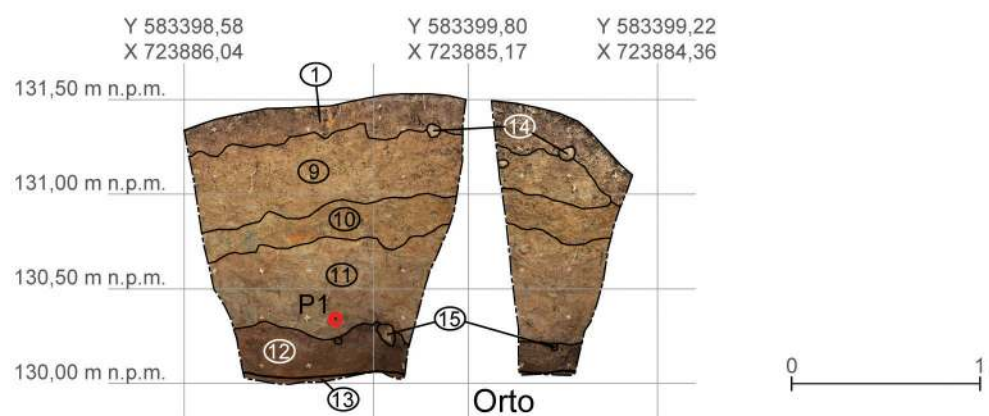
z domieszką materii organicznej 7, a na przeciwnieległym stoku piaszczysta glina z domieszką materii organicznej i pojedynczymi kamieniami 7 oraz zalegająca ponad nią piaszczysta glina silnie poprzerastana korzeniami i z domieszką materii organicznej 2. Warstwy te formowały koryto fosy. Poziomem użytkowym z okresu jej funkcjonowania mogą być jednostki 4 i 6 – piaszczysta glina z dużą domieszką materii organicznej. Tryb przypuszczający został zastosowany, gdyż w fosie nadal kumulowana jest woda i jej poziom jest bardzo wysoki. Z tego względu nie udało się odsłonić dna fosy, a przez to ustalić, czy przypadkiem nie ma tam także innych nawarstwień. W odwiercie, który wykonano w linii fosy, udało się osiągnąć głębokość 80 cm, nie

odsłaniając jednak stropu podłożu naturalnego.

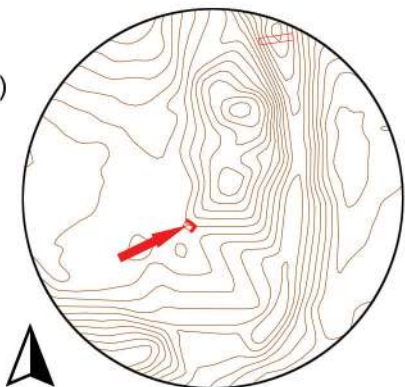
Faza III

Faza ta wyznacza okres po opuszczeniu groduiska, kiedy jego obszar ulegał procesom erozji. Ich skutek widać głównie w obrębie fosy, gdzie spływał wymywany z wału materiał. Naturalne procesy niszczące były najpewniej przyspieszane także przez działalność zwierząt. Nawet obecnie w nasypie wału widoczne są liczne, duże nory zwierzęce.

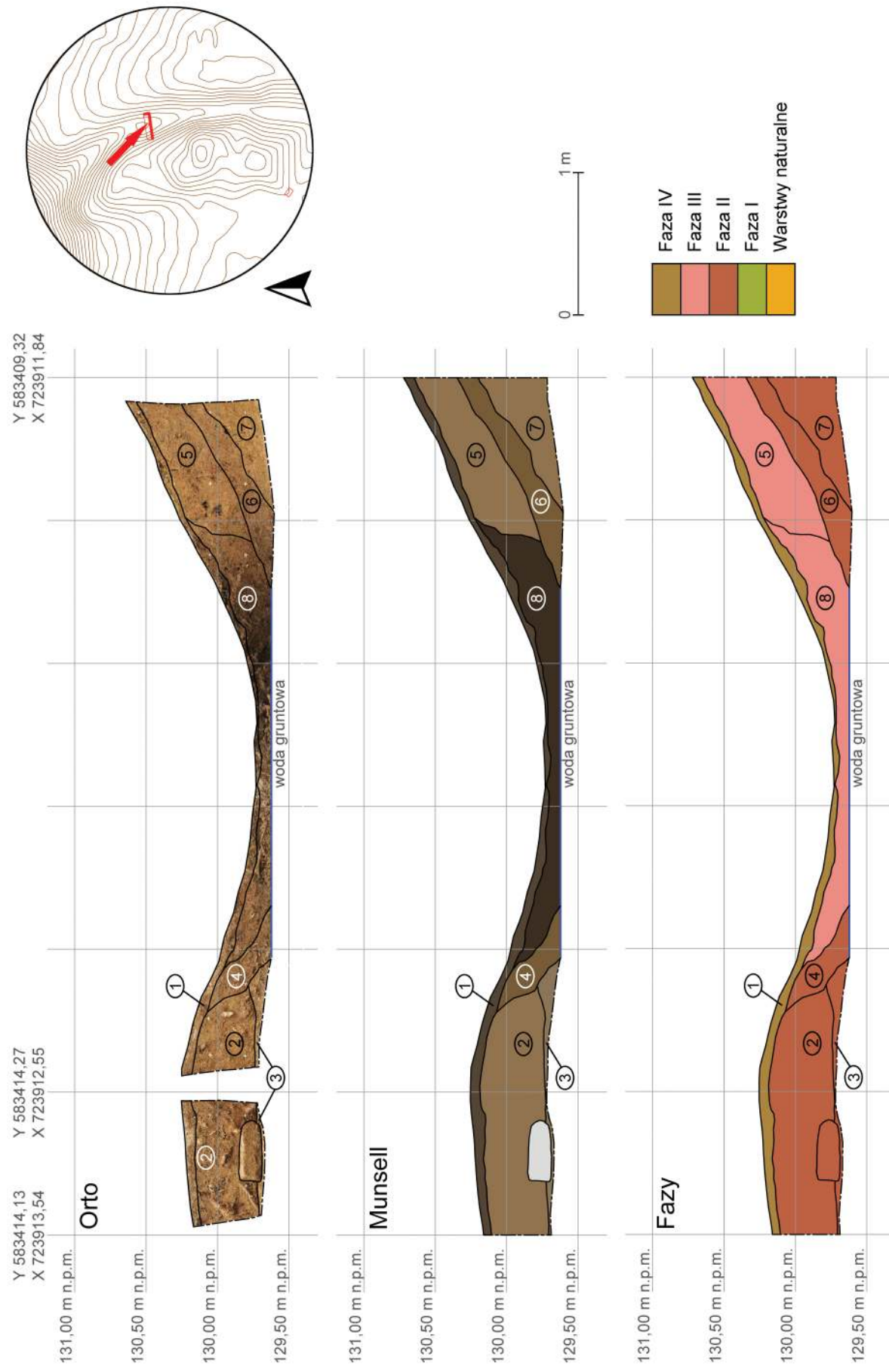
Jednostkami, które powiązano z tą fazą są lekko gliniasty piasek z niewielką domieszką materii organicznej 5 i gliniasty piasek z bardzo dużą domieszką materii organicznej 8.



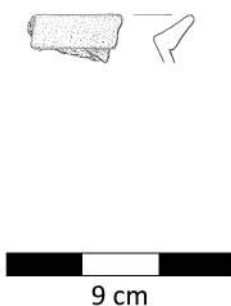
P1 – lata 1746–1540 p.n.e. (prawdopodobieństwo 95,4%)



Ryc. 13. Głębock, st. 5. Stratygrafia nawarstwień w obrębie wału – wykop 1 (oprac. R. Solecki i K. Rabiega)



Ryc. 14. Głębock, st. 5. Stratygrafia nawarstwień w obrębie fosy – wykop 2 (oprac. R. Solecki i K. Rabiega)



Ryc. 15. Głębock, st. 5. Fragment ceramiki z okresu średniowiecza (rys. B. Karch)

Faza IV

Faza ta wyznacza współczesny poziom użytkowy stanowiska. Warstwa przypisana do tego etapu to ciemny, mocno organiczny, gliniasty piasek silnie przerośnięty korzeniami 1 – poziom dzisiejszego humusu leśnego.

ZNALEZISKA

RAFAŁ SOLECKI

Na materiał zabytkowy pozyskany w trakcie badań archeologicznych grodziska w Głębocku, st. 5 w 2023 roku składają się dwa fragmenty ceramiki, oba znalezione w warstwie humusu 1. Pierwszy znajdował się w granicach W1. Był to fragment wylewu naczynia wypalonego w zaawansowanej technologii utleniającej ze szczątkowo zachowanymi śladami szkliwienia w kolorze brązowym, widocznymi po stronie wewnętrznej. Wylew był w przekroju zbliżony do trójkąta, miał szeroką krawędź wywiniętą pod kątem około 60° na zewnątrz, z widocznym niewielkim okapem (ryc. 15). Naczynia wykonywane w takiej technologii upowszechniają się na omawianym obszarze od przełomu XV i XVI wieku⁸.

Drugi fragment ceramiki to ułamek brzuśca pochodzący z naczynia wypalonego w niezaawansowanej technologii utleniającej. Czerep ma nierówną powierzchnię, najpewniej uformowany był ręcznie. W masie ceramicznej widoczne są nierównomiernie rozłożone drobiny domieszki schudzającej – drobno- i średnioziarnistego piasku. Fragment ten nie ma cech diagnostycznych, przez co precyzyjne określenie jego chronologii jest niemoż-

liwe. Nie pochodzi jednak z okresu młodszego niż wczesne średniowiecze.

CHRONOLOGIA I DZIEJE GRODZISKA W GŁĘBOCKU, ST. 5

RAFAŁ SOLECKI

Zakres badań archeologicznych na obszarze grodziska w Głębocku był bardzo ograniczony, gdyż jego majdan i wał pokrywa dopiero co zasadzony las. Oznacza to także, że obszar majdanu został silnie naruszony przez orkę, którą przeprowadzono w celu przygotowania działki pod szkołkę. Ślady kultywacji czytelne są na powierzchni gruntu. Warstwy kulturowe, które występowały w tej strefie zostały najpewniej przemieszane i prowadzenie tam badań w przyszłości może dać ograniczone informacje o stratygrafii.

Wytyczając wykopy, starano się wybrać takie miejsca, które powinny mieć nienaruszoną sekwencję stratygraficzną. W przypadku W1, zlokalizowanego na wale, cel został osiągnięty – zadokumentowano profil z uchwytnymi dwiema fazami jego budowy (Faza I i II). Warstwy przypisane do tych dwóch faz nie dostarczyły jednak materiału zabytkowego, który pozwoliłby na określenie ich chronologii. W warstwie 11 przypisanej do Fazy I znajdująły się liczne drobiny węgli drzewnych. Próbę węgla z tej warstwy pobrano do analizy radiowęglowej, której wynik dał po kalibracji przedział lat 1746–1540 p.n.e. z prawdopodobieństwem 95,4%⁹. Oznaczałoby to, że obszar ten wykorzystywany był w II okresie epoki brązu, według periodyzacji zaproponowanej przez Jana Dąbrowskiego¹⁰.

Na obecnym etapie badań nie jest możliwe stwierdzenie, jaką funkcję pełniło stanowisko w epoce brązu i czy określenie tej funkcji jest w ogóle możliwe. Bez rozszerzania frontu badań należałyby rozważyć dwie hipotezy:

- jeżeli skupiska węgli drzewnych związane są bezpośrednio z warstwą 11 (tworzącą nasyp wysokości około 65 cm) i określają jej chronologię, to poniżej wału możliwe byłoby uchwycenie nienaruszonych warstw kulturowych;
- jeżeli skupiska węgli drzewnych znajdujące się w warstwie 11 znalazły się tam w wyniku zniszczenia starszych warstw kulturo-

⁹ Analiza przeprowadzona w Poznańskim Laboratorium Radiowęglowym, próba nr Poz-162590.

¹⁰ Dąbrowski 1997: 86–89.

⁸ Marcinkowski 2013: 245–249.

wych w trakcie budowy wału, wtedy szansa na znalezienie nienaruszonych jednostek wyznaczających najstarszy horyzont chronologiczny byłaby nikła.

W niniejszej pracy przyjęto ten pierwszy scenariusz.

Wały i fosy, odcinające cypel od wysoczyzny i wyznaczające zasięg majdanu, są dobrze czytelne w morfologii terenu. Różnica wysokości pomiędzy szczytem wału a dnem fosy dochodzi miejscami do 2,5 m. Tak dobrze zachowane i czytelne umocnienia na omawianym obszarze są charakterystyczne raczej dla okresu średniowiecza. Umocnienia obiektów starszych, datowanych na wcześnieą epokę żelaza, nawet gdy były budowane w glinie, są zdecydowanie bardziej wyerodowane i mniej czytelne. Przykładem mogą tu być osiedla obronne w Borecznie (stan. 8), gm. Zalewo¹¹, lub w Wieprzu (stan. 20), gm. Zalewo¹². Hipoteza, że umocnienia grodziska w Głębocku zostały zbudowane w okresie średniowiecza, nie została potwierdzona. Z jednostek stratygraficznych, które powiązano z okresem

budowy umocnień, nie udało się pozyskać żadnego materiału zabytkowego ani prób węgla. Jedyny zabytek, który szacunkowo można wiązać z okresem późnego średniowiecza, to fragment ceramiki ceglastej polewanej. Naczynia wykonane w takiej technologii upowszechniają się od przełomu XV i XVI wieku, ale przeżywają się nawet do XVIII wieku. Bez możliwości zrekonstruowania pełnej formy naczynia, precyzyjne określenie chronologii nie jest możliwe. Tu należy także zaznaczyć, że zabytek ten znaleziono na powierzchni majdanu, w humusie. Najpewniej był redeponowany w trakcie prac ziemnych na jego obszarze.

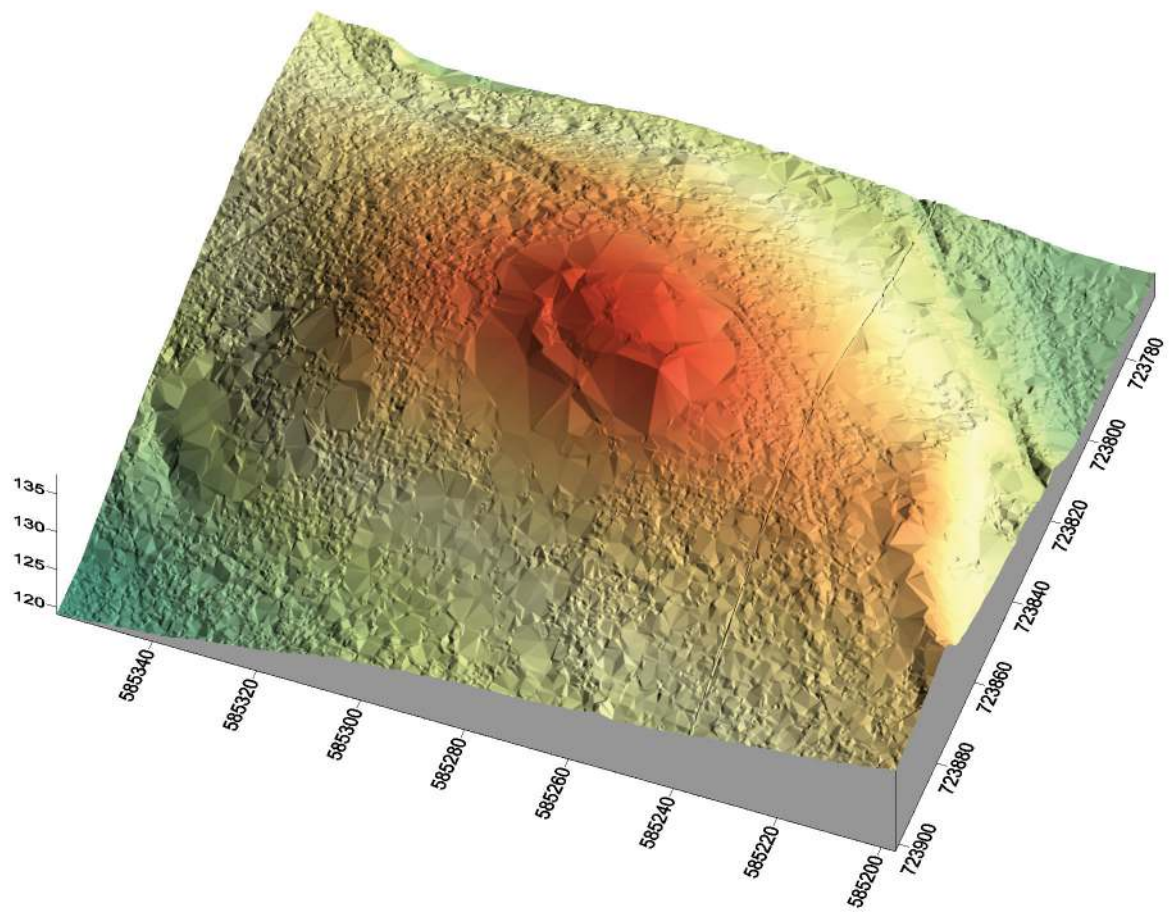
Na obecnym etapie badań można zatem stwierdzić, że w Głębocku z pewnością istniało grodzisko i być może było ono użytkowane w dwóch okresach. Tę drugą hipotezę koniecznie trzeba będzie zweryfikować w trakcie kolejnych badań archeologicznych. Te jednak powinny przewidywać otworzenie wykopu o nieco większej powierzchni, niż te które badano obecnie, a to będzie możliwe najwcześniej, gdy młodnik, który porasta obszar grodziska, dorosnie i będzie poddany trzebieży pielęgnacyjnej.

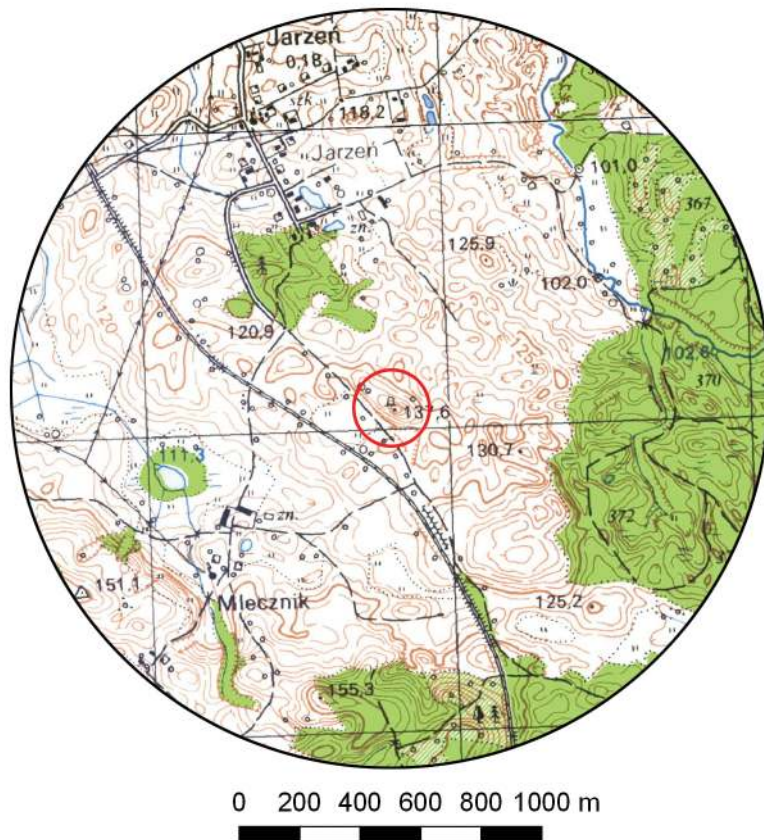
¹¹ Solecki 2022a: 193.

¹² Solecki i Wysocki 2017: 243.

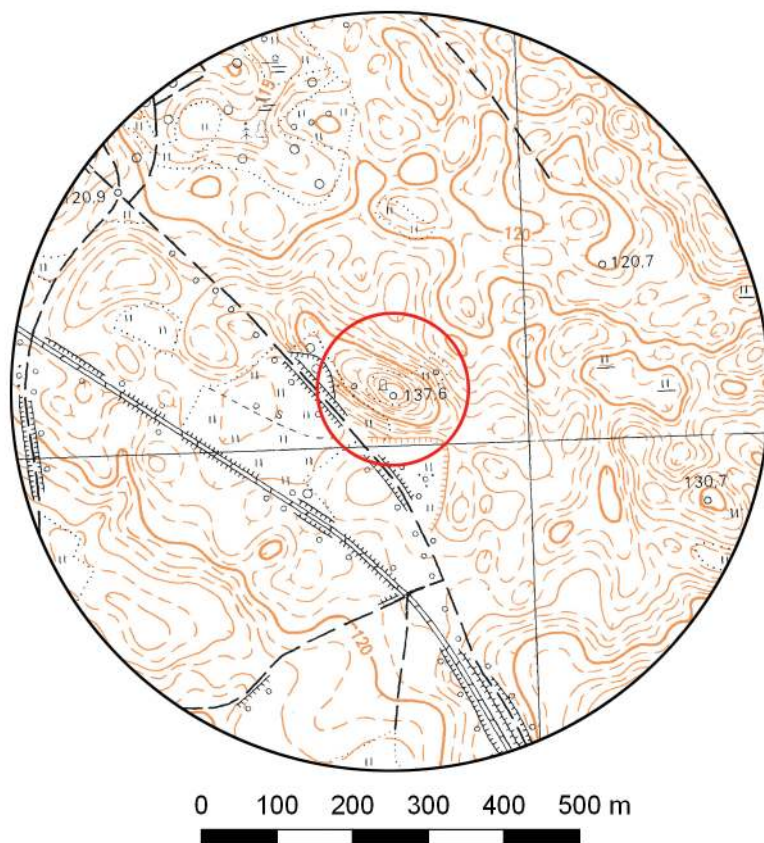
Jarzeń, st. 1

Gmina Lelkowo
Powiat braniewski
AZP 11-59/5
Współrzędne geograficzne:
N 54° 22' 17"
E 20° 18' 46"





Ryc. 1. Grodzisko w Jarzeniu, st. 1
na mapie w skali 1:25 000
(na podstawie materiałów GUGiK,
oprac. R. Solecki)



Ryc. 2. Grodzisko w Jarzeniu, st. 1
na mapie w skali 1:10 000
(na podstawie materiałów GUGiK,
oprac. R. Solecki)

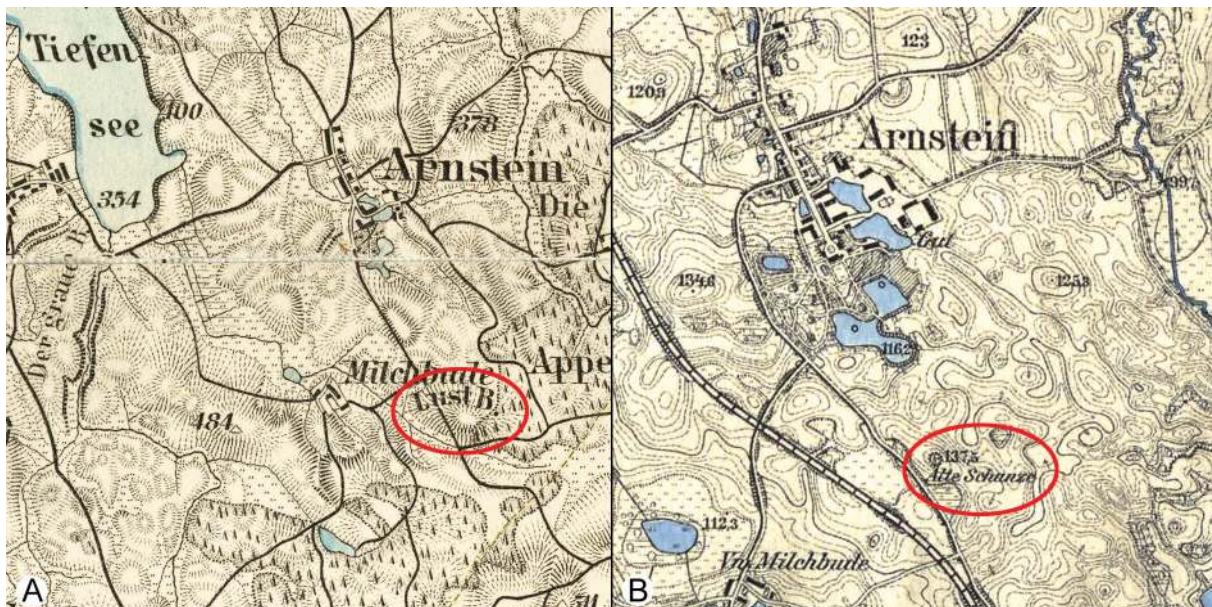
POŁOŻENIE STANOWISKA I JEGO FORMA

RAFAŁ SOLECKI

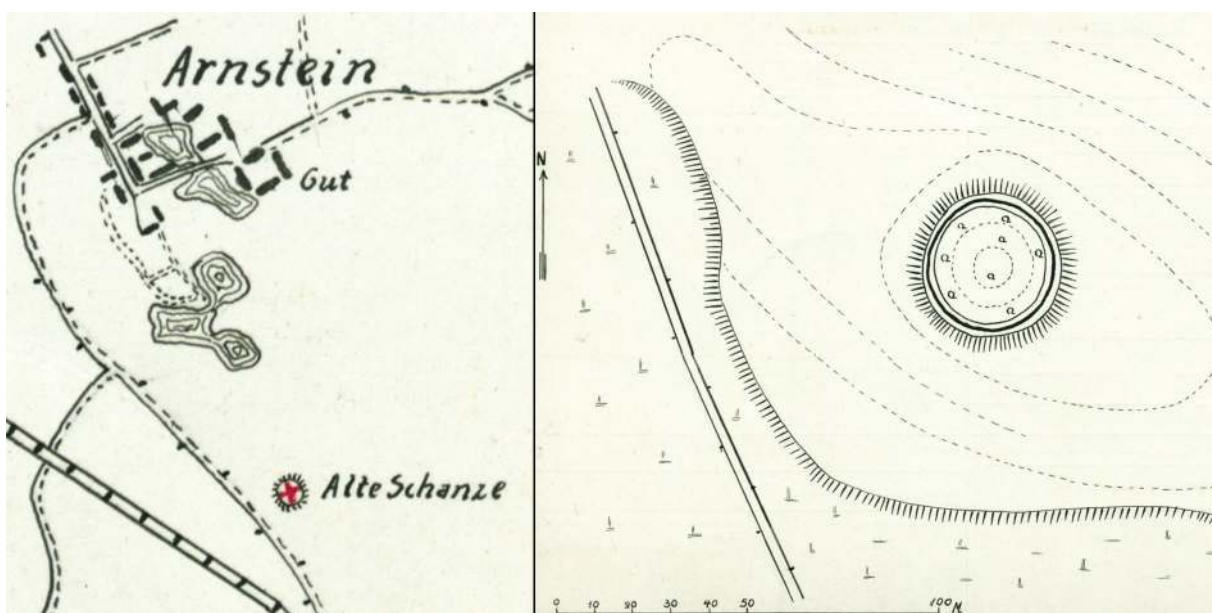
Grodzisko w Jarzeniu (niem. *Arnstein*), st. 1 było znane od co najmniej końca XIX wieku. Oznaczone jest na mapie *Karte des Deutschen Reiches* 1:100 000 z około 1893 roku jako *Lust B.* (ryc. 3:A). Na nieco młodszej mapie *Meßtischblatt Topographische Karte* 1:25 000, z 1913 roku to samo miejsce opisane jest jako *Alte Schanze* (ryc. 3:B). Stanowisko to zostało także zewidencjonowane w okresie międzywojennym – jego karta znajduje się w zbiorze *Burgwall-kartei*, w *Museum für Vor- und Frühgeschichte* w Berlinie.

Frühgeschichte w Berlinie¹. Na karcie opisano je zwrotem *Alte Shanze* (ryc. 4). Po II wojnie światowej informacja na temat grodziska znajdowała się w archiwum Biura Dokumentacji Zabytków w Elblągu, ale bez lokalizacji. Tę udało się dopiero określić Mirosławowi Jonakowskiemu podczas badań powierzchniowych w 1990 roku. Na podstawie tego rozpoznania dla stanowiska sporządzono Kartę Ewidencji Stanowiska Archeologicznego AZP 11-59/5. Informacja z tej karty wskazuje, że „teren domniemanego grodziska zabudowany jest pozostałościami XVIII-wiecznego założenia rezydencjalnego. W zach. części za-

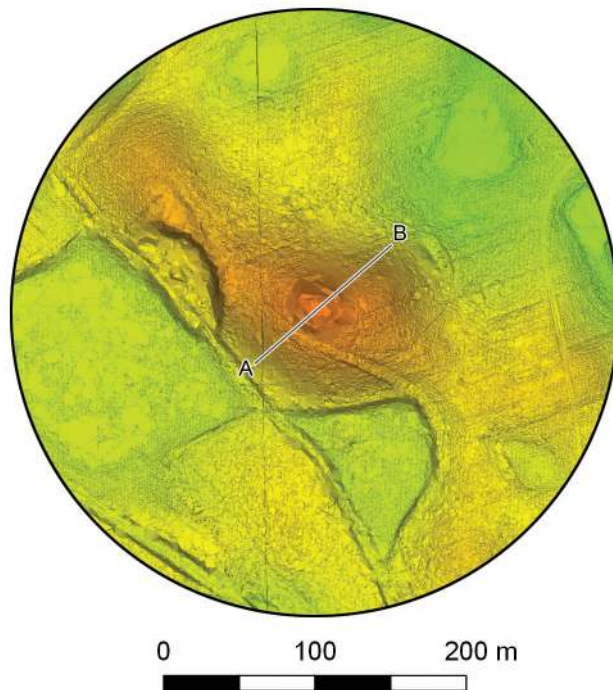
¹ Herrmann 2002: 92.



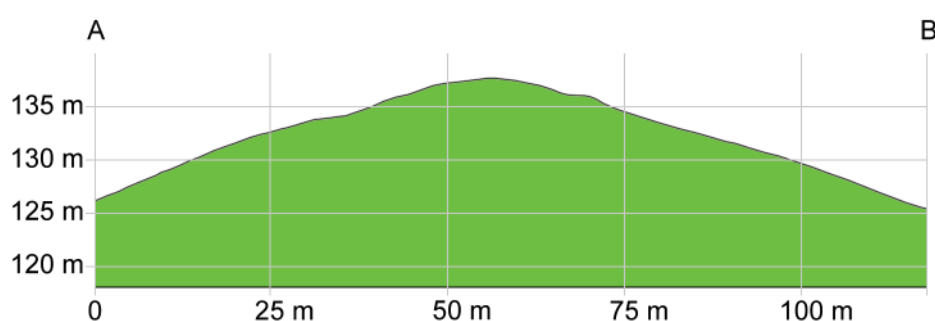
Ryc. 3. Grodzisko w Jarzeniu, st. 1 na mapie: A) *Karte des Deutschen Reiches* 1:100 000, karta Heiligenbeil (73) z około 1893 roku, B) *Topographische Karte (Meßtischblatt)* 1:25 000, karta Lichtenfeld (1687), z 1913 r. (źródło: www.maps.mapywig.org)



Ryc. 4. Grodzisko w Jarzeniu, st. 1 na karcie ze zbioru *Burgwall-kartei* (źródło: *Staatliche Museen zu Berlin*, *Museum für Vor- und Frühgeschichte*, IXc 90, Bl. 106)



Ryc. 5. Grodzisko w Jarzeniu, st. 1 na zobrazowaniu ALS (na podstawie materiałów GUGiK, oprac. R. Solecki)



Ryc. 6. Przekrój grodziska w Jarzeniu, st. 1 uzyskany z danych ALS (na podstawie materiałów GUGiK, oprac. R. Solecki)

chował się fragment fosy. Było to najprawdopodobniej grodzisko dwuczłonowe: grodzisko właściwe i podgrodzie w części południowej². Podczas weryfikacji przeprowadzonej w 2019 roku, w miejscu wskazanym na karcie, odnaleziono wyniesienie i towarzyszącą mu domniemaną fosę, ale uznano, że struktury te związane są z budową i funkcjonowaniem wspomnianego dworu, a nie z ufortyfikowaniem terenu. Właściwe umocnienia, analogiczne do tych opisanych w *Burgwallkartei*, znalezione w odległości 650 m na południe od dworu w Jarzeniu.

Grodzisko zajmuje szczyt niedużego, odosobnionego wyniesienia (ryc. 7), którego najwyższy punkt osiąga poziom 137,5 m n.p.m. Zewnętrzny obrrys umocnień jest owalny, o średnicach 31–40 m. Długość wału wynosi około 93 m. Majdan jest owalny, o średni-

cy 18–24 m. Od wału oddziela go czytelne zagłębienie przywałowe, którego szerokość dochodzi do 2 m, a różnica wysokości pomiędzy jego dnem a szczytem wału do 0,4 m (ryc. 8). Na powierzchni stanowiska widoczne są pojedyncze, duże kamienie, nietworzące jednak żadnego układu. Obszar stanowiska, zwłaszcza w pasie wokół umocnień, porastały znacznych rozmiarów drzewa. Z tego względu nie było ono narażone na zniszczenia działalności rolną. Na powierzchni czytelne są pojedyncze zagłębienia, które mogą być pozostałością po walkach w czasie II wojny światowej – w trakcie prospekcji powierzchniowej znalezione liczne łuski i odłamki po pociskach moździerzowych.

Przy południowo-zachodniej krawędzi grodziska widoczna jest pozostałość starej drogi, której układ zbliżony jest do tego, ukazanego na mapie z końca XIX wieku (ryc. 3:A). Na drodze tej rozrzucony jest współczesny gruz budowlany.

² Informacje z KESA stanowiska oraz ze Sprawozdanie z badań powierzchniowych obszaru 11-59.



Ryc. 7. Jarzeń, st. 1. Generalny widok na grodzisko od strony wschodniej (fot. R. Solecki)



Ryc. 8. Jarzeń, st. 1. Poglądowy widok umocnień grodziska od strony wschodniej (fot. R. Solecki)

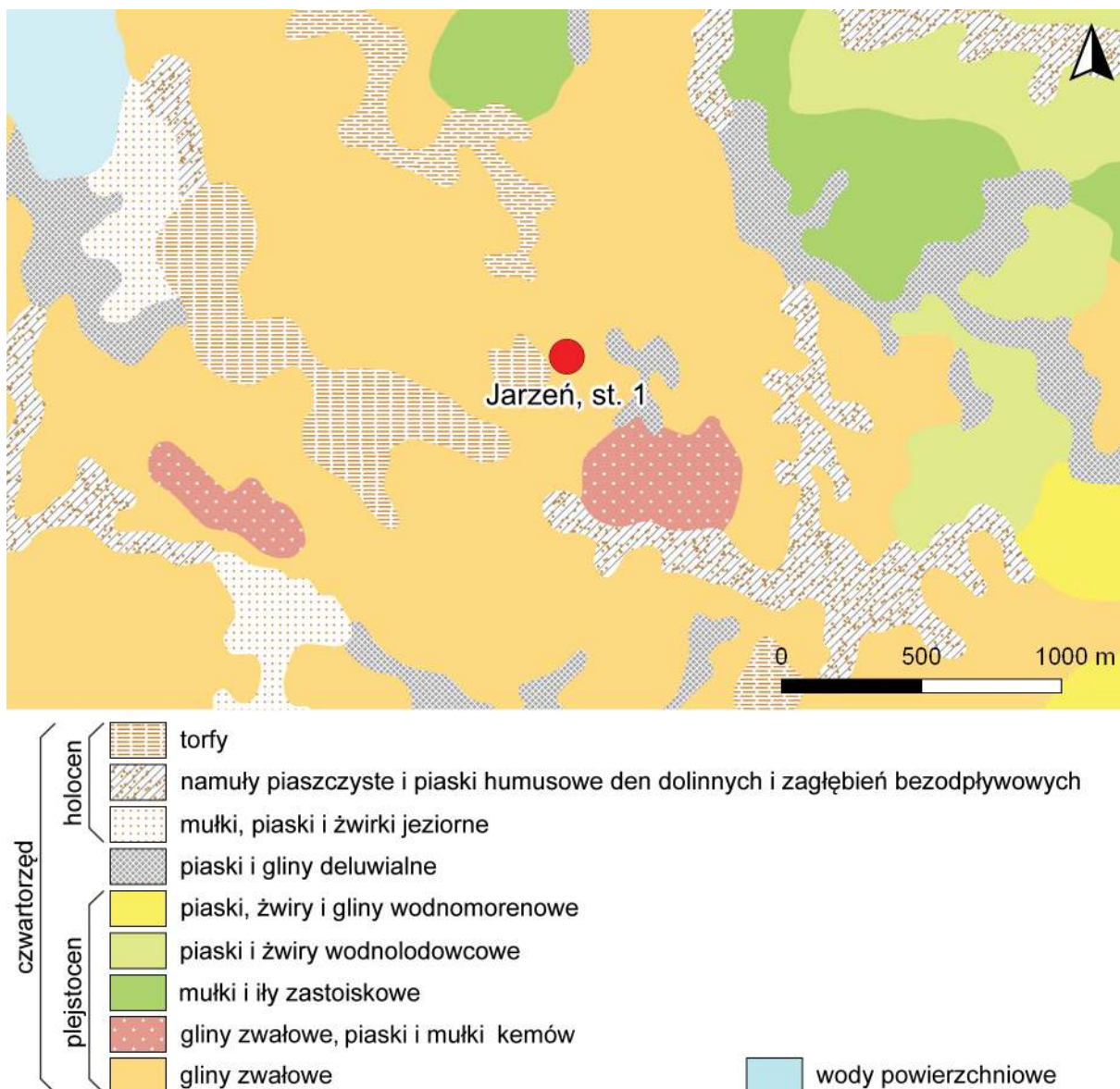
ŚRODOWISKO FIZYCZNOGEOGRAFICZNE ANNA LEJZEROWICZ

Według podziału fizycznogeograficznego Polski Jerzego Kondrackiego grodzisko w Jarzeniu, st. 1 znajduje się w mezoregionie Wzgórz Górowskich³.

Teren badań znajduje się na synklinie perybałtyckiej platformy wschodnioeuropejskiej. Utwory paleogenu stanowią tu bezpośrednie podłożo osadów czwartorzędowych. Zostały one stwierdzone w dwóch otworach wiertniczych: hydrogeologicznym (nr 2 w Głębocku) i kartograficznym (nr 5 w Aułgamach). W paleocenie środkowym obszar

znajdował się w obrębie płytkego zbiornika morskiego, co skutkowało osadzaniem się piasków glaukonitowych i margli. W eocenie i oligocenie miała miejsce akumulacja morska, podczas której osadziły się mułki i ilły. Neogen był okresem lądowym. Nastąpiła wtedy sedymentacja mioceńskich piasków, mułków i ilłów. Lądolody wkraczały na badany obszar kilkukrotnie, w trakcie zlodowacenia Narwi, Nidy, Odry i Wisły. Osady czwartorzędowe mają tu miąższość ponad 200 m, przy czym miąższość osadów najmłodszego zlodowacenia Wisły (stadiałów: śródowego i górnego) wynosi 45–105 m. Są one wykształcone głównie w postaci glin zwałowych rozdzielonych osadami wodnolodowcowymi i zastoiskowymi. Podczas deglacacji powstawały formy szczelinowe – kemy. W holocenie

³ Kondracki 2002: 100–102.



Ryc. 9. Wycinek arkusza Szczegółowej Mapy Geologicznej Polski z zaznaczonym grodziskiem w Jarzeniu, st. 1
 (źródło: www.cbdgmapa.pgi.gov.pl/arcgis/services/kartografia/smgp50k/MapServer/WMS, oprac. R. Solecki)

ostatnie bryły martwego lodu zaczęły intensywnie topnieć i w obrębie równin sandrowych i wysoczyzny morenowej powstały zagłębia, w których osadzały się namuły piaszczyste i piaski humusowe⁴.

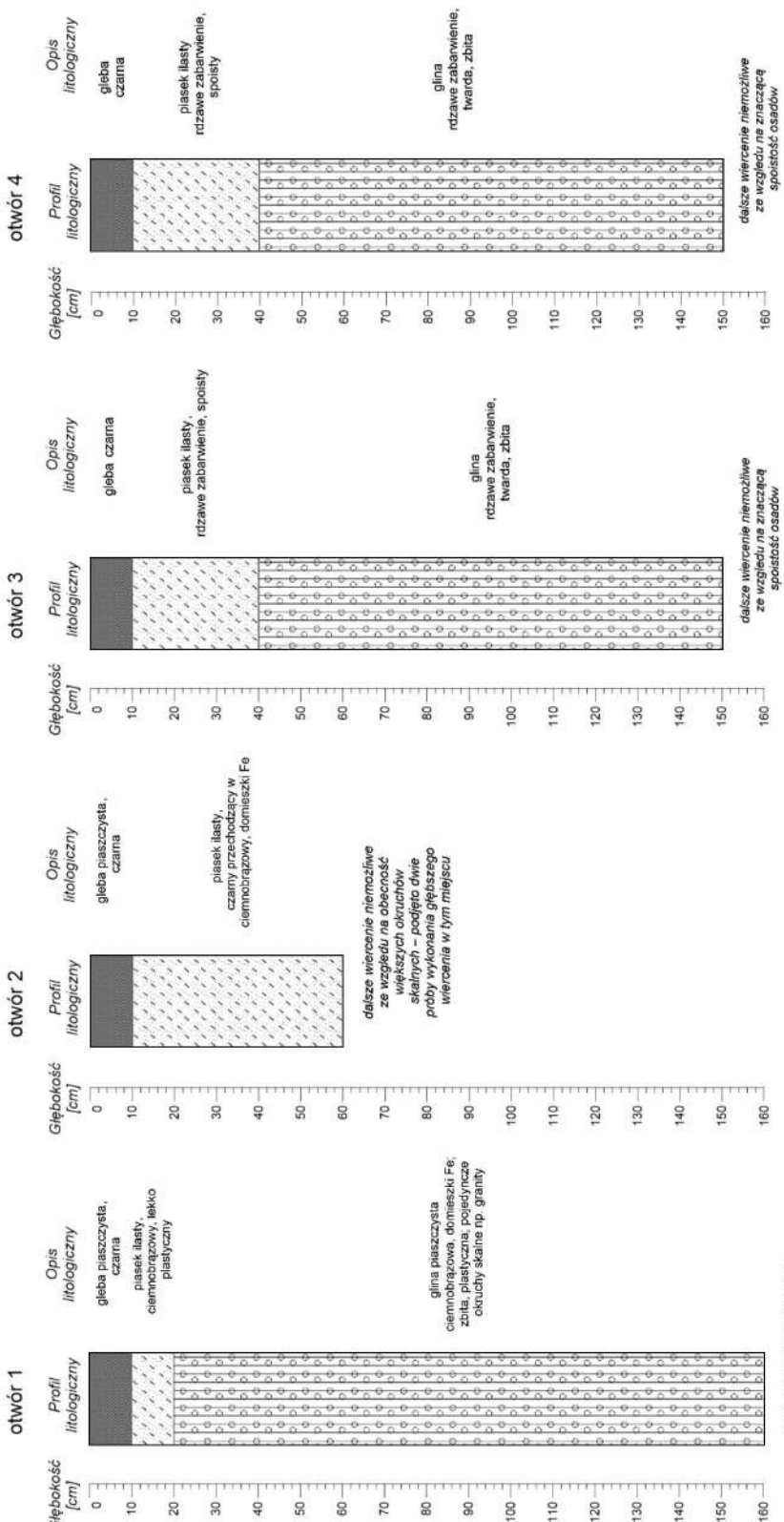
Według Szczegółowej Mapy Geologicznej Polski w skali 1:50 000 (arkusz Głębock) stanowisko znajduje się na obszarze występowania glin zwałowych (ryc. 9)⁵. Według Mapy Geologicznej Polski w skali 1:500 000 znajdują się tu gliny zwałowe, ich zwietrzeliny oraz piaski i żwiry lodowcowe. Natomiast według Mapy Litogenetycznej Polski w skali 1:50 000 jest to obszar występowania glin zwałowych pochodzenia lodowcowego.

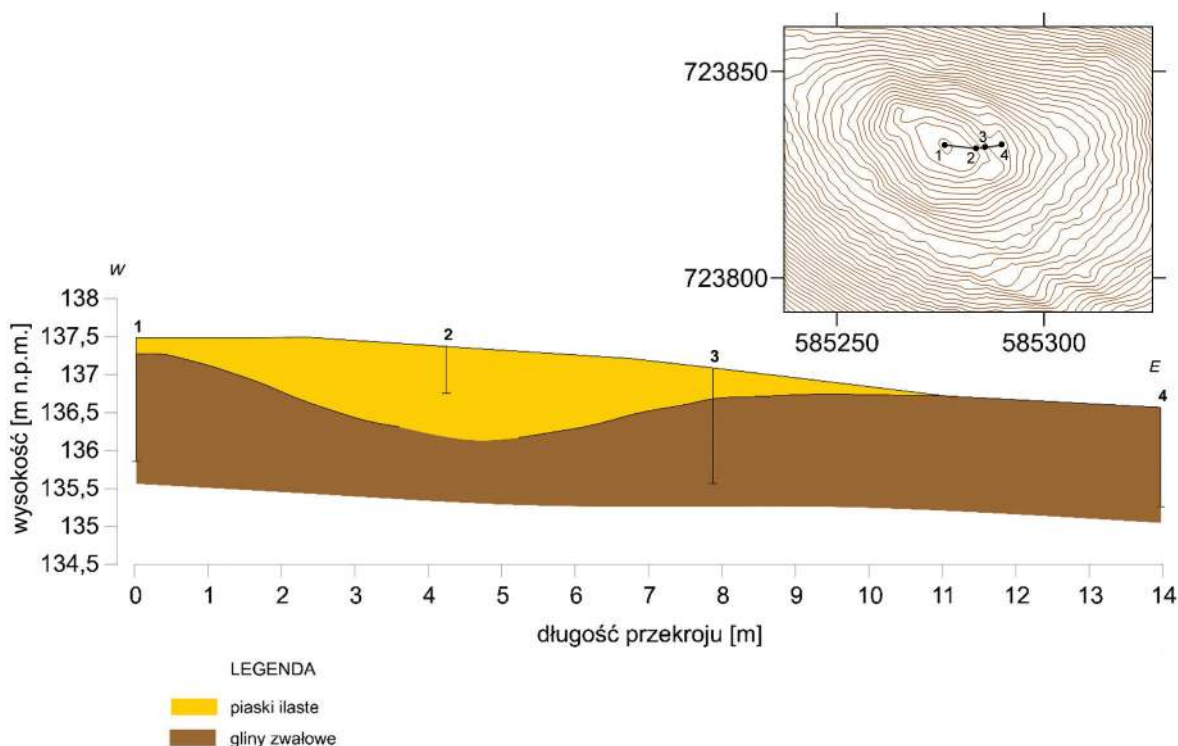
⁴ Honczaruk i Kacprzak 2014a: 9–28.

⁵ Honczaruk i Kacprzak 2014a.

Stanowisko w Jarzeniu zajmuje szczyt wzniesienia o wysokości około 13 m, liczących względem tafli wody w znajdującym się bezpośrednio na zachód rozlewisku. Stoki pagórka nie są zbyt strome. Szczyt wzniesienia jest niewielkich rozmiarów, porośnięty wysokimi drzewami. Okolica to obszar wysoczyzny morenowej falistej powstałej podczas recesji lądolodu zlodowacenia Wisły.

By rozpoznać budowę geologiczną pagórka, na którym znajduje się grodzisko, wykonoano cztery wiercenia. Ze względu na fakt, że obszar wokół stanowiska, na stokach pagórka, był silnie pokryty roślinnością, wiercenia wykonano w obrębie szczytu. W odwiertach zaobserwowano występowanie przede wszystkim glin polodowcowych o ciemnobrązowym





Ryc. 11. Schematyczny przekrój geologiczny przez grodzisko w Jarzeniu, st. 1 (oprac. A. Lejzerowicz)

zabarwieniu z wyraźnymi plamami związków żelaza. Osady te charakteryzowały się dużą spójnością i plastycznością, przez co wykonanie odwiertów sprawiało duży kłopot. Dodatkowo obecne były liczne okruchy skalne. Dlatego też maksymalna głębokość na jaką udało się dowiercić wynosiła 1,6 m. Podjęte zostały dwie próby wykonania wiercenia nr 2, jednak ze względu na obecną głębokość w podłożu większych oraz licznych okruchów skalnych udało się zejść na głębokość jedynie 0,6 m. W okolicy wiercenia nr 3 i 4 zaobserwowano również na powierzchni terenu dużych rozmiarów głazy. Szczegółowa litologia jest widoczna oraz została opisana na poszczególnych profilach wierceń (ryc. 10). Na podstawie wykonanych wierceń stworzony został także schematyczny przekrój geologiczny przez stanowisko (ryc. 11).

Wykonane odwierty potwierdziły obecność glin zwałowych pochodzenia lodowcowego na badanym stanowisku. Osady te zvierają związki żelaza, co nadaje im rdzawe zabarwienie. Obecne są również przekładki piasków ilastych. Osady te budują obszar wysoczyzny morenowej falistej, powstały w wyniku krótkotrwałego przepływu wód roztopowych blisko czoła lądolodu. Obserwowane gliny wodnomorenowe powstały z kolei na skutek spływu osadów błotnych. Wyniesienie na którym znajduje się stanowi-

sko Jarzeń zbudowane jest przede wszystkim z glin piaszczystych pochodzenia lodowcowego z licznymi okruchami oraz głazami widocznymi na powierzchni stanowiska.

BADANIA ARCHEOLOGICZNE

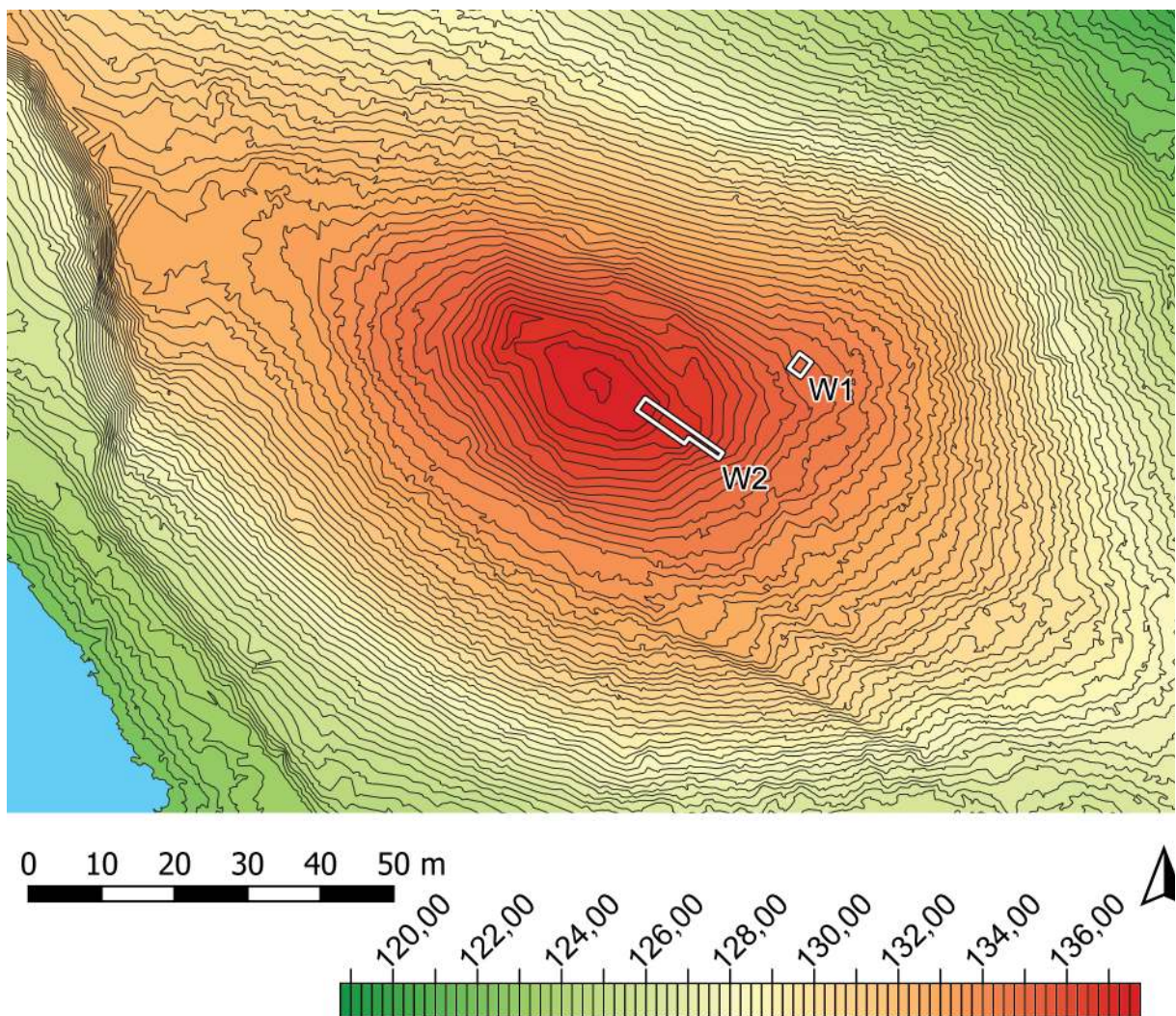
RAFAŁ SOLECKI

Przebieg badań terenowych

Weryfikację grodziska w terenie przeprowadzono jesienią 2021, a badania latem 2022 roku. Pierwszy wykop badawczy W1, o wymiarach $2 \times 2,5$ m, miał za zadanie rozpoznać miejsce tuż pod szczytem pagórka od strony wschodniej, gdzie na powierzchni występuowało skupisko dużych kamieni. Drugi wykop badawczy W2, nieregularny, o szerokości w przedziale 1–2 m i głębokości 14 m (powierzchnia 20 m^2), wytyczono tak, aby przecinał centralnie położony plac, zagłębienie przywałowe i wał. Położenie wykopów badawczych przedstawia ryc. 12.

Stratygrafia stanowiska

W trakcie omawianych badań archeologicznych wydzielono łącznie 15 jednostek stratygraficznych (tabela 1). Możliwe było ich rozdzielenie pomiędzy podłożę naturalne i dwie fazy związane z dziejami tego miejsca. Diagram Harrisa dla wydzielonych jednostek



Ryc. 12. Jarzeń, st. 1. Plan grodziska z naniesionymi wykopami archeologicznymi (oprac. R. Solecki)

stratygraficznych przedstawia ryc. 13, a zado- kumentowane powierzchnie ryc. 14–16.

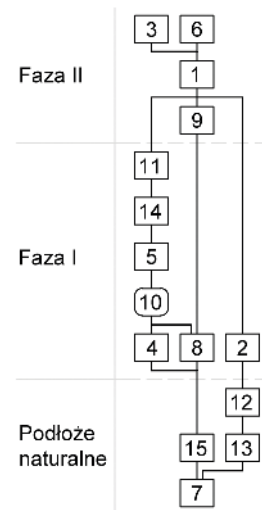
Warstwy naturalne

W trakcie badań jako jednostki naturalne zidentyfikowano lekko piaszczysty ił z żelazistymi wytrąceniami 7 (W1 i W2), zwarty, ilasty piasek z żelazistymi wytrące- niami 12 (W1), soczewkę gruboziarniste- go piasku, żwiru i kamieni 12 (W1) i lekko piaszczysty ił 15 (W2). Najwyższy zanotowa- ny punkt naturalnego podłoża geologicznego znajdował się na obszarze majdanu i osiągał poziom 136,85 m n.p.m.

Faza I

Fazę tę należy wiązać szeroko z okresem bu- dowy umocnień i ich użytkowania. W tym czasie poddano znacznym pracom ziemnym szczyt wyniesienia. Wyraźnie czytelny jest na- syp wału, który zbudowano z ilastego, zwar- tego piasku 8 z dużą domieszką materii orga- nicznej i pojedynczymi kamieniami o średni-

cy do 40 cm. Zadokumentowany w przekroju wał ma szerokość u podstawy 3,25 m i wy- sokość do 0,6 m. Najpewniej w tym samym czasie powstało także zagłębienie przywało- we 10, szerokości około 3 m i głębokości do



Ryc. 13. Jarzeń, st. 1. Diagram relacji stratygraficznych (oprac. R. Solecki)

Tabela 1. Jarzęń, st. 1. Katalog warstw i obiektów oraz ich zależności stratygraficznych (oprac. R. Solecki)

Numer jednostki	Numer obiektu	Numer wykopu	Pozycja w obrębie stanowiska	Współrzędne geodezyjne (PUWG 1992)	Opis jednostki stratygraficznej (rodzaj sedymentu, miąższość, zawartość zabytkowa, przypuszczalna funkcja/proces formowania)	Barwa (Munsell)	Pozycja stratygraficzna	
							Znajduje się pod	Znajduje się nad
1	-	1,2	Całe stanowisko	X=723822,4-723837,7; Y=585300,9-585304,2	Lekko ilasty piasek z bardzo dużą domieszką materii organicznej; miąższość do 20 cm; humus leśny	10YR 3/2	3, 6	4, 5, 8, 9, 11
2	-	1	Obszar poza linią wału	X=723834,4-723837,7; Y=585280,2-585304,2	Ilasty, przemieszany piasek z bardzo dużą domieszką materii organicznej oraz drobinami węgli i polepy; miąższość do 20 cm; warstwa kulturowa	10YR 4/4	1	12
3	-	2	Majdan	X=723827,5-723830,8; Y=585280,5-585284,5	Przemieszany, lekko ilasty piasek z dużą domieszką materii organicznej; miąższość do 20 cm; humus przemieszany przez dziki	10YR 3/2	-	1, 4
4	-	2	Majdan	X=723826,8-723831,0; Y=585280,2-585284,9	Ilasty piasek z cętkami materii organicznej; miąższość do 15 cm; poziom użytkowy z okresu funkcjonowania groduiska	10YR 4/3	1, 3, 10	15
5	10	2	Zagłębienie przywałowe	X=723824,8-723828,9; Y=585283,3-585288,2	Ilasty, niejednorodny piasek z dużą domieszką materii organicznej; miąższość do 25 cm; poziom użytkowy w obrębie zagłębienia przywałowego	10YR 5/6	11, 14	4, 8, 10, 15
6	-	2	Zagłębienie przywałowe	X=723824,9-723828,4; Y=585283,5-585287,9	Ilasty piasek z bardzo dużą domieszką materii organicznej; miąższość do 20 cm; akumulacja materii organicznej w obrębie zagłębienia przywałowego	10YR 3/3	-	1, 11
7	-	2	Całe stanowisko	X=723822,4-723831,0; Y=585280,2-585293,2	Lekko piaszczysty il z żelazistymi wytrąceniami; podłoż naturalne	10YR 6/4	15	-
8	-	2	Wał	X=723824,4-723827,4; Y=585285,5-585290,0	Ilasty, zwarty piasek z dużą domieszką materii organicznej i pojedynczymi kamieniami o średnicy do 40 cm; miąższość do 60 cm; nasyp wału	10YR 6/6	1, 5, 9, 10	15
9	-	2	Obszar poza linią wału	X=723822,4-723825,9; Y=585288,3-585293,2	Lekko ilasty piasek z dużą domieszką materii organicznej; miąższość do 15 cm; warstwa erozyjna na zewnętrznym stoku wału	10YR 5/4	1	8, 15
10	10	2	Zagłębienie przywałowe	X=723824,8-723828,9; Y=585283,3-585288,2	Zagłębienie przywałowe tworzące pierścień wokół majdanu; szerokość około 3 m, głębokość do 0,7 m; wypełniskiem są 5, 11, 14	-	5	4, 8, 15
11	10	2	Zagłębienie przywałowe	X=723824,9-723828,4; Y=585283,5-585287,9	Lekko ilasty piasek z dużą domieszką materii organicznej i węglami drzewnymi; miąższość do 20 cm; poziom użytkowy w obrębie zagłębienia przywałowego	7.5YR 3/3	1, 6	5, 14
12	-	1	Obszar poza linią wału	X=723834,4-723837,7; Y=585280,2-585304,2	Zwarty, ilasty piasek z żelazistymi wytrąceniami; podłoż naturalne	10YR 5/6	2	7, 13
13	-	1	Obszar poza linią wału	X=723834,4-723837,7; Y=585280,2-585304,2	Przekładka z gruboziarnistego piasku, żwiru i kamieni; podłoż naturalne	10YR 4/3	12	7
14	10	2	Zagłębienie przywałowe	X=723825,5-723826,7; Y=585287,8-585288,8	Skupisko kamieni o średnicy około 1 m z kamieni o średnicy 5–25 cm na dnie zagłębienia przywałowego	-	11	5
15	-	2	Całe stanowisko	X=723822,4-723831,0; Y=585280,2-585293,2	Lekko piaszczysty il; podłoż naturalne	7.5YR 5/6	4, 5, 8, 9, 10	7

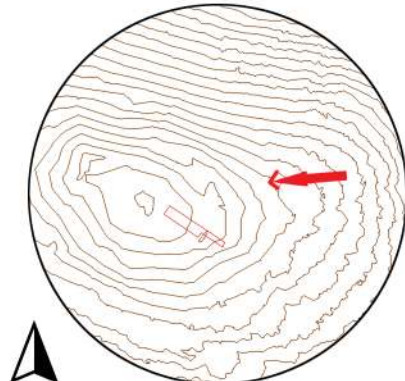
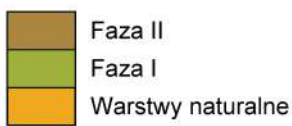
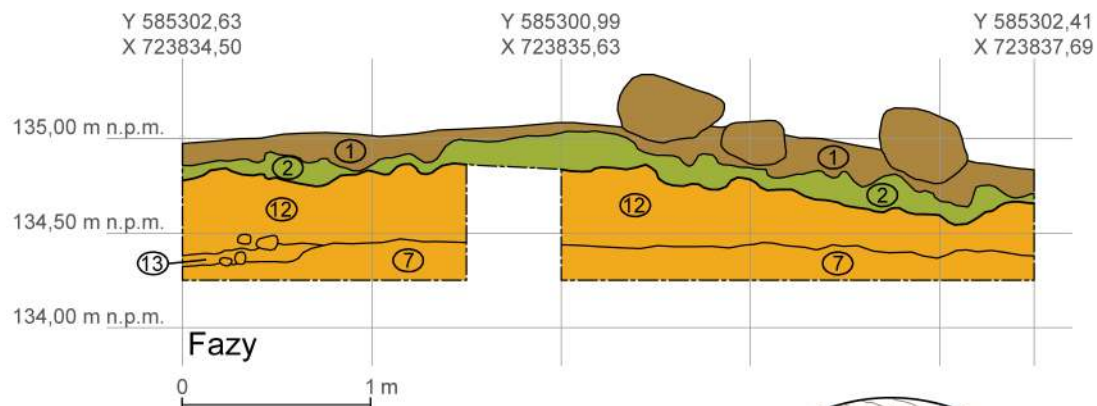
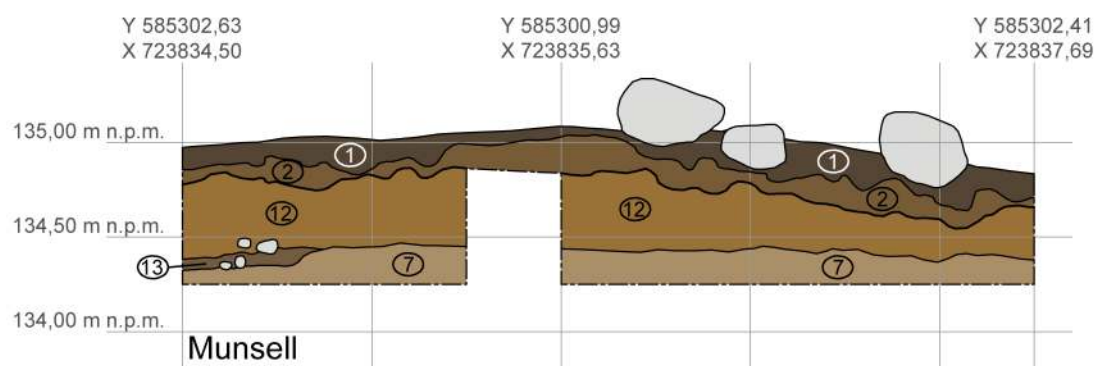
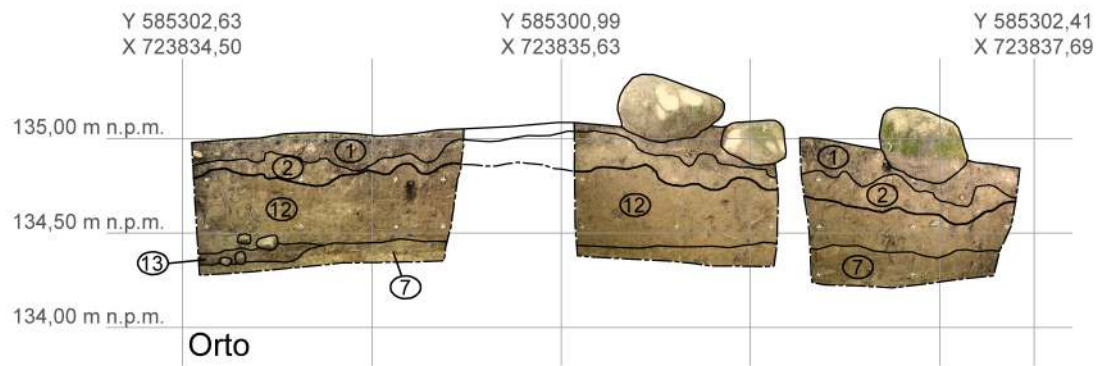
0,7 m. Warstwy związane z użytkowaniem tego obiektu to ilasty, niejednorodny piasek 5 z dużą domieszką materii organicznej, skupisko kamieni 14 o średnicy około 1 m z kamieni o średnicy 5–25 cm oraz lekko ilasty piasek 11 z dużą domieszką materii organicznej i z węglami drzewnymi. Z warstwy 11, pobrano próbę węgla do analizy radiowęglowej. Wynik tej analizy dał po kalibracji przedział lat 1951–1959 n.e. z prawdopodobieństwem 95,4%⁶. Taki wynik wskazuje, że opisana warstwa kulturowa to najpewniej poziom użytkowy z okresu II wojny światowej.

⁶ Analiza przeprowadzona w Poznańskim Laboratorium Radiowęglowym, próba nr Poz-162369.

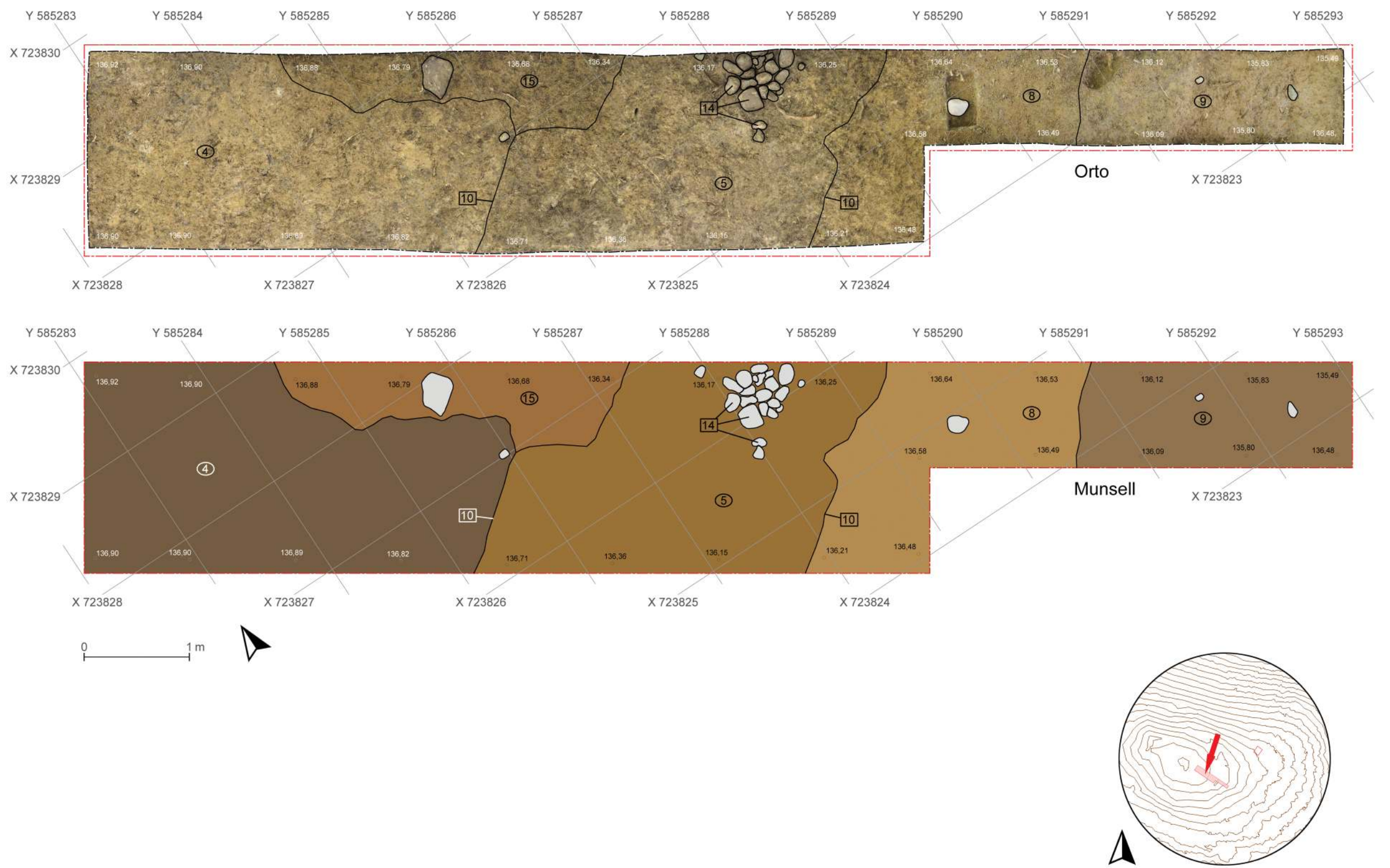
Poziom użytkowy z tego okresu na obszarze majdanu wyznacza ilasty piasek 4 z cętkami materii organicznej. Na obszarze poniżej linii umocnień jest to ilasty, przemieszany piasek 2 z bardzo dużą domieszką materii organicznej oraz drobinami węgli i polepy.

Faza II

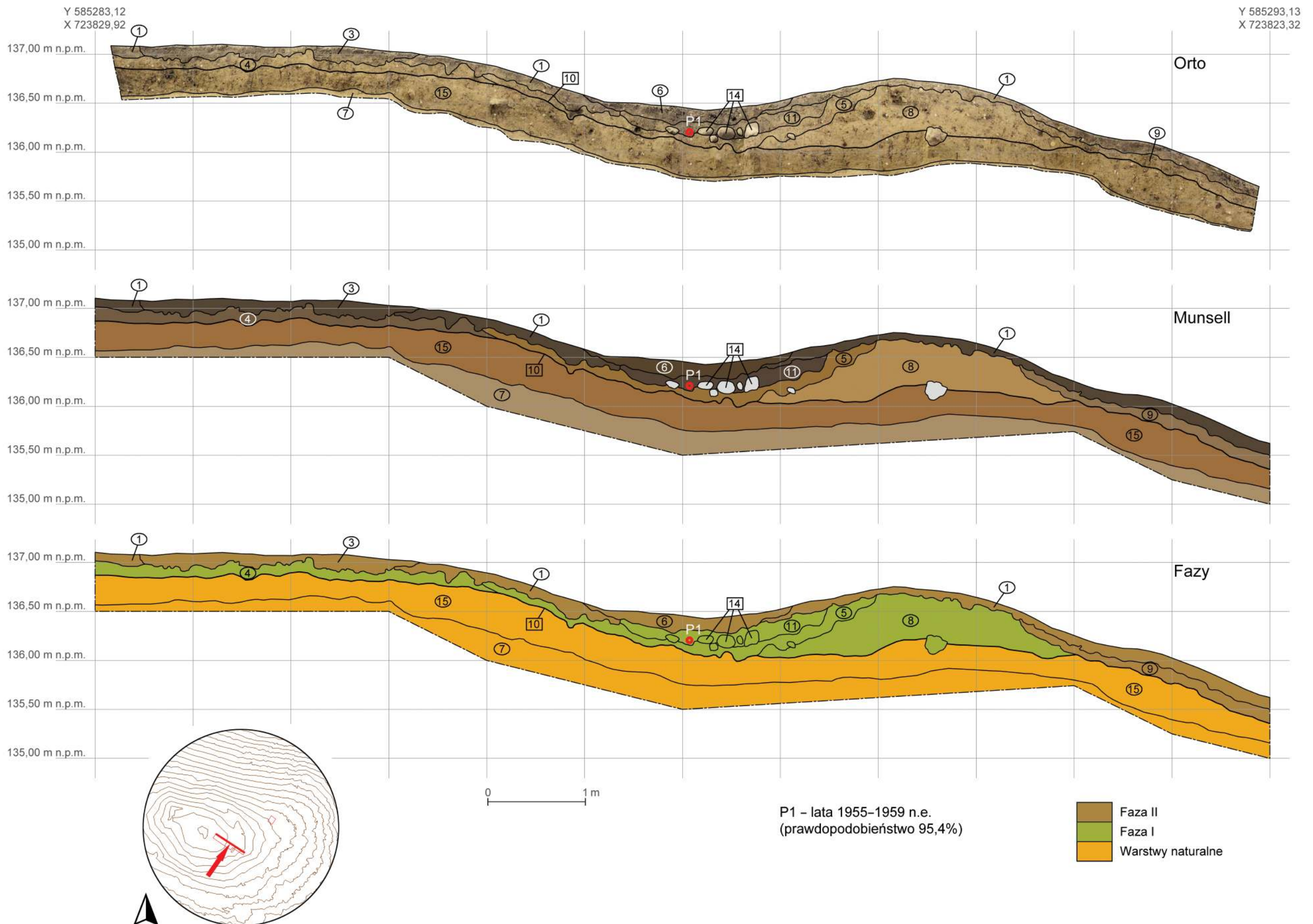
Faza ta wyznacza okres, gdy stanowisko nie było użytkowane, a jego powierzchnia zaczęła ulegać procesom erozyjnym. Główną warstwą, która wyznacza tę fazę jest lekko ilasty piasek 1 z bardzo dużą domieszką materii organicznej. Pokrywa ona całą powierzchnię stanowiska.



Ryc. 14. Jarzęń, st. 1. Stratygrafia nawarstwień na obszarze poniżej majdanu i umocnień – wykop 1 (oprac. R. Solecki)



Ryc. 15. Jarzeń, st. 1. Stratygrafia nawarstwień w obrębie majdanu, zagłębienia przywałowego i wału - wykop 2 (oprac. R. Solecki)



Ryc. 16. Jarzeń, st.1. Stratygrafia nawarstwień w obrębie majdanu, zagłębienia przywałowego i wału - wykop 2 (oprac. R. Solecki)

Na zewnętrznym stoku wału, poniżej humusu 1, uchwycono warstwę erozyjną, którą jest lekko ilasty piasek 9 z dużą domieszką materii organicznej.

W obrębie zagłębiazenia przywałowego wydzielono ilasty piasek 6 z bardzo dużą domieszką materii organicznej, a na obszarze majdanu przemieszany, lekko ilasty piasek 3 z dużą domieszką materii organicznej. Wszystkie te jednostki należy łączyć z użytkowaniem tego obszaru w okresie po II wojnie światowej. Na fakt, że użytkowanie było intensywne może wskazywać liczne występowanie współczesnych śmieci na powierzchni, bezpośrednio na południowy zachód od linii umocnień, przy starej drodze prowadzącej do wsi Jarzeń.

ZNALEZISKA

RAFAŁ SOLECKI

Na materiał zabytkowy pozyskany w trakcie badań archeologicznych grodziska w Jarzeniu, st. 1 w 2022 roku składa się: 9 fragmentów ceramiki, 15 przedmiotów lub ich fragmentów wykonanych z żelaza oraz 1 kość zwierzęca.

Ceramika

Zbiór fragmentów ceramiki jest bardzo mały, gdyż liczy zaledwie dziewięć elementów. Dodatkowo są mocno rozdrobnione, gdyż tylko jeden z nich ma bok dłuższy niż 4 cm. W zbiorze tym osiem fragmentów to tzw. ceramika ceglasta – wykonana z dobrze wyrobionej masy ceramicznej z dużą domieszką drobno- i średnioziarnistego piasku, o opracowanej na gładko powierzchni i wypalona w zaawansowanej atmosferze utleniającej. Wśród nich wyróżniono dwa fragmenty krawędzi i sześć fragmentów brzućów. Pierwsza z krawędzi posiada zaokrąglony okap (ryc. 17:1) i pochodzący od naczynia o nieokreślonej formie,

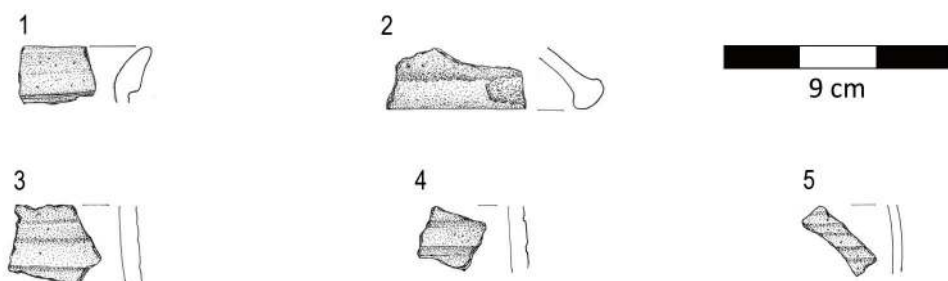
a druga jest ułamkiem pokrywki (ryc. 17:2). Na czterech fragmentach brzućów zaobserwowano zdobienie w postaci poziomych, dookólnych rowków (ryc. 17:3–5). Na żadnym z fragmentów ceramiki ceglastej nie zanotowano śladów szkliwienia. Ceramikę wykonaną w przedstawiony sposób można datować od końca XV wieku, a upowszechnia się ona w XVI wieku¹⁵. Wszystkie znalezione fragmenty znajdująły się w warstwie humusu lub na wtórnym złożu, w warstwie datowanej na XX wiek.

Jeden fragment brzuća został wykonany z masy ceramicznej z dużą domieszką drobno- i średnioziarnistego piasku i tłuczonego kamienia i wypalony w niezaawansowanej atmosferze utleniającej. Jego powierzchnia jest szorstka, bez śladów zagładzania. Ułamek ten nie ma jednak żadnych cech diagnostycznych i określenie jego chronologii bez zaawansowanych analiz nie jest możliwe.

Zabytki wydzielone

Zbiór zabytków wydzielonych liczy 15 elementów, ale prawdopodobnie żaden z nich nie jest związany z funkcjonowaniem grodziska. Wszystkie można datować na koniec XIX wieku i XX wiek. Niemal wszystkie też znaleziono w humusie lub na powierzchni, w warstwie gleby przemieszanej przez zwierzęta. Tylko jeden fragment gwoździa (tabl. 1:4) znaleziono w warstwie podhumusowej, poniżej linii umocnień, ale on też nosi cechy świadczące, że jest współczesny. Tu też warto zaznaczyć, że na zachodnim stoku wyniesienia, poniżej linii umocnień znajduje się stara droga prowadząca w kierunku północnym do dawnego dworcu we wsi Jarzeń. Na poboczach tej drogi znajduje się dużo współczesnych śmieci. Nie można wykluczyć, że śmieci wyrzucano także dalej, już na obszarze grodziska.

¹⁵ Marcinkowski 2013: 245–247.



Ryc. 17. Jarzeń, st. 1. Ceramika (ryc. B. Karch)



Tablica 1. Jarzeń, st. 1. Zabytki wydzielone (fot. W. Weker)

Zamkniętą grupę tworzy 7 fragmentów żelaznych okucí skrzyni (tabl. 1:9–15), które znaleziono przy północnym narożniku W2. Była to najpewniej skrzynia wojskowa z okresu II wojny światowej. W przestrzeni pomiędzy okuciami znajdował się także odłamek (tabl. 1:6) prawdopodobnie pocisku moździerzowego i trzy gwoździe (tabl. 1:2–3, 5).

Oddzielną grupę tworzą trzy zabytki znalezione na powierzchni, na zachodnim stoku od strony drogi. Pierwszy z nich to masywny gwóźdź (tabl. 1:1), o kwadratowym w przekroju ostrzu długości prawie 25 cm. Jego główka jest tylko nieznacznie szersza niż grubość ostrza. Drugi zabytek to żelazny kabłąk wiadra (tabl. 1:7), a trzeci to złamana podkowa (tabl. 1:8). Wszystkie te przedmioty należy wiązać ze współczesnym śmietniskiem, które znajduje się kilka metrów dalej przy nieużywanej już drodze.

Kości

Jedyny znaleziony fragment kości należał do świni. Kość znaleziono w warstwie 4, którą należy wiązać z funkcjonowaniem grodziska. Szczegółowa analiza materiału kostnego z badań realizowanych w ramach omawianego projektu znajduje się w niezależnym opracowaniu¹⁶.

CHRONOLOGIA I DZIEJE GRODZISKA W JARZENIU, ST. 1

RAFAŁ SOLECKI

Forma terenowa omawianego grodziska jest dobrze zachowana – widoczny jest majdan, zagłębienie przywałowe i pojedynczy, pierścieniowaty wał. Wielkość całego stanowiska nie jest znaczna. Licząc po zewnętrznej linii umocnień całe grodzisko ma 7,4 ara powierzchni, a majdan tylko 2,6 ara. Taka forma i wielkość odpowiadają założeniom typu gródek stożkowaty lub nieco młodszym dworom na kopcu¹⁷. Wieś Jarzeń wymieniana jest w dokumentach gospodarczych zakonu krzyżackiego datowanych na pierwszą połowę XV wieku jako *Arnsteyn*, ale brak jest tam wzmianek o jakimkolwiek grodzie lub obronnym dworze¹⁸. Informacja o posiadłości w Jarzeniu podana jest w dokumencie z około 1560 roku. Następnie włości jarzeńskie miały

¹⁶ Szczygieł 2024.

¹⁷ Marciniak-Kajzer 2018: 63.

¹⁸ Thielen 1958: 40–41 (dokumenty 148, 150 i 151).

przejść w posiadanie rodziny von der Gröben około 1730 roku¹⁹. Nie można więc wykluczyć, że budowa nasypu i umocnień została zrealizowana w okresie późniejszym. Tego typu obiekty powstawały bowiem jeszcze w czasach nowożytnych²⁰. Późniejszą chronologię mogą poniekąd potwierdzać tu także pojedyncze znaleziska ceramiki ceglastej, która upowszechnia się w XVI wieku. Zabytki te jednak znaleziono w warstwie humusu, lub na wtórnym złożu i ich rola, jako datownika, może być w tym przypadku wątpliwa.

W tym miejscu warto także zaznaczyć, że przeprowadzone badania archeologiczne potwierdziły, iż widoczne umocnienia zostały wykonane przez człowieka, ale z nasypu wału nie udało się pozyskać żadnego materiału zabytkowego. Warstwa spalenizny odsłonięta w obrębie zagłębienia przywałowego, w drodze analizy radiowęglowej, okazała się być najpewniej śladem po działaniach z czasów II wojny światowej. W granicach przebadanej powierzchni nie wydzielono żadnej warstwy kulturowej, którą ewidentnie można by wiązać z użytkowaniem tego obszaru w okresie wcześniejszym niż współczesność. Być może została ona zniszczona w toku prac ziemnych w trakcie II wojny światowej, ale nie można wykluczyć, że warstwa taka nigdy się nie wytworzyła.

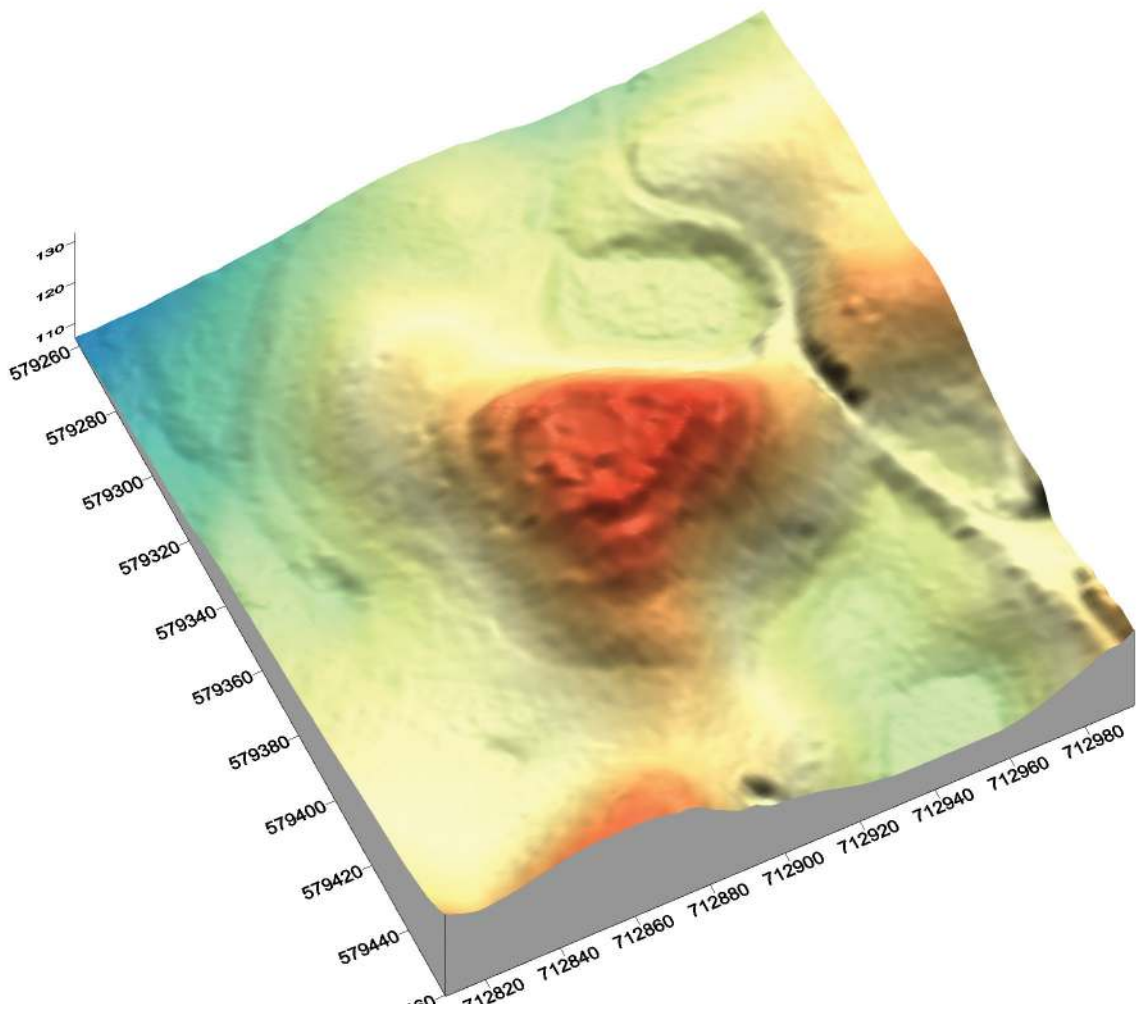
Na obecnym etapie badań należałoby przyjąć hipotezę, że w okresie nowożytnym przeprowadzone zostały prace ziemne mające na celu uformowanie umocnień na szczytce wyniesienia znajdującego się na południe od wsi Jarzeń, tak aby mógł być on bazą dla siedziby szlacheckiej. Przeprowadzone wykopaliska nie wykazały jednak, aby taka siedziba powstała. W odległości około 650 m na północ od umocnionego szczytu zlokalizowany jest park dworski z ruinami po dworze. Założenie to datowane jest na połowę XVIII wieku, ale nie można wykluczyć, że powstało ono w miejscu starszego dworu. Tu więc najpewniej mieszkały rodziny, do których należała wieś Jarzeń, a umocnione wyniesienie byłoby niezrealizowanym projektem. Hipotezę tę będą mogły zweryfikować kolejne badania wykopaliskowe.

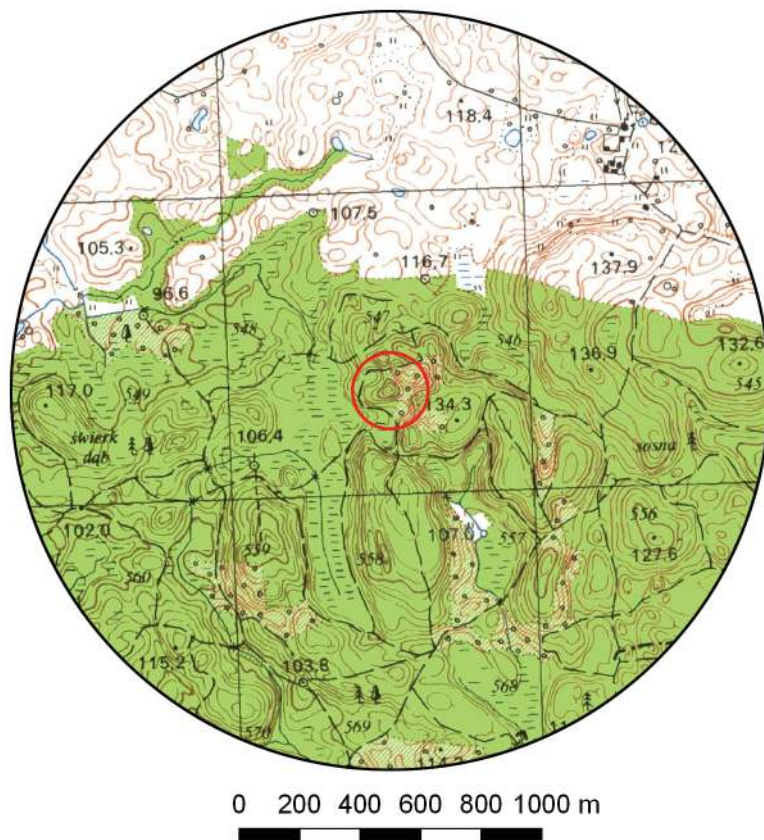
¹⁹ Informacja z teczki „Zespół parkowy Jarzeń, gm. Lelkowo” wchodzącej w skład ewidencji zabytkowych założeń parkowych; autor Jacek Gzowski, 1982 rok. Informacja o miejscowości Jarzeń i rodzinie von der Gröben: Melcher i Melcher 1903: 96–97.

²⁰ Radkowski i Wysocki 2016: 296–297.

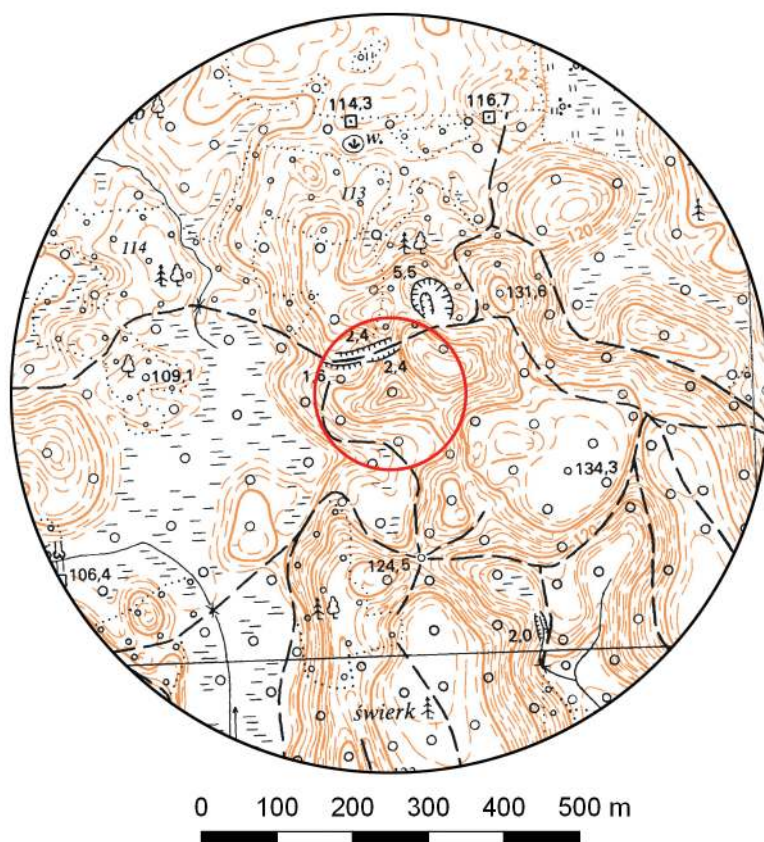
Wilknity, st. 6

Gmina Lelkowo
Powiat braniewski
AZP 13-59/11
Współrzędne geograficzne:
N 54° 16' 26"
E 20° 13' 08"





Ryc. 1. Grodzisko w Wilknitach, st. 6
na mapie w skali 1:25 000
(na podstawie materiałów GUGiK,
oprac. R. Solecki)



Ryc. 2. Grodzisko w Wilknitach, st. 6
na mapie w skali 1:10 000
(na podstawie materiałów GUGiK,
oprac. R. Solecki)

POŁOŻENIE GRODZISKA I JEGO FORMA

RAFAŁ SOLECKI

Grodzisko w Wilknitach, st. 6 nie było do tej pory zewidencjonowane w ramach AZP. Było natomiast znane badaczom niemieckim, którzy jednak nie wiązali go z miejscowością Wilknity, a z obszarem o nazwie *Mehlsacker Stadtheide*, co można tłumaczyć jako łąki miejskie miejscowości Pieniężno. Hans Crome w swym spisie wydanym w 1940 roku opisuje położenie tego stanowiska następująco: „*Burgwall* am *Fichtenberg* bei der Höhe 130,8. 3 km n. Lotterfeld”¹. Podana względem miejscowości Łoźnik (niem. *Lotterfeld*) lokalizacja jest precyzyjna. Tu warto zaznaczyć, że w AZP oznaczony jest „wał obronny” we wsi Łoźnik, skatalogowany pod numerem AZP 14-58/53, który odwołuje się właśnie do opisu H. Cromego, ale sytuuje stanowisko gdzie indziej. Sprostowanie dotyczące tej KESA znajduje się w rozdziale „Łoźnik, st. 6” w niniejszym tomie.

W zbiorze *Prussia-Archiv* w *Staatliche Museen zu Berlin, Museum für Vor- und Frühgeschichte* znajduje się teczka tego grodziska z bardzo dokładnym szkicem (ryc. 3). Wykonano go w trakcie wizytacji grodziska 2 czerwca 1932 roku. W notatce z tej wizytacji jest wzmianka, że stanowisko jest porośnięte lasem, który jest przewidziany do wycięcia za 10 lat. Wydane zostało polecenie, aby podczas

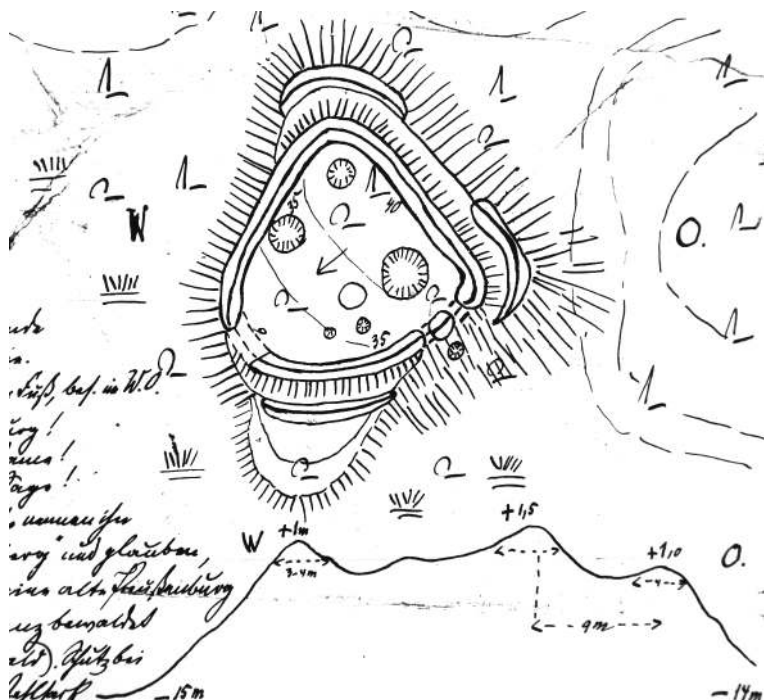
¹ Crome 1940: 85.

wycinki nie usuwać pni, co mogłoby doprowadzić do uszkodzenia warstwy kulturowej². To może sugerować, że grodzisko było przewidziane do przeprowadzenia na nim badań wykopaliskowych.

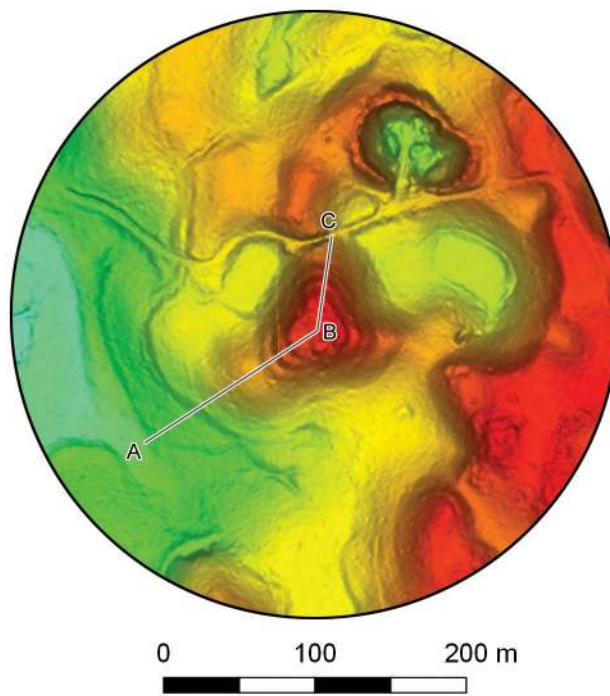
Grodzisko położone jest w odległości 3,5 km na północny wschód od wsi Pajtuny i około 2,7 km na południowy wschód od wsi Wilknity (ryc. 1–2). Administracyjnie grodzisko to znajduje się w obrębie ewidencyjnym Wilknity. Zlokalizowane jest bezpośrednio przy leśnej drodze, która ze wsi Pajtuny prowadziła do starego wyrobiska, gdzie pozyskiwano piasek. Wyrobisko to z kolei znajduje się w zasadzie naprzeciw grodziska. Samo grodzisko zajmuje szczyt niedużego, trójkątnego w podstawie wypiętrzenia, którego najwyższy punkt osiąga poziom około 132,2 m n.p.m. Na zachód od grodziska, u jego podnóża rozcina się obecnie bagnisko, które w przeszłości mogło być niedużym jeziorem. Obecnie poziom tych mokradeł znajduje się na wysokości około 105,4 m n.p.m. Na wschód od grodziska znajduje się pas niewielkich wzgórz.

Majdan grodziska ma powierzchnię 7,3 ara i jest silnie zniszczony, prawdopodobnie w wyniku grabieżczego wybierania piasku. Jest także nieznacznie nachylony w kierunku południowo-zachodnim. Wał okalający majdan – wał I – widoczny jest najlepiej od strony północnej i wschodniej, a na

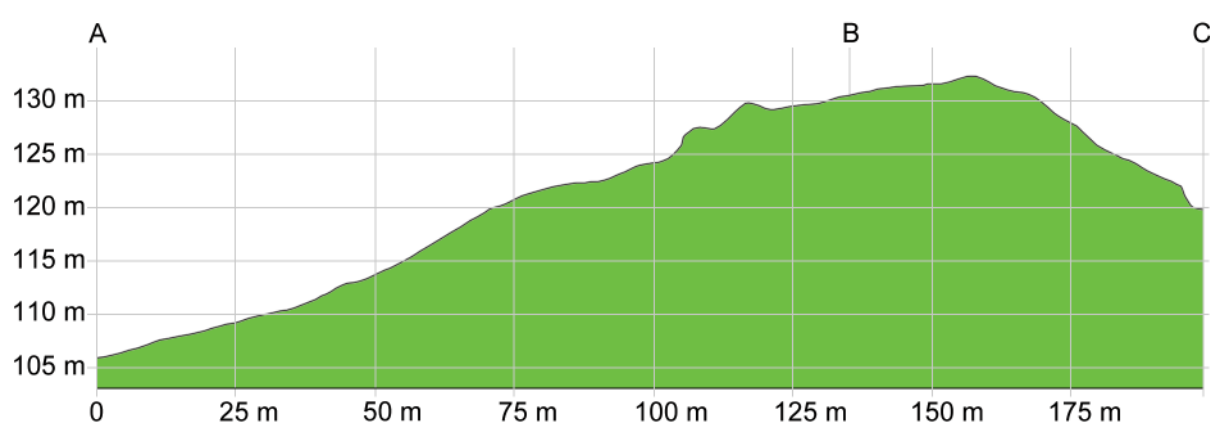
² Materiały z teczki znajdującej się w archiwum *Staatliche Museen zu Berlin, Museum für Vor- und Frühgeschichte* (PM-A 1384/1).



Ryc. 3. Wilknity, st. 6. Szkic grodziska wykonany 2 czerwca 1932 roku (źródło: *Staatliche Museen zu Berlin, Museum für Vor- und Frühgeschichte*, PM-A 1384/1)



Ryc. 4. Grodzisko w Wilknitach, st. 6 na zobrazowaniu ALS (na podstawie materiałów GUGiK, oprac. R. Solecki)



Ryc. 5. Przekrój grodziska w Wilknitach, st. 6 uzyskany z danych ALS (na podstawie materiałów GUGiK, oprac. R. Solecki)

pozostałej krawędzi ostały się jedynie krótkie odcinki. Obwód tego wału mógł wynosić około 112 m. Obecnie jego szerokość u podstawy ma do 6,3 m, a wysokość do 0,7 m. Poniżej wału I widoczne są jeszcze dwa kolejne wały, tworzące pierścienie wokół majdanu, na coraz niżej położonych tarasach. Wał II ma długość 166 m, a w najlepiej zachowanym odcinku jego szerokość u podstawy ma 3,8 m przy wysokości 0,3 m. Wał III ma długość 208 m, a w najlepiej zachowanym odcinku jego szerokość u podstawy ma 1,5 m przy wysokości 0,2 m. Powierzchnia całego stanowiska mierzona po zewnętrznej krawędzi wału III wynosi około 47,2 ara.

Obecnie cały obszar stanowiska jest silnie porośnięty (ryc. 6). Na majdanie dominują gatunki iglaste, głównie świerk. Na stokach gatunki liściaste: dąb i olsza. Z tego względu duża część stanowiska nie jest w ogóle dostępna dla prowadzenia badań.

ŚRODOWISKO FIZYCZNOGEOGRAFICZNE ANNA LEJZEROWICZ

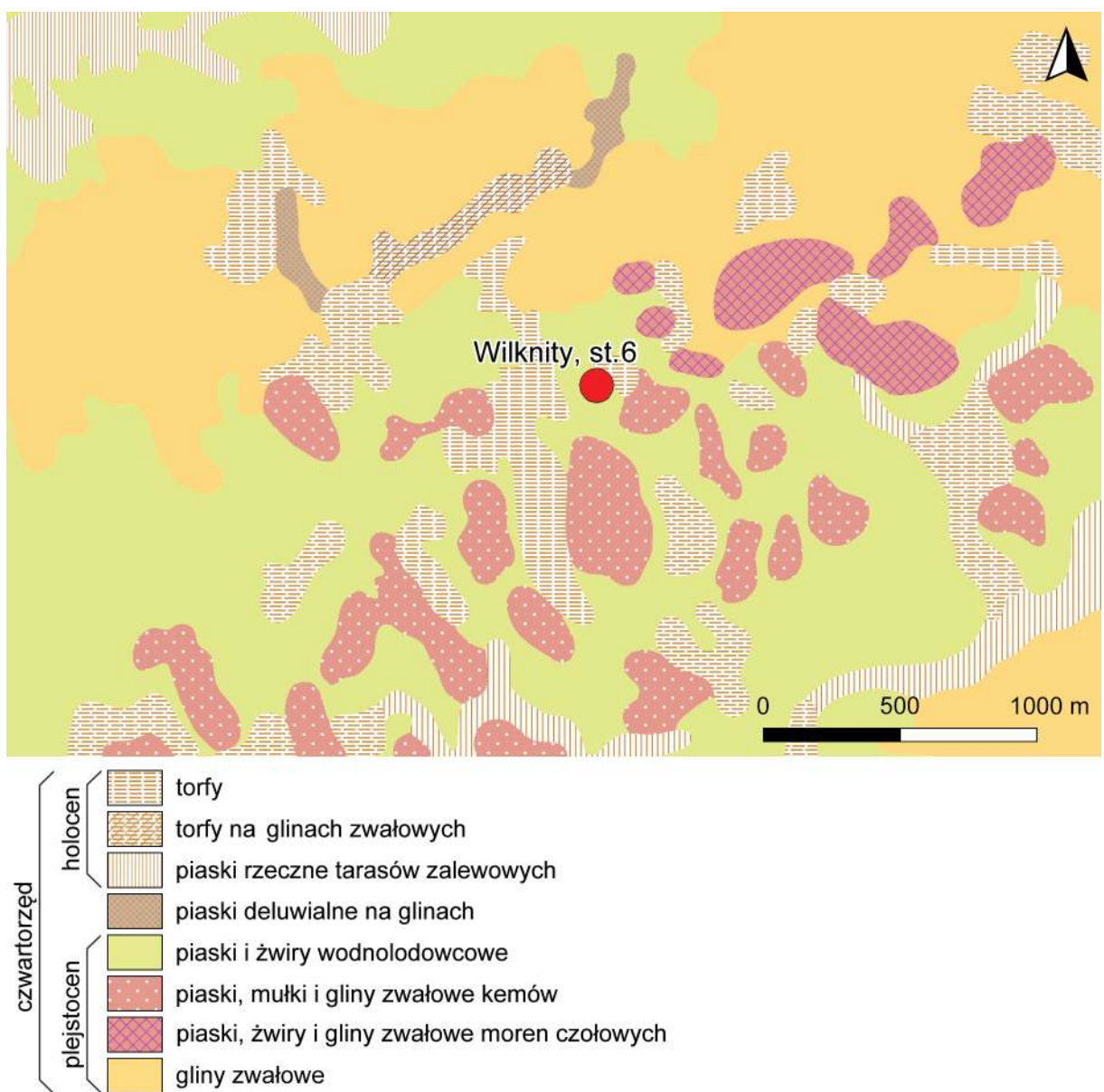
Według podziału fizycznogeograficznego Polski Jerzego Kondrackiego grodzisko w Wilknitach znajduje się w mezoregionie Wzniesienia Górowskie³. Położone jest na obszarze równiny sandrowej i wodnolodowcowej, a przylega do niego obszar zagębenia powstałego po martwym lodzie i wypełnione jest obecnie torfami. Miąższość osadów sandrowych – piasków i żwirów wodnolodowcowych – przeważnie jest tu mniejsza niż 5 m, a jedynie lokalnie przekracza 10 m⁴. Grodzisko zajmuje szczyt wzniesienia o wysokości dochodzącej do około 20 m ponad otaczający teren. Jego stoki są strome, a szczyt stosunkowo płaski.

³ Kondracki 2002: 99–102.

⁴ Rabek i Młyńczak 2002.



Ryc. 6. Wilknity, st. 6. Widok w kierunku południowym na wał I od wschodniej. Po stronie prawej majdan, po lewej stok wyniesienia (fot. R. Solecki)



Ryc. 7. Wycinek arkusza Szczegółowej Mapy Geologicznej Polski z zaznaczonym stanowiskiem w Wilknitach, st. 6 (źródło:
www.cbdgmapa.pgi.gov.pl/arcgis/services/kartografia/smgp50k/MapServer/WMServer, oprac. R. Solecki)

Według *Szczegółowej Mapy Geologicznej Polski* w skali 1:50 000 na obszarze stanowiska występują piaski i żwiry wodnolodowcowe (ryc. 7). Według *Mapy Geologicznej Polski* w skali 1: 500 000 jest to obszar występowania glin zwałowych, ich zwierzelin oraz piasków i żwirów lodowcowych. Według *Mapy Litogenetycznej Polski* w skali 1:50 000 występują tu piaski żwirowate pochodzenia wodnolodowcowego.

Na obszarze grodziska wykonano cztery wiercenia sondą ręczną do maksymalnej głębokości 2 m w celu rozpoznania budowy geologicznej. Na podstawie wykonanych odwiertów stworzony został schematyczny przekrój geologiczny przez stanowisko (ryc. 8). W wierceniach zaobserwowano występowanie przede wszystkim osadów piaszczystych. Osady te charakteryzują się częstą obecnością związków żelaza (rude zabarwienie). Osady piaszczyste to piaski drobnoziarniste oraz piaski pylaste i ilaste. Lokalnie osady piaszczyste zawierają domieszkę frakcji żwirowej. Szczegółowa litologia jest widoczna oraz została opisana na poszczególnych profilach wierceń (ryc. 9)

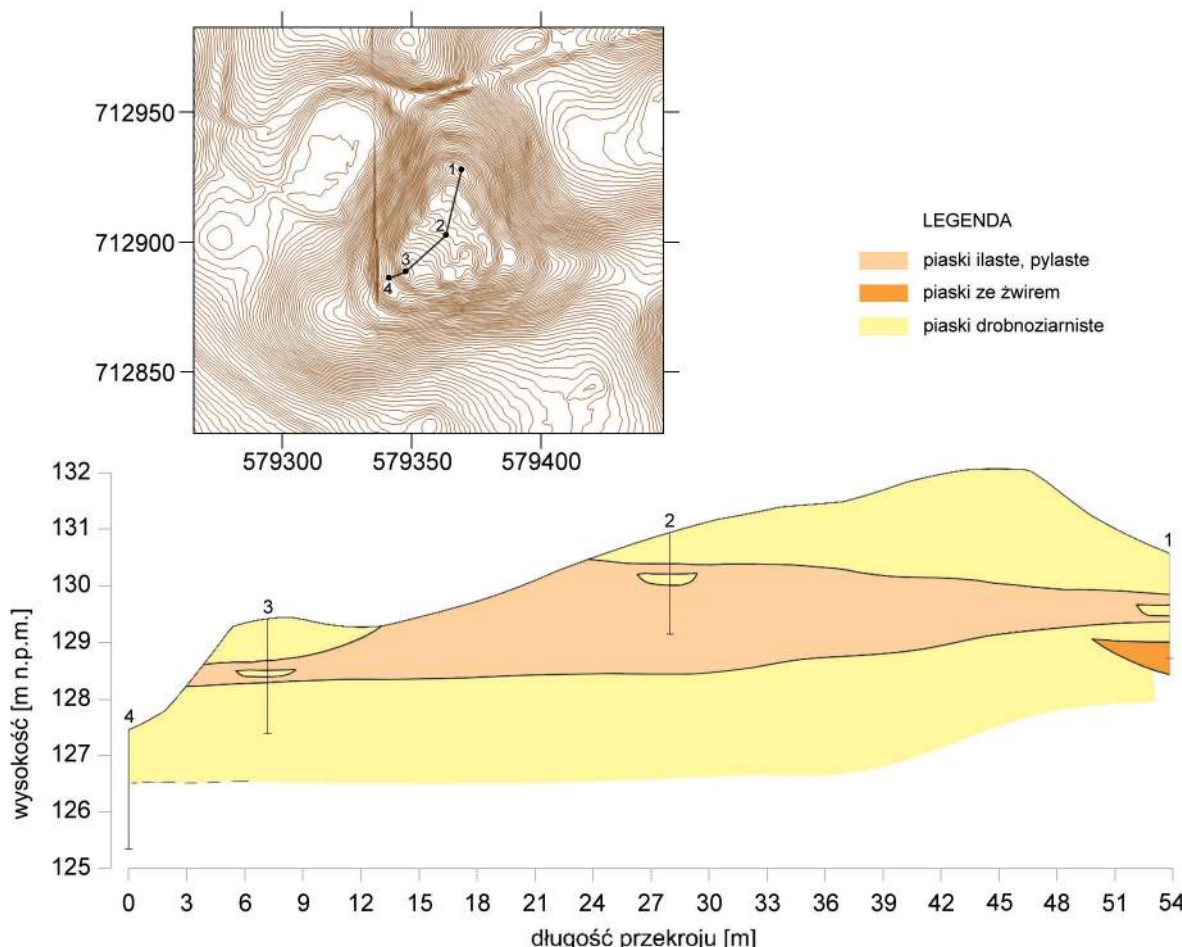
BADANIA ARCHEOLOGICZNE

RAFAŁ SOLECKI

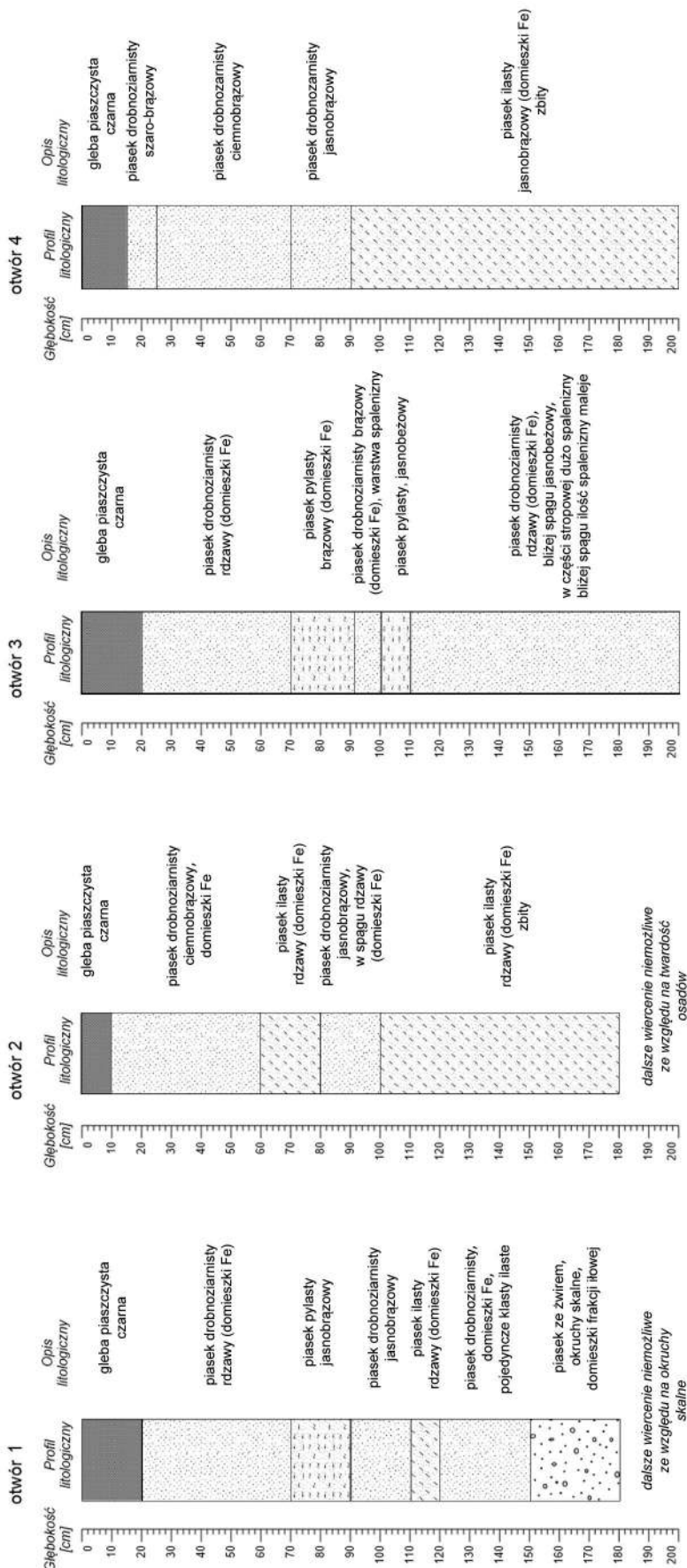
Przebieg badań terenowych

Weryfikację stanowiska w terenie przeprowadzono wiosną, a badania latem 2021 roku. Miejsce do przeprowadzenia badań wykopaliskowych było bardzo ograniczone ze względu na zniszczenie majdanu grodziska i znaczne zalesienie całego wyniesienia. Jednym z niewielu dogodnych miejsc była południowo-wschodnia część grodziska, pomiędzy wałem I i II, gdzie już na powierzchni zanotowano pojedyncze fragmenty ceramiki.

Wykop badawczy W1 o wymiarach $1,5 \times 7$ m wytyczono na osi zblizionej do wschód-zachód, pomiędzy osiami wałów I i II, dzięki czemu możliwe było jeszcze rozpoznanie tarasu I położonego poniżej plateau majdanu (ryc. 10). W toku badań wykonano docinkę o wymiarach $1 \times 1,5$ m w północno-wschodniej części W1, żeby rozpoznać odkrytą tam, kamienną konstrukcję. W ten sposób powierzchnia W1 powiększyła się do 12 m^2 .



Ryc. 8. Schematyczny przekrój geologiczny przez grodzisko w Wilknitach, st. 6 (oprac. A. Lejzerowicz)



Ryc. 9. Profile litologiczne odwiertów wykonanych na obszarze grodziska w Wilkniatach, st. 6 (oprac. A. Lejzerowicz)

Stratygrafia stanowiska

W trakcie omawianych badań archeologicznych wydzielono łącznie 20 jednostek stratygraficznych (tabela 1). Możliwe było ich rozdzielenie pomiędzy warstwy naturalne i trzy fazy związane z dziejami tego stanowiska. Diagram Harrisa dla wydzielonych jednostek stratygraficznych przedstawia ryc. 11, a zado- kumentowane powierzchnie ryc. 12–15.

Warstwy naturalne

W trakcie badań jako jednostkę naturalną zidentyfikowano zwarty piasek z żelazistymi wytrąceniami 17. Najwyższy zanotowany punkt naturalnego podłoża geologicznego znajdował się przy szczytce wału I i osiągał poziom 131,2 m n.p.m.

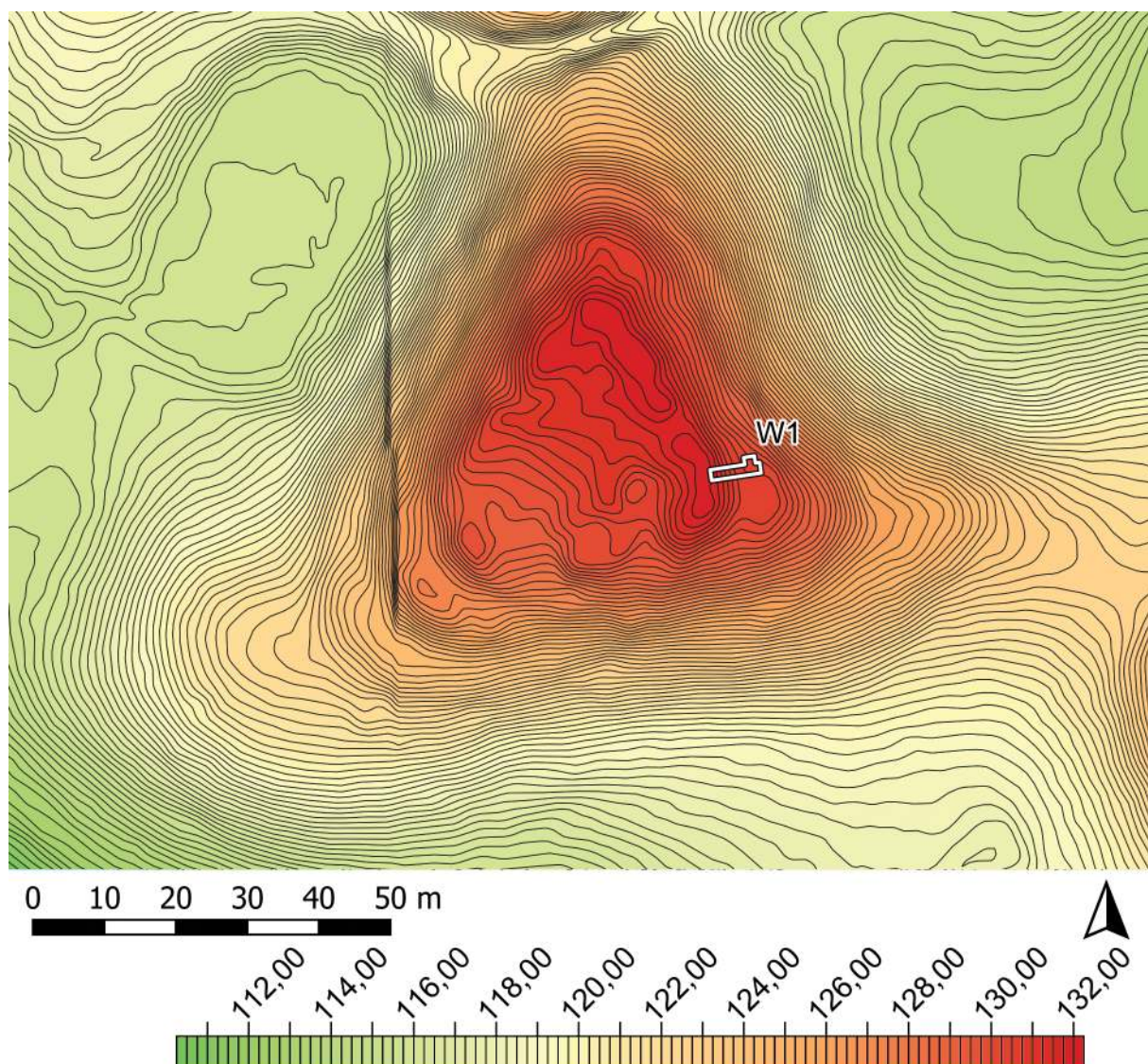
Faza I

Faza ta wyznacza okres związany z budową umocnień i użytkowaniem osiedla we wcze-

snej epoce żelaza. Fazę tę można podzielić na dwie podfazy IA i IB, które wyróżniają się na- stępstwem stratygraficznym przypisanych do nich jednostek, ale występujący w nich mate- riał zabytkowy nosi te same cechy technolo- giczne i morfologiczne. Modernizacja, czytel- na zwłaszcza w nadsypaniu wału I, wynikała być może z cech podłoża – jest to sypki pia- sek, który szybko ulega procesom erozyjnym.

Podfazę IA wyznaczają w pierwszej kolej- ności warstwy związane z budową umocnień. Nasyp wału I, wyznaczającego majdan, tworzy piasek 11 z domieszką materii organicznej i licznymi drobinami węgli drzewnych. Miąższość tej warstwy dochodzi obecnie do 35 cm. Nasyp wału II, wyznaczającego ze- wnętrzną krawędź tarasu I, tworzy luźny pia- sek 6 z pojedynczymi drobinami węgli drzew- nych, którego miąższość jest jeszcze mniejsza, gdyż dochodzi zaledwie do 15 cm.

Pomiędzy stokiem wału I i wałem II zado-



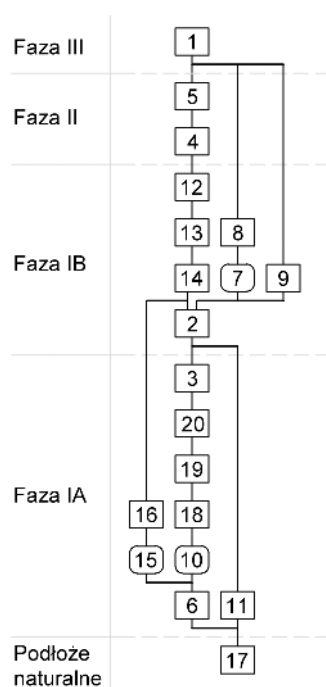
Ryc. 10. Wilknity, st. 6. Plan grodziska z naniesionym wykopem archeologicznym (oprac. R. Solecki)

kumentowano duże, nieregularne, nieckowane zagłębienie 10, którego szerokość dochodziła do 400 cm, a głębokość do 40 cm. W jego granicach wydzielono żwarty piasek 19 z drobinami węgli drzewnych i piasek 20 z niewielką domieszką materii organicznej i pojedynczymi drobinami węgli drzewnych. Stratygraficznie pomiędzy nimi znajdowały się soczewki piasku 18 z dużą domieszką węgli drzewnych. Przy krawędzi obiektu od strony wału II odnotowano ovalny w planie, U-kształtny w przekroju wкоп 15 średnicy 15–35 cm i głębokości do 30 cm, którego wypeniskiem był drobnoziarnisty piasek 16 z domieszką materii organicznej. To dół posłupowy. Na krawędzi obiektu od strony stoku wału I odnotowano duże kamienie średnicy do nawet 50 cm. Obiekt 10 jest prawdopodobnie reliktem domostwa, które funkcjonowało na tarasie, poniżej majdanu. Wyszło ono z użycia być może w wyniku obsunięcia się nawarstwień ze szczytu wału I. Pozostałością tego zdarzenia byłby luźny, drobnoziarnisty piasek 3 z żelazistymi wytrąceniami, który widoczny jest na stoku wału I oraz ponad nawarstwieniami związanymi z obiektem 10. Chronologię obiektu 10 ustaloną na podstawie analizy radiowęglowej. Próbę węgla do analizy pobrano z warstwy 18. Wynik tej analizy dał po kalibracji przedział lat 377–178 p.n.e. z prawdopodobieństwem 95,4%⁵.

⁵ Analiza przeprowadzona w Poznańskim Laboratorium Radiowęglowym, próba nr Poz-149696.

W trakcie podfazy IB nadrysano wał I za pomocą piasku 2 o frakcji od drobno- do gruboziarnistej z domieszką materii organicznej. Miąższość tego nasypu dochodzi obecnie do 50 cm. Jego szczyt dodatkowo zabezpieczono układając luźny bruk 9 ułożony z kamieni o średnicy do 50 cm. Przy szczytowaniu wału I zadokumentowano też ovalny w planie, V-kształtny w przekroju wkop średnicy 40–60 cm i głębokość do 40 cm, którego wypełniskiem był przemieszany piasek 8 z domieszką materii organicznej. Obiekt ten to najpewniej dół posłupowy.

Warstwą użytkową z tego okresu jest piasek 14 z domieszką materii organicznej, z żelazistymi wytrąceniami i licznymi, luźnymi kamieniami o średnicy do 10 cm. Jego obecność odnotowano zarówno na szczytowaniu wału I, stoku i powierzchni tarasu I. Należy odnotować, że na powierzchni tarasu I, ponad warstwą 14 zadokumentowano kamienie 12 średnicy do 30 cm ułożone w kształt litery „C” o szerokości do około 100 cm. Wokół i poniżej tej konstrukcji wydzielono soczewkę piasku 13 z domieszką materii organicznej i pojedynczymi drobinami węgli drzewnych, której miąższość dochodziła do 30 cm. Taki układ kamieni 12 sugeruje, że mogło być to wydzielanie miejsca pod ognisko, ale ilość spalenizny w warstwie 13 nie jest, aż tak znaczna. Większe ilości znalezione w stratygraficznie starszej warstwie 18. To mogło być zatem wydzielanie miejsca pod inną formę działalności.



Ryc. 11. Wilknity, st. 6. Diagram relacji stratygraficznych (oprac. R. Solecki)

Faza II

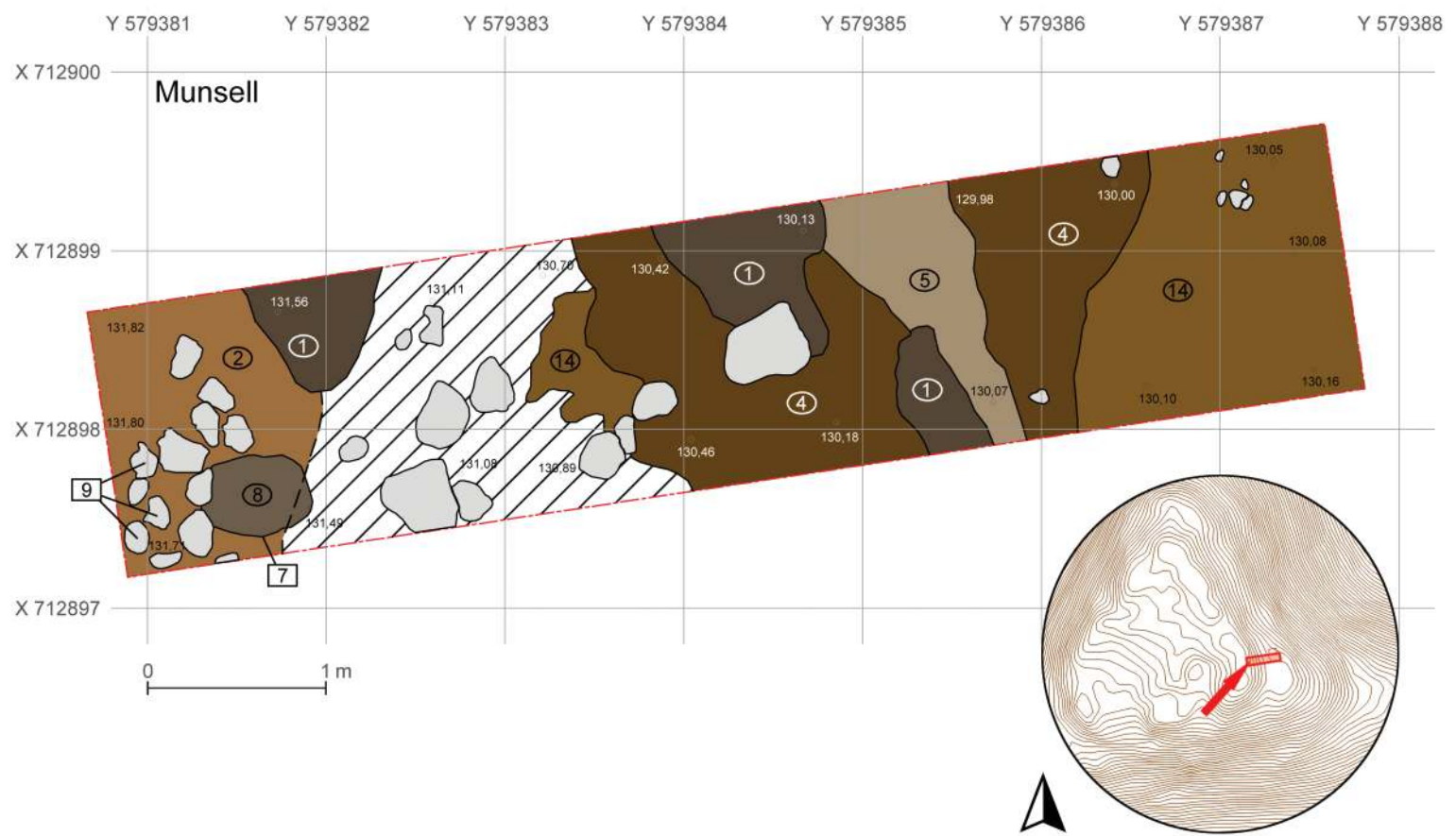
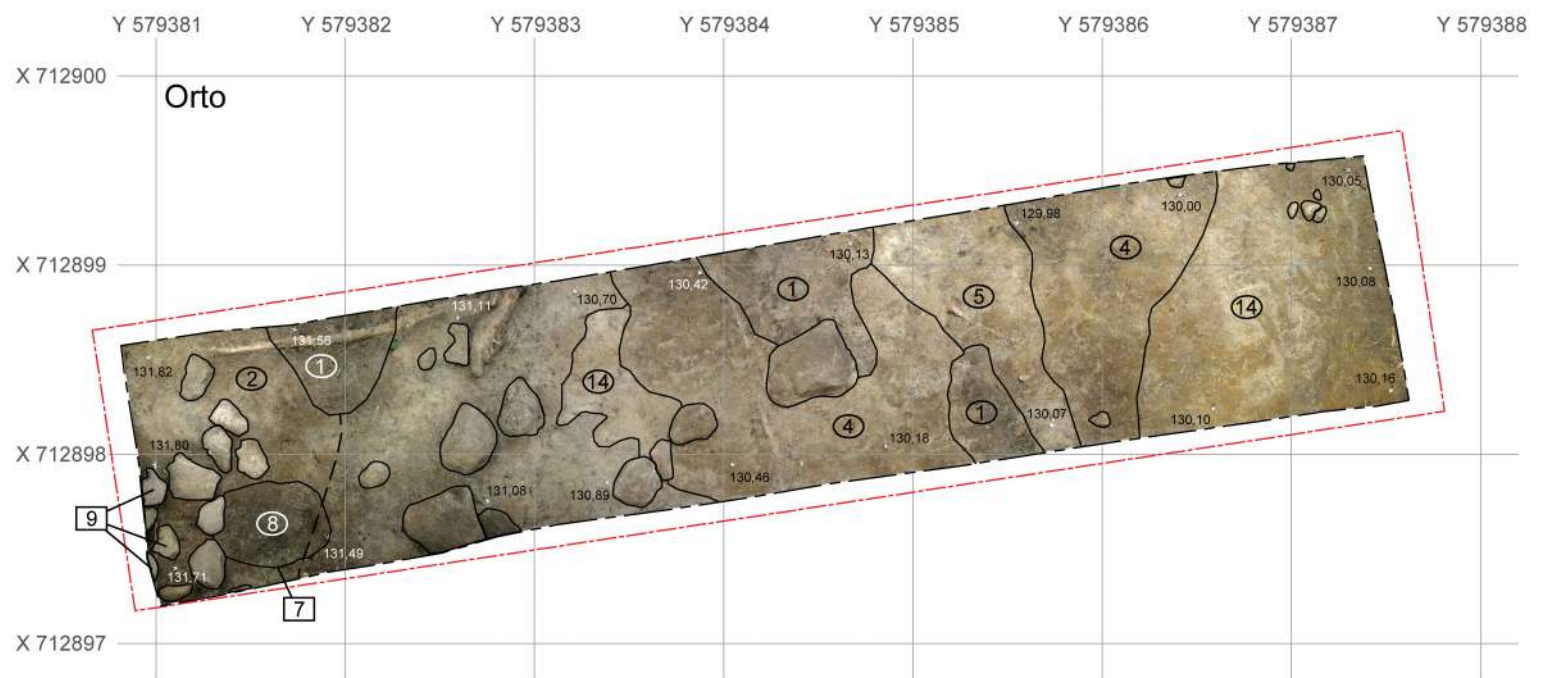
Faza ta wyznacza okres po opuszczeniu stanowiska, kiedy jego obszar był stopniowo niszczyły w wyniku działania procesów erozyjnych. Z okresem tym należy łączyć luźny piasek 4 z domieszką materii organicznej wydzielony na stoku wału I i na tarasie I oraz zlegający ponad nim luźny piasek 5 z pojedynczymi drobinami węgli drzewnych, w obrębie którego rozpoczął się już proces bielicowania. W materiale zabytkowym nie znaleziono zabytków o chronologii innej niż wcześniejsza, co może oznaczać, że faza ta trwała aż do czasów współczesnych.

Faza III

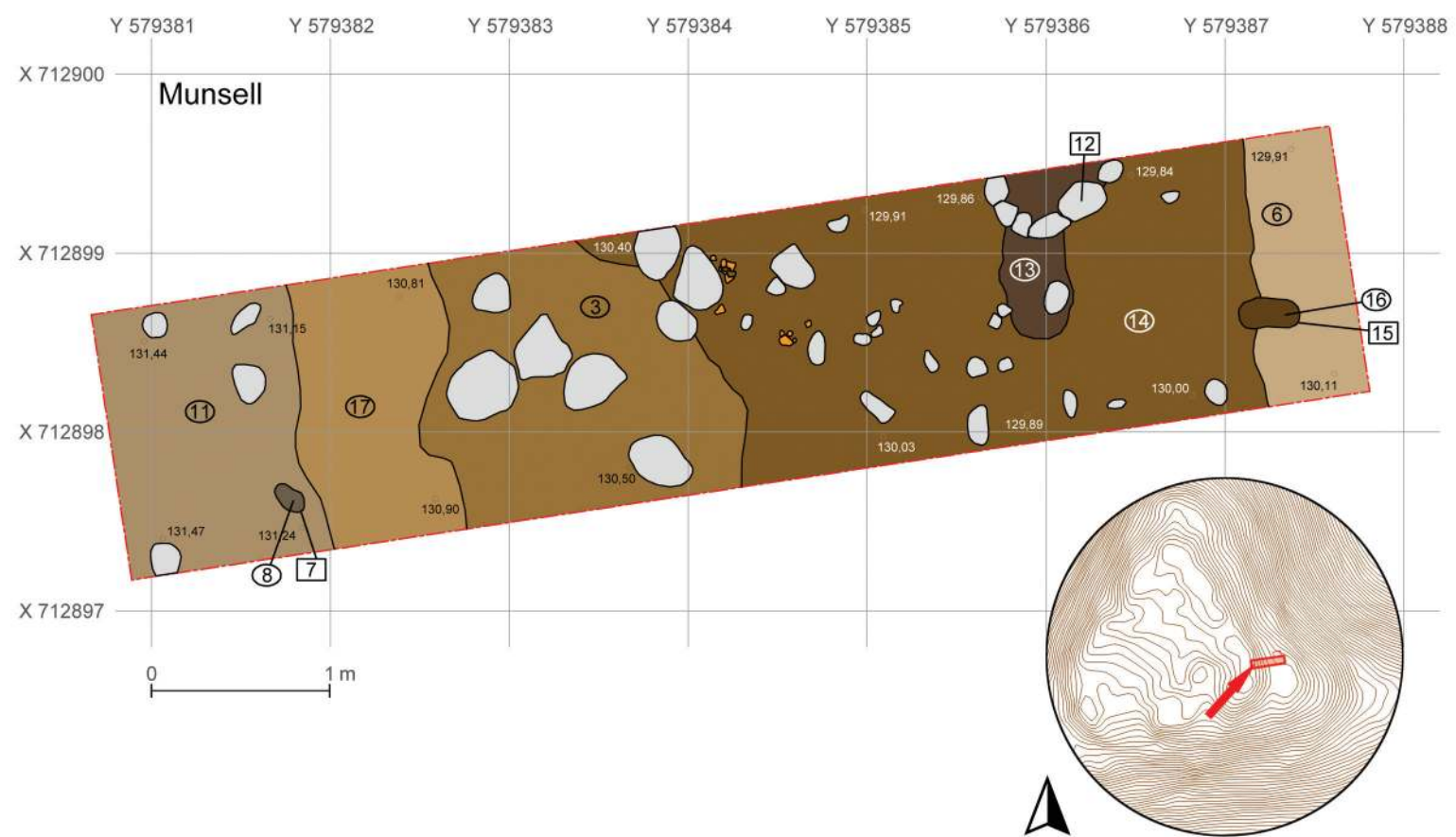
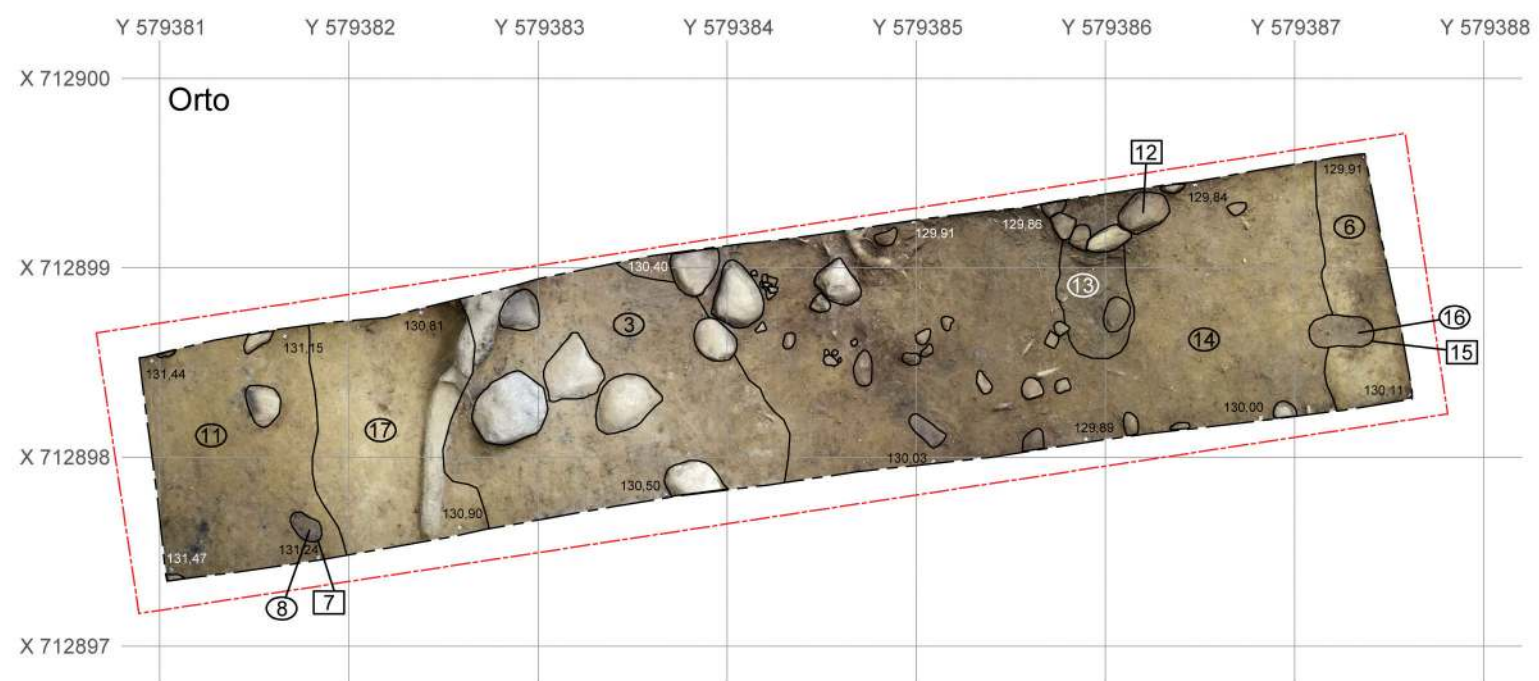
Faza ta wyznacza współczesny poziom użytkowy stanowiska. Warstwa przypisana do tej fazy to piasek 1 z bardzo dużą domieszką materii organicznej – poziom dzisiejszego humusu leśnego.

Tabela 1. Wilknity, st. 6. Katalog warstw i obiektów oraz ich zależności stratygraficznych (oprac. R. Solecki)

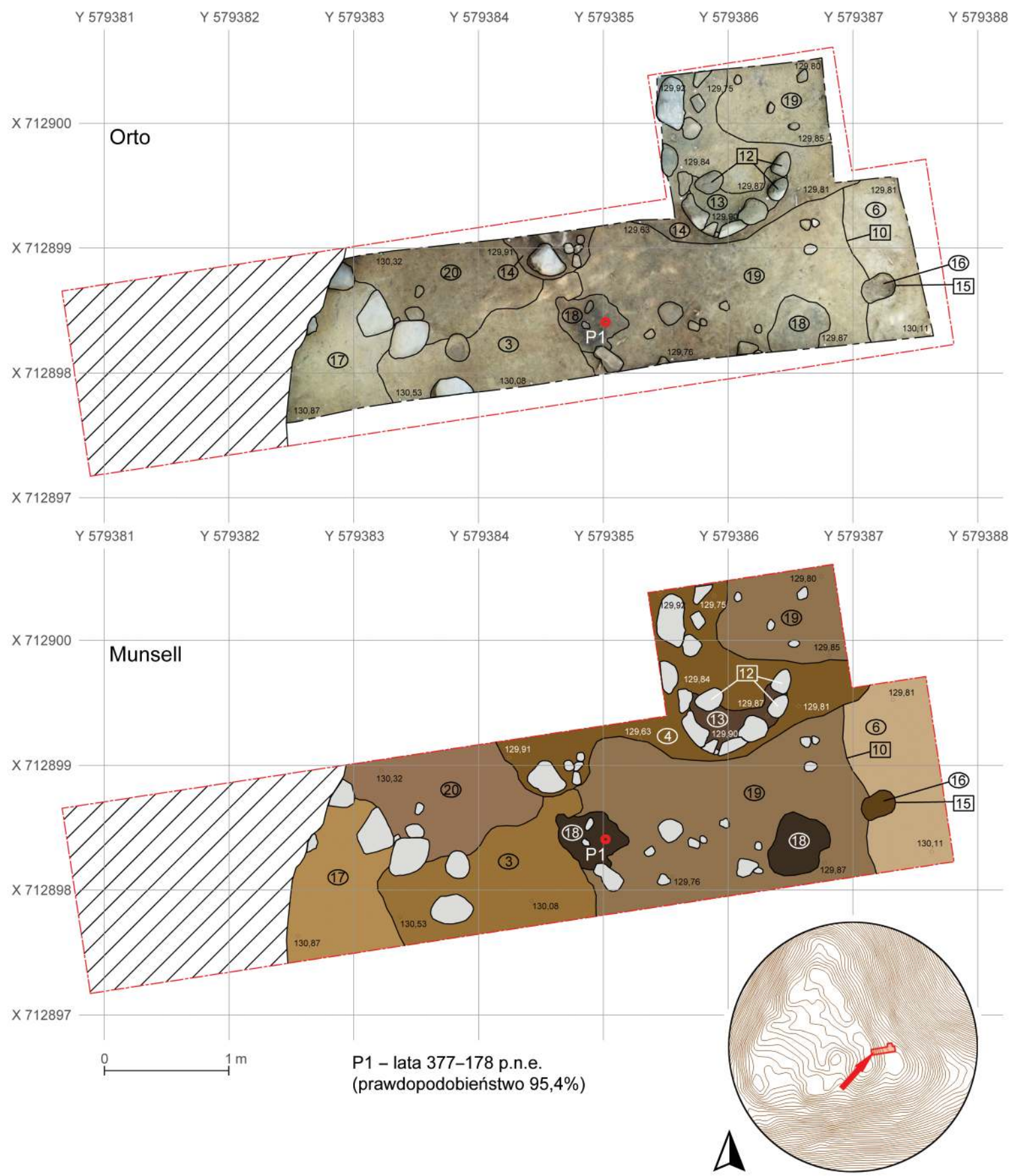
Numer jednostki	Numer obiektu	Numer wykopu	Polozenie w obrębie stanowiska	Współrzędne geodezyjne (PUWG 1992)	Opis jednostki stratygraficznej	Barwa (Munsell)	Pozycja stratygraficzna	
							Zdaje się pod	Znajduje się nad
1	-	1, 2	Caly obszar stanowiska	X=712897,1-712900,6; Y=579380,6-579387,9	Piasek z bardzo dużą domieszką materii organicznej; miąższość do 20 cm; humus leśny	10YR 3/2	-	2, 4, 5, 8, 9, 14
2	-	1	Wał I	X=712897,1-712899,1; Y=579380,6-579383,1	Piasek o frakcji od drobno- do gruboziarnistej z domieszką materii organicznej; miąższość do 50 cm; nasyp wału I	7.5YR 5/6	1, 4, 9, 14	3, 11
3	-	1	Stok wału I	X=712897,2-712899,1; Y=579381,5-579385,2	Luźny, drobnoziarnisty piasek z żelazistymi wytrąceniami; miąższość do 25 cm; poziom użytkowy na stoku wału I	10YR 5/6	2, 4, 14	17, 18, 19
4	-	1	Wał I, stok wału I, taras I, wał II	X=712897,5-712900,6; Y=579382,6-579387,9	Luźny piasek z domieszką materii organicznej; miąższość do 20 cm; warstwa erozyjna	10YR 3/6	1, 5	2, 3, 12, 13, 14
5	-	1, 2	Wał I, stok wału I, taras I	X=712897,4-712900,6; Y=579382,1-579387,2	Luźny piasek z pojedynczymi drobinami węgli drzewnych; miąższość do 15 cm; zblielicowana warstwa erozyjna	10YR 6/3	1	4, 14
6	-	1	Wał II	X=712898,0-712900,6; Y=579386,3-579387,9	Luźny piasek z pojedynczymi drobinami węgli drzewnych; miąższość do 15 cm; nasyp wału II	10YR 7/4	4, 10, 14, 15, 16, 19	17
7	7	1	Wał I	X=712897,3-712897,9; Y=579381,2-579381,9	Wkrop, owalny w planie, V-kształtny w przekroju; średnica 40–60 cm, głębokość do 40 cm; dółek postupowy	-	8	2
8	7	1	Wał I	X=712897,3-712897,9; Y=579381,2-579381,9	Przemieszany piasek z domieszką materii organicznej; wypełnisko obiektu 7	10YR 4/2	1	7
9	-	1	Wał I	X=712897,1-712899,1; Y=579380,6-579383,1	Luźny bruk ułożony z kamieni o średnicy do 50 cm; umocnienie szczytu wału I	-	1	2
10	10	1, 2	Wał I, stok wału I, taras I	X=712897,5-712900,6; Y=579382,8-579387,2	Nieregularne, nieckowe zagłębianie u podnóża stoku wału I i w obrębie tarasu I; szerokość do 400 cm, głębokość do 40 cm; obiekt mieszkalny	-	3, 18, 19, 20	6, 17
11	-	1	Wał I	X=712897,1-712898,8; Y=579380,6-579382,2	Piasek z domieszką materii organicznej i licznymi drobinami węgli drzewnych; miąższość do 35 cm; nasyp wału I	10YR 6/4	2	17
12	-	1, 2	Taras I	X=712899,0-712899,8; Y=579385,5-579386,6	Kamienie o średnicy do 30 cm ułożone w kształt litery C o szerokości do 100 cm; wydzielenie przestrzeni	-	4	13, 14
13	-	1, 2	Taras I	X=712898,5-712899,8; Y=579385,5-579386,6	Soczewka piasku z domieszką materii organicznej i pojedynczymi drobinami węgli drzewnych; miąższość do 30 cm; warstwa związana z konstrukcją 12	7.5 YR 3/3	4, 12	14
14	-	1, 2	Taras I	X=712897,3-712900,6; Y=579380,6-579387,6	Piasek z domieszką materii organicznej, z żelazistymi wytrąceniami i licznymi, luźnymi kamieniami o średnicy do 10 cm; miąższość do 25 cm; poziom użytkowy	10YR 4/6	1, 4, 12, 13	2, 3, 6, 18, 19, 20
15	15	1	Wał II	X=712898,5-712898,8; Y=579387,0-579387,5	Wkrop, owalny w planie, U-kształtny w przekroju; średnica 15–35 cm, głębokość do 30 cm; dółek postupowy	-	16	6
16	15	1	Wał II	X=712898,5-712898,8; Y=579387,0-579387,5	Drobnoziarnisty piasek z domieszką materii organicznej; wypełnisko obiektu 15	10YR 3/6	14	6, 15
17	-	1, 2	Caly obszar stanowiska	X=712897,1-712900,6; Y=579380,6-579387,9	Zwarty piasek z żelazistymi wytrąceniami; podłoże naturalne	10YR 6/6	3, 6, 10, 11, 19, 20	-
18	10	1	Taras I	X=712897,5-712900,6; Y=579382,8-579387,2	Piasek z dużą domieszką węgli drzewnych; miąższość do 10 cm; wypełnisko obiektu 10	10YR 2/2	3, 14, 20	19
19	10	1, 2	Taras I	X=712897,5-712900,6; Y=579382,8-579387,2	Zwarty piasek z drobinami węgli drzewnych; miąższość do 30 cm; wypełnisko obiektu 10	10YR 5/4	3, 14, 18, 20	6, 10, 17
20	10	1, 2	Taras I	X=712897,5-712900,6; Y=579382,8-579387,2	Piasek z niewielką domieszką materii organicznej i pojedynczymi drobinami węgli drzewnych; miąższość do 25 cm; wypełnisko obiektu 10	7.5YR 5/4	3, 14	10, 17, 18, 20



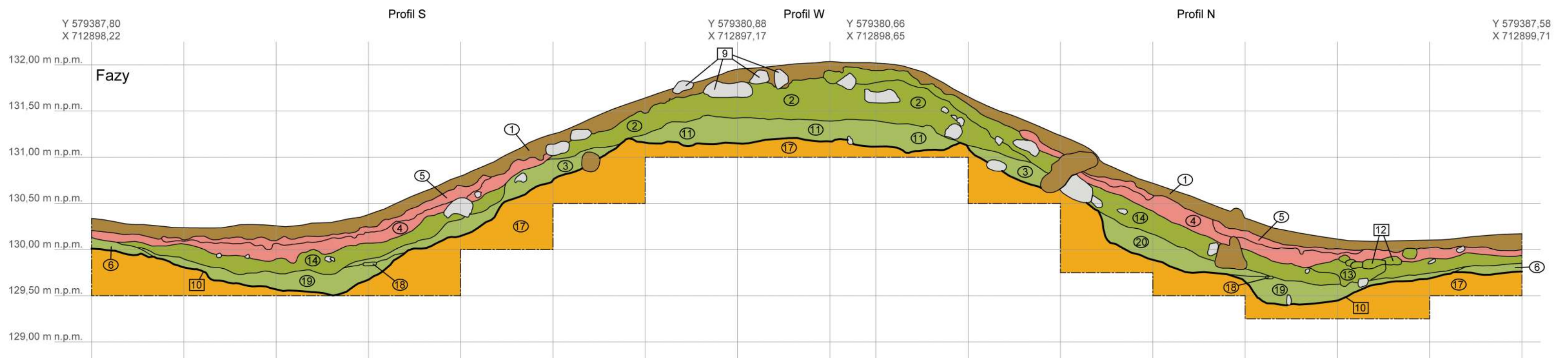
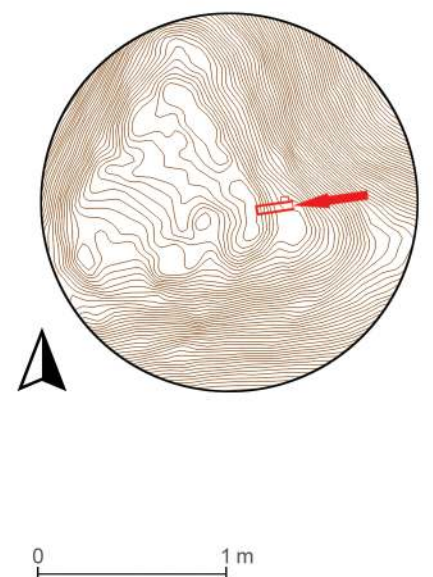
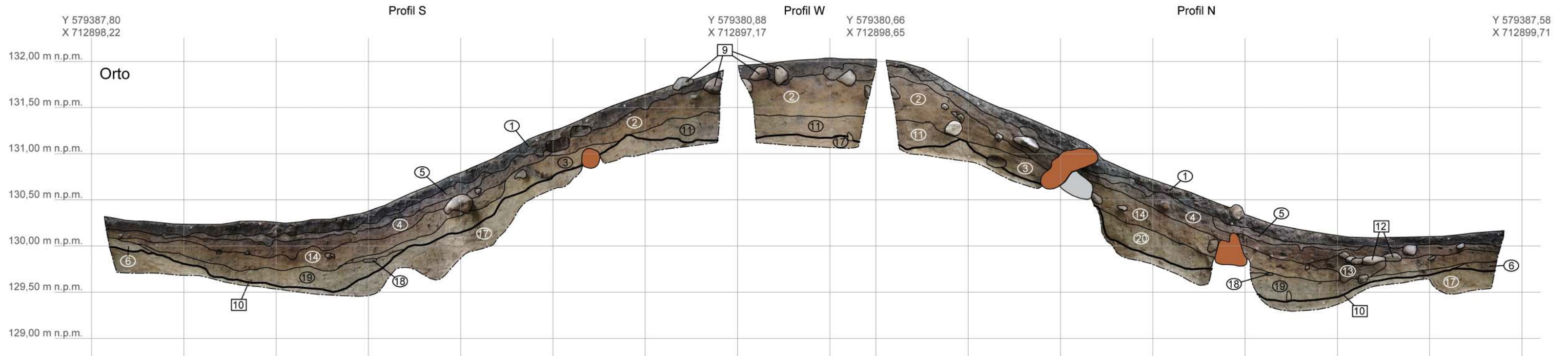
Ryc. 12. Wilknity, st. 6. Stratygrafia nawarstwień w obrębie wału I, tarasu I i wału II - wykop 1, plan 1 (oprac. R. Solecki)



Ryc. 13. Wilknity, st. 6. Stratygrafia nawarstwień w obrębie wału I, tarasu I i wału II - wykop 1, plan 2 (oprac. R. Solecki)



Ryc. 14. Wilknity, st. 6. Stratygrafia nawarstwień w obrębie wału I, tarasu I i wału II - wykop 1, plan 3 (oprac. R. Solecki)



Faza III
Faza II
Faza IB
Faza IA
Warstwy naturalne

Ryc. 15. Wilknity, st. 6. Stratygrafia nawarstwień w obrębie wału I, tarasu I i wału II - wykop 1 (oprac. R. Solecki)

ZNALEZISKA

RAFAŁ SOLECKI

Materiał zabytkowy pozyskany podczas badań archeologicznych grodziska w Wilknitach, st. 6 to wyłącznie fragmenty naczyń ceramicznych (tablica 1–3).

Ceramika

W trakcie badań pozyskano 352 fragmenty ceramiki (tabela 2 i 3). Ich stan zachowania był dość zły – większość stanowiły fragmenty małe, których największy wymiar mieścił się w przedziale 1–4 cm (274 fragmenty; 77,8% zbioru). Stosując klasyfikację stanu zachowania powierzchni i krawędzi zaproponowaną przez Andrzeja Buko 3 fragmenty (0,8% zbioru) przypisano do kategorii III (ceramika mocno zerodowana), 132 fragmenty (37,5% zbioru) do kategorii II (ceramika zerodowana w średnim stopniu) i 217 fragmentów (61,7% zbioru) do kategorii I (ceramika nie wykazująca większego zniszczenia powierzchni). Do kategorii 0 (ceramika bez śladów zniszczenia) nie zakwalifikowano ani jednego fragmentu¹⁵. Dlatego też 62 fragmenty (17,6% zbioru) określono jako niediagnostyczne.

Zbiór fragmentów ceramiki posiadającej jakiekolwiek cechy diagnostyczne liczy 290 sztuk i reprezentuje generalnie jedną grupę technologiczno-surowcową. Pomimo, że fragmenty te pozyskano z różnych faz użytkowych stanowiska – fazy IA, IB, II i III – to nie zanotowano wśród nich różnic, które wskazywałyby na rozwój form. Możliwe jest jednak we wnętrzu poszeregowanie tego zbioru, biorąc jako kryterium sposób opracowania powierzchni zewnętrznej. Naczynia wykonane były ze słabo wyrobionej masy ceramicznej z dość dużą ilością drobnej, średniej i grubej domieszki schudzającej – piasku i drobin starego granitu. Powierzchnia zewnętrzna 86 fragmentów była chropowacona (29,6% zbioru), 86 była szorstka (29,6% zbioru), 97 była gładka (33,5% zbioru), a na 21 zanotowano ślady wyściecania (7,3% zbioru). Powierzchnia wewnętrzna była gładka, ze śladami za gladzania. Grubość ścianek wahała się w zakresie 3–15 mm. Średnia grubość dla ścianek chropowaconych wynosiła 7,4 mm, dla ścianek szorstkich 7,1 mm, dla ścianek gładkich 6,4 mm, a dla ścianek wyściecanych 5,9 mm. Naczynia wypalane były w niezaawansowa-

nej technologii utleniającej, co dawało ich ścianom barwę niejednorodną, różniąą się w obrębie jednego naczynia, od pomarańczowej, przez brązową i szarą, do brunatnej.

W analizowanym zbiorze znalazło się 70 fragmentów wylewów, 218 brzusów i 2 dna. Ze względu na znaczne rozdrobnienie materiału, tylko w kilkunastu przypadkach możliwe było prawdopodobne określenie formy naczyń. W analizie tej korzystano z klasyfikacji zaproponowanej przez Łucję Okulicz dla ceramiki kultury kurhanów zachodniobałtyjskich¹⁶. Najliczniejszą grupę tworzą ułamki mis (typ VI), kubków (typ VIII) lub czarek (typ X). W zespole tym można wydzielić kilka sposobów opracowywania krawędzi: pogrubiona (tabl. 1:1; tabl. 2:4), pogrubiona i wysunięta do wnętrza (tabl. 1:2, 9–10; tabl. 2:1–3), pogrubiona i wysunięta na zewnątrz (tabl. 1:16–17), niewyodrębniona, tej samej grubości co ścianka (tabl. 1:3–4, 11–14; tabl. 2:5–10; tabl. 3:11). Na 4 fragmentach znajdowały się pozostałości o uchwytych. W 3 przypadkach były to ucha o otworze średnicy około 2–5 cm, wykonane z owalnej w przekroju taśmy łączącej krawędź wylewu i brzusiec (tabl. 2:11–13). Taka forma jest dość popularna i znana z wielu stanowisk kultury kurhanów zachodniobałtyjskich – z osiedla obronnego w Stańkowie, pow. kwidzyński, którego starsza faza datowana jest na IV-II wiek p.n.e.¹⁷, z osiedla obronnego w Starym Dzierzgoniu, pow. sztumski, z nawarstwień fazy datowanej na okres lateński¹⁸, z osiedla obronnego w Wińcu, pow. ostródzki datowanego na około IV-III wiek p.n.e.¹⁹, z osiedla obronnego w Starym Folwarku, st. 1, pow. iławski, datowanego na IV-III w. p.n.e.²⁰ Raz było to plastyczne skrzydełko w kształcie półkolistej falbanki o szerokości około 1,5 cm wyprowadzone z krawędzi wylewu (tabl. 1:15). Taka forma uchwytu jest nieco rzadziej spotykana, ale przykład znany jest między innymi ze wspomnianego wcześniej stanowiska w Wińcu²¹ i z osiedla obronnego w Tątławkach, st. 2,

¹⁶ Okulicz 1970: 24–35.

¹⁷ Rabiega *et al.* 2021: 38–40, ryc. 15:5.

¹⁸ Antoniewicz 1964: 46–78, tabl. VIII:e, tabl. IX: j, k–ł, o.

¹⁹ Solecki 2022b: 121–127, tabl. 3:7.

²⁰ Chojnacka-Banaszkiewicz 2017a: 160–168, tabl. 10:16, tabl. 22:3, tabl. 23:1; Chojnacka-Banaszkiewicz 2017b: 193.

²¹ Solecki 2022b: 121–127, tabl. 3:2.

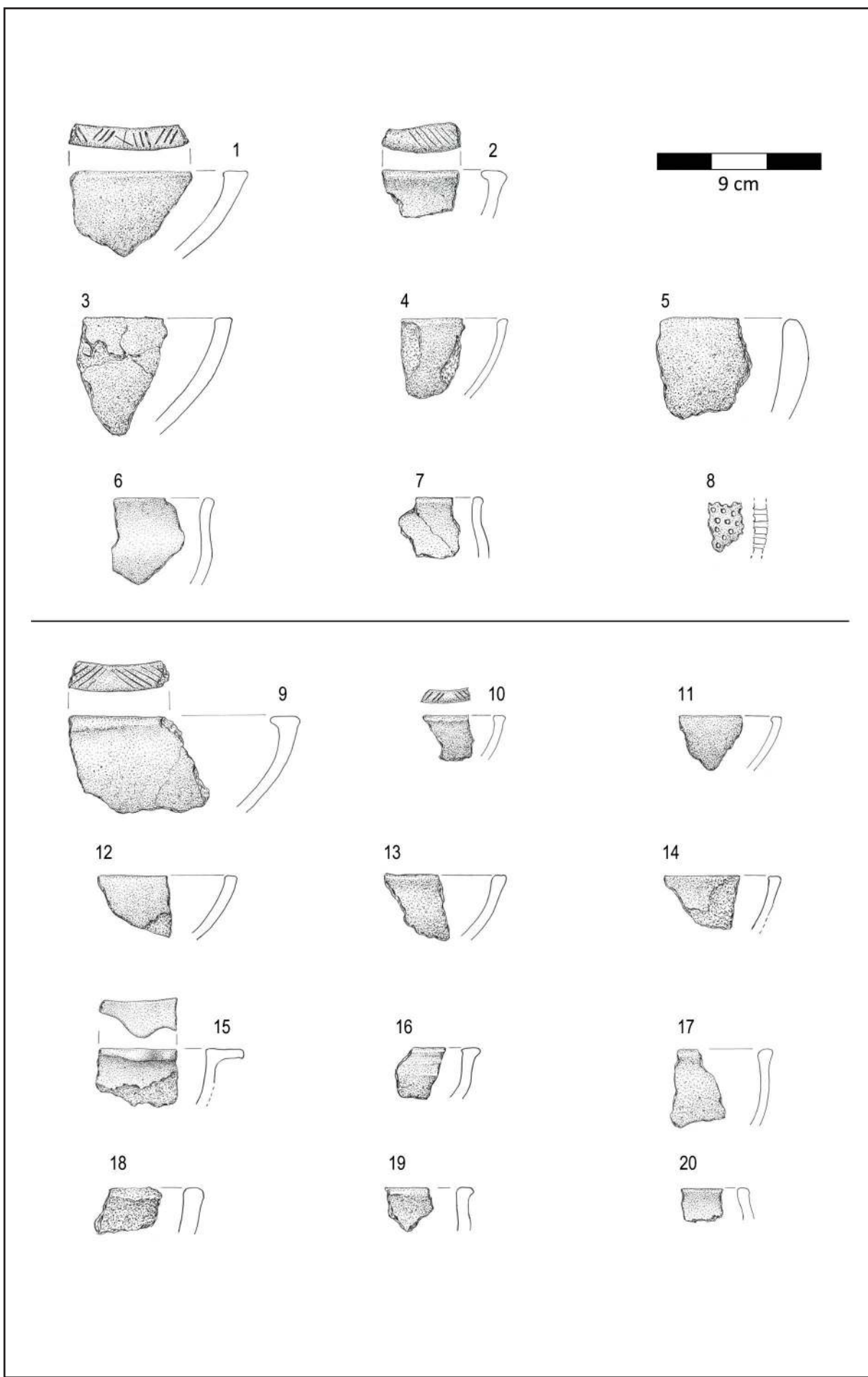
¹⁵ Buko 1990: 352.

Tabela 2. Zestawienie ilościowe fragmentów ceramiki z grodziska w Wilkniatach, st. 6 (oprac. R. Solecki)

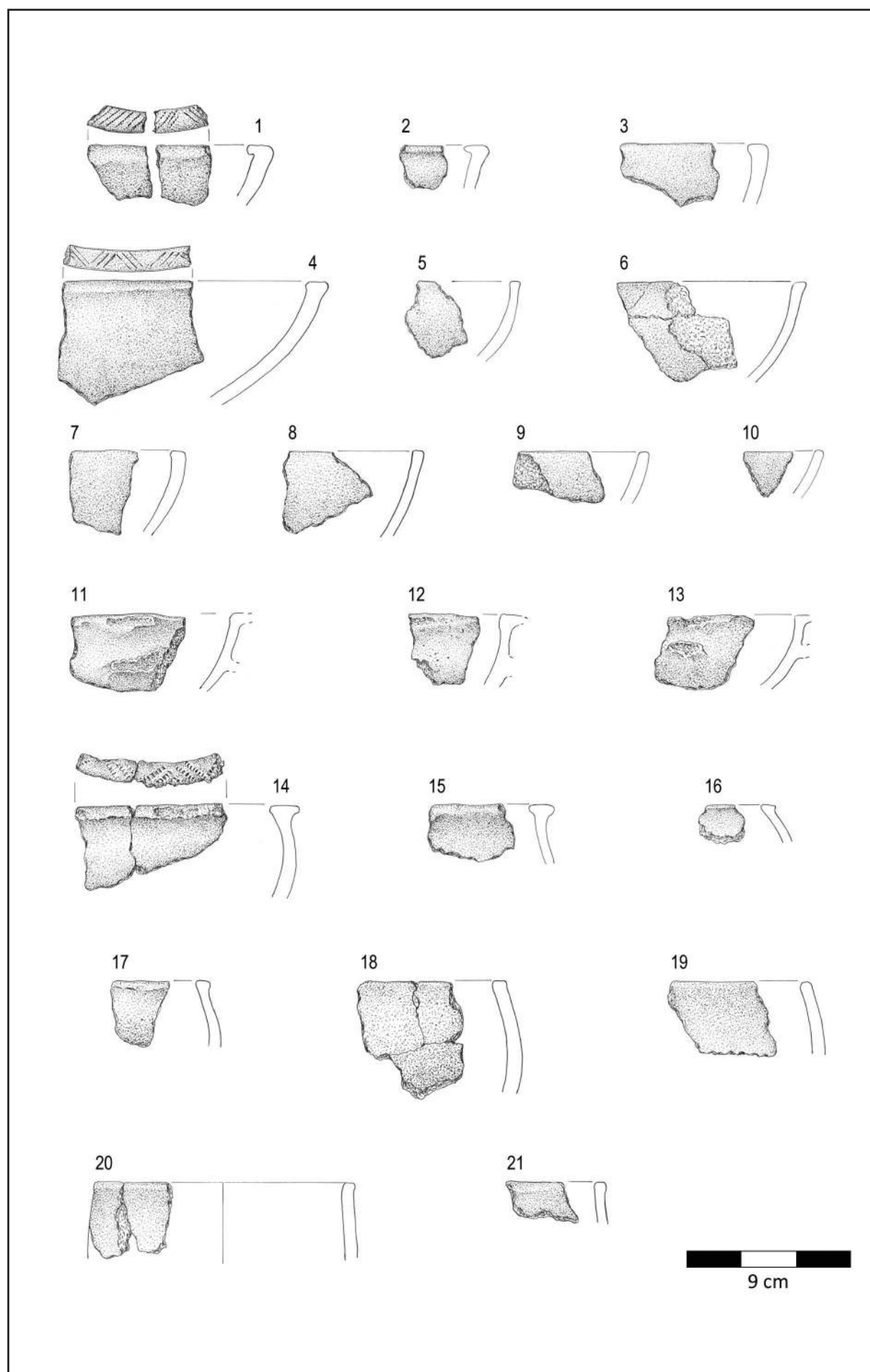
Faza	Jednostka stratygraficzna	Liczba różnych naczyń	Liczba fragmentów łącznie	Liczba fragmentów	SEN (procent obwodu)	Ornamentowane	Szyjki	Liczba fr. ogółem	Chropowaciaone	Gładkie	Wyświecane	Szorstkie	Ornamentowane	Ucha	Części przydenne			Liczba fragmentów	SEN (procent obwodu)	Wkleśle	Płaskie	Kuliste	Rodzaj powierzchni	Brzusze	Wylewy	Faza	Technologia					
															Wczesna Epoka Żelaza	Nieokreślone	Rodzaj															
IA	3	2	2	2	2			2		1	1	1															2					
IA	6	43	19	13	62	3		30	10	13	6	13	1														36	7				
IA	18	2	2					2	1			1															1	2				
IA	19	2	1					2		2																		2				
IA	20	7	3	1	2			4		4	3																6	1				
IB	2	6	4					6	1		5																6					
IB	13	7	2					7	2		2	3															2	3	4			
IB	14	68	11	17	73	1		51	19	22	7	20														5	54	14				
II	4	176	47	45	204	5		131	43	70	8	47	8	2												11	8	151				
II	5	18	4	4	14			14	3	3	12	1														4	15	3				
III	1	21	11	3	13			18	7	8	6															17	4					
Suma	352	106	83	368	9			267	86	123	21	110	12	3												2	30	2	14	21	290	62

Tabela 3. Fragmentacja i erozja fragmentów ceramiki z grodziska w Wilkniatach, st. 6 (oprac. R. Solecki)

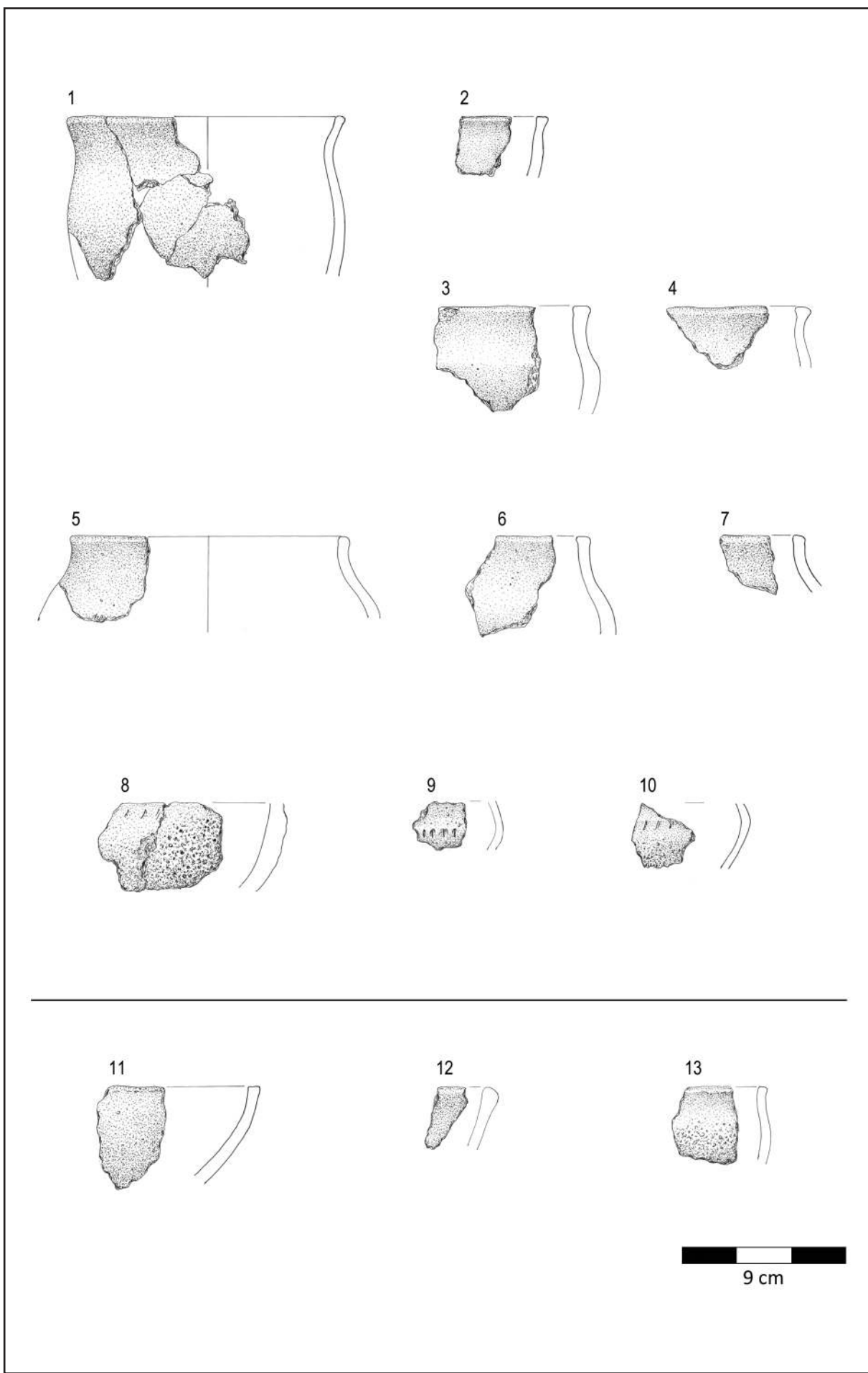
Faza	Jedn. strat.	Kategorie wielkościowe (cm)										Stopień erozji						Suma	
		1	2	3	4	5	6	7	8	9	10	0	1	II	III				
IA	3		2														2	2	
IA	6		10	17	9	4	2	1								33	10	43	
IA	18					1		1								1	1	2	
IA	19		1	1												2			
IA	20		1		2		1	1	2							1	6	7	
IB	2		2		3		1									5	1	6	
IB	13		3	2	2											3	4	7	
IB	14		12	23	17	10	5	1								47	21	68	
II	4	1	29	48	54	24	11	6	1	1						99	75	2	
II	5		4	9	2	2	1									13	5	18	
III	1		3	9	8	1										13	8	21	
Suma	1	65	111	97	42	21	10	3	1	1						217	132	3	352



Tablica 1. Wilknity, st. 6. Ceramika: 1–8) z fazy IA, 9–20) z fazy IB (rys. B. Karch)



Tablica 2. Wilknity, st. 6. Ceramika z fazy II (rys. B. Karch)



Tablica 3. Wilknity, st. 6. Ceramika: 1–10) z fazy II, 11–13) z fazy III (rys. B. Karch)

pow. ostródzki, także datowanego na IV–III wiek p.n.e.²²

Na siedmiu fragmentach wylewów mis/czarek odnotowano zdobienie krawędzi wylewu za pomocą nacinanych skośnie karbów układających się w grupy. Taka dekoracja jest znana z naczyń znalezionych w oddalonym o około 30 km na północ cmentarzysku w Mamowie (niem. *Heiligenbeil*)²³ i oddalonym o 45 km na północ osiedlu obronnym w Uszakowie (niem. *Brandenburg*)²⁴. Oba te stanowiska mają chronologię wcześniejszą i znajdują się obecnie w Obwodzie Kaliningradzkim. Nieco dalej, ale w Polsce, podobnie zdobiona ceramika była znaleziona na osiedlu obronnym we wsi Łęcze, pow. elblaski, które datowane jest od schyłku okresu halsztackiego i obejmuje wcześnie fazy okresu lateńskiego²⁵.

Kolejną formą są naczynia jajowate (typ I) wg typologii Ł. Okulicz²⁶. Parafrując opis badaczki – są to naczynia szerokootworowe, bez wydzielonej szyjki, o największej wydłużności brzuśca wypadającej mniej więcej w połowie wysokości i często z kulistym dnem. W grupie tej wydzielono fragmenty o niepogrubionej krawędzi wylewu (tabl. 2:16–21), pogrubionej (tabl. 1:5) oraz pogrubionej i spłaszczonej od góry (tabl. 2:14–15). Na jednym z fragmentów z pogrubionym i spłaszczonym wylewem, odnotowano zdobienie krawędzi za pomocą skośnych linii podobnych do tych z mis/kubków/czarek, ale wykonanych za pomocą nakłuć. Naczynie o podobnie dekorowanej krawędzi znaleziono w nawarstwieniach starszej, wcześniejszej fazy użytkowej osiedla obronnego w Podągach, pow. elblaski²⁷.

Ostatnią formą są naczynia o krótkiej, słabo zaakcentowanej szyjce, które można zakwalifikować jako naczynia baniaste (typ IV) wg typologii Ł. Okulicz. W grupie tej można zastosować podział uwzględniający kąt wychylenia krawędzi – naczynia z krawędzią wylewu delikatnie wychyloną na zewnątrz (tabl. 1:6–7; tabl. 3:1–4) i naczynia z krawędzią wylewu uformowaną niemal pionowo (tabl. 3:5–7, 13). Naczynia o takiej formie badaczka

uważa za jedną z form przewodniczych grupy II, którą datuje na wczesny okres lateński²⁸.

W analizowanym zbiorze znalazły się tylko 3 fragmenty brzuśca zdobione poziomym pasem załuskań/nacięć na największej wydłużności brzuśca (tabl. 3:8–10). Taka forma dekoracji jest częsta w kulturze kurhanów zachodniobałtyjskich, a na niektórych formach naczyń jest cechą charakterystyczną, na przykład na naczyniach baniastych, które Carl Engel określił jako typ Zalewo²⁹.

Ostatnim charakterystycznym znaleziskiem jest ułamek naczynia sitowatego (tabl. 1:8). Naczynia tego typu występują dość powszechnie na osiedlach kultury kurhanów zachodniobałtyjskich, nie tylko tych zlokalizowanych na lądzie – m.in. w Tarławkach, pow. węgorzewski³⁰, Podągach, pow. elblaski³¹, Strużynie, pow. ostródzki, st. 21³² i st. 24³³ – ale również nawodnych – w Mołtajnach, pow. kętrzyński i Pieczarkach, pow. węgorzewski³⁴.

CHRONOLOGIA I DZIEJE GRODZISKA W WILKNITACH, ST. 6

RAFAŁ SOLECKI

Informacja o tym, że w okolicy wsi Wilknity znajduje się grodzisko, była znana od 2. połowy XIX wieku, ale jego położenie przez długi czas było błędnie oznaczone. Dopiero przeprowadzona w 2021 roku weryfikacja potwierdziła, gdzie się ono faktycznie znajduje.

W toku badań wykopaliskowych udało się ustalić, że widoczne jeszcze na powierzchni umocnienia w postaci majdanu otoczonego wałem i znajdujących się poniżej niego dwóch tarasów ze szczątkowo zachowanymi wałami, powstały we wcześniej epoce żelaza. Układ nawarstwień sugeruje, że w okresie tym wytworzyły się dwa kolejne poziomy użytkowe, ale były one najpewniej wynikiem rozwoju lub modernizacji grodziska niż jego zniszczeń i odbudowy. Próba węgla pobrana z nawarstwień stratygraficznie starszej podfazy została poddana analizie radiowęglowej. Jej wynik dał po kalibracji prze-

²² Kobylińska 2017a: 123, tabl. 3:11; Kobylińska, Solecki i Wysocki 2017: 135.

²³ Hoffmann 1999: 93–94, 250.

²⁴ Hoffmann 1999: 178, 250.

²⁵ Dąbrowski 1960: 270–272, tabl. LXVII: 12.

²⁶ Okulicz 1970: 24–35.

²⁷ Kobylińska 2017d: 451–453, tabl. 1:9.

²⁸ Okulicz 1970: 33–34.

²⁹ Okulicz 1973: 271.

³⁰ Purowski 2008: 349–350.

³¹ Kobylińska 2017d: 451–456, tabl. 3:3.

³² Rutyna 2017: 82–83, tabl. 1:8.

³³ Solecki 2017a: 103–104, tabl. 1:17.

³⁴ Gackowski 2000: 66.

dział lat 377–178 p.n.e. z prawdopodobieństwem 95,4%³⁵. Okres ten odpowiada szacunkowo przełomowi faz wczesno- i śródkowolateńskiej (La Tène A/B – La Tène C). W okresie tym na omawianym obszarze zamieszkiwała ludność kultury kurhanów zachodnio-bałtyjskich. Pozyskany w trakcie wykopalisk materiał ceramiczny nosi cechy diagnostyczne charakterystyczne dla tej kultury archeologicznej. Co ciekawe, o ile formy naczyń analogiczne są do tych powszechnie występujących na osiedlach obronnych z obszaru Pojezierza Iławskiego, to sposób dekorowania krawędzi wylewu bliższy jest osiedlom obronnym położonym wzdłuż Zalewu Wiślanego. Tu też warto wspomnieć, że liczba pozyskanych fragmentów ceramiki jest znaczna, jak na ograniczony obszar poddany badaniom – 352 frag-

menty z 12 m² powierzchni wykopu. To może wskazywać, że osiedle było stale zamieszkane, a nie pełniło funkcję refugium.

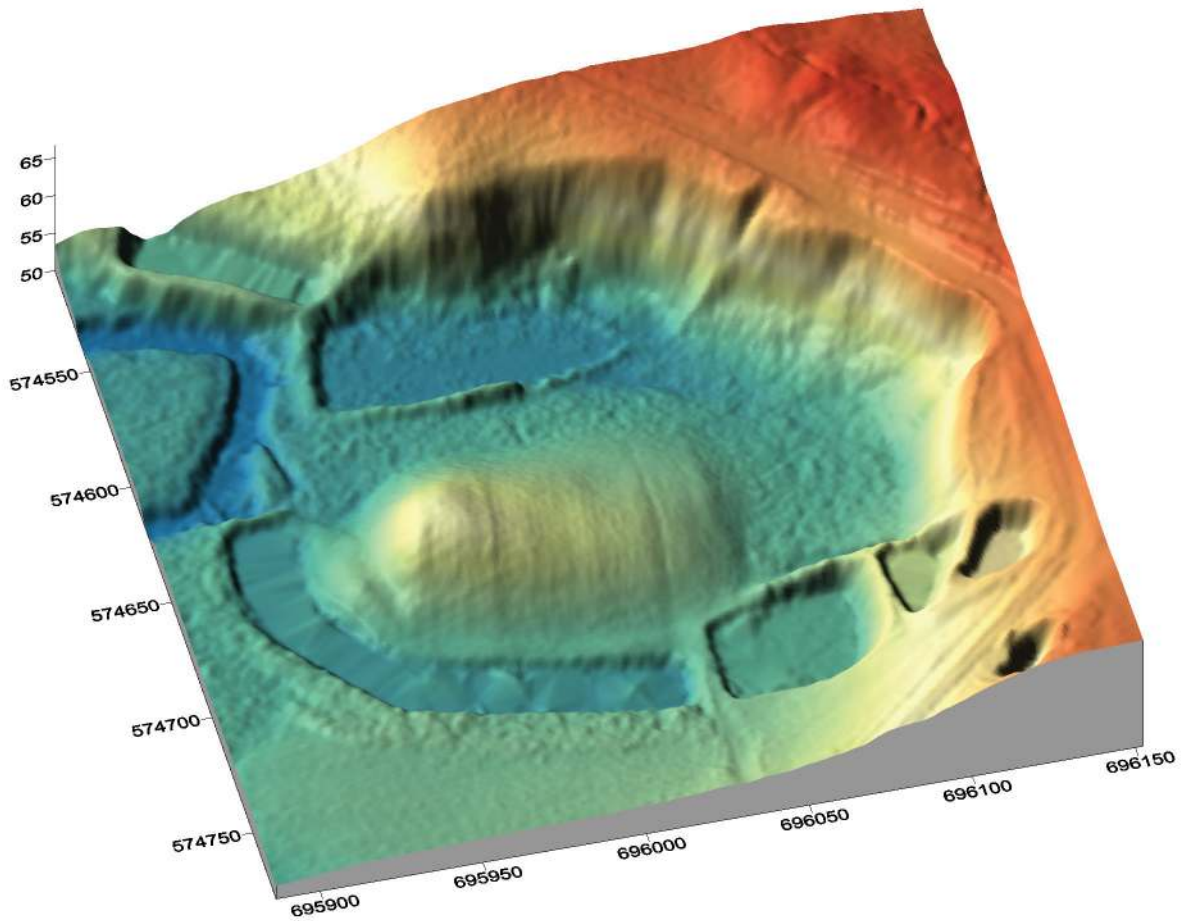
Obecny stan badań grodziska wskazuje, że po jego opuszczeniu we wczesnej epoce żelaza nie było ono już później zasiedlane. Ślady zniszczeń widoczne na obszarze majdanu można łączyć z pozyskiwaniem surowca – piasku. Niemalże naprzeciw wyniesienia, na którym znajduje się grodzisko jest dużych rozmiarów wyrobisko, skąd najpewniej przez długi czas pozyskiwano piasek. Na obszarze majdanu zanotowano także ślady po działaniach wojennych – łuski, stanowiska ognionowe – które można datować na XX wiek.

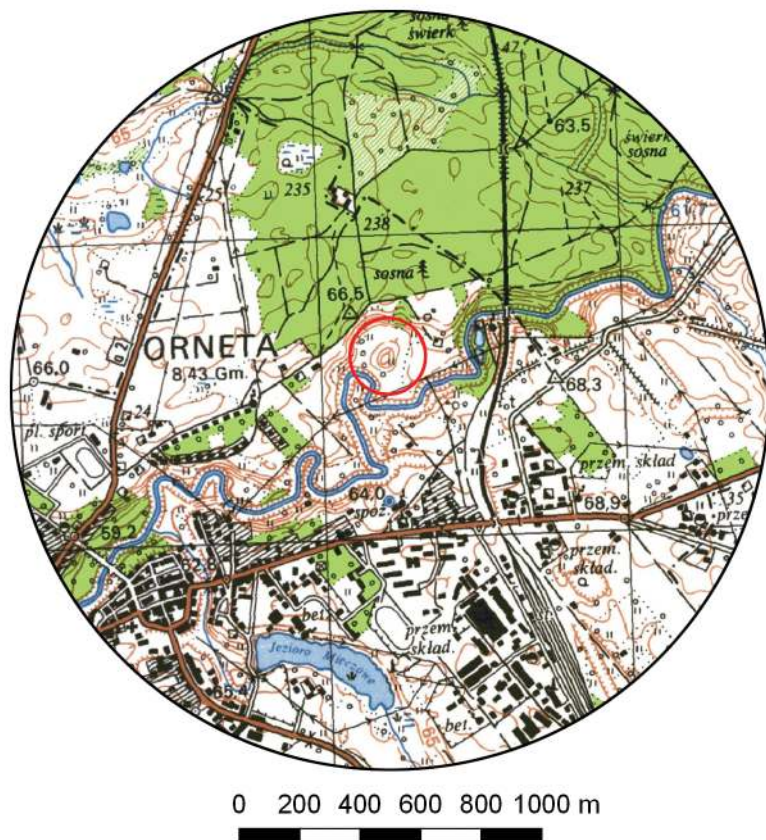
Przeprowadzone badania pozwoliły na precyzyjne oznaczenie położenia grodziska, ustalenie jego chronologii i afiliacji kulturowej. Dzięki temu możliwe będzie objęcie go ochroną konserwatorską.

³⁵ Analiza przeprowadzona w Poznańskim Laboratorium Radiowęglowym, próba nr Poz-149696.

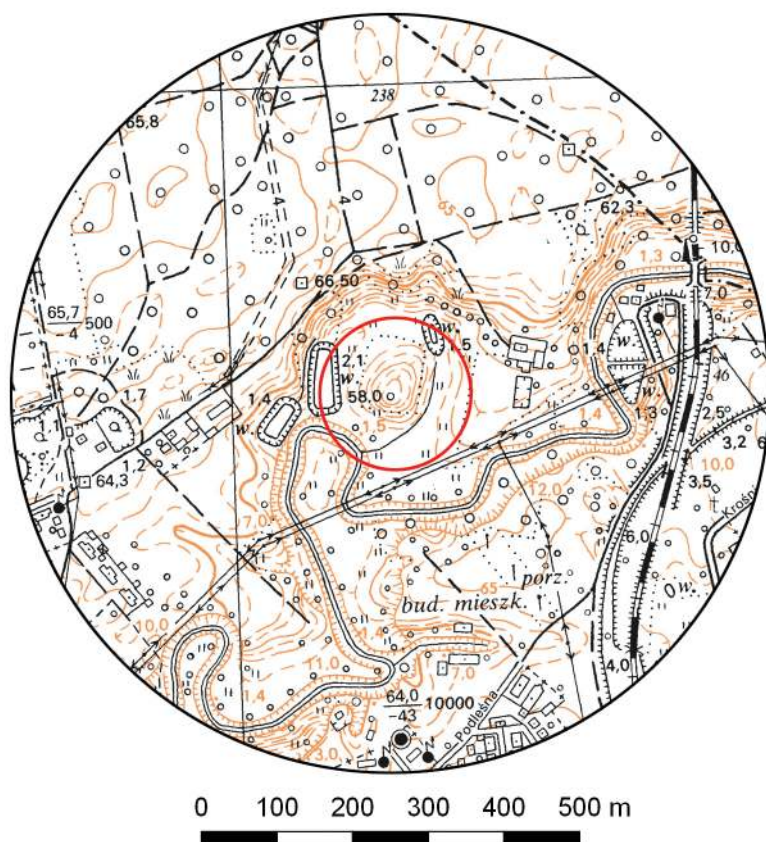
Orneta, st. 7

Gmina Orneta
Powiat lidzbarski
AZP 17-58/12
Współrzędne geograficzne:
N 54° 07' 21"
E 20° 08' 33"





Ryc. 1. Grodzisko w Ornecie, st. 7
na mapie w skali 1:25 000
(na podstawie materiałów GUGiK,
oprac. R. Solecki)



Ryc. 2. Grodzisko w Ornecie, st. 7
na mapie w skali 1:10 000
(na podstawie materiałów GUGiK,
oprac. R. Solecki)

POŁOŻENIE GRODZISKA I JEGO FORMA

RAFAŁ SOLECKI

Grodzisko w Ornecie (niem. *Wormditt*), st. 7 (ryc. 1-2) było zewidencjonowane w ramach projektu Archeologiczne Zdjęcie Polski, ale jego położenie nie zaznaczono na Karcie Ewidencji Stanowiska Archeologicznego¹. I to pomimo, że informacje o nim wielokrotnie pojawiały się w różnego rodzaju źródłach i dokumentach. Było ono między innymi zaznaczone na szkicu miasta Orneta, wykonanym na początku XIX wieku przez Johanna Michaela Guisego (ryc. 3:A), a także zaznaczono je na mapie z 1932 roku z podpisem *Burgwall K.D.* (ryc. 3:B)².

Orneta została opisana w 1595 roku przez Caspara Hennebergera. Zawarty już w pierwszym zdaniu zapis „*Stadt und Schlos*”³ odnosi się jednak najpewniej nie do grodziska zaznaczonego na wspomnianych wyżej mapach, a do zamku biskupów warmińskich, który wybudowano w mieście pod koniec pierwszej połowy XIV wieku⁴. W 1894 roku Ornętę opisuje Adolf Bötticher wskazując, że znajdujące się w niej grodzisko jest „heidnische”, to jest pogańskie, co można w tym kontekście rozumieć jako poprzedzające osadnictwo krzyżackie. Wskazuje także jego położenie w odniesieniu do ówczesnych granic miasta, aczkolwiek można mieć podejrzania, że zawarta w tekście ilustracja jest przerysem starszego szkicu wykonanego przez J.M. Guisego⁵ (ryc. 3:C). Dwa umocnienia w Ornecie zaznaczył na sporządzonej przez siebie mapie stanowisk archeologicznych Emil Hollack. Pierwsze z nich opisał jako „szaniec” na wschód od miasta, który być może należy wiązać z wałem podłużnym, którego karta znajduje się w zbiorze *Burgwall-kartei*. Wątpliwość budzi położenie, gdyż wspomniany wał, obecnie już niemal całkowicie zniszczony, znajdował się na zachód od miasta, w okolicy dzisiejszej wsi Olkowo (niem. *Alken*). Na mapie z 1802 roku widoczne są z kolei dwa umocnienia podpisane „*Schlössershöfchen*”, ale te znajdują się przy murach miejskich

¹ Informacje z KESA 17-58/12.

² *Topographische Karte 1:25 000, Meßtischblatt, karta Wormditt* (1886), z 1932 roku.

³ Henneberger 1595: 488–489.

⁴ Wólkowski 2017: 114–116.

⁵ Bötticher 1894: 270.

na południe od miasta⁶. Drugie umocnienie opisane jest sentencją „*Schloßberg in der Hospitalheide nördlich vom Ort*”, a w opisie jest odwołanie do notatek J.M. Guisego⁷. Podpisem „Hospitalheide” oznaczony jest las położony bezpośrednio na północ od miasta, przy północnym brzegu rzeki Drwęca Warmińska. To na granicy tego lasu i doliny rzeki zaznaczone jest grodzisko. Te same obiekty opisał także Hans Crome, ale używając innych terminów. Umocnienie, które E. Hollack nazwał „*Shanze*”, tu określone jest zwrotem „*Wehranlage*”, a wcześniejszy „*Schloßberg*” tu nazwany jest „*Burg*”⁸.

Należy także odnotować, że informacje o grodzisku znajdują się w archiwum Muzeum Warmii i Mazur w Olsztynie. Na karcie miejscowości Orneta znajduje się opis: „Grodzisko zwane Zamkową Górą znajduje się na północ od miejscowości na terenie <Hospitalheide>”. Przy zdaniu tym zawarto odwołanie do źródeł J.M. Guisego i Hollacka⁹. Uzupełnieniem karty stanowiska jest sprawozdanie z weryfikacji terenowej, którą w 1969 roku przeprowadziła Barbara Czarnecka. Badaczka zlokalizowała opisane wyniesienie, ale wskazała, że jego forma nie wskazuje, aby znajdowało się tam grodzisko. Zasugerowała, że mogło być ono „częściowo splanowane”. Na powierzchni znalazła jednak „b. liczne fragmenty ceramiki XV–XVI wiecznej”¹⁰.

Kolejne badania weryfikacyjne przeprowadzono w 1970 roku, a kierowała nimi Maria Pikulińska-Ciuk. Badaczka dokonała wizytacji tego samego wyniesienia, zauważając, że jest ono od południa opływane przez Drwęcę Warmińską, a od północy znajduje się „ciek wodny sprawiający wrażenie sztucznie przekopanego”. Dokonano także spostrzeżenia, że „od strony rzeki widoczna jest niewielka różnica w wysokości terenu, jednak bez przebadania nie można stwierdzić, że są to relikty wału”. Wnioskiem z wizytacji był postulat przeprowadzenia badań wykopaliskowych,

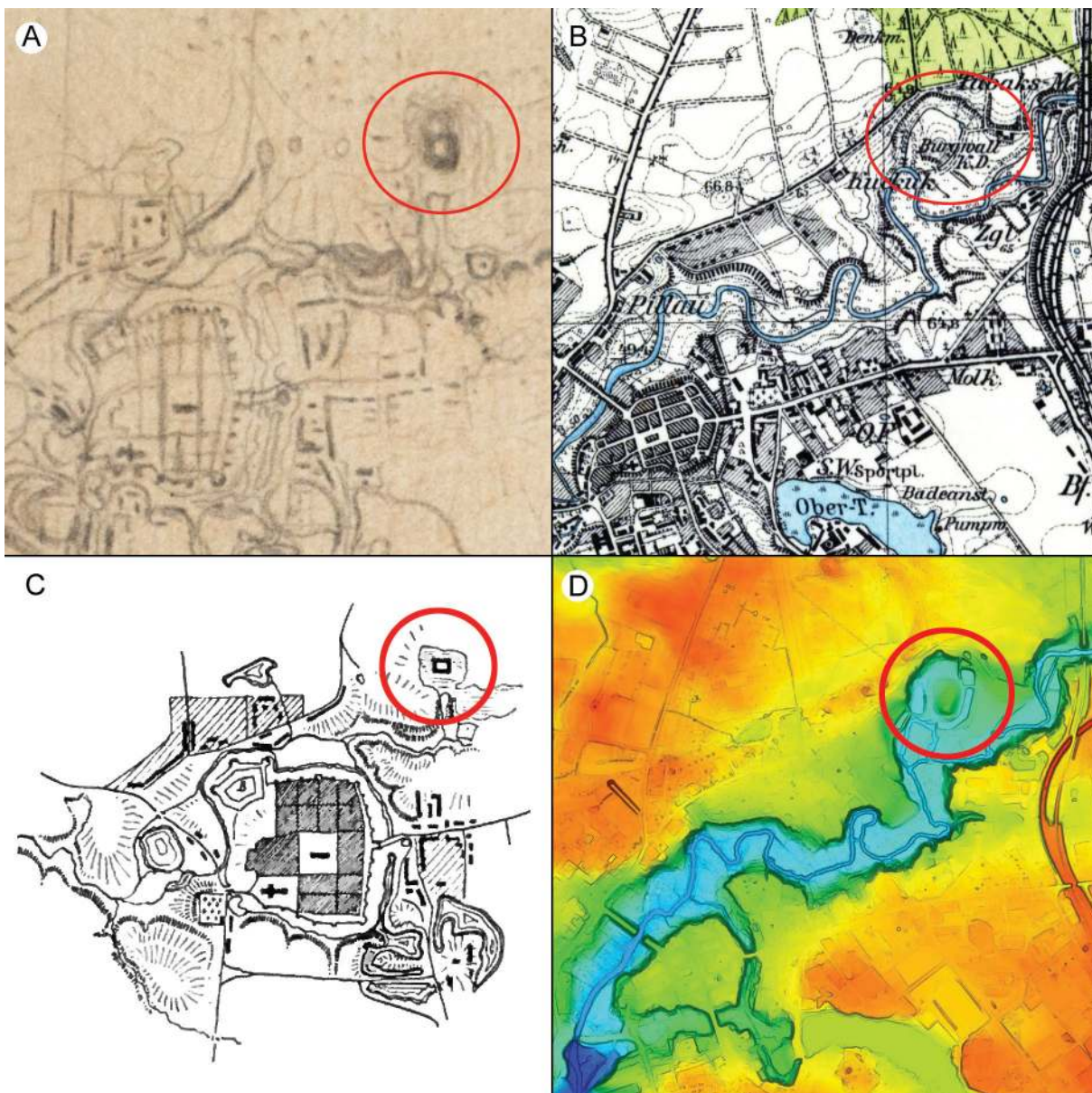
⁶ Schrötter: *Karte von Ost-Preussen nebst Preussisch Litthauen und West-Preussen nebst dem Netzdistrict 1:150 000, karta Elbing (X)*, z 1802 roku.

⁷ Hollack 1908: 188.

⁸ Crome 1940: 144.

⁹ Karta stanowiska archeologicznego Orneta (*Wormditt*) z archiwum Muzeum Warmii i Mazur.

¹⁰ Sprawozdanie z badań weryfikacyjnych grodziska w Ornecie w dniu 15 września 1969 roku, z archiwum Muzeum Warmii i Mazur.



Ryc. 3. Grodzisko w Ornecie, st. 7 na: A) szkicu J.M. Guisego, lata 30. XIX wieku (źródło: *Staatliche Museen zu Berlin, Museum für Vor- und Frühgeschichte*, PM-IXh 000186), B) mapie z serii *Topographische Karte 1:25 000, Meßtischblatt*, karta Wormditt (1886), z 1932 roku. (źródło: [www. http://igrek.amzp.pl](http://igrek.amzp.pl)), C) na rycinie z końca XIX wieku, prawdopodobnie przerysie szkicu J.M.Guisego (Bötticher 1894: 270, ryc. 197), D) na Numerycznym Modelu Terenu (na podstawie materiałów GUGiK) (oprac. R. Solecki)

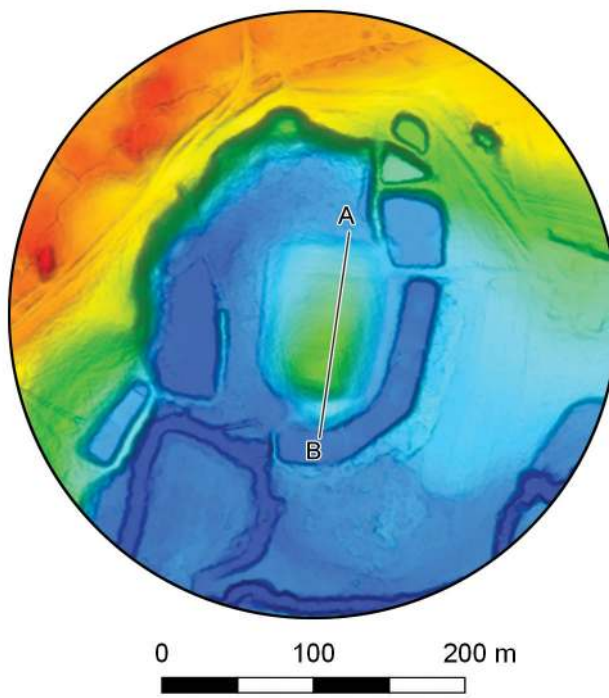
które pozwoliłyby na określenie charakteru i chronologii stanowiska¹¹.

Wyniesienie, na którym znajduje się grodzisko, zlokalizowane jest w obrębie doliny Drwęcy Warmińskiej (ryc. 3:D; ryc. 4). Od południowego zachodu przylega do niego koryto rzeki, która w przeszłości prawdopodobnie opływała wyniesienie od wschodu, północy i zachodu. Obecnie paleokoryto zostało w kilku miejscach pogłębione w celu stworzenia stawów. Samo wyniesienie jest u podstawy nieregularnie owalne, o przekątnych w za-

kresie 80–110 m. Szczyt wyniesienia znajduje się w jego południowej części i osiąga poziom 58,1 m n.p.m. Różnica wysokości mierzona pomiędzy szczytem a dnem doliny od strony południowej dochodzi do 7 m, a do poziomu rzeki bezpośrednio poniżej grodziska dochodzi do 8 m (ryc. 5).

Grodzisko obecnie nie jest porośnięte drzewami (ryc. 6) i nie było zalesione być może już od XIX wieku, na co wskazują archiwalne mapy. Jego powierzchnię porasta łąka, będąca miejscem wypasu zwierząt. Fakt, że wyniesienie było przez długi czas odsłonięte, mogło wpływać na erozję warstw powierzchniowych, co może tłumaczyć, czemu na powierzchni znajdowano materiał zabytkowy.

¹¹ Sprawozdanie z badań weryfikacyjnych grodziska w Ornecie we wrześniu 1970 roku, z archiwum Muzeum Warmii i Mazur.



Ryc. 4. Grodzisko w Ornecie, st. 7 na zobrazowaniu ALS (na podstawie materiałów GUGiK, oprac. R. Solecki)

Ryc. 5. Przekrój grodziska w Ornecie, st. 7 uzyskany z danych ALS (na podstawie materiałów GUGiK, oprac. R. Solecki)



Ryc. 6. Orneta, st. 7. Zdjęcie lotnicze grodziska, widok od strony południowo-wschodniej (fot. J. Woreta)

Według podziału fizycznogeograficznego Polski Jęzefa Kondrackiego grodzisko w Ornecie, st. 7 znajduje się w makroregionie Nizina Staropruska i mezoregionie Równina Ornecka. Obszar ten to sandr, który wytworzył się na przedpolu moreny czołowej Wzniesień Górowskich¹². Według *Szczegółowej Mapy Geologicznej Polski* w skali 1:50 000 (ryc. 7) na obszarze stanowiska występują piaski rzeczne związane z korytem Drwęcy Warmińskiej, a bezpośrednio na północ od nich znajduje się szeroki pas piasków i żwirów wodnolodowcowych powstały w stadiale górnym zlodowacenia Wisły. Wąski język tych piasków obejmuje także południową krawędź doliny, natomiast właściwym utworem tam występującym są gliny zwałowe¹³.

¹² Kondracki 2002: 99–102.

¹³ Rabek i Narwojsz 2014: 20–24.

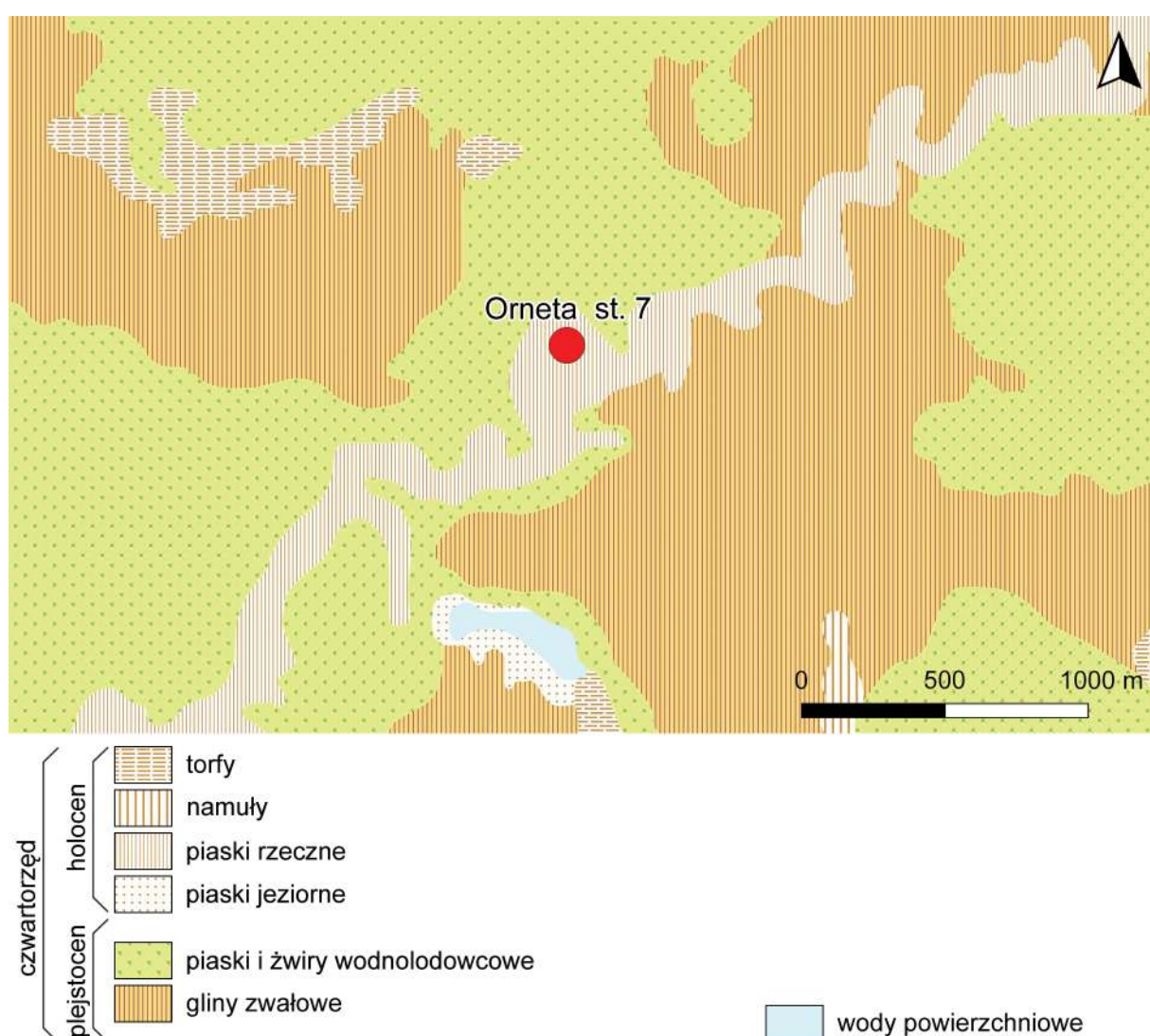
BADANIA ARCHEOLOGICZNE

RAFAŁ SOLECKI

Przebieg badań terenowych

Grodzisko położone jest na prywatnej działce, a właściciel nie wyraził zgody na wejście na jego teren i przeprowadzenie badań archeologicznych. Z tego względu dostępne formy rozpoznania stanowiska obejmują jedynie metody z zakresu archeologii lotniczej i teledetekcji.

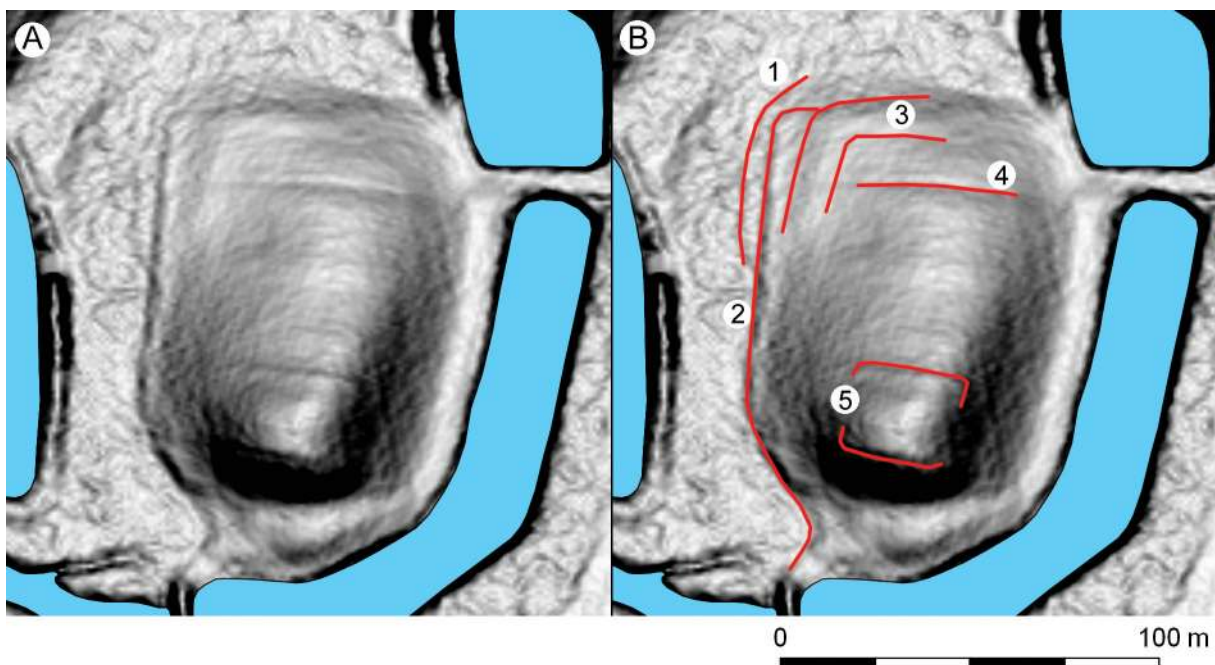
W pierwszej kolejności poddano analizie Numeryczny Model Terenu opracowany na podstawie pomiarów z 2011 roku. Zwykła wizualizacja tych danych wykazuje tylko niewielkie różnice wysokości w obrębie omaranego wyniesienia. By możliwe było ich czytelne ukazanie na mapie zastosowano filtr *Slope Shader*, który pozwala zaakcentować lokalne nachylenia terenu (ryc. 8). Na



Ryc. 7. Wycinek arkusza Szczegółowej Mapy Geologicznej Polski z zaznaczonym grodziskiem w Ornecie, st. 7

(źródło:

www.cbdgmapa.pgi.gov.pl/arcgis/services/kartografia/smgp50k/MapServer/WMServer, oprac. R. Solecki)



Ryc. 8. Orneta, st. 7. Numeryczny Model Terenu grodziska ukazany z zastosowaniem filtra *Slope Shader* (obszary jasne są płaskie, im większy kąt nachylenia terenu, tym kolor ciemniejszy): A) czysta wizualizacja, B) wizualizacja z naniesioną interpretacją (oprac. R. Solecki)

wizualizacji tej widoczne są co najmniej trzy fazy formowania północno-zachodniej podstawy wyniesienia (o numerach 1, 2, 3, patrz ryc. 8:1–3), z których jedna (ryc. 8:3) tworzy dość masywny „narożnik”. Jedna liniowa anomalia (numer 4, ryc. 8:4) ułożona jest na osi zbliżonej do wschód–zachód, na wprost współczesnej grobli prowadzącej z gospodarstwa na wyniesienie i prawdopodobnie jest to efekt wydeptania ścieżki. Na szczytce wyniesienia widoczne są także dwie krótkie liniowe anomalie (numer 5, ryc. 8:5), ułożone w zbliżonym układzie, co wcześniej opisano, jednak końce tych zdają się zackywać do siebie, wydzielać nieregularnie prostokątny poligon o wymiarach 22–28 m. Być może ten wydzielony obszar to właściwa lokalizacja umocnień.

Kolejnym krokiem była analiza zdjęć lotniczych grodziska, zarówno archiwalnych, jak i wykonanych w ramach projektu. Na zdjęciu z 1999 roku (ryc. 9:A) widoczne są dwa elementy godne odnotowania. Pierwszy to wąski kanałek, który łączy staw położony przy północno-wschodniej podstawie grodziska z korytem rzeki. Na zdjęciu z 2005 roku kanału już nie ma, a w jego miejsce powstał duży rozmiarów staw. Drugi to wał (wyraźny wyróżnik cieniowy) ułożony na osi zbliżonej do wschód–zachód przy północnej podstawie wyniesienia. Wał ten mógł być kontynuacją jednej z anomalii – numer 1, 2 lub 3 – uchwyconych podczas analizy Numerycz-

nego Modelu Terenu. Jest on jeszcze widoczny na zdjęciach z 2005 roku (ryc. 9:B) i 2008 roku (ryc. 9:C). Na zdjęciach od 2010 roku wał ten nie jest już czytelny, ale wcześniejsza linia utrzymana jest jako krawędź pola. Prawdopodobnie ślad po zniszczonym umocnieniu, być może palisadzie, został odsłonięty w wyniku zniszczenia nawartstwień kulturowych w południowej części grodziska w 2020 roku. Na zdjęciu z tego roku (ryc. 10:D) widoczny jest ciemny pas ziemi zorientowany na osi zbliżonej do wschód–zachód odcinający się od jasnego piasku calcowego. Na zdjęciu z 2022 roku (ryc. 10:E) w miejscu tego pasa ziemi widoczne są wyróżniki wegetacyjne, co wskazuje na większą ilość materii organicznej i większą wilgotność występującej tam gleby. Uzupełnieniem linii umocnień była też najpewniej fosa. Jest ona widoczna w wyróżnikach wegetacyjnych, zwłaszcza od strony zachodniej i południowo-zachodniej, na zdjęciach z 2005 (ryc. 9:B) i 2008 roku (ryc. 9:C).

Na zdjęciu z 2005 roku (ryc. 9:B) widoczne są także dwa duże wyróżniki wegetacyjne – jeden w północnej, drugi w południowej części wyniesienia. Wyróżnik położony w części północnej zajmuje plac pomiędzy liniowymi formami o numerach 4 i 5, uchwyconymi na Numerycznym Modelu Terenu (ryc. 8:4–5). W postaci nieregularnej plamy widać go także na zdjęciach z wyróżnikami wegetacyjnymi z 2013 (ryc. 9:5), 2016



Ryc. 9. Orneta, st. 7. Grodzisko ukazane na archiwalnych zdjęciach lotniczych z oznaczonymi wyróżnikami wegetacyjnymi: A) z 1999 roku (źródło: geoportal.gov.pl), B) z 2005 roku (źródło: geoportal.gov.pl), C) z 2008 roku (źródło: Google Earth, MGGP Aero), D) z 2010 roku (źródło: geoportal.gov.pl), E) z 2013 roku (źródło: geoportal.gov.pl), F) z 2016 roku (źródło: geoportal.gov.pl) (oprac. R. Solecki)



Ryc. 10. Orneta, st. 7. Grodzisko ukazane na archiwalnych zdjęciach lotniczych z oznaczonymi wyróżnikami wegetacyjnymi i glebowymi: A) z 2017 roku (źródło: Google Earth, CNES/Airbus), B) z 2018 roku (źródło: Google Earth, Maxar Technologies), C) z 2019 roku (źródło: geoportal.gov.pl), D) z 2020 roku (źródło: Google Earth, CNES/Airbus), E) z 2022 roku (źródło: geoportal.gov.pl), F) z 2023 roku (fot. J. Woreta) (oprac. R. Solecki)

(ryc. 9:F), 2017 (ryc. 10:A), 2019 (ryc. 10:C) i 2020 roku (ryc. 10:D) oraz na zdjęciu z wyróżnikami glebowymi z 2023 roku (ryc. 10:F). Nieco więcej szczegółów można wyróżnić na zdjęciu z 2008 roku, gdzie żywym kolorzem traw zaakcentowane są dwie linie tworzące kształt litery „T” (ryc. 9:C). Na zdjęciach z 2018 (ryc. 10:B) i 2022 roku (ryc. 10:E) widoczny jest wewnętrzny podział w obrębie omawianego obiektu, sugerujący, że pod ziemią mogą znajdować się relikty architektury, a przynajmniej negatywy po jej zniszczeniu. Wspomniany wcześniej obiekt usytuowany w południowej części wypiętrzenia, a więc na jego szczycie, występuje w granicach liniowych anomalii o numerze 5 uchwyconych na Numerycznym Modelu Terenu (ryc. 8:5). Widoczny jest on w wyróżnikach wegetacyjnych na zdjęciach z 2005 (ryc. 9:B), 2013 (ryc. 9:E), 2017 (ryc. 10:A) i 2018 roku (ryc. 10:B), ale tylko jako nieregularna plama. Najdokładniej kształt tego obiektu oddaje zdjęcie z 2016 roku (ryc. 9:F), na którym widoczne jest regularnie koło o średnicy około 20 m. W miejscu, gdzie znajdował się opisywany obiekt, zaobserwowano prace ziemne, które w 2019 roku (ryc. 10:C) miały jeszcze ograniczony zasięg, ale w 2020 roku (ryc. 10:D) doprowadziły do jego niemal całkowitego zniszczenia. Na zdjęciu z wyróżnikami glebowymi z 2023 roku (ryc. 10:F) widoczny jest już tylko jego niewielki fragment.

ZNALEZISKA

RAFAŁ SOLECKI

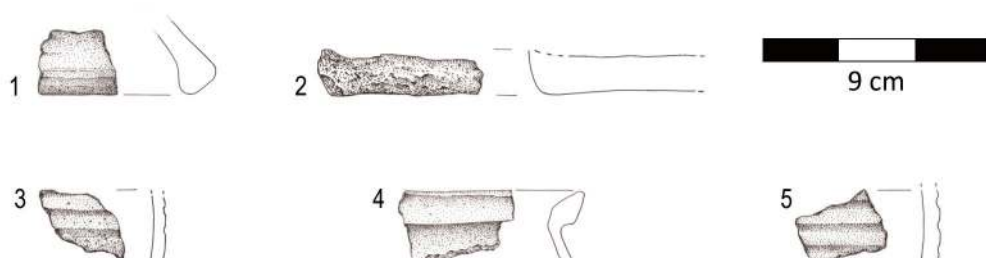
Możliwy do opracowania materiał zabytkowy to 15 fragmentów ceramiki i 1 fragment ceramiki budowlanej (prawdopodobnie dachówka), które pozyskano w trakcie badań powierzchniowych w 1969 roku. Zabytki te znajdują się w zbiorach Muzeum Warmii i Mazur w Olsztynie.

Analizowany zespół fragmentów naczyń ceramicznych jest silnie rozdrobniony – tylko 3 fragmenty mają rozmiar w zakresie 5–6 cm, a pozostałe mają 4 cm lub mniej. Z powodu złego stanu i znacznego rozdrobnienia, nie udało się określić jakichkolwiek cech diagnostycznych 2 ułamków. Pozostałe 13 fragmentów można było rozdzielić pomiędzy dwie grupy technologiczno-surowcowe.

Pierwsza grupa, licząca dziewięć elementów, to tzw. ceramika siwa. Naczynia z tej grupy były wykonane z dobrze wyrobionej masy ceramicznej z niewielką drobnoziarnistą domieszką, którą najczęściej był piasek lub tłuczący kamień. Wypalano je w atmosferze redukcyjnej, dzięki czemu ich powierzchnia miała barwę w odcieniach szarości. W grupie tej były cztery fragmenty części den (z których trzy były lekko wklęsłe – ryc. 11:2 – a jedno płaskie), jeden fragment krawędzi pokrywki (ryc. 11:1) i cztery fragmenty brzuśców (z których jeden zdobiony był układem poziomych, dookolnych rowków – ryc. 11:3). Ceramika siwa zaczyna pojawiać się w inwentarzach zabytków ceramicznych pobliskiego Elbląga od około połowy XIII wieku, a występuje powszechnie do przełomu XV i XVI wieku¹⁴.

Druga grupa, licząca cztery elementy, to ceramika ceglasta. Masa ceramiczna, z której korzystano przy wyrabianiu naczyń, była podobna jak przy ceramice siwej. Różnicą był wypał utleniający, który nadawał powierzchni barwę pomarańczową. Technologia ta nie była jeszcze na tyle zaawansowana, aby cały czerep uzyskał jednolitą barwę i w przełomie wnętrze było szare. Na jednym fragmencie zanotowano ślady szkliwienia. W grupie tej był jeden fragment wylewu (ryc. 11:4) i trzy fragmenty brzuśców (z których jeden zdobiony był układem poziomych, dookolnych row-

¹⁴ Marcinkowski 2013: 239–247.



Ryc. 11. Orneta, st. 7. Ceramika (ryc. B. Karch)

ków – ryc. 11:5). Ceramika tego typu zaczyna się upowszechniać na omawianym obszarze od około przełomu XV i XVI wieku¹⁵.

Analizowany zbiór znaleziono na powierzchni stanowiska i należy go traktować, jako przemieszany. Współwystępowanie ze sobą liczniejszej grupy ceramiki siwej i mniej licznej ceglastej z jeszcze niedopracowaną technologią wypalu utleniającego może jednak wskazywać okres, kiedy zbiór ten powstał, obejmujący schyłek XV i początek XVI wieku.

CHRONOLOGIA I DZIEJE GRODZISKA W ORNECIE, ST. 7

RAFAŁ SOLECKI

Zrealizowana kwerenda archiwalna i muzealna pozwoliły na nowo określić położenie grodziska w Ornecie, co pozwoli na objęcie go ochroną konserwatorską. Jest to ważne zwłaszcza w kontekście zniszczeń warstw kulturowych, które udokumentowane zostały na zdjęciach lotniczych z ostatnich 25 lat. Tu jednak nadal aktualny pozostaje postulat sformułowany 50 lat temu przez M. Pikulińską-Ciuk, a dotyczący konieczności przeprowadzenia archeologicznych badań wykopaliskowych.

Przeprowadzona analiza zdjęć lotniczych i Numerycznego Modelu Terenu wskazuje, że na obszarze omawianego wyniesienia mogło znajdować się złożone założenie architektoniczne, na które składały się co najmniej dwa budynki – jeden na planie zbliżonym do koła na szczytce wyniesienia i zespół mniejszych na łagodnym stoku wyniesienia po stronie północnej. Wyniesienie było najpewniej zopatrzone w nieduży wał, którego pozostałość była jeszcze widoczna w terenie do 2008 roku i jest uchwytna na Numerycznym Modelu Terenu. Wał ten mógł być zwieńczony palisadą, której pozostałość w formie shumifikowanej gleby układającej się w regularny pas, odsłonięto w południowo-wschodniej części wyniesienia. Po zewnętrznej stronie tego wału od strony zachodniej znajdowała się dodatkowo fosa połączona z korytem rzeki. Być może fosa okrążała całe wyniesienie, ale współcześnie wykopane stawy utrudniają interpretację wyróżników widocznych na zdjęciach lotniczych.

¹⁵ Marcinkowski 2013: 245–247.

Mając szacunkową wiedzę o formie i chronologii umocnionego założenia w Ornecie, należy zadać pytanie, czy było ono faktycznie grodziskiem? By móc na to pytanie odpowiedzieć należałoby sformułować definicję, która jednoznacznie by określiła, co ten termin opisuje. Przyjmując szeroki zakres tego określenia, obejmujący „dawne umocnienia obronne, miejsce sztucznie ogrodzone w celach obronnych, miejsce ufortyfikowane, otoczone rowem i wałem, zarówno o funkcjach ścisłe wojskowych lub schronieniowych”¹⁶, to tak. Faktyczną funkcję omawianego obiektu określa jednak najpewniej dokument z 1384 roku informujący o „Leprosorio sancti Georgij, extra muros ibidem situatis”¹⁷. Wspomniane „Leprosorio” (pod wezwaniem św. Jerzego) to leprozorium, czyli zamknięty dom dla chorych na trąd. W zbliżonym okresie ufundowano w Prusach więcej tego typu schronień: w Braniewie w 1378 roku, w Dobrym Mieście i Fromborku w 1379 roku. Budowano je w pobliżu miast, ale poza murami, w otoczeniu pól lub ogrodów. W ich skład, poza właściwym budynkiem z celami, często wchodziły dodatkowe obiekty, jak warsztaty czy spi-chlerze¹⁸. Z dużą dozą prawdopodobieństwa można więc zinterpretować opisany obiekt obronny z poświadczonym w źródłach pisanych przytułkiem dla trędowatych. Od tego obiektu właśnie mogła wziąć się dawna nazwa tutejszego lasu – *Hospital Heide*.

Tu jednak należy zaznaczyć, że obiekt opisany w powyższym artykule, nie jest leprozoriem w miejscu jego pierwotnego utworzenia w XIV wieku. Wskazuje na to dokument – protokół z wizytacji przeprowadzonej przez przedstawiciela Warmińskiej Kapituły Katedralnej w 1798 roku. Znajduje się tam informacja, że najstarszy szpital pod wezwaniem św. Jerzego był zbudowany przy drodze prowadzącej do Braniewa. Spłonął on w 1520 roku, a odbudowano go w nowym miejscu, nad rzeką Drwęcą. W protokole wskazany jest jeszcze jeden istotny szczegół dotyczący konstrukcji budynku. Mianowicie w owym czasie miał on być zbudowany w technice muru pruskiego i składać się z jednej sali głównej i sześciu pomieszczeń sypialnych¹⁹. To właśnie relikty tej fundacji prawdopodobnie

¹⁶ Florek 2014: 171.

¹⁷ Woelky 1874: 135–136 (dokument 173).

¹⁸ Horanin 2005: 152–153.

¹⁹ Kopiczko 2019: 130, 140–143.

znajdują się na badanym wyniesieniu. Taka chronologia odpowiada datowaniu materiału zabytkowego, który został znaleziony podczas badań powierzchniowych omawianego obszaru w latach 60. XX wieku.

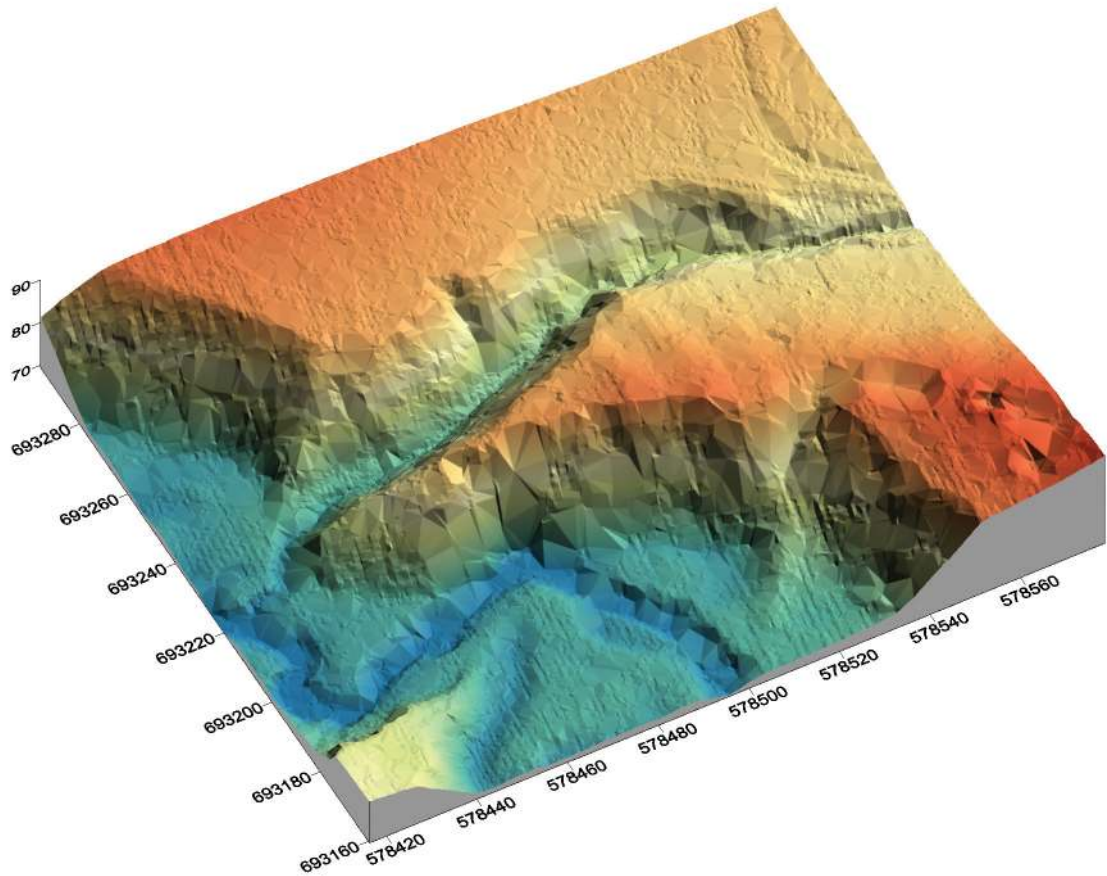
Zidentyfikowane stanowisko – późnośredniowieczne i wczesnonowożytne wydzielone miejsce odosobnienia dla chorych na trąd – jest być może nawet ważniejszym odkryciem niż domniemane grodzisko, które miałoby się znajdująć w Ornecie. Jest bowiem w zasadzie

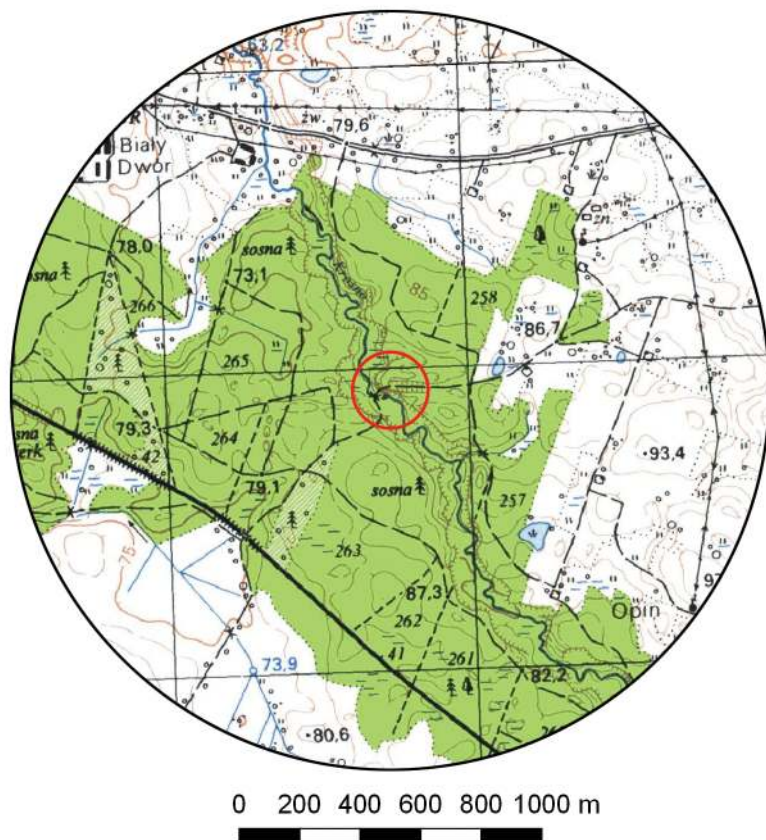
pierwszym tego typu stanowiskiem archeologicznym w tej części Polski, którego lokalizację udało się potwierdzić.

W tym miejscu chciałbym podziękować członkom Stowarzyszenia Reduta Orneta za pomoc w zlokalizowaniu omawianego stanowiska oraz kierownictwu Muzeum Warmii i Mazur w Olsztynie za możliwość opracowania materiału zabytkowego z omawianego stanowiska.

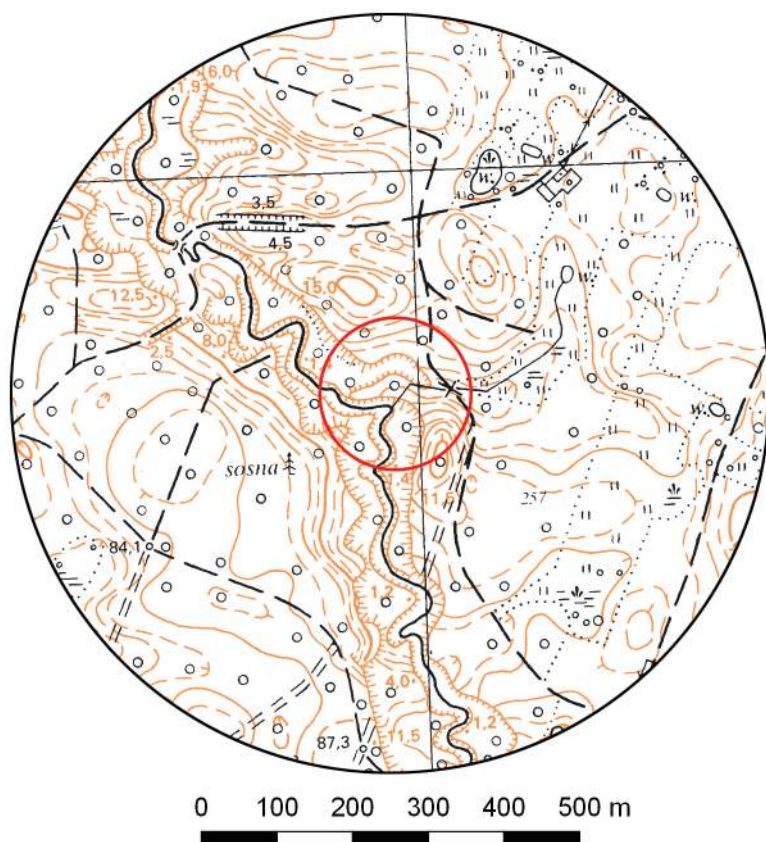
Opin, st. 16

Gmina Orneta
Powiat lidzbarski
AZP 17-58/15
Współrzędne geograficzne:
N 54° 05' 50"
E 20° 12' 03"





Ryc. 1. Grodzisko w Opinie, st. 16
na mapie w skali 1:25 000
(na podstawie materiałów GUGiK,
oprac. R. Solecki)



Ryc. 2. Grodzisko w Opinie, st. 16
na mapie w skali 1:10 000
(na podstawie materiałów GUGiK,
oprac. R. Solecki)

POŁOŻENIE GRODZISKA I JEGO FORMA

RAFAŁ SOLECKI

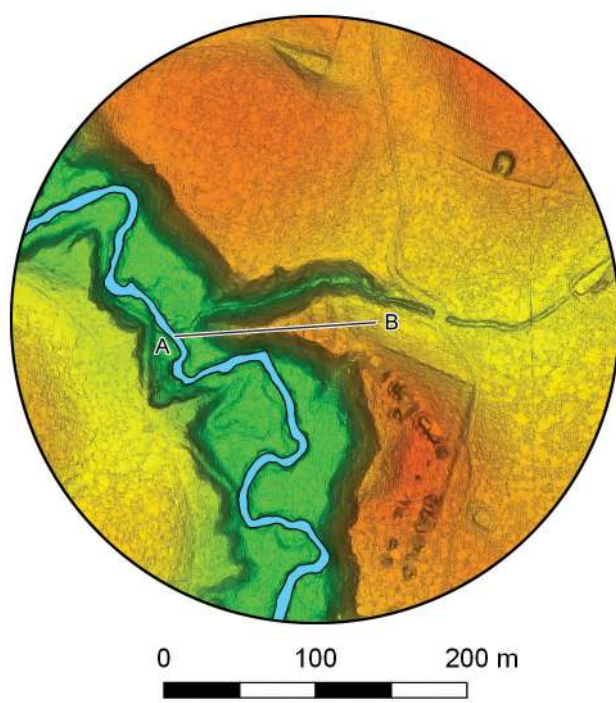
Grodzisko w Opinie, gm. Orneta (niem. *Open*), st. 16 nie było do tej pory zewidencjonowane w ramach projektu Archeologiczne Zdjęcie Polski. Zostało rozpoznane po raz pierwszy w 2022 roku podczas weryfikacji realizowanych w ramach projektu NPRH „Katalog grodzisk Warmii i Mazur. Część II. Warmia Wschodnia i Natangia”.

Grodzisko położone jest w odległości około 1,4 km na południowy zachód od wsi Opin. Zajmuje wysoki, wyeksponowany cypryel wchodzący od wschodu w dolinę rzeki Lubomińska Struga, która na tym odcinku płynie z południa na północ. Różnica wysokości pomiędzy dnem doliny w pobliżu grodziska (około 70,9 m n.p.m.) a wysokością majdanu przy linii wału (około 85,5 m n.p.m.) dochodzi do 14,6 m. Majdan grodziska uległ niemal cał-

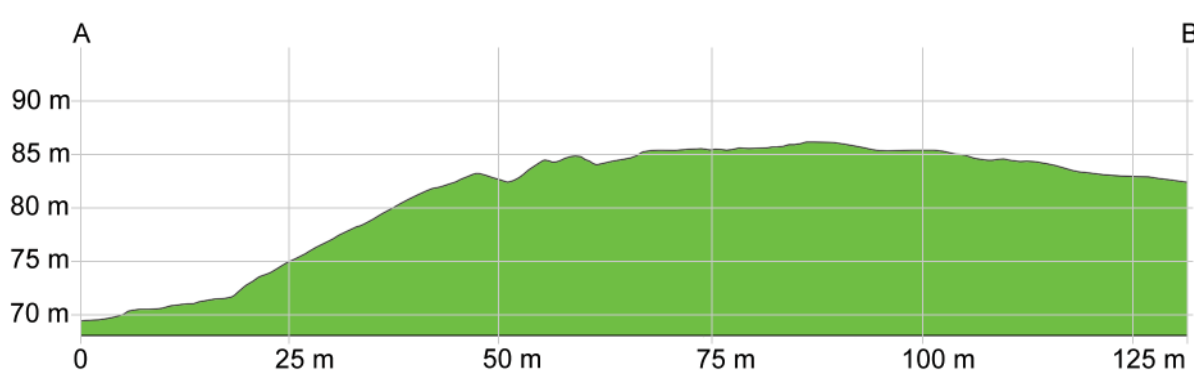
kowitemu zniszczeniu w wyniku podmywania go przez rzekę. Obecnie ma on trójkątny kształt o powierzchni jedynie około 2 arów. Majdan odcięty jest od wysoczyzny za pomocą trzech wałów rozdzielonych dwoma suchymi fosami. Wały te są niemal całkowicie zdegradowane i w terenie bardzo trudno jest je dostrzec (ryc. 5). Nawet na obrazowaniu danych Numerycznego Modelu Terenu ich kształt jest trudny do wyeksponowania (ryc. 3–4). Zadokumentowane wymiary umocnień to:

- wał I – pierwszy wał licząc od majdanu, ma długość 20 m, szerokość u podstawy do 13 m i wysokość do 0,7 m,
- wał II – ma długość 28 m, szerokość u podstawy do 8 m i wysokość do 0,55 m,
- wał III – ma długość 20 m (jego północna część jest nieczytelna), szerokość u podstawy do 9 m i wysokość do 0,4 m.

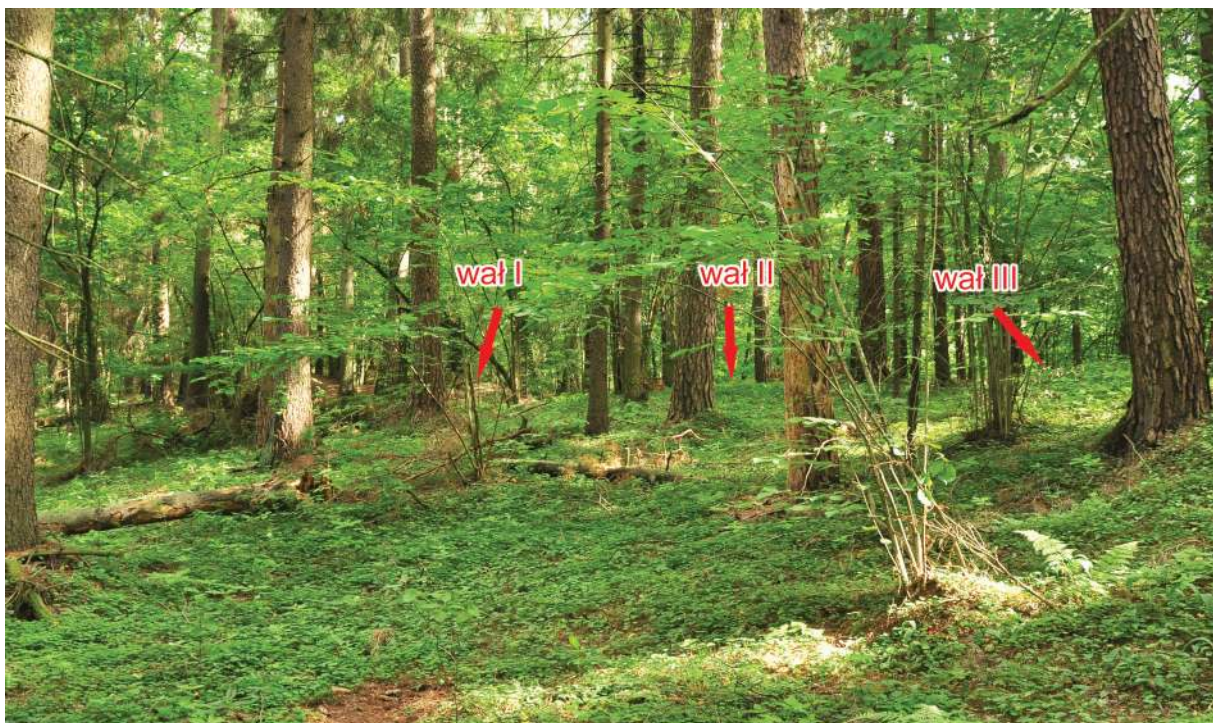
Powierzchnia całego grodziska mierzona do zewnętrznej krawędzi wału III wynosi około 14,5 ara.



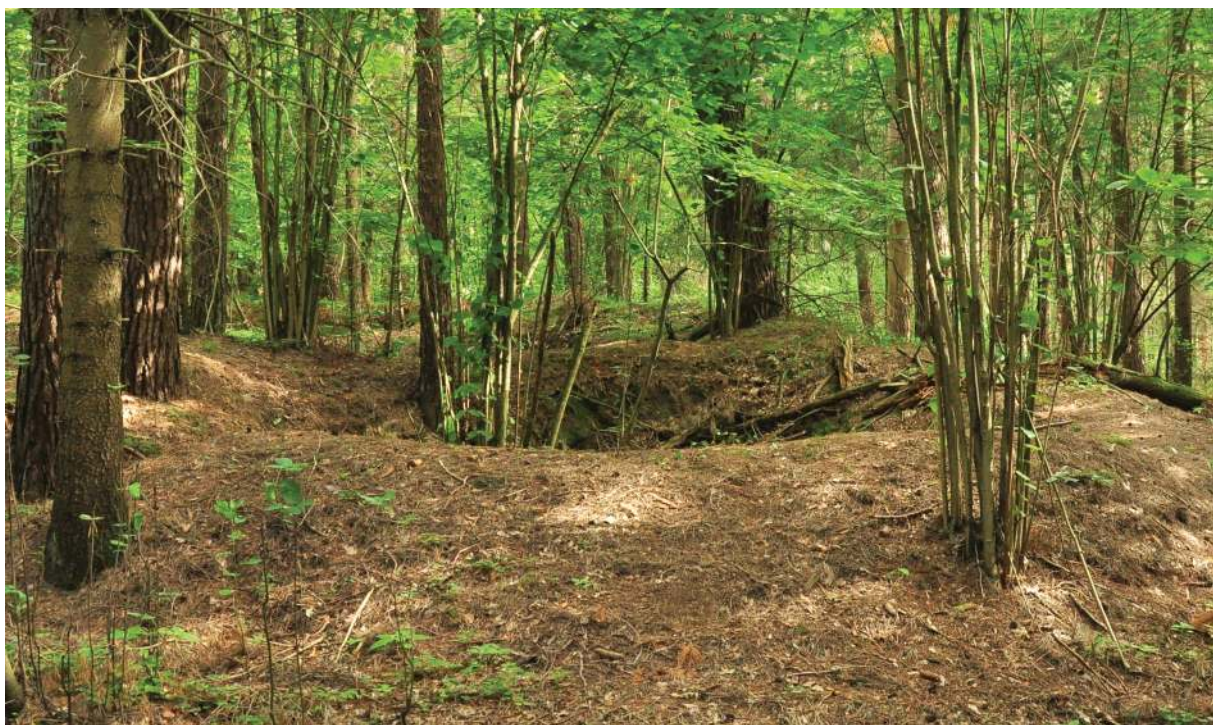
Ryc. 3. Grodzisko w Opinie, st. 16
na zobrazowaniu ALS (na podstawie materiałów
GUGiK, oprac. R. Solecki)



Ryc. 4. Przekrój grodziska w Opinie, st. 16
uzyskany z danych ALS (na podstawie
materiałów GUGiK, oprac. R. Solecki)



Ryc. 5. Opin, st. 16. Widok na wały grodziska (fot. K. Rabiega)



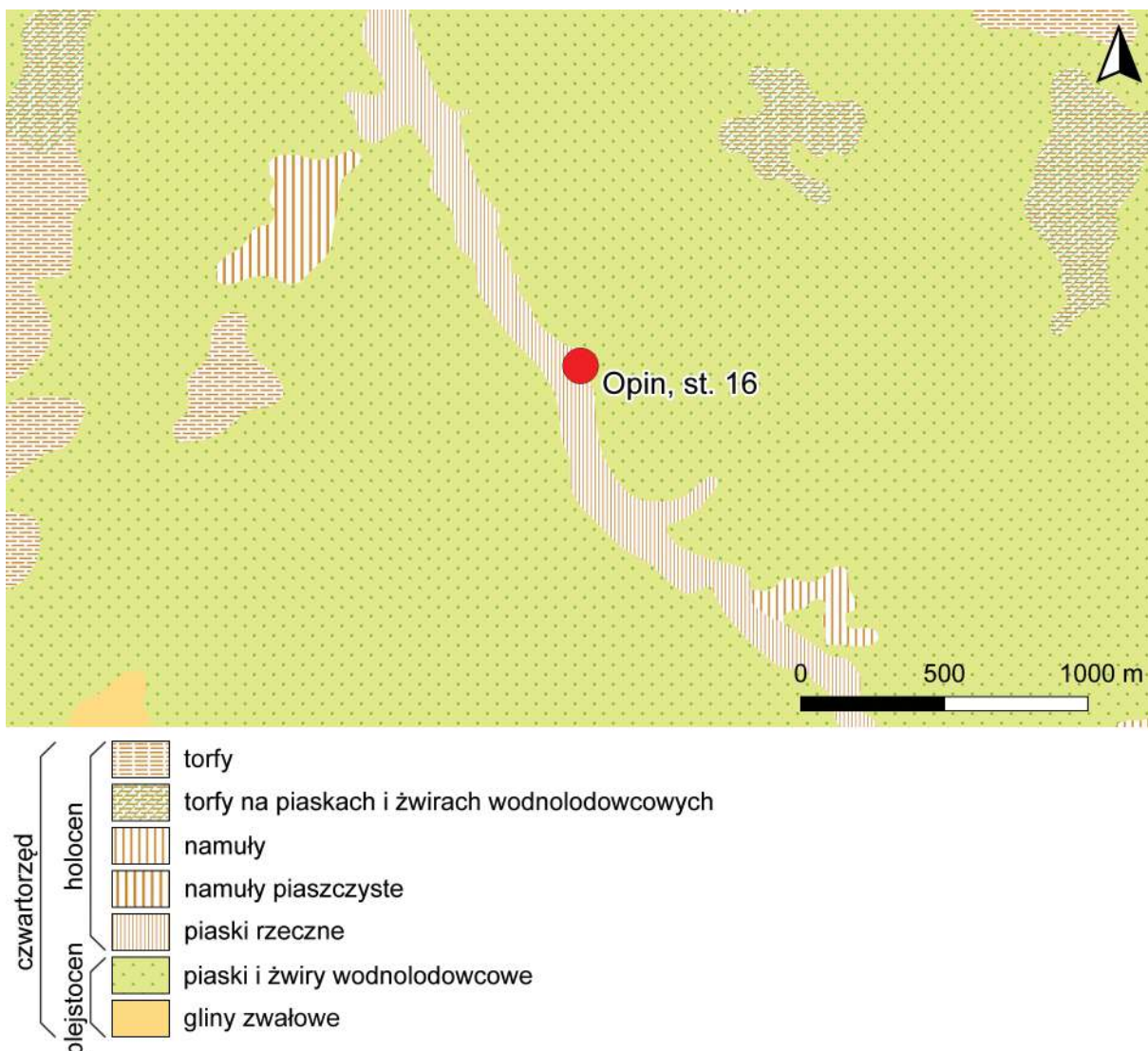
Ryc. 6. Opin, st. 16. Widok ziemianek położonych na południowy wschód od grodziska (fot. K. Rabiega)

Bezpośrednio przy południowo-wschodniej krawędzi umocnień rozpoczyna się linia, którą tworzą dużych rozmiarów wкопy, szerokości do nawet ponad 10 m i głębokości około 2–2,5 m (ryc. 6). Jest to prawdopodobnie pozostałość ziemianek wchodzących w skład umocnionego obozu wojskowego z XIX lub początku XX wieku za czym przemawiają znaleziska zabytków rozrzuconych na powierzchni, które można datować na ten czas.

ŚRODOWISKO FIZYCZNOGEOGRAFICZNE ANNA LEJZEROWICZ

Według podziału fizycznogeograficznego Polski Jerzego Kondrackiego grodzisko w Opinie, st. 16 znajduje się w mezoregionie Równina Ornecka¹.

¹ Kondracki 2002: 102.



Ryc. 7. Wycinek arkusza Szczegółowej Mapy Geologicznej Polski z zaznaczonym grodziskiem w Opinie, st. 16 (źródło: www.cbdgmapa.pgi.gov.pl/arcgis/services/kartografia/smgp50k/MapServer/WMServer, oprac. R. Solecki)

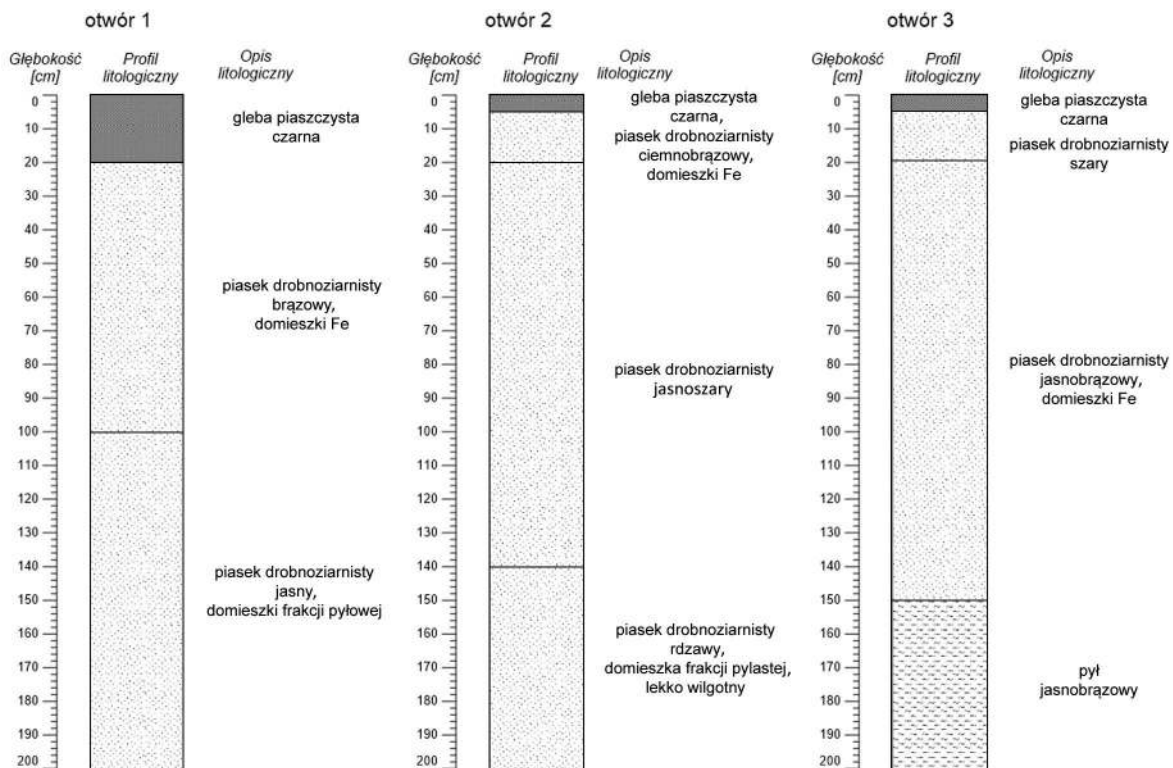
Obecna rzeźba obszaru wokół grodziska została ukształtowana w wyniku deglacacji lądolodu stadiału górnego zlodowacenia Wiśły, a w późniejszym okresie częściowo zmieniona działalnością procesów denudacyjnych. Stanowisko znajduje się w obrębie rozległej równiny sandrowej zbudowanej z piasków wodnolodowcowych, która w okolicy wsi Opin przechodzi w wysoczyznę morenową płaską. Lokalne deniwelacje terenu nie przekraczają tu kilku metrów i zazwyczaj związane są z pojedynczymi wzgórzami kemowymi. Sieć drenażu jest dobrze rozwinięta, a wody są odprowadzane w kierunku doliny rzeki Paśniki. Zdarzają się jednak także obniżenia wy pełnione torfami².

Według Szczegółowej Mapy Geologicznej Polski w skali 1:50 000 na obszarze grodziska występują piaski i żwiry wodnolodowco-

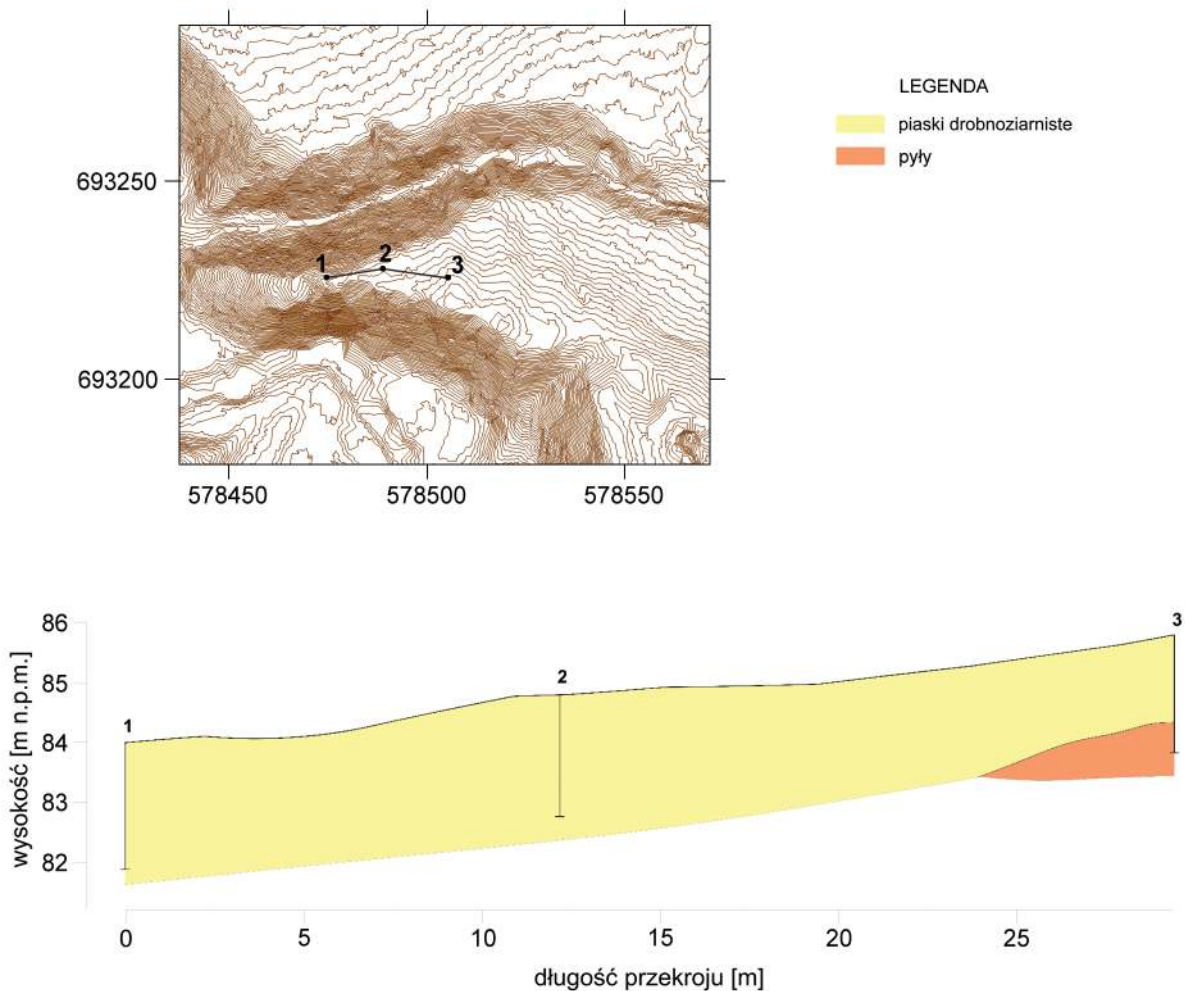
we (ryc. 7). Według Mapy Geologicznej Polski w skali 1: 500 000 jest to obszar występowania piasków i żwirów sandrowych.

Grodzisko w Opinie zajmuje niewielki cyprys oddzielony od doliny rzeki Lubomińskiej Strugi bardzo stromą skarpą. Od północy obszar ten ograniczony jest wycięciem erozyjnym. Na powierzchni grodziska wykonano trzy wiercenia sondą ręczną do maksymalnej głębokości 2 m w celu rozpoznania budowy geologicznej. Szczegółowa litologia jest widoczna oraz została opisana na poszczególnych profilach wierceń (ryc. 8). Na podstawie wykonanych wierceń stworzony został schematyczny przekrój geologiczny przez stanowisko (ryc. 9). W odwiertach zaobserwowa no występowanie przede wszystkim osadów piasków drobnoziarnistych, lokalnie również pyłów. Część osadów piaszczystych zawiera niewielkie domieszki związków żelaza.

² Rabek i Narwojsz 2014.



Ryc. 8. Profile litologiczne odwiertów wykonanych na obszarze grodziska w Opinie, st. 16 (oprac. A. Lejzerowicz)



Ryc. 9. Schematyczny przekrój geologiczny przez grodzisko w Opinie, st. 16 (oprac. A. Lejzerowicz)

BADANIA ARCHEOLOGICZNE

KAMIL RABIEGA, PRZEMYSŁAW JAŻDŻYK
I RAFAŁ SOLECKI

Przebieg badań terenowych

Weryfikację stanowiska w terenie przeprowadzono wiosną, a badania latem 2022 roku. Ze względu na fakt, że obszar stanowiska porośnięty jest gęstym lasem, nie było możliwe przeprowadzenie badań nieinwazyjnych. Problemem okazało się także takie wytyczanie wykopów, aby ich wspólny profil tworzył jedną linię, przez co konieczne było dopasowanie się do panujących warunków. Wykop 1 (W1), o wymiarach o wymiarach $1,5 \times 9$ m, wytyczono na osi zbliżonej do wschód-zachód, tak aby przecinał wał I, fosę I i wał II. Wykop 2 (W2), o wymiarach $1,5 \times 7$ m, także ułożono na osi zbliżonej do wschód-zachód. Jego wschodnia ściana znajdowała się blisko szczytu wału I, a zachodnia na majdanie, u podnóża wału. Położenie wykopów przedstawia ryc. 10.

Stratygrafia stanowiska

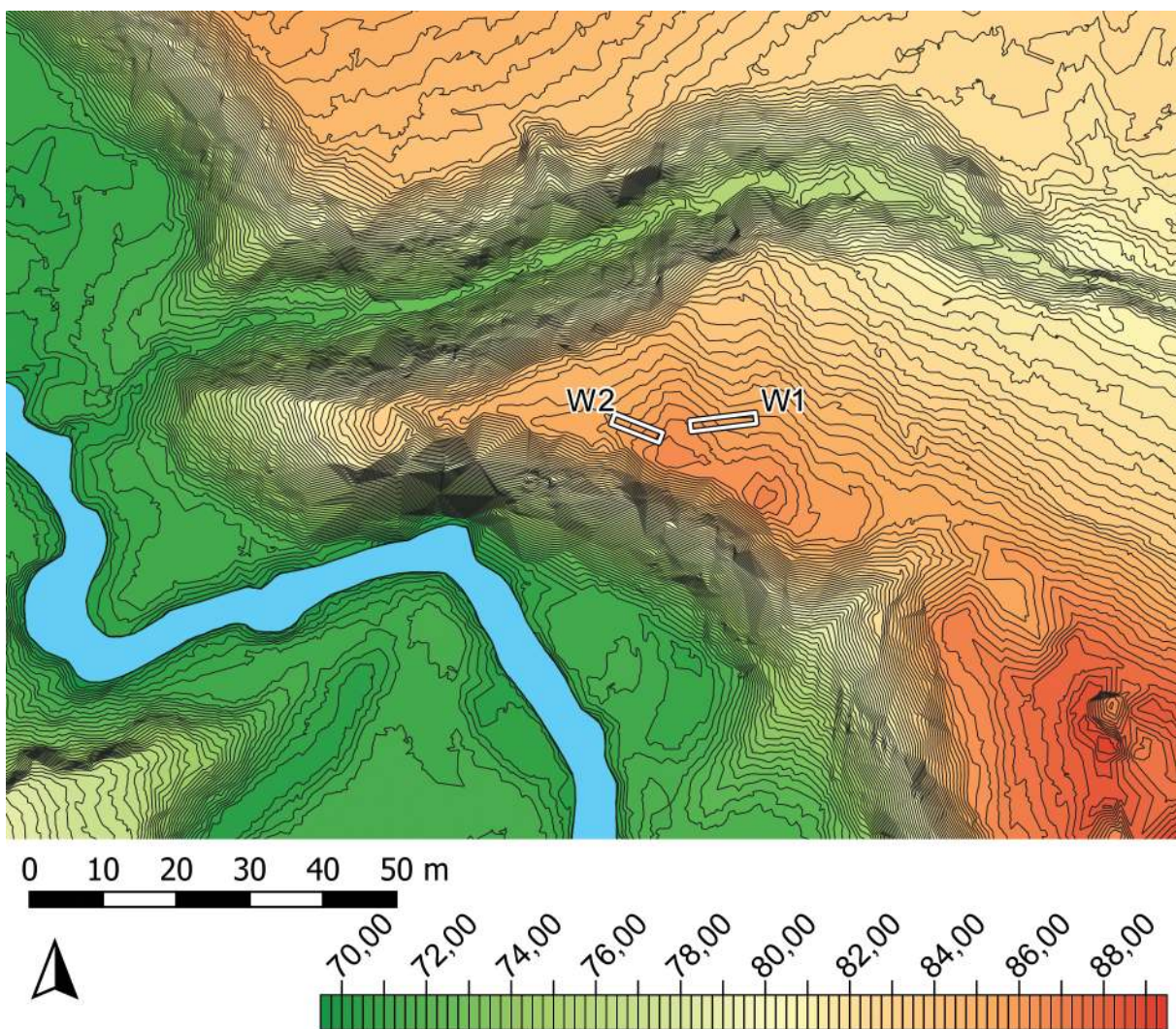
W trakcie omawianych badań archeologicznych wydzielono łącznie 30 jednostek stratygraficznych, w tym jeden obiekt (tabela 1). Możliwe było ich rozdzielenie pomiędzy warstwy naturalne i dwie fazy związane z dziejami grodziska. Dla Fazy I wydzielono jeszcze dwie mniejsze podfazy A-B. Diagram Harrisa dla wydzielonych jednostek stratygraficznych przedstawia ryc. 11, a zadokumentowane powierzchnie ryc. 12–14.

Warstwy naturalne

W trakcie badań jako jednostkę naturalną wydzielono żwarty piasek z frakcjami gliniastymi i wytrąceniami żelazistymi, który w obu wykopach badawczych otrzymał numer 22.

Faza I

Fazę tę należy datować na wcześnie epokę żelaza. W tym czasie stanowisko zostało zasiedlone przez ludność kultury kurhanów zachodniobatyskich, która założyła w tym



Ryc. 10. Opin, st. 16. Plan grodziska z naniesionymi wykopami archeologicznymi (oprac. R. Solecki)

miejscu osiedle obronne. Na podstawie stratygrafii zadokumentowanych jednostek wydzielono dwie podfazy – A i B.

Faza IA wiąże się z budową umocnień groduowych – usypywaniem wałów i formowaniem fos. Wały I i II zostały usypane z piasków o drobnej frakcji. Najstarszą jednostką wału I był bielicowy, homogeniczny piasek z plamami zwęgleń, o miąższości do 35 cm, która w W1 została zadokumentowana pod numerem 27, a w W2 pod numerem 21 = 24. Powyżej, w W1, zaobserwowano stosunkowo cienką warstwę przepalonej ziemi z węglami drzewnymi 17, o miąższości do 25 cm. Po zachodniej stronie wału, w W2, odpowiada jej przemieszana, piaszczysta glina 26, o miąższości do 10 cm. Górną część wału I w W1 tworzy zwarta, piaszczysta, przemieszana ziemia 8 o miąższości 30 cm i odpowiadająca jej w W2 piaszczysto-gliniasta ziemia z dużą ilością węgli drzewnych 5 = 23 o miąższości do 40 cm.

Wał II usypano z bielicowej, homogenicznej ziemi 28 o miąższości do 30 cm, zawierającej plamy zwęgleń i charakteryzującej się wytrąceniami żelazistymi. Nad nią zalega cienka warstwa przepalonej organicznej ziemi 29 o miąższości do 10 cm, a wyżej piaszczysta, zbita ziemia 10 o miąższości do 40 cm. Warstwa ta została dodatkowo wzmacniona licznymi, małymi i średnimi kamieniami o średnicy do 25 cm. Najwyższą część wału II tworzy przemieszana ziemia 3 o miąższości do 15 cm.

Faza IB odzwierciedla okres funkcjonowania osiedla obronnego po jego zbudowaniu i charakteryzuje się nawarstwieniami kulturowymi poziomu użytkowego ze stosunkowo licznym materiałem zabytkowym. Na majdanie powstały wówczas homogeniczne warstwy luźnego piasku – jednostka 13 o miąższości do 15 cm oraz jednostka 4 o miąższości dochodzącej do 30 cm.

W fazie tej fosa I została wypełniona piaszczystym nawarstwieniem zbitej, heterogenicznej ziemi z wtrętami węgli drzewnych 30 o miąższość dochodzącej do 40 cm. Powyżej wytworzyła się bielicowa niejednorodna ziemia z jasnymi przebarwieniami 20 o miąższości do 15 cm.

W południowej części W1 nie zaobserwano pogłębionego wkopu fosy. Bezpośrednio nad podłożem naturalnym zalegała piaszczysta warstwa 25 o miąższości do 10 cm, z wtrętami przepalonej ziemi i dużymi plama-

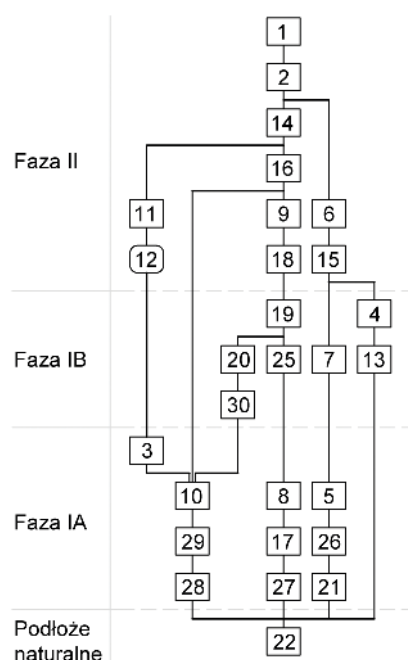
mi węgli drzewnych. Z warstwy tej pobrano próbę węgla do analizy radiowęglowej. Wynik analizy dał przedział lat 160 p.n.e.–22 n.e. z prawdopodobieństwem 95,4%. Zmniejszając prawdopodobieństwo do 50,9%, przedział zawodził się do lat 103–31 p.n.e.³

Na wale I od strony zachodniej wytworzyła się niejednorodna warstwa piaszczystej gliny 7 o miąższości do 20 cm. Po wschodniej stronie wału I zaobserwowano bielicową warstwę 19 o miąższości do 20 cm.

Faza II

Do fazy tej zaliczono jednostki powstałe w wyniku procesów erozyjnych, które zachodziły w okresie po opuszczeniu stanowiska we wczesnej epoce żelaza. Wiązało się to z osuwaniem się piaszczystego sedymentu z wałów do fos i na obszar majdanu. W fosie I w pierwszej kolejności wytworzyła się piaszczysto-gliniasta zbita ziemia 18 o miąższości do 10 cm, która pierwotnie mogła stanowić element umocnień wału. Sedyment spływowy z wału I w kierunku wschodnim stanowi piaszczysta, niejednorodna ziemia z jasnymi i ciemnymi przebarwieniami 9 o miąższości dochodzącej do 35 cm. Powyżej niej, w W1, zaobserwowano piaszczyste, heterogeniczne spływy z wału II w kierunku zachodnim – piasek bielicowy 16 o miąższości do 20 cm oraz

³ Analiza przeprowadzona w Poznańskim Laboratorium Radiowęglowym, próba nr Poz-162592.



Ryc. 11 Opin, st. 16. Diagram relacji stratygraficznych (oprac. K. Rabiega)

Tabela 1. Opin, st. 16. Katalog warstw i obiektów oraz ich zależności stratygraficznych
(oprac. K. Rabiega i P. Jaźdzyk)

Numer jednostki	Numer obiektu	Numer wykopu	Polożenie w obrębie stanowiska	Współrzędne geodezyczne (PUGW 2000)	Opis jednostki stratygraficznej	Barwa (Munsell)	Pozycja stratygraficzna	
							Znajduje się pod	Znajduje się nad
1	-	1, 2	Całe stanowisko	Y=7447714,0-7447733,9; X=5996585,9-5996590,0	Piaszczysta, humusowa ziemia; miąższość do 20 cm; humus leśny	10YR 3/2	-	2
2	-	1, 2	Całe stanowisko	Y=7447714,0-7447733,9; X=5996585,9-5996590,0	Piaszczysta, sypka bielicowa warstwa pod humusem leśnym; znaleziono w niej 146 fragmentów ceramiki; miąższość do 20 cm	10YR 5/1	1	3, 4, 6, 7, 8, 9, 14, 15
3	-	1	Szczyt wału II	Y=7447732,4-7447733,9; X=5996588,0-5996589,6	Piaszczysta, przemieszana warstwa, miąższość do 15 cm; znaleziono w niej 38 fragmentów ceramiki; górna część nasypu wału II	10YR 5/6	2, 14	10
4	-	2	Majdan	Y=7447714,7-7447717,3; X=5996587,3-5996590,9	Luźny piasek, warstwa jednorodna, miąższość do 30 cm; znaleziono w niej 89 fragmentów ceramiki; poziom użytkowy przy wałe I	10YR 5/8	2, 6, 12, 15	5, 13, 21, 22
5=23	-	2	Wał I	Y=7447717,7-7447721,0; X=5996585,9-5996588,5	Piaszczysto-gliniasta ziemia, zawierająca dużą ilość węgli drzewnych; miąższość do 40 cm; znaleziono w niej 33 fragmenty ceramiki; nasyp wału I	10YR 6/6	4, 7, 15	21, 26
6	-	2	Majdan	Y=7447714,7-7447717,8; X=5996587,3-5996589,3	Piaszczysta bielicowa, przemieszana ziemia; miąższość do 20 cm; znaleziono w niej 4 fragmenty ceramiki; warstwa erozyjna, spływ z wału I	10YR 4/3	2	4, 11, 12, 15
7	-	2	Wał I	Y=7447718,3-7447721,0; X=5996585,9-5996588,5	Piaszczysta glina, niejednorodna, z wyraźnymi żelazistymi; znaleziono w niej 10 fragmentów ceramiki; miąższość do 20 cm; warstwa nasypowa wału lub poziom użytkowy z okresu funkcjonowania osady	10YR 4/8	2, 15	5, 21
8	-	1	Wał I	Y=7447724,9-7447727,8; X=5996587,3-5996589,0	Piaszczysta, przemieszana ziemia; miąższość do 30 cm; nasyp wału	10YR 6/3	2, 9, 19, 25	17, 27
9	-	1	Wschodni stok wału I	Y=7447725,4-7447731,8; X=5996587,3-5996589,4	Piaszczysta, niejednorodna ziemia z jasnymi i ciemnymi przebarwieniami; miąższość do 35 cm; znaleziono w niej 1 fragment ceramiki; warstwa erozyjna, spływ z wału I w kierunku wschodnim	10YR 5/2	2, 14, 16	8, 18, 19, 20
10	-	1	Wał II	Y=7447730,6-7447733,9; X=5996587,8-5996589,6	Zbity piasek z licznymi małymi i średnimi kamieniami o średnicy do 25 cm; miąższość do 40 cm; znaleziono w niej 11 fragmentów ceramiki; nasyp wału II	10YR 6/6	3, 14, 16, 20, 30	22, 28, 29
11	12	2	Majdan	Y=7447715,3-7447715,5; X=5996588,6-5996588,8	Spieszona glina z dużą ilością węgli drzewnych; miąższość ok. 15 cm; wypełnisko domniemanego dołka postępowego	10YR 3/1	6	12
12	12	2	Majdan	Y=7447715,3-7447715,5; X=5996588,6-5996588,8	Owalny obiekt o wymiarach ok. 10 x 20 cm, głębokość ok. 15 cm; domniemany dołek postępowy	-	6, 11	4
13	-	2	Majdan	Y=7447714,0-7447714,8; X=5996588,3-5996589,3	Luźna, piaszczysta ziemia; znaleziono w niej 11 fragmentów ceramiki; miąższość do 15 cm; poziom użytkowy bezpośrednio nad podłożem naturalnym	10YR 5/6	4	22
14	-	1	Zachodni stok wału II / fosa I	Y=7447727,9-7447733,3; X=5996587,6-5996589,6	Piaszczysta, niejednorodna ziemia z jasnymi i ciemnymi przebarwieniami; miąższość do 30 cm; warstwa erozyjna, spływ z wału II w kierunku zachodnim	10YR 5/4	2	3, 9, 10, 16, 18
15	-	2	Zachodni stok wału I	Y=7447716,8-7447719,7; X=5996586,6-5996588,9	Piaszczysta, przemieszana ziemia; miąższość do 25 cm; znaleziono w niej 30 fragmenty ceramiki; warstwa erozyjna, spływ z wału I	10YR 5/6	2, 6	4, 5, 7, 21
16	-	1	Fosa I	Y=7447729,0-7447732,5; X=5996587,7-5996589,5	Piasek bielicowy, niejednorodny; miąższość do 20 cm; warstwa erozyjna, spływ z wału II w kierunku zachodnim	10YR 6/4	14	9, 10, 18, 20, 22, 25
17	-	1	Wał I	Y=7447724,8-7447728,3; X=5996587,3-5996589,1	Piaszczysta jednorodna ziemia z plamami przepaleń; miąższość do 25 cm; znaleziono w niej 2 fragmenty ceramiki; nasyp wału	10YR 5/6	8, 19	22, 27
18	-	1	Fosa I	Y=7447728,3-7447729,5; X=5996587,6-5996588,0	Piaszczysto-gliniasta ziemia, zbita; miąższość do 10 cm; warstwa erozyjna, stanowiąca być może pozostałość umocnień wału	10YR 5/8	9, 14, 16	19, 25
19	-	1	Wschodni stok wału I	Y=7447726,5-7447730,8; X=5996587,4-5996589,3	Piaszczysta ziemia z jasnymi przebarwieniami, bielicowa, zawierająca fragmenty węgli drzewnych; miąższość do 20 cm; znaleziono w niej fragment żelaza; poziom użytkowy	10YR 7/4	9, 18	8, 17, 20, 22, 25
20	-	1	Fosa I	Y=7447730,3-7447732,3; X=5996588,6-5996589,5	Piaszczysta, bielicowa, niejednorodna ziemia z jasnymi przebarwieniami, zawierająca fragmenty węgli drzewnych; miąższość do 15 cm; znaleziono w niej 3 fragmenty ceramiki; poziom użytkowy	10YR 5/6	9, 16, 19	10, 22, 30
21=24	-	2	Wał I	Y=7447717,3-7447721,0; X=5996585,9-5996588,5	Piaszczysta, bielicowa, homogeniczna ziemia z plamami zwęglień; znaleziono w niej 1 fragment ceramiki; miąższość do 35 cm; nasyp wału	5Y 7/2	4, 5, 7, 15, 26	22

Tabela 1. Opin, st. 16. Katalog warstw i obiektów oraz ich zależności stratygraficznych, ciąg dalszy
(oprac. K. Rabiega i P. Jaźdzyk)

Numer jednostki	Numer obiektu	Numer wykopu	Położenie w obrębie stanowiska	Współrzędne geodezyjne (PUGW 2000)	Opis jednostki stratygraficznej	Barwa (Munsell)	Pozycja stratygraficzna	
							Znajduje się pod	Znajduje się nad
22	-	1, 2	Całe stanowisko	Y=7447714,0-7447733,9; X=5996585,9-5996590,0	Zwarty piasek z frakcjami gliny i wytrąceniami żelazistymi, podłoże naturalne	2.5Y 7/8	4, 10, 13, 16, 17, 19, 20, 21, 25, 27, 28, 29, 30	-
25	-	1	Fosa I	Y=7447727,5-7447730,4; X=5996587,5-5996588,2	Piaszczysta warstwa z wtrątami przepalonej ziemi i dużymi plamami węgli drzewnych, miąższość do 10 cm; poziom użytkowy w fosie bezpośrednio nad podłożem naturalnym	10YR 4/3	16, 18, 19	8, 22, 27
26	-	2	Wał I	Y=7447719,1-7447721,0; X=5996585,9-5996588,0	Piaszczysta glina z domieszką materii organicznej i węgli drzewnych przemieszana z żółtym, piaszczystym wtrątem; znaleziono w niej 1 fragment ceramiki; miąższość do 10 cm; element nasypu wału	5Y 5/1	5	21
27	-	1	Wał I	Y=7447724,8-7447727,3; X=5996587,3-5996589,0	Piaszczysta, bielicowa, homogeniczna ziemia z plamami zwęgleń; znaleziono w niej 1 fragment ceramiki; miąższość do 35 cm; nasyp wału	10YR 6/6	8, 17, 25	22
28	-	1	Wał II	Y=7447730,9-7447733,9; X=5996587,8-5996589,6	Piaszczysta, bielicowa, homogeniczna ziemia z plamami zwęgleń i wytrąceniami żelazistymi; miąższość do 30 cm; element nasypu wału	10YR 7/4	10, 29	22
29	-	1	Wał II	Y=7447730,9-7447733,9; X=5996587,8-5996589,6	Piaszczysta, cienka warstwa przepalonej organicznej ziemi; miąższość do 10 cm; element nasypu wału	10YR 5/4	10	22, 28
30	-	1	Fosa I	Y=7447730,5-7447732,1; X=5996588,9-5996589,4	Piaszczysta, zbita, heterogeniczna ziemia z wytrąceniami żelazistymi, zawierająca wtrąty węgli drzewnych; miąższość do 40 cm; wypełnisko fosy	10YR 7/6	20	10, 22

ciemniejszą, pomarańczową ziemię z jasnymi i ciemnymi przebarwieniami 14 o miąższości do 30 cm.

Warstwami spływowymi z wału I w W2 były piaszczysta, przemieszana ziemia 15 o miąższości do 25 cm, a następnie bielicowy piasek 6 o miąższości do 20 cm. W W2, powyżej warstw użytkowych z wczesnej epoki żelaza, zaobserwowano ovalny obiekt 12 o wymiarach około 10 × 20 cm i głębokości do 15 cm. Jego wypełniskiem była spłaszczona glina zawierająca dużą ilość węgli drzewnych 11. Datowanie bezwzględne metodą radiowęglową wykazało, że wypełnisko powstało najprawdopodobniej dopiero w XIX wieku⁴, dla tego może stanowić pozostałość po jednorazowej aktywności człowieka w tym miejscu, być może związanego z dużych rozmiarów wkopami widocznymi na powierzchni na południowy wschód od grodziska.

Nad warstwami erozyjnymi wytworzyła się stosunkowo cienka, jasnoszara warstwa bielicowa 2. Współczesny poziom użytkowy tworzy ciemna, piaszczysta, organiczna ziemia silnie poprzerastana korzeniami 1, pokrywająca cały obszar stanowiska.

⁴ Wynik po kalibracji wskazał przedział lat 1679–1941 n.e. z prawdopodobieństwem 94,5%, przedział lat 1800–1941 n.e. z prawdopodobieństwem 67,1% i przedział lat 1809–1895 z prawdopodobieństwem 42,6%. Analiza przeprowadzona w Poznańskim Laboratorium Radiowęgowym, próba nr Poz-162411.

ZNALEZISKA

RAFAŁ SOLECKI

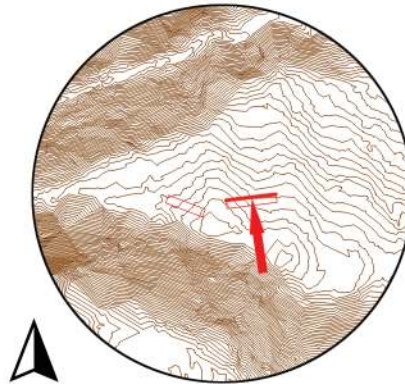
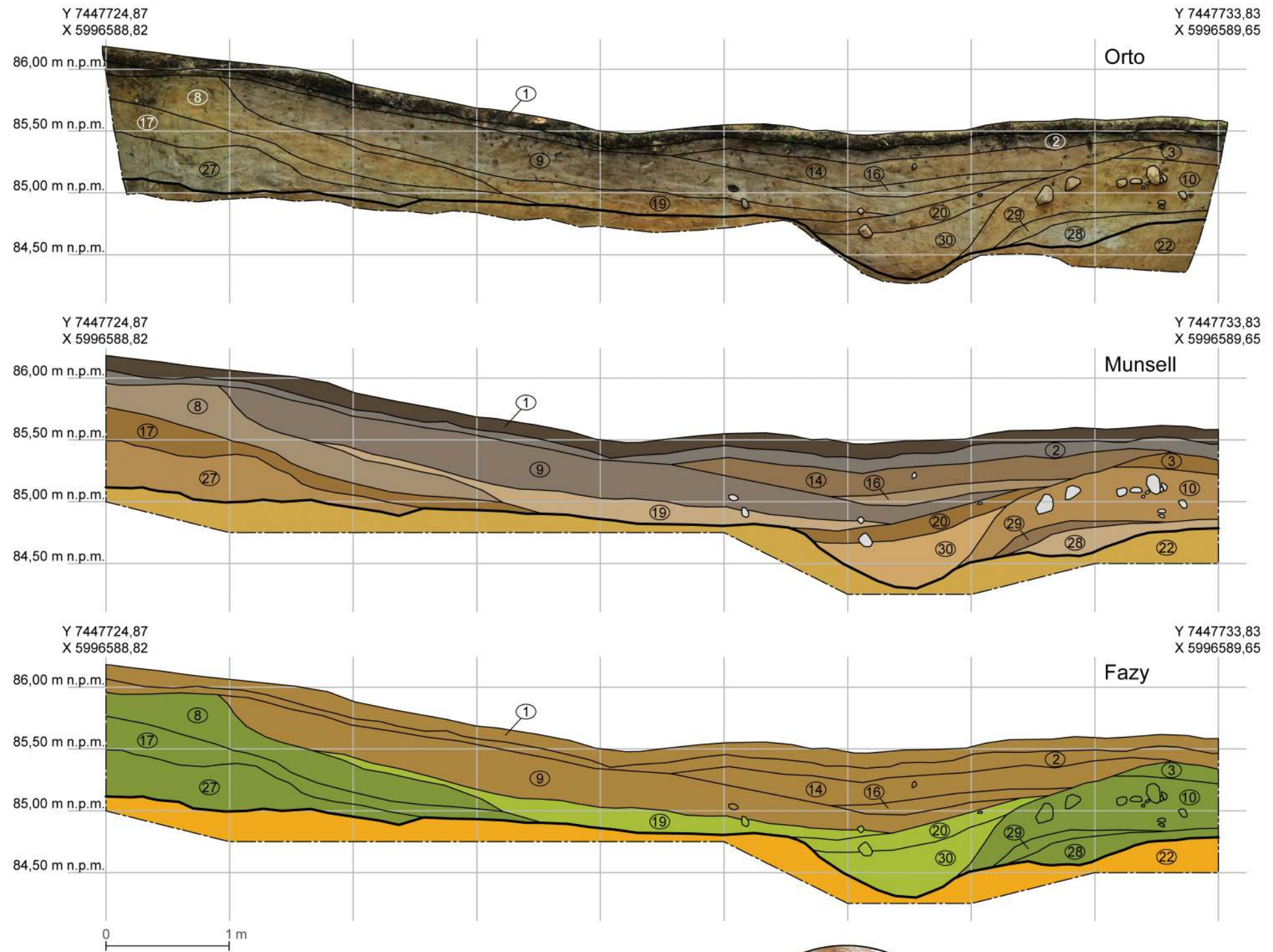
Na materiał zabytkowy pozyskany w trakcie badań archeologicznych składają się: 381 fragmentów ceramiki, 3 zabytki wydzielone oraz 1 kość zwierzęca.

Ceramika

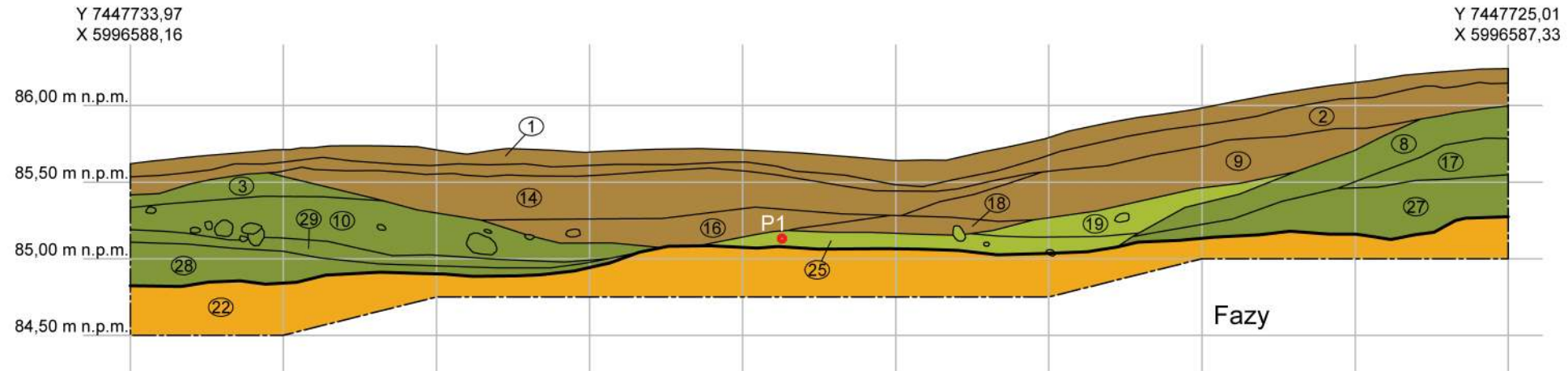
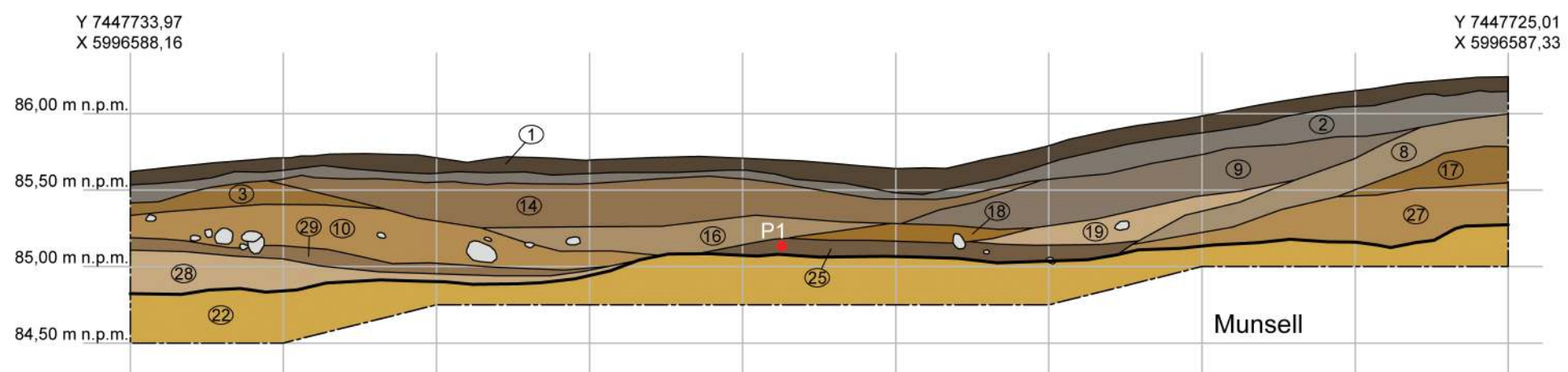
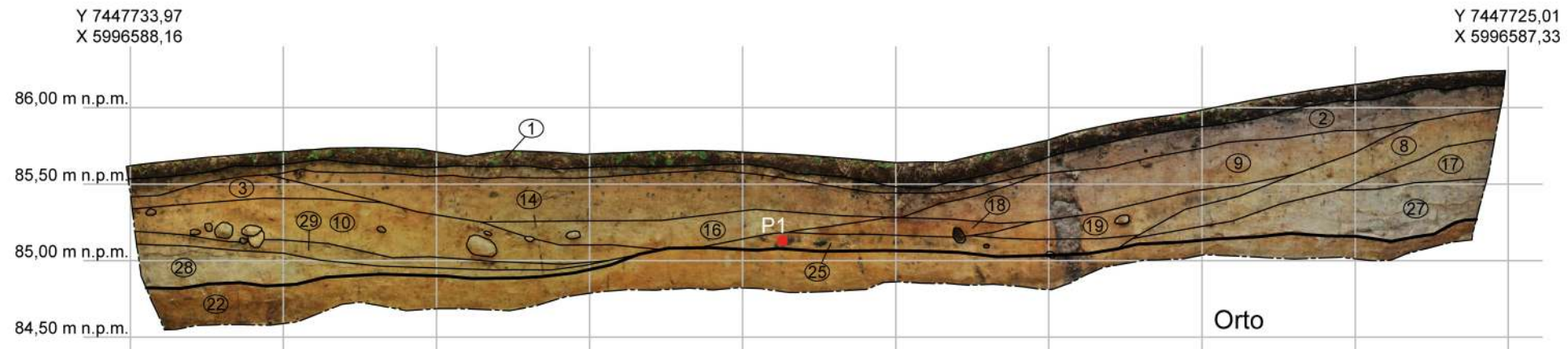
Pozyskany zespół fragmentów naczyń ceramicznych jest silnie rozdrobniony. Zbiór ułamków o wielkości w przedziale 1–4 cm liczy aż 324 elementy (85,0% całego zbioru). Poza dużym rozdrobnieniem stan zachowania fragmentów także nie jest najlepszy. Stosując klasyfikację zaproponowaną przez A. Buko⁵, 125 fragmentów (32,8% całego zbioru) przypisano do kategorii III (ceramika mocno zerodowana), 63 fragmenty (16,5% całego zbioru) do kategorii II (ceramika zerodowana w średnim stopniu) i 193 fragmenty (50,7% całego zbioru) do kategorii I (ceramika nie wykazująca większego zniszczenia powierzchni). Nie wydzielono kategorii 0 (ceramika bez śladów zniszczenia). Dlatego też 132 fragmenty (34,6% zbioru) określono jako niediagnostyczne.

Przeprowadzona analiza wykazała, że 249 fragmentów z cechami diagnostycznymi reprezentuje generalnie jedną grupę technologiczno-surowcową. Proces wypału naczyń,

⁵ Buko 1990: 352.



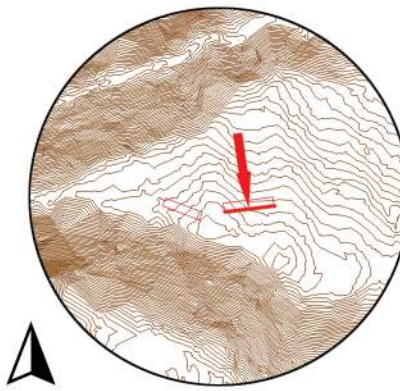
Ryc. 12. Opin, st. 16. Stratygrafia nawarstwień w obrębie wału I, fosy I i wału II – wykop 1, profil N (oprac. K. Rabiega, P. Jaźdzyk i R. Solecki)



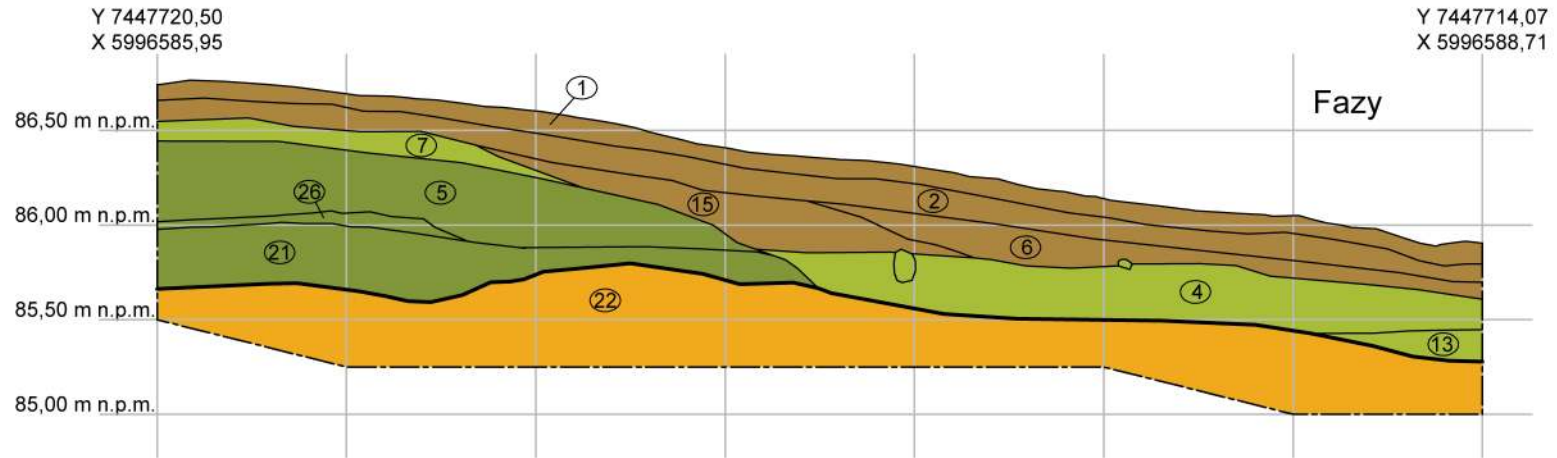
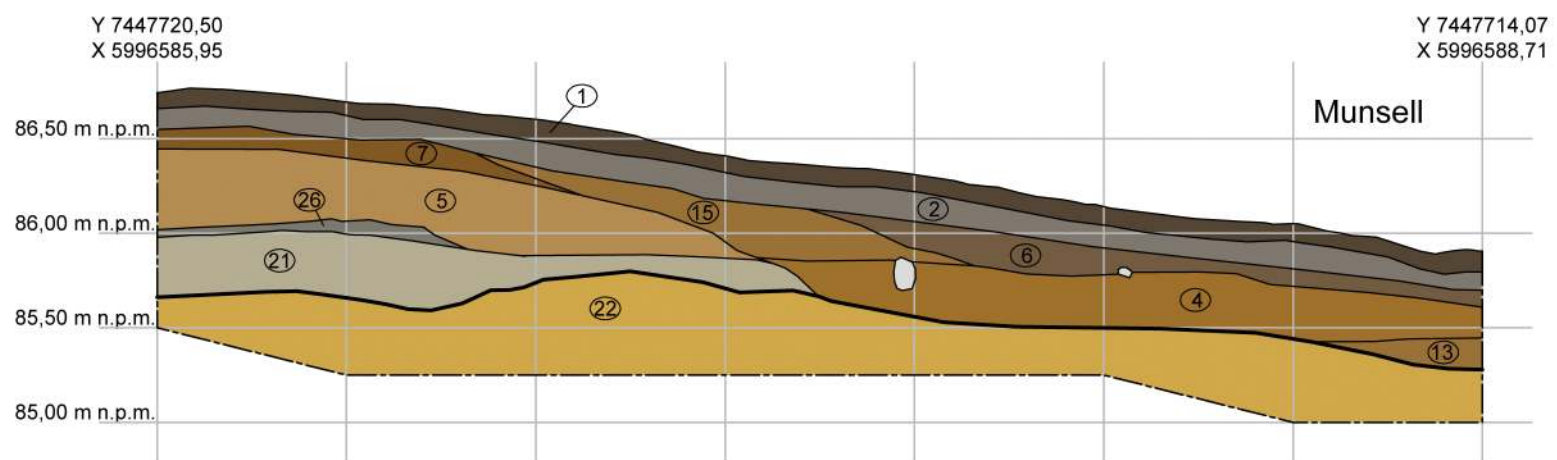
0 1 m

P1 – lata 160 p.n.e. – 22 n.e.
(prawdopodobieństwo 95,4%)

	Faza II
	Faza IB
	Faza IA
	Warstwy naturalne

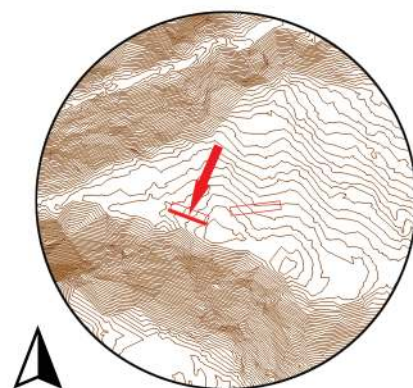


Ryc. 13. Opin, st. 16. Stratygrafia nawarstwień w obrębie wału I, fosy I i wału II – wykop 1, profil S (oprac. K. Rabiega, P. Jaźdzyk i R. Solecki)



0 1 m

	Faza II
	Faza IB
	Faza IA
	Warstwy naturalne



Ryc. 13. Opin, st. 16. Stratygrafia nawarstwień w obrębie wału I i majdanu – wykop 2, profil S (oprac. K. Rabiega, P. Jaźdzyk i R. Solecki)

z których pochodzą fragmenty, odbywał się w niezaawansowanej atmosferze utleniającej. Do wyrobu naczyń użyto masy ceramicznej zawierającej dużą ilość drobnej, średniej i grubiej domieszki schudzającej – piasku, drobin tarych kamieni, w tym miki i szamotu. Naczynia były budowane ręcznie – nie odnotowano śladów obtaczania, a częste były zagniebienia po palcach. Powierzchnia ścian była opracowywana na różne sposoby. Najliczniejszą podgrupę tworzyły fragmenty o powierzchni chropowaczej, których w grupie diagnostycznej wydzielono 123 (49,4% grupy ułamków diagnostycznych). Ich średnia grubość wynosiła około 7,3 mm. Tu znalazło się 9 wylewów, 112 brzuśców, 1 ucho i 2 części przydenne. Kolejną liczną podgrupę tworzyły fragmenty o gładkiej powierzchni, których wydzielono 64 (25,7% grupy ułamków diagnostycznych). Ich średnia grubość wynosiła około 6,1 mm. Tu znalazło się 10 wylewów, 52 brzuśce i 2 części przydenne. Szczególnym typem powierzchni gładkiej było jej wyściecanie. Taką formę opracowywania powierzchni wydzielono na 9 fragmentach (3,6% grupy ułamków diagnostycznych), w tym na 8 wylewach i 1 uchu. Ich średnia grubość wynosiła około 5,4 mm. Ostatnią podgrupę tworzyły fragmenty o powierzchni szorstkiej, których wydzielono 53 (21,3% grupy ułamków diagnostycznych). Ich średnia grubość wynosiła około 7,0 mm. Tu znalazło się 6 wylewów, 45 brzuśców, 1 ucho i 1 fragment płaskiego dna.

Z powodu dużego rozdrobnienia ceramiki nie udało się odtworzyć ani jednej pełnej formy naczynia. Możliwe było jednak określenie, jakie formy w analizowanym zbiorze występowały. Tu skorzystano z typologii zaproponowanej przez Mirosława Hoffmanna, przygotowanej dla materiałów z południowo-wschodniej strefy nadbałtyckiej, z okresu I tysiąclecia p.n.e. Za takim doborem typologii przemawiał z jednej strony wynik datowania radiowęglowego jednej z jednostek stratygraficznych, z której pochodziły zabytki, a który wskazywał na II wiek p.n.e. – I wiek n.e. Drugą przesłanką był minimalny udział den w analizowanym zbiorze – 1 dno i 5 części przydennych, co w sumie stanowi tylko 1,6% całego pozyskanego zbioru. To może sugerować, że naczynia miały kuliste dna, a jak wskazuje Jerzy Okulicz kulistość partii dennych naczyń jest cechą charakterystyczną ceramiki kultury kurhanów zachodniobałtyjskich⁶.

⁶ J. Okulicz 1973: 271.

Z asortymentu form wydzielonych przez M. Hoffmanna udało się zadokumentować naczynia o kształcie:

- wazowatym (typ I wg Hoffmanna⁷) o krótkiej, niewyodrębnionej lub tylko nieznacznie wyodrębnionej szyjce. Kształty odpowiadają grupie III i IV, które autor datuje odpowiednio na okres lateński A/B i młodszy okres przedrzymski. Wylewy o takim profilu występowały wśród fragmentów ceramiki z powierzchnią chropowaczą (tabl. 1:1–2), szorstką (tabl. 1:6–8) i gładką (tabl. 2:1–2);
- dwustożkowe (typ II wg Hoffmanna⁸). Tu zakwalifikowano tylko jeden fragment brzuśca o szorstkiej powierzchni i wyraźnym, zaakcentowanym załomie (tabl. 1:11);
- amfory (typ III wg Hoffmanna⁹). Tu też zakwalifikowano tylko jeden fragment brzuśca z małym uchem umieszczonego powyżej największej wydętości brzuśca oraz z plastyczną taśmą tworzącą dookolny pas (tabl. 1:5). Taki kształt odpowiada grupie III i IV, które autor datuje odpowiednio na okres lateński A/B i młodszy okres przedrzymski;
- jajowate (typ IV wg Hoffmanna¹⁰). Tu górna partia naczyń nachylała się do wnętrza, a krawędź wylewu była w linii ścianki lub była nieznacznie wywinięta na zewnątrz. Wylewy o takim profilu występowały wśród fragmentów ceramiki z powierzchnią chropowaczą (tabl. 1:3–4), szorstką (tabl. 1:9–10), gładką (tabl. 2:3–6) i wyściecaną (tabl. 2:12–13);
- czarki lub misy (typ V lub typ VI wg Hoffmanna¹¹). Tu zakwalifikowano fragmenty wylewów wychylonych na zewnątrz lub tworzących półkoliste ścianki. Wylewy o takim profilu występowały tylko wśród fragmentów ceramiki z powierzchnią gładką (tabl. 2:7–8) i wyściecaną (tabl. 2:10–11);
- kubki (typ VII wg Hoffmanna¹²). Tu zaliczono fragment szerokiego wylewu z uchem o wyściecanej powierzchni zewnętrznej (tabl. 2:9).

⁷ Hoffmann 2000: ryc. 35.

⁸ Hoffmann 2000: ryc. 36.

⁹ Hoffmann 2000: ryc. 37.

¹⁰ Hoffmann 2000: ryc. 38.

¹¹ Hoffmann 2000: ryc. 39–40.

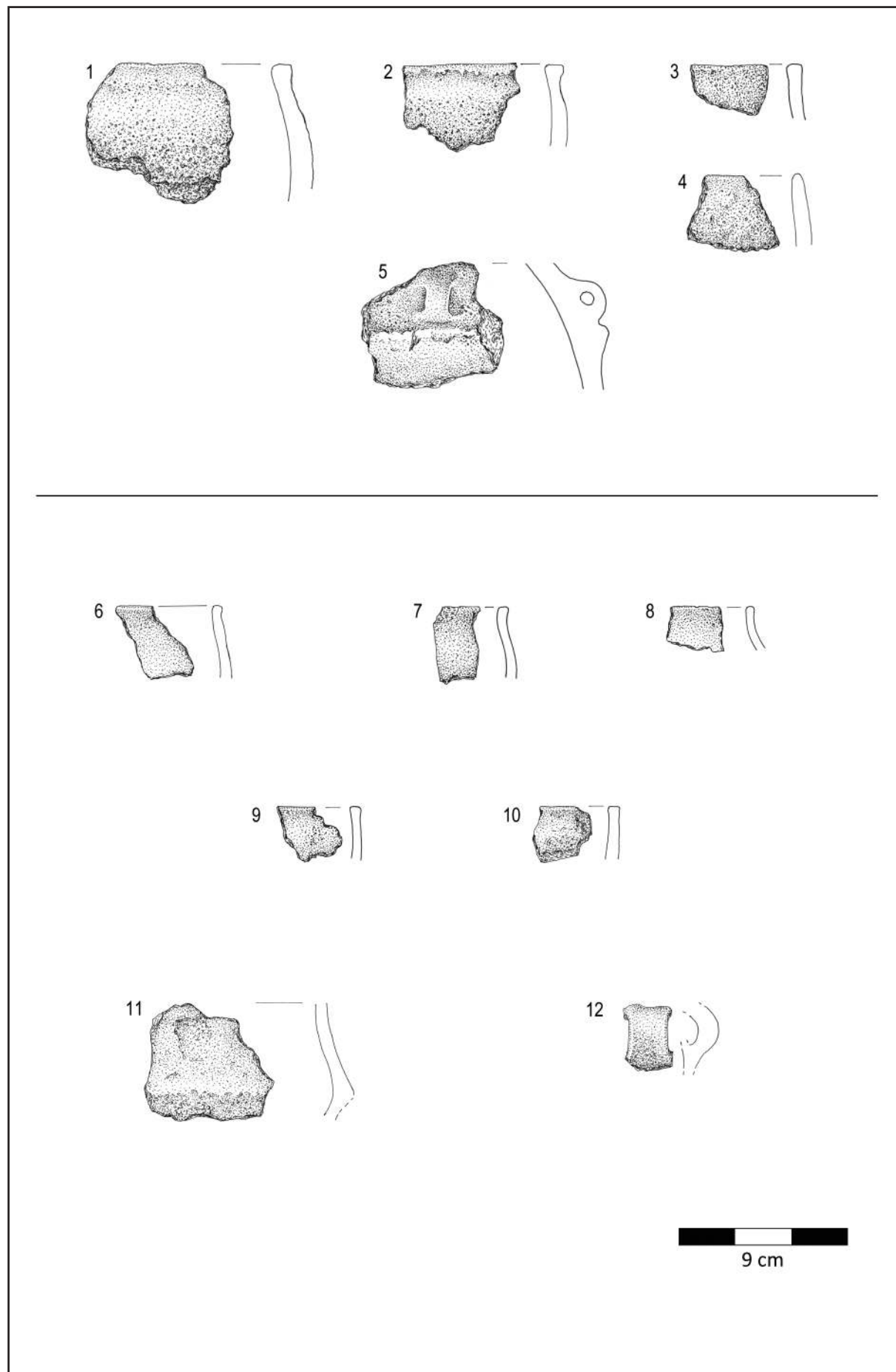
¹² Hoffmann 2000: ryc. 41.

Tabela 2. Zestawienie ilościowe fragmentów ceramiki z grodziska w Opinie, st. 16 (oprac. K. Turzyński i R. Solecki)

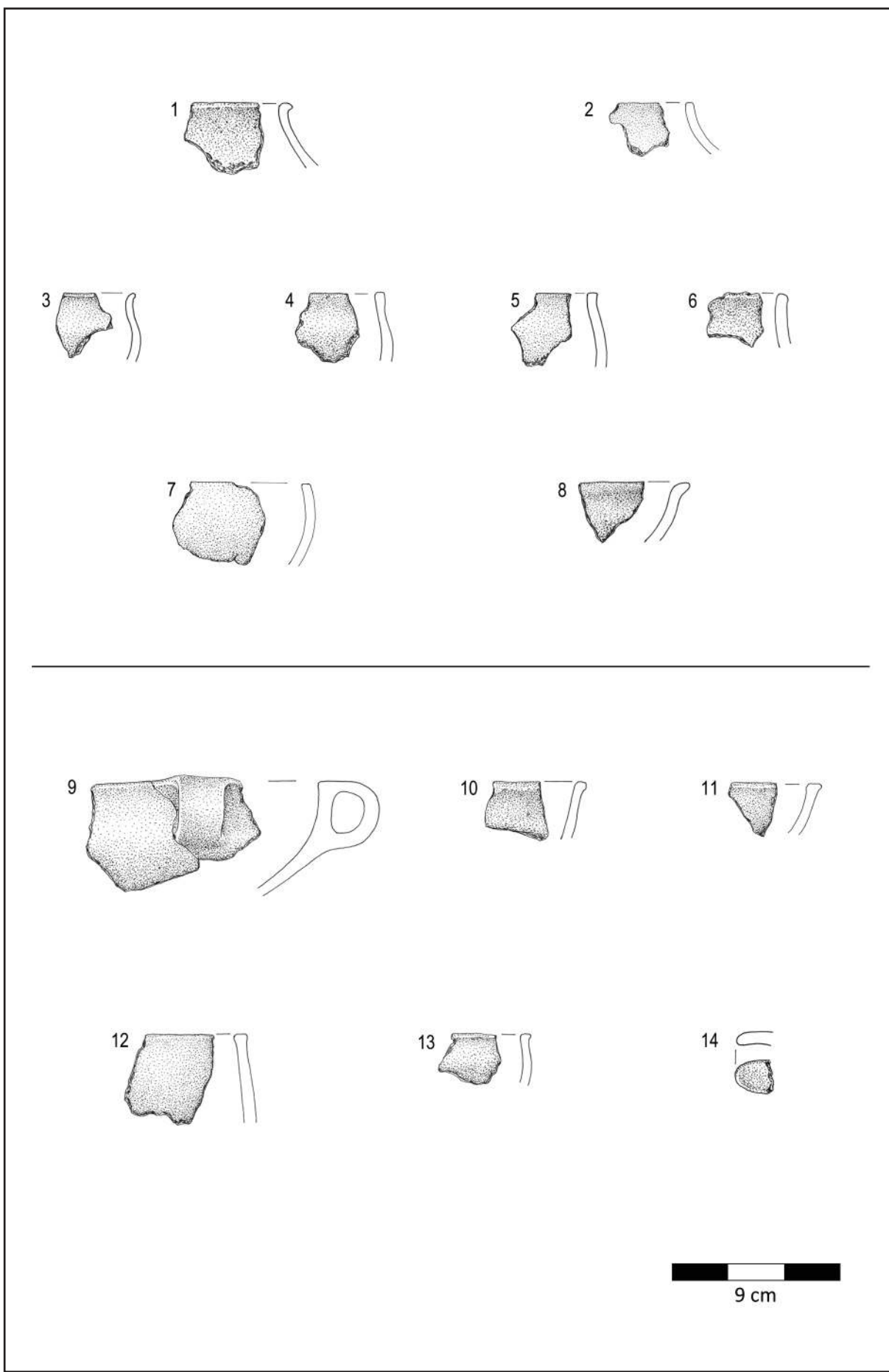
Faza	Jednostka stratygraficzna	Liczba fragmentów łącznie	Liczba różnych naczyń	Wylewy	Birzusze	Rodzaj powierzchni	Dna	Nieokreślone		Lepione ręcznie		Fragmenty o wyptukanej powierzchni		Fragmenty przepalone		Technologia			
								Ornamentowane	Nieokreślone	Płaskie	Lekko wkleśte	Wkleśte	SEN (procent obwodu)	Liczba fragmentów	Części przydenne	Ucha	Ornamentowane	Nieokreślone	
IA	3	38	6	4	15			33	26	8	4				1		21	17	
IA	5	34	6	4	13			26	12	11	9	2					25	9	
IA	10	11	3	1	5			10	5	3	1	2					8	3	
IA	17	2	1					2		2							2		
IA	21	1	1					1	1								1		
IA	26	1	1	1	5					1							1		
IB	4	89	12	8	21			81	32	38	2	17					63	26	
IB	7	10	4	2	6			8	4	1		5					6	4	
IB	13	11	4	1	8			10	4	5	2						3	8	
IB	19	146	21	16	48			125	50	51	6	34	5	1	4	1	2	94	
IB	20	3	3	1	2			2	1	1	1						3		
II	6	4	2					4	1		3						1	4	
II	9	1	1					1	1								1		
II	15	30	6	2	6			27	7	6	11	6					1	20	
	Suma	381	71	40	129			330	144	126	10	88	13	1	5	1	1	9	249
																		132	

Tabela 3. Fragmentacja i erozja fragmentów ceramiki z grodziska w Opinie, st. 16 (oprac. K. Turzyński i R. Solecki)

Faza	Jedn. strat.	Kategorie wielkościowe (cm)										Stopień erozji			Suma
		1	2	3	4	5	6	7	8	9	10	0	I	II	
IA	3	2	15	9	7		3	1	1			16	12	10	38
IA	5	3	11	6	7	5	2					16	7	11	34
IA	10		4	3	3		1					6		5	11
IA	17		1				1					2		2	
IA	21		1										1		1
IA	26		1									1			1
IB	4	5	36	15	14	14	3	2				41	10	38	89
IB	7		5	3	2							5	2	3	10
IB	13	2	7				2					6	1	4	11
IB	19	9	53	41	28	9	4	1	1			85	27	34	146
IB	20	1	2									1	1	1	3
II	6			4								3		1	4
II	9	1										1			1
II	15	3	7	9	4	4	2	1				10	3	17	30
Suma	26	141	91	66	33	17	4	3				193	63	125	381



Tablica 1. Opin, st. 16. Ceramika o powierzchni: 1–5) chropowaconej, 6–12) szorstkiej (rys. B. Karch)



Tablica 2. Opin, st. 16. Ceramika o powierzchni: 1–8) gładkiej, 9–14) wyściecanej (rys. B. Karch)



Tablica 3. Opin, st. 16. Zabytki wydzielone (fot. W. Weker)

Tu warto też odnotować, że oprócz typowych uch wykonanych z ovalnej w przekroju taśmy (tabl. 1:12) wydzielono także uchwyt w postaci plastycznego języczka o wymiarach około 2×2 cm (tabl. 2:14), który umieszczany był najpewniej przy wylewie naczynia. Takie położenie jest znane z naczynia znalezioneego na osiedlu obronnym w Wilknitach, opisanym w niniejszym tomie.

Bez możliwości zrekonstruowania całej formy naczynia trudne jest pewne określenie chronologii. W takim przypadku można jedynie polegać na generalnym datowaniu wynikającym z typologii, które wskazuje, że taki asortyment naczyń mógł funkcjonować w okresie lateńskim A/B i młodszym okresie przedrzymskim.

Zabytki wydzielone

Zabytki wydzielone z badań grodziska w Opinie w 2022 roku tworzą bardzo skromny zbiór, obejmujący trzy przedmioty. Pierwszy to stalowa łyżka (tabl. 3:1) znaleziona w humusie leśnym w pobliżu W1. Drugi to żelazny zamek do drzwi (tabl. 3:3), znaleziony w nie dużej odległości od łyżki. Oba te przedmioty należy łączyć ze współczesnymi, dużych rozmiarów wkopami znajdującymi się bezpośrednio na południowy wschód od grodziska. Trzeci przedmiot to niewielka, żelazna sztabka o wymiarach $3 \times 1,6 \times 0,5$ cm (tabl. 3:2) znaleziona w warstwie 19 przypisanej do fazy IB funkcjonowania grodziska. Jest więc to zabytek najpewniej o chronologii wczesnożelaznej. Być może do kęska żelaza – półproduktu, z którego możliwe było wykonanie właściwego przedmiotu.

Kości zwierzęce

Jedyny znaleziony fragment kości należał do owcy/kozy. Kość znaleziono w warstwie 4, przypisanej do fazy IB funkcjonowania grodziska. Szczegółowa analiza materiału kostnego z badań realizowanych w ramach omańcianego projektu znajduje się w niezależnym opracowaniu¹³.

¹³ Szczygieł 2024.

CHRONOLOGIA I DZIEJE GRODZISKA W OPINIE, ST. 16

KAMIL RABIEGA

Materiał zabytkowy pozyskany w trakcie badań archeologicznych, a także analizy laboratoryjne prób węgli drzewnych, wskazują, że osadnictwo obronne w Opinie należy łączyć z osadnictwem kultury kurhanów zachodnio-bałtyjskich. Z warstwy stanowiącej element nasypu wału grodziska pobrano próbę węgla do analizy radiowęglowej. Wynik tej analizy dał przedział lat 160 p.n.e.–22 n.e z prawdopodobieństwem 95,4%, a przy zmniejszeniu prawdopodobieństwa do 50,9%, przedział zawęził się do lat 103–31 p.n.e.¹⁴

Późniejsze daty wykazują pojedyncze ślady aktywności człowieka na stanowisku w czasach nowożytnych i współczesnych. Próbę węgla do analizy radiowęglowej pobrano również z wypełniska ovalnego obiektu na obszarze majdanu, który podczas badań zinterpretowano jako domniemany dół posłupowy. Analiza radiowęglowa wykazała przedział lat 1800–1941 z prawdopodobieństwem 67,1%, natomiast zmniejszając prawdopodobieństwo do 42,6% przedział zawęził się do lat 1809–1895¹⁵. Być może to okres, kiedy powstały dużych rozmiarów obiekty znajdujące się bezpośrednio na południowy wschód od umocnień grodziska. Charakter znalezisk z okolic tych wkopów pozwala je interpretować jako pozostałości obiektów mieszkalnych, być może ślady wojskowego obozu zimowego.

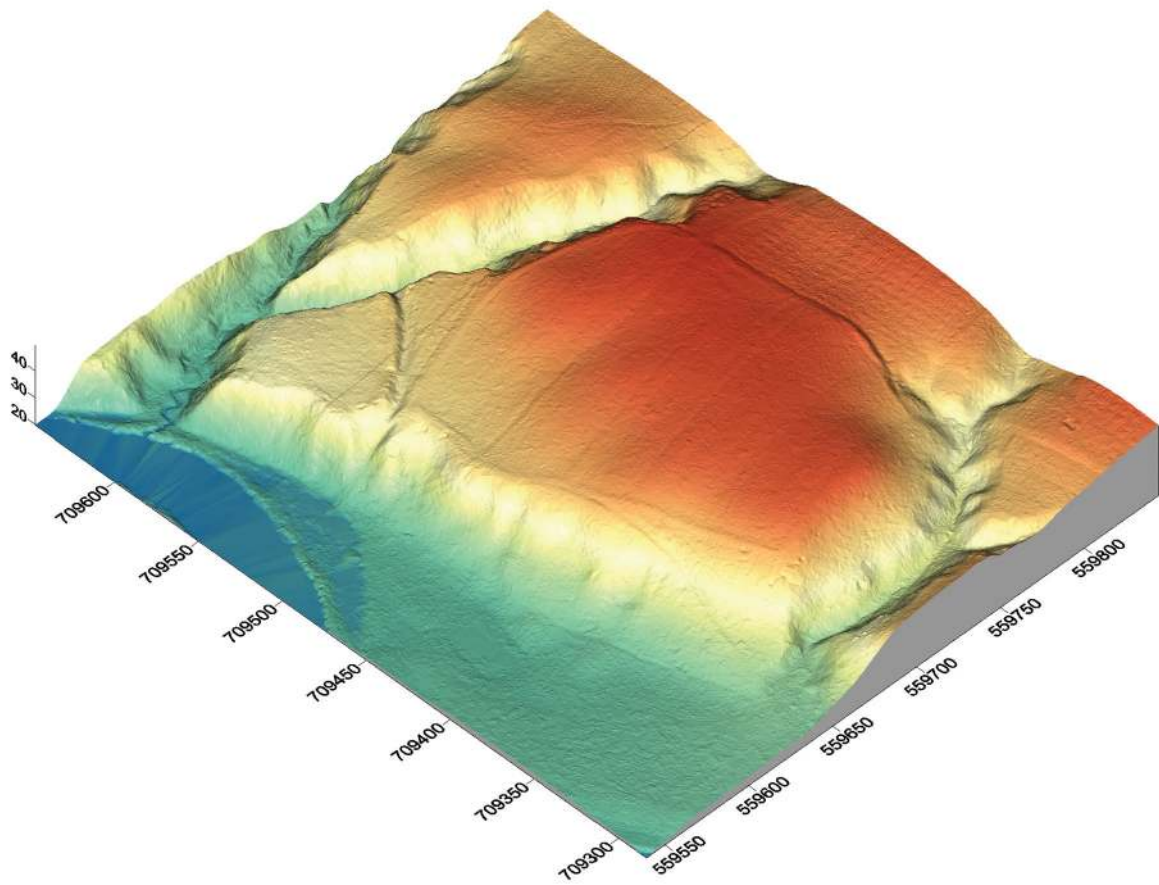
Przeprowadzone badania pozwoliły rozpoznać i określić chronologię całkowicie nowego, nieznanego do tej pory grodziska. Dzięki temu będzie możliwe objęcie go ochroną i uwzględnienie podczas analizy map osadniczych tego obszaru.

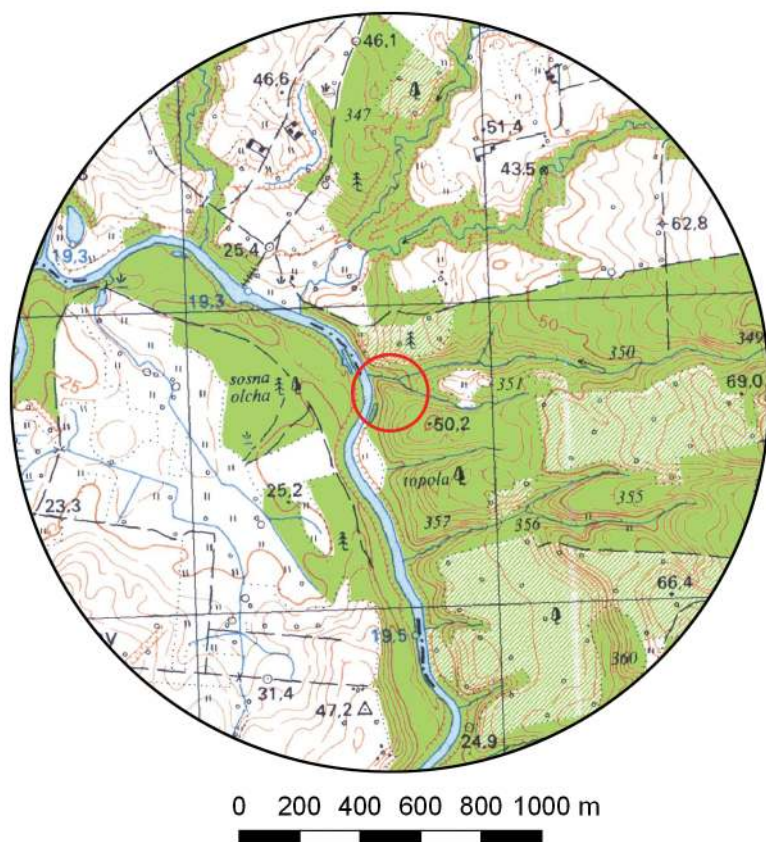
¹⁴ Analiza przeprowadzona w Poznańskim Laboratorium Radiowęglowym, próba nr Poz-162592.

¹⁵ Analiza przeprowadzona w Poznańskim Laboratorium Radiowęglowym, próba nr Poz-162411.

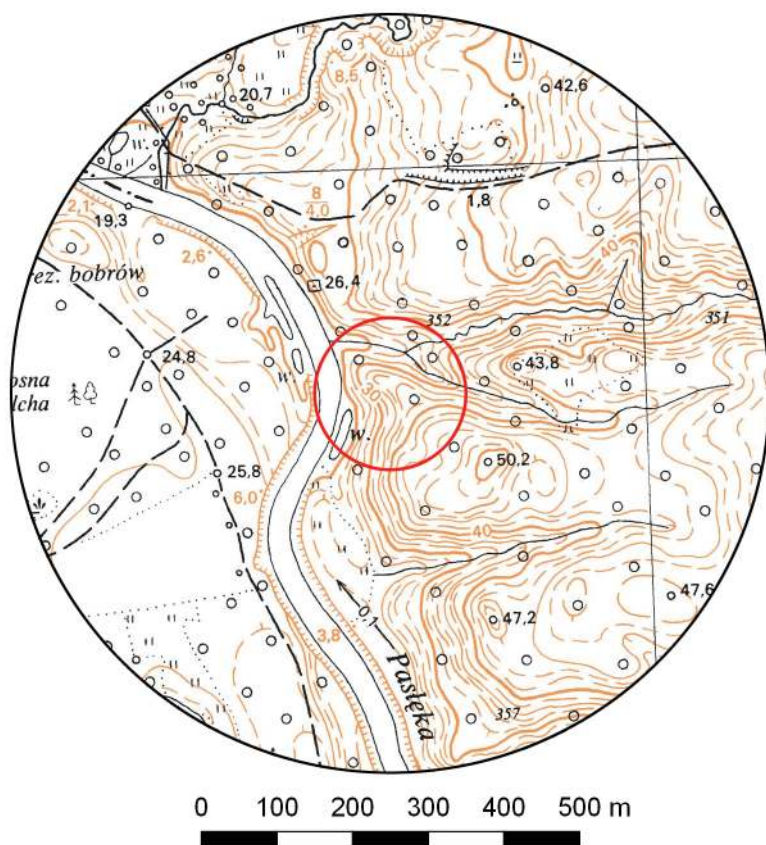
Giedyle, st. 1

Gmina Płoskinia
Powiat braniewski
AZP 14-56/16
Współrzędne geograficzne:
N 54° 14' 48"
E 19° 54' 55"





Ryc. 1. Grodzisko w Giedylach, st. 1
na mapie w skali 1:25 000
(na podstawie materiałów GUGiK,
oprac. R. Solecki)



Ryc. 2. Grodzisko w Giedylach, st. 1
na mapie w skali 1:10 000
(na podstawie materiałów GUGiK,
oprac. R. Solecki)

POŁOŻENIE GRODZISKA I JEGO FORMA

RAFAŁ SOLECKI

Grodzisko w Giedylach (niem. *Gedilgen*), st. 1 jest zewidencjonowane w ramach AZP i było znane od co najmniej początku XIX wieku. Niestety do chwili obecnej nie było badane wykopaliskowo, a wszystkie ustalenia dotyczące jego chronologii są oparte zasadniczo na domysłach. Na wykonanej dla grodziska Karcie Ewidencji Stanowiska Archeologicznego wskazane jest, że w trakcie przeprowadzonej weryfikacji nie znaleziono żadnego materiału zabytkowego, ale podana jest chronologia wcześnieśredniowieczna¹.

W archiwum *Staatliche Museen zu Berlin, Museum für Vor- und Frühgeschichte*, w teczce *Plasswich*, znajduje się rysunek Johanna Michaela Guisego przedstawiający grodzisko nazwane *Pantenberg*. Ukazane jest ono, jako dwuczłonowe – majdan położony na końcu cypla i oddzielony od wysoczyzny wałem oraz podgrodzie. Na majdanie oznaczone są dwa obiekty – koliste zaciemnienie przy wschodniej krawędzi oraz C-kształtny obrys w części centralnej. Na obszarze podgrodzia z kolei oznaczone jest byc

¹ Informacja z KESA AZP 14-56/16.

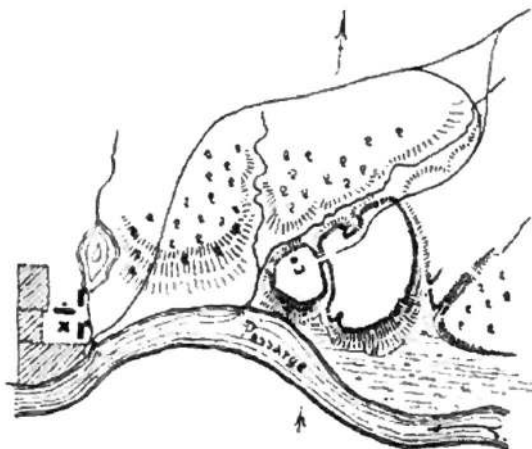


Ryc. 3. Grodzisko w Giedylach, st. 1 na szkicu dokumentacyjnym J.M. Guisego, lata 30. XIX wieku (źródło: *Staatliche Museen zu Berlin, Museum für Vor- und Frühgeschichte*, PM-IXh 000183)

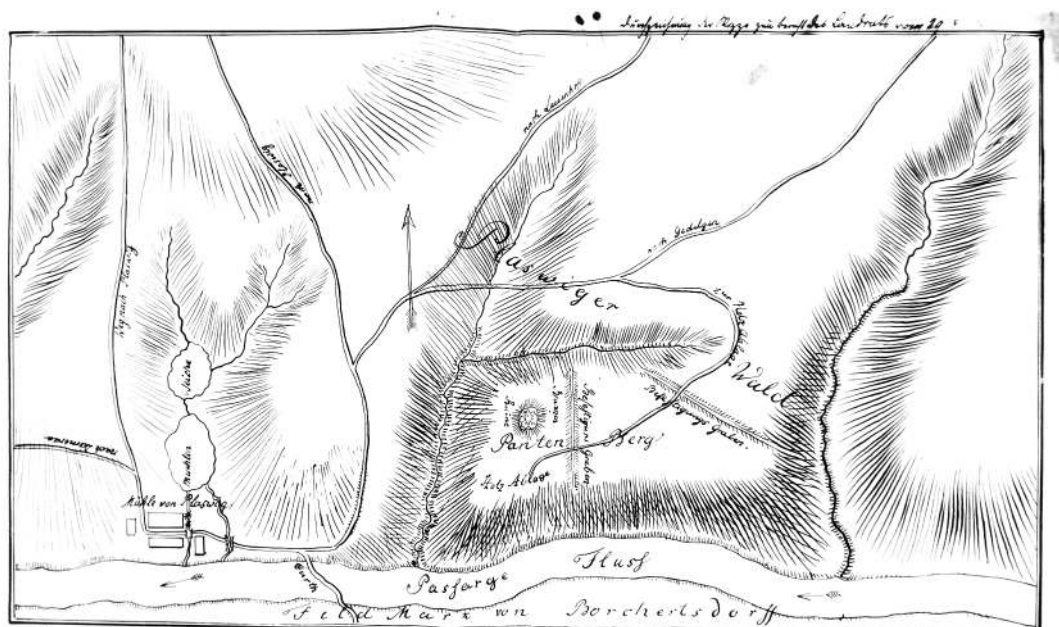
może wyniesienie w jego wschodniej części. Narysowany jest także prawdopodobnie most łączący majdan z podgrodziem (ryc. 3). Na rzucie panoramicznym uzupełniającym plan widoczne są dwa wały, przy majdanie i podgrodziu, które na planie nie są czytelne. Wysoka liczba zaprezentowanych detali sprawia, że szkic ten jest niezmiernie istotny dla określenia funkcji poszczególnych części grodziska, zwłaszcza że obecnie obiekty te nie są widoczne na powierzchni. Niemalże z tego samego okresu pochodzi drugi rysunek (ryc. 5), wykonany przez kapitana Roebella² w 1825 roku. Wizualnie przypomina on rysunek J.M. Guisego z tą przewagą, że oznaczone na nim obiekty są podpisane. I tak obie linie wyznaczające granice grodziska nazwano „Befestigungs graben”, co można tłumaczyć, jako rów fortyfikacyjny. Na obszarze majdanu znajdują się dwa podpisy. Pierwszy to „Holz Ablage”, co można tłumaczyć jako skład drewna, a drugi, odnoszący się do punktu oznaczonego na majdanie, to „Brunnen Ruine”, co można tłumaczyć jako ruina studni. Już poza grodziskiem, w połowie drogi do pobliskiego młyna, widoczny jest most ponad Pasłęką. Ostatnim charakterystycznym elementem planu jest błędnie zaznaczony kierunek północy wskazujący na wschód.

Przerysem obu opisanych powyżej planów jest ten zawarty w monografii Adolfa Böttchera z 1894 roku (ryc. 4), który nazwał grodzisko „heidnischen Burg Pantenberg” (pogański) i zasugerował jego chronologię

² W nazwisku może być pomyłka, gdyż zapis jest słabo czytelny.

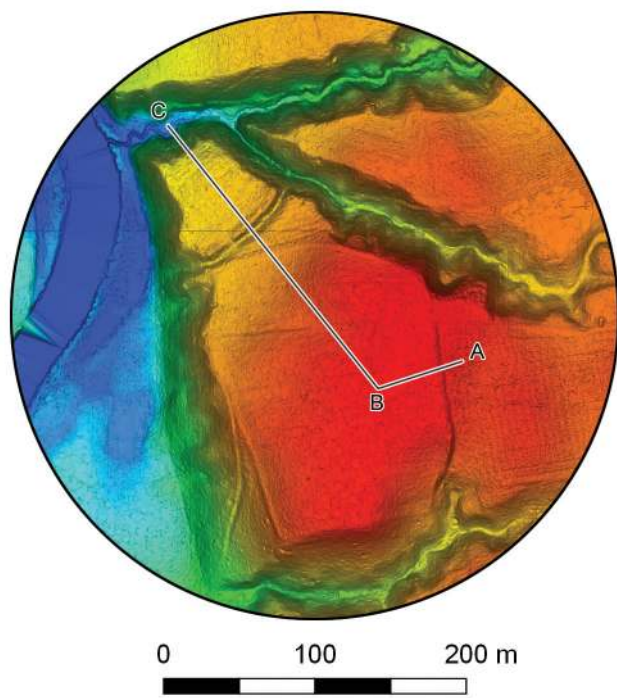


Ryc. 4. Grodzisko w Giedylach, st. 1 na rycinie z końca XIX wieku, prawdopodobnie przerysie rysunku J.M. Guisego (Bötticher 1894: 199, ryc. 151)

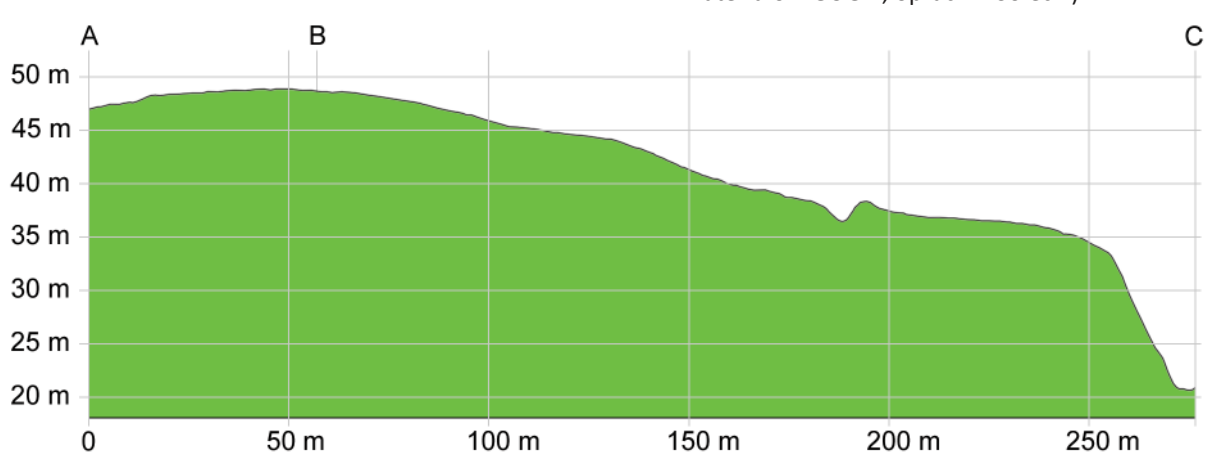


Situations Plan vom Panthen Berg, im Pläntwiger Wälde, a coup d'œil gerechnet vom Königl. Intendantur Beamten, Hauptmann v. Hobeck.

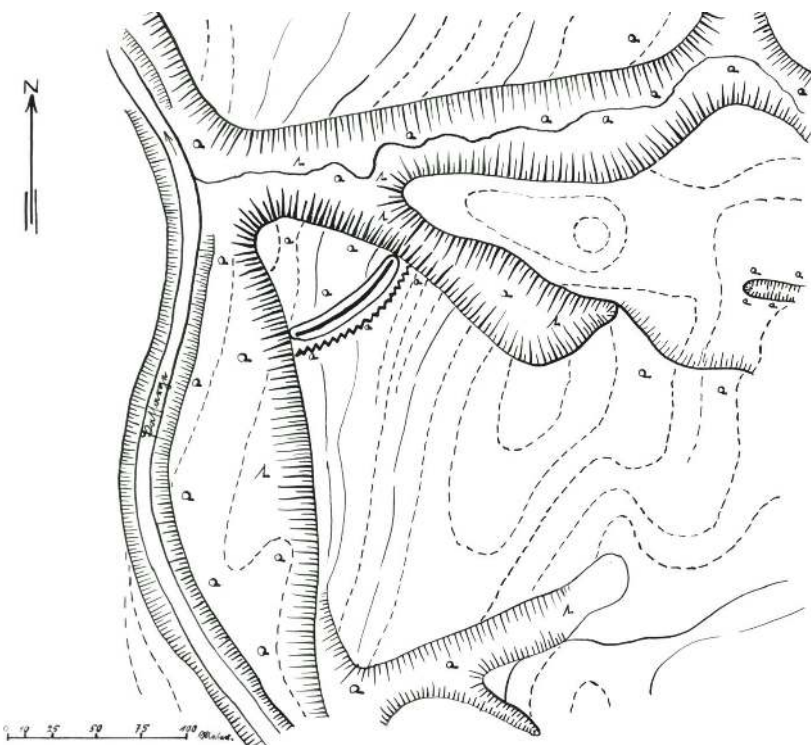
Ryc. 5. Grodzisko w Giedylach, st. 1 na szkicu z 1825 roku
(źródło: Staatliche Museen zu Berlin, Museum für Vor- und Frühgeschichte, PM-A 1142/1)



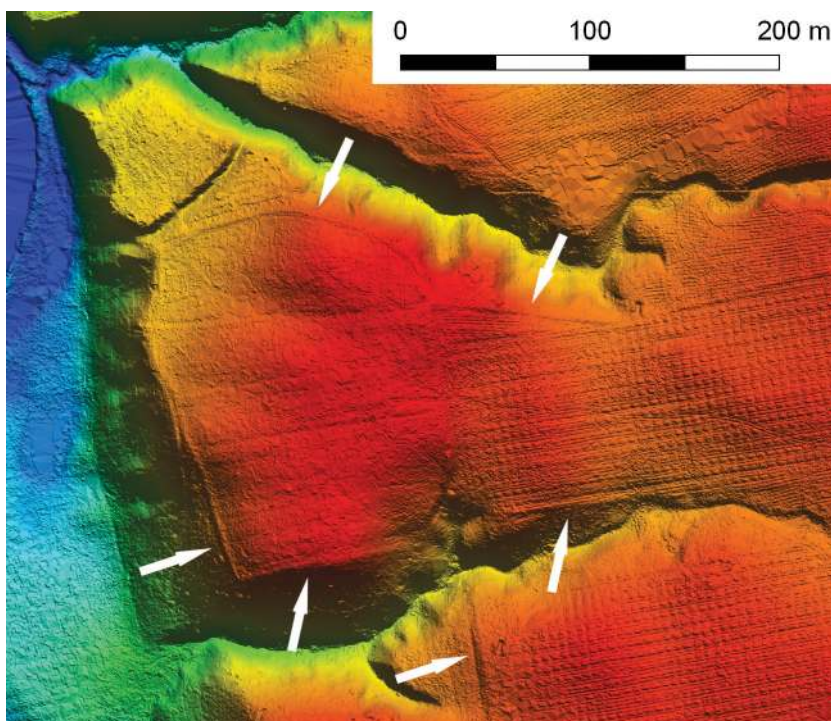
Ryc. 6. Grodzisko w Giedylach, st. 1
na zobrazowaniu ALS (na podstawie materiałów GUGiK, oprac. R. Solecki)



Ryc. 7. Przekrój grodziska w Giedylach, st. 1
uzyskany z danych ALS (na podstawie materiałów GUGiK, oprac. R. Solecki)



Ryc. 8. Grodzisko w Giedylach, st. 1, na karcie ze zbioru *Burgwall-kartei* (źródło: Staatliche Museen zu Berlin, Museum für Vor- und Frühgeschichte, IXc 90, Bl. 044)



Ryc. 9. Grodzisko w Giedylach, st. 1 z oznaczeniami dawnych wydzielin pól i/lub lasów (na podstawie materiałów GUGiK, oprac. R. Solecki)

wiązając z początkiem ery chrześcijańskiej – „christlichen Zeitrechnung”³. Już na początku XX wieku wymienia je jeszcze Emil Hollack, przypisując je do miejscowości Płoskinia (niem. *Plasswich*) i wiązając jego datowanie z okresem przybycia na ten obszar krzyżaków „Ordenszeitlicher Schlossberg”⁴. Zasadniczo te same informacje, co wcześniejsi au-

torzy, powieili Hans Crome w swoim katalogu opublikowanym w 1937 roku⁵.

W okresie międzywojennym grodzisko zostało zewidencjonowane w ramach katalogu *Burgwall-Kartei*, który obecnie znajduje się w Staatliche Museen zu Berlin, Museum für Vor- und Frühgeschichte. Na dołączonym do karty szczegółowym planie (ryc. 8) nie zostały zaznaczone charakterystyczne obiekty

³ Bötticher 1894: 198–199.

⁴ Hollack 1908: 115–116.

⁵ Crome 1937: 103.



Ryc. 10. Giedyle, st. 1. Widok w kierunku wschodnim na profil wału (fot. R. Solecki)



Ryc. 11. Giedyle, st. 1. Widok w kierunku wschodnim na profil fosy (fot. R. Solecki)

widoczne na wcześniejszych szkicach. Być może więc w okresie około 100 lat, które dzielą obie inwentaryzacje, doszło do zniszczeń powierzchni grodziska. Tu warto też zaznaczyć, że na karcie oznaczono inną wielkość grodziska. Włączono tu tylko obszar na końcu cypla, wydzielony przez wał i fosę, nie uwzględniając placu „podgrodzia”, który wg Guisego także był wydzielony wałem. Tego zewnętrznego wału na nowszym planie nie zaznaczono. Wały te jednak widać na Numerycznym Modelu Terenu (ryc. 9). Co

ciekawe, wałów na południe i południowy wschód od grodziska jest więcej niż na szkicu J.M. Guisego i obejmują one dużo większy obszar. Wyznaczają one obszary dawnego, gospodarczego wykorzystywania tej powierzchni. Na części z nich czytelne są nawet ślady po kultywacji ziemi i nasadzeniach. Jeżeli więc nawet wały te powstały w tym samym czasie co grodzisko, to były one raczej związane z wygradzaniem działek pod pola i/lub lasy.

Grodzisko zajmuje koniec szerokiego cypla na wschodnim, wysokim brzegu dolin-

ny rzeki Pasłęki. Majdan wydzielony jest za pomocą wału i równolegle ułożonej względem niego fosy (ryc. 6–7). Ma długość około 63 m, szerokość u podstawy do 9,5 m i wysokość względem podstawy od strony majdanu do 1 m. Jego najwyższy położony punkt osiąga poziom 38,9 m n.p.m. W zachodniej części wału widoczne jest wycięcie w jego szczycie, które położone jest w linii dawnej ścieżki. Najpewniej więc nie jest to ślad po bramie. Fosa ma długość około 71 m i szerokość u szczytu do 7 m. Różnica wysokości pomiędzy szczytem wału a dnem fosy dochodzi do 2 m. Powierzchnia majdanu jest równa i lekko opada w kierunku północnym. Nie widać na nim żadnych śladów, które można by powiązać z obiektami oznaczonymi na planie J.M. Guisego. Powierzchnia majdanu ma około 27,7 ara, a powierzchnia całego grodziska 38,9 ara. Wschodnią, zachodnią oraz północną krawędź majdanu wyznaczają strome skarpy. Różnica wysokości pomiędzy powierzchnią majdanu a dnem doliny przy nurcie rzeki dochodzi do 17 m.

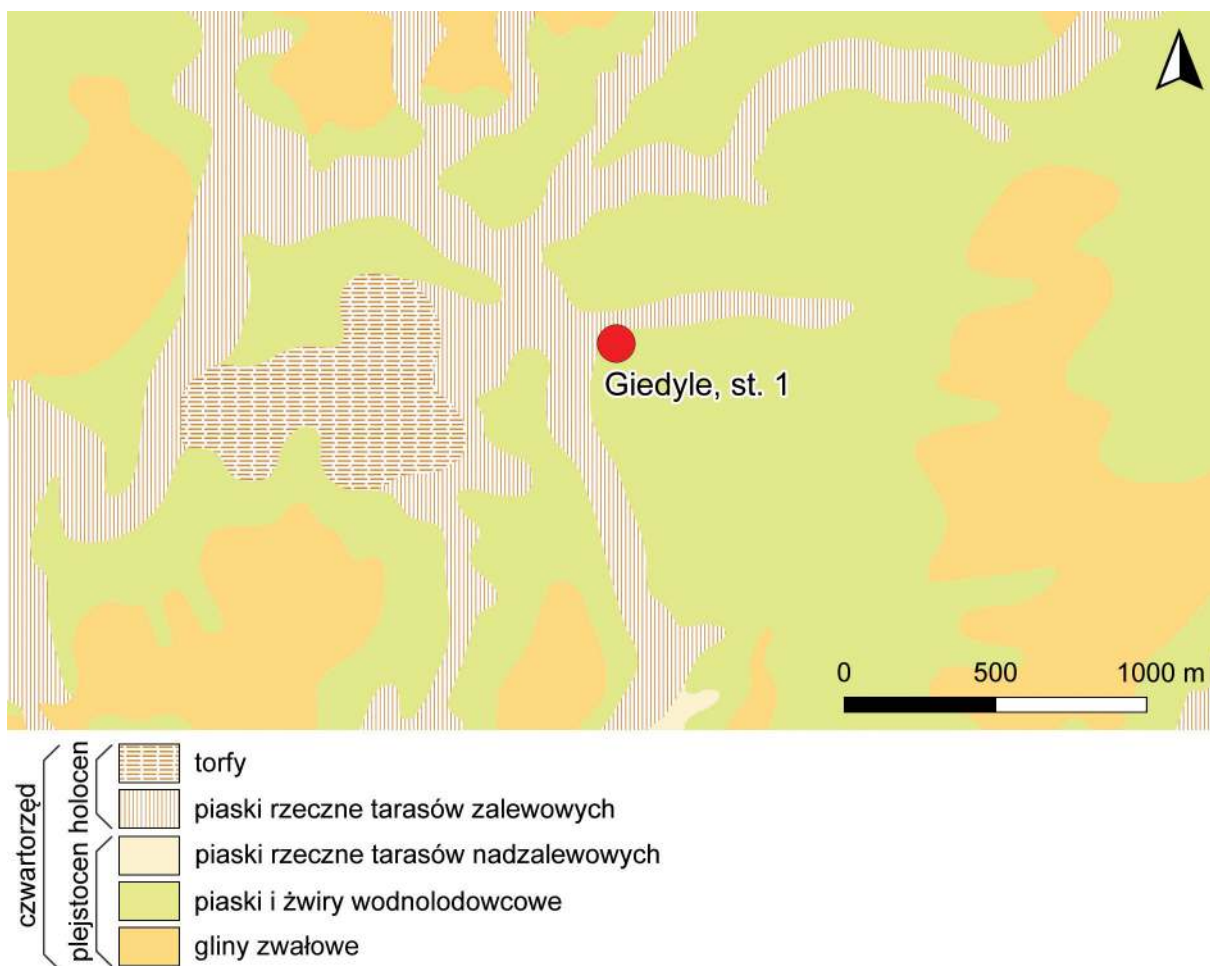
W odległości około 450 m na północny zachód od grodziska oznaczone jest na dawnych mapach topograficznych miejsce nazwane Płoskiński Młyń (niem. *Plaßwicher Mühle*). Młyń ten istniał już w XIV wieku i co najmniej od tego okresu związany z nim był bród na rzece Pasłęce⁶. Być może zespół obiektów – bród, młyn i grodzisko – były ze sobą powiązane, a nie można wykluczyć, że datowanie brodu za pomocą dokumentu źródłowego z 1289 roku (aktu lokacyjnego wsi Dębiny, niem. *Borchertsdorf*), wpłynęło na datowanie sąsiadującego z nim grodziska.

ŚRODOWISKO FIZYCZNOGEOGRAFICZNE

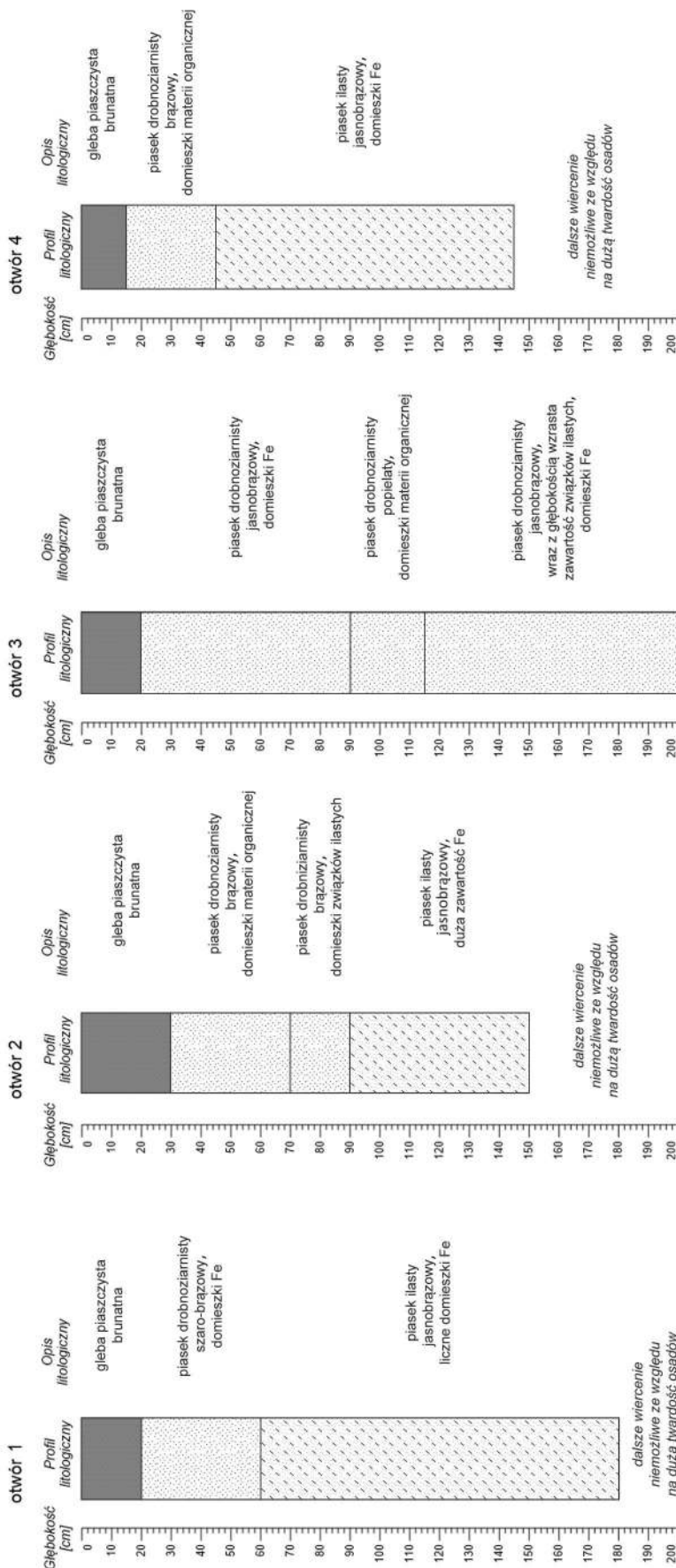
ANNA LEJZEROWICZ

Według podziału fizycznogeograficznego Polski Jerzego Kondrackiego grodzisko w Giedylach, st. 1, znajduje się w mezoregionie

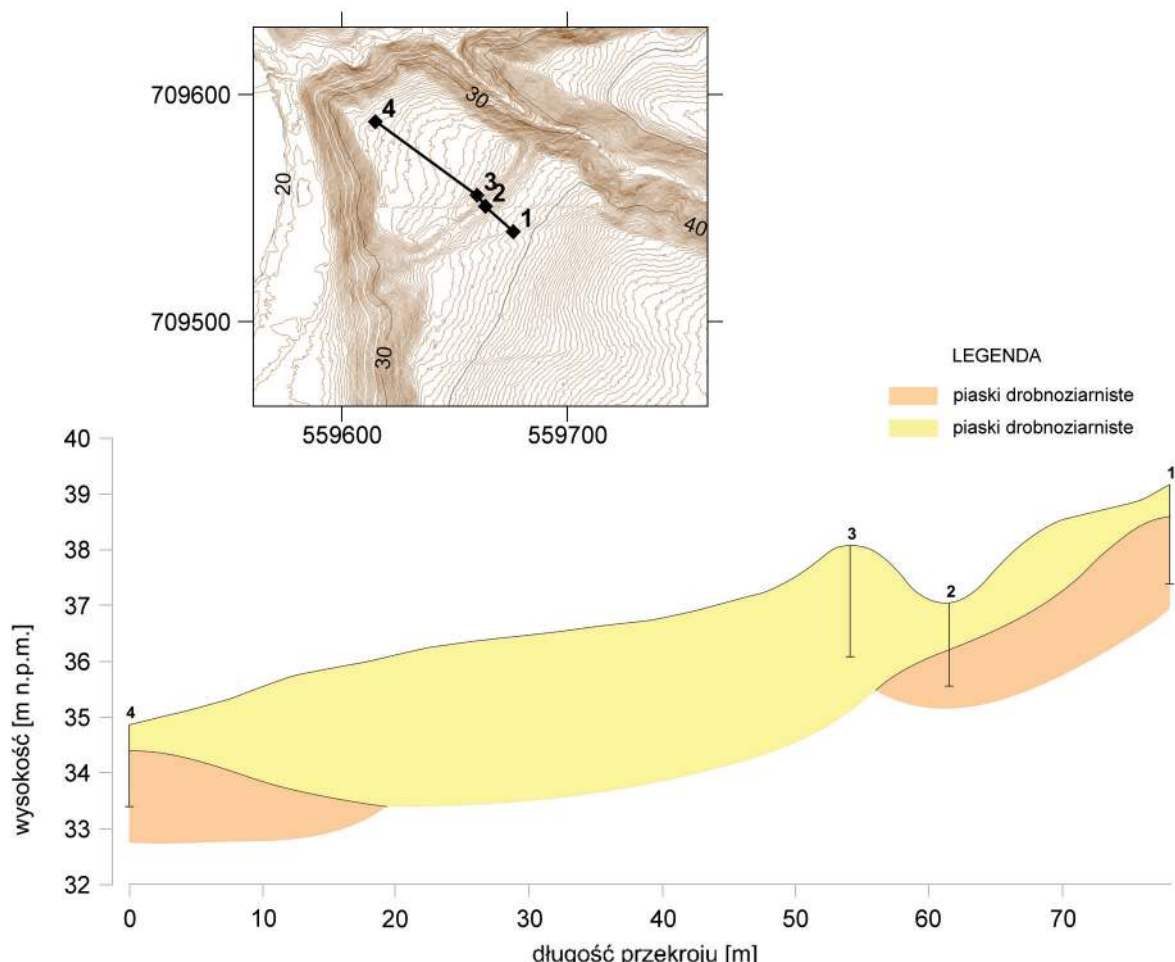
⁶ Klimek 2022: 132–134.



Ryc. 12. Wycinek arkusza Szczegółowej Mapy Geologicznej Polski z zaznaczonym grodziskiem w Giedylach, st. 1 (źródło: www.cbdgmapa.pgi.gov.pl/arcgis/services/kartografia/smgp50k/MapServer/WMServer, oprac. R. Solecki)



Ryc. 13. Profile litologiczne odwiertów wykonanych na obszarze grodziska w Giedylach, st. 1 (oprac. A. Lejzerowicz)



Ryc. 14. Schematyczny przekrój geologiczny przez grodzisko w Giedylach, st. 1 (oprac. A. Lejzerowicz)

Wzniesienia Górowskie, tuż przy jego zachodniej granicy z Równiną Warmińską⁷.

Cypel, na którym znajduje się grodzisko, jest szeroki na około 60 m i rozszerza się w kierunku wysoczyzny. Od zachodu ogranicza go dolina rzeki Pasłęki, a od północy i wschodu wąwóz, którym płynie nieduży strumień zasilający Pasłękę. Wysokość cypla względem dna doliny mieści się w przedziale 14–16 m.

Według *Mapy Geologicznej Polski* w skali 1:500 000 na omawianym obszarze występują piaski i żwiry wodnolodowcowe młodsze, a w korycie Pasłęki piaski, mady i torfy rzeczone. Według *Szczegółowej Mapy Geologicznej Polski* w skali 1:50 000 (arkusz Chruściec II)⁸ stanowisko położone jest na krawędzi nie dużej wysoczyzny, której wierzchnią warstwę tworzą piaski i żwiry wodnolodowcowe stadiału górnego zlodowacenia Wisły, które od wschodu ograniczone są przez gliny zwałowe z tego samego okresu, a od zachodu i północy

holoceńskie piaski rzeczne (ryc. 12). Według *Mapy Litogenetycznej Polski* w skali 1:50 000, na obszarze stanowiska występują wodnolodowcowe piaski żwirowate.

Na grodzisku w Giedylach, st. 1, wykonano cztery wiercenia sondą ręczną do maksymalnej głębokości 2 m, w celu rozpoznania budowy geologicznej. Na podstawie wykonanych odwiertów stworzony został schematyczny przekrój geologiczny przez stanowisko (ryc. 14). W wiercenach zaobserwowano występowanie przede wszystkim osadów piaszczystych, lokalnie z domieszką ilastą. Osady te charakteryzują się częstą obecnością związków żelaza (rude zabarwienie). Osady piaszczyste mają najczęściej frakcję drobnoziarnistą. Podczas wykonywania odwiertów zaobserwowano, że piaski te na większej głębokości stają się zwarte i twarde, co nawet uniemożliwiało miejscami osiągnięcie zaplanowanej głębokości. Szczegółowa litologia jest widoczna oraz została opisana na poszczególnych profilach wierceń (ryc. 13).

⁷ Kondracki 2002: 100–102.

⁸ Rabek i Świerszcz 2002.

BADANIA ARCHEOLOGICZNE

RAFAŁ SOLECKI I PRZEMYSŁAW JAŻDŻYK

Przebieg badań terenowych

Weryfikację stanowiska w terenie przeprowadzono wiosną, a badania późnym latem 2022 roku. Miejsce otworzenia wykopu było częściowo ograniczone przez roślinność porastającą powierzchnię grodziska. Chcąc rozpoznać formę umocnień, wybrano centralny odcinek długości wału. Przecięto go wykopem W1 o wymiarach 2×5 m, tak aby obejmował szczyt wału i schodził w kierunku majdanu. Położenie wykopów prezentuje ryc. 15.

Stratygrafia stanowiska

W trakcie omawianych badań archeologicznych wydzielono łącznie 15 jednostek stratygraficznych (tabela 1). Możliwe było ich rozdzielenie pomiędzy warstwy naturalne i czte-

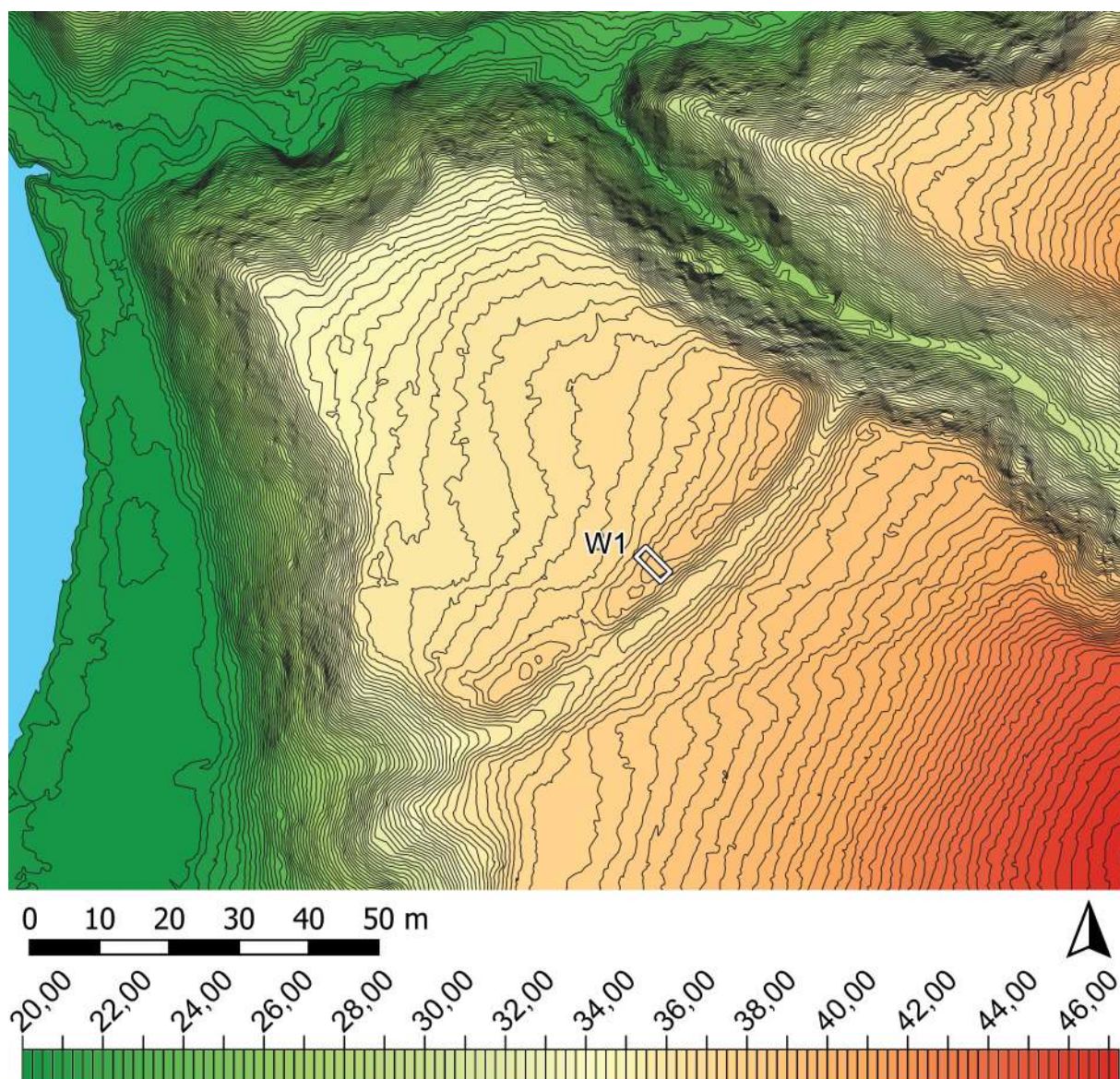
ry fazy związane z dziejami tego stanowiska. Diagram Harrisa dla wydzielonych jednostek stratygraficznych przedstawia ryc. 16, a zado- dokumentowane powierzchnie ryc. 17–19.

Warstwy naturalne

W trakcie badań jako jednostkę naturalną zi- dentyfikowano sypki piasek z żelazistymi wy- trąceniami 15, który w trakcie przegląbania stawał się coraz bardziej zwarty. Najwyższy zanotowany punkt naturalnego podłoża geo- logicznego znajdował się na obszarze majda- nu i osiągał poziom 37,55 m n.p.m.

Faza I

Do fazy tej przypisano trzy obiekty, tworzące najpewniej jeden zespół i znacznej miąższo- ści poziom kulturowy. Wydzielone jednostki można wiązać z wczesnośredniowiecznym osadnictwem ludności pruskiej.



Ryc. 15. Giedyle, st. 1. Plan grodziska z naniesionym wykopem archeologicznym (oprac. R. Solecki)

Tabela 1. Giedyle, st. 1. Katalog warstw i obiektów oraz ich zależności stratygraficznych (oprac. R. Solecki)

Numer jednostki	Numer obiektu	Numer wykopu	Położenie w obrębie stanowiska	Współrzędne geodezyjne (PUWG 1992)	Opis jednostki stratygraficznej	Barwa (Munsell)	Pozycja stratygraficzna	
							Zdaje się pod	Znajduje się nad
1	-	1	Obszar całego stanowiska	X=709551,1-709556,2; Y=559654,5-559659,6	Piaszek z bardzo dużą ilością materii organicznej, silnie przeróśnięty korzeniami; miąższość do 15 cm; humus leśny	10YR 3/2	-	2
2	-	1	Wał	X=709551,1-709556,2; Y=559654,5-559659,6	Piaszek z bardzo dużą ilością materii organicznej; miąższość do 40 cm; warstwa podhumusowa	10YR 4/3	1	3, 4, 5
3	-	1	Wał	X=709551,1-709556,2; Y=559654,5-559659,6	Lekko przemieszany sypki piaszek; miąższość do 90 cm; nasyp wału	10YR 6/6	2, 4, 5	7, 8
4	-	1	Wał	X=709551,1-709555,4; Y=559655,3-559659,6	Lekko przemieszany sypki piaszek, lekko żelazisty, z domieszką materii organicznej; miąższość do 50 cm; nasyp wału	10YR 5/6	2, 5	3
5	-	1	Wał	X=709554,2-709556,2; Y=559654,5-559657,1	Lekko przemieszany sypki piaszek, lekko żelazisty, z dużą domieszką materii organicznej; miąższość do 55 cm; warstwa erozyjna	10YR 5/4	2	3, 4, 7, 8
6	-	1	Wał	X=709551,1-709556,2; Y=559654,5-559659,0	Sypki piaszek, zbielicowany; miąższość do 20 cm; warstwa kulturowa	10YR 7/2	7	12, 13, 15
7	-	1	Wał	X=709551,1-709556,2; Y=559654,5-559659,6	Sypki piaszek, zbielicowany, z nieregularnie występującymi skupiskami drobin węgla drzewnego; miąższość do 30 cm; warstwa kulturowa	10YR 6/2	3, 5, 8	6, 15
8	-	1	Wał	X=709555,3-709556,2; Y=559655,4-559656,7	Skupisko kamieni o średnicy do 15 cm; uchwycona szerokość do 90 cm	-	3, 5	7
9	9	1	Wał	X=709554,1-709554,9; Y=559655,4-559655,9	Wkopalny, owalny w planie, nieckowy w przekroju; średnica 30–40 cm, głębokość do 10 cm; funkcja nieokreślony	-	10	7
10	9	1	Wał	X=709554,1-709554,9; Y=559655,4-559655,9	Sypki piaszek; wypełnisko obiektu 9	10YR 6/3	3	7, 9
11	11	1	Wał	X=709553,2-709554,3; Y=559657,7-559658,7	Wkopalny, nieregularnie owalny w planie, nieckowy w przekroju; średnica do 70 cm, głębokość do 25 cm; funkcja nieokreślona	-	12	15
12	11	1	Wał	X=709553,2-709554,3; Y=559657,7-559658,7	Sypki piaszek z dużą ilością spalenizny; wypełnisko obiektu 11	10YR 3/1	6	11, 15
13	14	1	Wał	X=709553,1-709556,2; Y=559654,5-559657,7	Sypki piaszek z dużą ilością spalenizny tworzącej wyraźne skupisko w centralnej części obiektu 14; wypełnisko obiektu 14	10YR 3/2	6	14, 15
14	14	1	Wał	X=709553,1-709556,2; Y=559654,5-559657,7	Duży, uchwycony fragmentarnie obiekt, w przekroju kształtu płytka niecki; szerokość ponad 350 cm; głębokość do 25 cm; obiekt gospodarczy?	-	13	15
15	-	1	Obszar całego stanowiska	X=709551,1-709556,2; Y=559654,5-559659,6	Sypki piaszek z żelazistymi wytrąceniami, im głębszej, tym bardziej zwarty; podłoże naturalne	10YR 7/6	6, 7, 11, 12, 13, 14	-

Dwa z wydzielonych obiektów uchwycono na stropie calca. Większy z nich 14 to zarejestrowany fragmentarnie wkopal, w przekroju w kształcie płytkiej niecki, szerokości ponad 350 cm i głębokość do 25 cm. Jego wypełniskiem był sypki piaszek z dużą ilością spalenizny tworzącej wyraźne skupisko w centralnej części obiektu. W trakcie eksploracji nie znaleziono żadnego materiału zabytkowego. Tuż przy jego południowo-wschodniej krawędzi, w odległości około 90 cm, zadokumentowano drugi obiekt. Był to nieregularnie owalny w planie, nieckowy w przekroju wkopal 11, średnicy do 70 cm i głębokości do 25 cm. Jego wypełniskiem był sypki piaszek 12 z dużą ilością spalenizny. W trakcie eksploracji tego obiektu natrafiono na pozostałości zniszczonego naczynia. Z warstwy 12 pobrano też próbę węgla do analizy radiowęglowej. Wynik tej analizy dał po kalibracji przedział lat 887–1017 n.e. z prawdopodobieństwem 95,4%⁹.

Ponad stropem obu opisanych obiektów zalegały sypki piaszek 6 i sypki piaszek 7 z nieregularnie występującymi skupiskami drobin węgla drzewnego. Są to pozostałości warstwy kulturowej, którą należy wiązać z funkcjonowaniem obiektów 11 i 14. Obie te jednostki były zbielicowane, co sugeruje, że poziom ten musiał być przez dłuższy czas po

⁹ Analiza przeprowadzona w Poznańskim Laboratorium Radiowęglowym, próba nr Poz-162410.

zanieściu osadnictwa odsłonięty, gdyż pierwsze wyróżniki procesu bielicowania uwidaczniają się, przy sprzyjających warunkach, dopiero po co najmniej stu latach¹⁰. W takim przypadku nie można wykluczyć, że czytelne na poziomie stropu calca obiekty 11 i 14 były pierwotnie wyprowadzone z wyższego poziomu, ale ich czytelność zanikła w wyniku postępującego bielicowania.

Na stropie warstwy kulturowej 7 zanotowano dwa obiekty. Pierwszy to skupisko kamieni 8 tworzące nieregularny kształt średnicy 40–90 cm, w obrębie którego znajdowały się kamienie średnicy do 15 cm. W obrębie tego bruku nie było ani materiału zabytkowego, ani spalenizny. Drugi to ovalny w planie, nieckowaty w przekroju wkop 9, o średnicy 30–40 cm i głębokości do 10 cm. Jego wypełniskiem był sypki piasek 10.

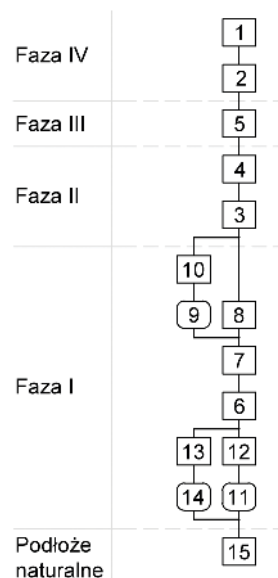
Na obecnym etapie badań trudno precyjnie określić funkcję zadokumentowanych obiektów. Żaden z nich nie nawiązuje formą do obiektów mieszkalnych. Przykładem mogą być to pozostałości budynków z osady datowanej na XI wiek w Węgrach, gm. Sztum¹¹. Najpewniej są to więc obiekty o nieokreślonej funkcji gospodarczej. Obiekty te i znacznna miąższość warstwy interpretowanej jako kulturowa, świadczące o dość intensywnym osadnictwie w tym okresie.

Faza II

Fazę tę wyznacza okres związany z budową wału. W granicach wykopu z fazą tą powiązano tyko dwie jednostki – lekko przemieszany sypki piasek 3 i lekko przemieszany sypki piasek 4 z żelazistymi wytrąceniami i domieszką materii organicznej. Warstwy te tworzą wyraźny ziemny nasyp wysokości do 95 cm, przy szerokości u podstawy ponad 5 m. Nasyp ten pierwotnie był na pewno wyższy, ale musiał ulec zniszczeniu w wyniku procesów erozyjnych. Materiał na sypanie tego wału pobierany była najpewniej w trakcie kopania fosy – warstwy nasypowe to redeponowany piasek calcowy.

Faza III

Faza ta wyznacza okres po opuszczeniu stanowiska, kiedy jego obszar był stopniowo niszczony w wyniku działania procesów erozyjnych. Warstwę związaną z tym etapem



Ryc. 16 Giedyle, st. 1. Diagram relacji stratygraficznych (oprac. R. Solecki)

wydzielono na stoku wału od strony majdanu i był to lekko przemieszany sypki piasek 5 z żelazistymi wytrąceniami i z dużą domieszką materii organicznej.

Faza IV

Faza ta wyznacza współczesny poziom użytkowy stanowiska. Warstwy przypisane do tej fazy to piasek 2 z bardzo dużą ilością materii organicznej oraz piasek 1 z bardzo dużą ilością materii organicznej i silnie przerosnięty korzeniami.

ZNALEZISKA

RAFAŁ SOLECKI

Na materiał zabytkowy pozyskany w trakcie badań archeologicznych grodziska w Giedylach, st. 1 w 2022 roku składa się 38 fragmentów ceramiki i 2 zabytki wydzielone.

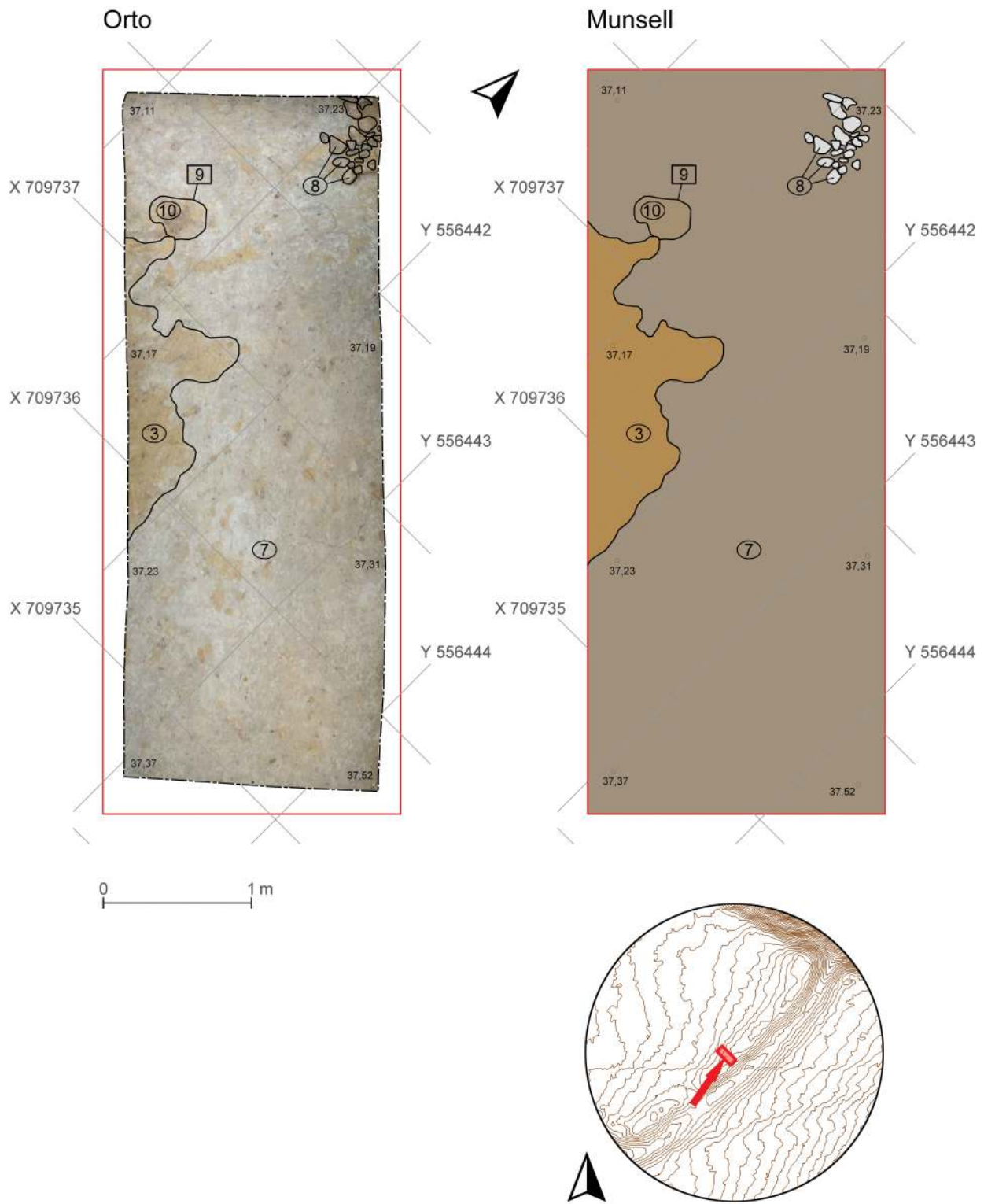
Ceramika

W trakcie badań pozyskano 38 fragmentów ceramiki (tabela 2 i 3). Ich stan zachowania można określić jako dość zły. Przeważają skorupy małe, których największy wymiar mieści się w przedziale 1–4 cm (32 fragmenty, 84,2% zbioru). Z tego względu nie udało się ustalić jakichkolwiek cech diagnostycznych dla 7 fragmentów.

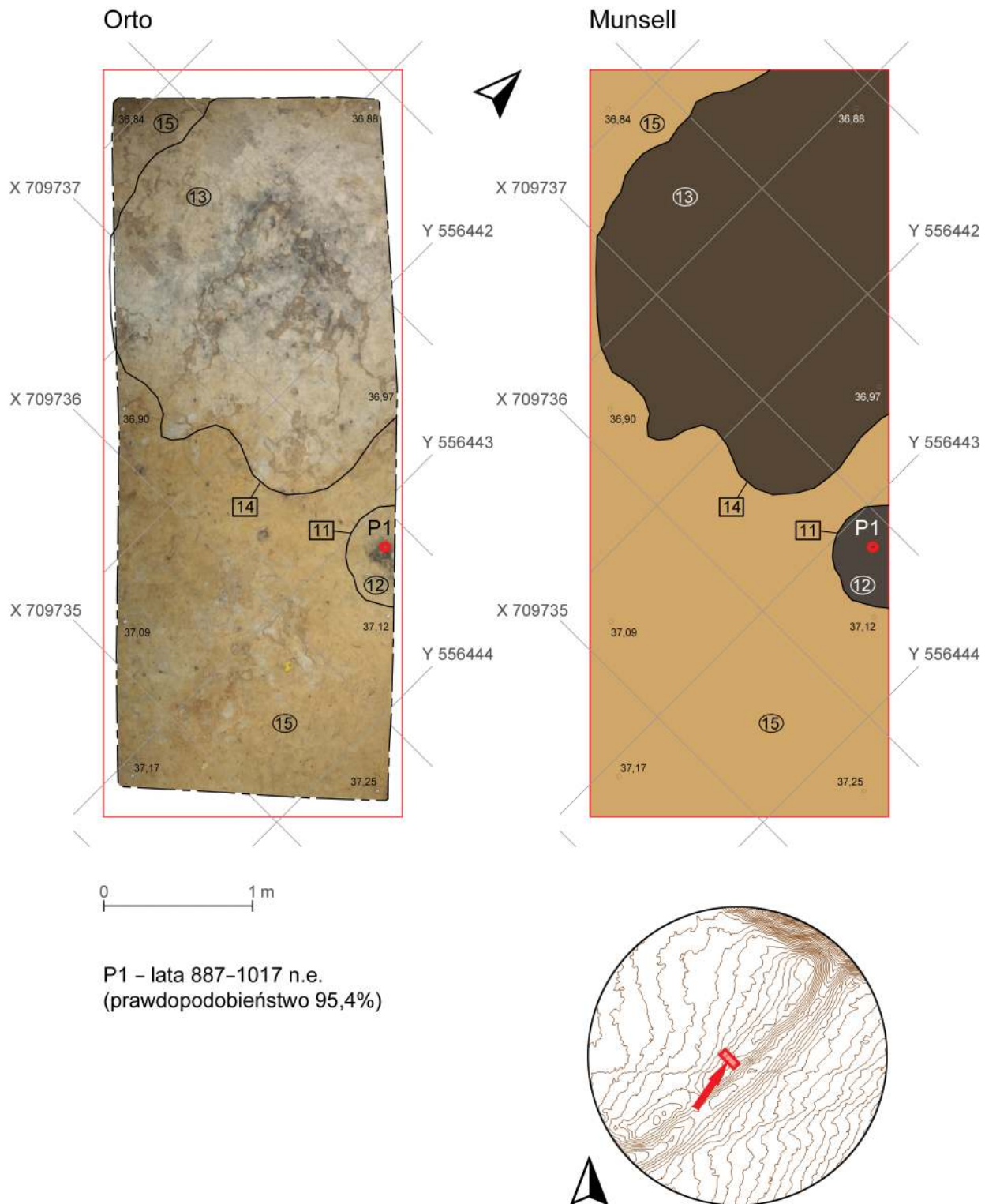
W zbiorze 31 fragmentów, dla których udało się określić jakąkolwiek cechę diagnostyczną, wydzielono trzy grupy technologiczno-surowcowe, które można przypisać do różnych

¹⁰ Rutkowska 2020.

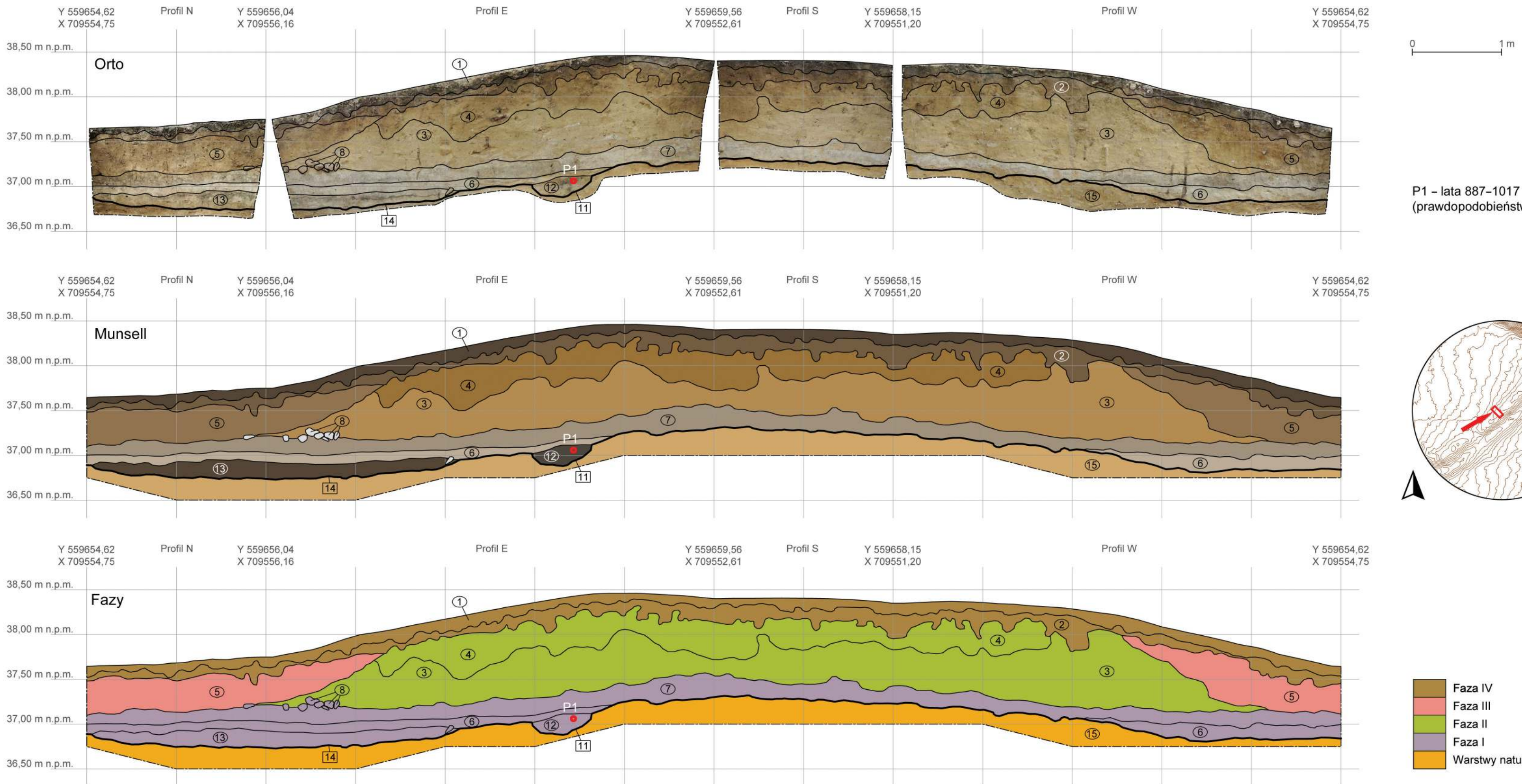
¹¹ Wadyl i Haftka 2015: 22–49



Ryc. 17. Giedyle, st. 1. Stratygrafia nawarstwień w obrębie wału – wykop 1, plan 2 (oprac. P. Jaźdzyk i R. Solecki)



Ryc. 18. Giedyle, st. 1. Stratygrafia nawarstwień w obrębie wału – wykop 1, plan 2 (oprac. P. Jaźdzyk i R. Solecki)



Ryc. 19. Giedyle, st. 1. Stratygrafia nawarstwień w obrębie wału – wykop 1, profile N, E, S i W (oprac. P. Jaźdzyk i R. Solecki)

okresów funkcjonowania stanowiska. Najliczniejszy zespół ceramiki, gdyż obejmujący 27 elementów, pochodzi prawdopodobnie z dwóch naczyń. Były one wykonane z dość dobrze wyrobionej masy ceramicznej z niedużą ilością domieszki schudzającej – piasku i tłuczonego kamienia. Wypał był w niezawansowanej atmosferze utleniającej, przez to powierzchnia naczyń nie była jednorodnej barwy, a w odcieniach brązu i pomarańczowego. Z pierwszego naczynia zachowany jest fragment wylewu o lekko esowatym profilu (tabl. 1:1), który jednak nie pozwala na bliższe określenie kształtu naczynia. Z drugiego naczynia pochodzi dużo luźnych fragmentów, dzięki którym możliwe było zrekonstruowanie formy (tabl. 1:2). Wylew nie jest wyodrębniony. Górną część naczynia uformowana została w pionową szyjkę, zapewne dość dużej średnicy. Około 3 cm poniżej krawędzi wylewu widoczne są ślepe otwory średnicy 0,5 cm ułożone w odstępach 2 cm od siebie. Szyjka przechodzi w niezbyt wydękty brzusiec. Dno jest wyodrębnione i płaskie. Naczynia o zbliżonej formie znane są z obszarów zajętych przez plemiona bałtyjskie. Bezuchne nawiązują do wcześniejszych form wazowych i jajowatych, które Mirosław Hoffmann datuje na przełom okresów halsztackiego i lateńskiego¹¹. Bardzo podobne naczynie znaleziono w osadzie kultury kurhanów zachodniobałtyjskich w Modrzewinie, obecnie dzielnicy Elbląga¹². Naczynie to nie posiada otworków pod wylewem, ale Łucja Okulicz wskazuje, że „rząd drobnych otworków pod krawędzią” jest jednym z charakterystycznych motywów tej kultury¹³. Kształt ten jest na tyle uniwersalny, że przeżywa się bardzo długo i występuje w kręgu bałtyjskim jeszcze we wcześniejącym średniowieczu. Podobny kształt naczyń odnotowano na stanowisku w miejscowości Baldram, gm. Kwidzyn, w fazie datowanej na XI wiek¹⁴ i na grodzisku w Rejsytach, gm. Rychliki, datowanym od połowy XI do końca XII wieku¹⁵. Umieszczenie otworków w pasie poniżej krawędzi wylewu także występuje we wcześniejącym średniowieczu, odnotowano je w materiałach z grodziska w Dom-

kowie, gm. Grunwald, z około przełomu X i XI wieku¹⁶ i osady w Bałgarcie, gm. Dzierzgoń datowanej na XII wiek¹⁷. W obiekcie 11, w którym znaleziono omawiane naczynie z serią otworów pod krawędzią wylewu, występowały także duże ilości spalenizny. Próba węgla pobrana z wypełniska obiektu i poddana analizie radiowęglowej dała po kalibracji przedział lat 887–1017 n.e. z prawdopodobieństwem 95,4%¹⁸. Przy zmniejszeniu prawdopodobieństwa do 92,3% przedział lat zawiera się do okresu lat 887–997 n.e. Gdyby na tej podstawie datować naczynie to należałyby przyjąć, że pochodzi ze schyłku IX lub X wieku.

Druga wydzielona grupa technologiczno-surowcowa reprezentowana jest przez dwa fragmenty. Wykonane były z masy ceramicznej z dużą domieszką drobno-, średnio- i gruboziarnistej domieszki piasku i tłuczonego kamienia. Wypał wykonano w niskiej temperaturze, przez co fragmenty są nasiąkliwe i pod wpływem wody stają się podatne na uszkodzenia. Jeden z tych fragmentów miał ponadto intencjonalnie chropowaczą powierzchnię. Ceramika tego typu nie jest charakterystyczna dla wcześniego średniowiecza i można ją z większym prawdopodobieństwem datować na wcześnieową epokę żelaza. Jeden fragment posiada na powierzchni odcisk palca (tabl. 1:3). W ten sposób – za pomocą odcisków paznokcia, zaszczypywań, załuskiwań – ceramika w kręgu bałtyjskim była dekorowana od wcześniejszej epoki żelaza aż po wcześnie średniowiecze. Z tego względu wspomniany fragment nie może być precyzyjnym datownikiem. Jeden z ułamków został znaleziony w jednostkach przypisanych do fazy I, a drugi do fazy IV. W obu przypadkach znaleziska zalegały na wtórnym złożu.

Trzecia grupa technologiczno-surowcowa to tzw. ceramika ceglasta. Naczynia wykonywano z dobrze wyrobionej masy ceramicznej z niedużą ilością drobnej domieszki. W przypadku dwóch fragmentów znalezionych na analizowanym grodzisku był to piasek. Oba fragmenty – wylewy (tabl. 1:4–5) – miały gładką powierzchnię i wypalone je w zaawansowanej technologii utleniającej, co nadało czerepowi barwę ceglastopomarańczową. Na każdym z nich zanotowano ślady szkliwienia.

¹¹ Hoffmann 2000: ryc. 35, 38.

¹² Hoffmann 2000: 251 (tabl 47:20); Okulicz 1970: 182.

¹³ Okulicz 1970: 26.

¹⁴ Wadyl 2015: 439–445, ryc. 17:i.

¹⁵ Wadyl 2013a: 157–162, ryc. 7:a, d.

¹⁶ Wadyl 2013b: 144–150, ryc. 14:d.

¹⁷ Wadyl 2019: 152–159.

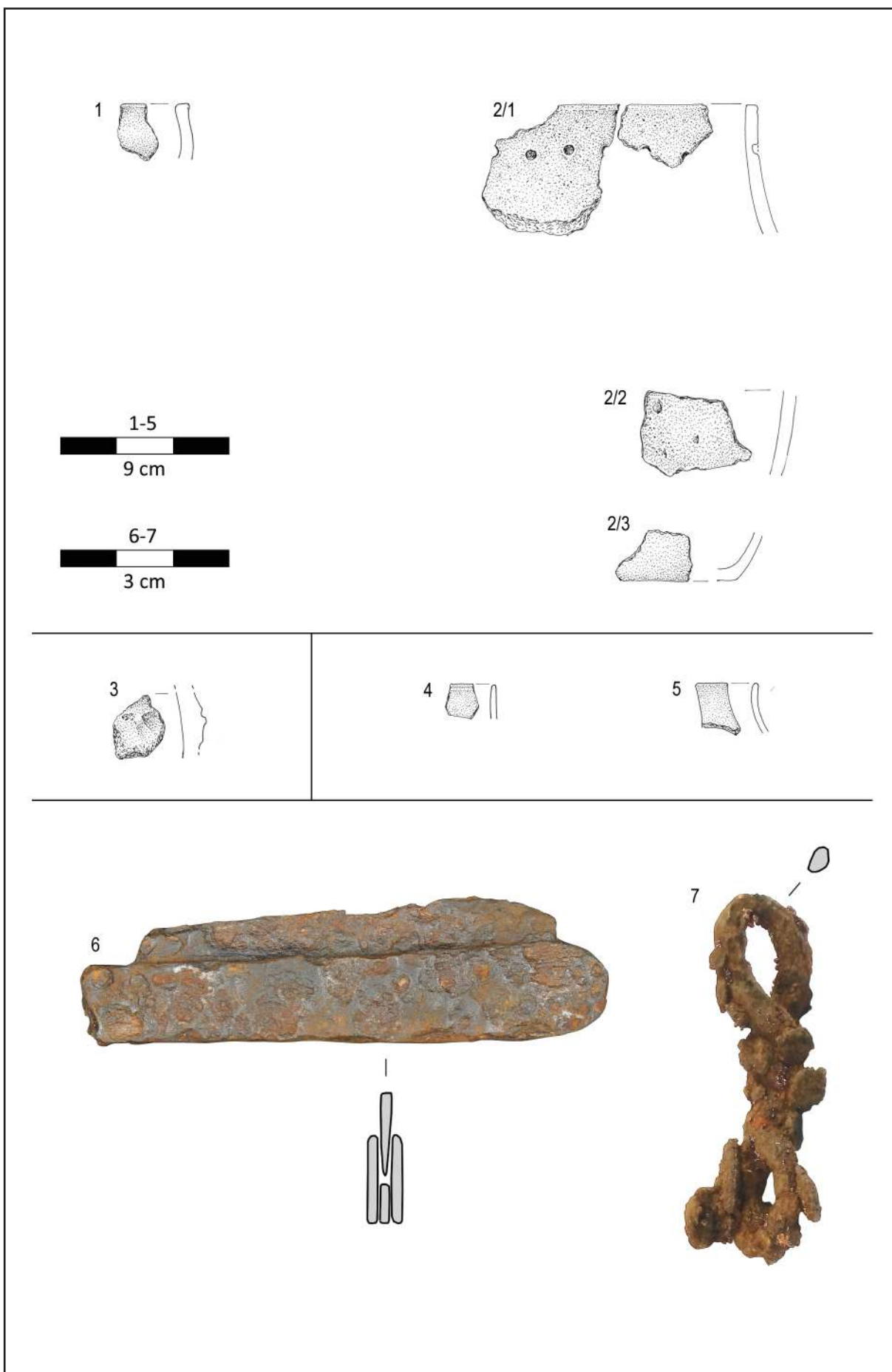
¹⁸ Analiza przeprowadzona w Poznańskim Laboratorium Radiowęglowym, próba nr Poz-162410.

Tabela 2. Zestawienie ilościowe fragmentów ceramiki z grodziska w Giedylach, st. 1 (oprac. R. Solecki)

Faza		Jedn. strat.		Kategorie wielkościowe (cm)										Stopień erozji	Suma
				1	2	3	4	5	6	7	8	9	10		
I	7	8	3	1	3			7	4	4				4	4
I	10	2	2					2	1	1				2	2
I	12	22	1	3	13			18	22					22	
II	3	1	1					1	1					1	
II	4	1	1					1		1				1	
IV	1	3	2	2	6			1	1	2				1	
IV	2	1	1					1		1				2	
Liczba różnych naczyń															1
Liczba fragmentów łącznie															1
Jednostka stratygraficzna															1
Wylewy															1
Brzuśce															1
Rodzaj powierzchni															1
Ornamentowane															1
Sztyki															1
Wyświecane															1
Gładkie															1
Chropowacze															1
Liczba fr. ogółem															1
Szorstkie															1
Nieokreślone															1
Ornamentowane															1
SEN (procent obwodu)															1
Liczba fragmentów															1
Części przydenne															1
Ucha															1
Liczba różnych naczyń															1
Liczba fragmentów łącznie															1
Jednostka stratygraficzna															1
Faza															1

Tabela 3. Fragmentacja i erozja fragmentów ceramiki z grodziska w Giedylach, st. 1 (oprac. R. Solecki)

Faza	Jedn. strat.		Kategorie wielkościowe (cm)										Stopień erozji	Suma
			1	2	3	4	5	6	7	8	9	10		
I	7		4	2	1	1							4	4
I	10		1		1								2	2
I	12		9	4	4	1	2	1	1				22	22
II	3					1							1	1
II	4					1							1	1
IV	1		1	2	2	6		1	1	2			3	3
IV	2		1					1		2			1	1
Suma	1	15	9	7	2	2	1	1	1	1	1	1	32	6
														38



Tablica 1. Giedyle, st. 1. Zabytki: 1–2) ceramika z fazy I, 3) ceramika z fazy III, 4–5) ceramika z fazy IV, 6) składany nóż, 7) żelazne ognisko (rys. B. Karch, fot. R. Solecki)

Ceramikę tego typu można datować na omawianym obszarze na przełom XV i XVI wieku¹⁹. Ułamki z tej grupy znaleziono w jednostkach przypisanych do fazy IV.

Zabytki wydzielone

W trakcie badań znaleziono dwa zabytki metalowe, które przypisano do grupy wydzielonych. Oba pochodziły z warstwy humusu i można je łączyć z czasami współczesnymi. Pierwszy zabytek to składany nóż – scyzoryk (tabl. 1:6). Drugi to zawinięty w pętelkę drut żelazny (tabl. 1:7).

CHRONOLOGIA I DZIEJE GRODZISKA W GIEDYLACH, ST. 1

RAFAŁ SOLECKI

Dotychczasowa wiedza dotycząca chronologii grodziska w Giedylach, st. 1 opierała się w dużej mierze na niepotwierdzonych założeniach dawnych badaczy, które były powielane w kolejnych publikacjach aż do określenia jego datowania na Karcie Ewidencji Stanowiska Archeologicznego włącznie. Przeprowadzone badania pozwoliły określić dość precyzyjnie chronologię jednej z faz użytkowania cypla, na którym znajduje się grodzisko, ale wskazały także nowe kierunki poszukiwań, gdyż istnieje podejrzenie, że grodzisko było wielofazowe.

Analiza układu jednostek stratygraficznych wykazała, że stanowisko było miejscem różnego typu prac co najmniej dwukrotnie. Wydzielona faza I związana była z osadnictwem ludności pruskiej prawdopodobnie około X wieku. Datowanie to oparto na wyniku analizy radiowęglowej próbki węgla pobranej z jednego z obiektów, który po kalibracji wskazał przedział lat 887–1017 n.e. z prawdopodobieństwem 95,4%²⁰. Drugi datownik to naczynie z drobnymi otworkami poniżej krawędzi wylewu. Zbliżone formy odnajdywano na innych grodziskach związanych z ludnością pruską, datowanych na około X–XII wiek. Z osadnictwem tej fazy powiązano jedynie obiekty o charakterze prawdopodobnie gospodarczym i majązącą warstwę kulturową. Nie zanotowano, aby w tym czasie funkcjonowały jakiekolwiek umocnienia. Po ustaniu osadnictwa fazy I powierzchnia cypla była

prawdopodobnie nieużytkowana przez dłuższy czas, gdyż występująca na niej gleba zaczęła ulegać procesowi bielicowania.

Kolejna faza, opisana jako II, związana była z budową wału ziemnego i równoległej względem niego fosy. W ten sposób koniec cypla został odcięty od wysoczyzny. Z nasypu wału nie udało się pozyskać żadnych źródeł, które pozwoliłyby go wydatować – nie występowała w nim spalenizna, a dwa znalezione fragmenty ceramiki to materiał redeponowany ze starszej fazy. Można jedynie postawić hipotezę bazującą na analizie formy umocnień. Taka konstrukcja wału nie jest charakterystyczna dla typowych fortyfikacji wznoszonych przez zakon krzyżacki. Mógł być więc to szaniec usypany przez ludność pruską w momencie pojawienia się zagrożenia ze strony krzyżaków. Miałby to być punkt oporu, który zabezpieczałby także pobliską – oddaloną zaledwie o 450 m – przepławę przez rzekę Pasłękę. PrzepRAWA ta poświadczona jest w dokumencie z 1289 roku, który jest aktem lokacyjnym wsi Dębiny. W przytoczonym tekście bród nazwany jest „Ginthebrast”²¹. Mógł on istnieć już wcześniej i z tego względu byłby on strategicznym miejscem niezbędnym do obrony. Z drugiej strony mógł to być jednak tymczasowy fort wybudowany przez krzyżaków po zajęciu tego terytorium. Miałby on zabezpieczyć drogę ewentualnej ewakuacji. Jak zauważa Marcin Wiewióra, w początkowych etapach działań wojennych na obszarze Prus założenia obronne były budowane bez konkretnego planu, jedynie w celu spełnienia określonego celu²². W momencie, gdy bezpieczeństwo przeprawy przez rzekę nie było już zagrożone, utrzymywanie umocnień stało się zbędne. To mogłoby tłumaczyć nieszablonowy kształt umocnień oraz brak wyraźnej warstwy kulturowej ponad wałem – w tym przypadku nie wytworzyła się, gdyż gród nie funkcjonował na tyle długo. Niezależnie więc od tego, kto umocnienia zbudował, prawdopodobnie powstały one w momencie najazdu krzyżaków na te ziemie, co można datować na około połowę XIII wieku²³.

Po opuszczeniu umocnień obszar grodziska przestał pełnić funkcje obronne. W układzie nawarstwień czytelne są znacznych rozmiarów spływy erozyjne pozbawione mate-

¹⁹ Marcinkowski 2013: 245–247.

²⁰ Analiza przeprowadzona w Poznańskim Laboratorium Radiowęglowym, próba nr Poz-162410.

²¹ Klimek 2017: 207.

²² Wiewióra 2016: 198.

²³ Labuda 1990: 39–44.

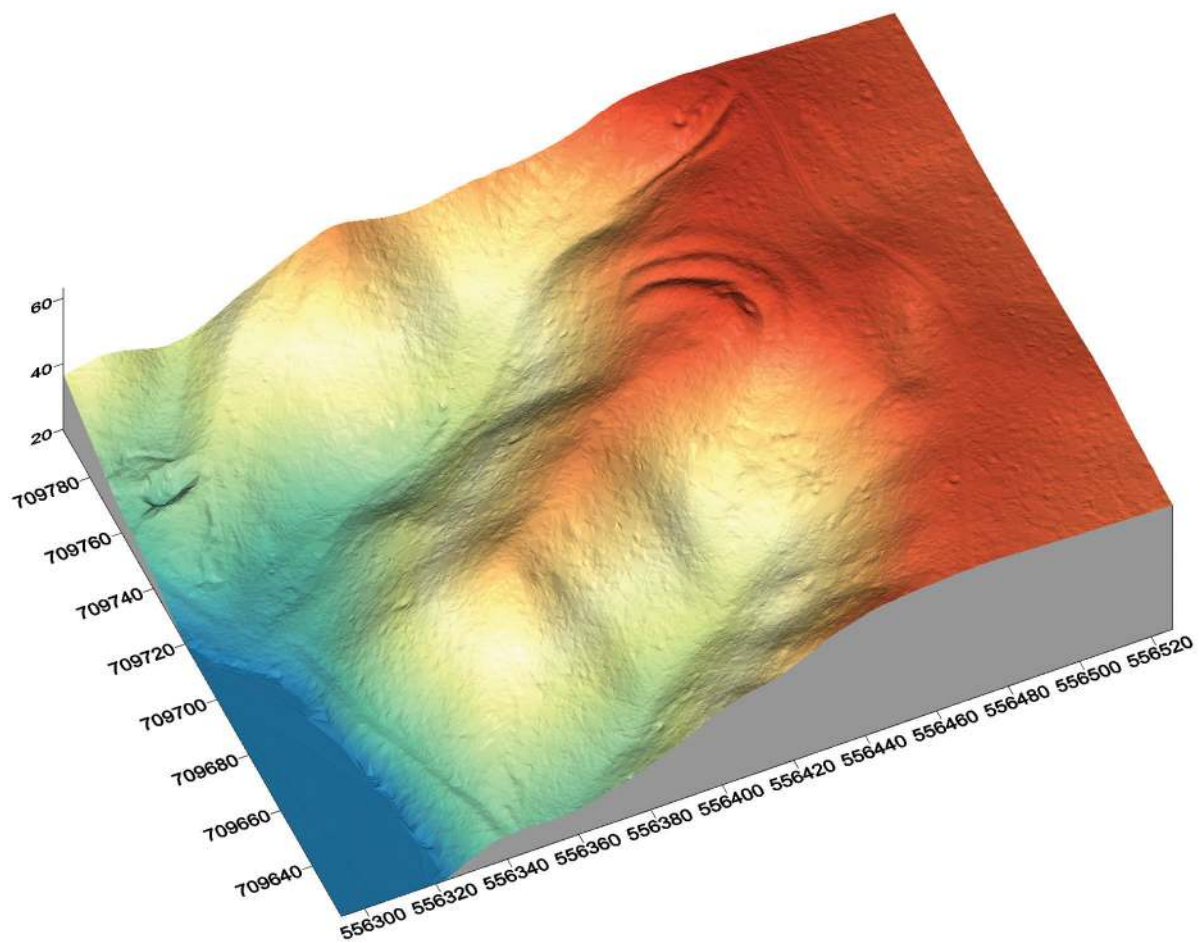
riału zabytkowego. W wierzchniej warstwie humusu zanotowano dwa fragmenty ceramiki nowożytnej, które można datować od przełomu XV i XVI wieku. Ich obecność można łączyć z faktem, że ziemie wokół reliktów grodziska były wykorzystywane gospodarczo, na co wskazują wydzielenia działek pod pola bądź lasy. Bliskość młyna oznaczonego na mapach bezpośrednio przy brodzie może sugerować, że pola były połączone w jakiś sposób drogą z młynem. Jedna wydeptana ścieżka, widoczna na Numerycznym Modelu Terenu i na archiwalnych mapach (ryc. 3, 4, 9), prowadzi z pola, przez grodzisko, gdzie przecina jego wał, i dalej w kierunku młyna. Druga ścieżka, znajdująca się nieco na południe od grodziska, prowadzi z pola po stoku w dół

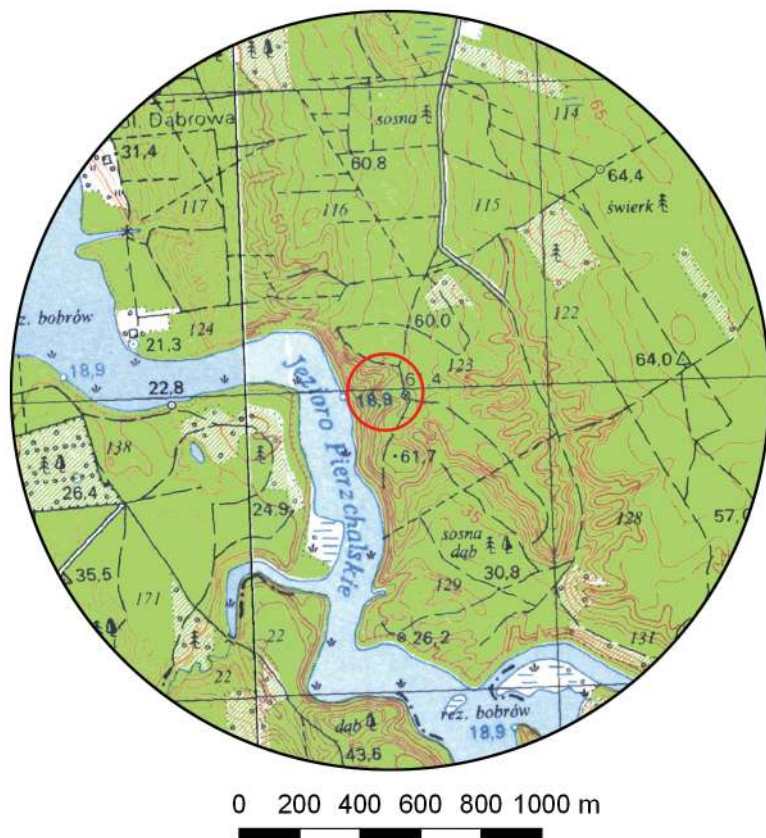
doliny (ryc. 6). Najmłodsze ślady wykorzystywania powierzchni grodziska można wiązać z okresem II wojny światowej. Z działaniami wojennymi można łączyć pozostałość prawdopodobnie stanowiska ogniowego w północno-zachodnim krańcu grodziska oraz znaleziska scyzoryka i zwiniętego drutu.

Należy przyjąć, że kolejne badania poszerzą bazę źródeł do dalszych analiz i być może pozwolą wydzielić jeszcze jedną fazę osadniczą. Na jej istnienie może wskazywać znalezisko dwóch fragmentów ceramiki, prawdopodobnie o chronologii wczesnożelaznej. Znaleziono je na wtórnym złożu, a pochodzą najpewniej ze zniszczonych jednostek kulturowych. Poszerzenie zakresu badań pozwoliłoby być może odkryć ślady tego osadnictwa.

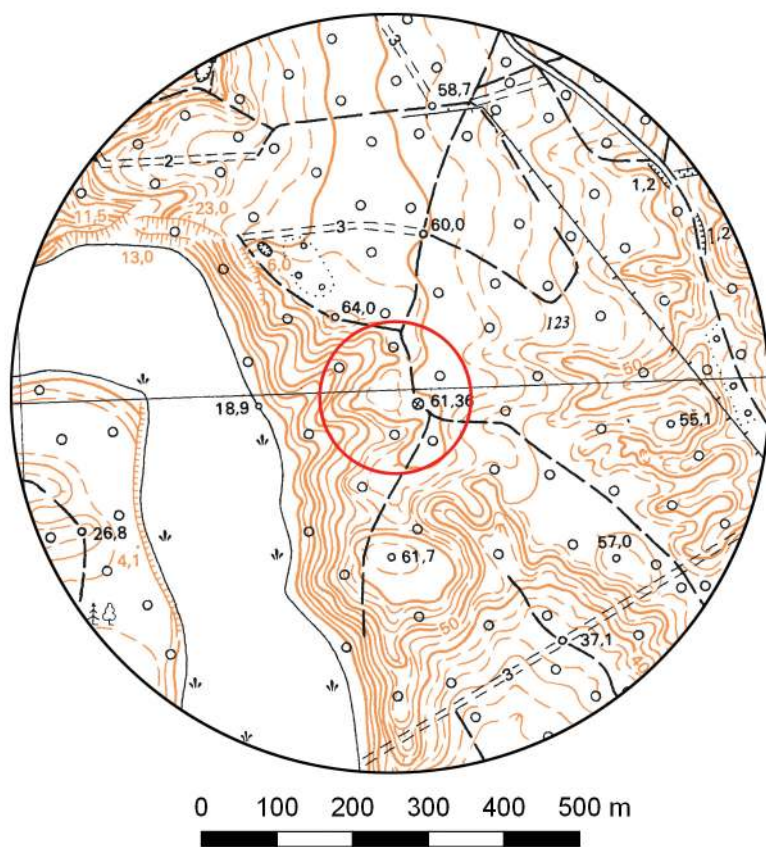
Dąbrowa, st. 8

Gmina Płoskinia
Powiat braniewski
AZP 14-55/5
Współrzędne geograficzne:
N 54° 14' 54"
E 19° 51' 58"





Ryc. 1. Grodzisko w Dąbrowie, st. 8
na mapie w skali 1:25 000
(na podstawie materiałów GUGiK,
oprac. R. Solecki)



Ryc. 2. Grodzisko w Dąbrowie, st. 8
na mapie w skali 1:10 000
(na podstawie materiałów GUGiK,
oprac. R. Solecki)

POŁOŻENIE GRODZISKA I JEGO FORMA

RAFAŁ SOLECKI

Grodzisko w Dąbrowie (niem. *Schöndamerau*), st. 8 nie było do tej pory zewidencjonowane w ramach projektu Archeologiczne Zdjęcie Polski, było jednak już znane. Nastknął się na nie w latach osiemdziesiątych XX wieku i skrótnie opisał Adam Waluś. W monografii Mirosława J. Hoffmanna jego lokalizacja opisana jest następująco: „Osiedle położone w zakolu Pasłęki, bezpośrednio na północny wschód od cmentarzyska kurhanowego”¹. Wspomniane w opisie cmentarzysko, to wczesnożelazna nekropolia w Piorkowie (niem. *Födersdorfer Forst*), pow. braniewski odkryta jeszcze na początku XIX wieku. Pierwsze badania przeprowadzono w drugiej połowie XIX wieku (1870 rok)², a ko-

¹ Hoffmann 1999: 125.

² Bender 1871.

lejne, których kierownikiem był Adalbert Bezzenger, na początku XX wieku (lata 1904–1906)³. W latach 1980–1987 cmentarzysko było badane przez A. Walusia z Instytutu Archeologii Uniwersytetu Warszawskiego⁴. Przy południowej granicy cmentarzyska w 1993 roku odkryto także relikty osady otwartej, którą zamieszkiwała ludność kultury kurhanów zachodniobałtyjskich⁵.

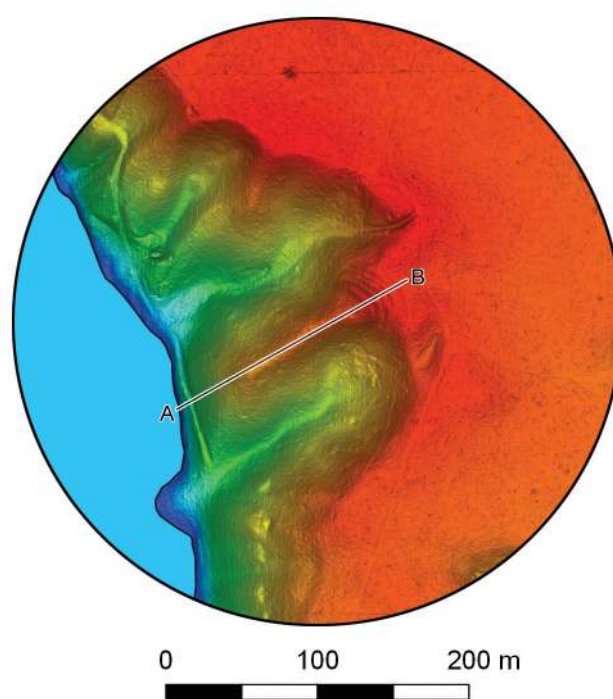
Grodzisko położone jest na wschodnim brzegu Jeziora Pierzchalskiego (ryc. 1–2), zbiornika sztucznie utworzonego na początku XX wieku, w wyniku spiętrzenia wody rzeki Pasłęki przez elektrownię wodną Pierzchaly⁶. Znajduje się w odległości 2,7 km na południe od wsi Dąbrowa i 3,4 km na wschód od wsi Chruściel. Zajmuje wąski, wysoki cypr odcięty od wysoczyzny za pomocą trzech

³ Bezzenger 1909: 1–3.

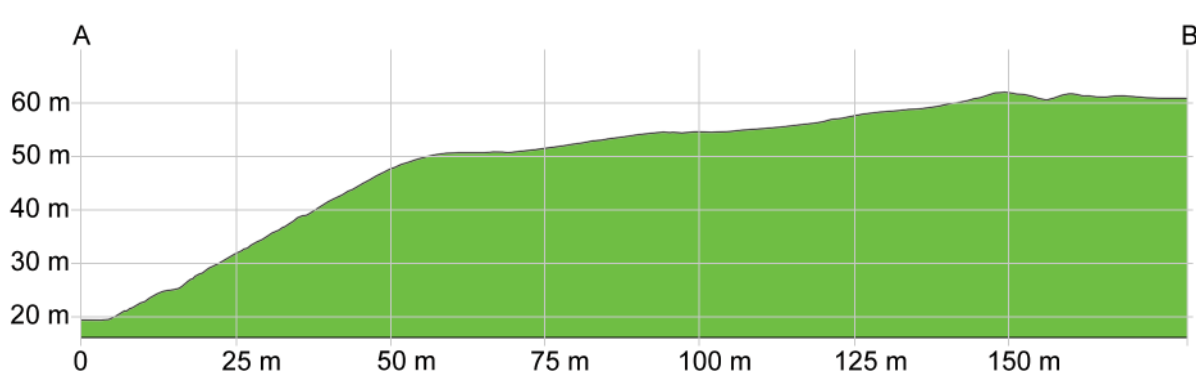
⁴ Waluś 1987: 1992.

⁵ Żórawska 2000.

⁶ Łągiewska, Opyrchał i Wanat 2015: 252–254.



Ryc. 3. Grodzisko w Dąbrowie, st. 8
na zobrazowaniu ALS (na podstawie materiałów
GUGiK, oprac. R. Solecki)



Ryc. 4. Przekrój grodziska w Dąbrowie, st. 8
uzyskany z danych ALS (na podstawie
materiałów GUGiK, oprac. R. Solecki)



Ryc. 5. Dąbrowa, st. 8. Widok od strony północnej na wał I i majdan (fot. R. Solecki)



Ryc. 6. Dąbrowa, st. 8. Widok od strony północnej wał I, fosę I i wał II (fot. R. Solecki)

linii wałów i fos (ryc. 3–4). Majdan ma długość dochodzącą do 80 m przy szerokości 7–20 m i powierzchnię około 10 arów. Wał I, wyznaczający zasięg majdanu, jest dobrze widoczny w terenie (ryc. 5). Jego wysokość liczona względem powierzchni majdanu wynosi 2,3 m, a mierzona względem dna fosy I wynosi 1,5 m. Wał II jest mniej czytelny (ryc. 6), jego wysokość względem dna fosy I wynosi 1,4 m, a względem dna fosy II już tylko 0,4 m. Wał III jest niemal nieczytelny w terenie. Jego wysokość względem dna fosy II dochodzi do 0,6 m, a względem dna fosy III nie przekracza 0,4 m. Długość wału I wynosi 25 m, wału II 40 m, a wału III 45 m. Odległość pomiędzy szczytami wałów I i II wynosi 9,8 m, a pomiędzy szczytami wałów II i III – 8,5 m. Powierzchnia całego stanowiska to około 33 ary. Najwyższy zanotowany punkt w obrębie grodziska, na szczycie wału I, osiąga poziom 62,4 m n.p.m. Poziom lustra wody w jeziorze poniżej maj-

danu znajduje się kolejno na poziomie 19,5 m n.p.m. Obecna forma majdanu – silnie wydłużony przy małej szerokości – jest najpewniej wynikiem erozji, jaka zaczęła oddziaływać na podstawę cypla w momencie, gdy podniósł się poziom wody w rzece Pasłęce. Stoki cypla zaczęły się osuwać stopniowo, zmniejszając także powierzchnię majdanu. Ślady osuwisk ziemi widoczne są na stokach cypla i u jego podstawy, od strony jeziora, ale także od stro-ny wąwozów.

Stanowisko porośnięte jest lasem mieszanym, miejscami gęstym, z dominującymi gatunkami sosny, brzozy i dębu. Obszar ten wchodzi w strefę objętą ochroną w ramach Ostoi bobrów na rzece Pasłęce.

W odległości około 1,3 km na wschód, znajduje się kolejne grodzisko z wczesnej epoki żelaza (Dąbrowa, st. 9), które zostało opisane w niniejszym tomie.

ŚRODOWISKO FIZYCZNOGEOGRAFICZNE

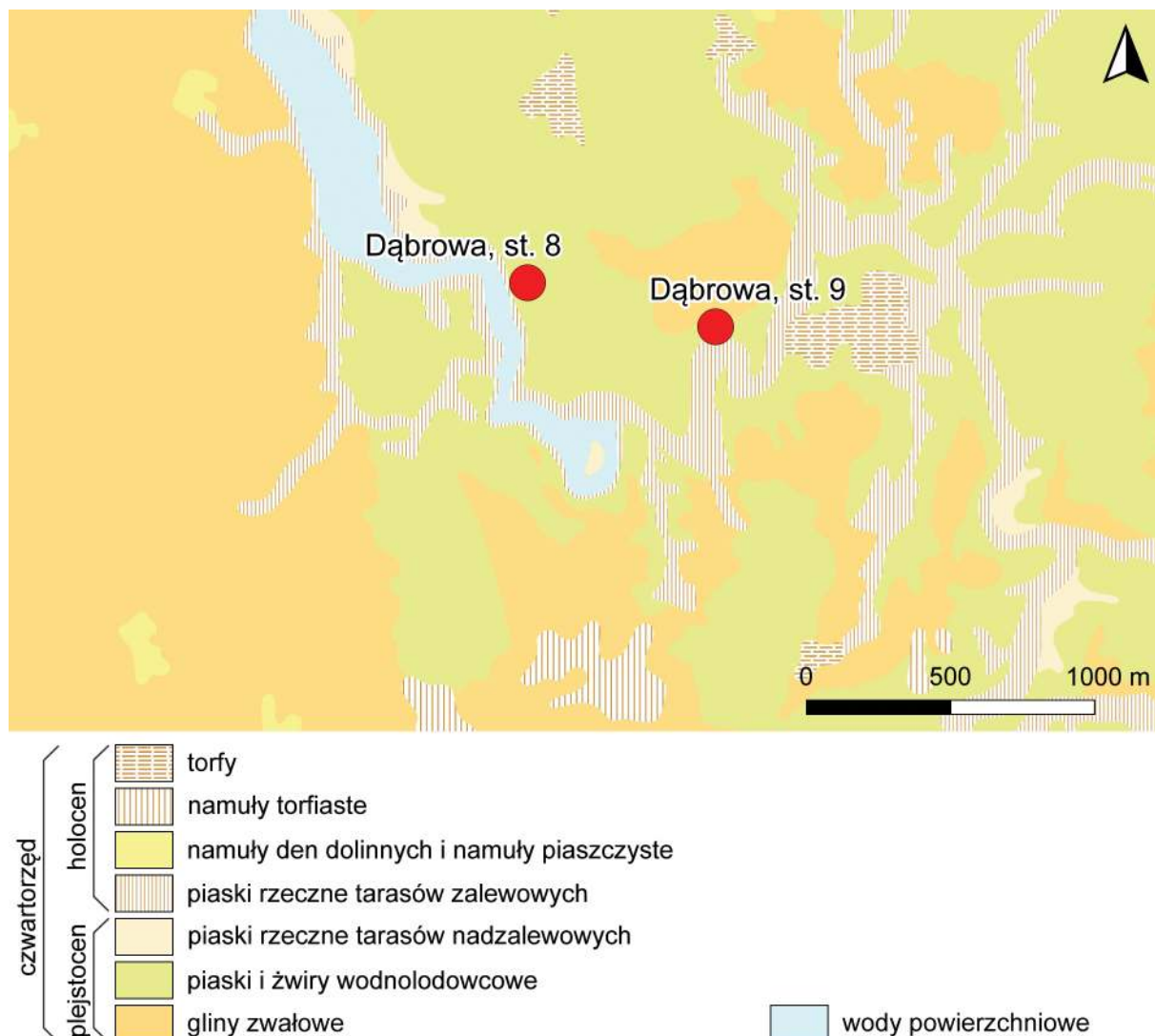
ANNA LEJZEROWICZ

Wstęp do opisu środowiska fizycznogeograficznego, w którym przedstawiony zostaje szeroki kontekst jego uwarunkowań, jest taki sam dla grodzisk w Dąbrowie, st. 8 i 9 – oba stanowiska oddalone są od siebie w linii prostej o zaledwie około 1,3 km. Inne będą natomiast wyniki przeprowadzonych odwiertów geologicznych i przygotowane na ich podstawie przekroje geologiczne poprzez stanowiska.

Według podziału fizycznogeograficznego Polski Jerzego Kondrackiego grodziska w Dąbrowie znajdują się w makroregionie Pobrzeże Gdańskie i mezoregionie Równina Warmińska⁷.

⁷ Kondracki 2002: 59–61, 66–67.

Grodzisko Dąbrowa, st. 8 położone jest na obszarze równiny sandrowej i wodnolodowcowej, a przylega do niego obszar doliny rzeki Pasłęki. Dolina rzeki Pasłęki jest w tym miejscu oddzielona od obszaru sandrowego wyraźną stromą krawędzią erozyjną. Wysokości bezwzględne tego obszaru wahają się w przedziale około 35–110 m n.p.m. Obecne na stanowisku piaski i żwiry wodnolodowcowe powstały podczas recesji lądolodu fazy pomorskiej stadiału górnego zlodowacenia Wisły. Gdy lądolód fazy pomorskiej zanikał, na obszarze tym powstawał i wyrównywał powierzchnię tego terenu najmłodszy poziom sandrowy, na którym to obszarze wytapiały się bryły martwego lodu, tworząc zagłębia. Wypełniały się one od holocenu torfami oraz namułami. W początkowym okresie holocenu działała erozja rzeczna, formując dolinę rzeki Pasłęki oraz innych rzek. Strome krawędzie widoczne na tym obszarze związane są z in-



Ryc. 7. Wycinek arkusza Szczegółowej Mapy Geologicznej Polski z zaznaczonymi grodziskami w Dąbrowie, st. 8 i st. 9 (źródło:
www.cbdgmapa.pgi.gov.pl/arcgis/services/kartografia/smgp50k/MapServer/WMServer, oprac. R. Solecki)

tensywną działalnością rzeki Pasłęki, która to była odzwierciedleniem obniżania się poziomu Morza Bałtyckiego⁸. W czasie, gdy poziom Morza Bałtyckiego się unormował, w najszerzym miejscu doliny Pasłęki powstało Jezioro Pierzchalskie znajdujące się na północny zachód od grodziska w Dąbrowie, st. 8.

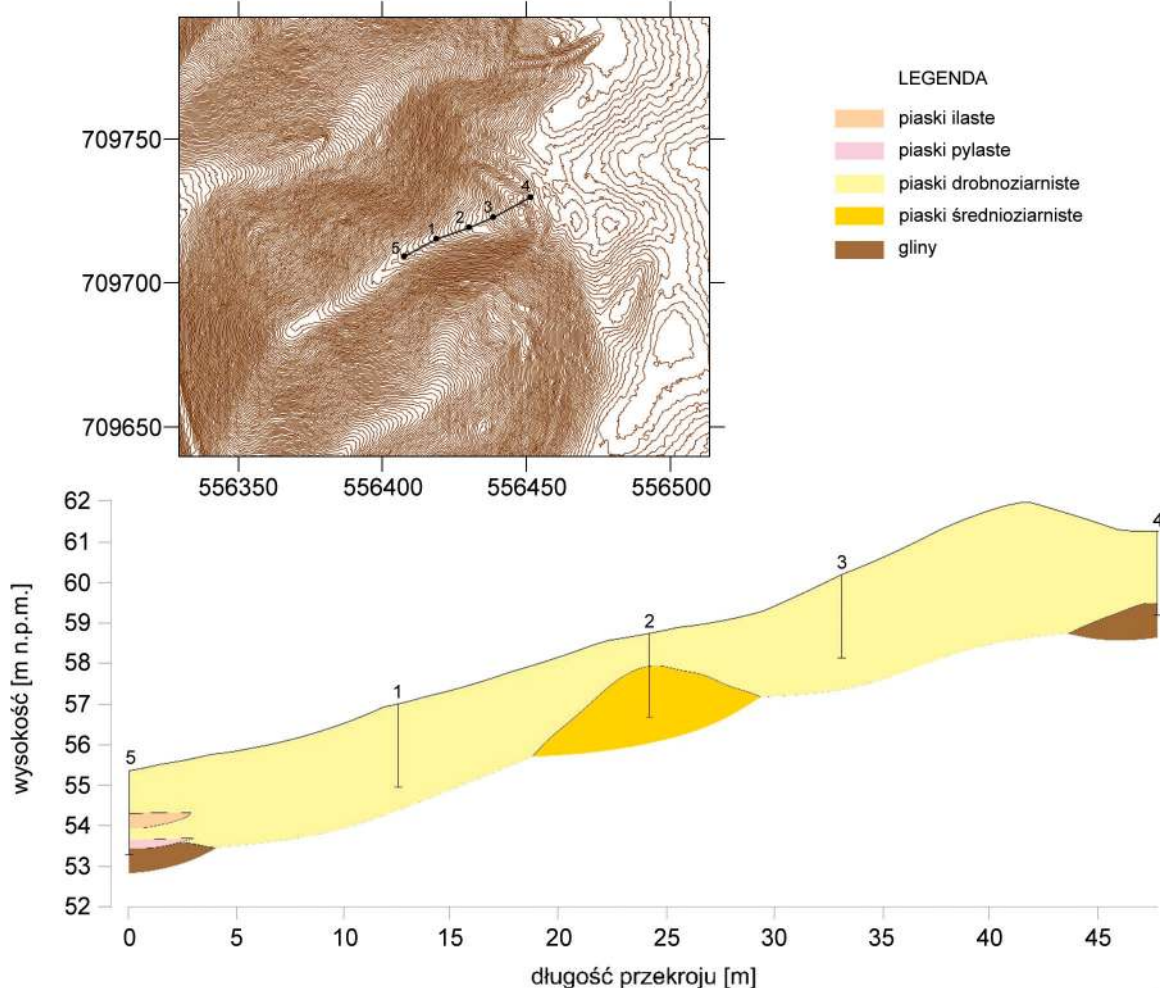
Cypel, na którym znajduje się omawiane grodzisko, ma wysokość dochodzącą do około 60 m n.p.m. Jest on wyraźnie wydłużony w kierunku doliny rzeki Pasłęki. Szczyt cypla jest stosunkowo płaski i wąski, a od północy (północnego zachodu) i południa (południowowego wschodu) ograniczony jest bardzo stromymi stokami, które schodzą do rozcięć erozyjnych odprowadzających wody opadowe z równiny sandrowej w kierunku doliny rzeki Pasłęki.

Według *Mapy Geologicznej Polski* w skali 1: 500 000 grodzisko w Dąbrowie znajduje się na obszarze występowania piasków i żwirów sandrowych. Według *Szczegółowej Mapy*

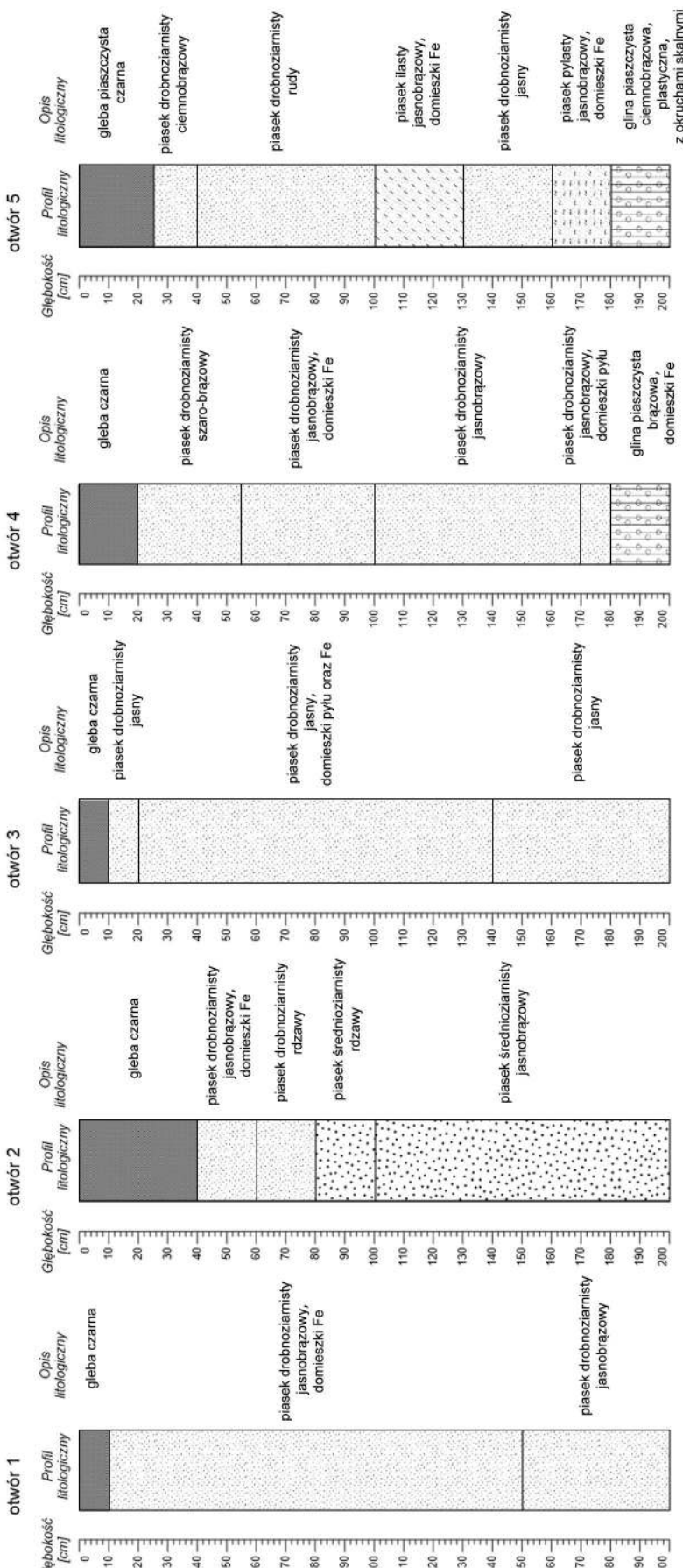
⁸ Rabek i Świerszcz 2002.

Geologicznej Polski w skali 1:50 000 (ryc. 7) na obszarze stanowiska występują piaski i żwiry wodnolodowcowe. Według *Mapy Litogenetycznej Polski* w skali 1:50 000 stanowisko znajduje się na obszarze występowania piasków żwirowatych pochodzenia wodnolodowcowego.

Na grodzisku w Dąbrowie, st. 8 wykonano pięć wierceń sondą ręczną do maksymalnej głębokości 2 m w celu rozpoznania budowy geologicznej. Na podstawie wykonanych wierceń stworzony został schematyczny przekrój geologiczny przez stanowisko (ryc. 8). W odwierach zaobserwowano występowanie przede wszystkim osadów piaszczystych. Charakteryzują się one częstą obecnością związków żelaza (rude zabarwienie). Osady piaszczyste to piaski drobnoziarniste i średnioziarniste oraz piaski pylaste i ilaste. Występują też gliny polodowcowe. Lokalnie w osadach znaleźć można okruchy skalne. Szczegółowa litologia jest widoczna oraz została opisana na poszczególnych profilach wierceń (ryc. 9).



Ryc. 8. Schematyczny przekrój geologiczny przez grodzisko w Dąbrowie, st. 8 (oprac. A. Lejzerowicz)



Ryc. 9. Profile litologiczne odwiertów wykonanych na obszarze grodziska w Dąbrowie, st. 8 (oprac. A. Lejzerowicz)

BADANIA ARCHEOLOGICZNE

RAFAŁ SOLECKI I PRZEMYSŁAW JAŻDŻYK

Przebieg badań terenowych

Początkowo obszar do rozpoznania archeologicznego wytypowano na podstawie obrazowania danych wysokościowych uzyskanych z wykorzystaniem technologii ALS. Widoczny na nich był wąski cypel wchodzący od wschodu w dolinę rzeki Pasłęki. W trakcie weryfikacji terenowej stanowiska wiosną 2022 roku zauważono ślady procesów erozyjnych na powierzchni majdanu – w miejscowościach, gdzie znajdowały się wykroty po przewróconych drzewach doczyszczono ściany otworów w ziemi stwierdzając, że niemal bezpośrednio poniżej humusu leśnego znajduje się warstwa naturalna. Z tego względu zdecydowano się na rozpoznanie obszaru stanowiska w obrębie umocnień, gdzie widoczna jest oryginalna forma wałów i suchych fos, sugerująca, że warstwy kulturowe powinny być nadal zachowane.

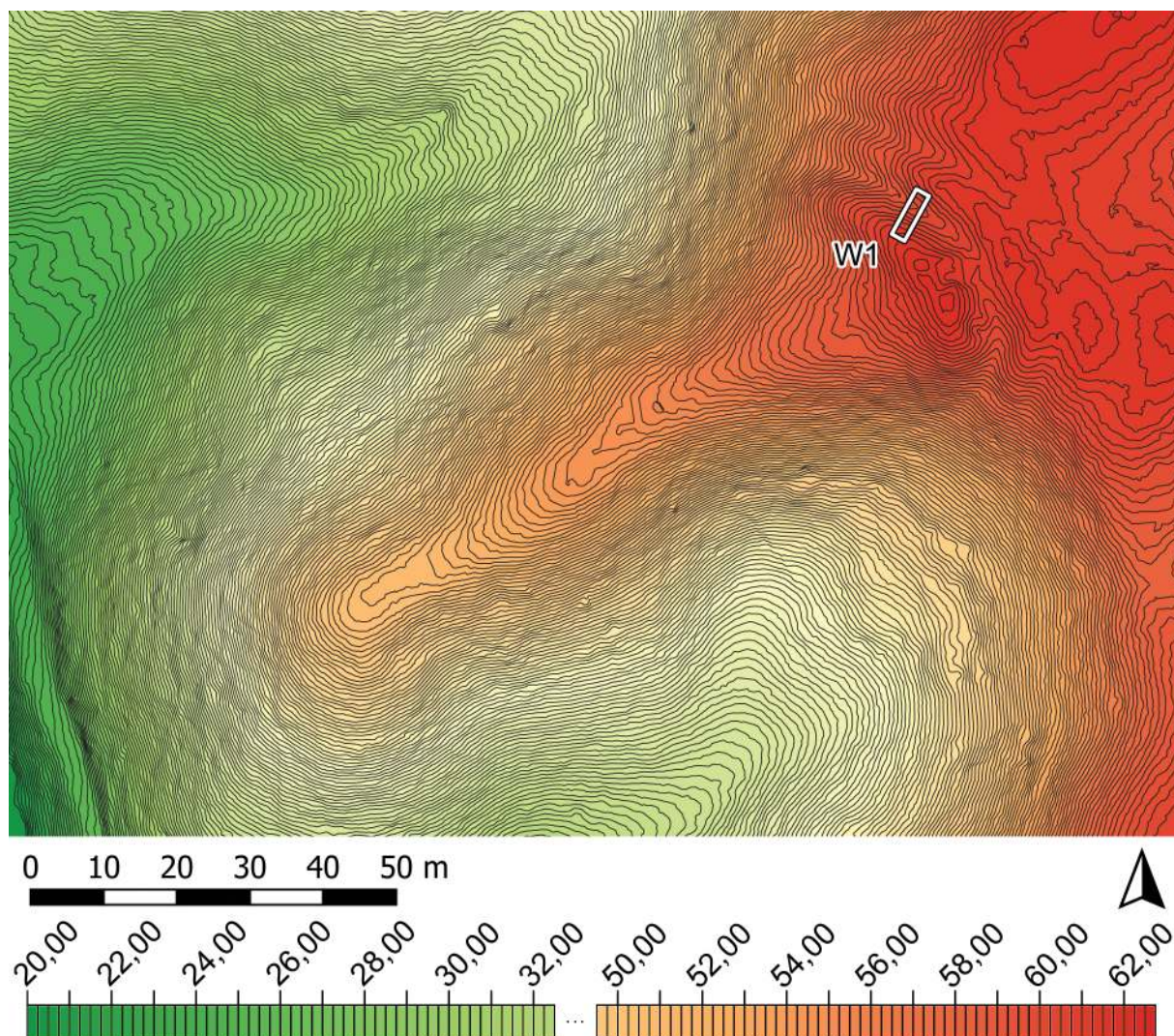
Badania archeologiczne przeprowadzono latem 2022 roku. Wykop badawczy (W1), o wymiarach 2×7 m, wytyczono możliwie prostopadle do osi wałów (na ile pozwoliło zagęszczenie drzew), tak aby przecinał wał I, fosę I i wał II. Położenie wykopów prezentuje ryc. 10.

Stratygrafia stanowiska

W trakcie omawianych badań archeologicznych wydzielono łącznie 14 jednostek stratygraficznych (tabela 1). Możliwe było ich rozdzielenie pomiędzy warstwy naturalne i trzy fazy „użytkowe”. Diagram Harris'a dla wydzielonych jednostek stratygraficznych przedstawia ryc. 11, a zadokumentowane powierzchnie ryc. 12.

Warstwy naturalne

W trakcie badań jako jednostkę naturalną zidentyfikowano żwarty, drobno- i średnioziarnisty piasek 14 ze smugami żelazistych wytrąceń. Najwyższy zanotowany punkt natu-



Ryc. 10. Dąbrowa, st. 8. Plan grodziska z naniesionym wykopem archeologicznym (oprac. R. Solecki)

Tabela 1. Dąbrowa, st. 8. Katalog warstw i obiektów oraz ich zależności stratygraficznych (oprac. R. Solecki)

Numer jednostki	Numer obiektu	Numer wykopu	Położenie w obrębie stanowiska	Współrzędne geodezyjne (PUWG 1992)	Opis jednostki stratygraficznej	Barwa (Munsell)	Pozycja stratygraficzna	
							Zdaje się pod	Znajduje się nad
1	-	1	Obszar całego stanowiska	X=709732,9-709740,2; Y=556440,1-556445,4	Ciemny, mocno organiczny piasek silnie przerosły korzeniami; miąższość do 50 cm; humus leśny	10YR 3/2	-	2, 3, 4
2	-	1	Obszar całego wykopu	X=709732,9-709740,2; Y=556440,1-556445,4	Sypki piasek z dużą domieszką materii organicznej; miąższość do 25 cm; poziom użytkowy	10YR 4/4	3	4, 5
3	-	1	Fosa I	X=709734,7-709740,2; Y=556441,6-556445,4	Sypki piasek z domieszką materii organicznej i pojedynczymi drobinami węgli drzewnych; miąższość do 90 cm; warstwa erozjyna w obrębie fosy I	10YR 6/3	1	4, 5, 6, 7, 8, 9
4	-	1	Wał II	X=709737,2-709740,2; Y=556442,2-556445,4	Sypki piasek z nie dużą domieszką materii organicznej; miąższość do 75 cm; warstwa nasypowa wału II	10Y 5/4	1, 2, 3, 6, 8	7, 14
5	-	1	Wał I	X=709732,9-709737,9; Y=556440,1-556444,4	Sypki piasek z domieszką materii organicznej i żelazistymi wytrąceniami; miąższość do 70 cm; warstwa nasypowa wału I	10YR 7/6	2, 3, 8	9
6	8	1	Fosa I	X=709736,7-709739,0; Y=556441,9-556444,2	Piasek z domieszką materii organicznej i węglami drzewnymi oraz pojedynczymi kamieniami o średnicy do 10 cm; miąższość do 40 cm; poziom użytkowy w obrębie fosy I	7,5Y 4/2	3	4, 8, 9
7	-	1	Wał II	X=709737,2-709740,2; Y=556442,2-556445,4	Piasek, lekko ilasty, z nitkami żelazistych wytrąceń; miąższość do 70 cm; warstwa nasypowa wału II	10YR 5/6	3, 4, 8	14
8	8	1	Fosa I	X=709734,7-709740,2; Y=556441,6-556445,4	Rów, w przekroju nieregularnie nieckowaty, szerokości do 300 cm i głębokości do 130 cm; fosa I rozdzielająca wał I i II	-	3, 6	4, 5, 7, 9
9	-	1	Wał I	X=709732,9-709737,9; Y=556440,1-556444,4	Piasek z licznymi, niewielkimi skupiskami węgli drzewnych; miąższość do 70 cm; warstwa nasypowa wału I	10YR 5/4	3, 5, 6, 8	10, 14
10	-	1	Wał I	X=709732,9-709735,7; Y=556440,1-556443,0	Sypki piasek z nitkami żelazistych wytrąceń; miąższość do 45 cm; warstwa nasypowa wału I	10YR 4/4	9	11, 12, 13, 14
11	-	1	Wał I	X=709732,9-709735,7; Y=556440,1-556443,0	Piasek z domieszką materii organicznej i drobnymi węgli drzewnych oraz z nitkami żelazistych wytrąceń; miąższość do 40 cm; warstwa nasypowa wału I	10YR 5/3	10	12
12	-	1	Wał I	X=709732,9-709735,7; Y=556440,1-556443,0	Piasek, lekko ilasty, z nitkami żelazistych wytrąceń; miąższość do 35 cm; warstwa nasypowa wału I	10YR 6/4	10, 11	13
13	-	1	Wał I	X=709732,9-709735,7; Y=556440,1-556443,0	Piasek, lekko ilasty, z domieszką materii organicznej i drobnymi węgli drzewnych oraz z nitkami żelazistych wytrąceń; miąższość do 50 cm; warstwa nasypowa wału I	10YR 5/4	10, 12	14
14	-	1	Obszar całego stanowiska	X=709732,9-709740,2; Y=556440,1-556445,4	Zwarty drobno- i średnioziarnisty piasek ze smugami żelazistych wytrąceń; podłoże naturalne	10YR 7/4	7, 9, 13	-

ralnego podłoża geologicznego znajdował się w osi wału I i osiągał poziom 59,75 m n.p.m.

Faza I

Na obecnym etapie badań fazę I podzielono na dwie podfazy: A i B. Faza IA wyznacza okres budowy umocnień – wałów I i II oraz fosy I.

Wał I tworzą w kolejności stratygraficznej: lekko ilasty piasek z domieszką materii organicznej i drobnych węgli drzewnych oraz z nitkami żelazistych wytrąceń 13, lekko ilasty piasek z nitkami żelazistych wytrąceń 12, piasek z domieszką materii organicznej i drobnych węgli drzewnych oraz z nitkami żelazistych wytrąceń 11 oraz sypki piasek z nitkami żelazistych wytrąceń 10. Zewnętrz-

ny płaszczy nasypu wału tworzy piasek z licznymi, niewielkimi skupiskami węgli drzewnych 9. Charakterystyczne jest, że domieszki węgli drzewnych występują naprzemianlegle w warstwach 9, 11 i 13, a rozzielone są warstwami 10 i 12, w których ta domieszka nie występuje (ryc. 12). Może to oznaczać, że wał wykonany był w konstrukcji drewniano-ziemnej. Elementy drewniane uległy częściowemu spaleniu oraz rozkładowi. Wysokość odsłoniętego nasypu wału I wynosiła około 135 cm.

Wał II tworzą w kolejności stratygraficznej lekko ilasty piasek z nitkami żelazistych wytrąceń 7 oraz sypki piasek z nie dużą domieszką materii organicznej 4. Wysokość odsłoniętego nasypu wału II wynosiła 135 cm.

Faza IA kończy się pożarem, którego ślady są liczne skupiska węgli drzewnych obserwowane w warstwie 9. Z warstwy tej pobrano próbę węgla do analizy radiowęglowej. Jej wynik wskazał po kalibracji przedział lat 405–209 p.n.e. z prawdopodobieństwem 95,4%⁹.

Faza IB rozpoczyna się od naprawy wału I, której śladem jest warstwa nasypowa – sypki piasek z domieszką materii organicznej i widocznymi żelazistymi wytrąceniami 5. Podczas tych prac wyprofilowano także nową fosę (I) pomiędzy wałami I i II. Jej szerokość dochodzi do 300 cm, a głębokość do 130 cm.

Poziom użytkowy z tego okresu wyznacza sypki piasek z dużą domieszką materii organicznej 2 widoczny na powierzchni obu wałów. W obrębie fosy I z fazą tą połączono piasek z domieszką materii organicznej i węglami drzewnymi 6. W warstwie taj występowali też luźne kamienie o średnicy do 10 cm.

Faza II

Faza ta wyznacza okres po opuszczeniu stanowiska, kiedy jego obszar był stopniowo niszczony w wyniku działania procesów erozyjnych.

Warstwę związaną z tą fazą wydzielono w fosie I. Jest to erozyjny spływ, który tworzy sypki piasek z domieszką materii organicznej i z pojedynczymi drobinami węgli drzewnych 3. Warstwa ta powstała najpewniej w wyniku rozmywania warstwy kulturowej 2.

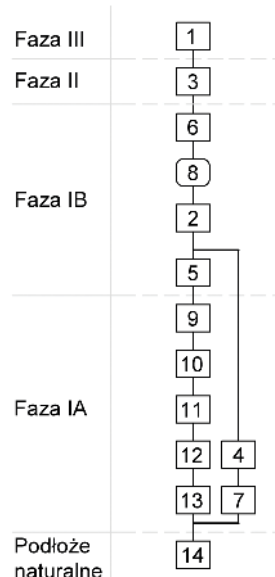
Faza III

Faza ta wyznacza współczesny poziom użytkowy stanowiska. Warstwa przypisana do tej fazy to ciemny, mocno organiczny piasek 1 silnie przerośnięty korzeniami – poziom dzisiejszego humusu leśnego.

ZNALEZISKA

RAFAŁ SOLECKI

Na materiał zabytkowy pozyskany w trakcie badań archeologicznych grodziska w Dąbrowie, st. 8 w 2022 roku składa się jedynie zbiór 27 fragmentów ceramiki (tabela 2 i 3). Ich stan zachowania jest raczej zły. Przeważają skorupy małe, których największy wymiar mieści się w przedziale 1–4 cm (19 fragmentów, 70,4% zbioru). Stosując klasyfikację



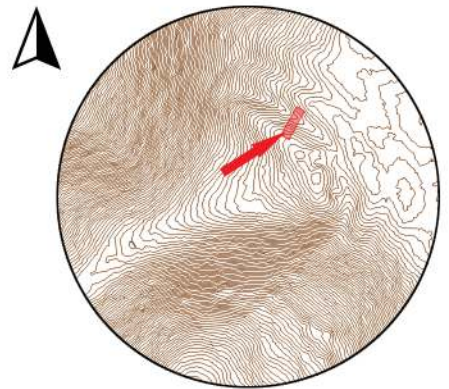
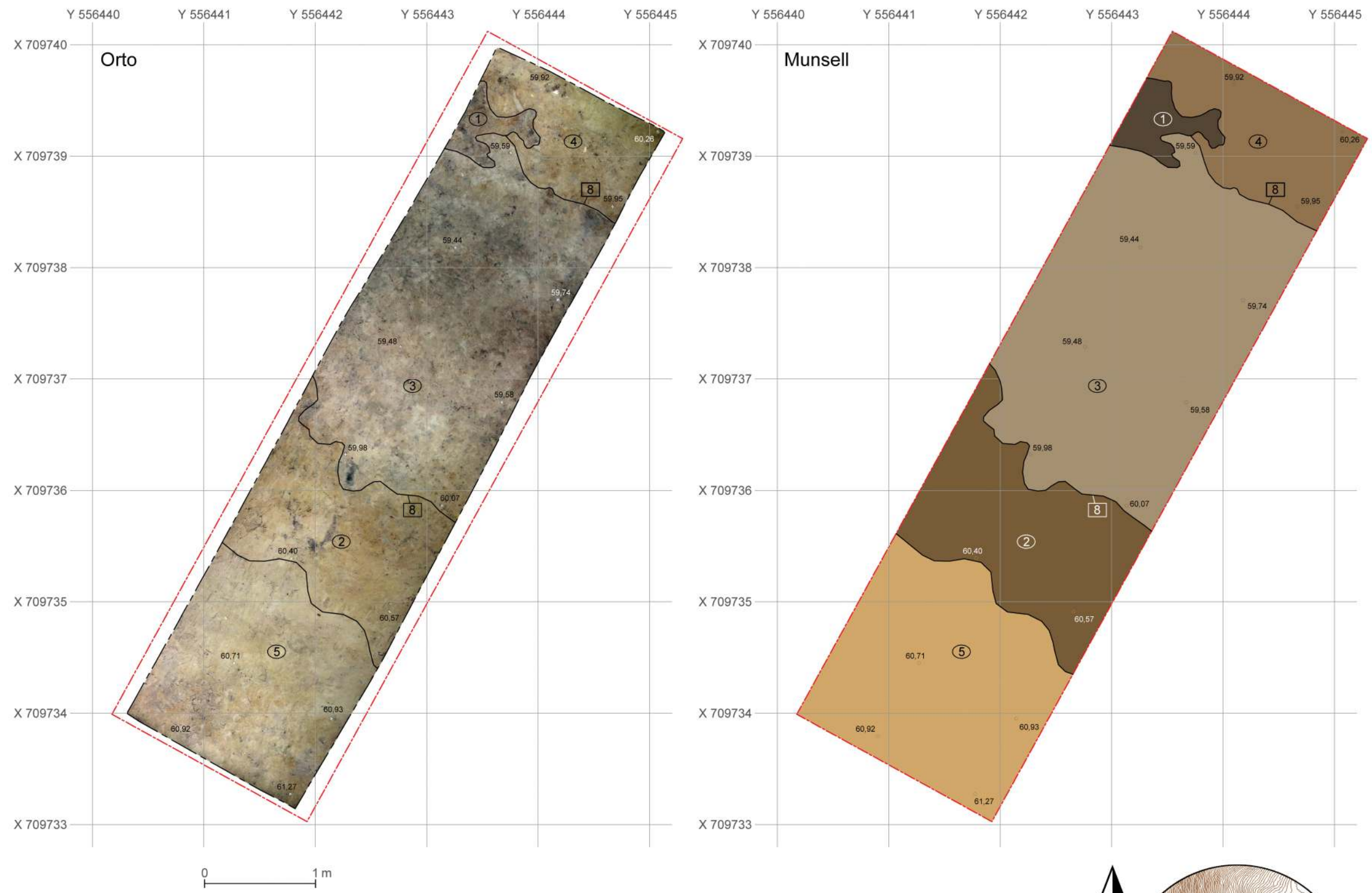
Ryc. 11. Dąbrowa, st. 8. Diagram relacji stratygraficznych (oprac. R. Solecki)

stanu zachowania powierzchni i krawędzi zaproponowaną przez Andrzeja Buka 2 fragmenty (7,4% zbioru) przypisano do kategorii III (ceramika mocno zerodowana), 10 fragmentów (37% zbioru) do kategorii II (ceramika zerodowana w średnim stopniu) i 15 fragmentów (55,6% zbioru) do kategorii I (ceramika nie wykazująca większego zniszczenia powierzchni). Do kategorii 0 (ceramika bez śladów zniszczenia) nie zakwalifikowano ani jednego fragmentu¹⁰. Pomimo to dla 20 fragmentów (74,1% zbioru) udało się określić cechy diagnostyczne pozwalające na ich szacunkowe scharakteryzowanie.

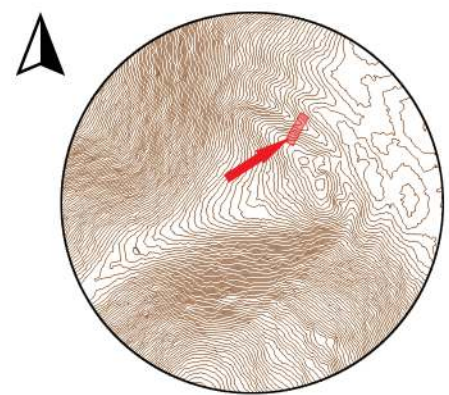
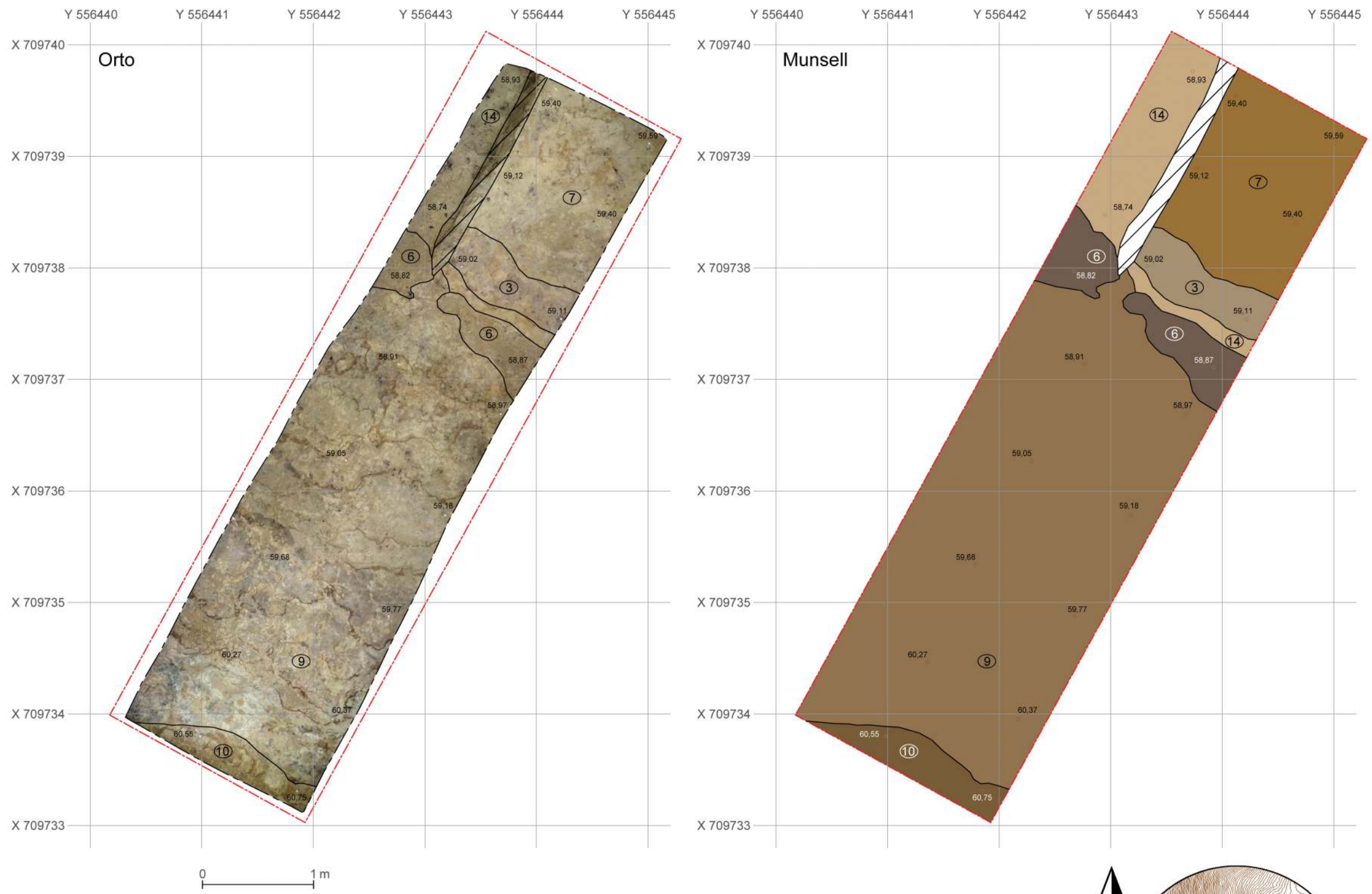
Wszystkie fragmenty posiadające cechy diagnostyczne reprezentowały jedną grupę technologiczno-surowcową, aczkolwiek z różnicami dotyczącymi sposobu opracowywania powierzchni zewnętrznej. Naczynia wykonane były ze słabo wyrobionej masy ceramicznej z dość dużą ilością drobnej, średniej, a czasami także grubiej domieszki schudzającej – piasku i drobin startego granitu. Grubość ścianek wahała się w zakresie 5–10 mm, ze średnią 6,6 mm. Naczynia wypalane były w niezaawansowanej technologii utleniającej – ich powierzchnia pod względem barwy była niejednorodna, w odcieniach brązu, szarości, beżu. Powierzchnia zewnętrzna była najczęściej (12 fragmentów; 60% analizowanej grupy) intencjonalnie chropowata, całkowicie lub tylko w dolnych partiach naczyń (ryc. 15:7), w 5 przypadkach (25% analizo-

⁹ Analiza przeprowadzona w Poznańskim Laboratorium Radiowęglowym, próba nr Poz-162367.

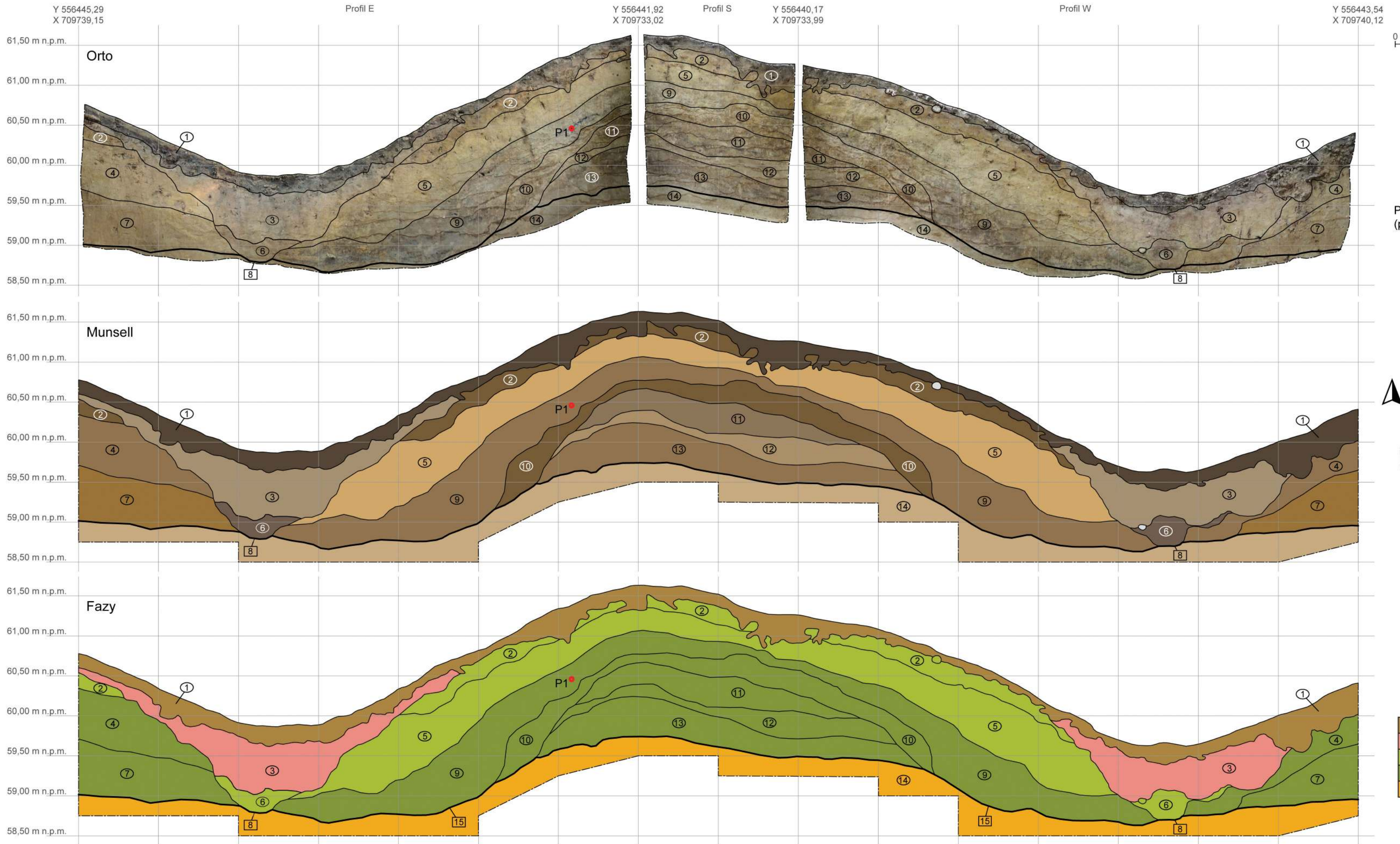
¹⁰ BUKO 1990: 352.



Ryc. 12. Dąbrowa, st. 8. Stratygrafia nawarstwień w obrębie wału I, fosy I i wału II – wykop 1, plan 1 (oprac. R. Solecki)



Ryc. 13. Dąbrowa, st. 8. Stratygrafia nawarstwień w obrębie wału I, fosy I i wału II – wykop 1, plan 2 (oprac. R. Solecki)



Ryc. 14. Dąbrowa, st. 8. Stratygrafia nawarstwień w obrębie wału I, fosy I i wału II – wykop 1 (oprac. R. Solecki)

Faza III
Faza II
Faza IB
Faza IA
Warstwy naturalne

Tabela 2. Zestawienie ilościowe fragmentów ceramiki z grodziska w Dąbrowie, st. 8 (oprac. R. Solecki)

Faza	Jedn. strat.	Faza	Kategorie wielkościowe (cm)										Stopień erozji	Suma
			1	2	3	4	5	6	7	8	9	10		
IA	9	1A												3
	IB	1B	2	2	1	3	1		1		2			2
	IB	1B	5	1	1				1	1				1
	IB	1B	6	2	1			2	2					2
II	3	II	17	6	2	10		15	8	8		1		17
III	1	III	1	2	2	1	3	1	1	1			2	2
	Suma	Suma	27	13	5	26	1	22	12	11	3	1	2	27

Tabela 3. Fragmentacja i erozja fragmentów ceramiki z grodziska w Dąbrowie, st. 8 (oprac. R. Solecki)

Faza	Jedn. strat.	Faza	Kategorie wielkościowe (cm)										Stopień erozji	Suma	
			1	2	3	4	5	6	7	8	9	10			
IA	9	1A												3	
	IB	1B	2		1									2	
	IB	1B	5		1									1	
	IB	1B	6		2									2	
II	3	II	3	5	3	2	2				2	10	5	17	
III	1	III	1		1		1						2	2	
	Suma	Suma	3	10	3	3	2	1	1	2	2	15	10	2	27

wanej grupy) powierzchnia była gładka, a 3 fragmenty (15% analizowanej grupy), będące najpewniej częścią jednego naczynia, miały powierzchnię wyścieconą.

W analizowanym zbiorze znalazł się jeden fragment profilu naczynia o wyścieconej powierzchni (ryc. 15:1), który pozwala na określenie jego przybliżonej, pierwotnej formy. Lekko wydłużony brzusiec przechodzący esowato w lekko wychylony wylew, z zaokrągloną krawędzią mógł pochodzić z naczynia o kształcie jajowatym lub z dzbanka¹¹. Pozostałe wylewy, z naczyń o powierzchniach gładkich (ryc. 15:2–3) i chropowaczych (ryc. 15:5–6), były zbyt małe, by pozwolić na przeprowadzenie rekonstrukcji.

Na jednym fragmencie brzuśca o powierzchni gładkiej zanotowano przyczep ułamanego ucha i występujący na jego wysokości poziomy pas wykonany z ułożonych skośnie karbów (ryc. 15:4). Położenie przyczepu ucha i ozdobnego pasa jest zarazem największą wydłużością brzuśca. Podobny układ występuje często na amforach, dzbanach i kubkach w zastawie kultury kurhanów zachodniobałtyjskich¹². Przykładową analogią może być naczynie z osady w Cerkiewniku, pow.

¹¹ Hoffmann 2000: ryc. 38, 44.

¹² Hoffmann 2000: ryc. 37, 41, 44.

olsztyński¹³, z cmentarzyska w kurhanowym w Surajnach, pow. morąski¹⁴, ale także z południowego cmentarzyska kurhanowego w Piorkowie¹⁵.

CHRONOLOGIA I DZIEJE GRODZISKA W DĄBROWIE, ST. 8

RAFAŁ SOLECKI

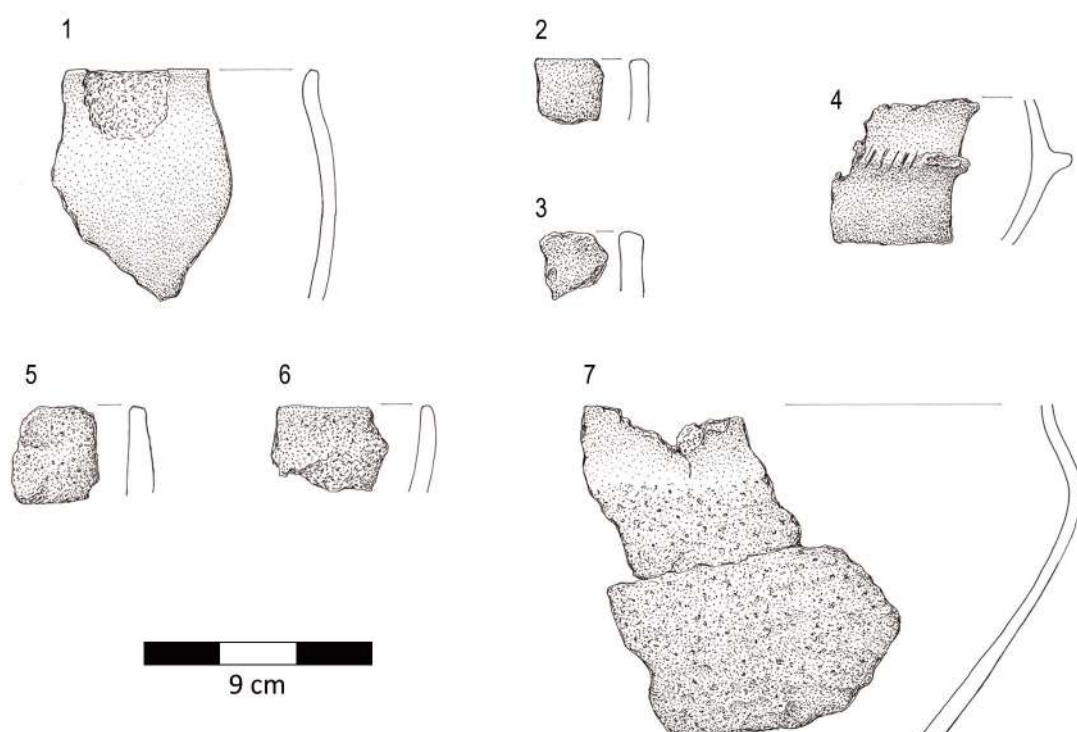
Przeprowadzone badania wykopaliskowe pozwoliły wykazać, że umocnienia na stanowisku w Dąbrowie powstały we wczesnej epoce żelaza. Na taką chronologię wskazuje wynik datowania radiowęglowego, który po kalibracji wskazał przedział lat 405–209 p.n.e. z prawdopodobieństwem 95,4%¹⁶. Z okresem tym korespondują wyniki analizy pozyskanej ceramiki. Pomimo że poddany ocenie zbiór ułamków naczyń nie był duży, to wydzielone formy, sposób przygotowania naczyń i ornamentyki pozwalają na ich powiązanie z wczesnożelazną kulturą kurhanów zachodniobałtyjskich. Wyniki analizy radiowej-

¹³ Hoffmann 1999: tablica CIII:13–14.

¹⁴ Hoffmann 1992: 25–26, 35 (tablica VII:5).

¹⁵ Hoffmann 1999: tablica LVIII:3, 5, 6, 9; Waluś 1990: 117–130.

¹⁶ Analiza przeprowadzona w Poznańskim Laboratorium Radiowęglowym, próba nr Poz-162367.



Ryc. 15. Dąbrowa, st. 8. Ceramika z wczesnej epoki żelaza: 1) o powierzchni wyścieconej, 2–4) o powierzchni gładkiej, 5–7) o powierzchni chropowaczej (rys. B. Karch)

głowej wskazują na okres La Tène A/B i początek La Tène C, co odpowiada początkowej i środkowej fazie rozwoju kultury kurhanów zachodniobałtyjskich¹⁷. Zasadniczo taką samą chronologię ma pobliskie, oddalone o około 900 m na zachód, cmentarzysko kurhane we w Piórkowie¹⁸ oraz sąsiadująca z nim osada otwarta¹⁹. To może oznaczać, że wszystkie wymienione stanowiska tworzyły jeden duży zespół osadniczy. Może być on jeszcze uzupeł-

niony o kolejne osiedle obronne w Dąbrowie, st. 9²⁰ oddalone o około 1,3 km na wschód, które ma zbliżoną chronologię oraz asortyment zabytków ceramicznych.

Podczas badań nie znaleziono zabytków o chronologii młodszej niż wczesnożelazna, ani też nie zarejestrowano młodszych warstw kulturowych. To może oznaczać, że po opuszczeniu grodziska, najpewniej z końcem okresu lateńskiego, jego obszar nie był już później wykorzystywany.

¹⁷ J. Okulicz 1973: 254–255; Ł. Okulicz 1970: 90–95.

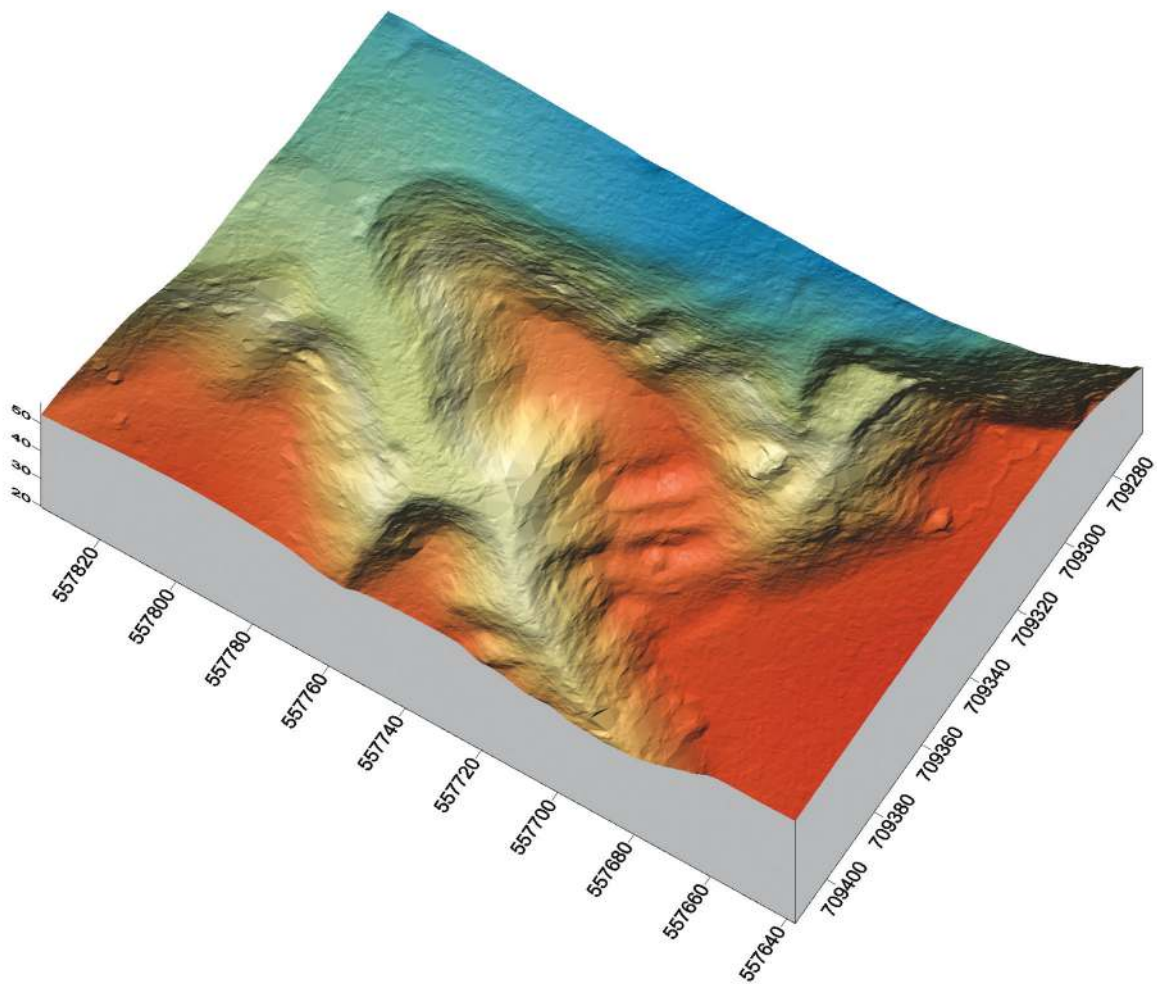
¹⁸ Waluś 1992: 41.

¹⁹ Żórawska 2000.

²⁰ Opisane w tym tomie.

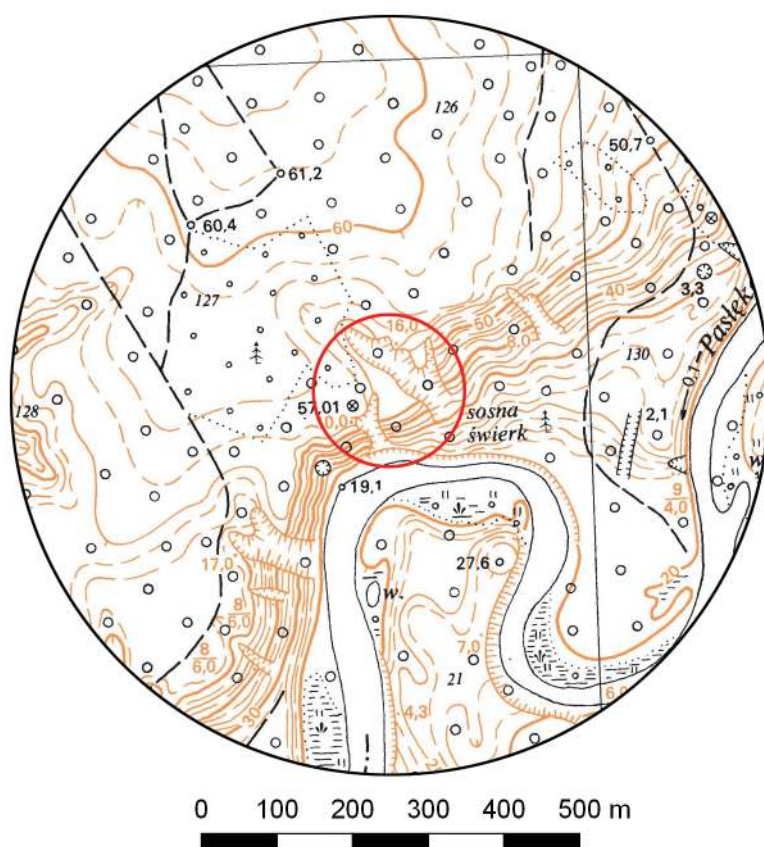
Dąbrowa, st. 9

Gmina Płoskinia
Powiat braniewski
AZP 14-55/6
Współrzędne geograficzne:
N $54^{\circ} 14' 42''$
E $19^{\circ} 53' 9''$





Ryc. 1. Grodzisko w Dąbrowie, st. 9
na mapie w skali 1:25 000
(na podstawie materiałów GUGiK,
oprac. R. Solecki)



Ryc. 2. Grodzisko w Dąbrowie, st. 9
na mapie w skali 1:10 000
(na podstawie materiałów GUGiK,
oprac. R. Solecki)

POŁOŻENIE GRODZISKA I JEGO FORMA

RAFAŁ SOLECKI

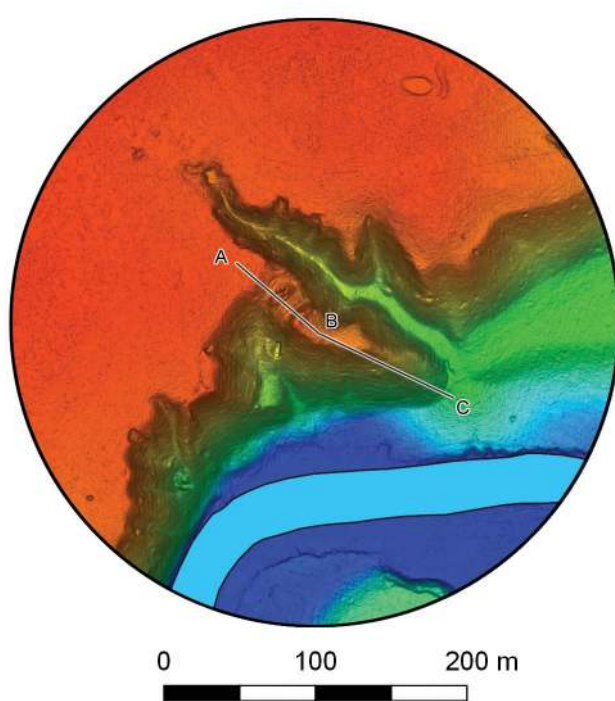
Grodzisko w Dąbrowie, gm. Płoskinia (niem. *Schöndamerau*), st. 9, nie było do tej pory zewidencjonowane w ramach projektu Archeologiczne Zdjęcie Polski. Zostało rozpoznane po raz pierwszy w 2020 roku podczas weryfikacji realizowanych w ramach projektu NPRH *Katalog grodzisk Warmii i Mazur. Część II. Warmia Wschodnia i Natangia*.

Grodzisko położone jest w odległości około 4 km na południe od wsi Dąbrowa. Zajmuje wysoki, wyeksponowany cypel wchodzący od północy w dolinę rzeki Pasłęki, która na tym odcinku płynie ze wschodu na zachód. Różnice wysokości pomiędzy dnem doliny w pobli-

żu grodziska (około 19,8 m n.p.m.) a wysokością majdanu (około 51,8 m n.p.m.) dochodzi do 32 m.

Majdan grodziska ma obecnie podłużny, nieregularny kształt, o długości 45 m, szerokości do 15 m i powierzchni około 7,8 ara. Pierwotnie mogła być ona większa, gdyż stoki cypla noszą wyraźne ślady erozji, która stała zmniejsza jego obszar. Majdan odcięty jest od wysoczyzny przez system wałów, rozdzielonych za pomocą suchych fos. W terenie bardzo dobrze czytelne są dwa wały, ale analiza Numerycznego Modelu Terenu pozwala na wydzielenie w sumie czterech wałów:

- wał I – wyznacza krawędź majdanu, ma długość 16 m, szerokość u podstawy do 8,5 m i wysokość 1,5–2 m,
- wał II – ma długość 15 m, szerokość u podstawy do 4,5 m i wysokość 0,3–0,5 m,



Ryc. 3. Grodzisko w Dąbrowie, st. 9 na zobrazowaniu ALS (na podstawie materiałów GUGiK, oprac. R. Solecki)

Ryc. 4. Przekrój grodziska w Dąbrowie, st. 9 uzyskany z danych ALS (na podstawie materiałów GUGiK, oprac. R. Solecki)





(u góry)

Ryc. 5. Dąbrowa, st. 9. Widok w kierunku południowo-wschodnim na majdan (fot. A. Lejzerowicz)

(po lewej)

Ryc. 6. Dąbrowa, st. 9. Widok z wału IV na wał III
(fot. A. Lejzerowicz)



- wał III – ma długość 23 m, szerokość u podstawy do 8,5 m i wysokość 1,5 m,
- wał IV – ostatni wał licząc od strony majdaru i pierwszy od strony wysoczyzny, w terenie jest zasadniczo niewidoczny, ma długość 20 m, szerokość u podstawy do 6 m i wysokość 0,3–0,4 m.

Powierzchnia całego grodziska wynosi około 23,8 ara.

W obrębie grodziska czytelne są ślady współczesnej działalności – zanotowany lej po wybuchu, kawałki drutu kolczastego, a na stoku od strony rzeki widoczne są pozostałości wysadzonego bunkra z okresu II wojny światowej. Jest on oznaczony na mapie fortyfikacji wchodzących w skład Trójkąta Lidzbarskiego¹.

Stanowisko porośnięte jest lasem mieszanym z dominującymi gatunkami liściastymi: dębu, brzozy, lipy. Na przedpolu rosną świerki. Obszar ten wchodzi w strefę objętą ochroną w ramach Ostoi bobrów na rzece Pasłęce.

W odległości około 1,3 km na zachód znajduje się kolejne grodzisko, Dąbrowa, st. 8, o analogicznej formie terenowej – cypla odciętego od wysoczyzny za pomocą systemu wałów i suchych fos². Jeszcze dalej na zachód, w odległości około 2 km, znajduje się cmentarzysko kurhanowe i osada otwarta w Piorkowie, pow. braniewski³. Główna faza użytkowania wszystkich wspomnianych stanowisk przypada na wczesną epokę żelaza i można je łączyć z ludnością kultury kurhanów zachodniobałtyjskich.

¹ Woźniakowski 2017.

² Grodzisko w Dąbrowie, st. 8 opisane jest w tym tomie.

³ Waluś 1987; Żórawska 2000.

ŚRODOWISKO FIZYCZNOGEOGRAFICZNE

ANNA LEJZEROWICZ

Wstęp do opisu środowiska fizycznogeograficznego, w którym przedstawiony zostaje szeroki kontekst jego uwarunkowań, jest taki sam, jak w opisanym w poprzednim rozdziale grodzisku w Dąbrowie, st. 8, ponieważ oba stanowiska oddalone są od siebie w linii prostej o zaledwie około 1,3 km. Poniżej przedstawione zostały wyniki przeprowadzonych odwiertów geologicznych i przygotowane na ich podstawie cięcie stanowiska.

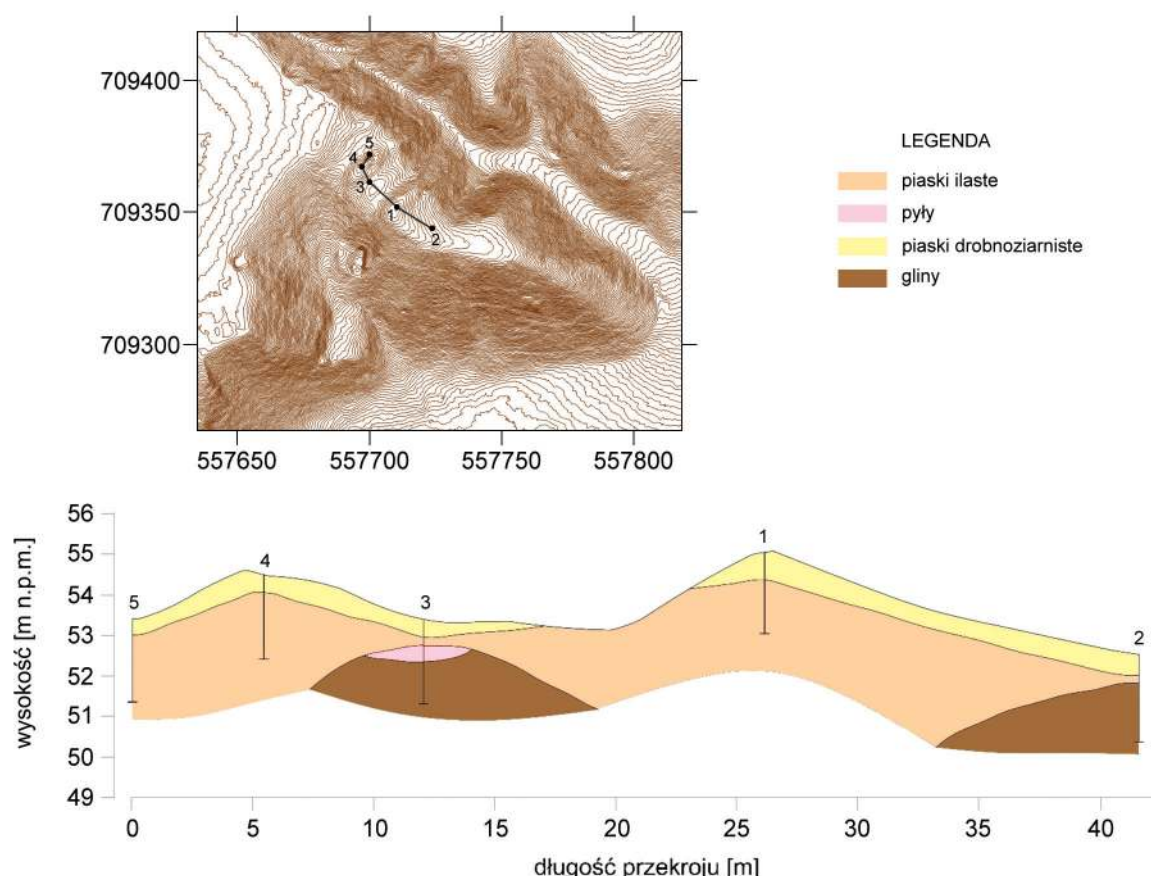
Cypel, na którym znajduje się grodzisko, ma wysokość dochodzącą do około 55 m n.p.m. Jest on wyraźnie wydłużony w kierunku doliny rzeki Pasłęki. Szczyt jest stosunkowo płaski i wąski. Od północnego wschodu jest ograniczony długim rozcięciem erozyjnym. Od południowego zachodu także jest rozcięcie erozyjne, ale znacznie krótsze (ryc. 3). Oba rozcięcia mają strome stoki. Odprowadzają one wody opadowe z równiny sandrowej w kierunku doliny rzeki Pasłęki.

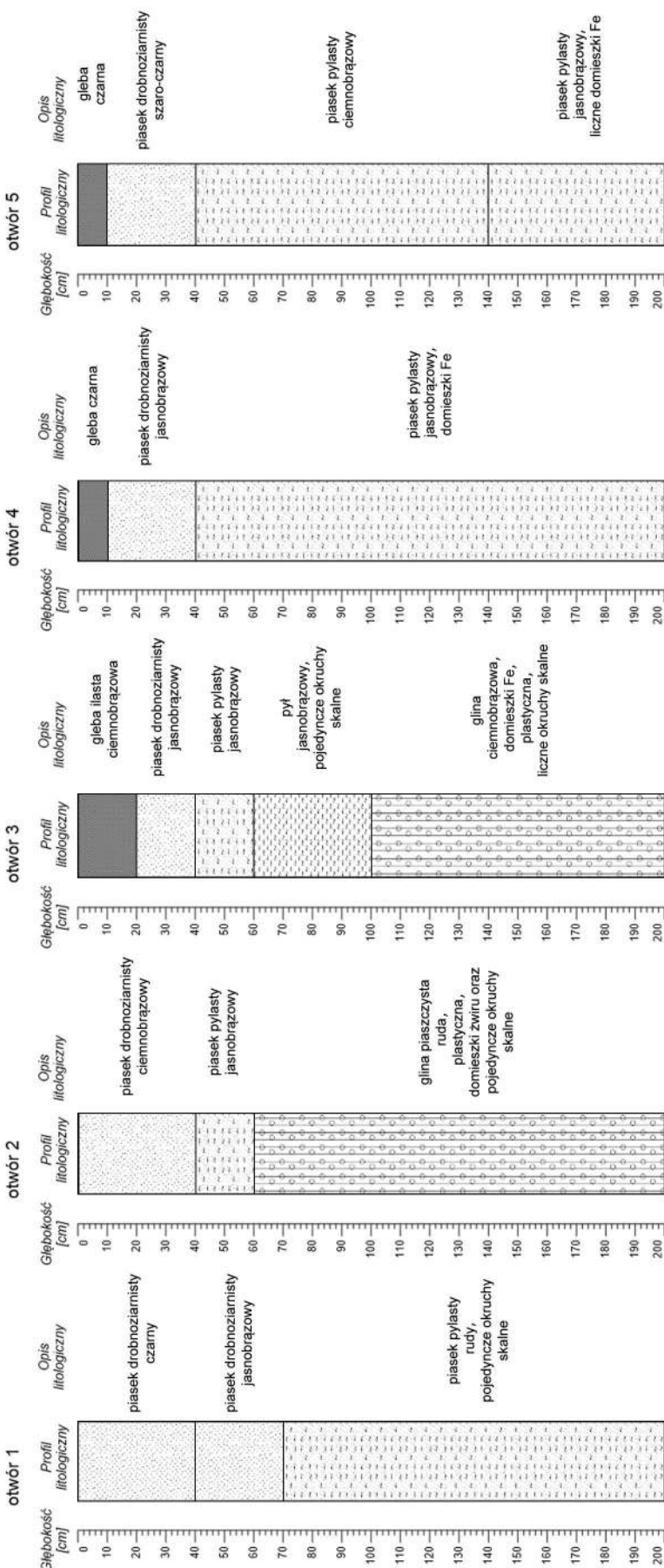
Według *Szczegółowej Mapy Geologicznej Polski* w skali 1:50 000 na obszarze grodziska występują piaski rzeczne tarasów nadza-

lewowych (patrz. ryc. 7 w rozdziale Dąbrowa, st. 8)⁴. Według *Mapy Geologicznej Polski* w skali 1:500 000 grodzisko znajduje się na obszarze występowania piasków i żwirow sandrowych. Według *Mapy Litogenetycznej Polski* w skali 1:50 000 grodzisko znajduje się na obszarze występowania piasków pochodzenia rzecznego.

Na obszarze grodziska wykonano pięć odwiertów sondą ręczną do maksymalnej głębokości 2 m w celu rozpoznania budowy geologicznej. Na podstawie wykonanych wierceń stworzony został schematyczny przekrój geologiczny przez grodzisko w Dąbrowie, st. 9 (ryc. 7). W wiercenach zaobserwowano występowanie głównie osadów piaszczystych. Część osadów charakteryzuje się częstą obecnością związków żelaza (rude zabarwienie), lokalnie w osadach można znaleźć również okruchy skalne. Osady piaszczyste to piaski drobnoziarniste i pylaste. W wiercenach lokalnie występują również same pyły. Na stanowisku znaleźć można także gliny polodowcowe o rudym zabarwieniu z licznymi okruchami skalnymi. Szczegółowa litologia jest widoczna oraz została opisana na poszczególnych profilach wierceń (ryc. 8).

⁴ Rabek i Świerszcz 2002.





Ryc. 8. Profile litologiczne odwiertów wykonanych na obszarze grodziska w Dąbrowie, st. 9 (oprac. A. Lejzerowicz)

BADANIA ARCHEOLOGICZNE

RAFAŁ SOLECKI I PRzemysław Jaźdzyk

Przebieg badań terenowych

Początkowo obszar do rozpoznania archeologicznego wytypowano na podstawie obrazowania danych wysokościowych uzyskanych z wykorzystaniem technologii ALS. Widoczny na nich był wąski cypel wchodzący od północy w dolinę rzeki Pasłęki. Od wysoczyzny był on odcięty przez zespół liniowych wałów i suchych fos. W trakcie weryfikacji terenowej stanowiska wiosną 2022 roku potwierdzono, że wykryte formy są antropogeniczne. Ze względu na relatywnie duże zalesienie powierzchni stanowiska teren dostępny do badań znajdował się jedynie w obrębie majdaru i wąskiego pasa pomiędzy wałem I i II. Badania archeologiczne przeprowadzono latem 2022 roku. Wytyczono tylko jeden wykop ba-

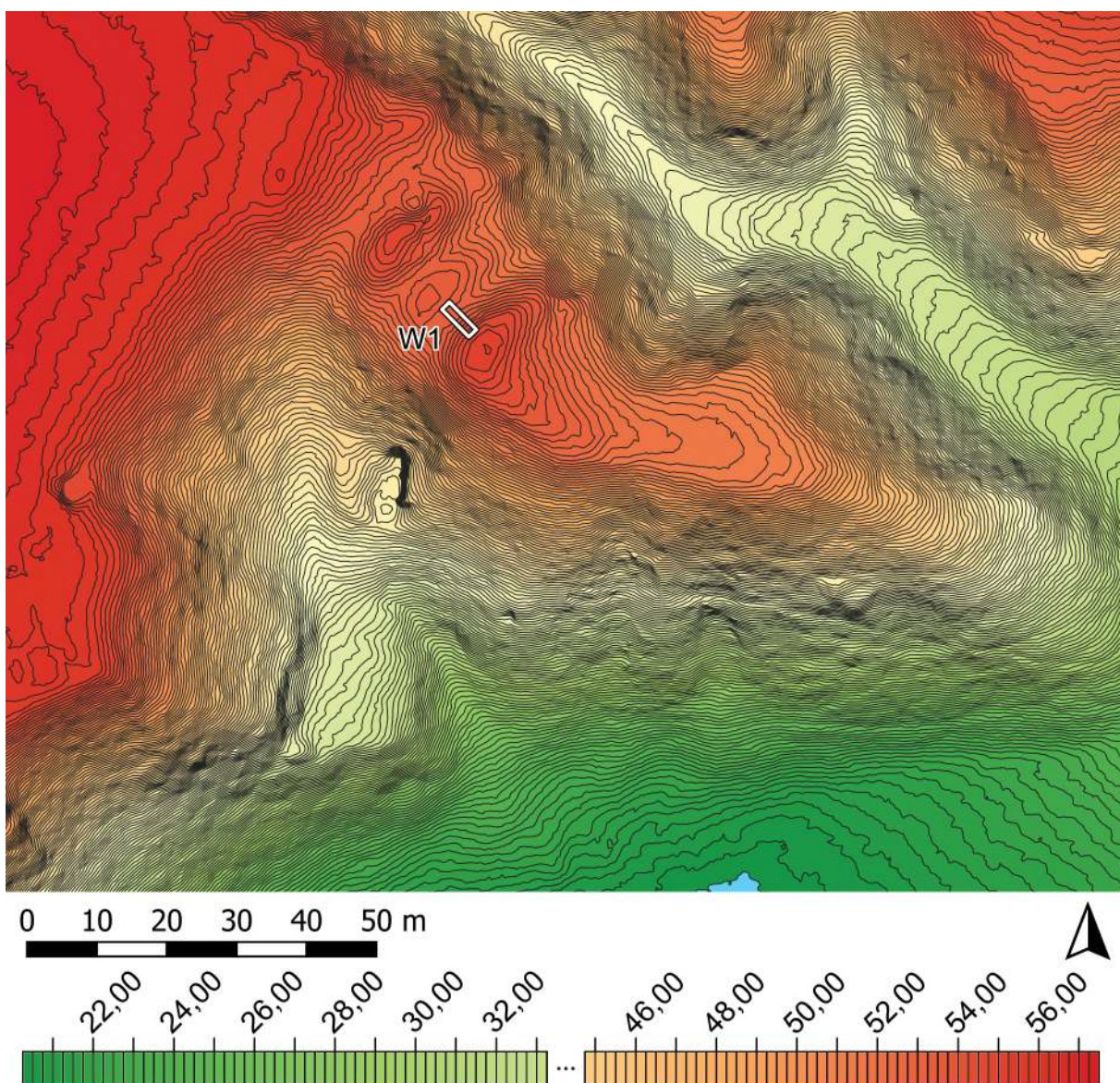
dawczy (W1), o wymiarach $1,5 \times 5,5$ m. Przeicinał on suchą fosę pomiędzy wałami I i II, wchodząc także na stoki obu wałów. Położenie wykopu prezentuje ryc. 9.

Stratygrafia stanowiska

W trakcie omawianych badań archeologicznych wydzielono łącznie 19 jednostek stratygraficznych (tabela 1). Możliwe było ich rozdzielenie pomiędzy warstwy naturalne i cztery fazy „użytkowe”, z czego faza II rozdziela się na dwie podfazy. Diagram Harrisa dla wydzielonych jednostek stratygraficznych przedstawia ryc. 10, a zadokumentowane powierzchnie ryc. 11–12.

Warstwy naturalne

W trakcie badań jako jednostkę naturalną zidentyfikowano zwartą, lekko piaszczystą glinę 4. Była ona tak zwarta i twarda, że pro-



Ryc. 9. Dąbrowa, st. 9. Plan grodziska z naniesionym wykopem archeologicznym (oprac. R. Solecki)

Tabela 1. Dąbrowa, st. 9. Katalog warstw i obiektów oraz ich zależności stratygraficznych (oprac. R. Solecki)

Numer jednostki	Numer obiektu	Numer wykopu	Położenie w obrębie stanowiska	Współrzędne geodezyjne (PUWG 1992)	Opis jednostki stratygraficznej (rodzaj sedimentu, miąższość, zawartość zabytkowa, przypuszczalna funkcja/proces formowania)	Barwa (Munsell)	Pozycja stratygraficzna	
							Znajduje się pod	Znajduje się nad
1	-	1	Całe stanowisko	X=709352,9-709357,9; Y=557703,4-557708,4	Lekko ilasty piasek z bardzo dużą domieszką materii organicznej; miąższość do 45 cm; humus leśny	10YR 3/2	-	2, 15, 18, 19
2	3	1	Fosa I	X=709355,9-709357,6; Y=557703,9-557705,5	Przemieszana, dość luźna, piaszczysta gлина z dużą domieszką materii organicznej i pojedynczymi kamieniami o średnicy do 30 cm; wypełnisko obiektu 2	10YR 4/3	1	3, 15, 19
3	3	1	Fosa I	X=709355,9-709357,6; Y=557703,9-557705,5	Regularny, prostokątny w przekroju wkop - rów; zarejestrowane wymiary to szerokość do 70 cm i głębokość do 100 cm; współczesny wkop	-	2	15, 19
4	-	1	Całe stanowisko	X=709352,9-709357,9; Y=557703,4-557708,4	Zwarta, lekko piaszczysta gлина; warstwa naturalna	10YR 7/6	5, 6, 7, 8, 9, 12	-
5	-	1	Wał I	X=709352,9-709353,9; Y=557706,5-557708,1	Lekko przemieszana, piaszczysta gлина z pojedynczymi drobinami skalnymi; miąższość do 20 cm; nasyp wału I	10YR 7/4	6, 9	4
6	-	1	Wał I, Fosa I	X=709352,9-709355,8; Y=557705,1-557708,4	Gлина przemieszana z bardzo dużą ilością węgli drzewnych, grudami polepy oraz licznymi kamieniami o średnicy do 10 cm; miąższość do 35 cm; destrukt obiektu mieszkalnego?	10 YR 4/1	9, 10	4, 5, 7
7	-	1	Fosa I	X=709355,0-709356,0; Y=557706,0-557707,2	Lekko przemieszana, piaszczysta gлина z pojedynczymi drobinami skalnymi; miąższość do 20 cm; niwelacja	10YR 7/3	6	4
8	-	1	Wał II	X=709352,9-709355,5; Y=557703,4-557706,0	Zwarta, lekko piaszczysta gлина z pojedynczymi kamieniami o średnicy do 10 cm; miąższość do 50 cm; nasyp wału II	10YR 5/6	11, 12, 13, 14, 17	4
9	-	1	Wał I	X=709352,9-709356,3; Y=557705,3-557708,4	Zwarta gлина z soczewkami sypkiego piasku i pojedynczymi kamieniami o średnicy do 45 cm; miąższość do 55 cm; nasyp wału I	10YR 8/4	10	4, 5, 6, 7
10	-	1	Wał I	X=709352,9-709356,3; Y=557704,9-557708,4	Zwarta gлина z soczewkami sypkiego piasku i pojedynczymi kamieniami o średnicy do 20 cm; miąższość do 65 cm; nasyp wału I	10YR 7/8	12, 13, 16, 17	6, 9
11	17	1	Fosa I	X=709354,7-709357,9; Y=557703,4-557706,5	Gliniasty piasek z domieszką węgli drzewnych; miąższość do 10 cm; wypełnisko obiektu 17	10YR 4/2	12, 13	8, 17
12	17	1	Fosa I	X=709354,7-709357,9; Y=557703,4-557706,5	Zwarta gлина; miąższość do 20 cm; wypełnisko obiektu 17	10YR 6/4	13	8, 10, 11, 17
13	17	1	Fosa I	X=709354,7-709357,9; Y=557703,4-557706,5	Piaszczysta gлина z dużą domieszką węgli drzewnych; miąższość do 30 cm; wypełnisko obiektu 17	10YR 6/2	14, 15, 16	8, 10, 11, 12
14	17	1	Wał II, Fosa I	X=709354,7-709357,9; Y=557703,4-557706,5	Zwarty, ilasty i pylasty piasek z pojedynczymi drobinami węgli drzewnych i domieszką materii organicznej; miąższość do 30 cm; wypełnisko obiektu 17	10YR 8/3	15, 19	8, 13, 17
15	17	1	Wał II, Fosa I	X=709354,7-709357,9; Y=557703,4-557706,5	Ilasty i pylasty piasek z pojedynczymi drobinami węgli drzewnych i domieszką materii organicznej; miąższość do 25 cm; wypełnisko obiektu 17	10YR 7/3	1, 3, 16, 18, 19	13, 14
16	-	1	Wał I	X=709352,9-709356,3; Y=557704,9-557708,4	Ilasty piasek z domieszką materii organicznej i pojedynczymi węglami drzewnymi; miąższość do 30 cm; warstwa kulturowa na wale I	10YR 7/4	1, 18, 19	10, 13, 14, 15
17	17	1	Wał II, Fosa I	X=709354,7-709357,9; Y=557703,4-557706,5	Uchwycone fragmentarycznie obiekty, nieckowaty w profilu; uchwycone wymiary to szerokość co najmniej 290 cm i głębokość do 65 cm; wkop formujący fosę I	-	11, 12, 13, 14	8, 10
18	-	1	Wał I	X=709352,9-709356,3; Y=557704,9-557708,4	Lekko ilasty piasek z dużą domieszką materii organicznej; miąższość do 30 cm; warstwa erozyjna na wale I	10YR 5/4	1, 19	15, 16
19	-	1	Fosa I	X=709354,7-709357,9; Y=557703,4-557706,5	Lekko ilasty piasek z dużą domieszką materii organicznej; miąższość do 35 cm; warstwa erozyjna w fosie I	10YR 4/4	1, 2, 3	14, 15, 16, 18

blemem było jej przegłębienie nawet z użyciem kilofa. W glinie tej występowały pojedyncze kamienie o średnicy do 10 cm. Najwyższy, nienaruszony przez młodsze niwelacje punkt naturalnego podłoża geologicznego znajdował się poniżej wału I i osiągał poziom 53,1 m n.p.m.

Faza I

Faza ta wyznacza okres związany z przygotowaniem powierzchni cypla pod budowę osiedla i związanych z nim umocnień oraz użytkowania tego obszaru na przełomie okresów halsztackiego i lateńskiego. Śladami, które można wiązać z pracami budowlanymi, są

niwelacja z lekko przemieszanej, piaszczystej gliny 7 z pojedynczymi drobinami skalnymi, którą wydzielono w pasie pomiędzy wałami I i II, uchwycony fragmentarycznie nasyp wału I z lekko przemieszanej, piaszczystej gliny 5 z pojedynczymi drobinami skalnymi oraz nasyp wału 2 ze zwartej, lekko piaszczystej gliny 8 z pojedynczymi kamieniami o średnicy do 10 cm. Ponad niwelacją, w przestrzeni pomiędzy wałami I i II, wydzielono pokład gliny 6 o grubości do 15 cm przemieszanej z bardzo dużą ilością węgla drzewnych, grudami polepy oraz licznymi kamieniami o średnicy do 10 cm. Warstwa ta jest prawdopodobnie pozostałością po drewniano-ziemnej konstrukcji umacniającej wał I. Wynik analizy radiowej próbki węgla pobranego z tej warstwy dał po kalibracji przedział lat 537–381 p.n.e. z prawdopodobieństwem 95,4%⁵.

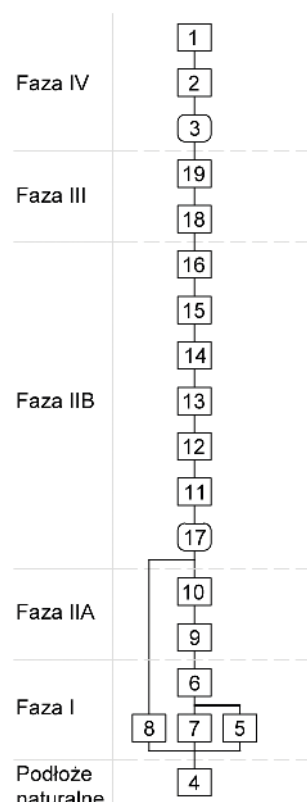
Z warstw związanych z tą fazą pozyskano 39 fragmentów ceramiki. Jako że warstwy te zostały odsłonięte na bardzo ograniczonym obszarze około 2 m², można uznać że zbiór ten jest dość liczny. Gruby pokład ziemi ze spalenizną (warstwa 6) może wskazywać, że koniec tej fazy związany był ze zniszczeniem umocnień osiedla.

Faza II

Fazę tę należy wiązać z odbudową umocnień w linii wału I (podfaza IIA) i użytkowaniem obszaru osiedla (podfaza IIB) w okresie wcześnieolateńskim.

Jednostkami, które tworzą nasyp nowego wału są zwarta glina 9 z soczewkami sypkiego piasku i pojedynczymi kamieniami o średnicy do 45 cm oraz zwarta glina 10 z soczewkami sypkiego piasku i pojedynczymi kamieniami o średnicy do 20 cm. Nowy wał jest zdecydowanie masywniejszy od starszego. Miąższość warstw nasypowych dochodzi do 115 cm, a różnica wysokości mierzona pomiędzy dnem zagłębienia u podstawy wału I i jego szczytem wynosi prawie 200 cm.

Poziom kulturowy związany z tą fazą jest dobrze czytelny. W pierwszej kolejności należy z nim wiązać obiekt 17, którego fragment uchwycono w obniżeniu pomiędzy wałami I i II. W granicach W1 jego wymiary to szerokość około 290 cm i głębokość do 65 cm. Prawdopodobnie jest to wkop formujący suchą fosę, ale liczba znalezisk w jego wypełni-



Ryc. 10. Dąbrowa, st. 9. Diagram relacji stratygraficznych (oprac. R. Solecki)

sku może wskazywać, że miał więcej funkcji niż tylko obronną i służącą odprowadzaniu nadmiaru wody. Wypełniskami tego obiektu są w kolejności stratygraficznej: gliniasty piasek 11 z domieszką węgla drzewnego, zwarta glina 12, piaszczysta glina 13 z dużą domieszką węgla drzewnego, zwarty, ilasty i pylasty piasek 14 z pojedynczymi drobinami węgla drzewnego i domieszką materii organicznej oraz ilasty i pylasty piasek 15 z pojedynczymi drobinami węgla drzewnego i domieszką materii organicznej. Z warstwy 11, będącej stratygraficznie najstarszym wypełniskiem omawianego obiektu, pobrano próbę do analizy radiowej. Jej wynik po kalibracji dał przedział lat 411–208 p.n.e. z prawdopodobieństwem 95,4%. W wypełnisku obiektu znaleziono także 71 fragmentów ceramiki, żelazny szpikulec w rogowej oprawie oraz grudki bursztynu.

Poziomem użytkowym na stoku wału I jest ilasty piasek 16 z domieszką materii organicznej i pojedynczymi węglami drzewnymi. Na granicy tej warstwy z obiektem 17 widoczne są duże kamienie o średnicy do 50 cm, które być może wyznaczały podstawę wału.

⁵ Analiza przeprowadzona w Poznańskim Laboratorium Radiowęglowym, próba nr Poz-162368.

⁶ Analiza przeprowadzona w Poznańskim Laboratorium Radiowęglowym, próba nr Poz-162409.

Faza III

Faza ta wyznacza okres po opuszczeniu stanowiska, kiedy jego obszar był stopniowo niszczony w wyniku działania procesów erozyjnych. Warstwy związane z tym etapem to lekko ilasty piasek 18 z dużą domieszką materii organicznej, wydzielony na stoku wału I i lekko ilasty piasek 19 z dużą domieszką materii organicznej, wydzielony w pasie pomiędzy wałem I i II.

Faza IV

Faza ta wyznacza współczesny poziom użytkowy stanowiska. Warstwą dzisiejszego humusu leśnego, pokrywającego cały obszar stanowiska, jest lekko ilasty piasek 1 z bardzo dużą domieszką materii organicznej.

Z okresem tym należy także wiązać regularny, prostokątny w przekroju wkop 3, który wydzielono w obrębie zagłębienia pomiędzy wałami I i II. Uchwycone wymiary tego wkopu to szerokość do 70 cm i głębokość do 100 cm. Kontynuował się on dalej, poza granicami W1, i mógł mieć pierwotnie formę rowu. Jego wypełniskiem jest przemieszana, dość luźna, piaszczysta glina 2 z dużą domieszką materii organicznej i pojedynczymi kamieniami o średnicy do 30 cm. Obiekt ten być może należy wiązać z okresem II wojny światowej, kiedy obszar ten był ważnym punktem obrony, o czym może świadczyć duży, betonowy bunkier znajdujący się tuż poniżej majdanu grodziska. Był może opisany rów miał zwiększyć obronność cypla, gdzie mogło znajdować się stanowisko ogniowe i zabezpieczyć bunker od ataku z góry?

ZNALEZISKA

RAFAŁ SOLECKI

Na materiał zabytkowy pozyskany w trakcie badań archeologicznych grodziska w Dąbrowie, st. 9 w 2022 roku składa się: 115 fragmentów ceramiki, 2 zabytki wydzielone oraz grudy bursztynu.

Ceramika

W trakcie badań pozyskano 115 fragmentów ceramiki (tabela 2 i 3). Ich stan zachowania można określić jako dość zły. Przeważają skorupy małe, których największy wymiar mieści się w przedziale 1–4 cm (83 fragmenty; 72,2% zbioru). Stosując klasyfikację stanu zachowania powierzchni i krawędzi zaproponowaną przez Andrzeja Buka, 15 fragmentów

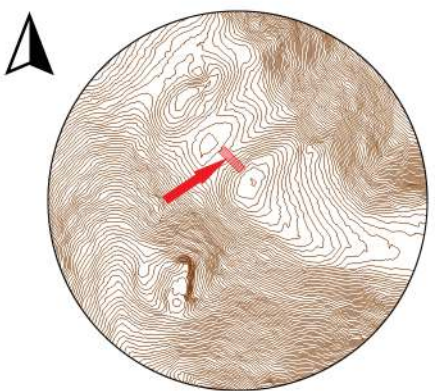
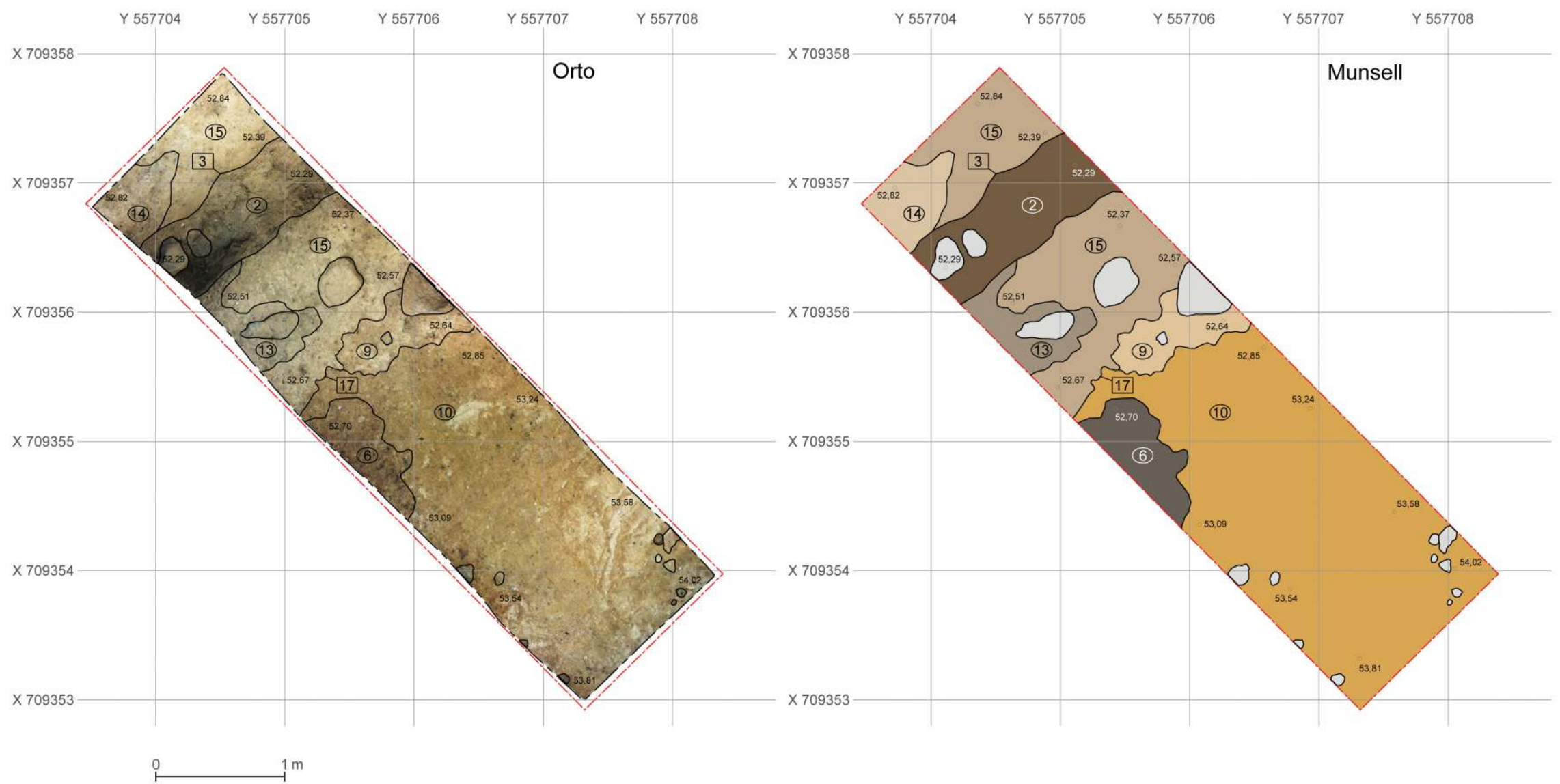
(13,0% zbioru) przypisano do kategorii III (ceramika mocno zerodowana), 49 fragmentów (42,6% zbioru) do kategorii II (ceramika zerodowana w średnim stopniu) i 51 fragmentów (44,4% zbioru) do kategorii I (ceramika nie wykazująca większego zniszczenia powierzchni). Do kategorii 0 (ceramika bez śladów zniszczenia) nie zakwalifikowano ani jednego fragmentu⁷. Z tego względu 41 fragmentów (35,6% zbioru) określono jako fragmenty niediagnostyczne.

74 fragmenty (64,4% zbioru), które posiadały jakiekolwiek cechy diagnostyczne, reprezentowały generalnie jedną grupę technologiczno-surowcową. Pomimo że fragmenty te pozyskano z różnych faz użytkowych stanowiska – fazy I, IIB i IV – to nie zanotowano wśród nich różnic, które wskazywałyby na rozwój form. Analizowany asortyment naczyń można jednak wewnętrznie rozdzielić, biorąc pod uwagę sposób opracowania powierzchni zewnętrznej. Naczynia wykonane były ze słabobu wyrobionej masy ceramicznej z dość dużą ilością drobnej i średniej domieszki schudzającej – piasku i drobin startego granitu. Powierzchnia zewnętrzna 8 fragmentów była chropowatona, 38 była szorstka, 41 – gładka, a na 6 zanotowano ślady wyściecania. Powierzchnia wewnętrzna była gładka, ze śladami zagładzania. Grubość ścianek wahała się w zakresie 3–12 mm. Średnia grubość dla ścianek chropowatonych wynosiła 8,1 mm, dla ścianek gładkich i szorstkich około 7 mm, a dla ścianek wyściecanych 4,2 mm. Naczynia wypalane były w niezaawansowanej technologii utleniającej, co dawało ich ścianom barwę od pomarańczowej do brązowej, ale też były szare i brunatne.

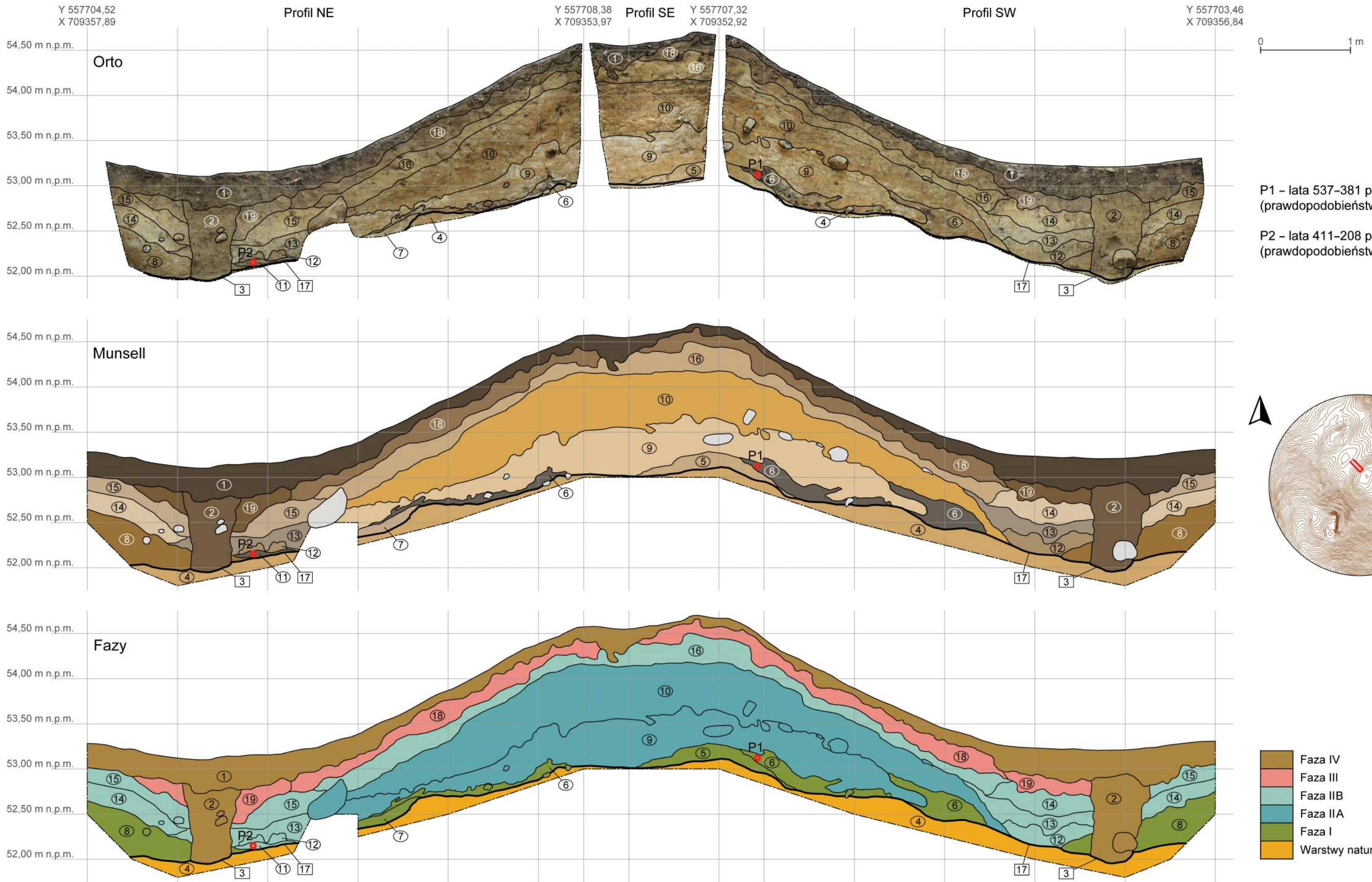
Z powodu znacznego rozdrobnienia materiału ceramicznego nie udało się zrekonstruować ani jednego całego naczynia. Spóśród 21 krawędzi wylewów większość jest zbyt mała, aby wnioskować o formie naczynia (tabl. 1:1–3, 14–18). Tylko pojedyncze fragmenty pozwalają na szacunkowe określenie formy. Ułamek o ściance zachylonej do wnętrza, bez zaakcentowanej szyjki (tabl. 1:5) pochodzi prawdopodobnie z naczynia o kształcie jajowatym – typ IV w klasyfikacji Miroslawa Hoffmanna dla naczyń z obszaru północno-wschodniej strefy nadbałtyckiej z okresu pierwszego tysiąclecia p.n.e.⁸, lub typ I wg klasyfikacji Łucji Okulicz dla cerami-

⁷ Buko 1990: 352.

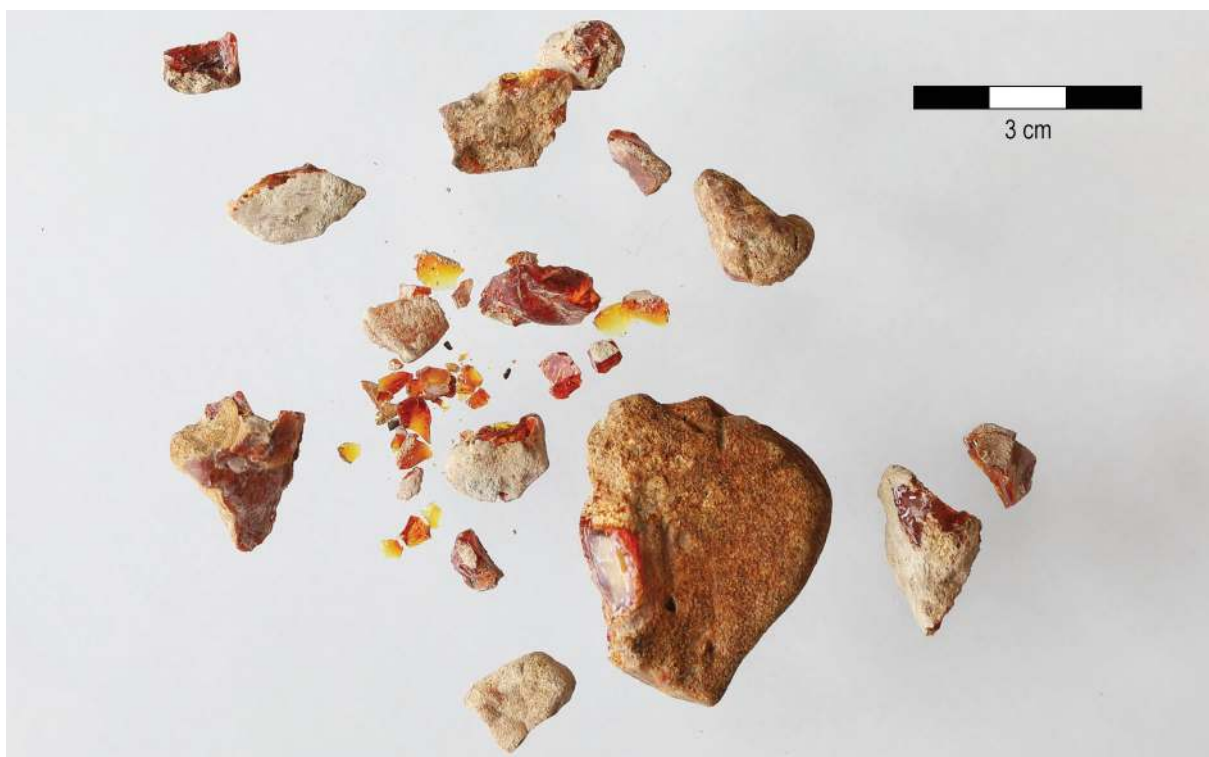
⁸ Hoffmann 2000: ryc. 38.



Ryc. 11. Dąbrowa, st. 9. Stratygrafia nawarstwień w obrębie wału I, fosy I i wału II – wykop 1, plan 1 (oprac. R. Solecki)



Ryc. 12. Dąbrowa, st. 9. Stratygrafia nawarstwień w obrębie wału I, fosy I i wału II – wykop 1, profile NE, SE i SW (oprac. R. Solecki)



Ryc. 13. Dąbrowa, st. 9. Grudy bursztynu z obiektu 7 (fot. R. Solecki)

ki kultury kurhanów zachodniobałtyjskich⁹. Kształt jajowaty (typ IV) lub wazowy (typ I) wg M. Hoffmanna¹⁰ albo baniasty (typ IV) wg Ł. Okulicz¹¹ mogą mieć fragmenty o ściankach zachylonych do wnętrza, ale o krawędziach nieznacznie pogrubionych i wywiniętych na zewnątrz (tabl. 1:4, 12–13). Z czarek bądź mis (typy V i VI wg M. Hoffmanna i typy VI i X wg Ł. Okulicz)¹² pochodzą fragmenty o ściankach rozchylonych na zewnątrz, bez wyodrębnionej szyjki (tabl. 1: 7–8). Ścianki ustawione niemal pionowo (tabl. 1:9–10) występują w dużej liczbie form naczyń w klasyfikacji M. Hoffmanna, a w zestawieniu Ł. Okulicz odpowiadają one naczynom beczulkowatym, zwłaszcza że w formie tej często występuje zaszczypywana krawędzi wylewu¹³, co jest też widoczne na jednym ze znalezionych fragmentów (tabl. 1:9).

Na jednym fragmencie brzuśca zanotowano zdobienie w postaci grup krótkich nacięć, które nie tworzyły jednak żadnego regularnego układu (tabl. 1:6). Taka dekoracja nie jest zbyt częsta, ale występuje w grupie II i III kla-

syfikacji ceramiki Ł. Okulicz¹⁴. Na jednym fragmencie brzuśca odnotowano ślad po przyczeplieniu ucha (tabl. 1:11), ale nie pozwala on na określenie, jaki był jego kształt.

Zabytki wydzielone

Do kategorii zabytków wydzielonych zaliczono zasadniczo jeden przedmiot – narzędzie. Składało się one z dwóch elementów. Pierwszy to rękojeść wykonana z poroża (tabl. 2:1). Jej wymiary to: długość 8,5 cm i średnica 2–3 cm. W jednym z końców znajdował się niewielki, lejkowaty otwór o średnicy 1,8 cm i głębokości do 2 cm. Podobne znalezisko pochodzące z Biskupina, pow. żniński, wiązane z ludnością kultury łużyckiej, jest interpretowane jako młotek¹⁵. W tym jednak przypadku tuż obok opisanego zabytku znaleziono żelazny bolec (tabl. 2:2) o długości 7,8 cm i średnicy 0,6–1,5 cm. Jego jeden koniec bardzo dobrze pasuje do otworu w oprawce z poroża. To sugerowałyby, że oba elementy tworzyły pierwotnie jedną całość.

Pomocny w interpretacji tego zabytku może być fakt, że w jego sąsiedztwie znaleziono grudy bursztynu (ryc. 13). Mogą być one surowcem, z którego wykonywano docelowe produkty, np. paciorki lub zawieszki. Ozdoby z bursztynu były relatywnie popularne

⁹ Okulicz 1970: 24–35.

¹⁰ Hoffmann 2000: ryc. 35, 38.

¹¹ Okulicz 1970: 24–35.

¹² Hoffmann 2000: ryc. 39–40; Okulicz 1970: 25–40.

¹³ Okulicz 1970: 24–28.

¹⁴ Okulicz 1970: 31–40.

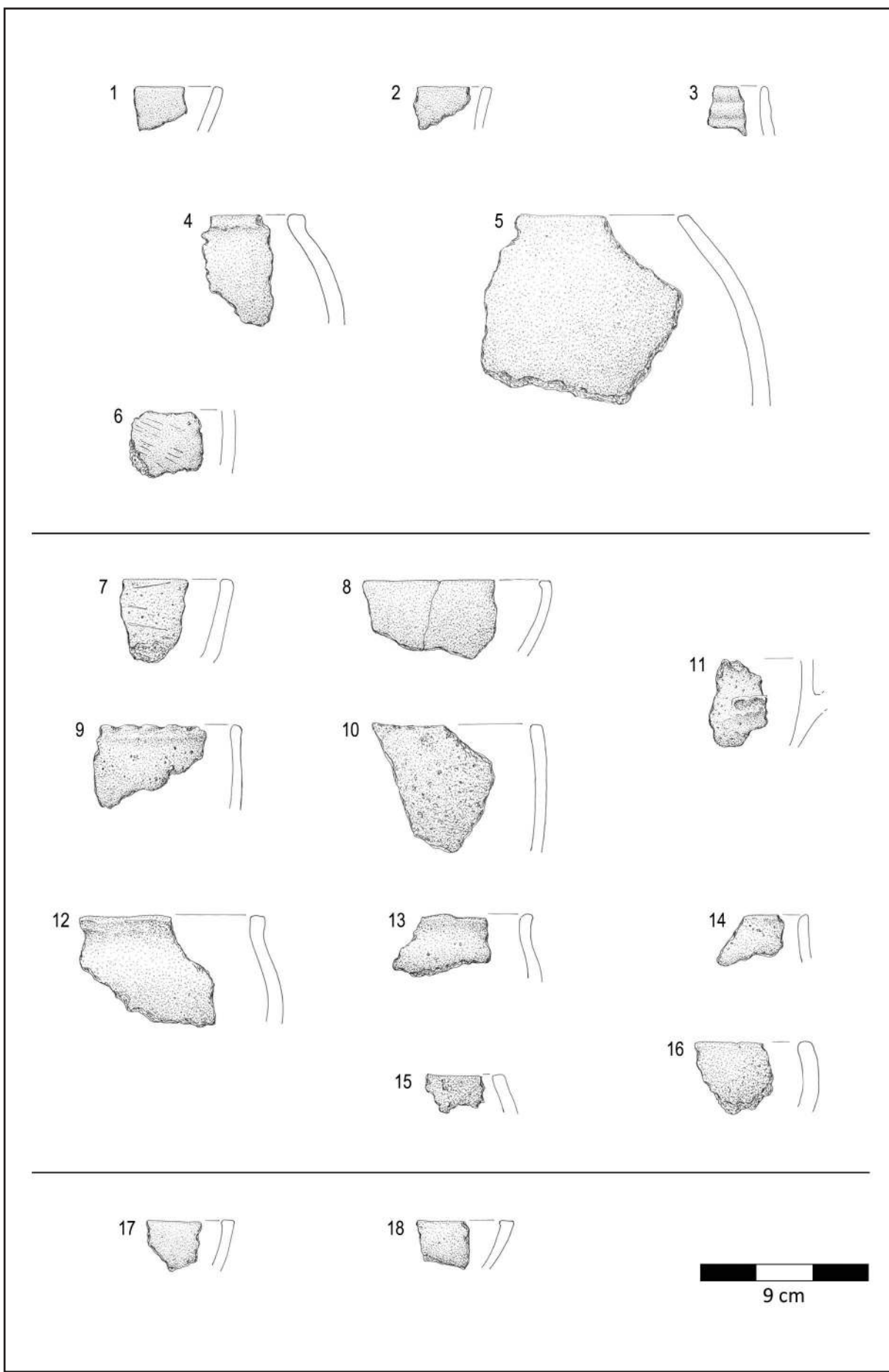
¹⁵ Drzewicz 2004: 82, 106 (tablica VIII:9).

Tabela 2. Zestawienie ilościowe fragmentów ceramiki z grodziska w Dąbrowie, st. 9 (oprac. R. Solecki)

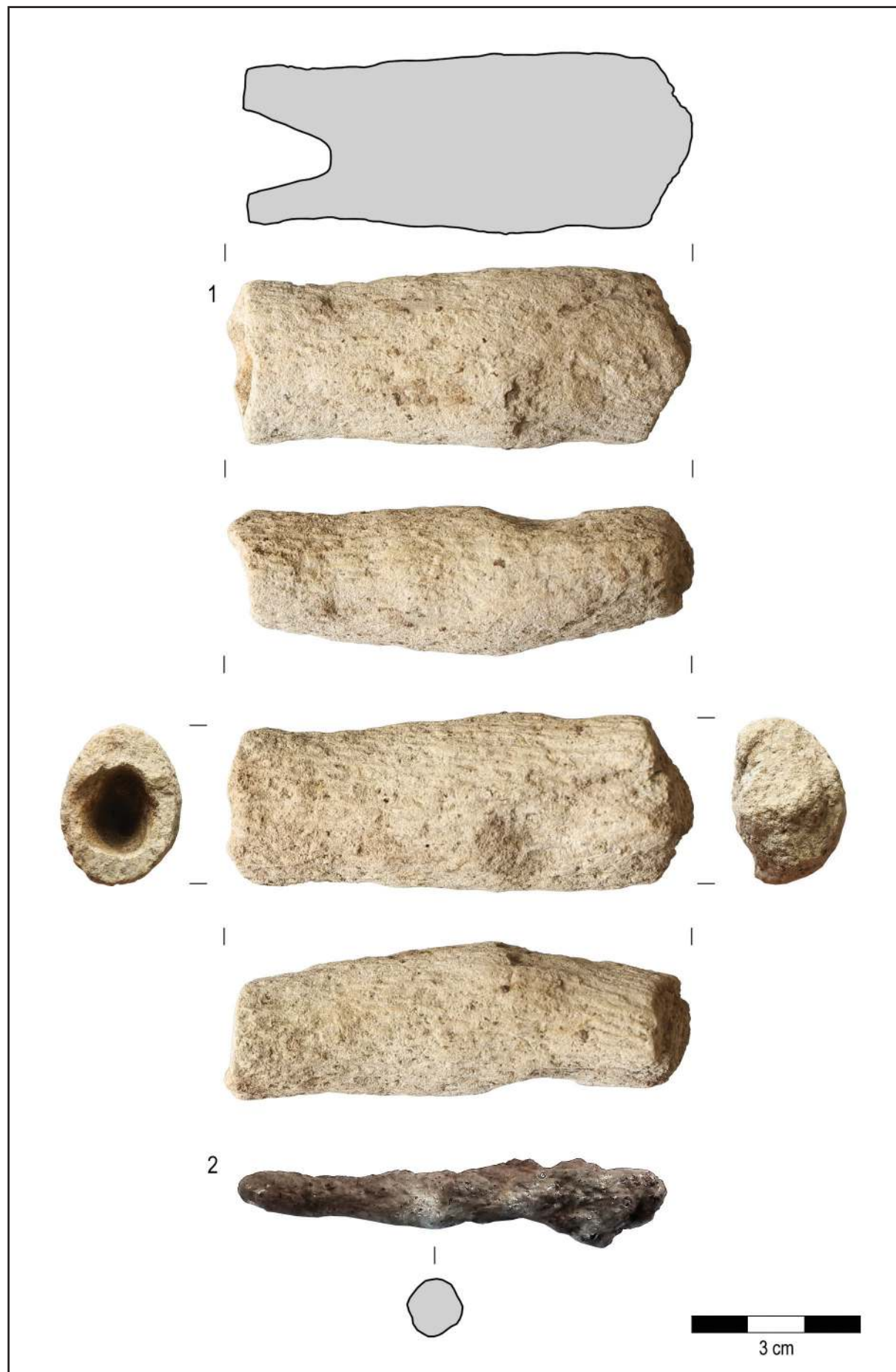
Faza	Jednostka stratygraficzna	Liczba fragmentów łącznie	Liczba różnych naczyń	Liczba fr. ogółem	Szyjki	Ornamentowane	Brzuśce			Dna			Technologia
							Wylewny	Wylewy	Rodzaj powierzchni	Rodzaj	Wklesłe	Płaskie	
I	5	28	8	7	25		21	3	12	5	4	4	1
I	6	11	5	1	3		10	2	3	3	3	3	4
IIIB	13	71	12	11	59		60	3	23	1	31	13	10
IV	1	3	3	2	6		1		2		1	1	1
IV	2	2	2				2	1		1		1	1
Suma	115	30	21	93			94	8	41	6	38	22	1
													5
													11
													74
													41

Tabela 3. Fragmentacja i erozja fragmentów ceramiki z grodziska w Dąbrowie, st. 9 (oprac. R. Solecki)

Faza	Jedn. strat.	Kategorie wielkościowe (cm)										Stopień erozji			Suma
		1	2	3	4	5	6	7	8	9	10	0	I	II	III
I	5	1	4	9	6	2	2	3		1		15	9	4	28
I	6		4	2	1	3		1				2	7	2	11
IIIB	13		19	16	17	13	2	1	2	1		31	33	7	71
IV	1		1	2								2		1	3
IV	2			1				1				1		1	2
Suma		1	28	30	24	18	5	5	2	1	1	51	49	15	115



Tablica 1. Dąbrowa, st. 9. Ceramika z: 1–6) fazy I, 7–16) fazy II B, 17–18) fazy IV (rys. B. Karch)



Tablica 2. Dąbrowa, st. 9. Zabytki wydzielone (fot. R. Solecki)

w kulturze kurhanów zachodniobałtyjskich, a najbliższe znaleziska są z pobliskiego, oddalonego o 2 km na zachód cmentarzyska kurhanowego w Piórkowie. Znaleziono tam trzy paciorki i jedną grudę bursztynu¹⁶. Najbliższe miejsce, skąd surowiec ten mógł być sprowadzany to osiedle obronne we wsi Łęcze, pow. elbląski, oddalone o 27 km na zachód. Podczas prowadzonych tam badań zebrano łącznie ponad 150 bryłek surowego bursztynu o wadze niemalże 1 kg. Tylko w jednym z obiektów znaleziono ich łącznie 0,24 kg, co, jak wskazał kierownik tamtych badań, mogło świadczyć o ich celowym gromadzeniu¹⁷. Poza wspomnianym Łęczem i Piórkowem nie ma obecnie danych o innych dawnych znaleziskach bursztynu w najbliższej okolicy. Nowożytnie i współczesne znaleziska bursztynu znane są z miejscowości Braniewo, Elbląg, Szyleny (pow. braniewski), Pagórki (pow. elbląski), Sagnity (pow. bartoszycki) i Miłakowo (pow. ostródzki)¹⁸.

Biorąc powyższe pod uwagę, należałoby rozważyć, czy znalezione narzędzie nie służyło do pracy z bursztynem, a dokładniej do nawiercania w nim otworów. Bezpośrednich analogii z obszaru Polski brak, ale proces wiercenia zrekonstruowano w oparciu o ikonografię z obszaru Morza Śródziemnego i potwierdzono eksperymentami¹⁹. Oprawka z poroża służyłaby w takim przypadku do ustabilizowania wiertła z żelaza, które napędzane było za pomocą smyka. Zabytki o analogicznej funkcji, ale wykonane z kamienia, także posiadające otwory do osadzania wiertła, znane są z Izraela²⁰.

CHRONOLOGIA I DZIEJE GRODZISKA W DĄBROWIE, ST. 9

RAFAŁ SOLECKI

Grodzisko w Dąbrowie, st. 9 nie było do tej pory znane. Przeprowadzone badania wykopaliskowe wykazały, że stanowisko zasiedlano w dwóch kolejnych okresach. Najstarsze umocnienia można datować na przełom okre-

¹⁶ Żórawska 2001: 220, 227.

¹⁷ Żórawska 2001: 226; Dąbrowski 1960: 268–270; 1967: 402.

¹⁸ Kosmowska-Ceranowicz i Pietrzak 1982: 63–74 + załącznik/mapa – znaleziska i dawne kopalnie bursztynu w Polsce.

¹⁹ Popkiewicz i Czebreszuk 2016: 83–85.

²⁰ Ilan 2016: 262–265.

su halsztackiego i lateńskiego, co potwierdzają wyniki analizy radiowęglowej próba węgla pobranego ze zniszczonej konstrukcji drewnianej. Po kalibracji wskazują one przedział lat 537–381 p.n.e. z prawdopodobieństwem 95,4%²¹. Wspomniana spalona konstrukcja to prawdopodobnie palisada, która wieńczyła szczyt wału I. Odnotowany pożar kończy pierwszą fazę zasiedlenia. Kolejna faza nastąpiła zapewne niedługo po pierwszej. W materiale ceramicznym z obu tych faz nie widać czytelnych różnic w technologii produkcji naczyń, ich formach bądź zdobieniu. Tu jednak należy zaznaczyć, że analizowana próba nie była zbyt duża, ale przy większej różnicy być może uda się wychwycić. Wyniki analizy radiowęglowej próby węgla pobranej z warstwy kulturowej związanej z kolejnym etapem osadniczym wskazały po kalibracji na przedział lat 411–208 p.n.e. z prawdopodobieństwem 95,4%²². Po opuszczeniu grodziska we wczesnej epoce żelaza jego obszar nie został już nigdy później zasiedlony. Odnotowano jedynie pojedyncze ślady bytności, które można wiązać z okresem II wojny światowej.

Analiza zespołu fragmentów ceramiki wykazała, że nosi on ślady diagnostyczne charakterystyczne dla kultury kurhanów zachodniobałtyjskich. Oznaczałoby to, że omawiane stanowisko funkcjonowało równocześnie z osiedlem obronnym w Dąbrowie, st. 8²³, które jest oddalone o 1,3 na zachód i z osiedlem otwartym w Piórkowie²⁴, oddalonym o około 2 km na zachód, oraz sąsiadującym z nim cmentarzyskiem kurhanowym²⁵. Nieduża odległość pomiędzy wszystkimi wymienionymi stanowiskami wskazuje, że były one elementami jednego dużego zespołu osadniczego.

Niezmiernie ciekawym aspektem omawianego grodziska jest fakt znalezienia w jego obrębie zabytków, które można wiązać z obróbką bursztynu. Zabytki te to żelazne wiertło z oprawką wykonaną z poroża oraz surowiec bursztynowy. Z obszaru zajętego przez ludność kultury kurhanów zachodniobałtyjskich znane były ozdoby wykonane

²¹ Analiza przeprowadzona w Poznańskim Laboratorium Radiowęglowym, próba nr Poz-162368.

²² Analiza przeprowadzona w Poznańskim Laboratorium Radiowęglowym, próba nr Poz-162409.

²³ Opisane w tym tomie.

²⁴ Żórawska 2000.

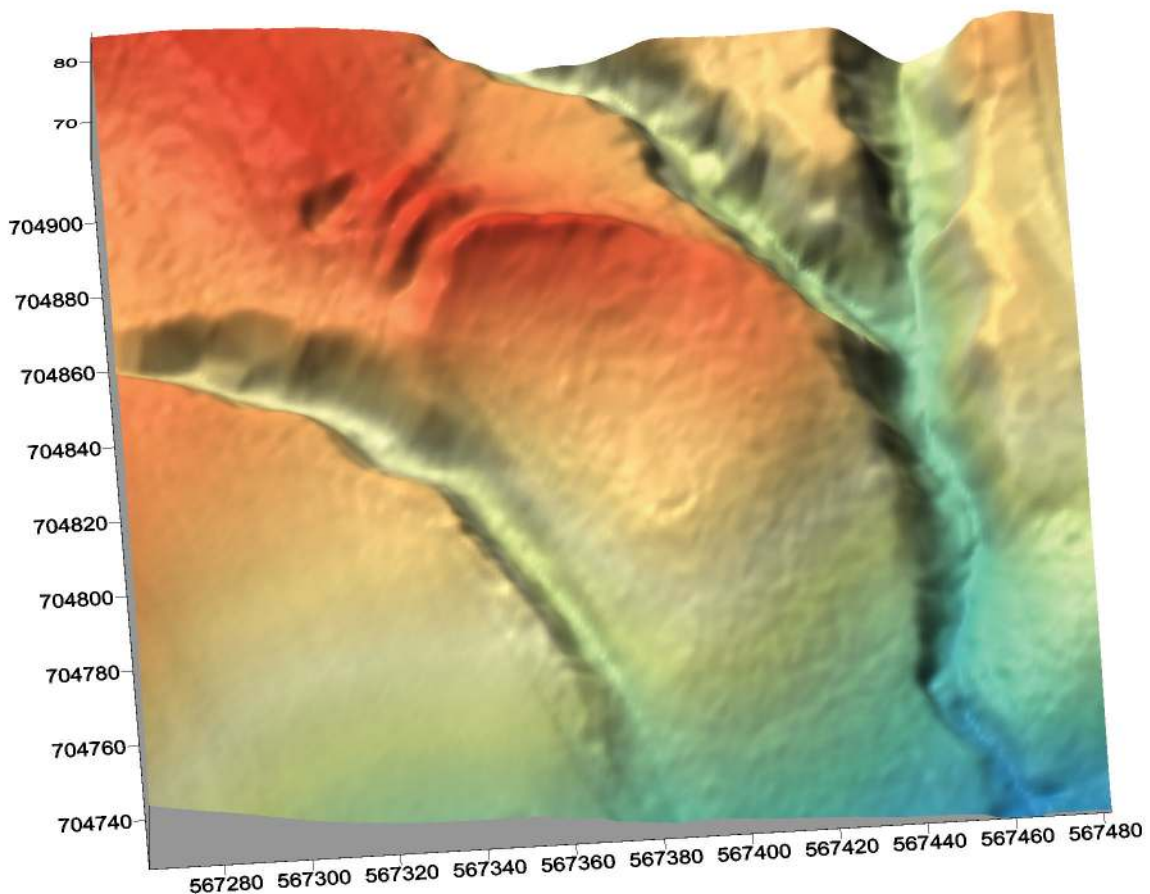
²⁵ Waluś 1992: 41.

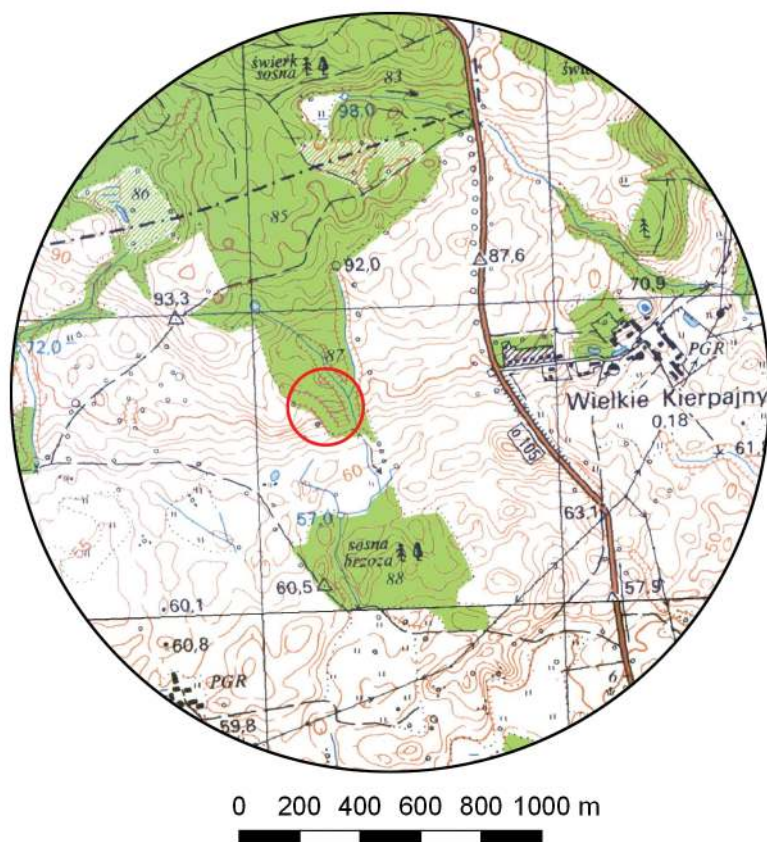
z bursztynu – m.in. trzy paciorki i jedną grudkę bursztynu znalezione na pobliskim cmentarzysku w Piórkowie – ale do tej pory nie znalezione miejsca, gdzie zabytki te mogły powstawać. Nowo odkryte grodzisko byłoby

pierwszym tego typu, co powoduje, że wskazane jest objęcie go ochroną i przeprowadzenie kolejnych badań, które pozwoliłyby poszerzyć bazę źródeł do badań wskazanego ośrodka.

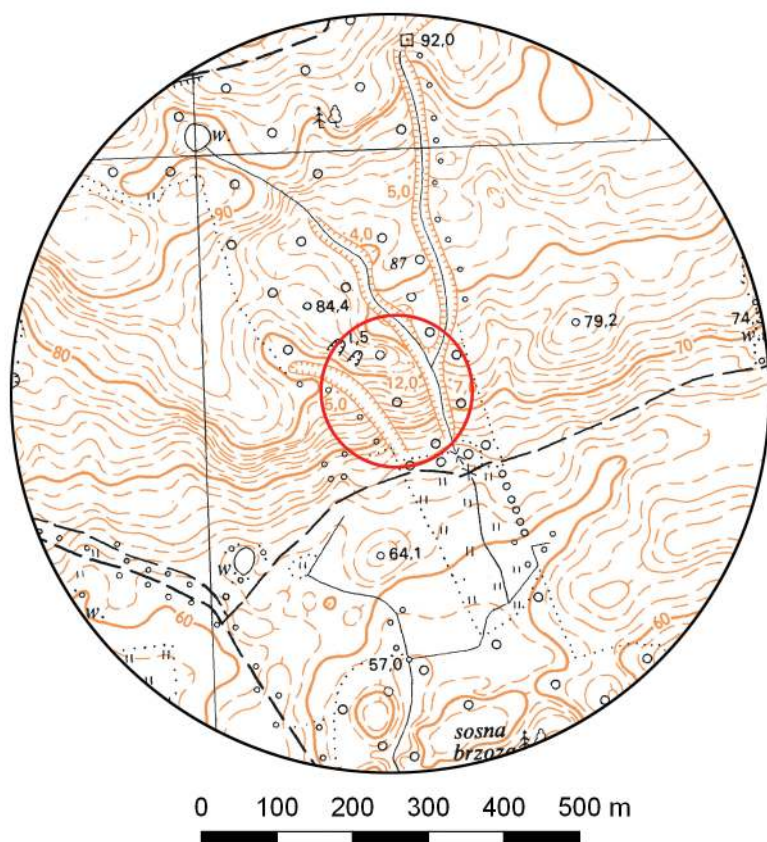
Bornity, st. 12

Gmina Pieniężno
Powiat braniewski
AZP 15-57/35
Współrzędne geograficzne:
N 54° 12' 12"
E 20° 01' 59"





Ryc. 1. Grodzisko w Bornitach, st. 12
na mapie w skali 1:25 000
(na podstawie materiałów GUGiK,
oprac. R. Solecki)



Ryc. 2. Grodzisko w Bornitach, st. 12
na mapie w skali 1:10 000
(na podstawie materiałów GUGiK,
oprac. R. Solecki)

POŁOŻENIE GRODZISKA I JEGO FORMA

RAFAŁ SOLECKI

Grodzisko w Bornitach (niem. *Bornitt*), st. 12 zostało odkryte w 2016 roku przez członków Grupy Historyczne Guttstadt z Dobrego Miasta. Skatalogowano je w ramach AZP pod numerem 15-57/35¹. Pomimo że znajduje się w obrębie ewidencyjnym Bornity, od których oddalone jest o około 1,9 km w kierunku północno-zachodnim, to dużo bliżej położona jest miejscowości Wielkie Kierpajmy (niem. *Gross Körpen*), położona około 0,7 km na wschód.

Grodzisko utworzono, odcinając nieduży cypel od wysoczyzny za pomocą systemu trzech wałów i dwóch suchych fos (ryc. 3). Od strony wschodniej i zachodniej cypel ograniczają dwa, niezbyt głębokie wąwozy. Koniec cypla w przeszłości był zapewne położony nieco wyżej, co gwarantowało mu naturalną obronność. Obecnie opada łagodnym stokiem w kierunku południowym, gdzie znajdują się podmokłe łąki (ryc. 4–5). Brak czytelnej południowej granicy majdanu – zasadniczo widoczny tylko na obrazowaniu danych NMT, a w terenie niemalże nieuchwytny – utrudnia określenie właściwej jego powierzchni. Można założyć, że miał on kształt zbliżony do owalu o średnicach w przedziale 75–80 m i powierzchnię około 50 arów. Wał I, wyznaczający północną krawędź majdanu, jest łukowato wygięty w kierunku północy i ma dłu-

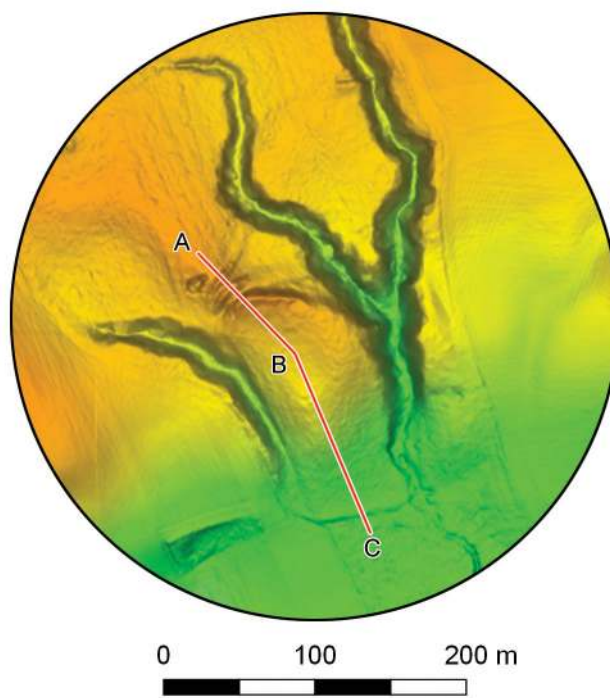
gość około 80 m. Jego końce sięgają wąwozów wyznaczających szerokość cypla. Jego szerokość u podstawy dochodzi do 10 m, a wysokość mierzona względem dna fosy I dochodzi do 3 m. Najwyższy punkt wału I osiąga poziom 84,7 m n.p.m. Wał II jest równoległy do wału I, lecz jego stan zachowania jest dużo gorszy niż wału I. Odsunięty jest od niego o około 12 m (wartość mierzona od osi wałów) i widoczny jest tylko w środkowej części cypla, na odcinku około 36 m. Jego szerokość u podstawy dochodzi do 4,7 m, różnica wysokości mierzona pomiędzy szczytem wału a dnem fosy I wynosi 1,2 m, a względem dna fosy II wynosi 0,8 m. Najwyższy punkt wału II osiąga poziom 84,4 m n.p.m. Wał III także jest źle zachowany. Oddalony jest od wału II o około 8 m. Widoczny jest w środkowej części cypla i w odróżnieniu od dwóch wcześniejszych ma on układ liniowy. Jego zachowana długość to około 48 m, szerokość u podstawy dochodzi do 6 m, a wysokość mierzona względem dna fosy II wynosi 0,8 m. Najwyższy punkt wału I, osiąga poziom 84,7 m n.p.m. Być może osadnictwo związane z użytkowaniem grodziska obejmowało także sąsiadujący od wschodu cypel. Widoczny jest tam być może relikt zniszczonego wału, ale jego właściwe rozpoznanie jest obecnie niemożliwe z powodu młodnika, który porasta tamten obszar.

W 2017 roku na grodzisku przeprowadzono badania sondażowe, którymi kierował Sławomir Wadyl z Instytutu Archeologii Uniwersytetu Warszawskiego. W trakcie tych badań wytyczono i przebadano cztery wykopy badawcze, które zlokalizowano na obszarze

¹ Wadyl i Martyka 2019: 76.

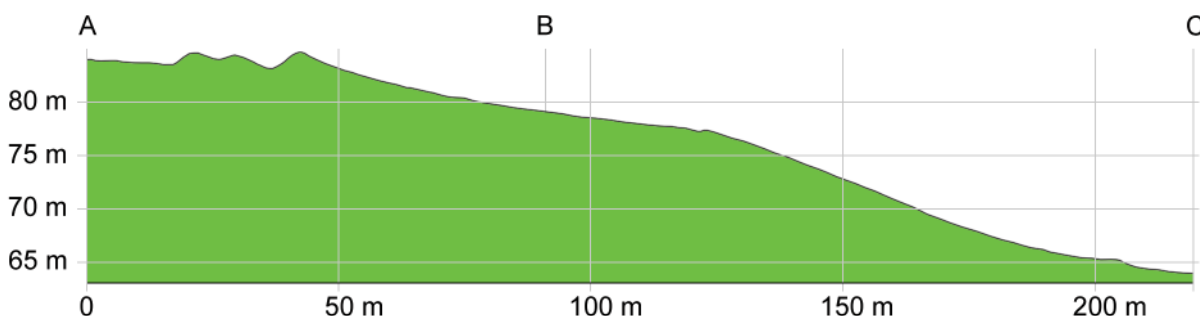


Ryc. 3. Widok w kierunku wschodnim na trzy wały i dwie fosy grodziska w Bornitach, st. 12 (fot. R. Solecki)



Ryc. 4. Grodzisko w Bornitach, st. 12 na zobrazowaniu ALS (na podstawie materiałów GUGiK, oprac. R. Solecki)

Ryc. 5. Przekrój grodziska w Bornitach, st. 12 uzyskany z danych ALS
(na podstawie materiałów GUGiK,
oprac. R. Solecki)



majadnu i wału wyznaczającego od północny jego granicę. W wykopie 1, który przecinał wał I od jego osi do podstawy od strony majdanu, zadokumentowano nawarstwienia kulturowe o miąższości do 140 cm, które powiązano z budową umocnień. Tu odnotowano, że układ jednostek stratygraficznych nie wyklucza, że wał jest dwufazowy. Warstwa kulturowa uchwycona w wykopach na majdanie miała średnią grubość około 40 cm, a w wykopie 4 dochodziła do 60 cm. W trakcie badań pozyskano zbiór 36 fragmentów ceramiki, który pozwolił na określenie szacunkowej chronologii na schyłek okresu wędrowek ludów i starszą fazę wczesnego średniowiecza. Uzupełnieniem było 26 zabytków metalowych, w tym 3 srebrne siekańce dirhamów arabskich (z końca VIII i pierwszej dekady IX wieku), żelazny grot włóczni, fragment brązowej ostrogi i srebrną bransoletę. Wyniki datowania radiowęglowego próbki pobranej z reliktów drewnianej konstrukcji zna-

lejonej na wale I dały po kalibracji przedział lat 889–979 n.e. Konkluzją badań było określenie chronologii grodziska na ostatnie dekady IX i pierwszą kwartę X wieku².

ŚRODOWISKO FIZYCZNOGEOGRAFICZNE ANNA LEJZEROWICZ

Według podziału fizycznogeograficznego Polski Jęz. Kondrackiego, grodzisko w Bornitach, st. 12, znajduje się w mezoregionie Wzniesienia Górowskie³. Położone jest w obrębie wysoczyzny morenowej falistej, która charakteryzuje się występowaniem licznych pagórków czy zagłębień bezodpływowych, jak również wąskich, niekiedy głęboko wcię-

² Wadyl i Martyka 2019: 78–86; Wadyl, Martyka i Malarczyk 2018: 132–134; Wadyl 2018: 241–249.

³ Kondracki 2002: 101–102.

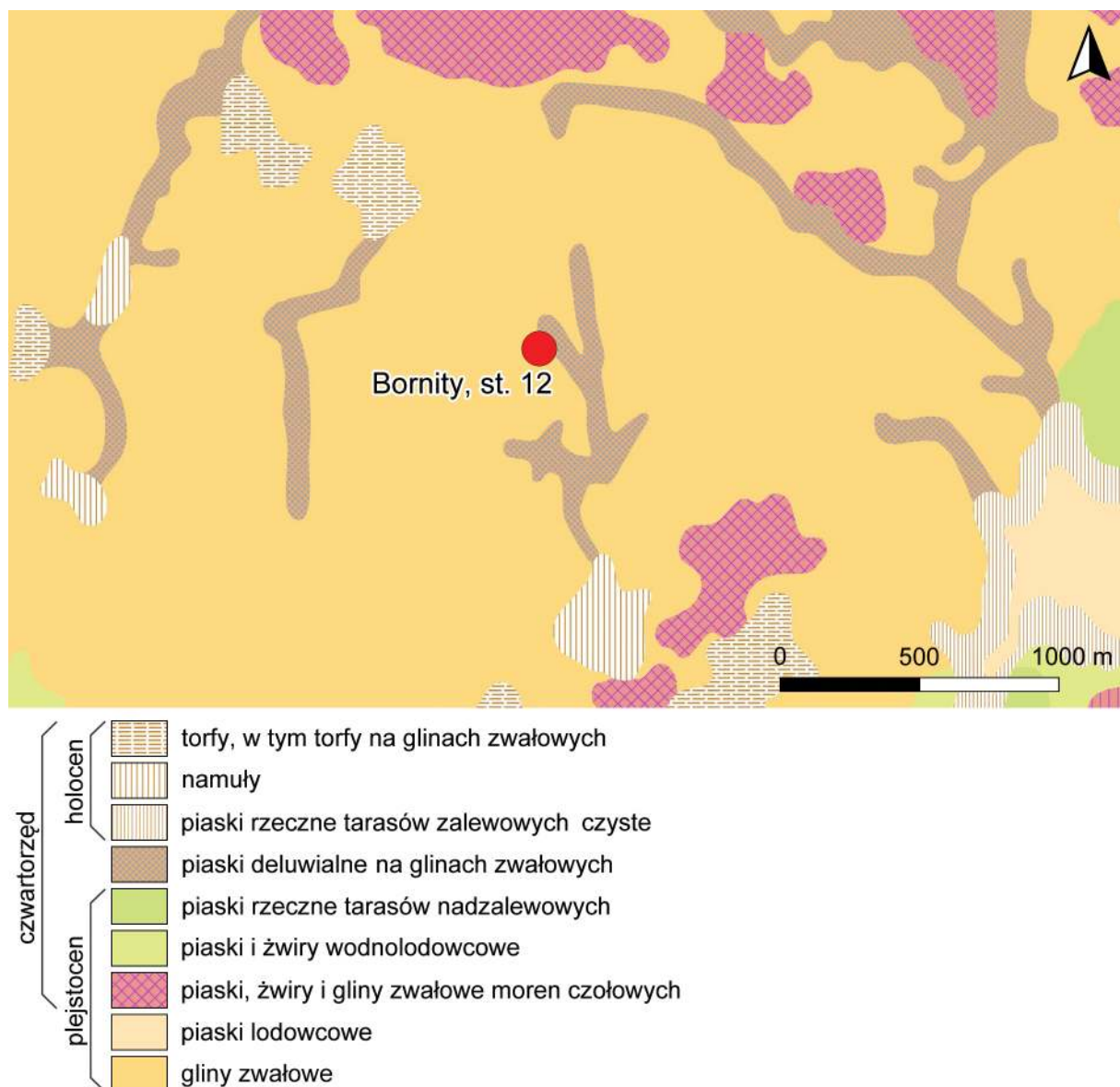
tych, dolinek⁴. Zajmuje koniec cypla przedzielonego kilkoma wałami, które rozdzielają wąwozy odprowadzające wodę opadową w kierunku wąskich, stosunkowo głęboko wciętych w podłoże dolinek otaczających stanowisko od północnego wschodu i południowego zachodu (ryc. 4). W granicach cypla brak jest jednego, wyraźnego szczytu – jest kilka mniejszych, rozdzielonych obniżeniami.

Według *Szczegółowej Mapy Geologicznej Polski* w skali 1:50 000 (ryc. 6) na obszarze stanowiska występują gliny zwałowe. Według *Mapy Geologicznej Polski* w skali 1: 500 000 jest to obszar występowania glin zwałowych, ich zwietrzelin oraz piasków i żwirów lodowcowych. Według *Mapy Litogenetycznej Polski*

⁴ Rabek i Młyńczak 2002.

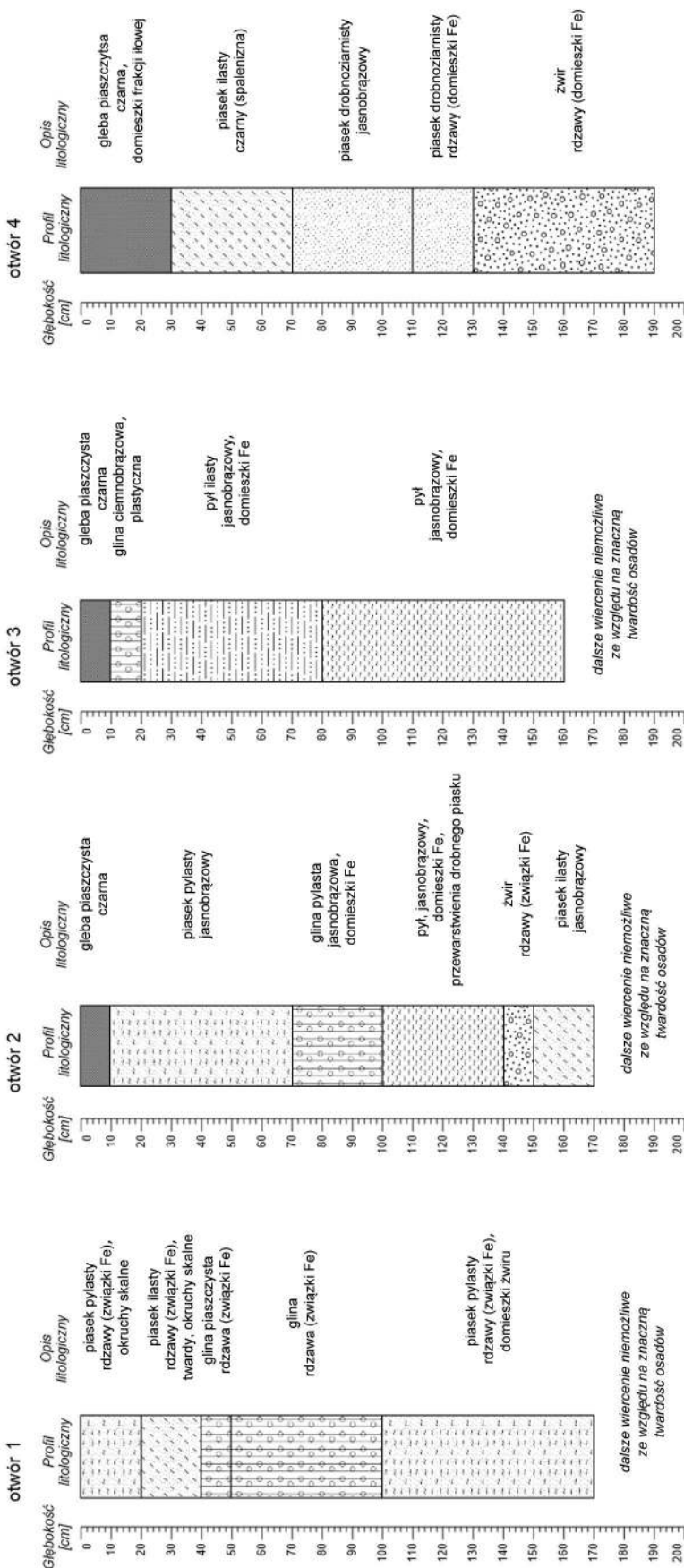
w skali 1:50 000 znajdują się tu gliny pochodzenia lodowcowego.

Na obszarze grodziska wykonano cztery wiercenia sondą ręczną do maksymalnej głębokości 1,9 m w celu rozpoznania budowy geologicznej (ryc. 7). Na podstawie wykonanych odwiertów stworzony został schematyczny przekrój geologiczny (ryc. 8). W wierceniach zaobserwowano występowanie glin zwałowych, ale też piasków drobnoziarnistych, piasków pylastycznych oraz ilastych, pyłów oraz pyłów ilastycznych. Lokalnie występowały osady żwirowe. Osady pylaste charakteryzowały się dużą twardością, co uniemożliwiło wiercenie na większą głębokość. W części osadów zaobserwowano również obecność związków żelaza (rude zabarwienie).

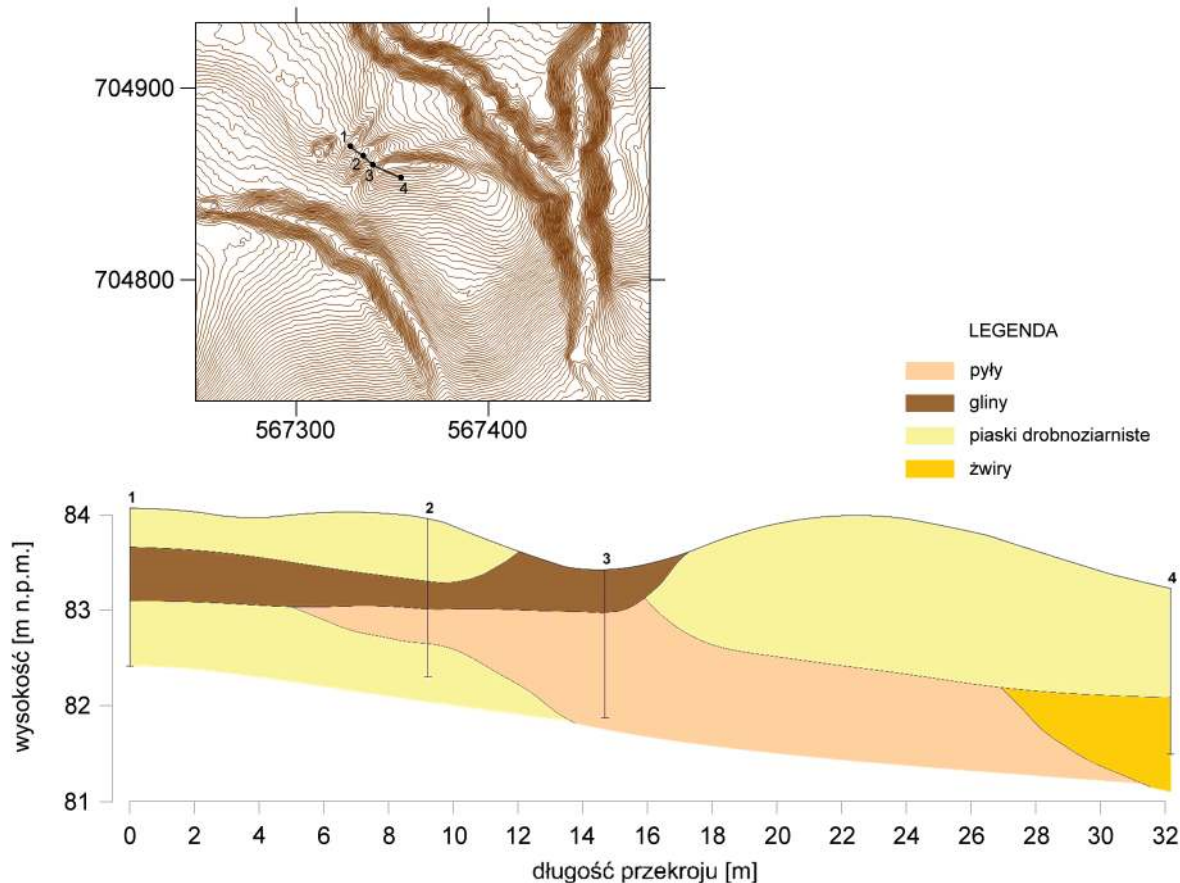


Ryc. 6. Wycinek arkusza Szczegółowej Mapy Geologicznej Polski z zaznaczonym grodziskiem w Bornitach, st. 12 (źródło:

www.cbdgmapa.pgi.gov.pl/arcgis/services/kartografia/smgp50k/MapServer/WMServer, oprac. R. Solecki)



Ryc. 7. Profile litologiczne odwiertów wykonanych na obszarze grodziska w Bornitach, st. 12 (oprac. A. Lejzerowicz)



Ryc. 8. Schematyczny przekrój geologiczny przez grodzisko w Bornitach, st. 12 (oprac. A. Lejzerowicz)

BADANIA ARCHEOLOGICZNE RAFAŁ SOLECKI

Przebieg badań terenowych

W 2017 roku na obszarze grodziska prowadzone były badania archeologiczne. W ich trakcie rozpoznano układ stratygraficzny w obrębie majdanu oraz wału I, który wyznacza północną granicę majdanu. Badania przeprowadzone w 2021 roku miały na celu rozpoznanie umocnień znajdujących się na północ od wału I – fosy I, wału II, fosy II i wału III – i weryfikację, czy powstały one w tym samym momencie co wał I (na przełomie IX i X wieku), czy w ramach drugiej uchwyconej, ale nie oznaczonej chronologicznie, fazy użytkowania stanowiska⁵.

Z powodu dość gęsto rosnących na powierzchni grodziska drzew nie było możliwe wytyczenie jednego wykopu, który przecinałby wszystkie zaplanowane do rozpoznania umocnienia. Dlatego też wytyczono dwa wykopy (W1 i W2, każdy z nich o wymiarach $1,5 \times 8$ m), których narożniki stykały się ze sobą, a ściana południowa W1 była w tej sa-

mej osi co ściana północna W2. Dzięki temu możliwe było uzyskanie jednego wspólnego profilu. Położenie wykopów prezentuje ryc. 9.

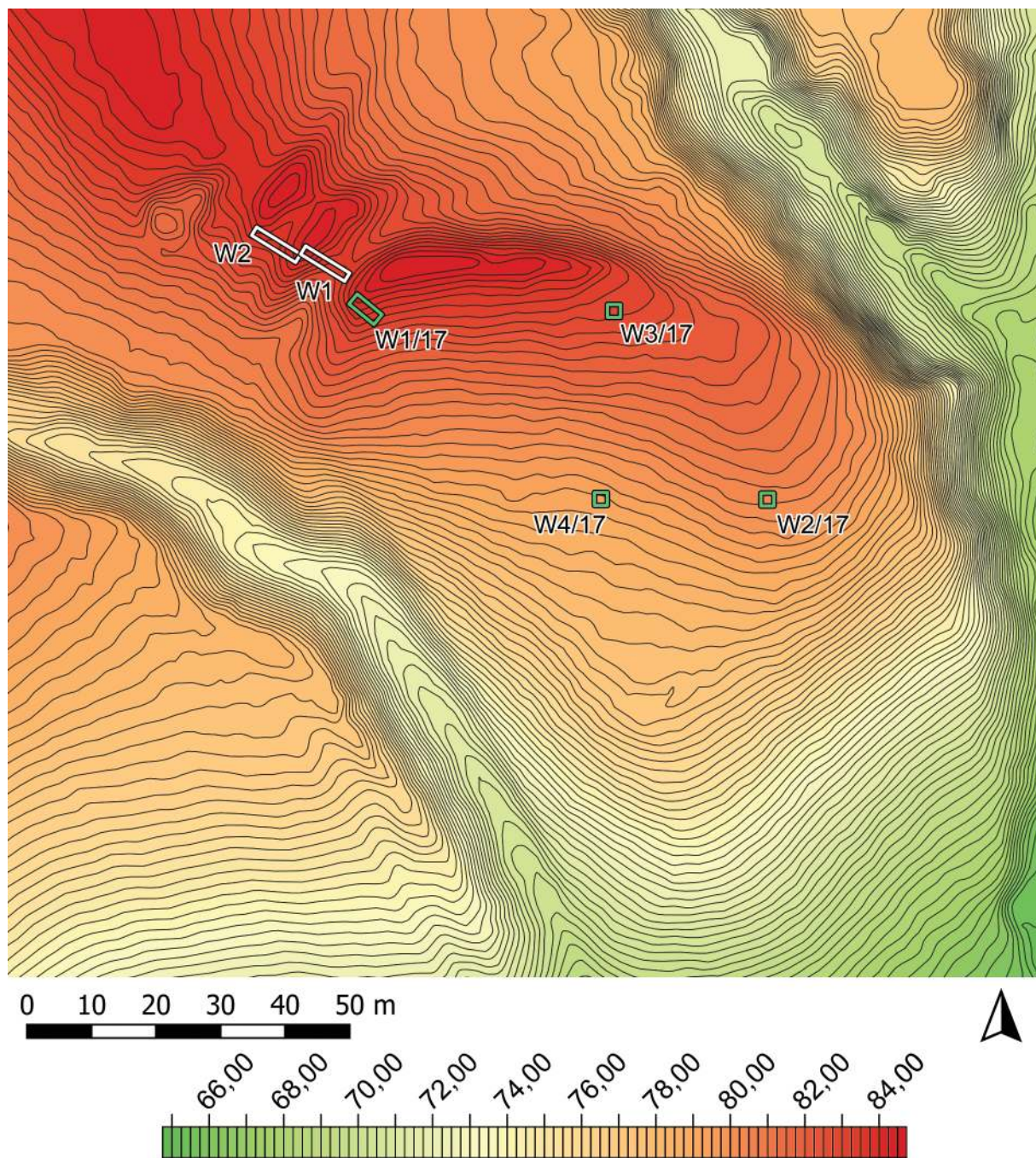
Stratygrafia stanowiska

W trakcie omawianych badań archeologicznych wydzielono łącznie 21 jednostek stratygraficznych (tabela 1). Możliwe było ich rozdzielenie pomiędzy warstwy naturalne i cztery fazy związane z dziejami stanowiska. Diagram Harrisa dla wydzielonych jednostek stratygraficznych przedstawia ryc. 10, a zado- kumentowane powierzchnie ryc. 11–12.

Warstwy naturalne

W trakcie badań jako jednostkę naturalną zidentyfikowano lekko piaszczystą glinę z soczewkami sypkiego piasku i żwiru oraz plamami żelazistych wytrąceń 13. Na całej powierzchni obu wykopów strop tego poziomu był naruszony, co może oznaczać, że młodsze prace ziemne związane z budową umocnień poprzedzone były znacznymi niwelacjami mającymi na celu przygotowanie tego obszaru. Najwyżej położony punkt calca odnotowano poniżej nasypu wału III, gdzie osiągał poziom 88,45 m n.p.m.

⁵ Wadył i Martyka 2019: 78–86.



Ryc. 10. Bornity, st. 12. Plan grodziska z naniesionymi wykopami archeologicznymi (oprac. R. Solecki)

Faza I

Faza ta wyznacza okres związany z budową umocnień. W tym czasie wykonano dużych rozmiarów, nieckowaty w przekroju, rów 20, którego uchwycone w W1 wymiary to szerokość około 600 cm i głębokość do 110 cm. Obiekt ten interpretowany jest jako fosa I. Urobek z wkopu posłużył najpewniej do usypania wału I. Na przedpolu wału I i fosy I nie odnotowano śladów po wale. Zarejestrowano tam piasek drobnoziarnisty 18 z niewielką domieszką materii organicznej, która prawdopodobnie jest pozostałością warstwy kulturowej z tej fazy. Jeżeli wał II w tej fazie istniał, to jego pozostałości w granicach W1 i W2 nie za-

chowały się i należałyby ich ewentualnie szukać na innym odcinku wału.

W obrębie fosy I wydzielono dwie jednostki stratygraficzne: starszy drobnoziarnisty piasek 19 z frakcją ilastą, pojedynczymi żwirkami i drobinami węgli drzewnych oraz młodszy ilasty piasek 17 z drobinami węgli drzewnych. Z warstwy 19 pobrano próbę węgla do analizy radiowęglowej. Wynik tej analizy dał po kalibracji przedział lat 668–874 n.e. z prawdopodobieństwem 95,4%. Przy prawdopodobieństwie 74,6% przedział lat zawiera się do przedziału lat 668–778 n.e.⁶ Jest to na

⁶ Analiza przeprowadzona w Poznańskim Laboratorium Radiowęglowym, próba nr Poz-149697.

Tabela 1. Bornity, st. 12. Katalog warstw i obiektów oraz ich zależności stratygraficznych (oprac. R. Solecki)

Numer jednostki	Numer obiektu	Numer wykopu	Położenie w obrębie stanowiska	Współrzędne geodezyczne (PUWG 1992)	Opis jednostki stratygraficznej	Barwa (Munsell)	Pozycja stratygraficzna	
							Zdaje się pod	Znajduje się nad
1	-	1, 2	Powierzchnia całego stanowiska	X=704857,5-704865,9; Y=567324,3-567339,7	Piaszek z bardzo dużą domieszką materii organicznej, poprzerastany korzeniami; miąższość do 25 cm; humus leśny	10YR 3/3	-	2, 3, 4, 5, 6, 7, 8, 9
2	-	1	Stok wału I i fosa I	X=704857,5-704860,7; Y=567335,8-567339,7	Przemieszany, lekko ilasty piaszek z domieszką materii organicznej i z soczewkami piasku i gliny; miąższość do 30 cm; zniszczona warstwa kulturowa	10YR 5/4	1, 3	13, 17, 19
3	-	1	Stok wału II i fosa I	X=704858,9-704862,1; Y=567333,0-567337,2	Lekko ilasty piaszek z domieszką materii organicznej; miąższość do 30 cm; warstwa erozyjna	10YR 4/4	1, 4	2, 5, 6, 13, 17, 18
4	-	1	Stok wału II i fosa I	X=704858,9-704862,1; Y=567333,0-567337,2	Piaszek z domieszką materii organicznej; miąższość do 30 cm; warstwa erozyjna	10YR 5/4 (70%) 10YR 4/4 (30%)	1	3, 5, 6
5	-	1, 2	Wał II	X=704860,8-704863,1; Y=567331,4-567334,6	Piaszek z domieszką materii organicznej; miąższość 10 cm; zerodowany nasyp wału	7.5YR 5/4	1, 3, 4	6
6	-	1, 2	Wał II	X=704860,4-704863,1; Y=567330,0-567334,3	Przemieszany, gliniasty piaszek z domieszką materii organicznej i z soczewkami szypkiego piasku; miąższość do 50 cm; nasyp wału II	7.5 YR 6/4	1, 3, 4, 5, 9, 15	18
7	-	2	Fosa II	X=704861,0-704865,3; Y=567325,3-567331,1	Piaszek z dużą domieszką materii organicznej; miąższość do 30 cm; warstwa erozyjna	7.5YR 5/2	1, 8	9, 10, 11, 12, 15, 16
8	-	2	Fosa II	X=704861,0-704865,3; Y=567325,3-567331,1	Piaszek z bardzo dużą domieszką materii organicznej; miąższość do 10 cm; warstwa erozyjna	5YR 2/2	1	7
9	-	2	Stok wału II	X=704861,4-704863,3; Y=567330,1-567331,2	Próchnicza ziemia; rozłożony korzeń	10YR 3.2	7	15
10	-	2	Stok wału III i fosa II	X=704862,8-704864,9; Y=567325,5-567328,3	Ilasty piaszek z domieszką materii organicznej, z pojedynczymi żwirkami i kamieniami o średnicy do 10 cm; miąższość do 35 cm; warstwa erozyjna	7.5TR 4/3	7	12, 13, 16
11	-	2	Wał III	X=704863,4-704865,9; Y=567324,3-567327,2	Ilasty piaszek z drobnym żwirem i pojedynczymi kamieniami o średnicy do 10 cm; miąższość do 20 cm; nasyp wału III	7.5YR 7/4	1, 7	12
12	-	2	Wał III	X=704863,4-704865,9; Y=567324,3-567327,2	Gliniasty, przemieszany piaszek; miąższość do 30 cm; nasyp wału III	7.5YR 4/4	7, 10, 11	13
13	-	1, 2	Powierzchnia całego stanowiska	X=704857,5-704865,9; Y=567324,3-567339,7	Lekko piaszczysta glina z soczewkami szypkiego piasku i żwiru oraz plamami żelazistych wytrąceń; podłoże naturalne	10YR 8/3	2, 3, 10, 12, 15, 16, 17, 18, 19	-
14	-	2	Fosa II	X=704861,5-704864,7; Y=567326,1-567330,3	Skupisko kamieni o średnicy do 25 cm tworzących nieregularny bruk w obrębie fosy II	-	7, 10, 15	16
15	-	2	Stok wału II i fosa II	X=704861,0-704863,3; Y=567328,9-567331,2	Przemieszany piaszek z domieszką materii organicznej i pojedynczymi kamieniami o średnicy do 10 cm; miąższość do 20 cm; warstwa erozyjna	10YR 6/4	7, 9	6, 13, 16, 18
16	21	2	Fosa II	X=704861,5-704864,7; Y=567326,1-567330,3	Piaszek z dużą domieszką materii organicznej i dużą domieszką żwiru; miąższość do 25 cm; poziom użytkowy z okresu funkcjonowania fosy II	10YR 5/2	7, 10, 14, 15	13, 21
17	20	1	Fosa I	X=704858,3-704861,5; Y=567334,2-567337,6	Ilasty piaszek; miąższość do 25 cm; wypełnisko fosy I	10YR 7/2	2, 3	13, 19, 20
18	-	1, 2	Wał II	X=704860,4-704863,1; Y=567330,0-567334,3	Piaszek drobnoziarnisty z niewielką domieszką materii organicznej; miąższość do 25 cm; warstwa kulturowa	10YR 5/2	6	13
19	20	1	Fosa I	X=704858,3-704861,5; Y=567335,4-567337,6	Drobnoziarnisty piaszek z frakcją ilastą, pojedynczymi żwirkami i drobinami węgli drzewnych; miąższość do 25 cm; wypełnisko fosy I	10YR 5/2	2, 17	13, 20
20	20	1	Fosa I	X=704857,5-704862,2; Y=567333,4-567339,7	Wkopal profilujący kształt fosy I; szerokość około 600 cm i głębokość do 110 cm	-	2, 3, 17, 19	13, 18
21	21	2	Fosa II	X=704861,1-704865,2; Y=567325,5-567330,9	Wkopal profilujący kształt fosy II; szerokość około 450 cm i głębokość do 85 cm	-	16	13, 18

obszarze zajmowanym przez plemiona bałtyjskie szacunkowo starsza faza wczesnego średniowiecza⁷.

Materiał zabytkowy – 14 fragmentów ceramiki – pozyskano wyłącznie z warstwy 19.

Faza II

Faza ta związana jest z rozbudową umocnień grodziska. W tym czasie powstał wał II i wał III. Materiał na ich usypanie pozyskano w wykopaniu fosy II i pogłębienia fosy I. Na fakt, że fosa I była pogłębianą, wskazuje zachowanie się starszych jednostek stratygraficznych tylko w szczątkowej formie.

Nasyp wału II tworzy przemieszany, gliniasty piasek 6 z domieszką materii organicznej i z soczewkami sypkiego piasku i drobinami węgli drzewnych. Szerokość nasypu u odstawy dochodzi do 320 cm, a jego grubość do 50 cm. Z warstwy 6 pobrano próbę węgla do analizy radiowęglowej. Wynik tej analizy dał po kalibracji przedział lat 680–883 n.e. z prawdopodobieństwem 95,4%⁸. To mogłoby wskazywać, że nasyp powstał w starszej fazie wczesnego średniowiecza, ale w trakcie eksploracji warstwy 6 pozyskano z niej ceramikę ceglastą wypaloną w zaawansowanej technologii utleniającej, która charakterystyczna jest dla późnego średniowiecza. Węgiel oddany do datowania jest zatem najpewniej redeponowaną spalenizną z obszaru fosy I, gdzie uzyskano bardzo podobny wynik dla próby z warstwy 19.

Na północ od wału II wykopano dużych rozmiarów, nieckowaty w przekroju, rów 21, którego uchwycone w W1 wymiary to szerokość około 450 cm i głębokość do 85 cm. Obiekt ten interpretowany jest jako fosa II. Urobek z wkopu posłużył najpewniej do usypania wału III. Warstwy tworzące nasyp to gliniasty, przemieszany piasek 12 i ilasty piasek 11 z drobnym żwirem i pojedynczymi kamieniami o średnicy do 10 cm. Uchwycone w granicach W2 wymiary tego nasypu to szerokość 220 cm i grubość 55 cm.

W trakcie tej fazy na dnie fosy odłożyły się sedymenty. W fosie I był to przemieszany, lekko ilasty piasek 2 z domieszką materii organicznej i z soczewkami piasku i gliny, a w fosie II piasek 16 z dużą domieszką materii organicznej i dużą domieszką żwiru. Po-

nad warstwą 16 zadokumentowano skupisko kamieni 14 w liczbie około 50, z których największe osiągały około 25 cm średnicy. Kamienie te tworzyły w obrębie fosy II nieregularny bruk.

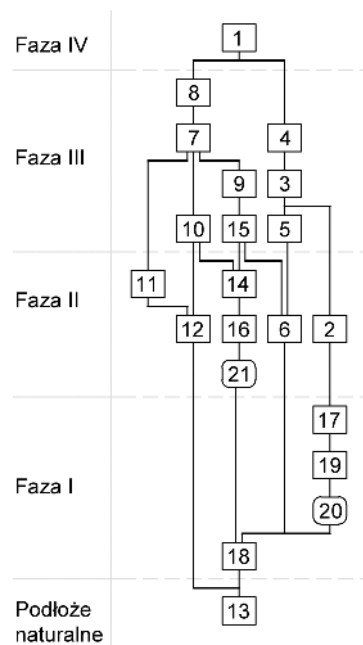
Faza III

Po opuszczeniu grodziska jego powierzchnia zaczęła ulegać procesom erozyjnym. Warstwy erozyjne w obrębie fosy I to lekko ilasty piasek 3 z domieszką materii organicznej oraz piasek 4 z domieszką materii organicznej. Warstwy erozyjne w obrębie fosy II to piasek 7 z dużą domieszką materii organicznej, piasek 8 z bardzo dużą domieszką materii organicznej, próchnicza ziemia 9, ilasty piasek 10 z domieszką materii organicznej, z pojedynczymi żwirkami i kamieniami o średnicy do 10 cm oraz przemieszany piasek 15 z domieszką materii organicznej i pojedynczymi kamieniami o średnicy do 10 cm. Na stropie wału I warstwą erozyjną był piasek 5 z domieszką materii organicznej.

W warstwach przypisanych do tej fazy znaleziono przemieszany materiał ceramiczny zarówno o cechach wczesnośredniowiecznych, jak i późnośredniowiecznych.

Faza IV

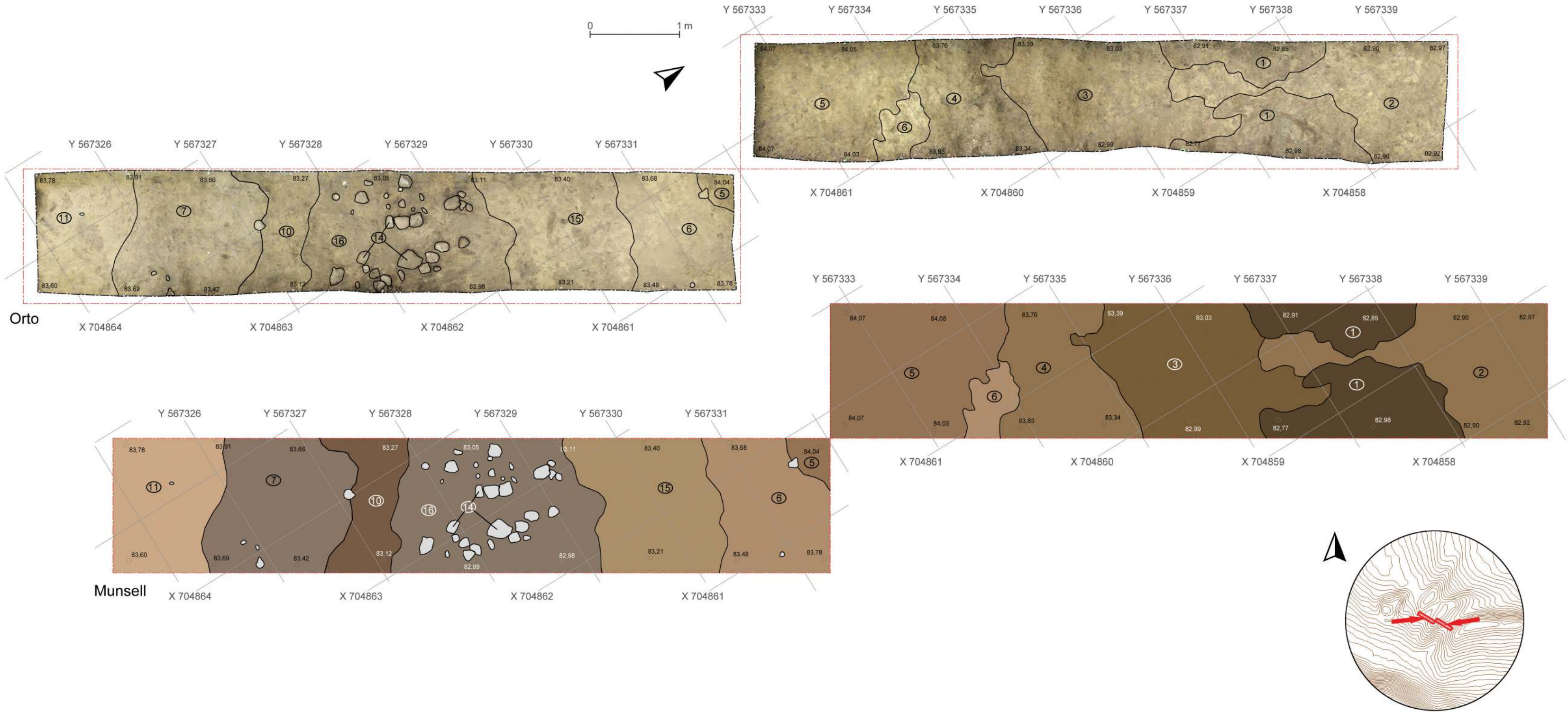
Faza ta wyznacza współczesny poziom użytkowy stanowiska. Warstwa przypisana do tej fazy to piasek 1 z bardzo dużą domieszką materii organicznej.



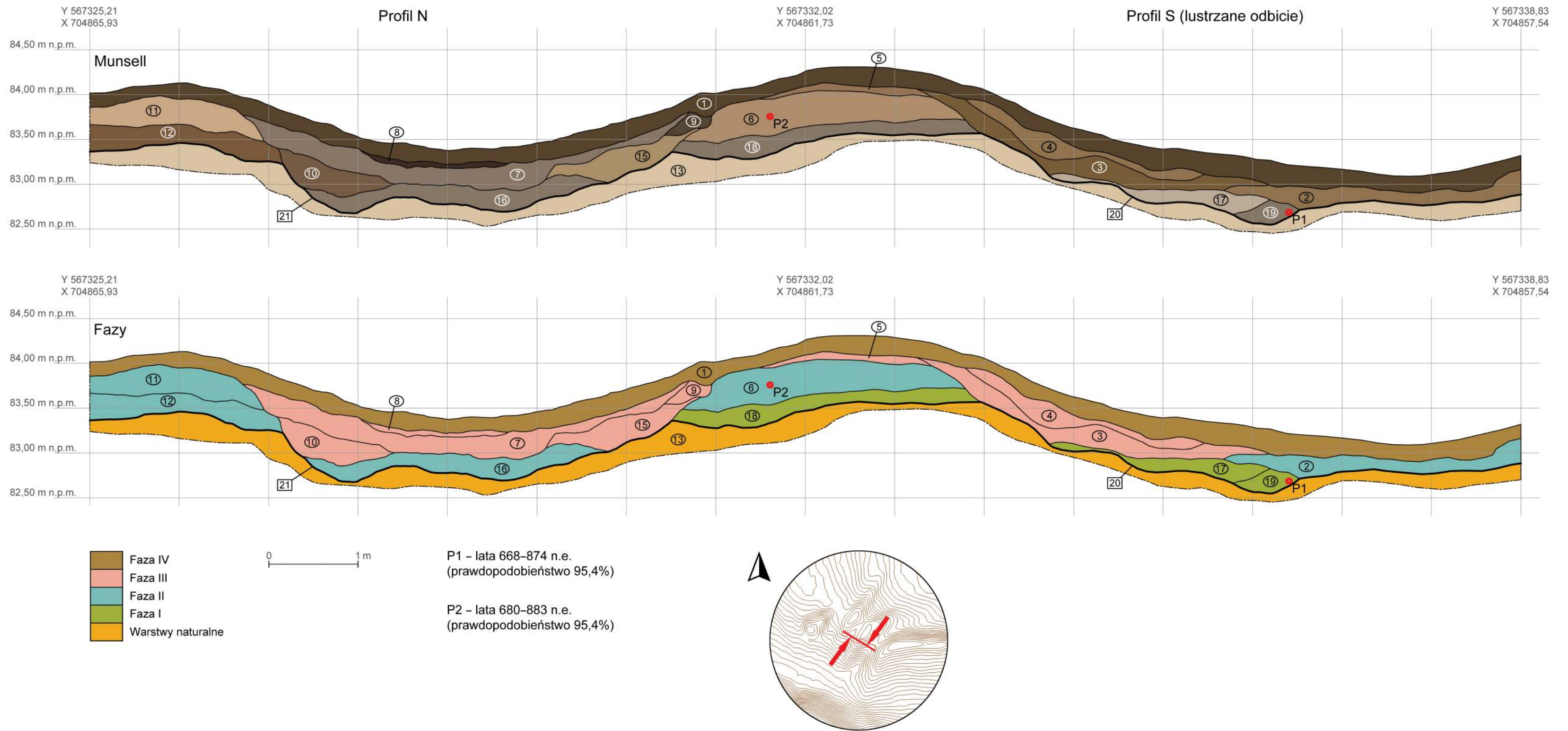
Ryc. 10. Bornity, st. 12. Diagram relacji stratygraficznych (oprac. R. Solecki)

⁷ Wadyl 2022: 13.

⁸ Analiza przeprowadzona w Poznańskim Laboratorium Radiowęglowym, próba nr Poz-149698.



Ryc. 11. Bornty, st. 12. Stratygrafia nawarstwień w obrębie fosy I, wału II, fosy II i wału III – wykop 1 i 2, plany (oprac. R. Solecki)



Ryc. 12. Bornty, st. 12. Stratygrafia nawarstwień w obrębie fosy I, wału II, fosy II i wału III – wykop 1 i 2, profile (oprac. R. Solecki)

ZNALEZISKA

RAFAŁ SOLECKI

Materiał zabytkowy pozyskany podczas badań archeologicznych grodziska w Bornitach, st. 12 to 74 fragmenty naczyń ceramicznych oraz 2 metalowe zabytki wydzielone.

Ceramika

W trakcie badań pozyskano 74 fragmenty ceramiki (tabela 2 i 3). Ich stan zachowania był dość zły – większość stanowiły fragmenty małe, których największy wymiar mieścił się w przedziale 1–4 cm (56 fragmentów; 75,7% zbioru). Stosując klasyfikację stanu zachowania powierzchni i krawędzi zaproponowaną przez Andrzeja Buko 2 fragmenty (2,7% zbioru) przypisano do kategorii III (ceramika mocno zerodowana), 12 fragmentów (16,2% zbioru) do kategorii II (ceramika zerodowana w średnim stopniu), 37 fragmentów (50% zbioru) do kategorii I (ceramika nie wykazująca większego zniszczenia powierzchni) i 23 fragmenty (31,1% zbioru) do kategorii 0 (ceramika bez śladów zniszczenia)⁹. Pomimo to tylko 7 fragmentów (9,5% zbioru) określono jako niediagnostyczne. Zbiór fragmentów ceramiki posiadających jakiekolwiek cechy diagnostyczne liczy 67 sztuk i reprezentuje dwie grupy technologiczno-surowcowe.

Ceramika wczesnośredniowieczna

Pierwszą grupę, do której zaliczono 33 ułamki (49,2% zbioru fragmentów diagnostycznych), można opisać jako tradycyjną ceramikę wczesnośredniowieczną. Naczynia wykonano z masy ceramicznej zawierającej dużą ilość drobnej, średniej i grubej domieszki schudzającej – piasku, tłuczych kamieni, a także szamotu. Powierzchnia zewnętrzna naczyń była szorstka, bez czytelnych śladów zagładzania. Grubość ścian waha się w przedziale 6–13 mm ze średnią 9,8 mm. Grubość części dennych naczyń dochodzi do 23 mm. Na 1 fragmencie zanotowano ślady przepalenia. Proces wypału naczyń odbywał się w niezaawansowanej atmosferze utleniającej, w wyniku której barwa naczyń jest w odcieniach brązu i szarości. Po nasiąknięciu fragmenty nie kruszą się.

W analizowanej grupie był tylko jeden fragment wylewu o grubej, niewyodrębnionej krawędzi, lekko zachylonej do wnętrza (tabl.

⁹ Buko 1990: 352.

1:3). Bardzo zbliżony wylew miał fragment znaleziony w trakcie badań w 2017 roku, tyle że tam krawędź zdobiona była zaszczypwaniem¹⁰. Fragmentów den jest sześć i wszystkie one są płaskie, bez śladów jakichkolwiek znaków (tabl. 1:1–2). Na jednym fragmencie zanotowano zdobienie w postaci co najmniej trzech dookolnych rowków położonych od siebie w odległości około 7 mm (ryc. 1:4). Jak zauważył kierownik wcześniejszych badań grodziska w Bornitach Sławomir Wadyl, najliczniejsze analogie do tej grupy ceramiki są znane z Janowa Pomorskiego. Znaleziono tam między innymi naczynie o płaskim dnie, silnie rozkloszowanej dolnej części naczynia (podobnie do fragmentu z tabl. 1:1), które pokryte było ornamentem dookolnych rowków z wyraźnymi odstępami¹¹. Na tej podstawie analizowaną grupę także można datować na około IX – początek X wieku.

Ceramika ceglasta

Do drugiej grupy technologiczno-surowcowej zaliczono 34 ułamki (50,8% zbioru fragmentów diagnostycznych). Naczynia należące do tej grupy formowano z dobrze wyrobionej masy ceramicznej z małą domieszką drobnoziarnistego piasku. Ich powierzchnia jest gładka. Wypalone je w zaawansowanej atmosferze utleniającej, co sprawiało, że ich powierzchnia była jednolicie pomarańczowa. Ceramika tego typu była najczęściej szkliwiona po stronie wewnętrznej, co zmniejszało nasiąkliwość czerepu. W analizowanym zbiorze pozostałości żółtego szkliwa odnotowano tylko na 2 fragmentach (5,9% tej grupy). Na 18 fragmentach (52,9% tej grupy) zanotowano ślady dekoracji i były to dookolne, najczęściej delikatnie żłobione, rowki (tabl. 1:7–8).

W analizowanym zbiorze było dziewięć fragmentów wylewów, które pochodziły prawdopodobnie z pięciu naczyń, w tym o formie garnka (tabl. 1:5) i dzbanka (tabl. 1:6).

Ceramika wykonywana w ten sposób zaczyna się upowszechniać na omawianym obszarze na przełomie XV i XVI wieku¹². Analizowany zbiór można datować na początek tego okresu, za czym może przemawiać mały odsetek fragmentów szkliwionych i relatywnie duży odsetek zdobień tradycyjną dekoracją dookolnych rowków.

¹⁰ Wadyl i Martyka 2019: 83–84, ryc. 7:a.

¹¹ Jagodziński 46–52, ryc. 32:1.

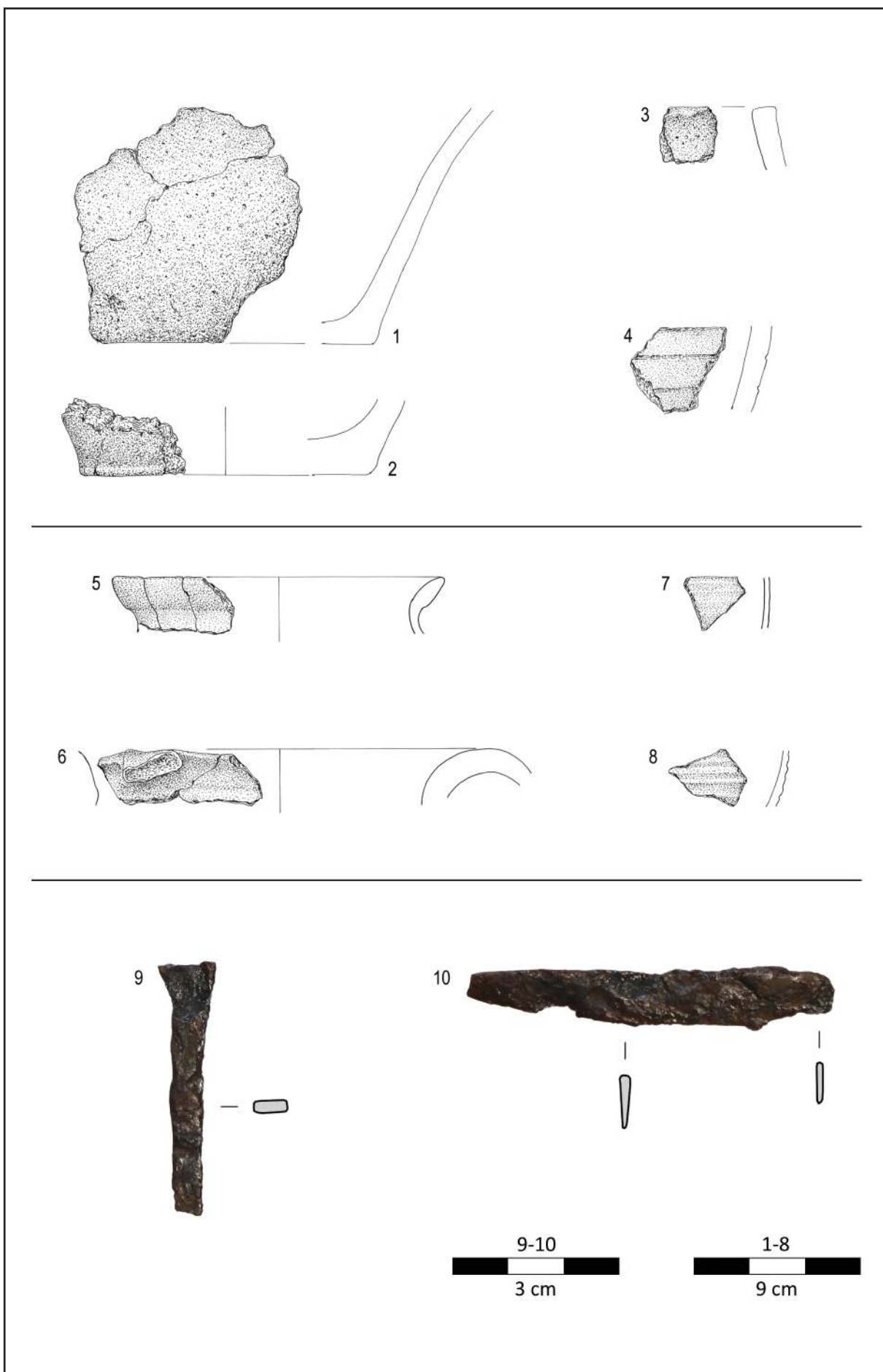
¹² Marcinkowski 2013: 245–247.

Tabela 2. Zestawienie ilościowe fragmentów ceramiki z grodziska w Bornitach, st. 12 (oprac. R. Solecki)

Faza	Jednostka stratygraficzna	Liczba fragmentów łącznie	Liczba różnych naczyń	Liczba fragmentów	SEN (procent obwodu)	Ornamentowane	Szyjki	Liczba fr. ogółem	Wylew	Brzusze	Rodzaj powierzchni			Dna	Rodzaj	Nieokreślone	Późne średniowiecze	Wczesne średniowiecze	Dataowanie		
											Nieokreślone	Szorstkie	Gładkie	Chropowaczone	Wyświecane	Ornamentowane	Nieokreślone	Lekko wklesłe	Płaskie		
I	19	14	4					14			13	1							13	1	
II	6	2	2					2	1		1									1	
II	12	4	1					3			3	1								4	
II	16	1	1					1			1									1	
III	3	1	1					1			1									1	
III	5	7	2					2			6	1								7	
III	7	15	4	4	9			11	14		1	8				5	11	1	14		
III	8	19	1	6	34			12	.19			10	1						17	19	
III	9	3	2					3			3									3	
III	15	2	2					2			2									1	
IV	1	6	5					6			6	1							2	4	
Suma	74	25	10	43				57	34		37	3	19	1			1	32	33	34	7

Tabela 3. Fragmentacja i erozja fragmentów ceramiki z grodziska w Bornitach, st. 12 (oprac. R. Solecki)

Faza	Jedn. strat.	Kategorie wielkościowe (cm)										Stopień erozji					Suma
		1	2	3	4	5	6	7	8	9	10	0	1	II	III		
I	19			3	5	1	4			1					12	2	14
II	6		2										1	1			2
II	12		1					2			1			1	2	1	4
II	16					1						1					1
III	3		1		3	1	2								1		1
III	5		1										5	1	1	7	15
III	7		8	4	3							9	4	2			
III	8		7	6	4		2					14	5				19
III	9		1			1		1					1	2			3
III	15		1		2			1				1	1	1			2
IV	1		1		2		1							6			6
Suma		21	20	15	5	8	3			1	1	23	37	12	2	74	



Tablica 1. Bornity, st. 12. 1–4) ceramika wczesnośredniowieczna, 5–8) ceramika późnośredniowieczna, 9–10) metalowe zabytki wydzielone (rys. B. Karch, fot. R. Solecki)

Zabytki wydzielone

W grupie zabytków wydzielonych znalazły się dwa przedmioty znalezione na wtórnym złóżu, w warstwie humusu. Pierwszy to żelazny nożyk z obustronnie wyodrębnionym trzpieniem w kształcie płaskiego kolca (tabl. 1:10) w omawianym egzemplarzu ułamanego. Ostrze ma równy tylec i ostrze łukowato zbiegające do szpica. Zachowana długość całego narzędzia to 67 mm, długość ostrza 52 mm, szerokość ostrza u nasady 11 mm, szerokość kolca do 9 mm. Zabytki tego typu nie są precyzyjnym datownikiem, a znaleziony egzemplarz można datować szeroko na wczesne średniowiecze. Drugi przedmiot to żelazny gwóźdź z prostokątnym w przekroju ostrzem oraz niewyodrębnioną, trójkątną główką (tabl. 1:9). Zachowana długość to 46 mm, wymiary ostrza w przekroju to 2 × 6 mm, a szerokość główki to 11 mm. Zbliżony kształtem, tylko bardziej zniszczony gwóźdź znaleziono w Bornitach w 2017 roku i przypisano go wczesnośredniowiecznej fazy użytkowej¹³.

CHRONOLOGIA I DZIEJE GRODZISKA W BORNITACH, ST. 12

RAFAŁ SOLECKI

Badania archeologiczne przeprowadzone w 2017 roku na grodzisku w Bornitach pozwoliły na scharakteryzowanie jego fazy osadniczej datowanej na przełom IX i X wieku. Dzięki znalezionym wtedy zabytkom nie tylko ustalono chronologię (wynika datowania radiowęglowego to 1120 +/- 40 BP, po kalibracji 889–979 n.e. z prawdopodobieństwem 68,2%), ale także określono prawdopodobne powiązania tego stanowiska z faktorią handlową w Truso, której relikty znajdują się w oddalonym o około 37 km na południowy zachód Janowie Pomorskim¹⁴. Badania przeprowadzone w 2021 roku także potwierdziły tę fazę w obrębie fosy I, która musiała funkcjonować z wałem I. Wyniki próby węgla pobrane z wypełniska fosy dały jednak nieco wcześniejsze datowanie. Wynik przed kalibracją to 1260 +/- 30 BP, a po kalibracji 668–874 n.e. z prawdopodobieństwem 95,4% i 668–778 n.e. przy prawdopodobieństwie 74,6%¹⁵. Zbliżony wynik dała analiza

¹³ Wadyl i Martyka 2019: 84–85, ryc. 8:i.

¹⁴ Wadyl i Martyka 2019: 86–91.

¹⁵ Analiza przeprowadzona w Poznańskim Laboratorium Radiowęglowym, próba nr Poz-149697.

drugiej próby pobranej z warstwy nasypowej wału II. Tam wynik przed kalibracją to 1235 +/- 30 BP, a po kalibracji 680–883 n.e. z prawdopodobieństwem 95,4% i 759–883 n.e. przy prawdopodobieństwie 62,0%. Różnica w datowaniu prób z 2017 i 2021 roku mierzona przed kalibracją mieści się w zakresie około 115–140 lat. Biorąc pod uwagę fakt, że próby z 2021 roku były nieduże i nie pozwalały na określenie, z której części pnia drzewa pochodzą, nie można wykluczyć, że zaistniał tu efekt „starego drewna”¹⁶. Oprócz datowania radiowęglowego posiliwano się tu jednak także analizą ceramiki pochodzącej z warstw kulturowych, a tu w obu przypadkach wystąpił materiał o zbliżonych cechach technologicznych i stylistycznych. Można zatem przyjąć, że starsza faza grodziska w Bornitach, obejmująca majdan i wyznaczające jego północną krawędź wał I i fosa I funkcjonowała od drugiej połowy IX, po początek X wieku.

Kolejna faza osadnicza nastąpiła po dłuższej przerwie, dopiero w późnym średniowieczu. Na ten okres można datować powstanie fosy II i wału III. W jednostkach stratygraficznych związanych z tymi obiektami znaleziono ceramikę ceglastą, którą można datować szacunkowo na przełom XV i XVI wieku. Trudno jednoznacznie określić, jaką rolę miały te umocnienia spełniać, gdyż w okresie tym grodziska o tradycyjnej formie majdanu otoczonego wałem ziemnym już przestają funkcjonować. W przypadku niedużego założenia obronnego należało spodziewać się raczej gródka stożkowatego lub dworu obronnego, a przy założeniach większych zamku z umocnieniami murowanymi. Tu reliktów tego typu fortyfikacji brak. Być może więc były to wały usypane na potrzeby tymczasowego schronienia dla mieszkańców pobliskich wsi Małe Kierpajmy, Wielkie Kierpajmy i Bornity, które to miejscowości położone są w odległości do 2 km od grodziska. Refugium odtworzono na starszych umocnieniach być może przy okazji działań zbrojnych wojny polsko-krzyżackiej z lat 1519–1521. W jej trakcie bowiem wiele okolicznych wsi ucierpiało, w tym spłonęły pobliskie Pieniężno¹⁷. Krótki tymczasowy pobyt tłumaczyły, czemu nie uchwycono warstwy kulturowej z tego okresu na obszarze majdanu, a manifestuje się ona w jednostkach stratygraficznych związanych z nadbudową starszego wału i budowie nowych.

¹⁶ Kadrow 1994: 147–149

¹⁷ Biskup 2019: 121–123.

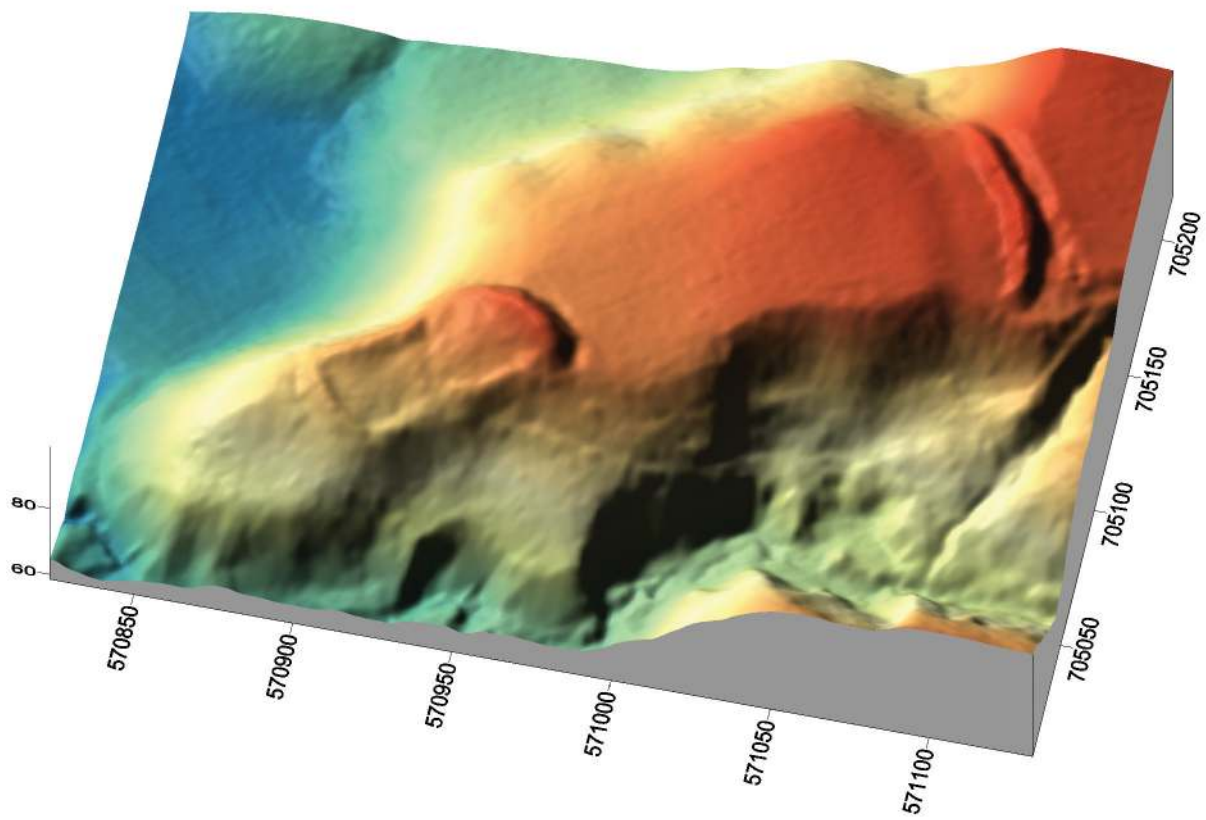
Nie w pełni rozwiązana pozostaje kwestia wału II. Ma on układ zbliżony do wału I, a próba węgla pozyskana z nasypu tworzącego wał dała po kalibracji przedział lat 680–883 n.e. z prawdopodobieństwem 95,4%. Jednocześnie jednak w warstwie tej znaleziono ceramikę ceglastą o późnośredniowiecznej chronologii. Wydaje się więc bardziej prawdopodobne, że wał II powstał w późnym średniowieczu, a fakt, że odnaleziono w nim stary węgiel wynika z tego, że materiał potrzebny do budowy wału pobierano z najbliższej okolicy, w tym z warstw erozyjnych, które spłyły z wału I do fosy I. Próba węgla pobrana z zachowanej szczątkowo wczesnośredniowiecznej warstwy powstała w obrębie fosy I dała po kalibracji przedział lat 668–874 n.e.

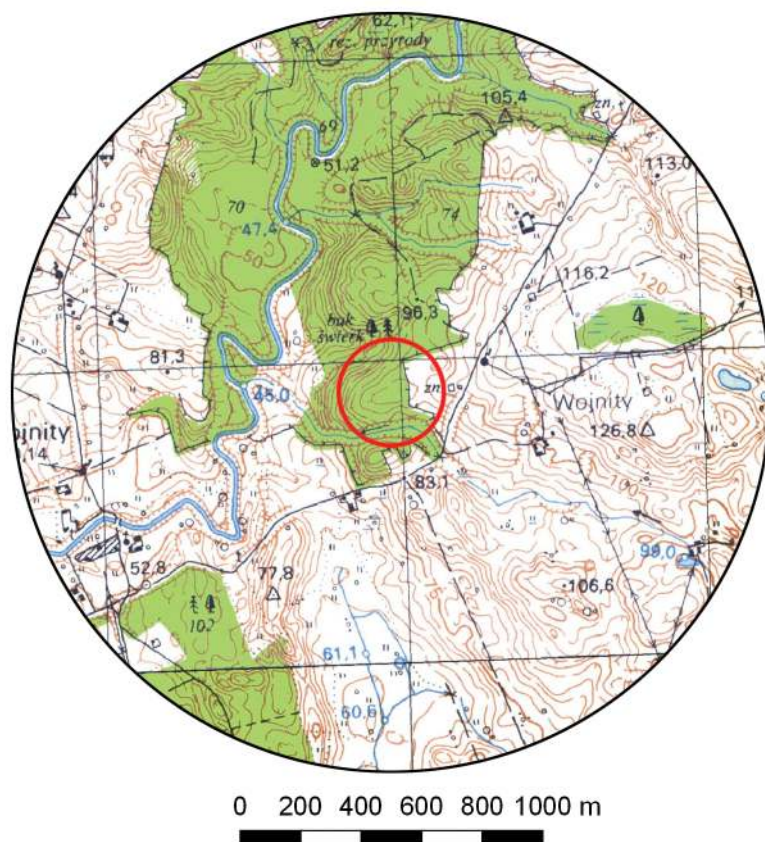
z prawdopodobieństwem 95,4%. Wskazane byłoby zatem zweryfikowanie układu stratygraficznego w obrębie wału II na innym odcinku, gdzie być może relikt starszego, wcześnieśredniowiecznego wału będzie widoczny poniżej późnośredniowiecznego nasypu.

Grodzisko w Bornitach pozwoliło nieco inaczej spojrzeć na zaplecze funkcjonowania faktorii w Truso. Odnalezione tu w 2017 roku zabytki jednoznacznie wskazują na silną relację łączącą te dwa stanowiska. Badania z 2021 roku w Bornitach nieco tylko rozwinęły dzieje tego miejsca o epizod późnośredniowieczny. Pozwoliły jednak na rozdzielenie umocnień związanych ze starszym założeniem grodowym od młodszych fortyfikacji, które były elementem refugium.

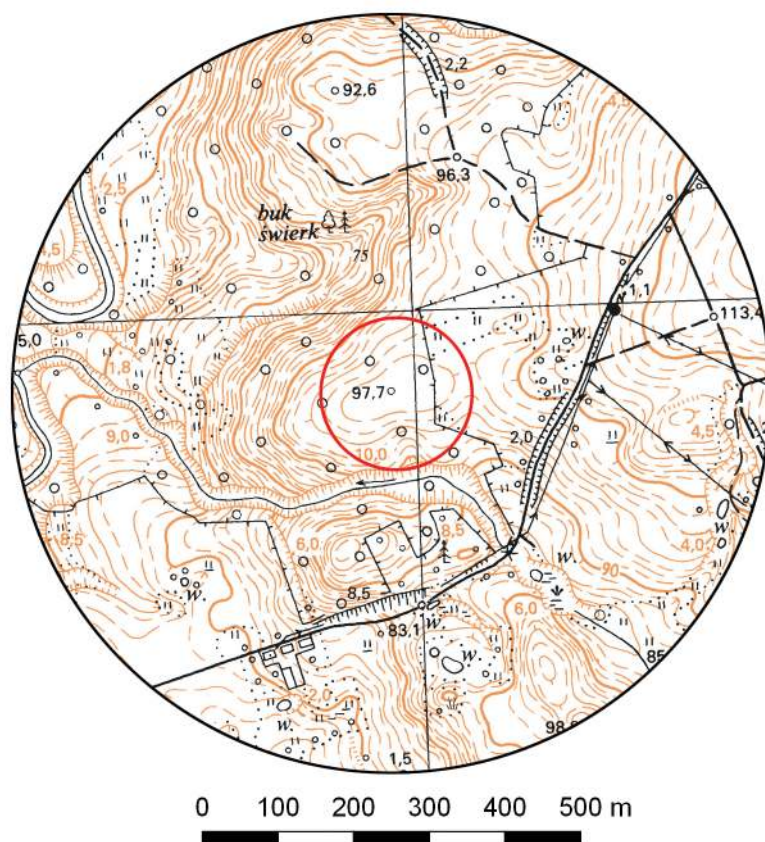
Wojnity, st. 1

Gmina Pieniężno
Powiat braniewski
AZP 15-57/34
Współrzędne geograficzne:
N 54° 12' 18"
E 20° 5' 17"





Ryc. 1. Grodzisko w Wojnitach, st. 1
na mapie w skali 1:25 000
(na podstawie materiałów GUGiK,
oprac. R. Solecki)



Ryc. 2. Grodzisko w Wojnitach, st. 1
na mapie w skali 1:10 000
(na podstawie materiałów GUGiK,
oprac. R. Solecki)

POŁOŻENIE GRODZISKA I JEGO FORMA

DANIEL SKOCZYLAS I RAFAŁ SOLECKI

Grodzisko w Wojnitach, (niem. *Woynitt*), st. 1 położone jest w odległości około 1 km na północny wschód od wsi Wojnity. Obecnie stanowisko znajduje się w obrębie ewidencyjnym Kajnity (niem. *Heistern*), od których odległe jest o 2,8 km na południowy wschód. W kwietniu 1987 roku stanowisko było weryfikowane w terenie przez Marka Szymczyka, który wykonał dla niego Kartę Ewidencji Stanowiska Archeologicznego¹. W sprawozdaniu z przeprowadzonego rozpoznania autor opisał stanowisko następująco: „grodzisko o nieustalonej chronologii i przynależności kulturowej”².

Grodzisko znane było już badaczom niemieckim. Na początku XIX wieku opisał je i naszkicował Johann Michael Guise (ryc. 3). W 1894 roku wzmiarkował o nim Adolf Bötticher³, następnie w 1908 roku w swym spisie wymienił je Emil Hollack (przypisując je do Pienieżna, niem. *Mehlsack*), nazywając *Burgwall*⁴, a później dwukrotnie opisał je również Hans Crome w 1937 i 1940 roku, nazywając *Schwedenschanzen* oraz *Flieburg* i określając chronologię stanowiska jako staropruską⁵. Na niemieckich mapach stano-

wisko oznaczano nazwą *Schweden shanze*⁶ i *Schanze K.D.*⁷. Grodzisko zostało także skatalogowane w okresie międzywojennym, a jego karta (ryc. 4) znajduje się w zbiorze *Burgwallkartei*, przechowywanym obecnie w *Die Prussia-Sammlung w Museum für Vor- und Frühgeschichte* w Berlinie.

Pomimo że grodzisko znane było od dawna, dopiero w 2021 roku przeprowadzono pierwsze wykopaliskowe badania weryfikacyjne. Było to o tyle konieczne, że dotychczasowa chronologia stanowiska opierała się na sugestiach badaczy niemieckich niepopartych żadnymi źródłami.

Stanowisko położone jest na wysokim cyplu. Od południa opływa je bezimienny strumień, który około 300 m dalej wpada do rzeki Wałszy. Różnica wysokości pomiędzy dnem doliny strumienia a powierzchnią majdanu dochodzi do 23 m, a różnica wysokości pomiędzy doliną Wałszy a powierzchnią majdanu dochodzi do 33 m.

Grodzisko posiada dwa wały i fosę (ryc. 5). Wał zewnętrzny wraz z fosą odcina cypel od wysoczyzny. Pomiędzy wałem zewnętrzny i wewnętrznym znajduje się *plateau* o wymiarach około 45 × 135 m i powierzchni około 78 arów. Tak duży rozmiar może wskazywać, że jest to umocnione podgrodzie. Wał wewnętrzny ma w rzucie poziomym kształt nieregularnego prostokąta, wydętego w kierunku podgrodzia i z zaokrąglonymi narożnikami od strony doliny. Wydzielony przez

¹ KESA 15-57/34.

² Sprawozdanie z badań powierzchniowych obszaru AZP 15-57; w archiwum NID.

³ Bötticher 1894: 177; Łapo 2009: 279.

⁴ Hollack 1908: 98.

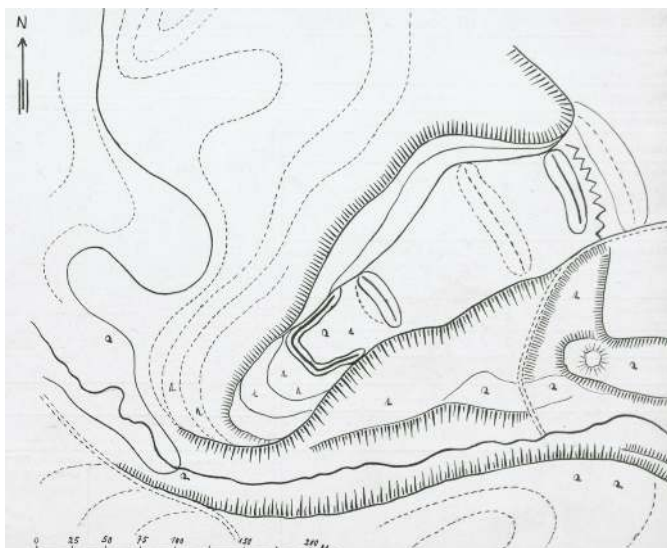
⁵ Crome 1937: 103; 1940: 144.

⁶ *Topographische Karte 1:25 000 (Meßtischblatt)*, karta *Mehlsack* (471), z 1913 r.

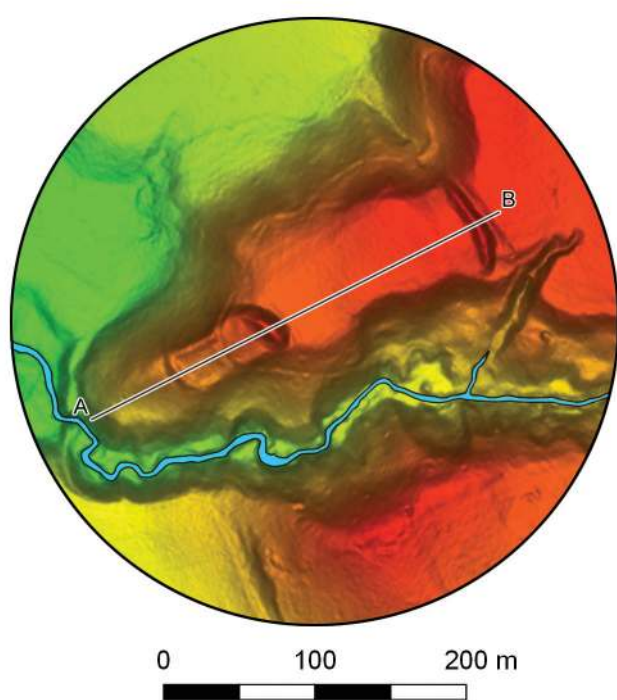
⁷ *Topographische Karte 1:25 000 (Meßtischblatt)*, karta *Mehlsack* (471/1786), z 1932 r.



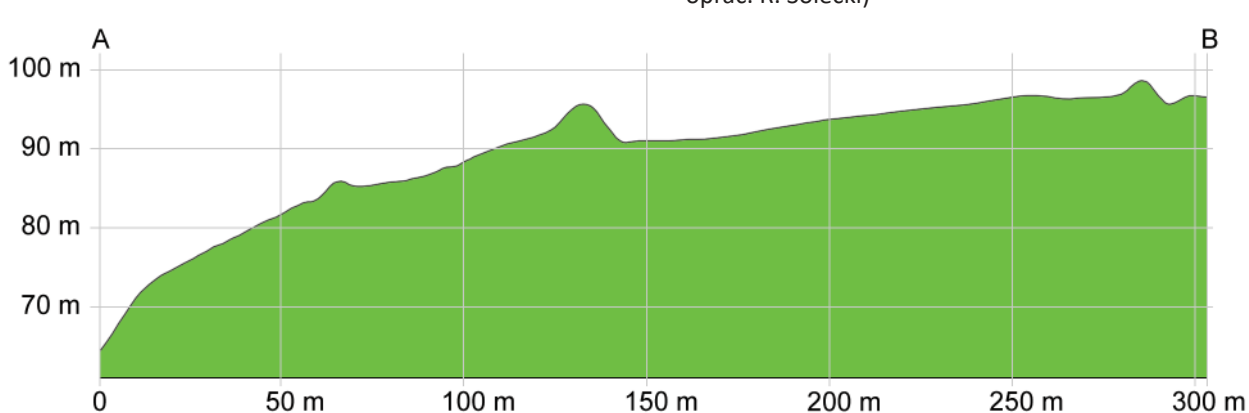
Ryc. 3. Grodzisko w Wojnitach, st. 1 na szkicu J.M. Guisego, lata 30. XIX wieku
(źródło: Staatliche Museen zu Berlin, Museum für Vor- und Frühgeschichte, PM-IXh 001955)



Ryc. 4. Grodzisko w Wojnitach, st. 1 na karcie ze zbioru *Burgwall-kartei* (źródło: Staatliche Museen zu Berlin, Museum für Vor- und Frühgeschichte, PM-IKh)



Ryc. 5. Grodzisko w Wojnitach, st. 1 na zobrazowaniu ALS (na podstawie materiałów GUGiK, oprac. R. Solecki)



Ryc. 6. Przekrój grodziska w Wojnitach, st. 1 uzyskany z danych ALS (na podstawie materiałów GUGiK, oprac. R. Solecki)

wał wewnętrzny majdan (ryc. 9) ma wymiary 16×50 m i powierzchnię około 9,8 ara. Zównego powierzchnia podrodzia, jak i majdanu lekko opadają w kierunku zachodnim (ryc. 6). Wał zewnętrzny (ryc. 7) ma długość 65 m i szerokość u podstawy do 10 m. Jego wyso-

kość względem powierzchni od strony podrodzia dochodzi do 2,2 m, a wysokość względem dna fosy dochodzi do 2,7 m. Najwyższy punkt wału osiąga poziom 98,8 m n.p.m. Jest to zarazem najwyższy punkt w granicach całego grodziska. Wał wewnętrzny (ryc. 8) ma



Ryc. 7. Wojnity, st. 1. Widok ze szczytu wału zewnętrznego w kierunku północnym (fot. R. Solecki)



Ryc. 8. Wojnity, st. 1. Widok ze szczytu wału wewnętrznego w kierunku południowo-wschodnim (fot. R. Solecki)

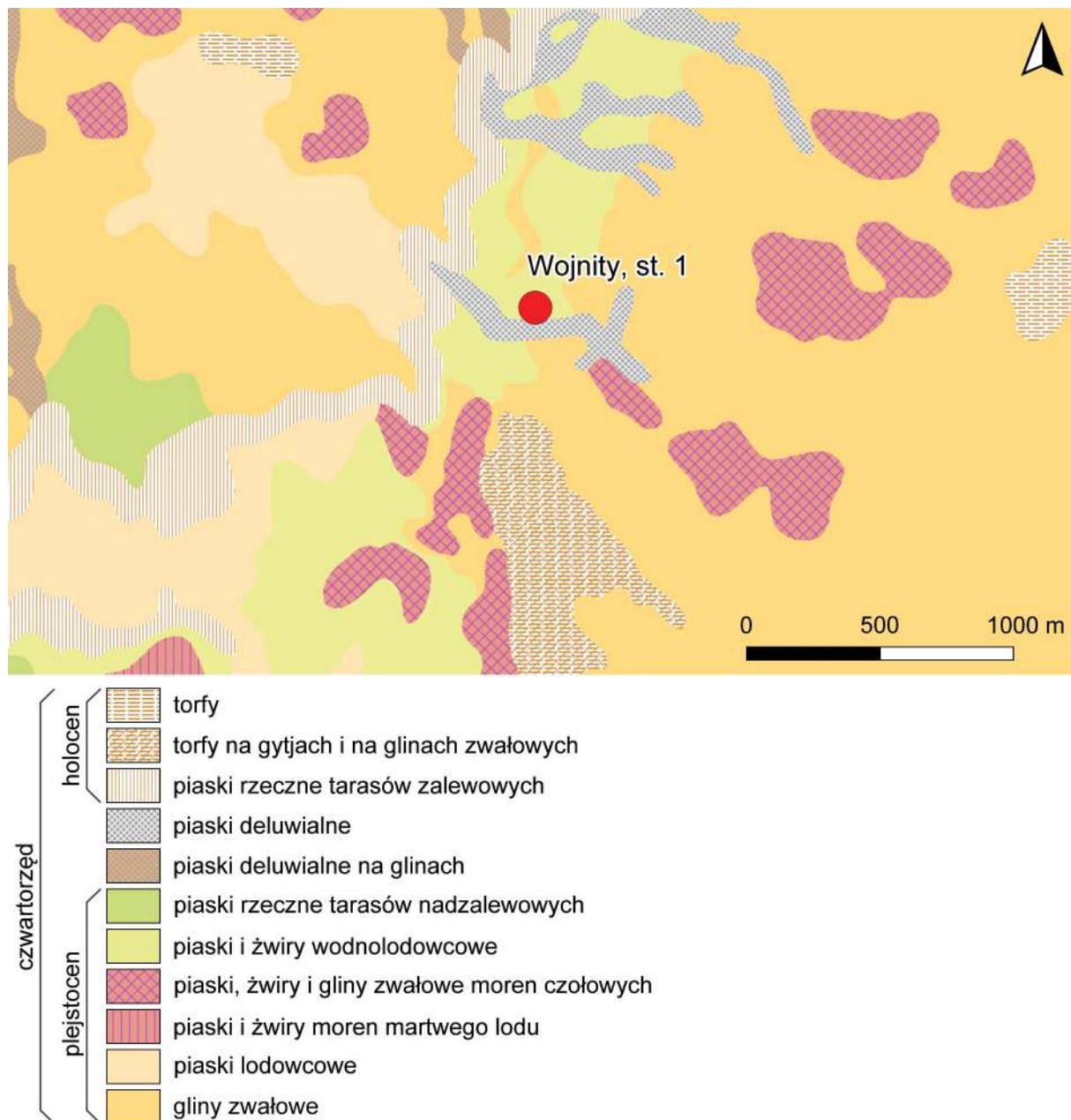


Ryc. 9. Wojnity, st. 1. Widok ze szczytu wału wewnętrznego na majdan (fot. R. Solecki)

długość 168 m, a szerokość u podstawy w najszerszym miejscu (od strony podgrodzia) dochodzi do 19 m. Wysokość wału wewnętrznego na odcinku, gdzie rozdziela ona majdan i podgrodzie dochodzi do 4,8 m, a najwyższy punkt osiąga poziom 96,6 m n.p.m. Wał ten od strony doliny jest wyraźnie mniejszy. Jego średnia wysokość wynosi około 1 m, przy szerokości u podstawy 5–7 m. Na samym końcu cypla, już poza umocnieniami wału wewnętrznego, znajduje się małe wypłaszczenie, które

być może także było związane z grodziskiem. Powierzchnia całego stanowiska wynosi około 1,4 ha.

Grodzisko znajduje się na obszarze zalesionym. Jego powierzchnię porasta las mieszany. Na obszarze majdanu dominują gatunki liściaste, głównie dąb, rzadziej olcha i brzoza. Na dużej części podgrodzia rosną młode świerki, które uniemożliwiają prowadzenie tam badań. Przedpole grodziska porastają sosny i dęby.



Ryc. 10. Wycinek arkusza Szczegółowej Mapy Geologicznej Polski z zaznaczonym stanowiskiem w Wojnitach, st. 1 (źródło: www.cbdgmapa.pgi.gov.pl/arcgis/services/kartografia/smgp50k/MapServer/WMServer, oprac. R. Solecki)

ŚRODOWISKO FIZYCZNOGEOGRAFICZNE RAFAŁ SOLECKI

Według podziału fizycznogeograficznego Polski Jerzego Kondrackiego grodzisko w Wojnitech, st. 1 znajduje się w makroregionie Nizina Staropruska i mezoregionie Wzniesienia Górowskie⁸. Zaktualizowany podział fizycznogeograficzny Polski⁹ zaproponowany przez zespół pod kierownictwem Jerzego Solona nie zmienia przypisania stanowiska do mezoregionu, ale pozwala stwierdzić, że znajduje

się ono przy jego południowej granicy, gdzie przechodzi w Równinę Ornecką. Jak zauważa J. Kondracki obszar ten ma dobrze rozwinięty system dolin, a rzadkością są jeziora¹⁰.

Grodzisko położone jest przy południowym końcu głębokiego jaru przecinającego wysoczyznę polodowcową, którego dnem płynie rzeka Wałsza. Stoki tego jaru mają wysokość dochodzącą do 50 m. Na około czterokilometrowym odcinku tego jaru, który ciągnie się od Pieniężna do Wojnit, poziom rzeki opada o niemal 20 m, z około 69 m na 49 m n.p.m.¹¹ Wartki nurt rzeki wypłukał tu gliny zwałowe odsłaniając liczne głazy, któ-

⁸ Kondracki 2002: 101–102.

⁹ Solon *et al.* 2018.

¹⁰ Kondracki 2002: 101.

¹¹ Rabek i Młyńczak 2002: 11–12.

rymi wyłożone jest dno doliny. Cały pas doliny porośnięty jest lasami grądowymi i łągowymi. Obszar ten w 1957 roku został objęty ochroną w ramach rezerwatu „Dolina rzeki Wałszy” w zarządzie Nadleśnictwa Orneta¹².

Według *Szczegółowej Mapy Geologicznej Polski* w skali 1:50 000 (ryc. 10) na obszarze stanowiska występują piaski i żwiry wodnolodowcowe powstałe w stadiale górnym zlodowacenia Polski. Zalegają one na glinach zwałowych, które występują w obrębie sasa-dującej ze stanowiskiem wysoczyzny. W dolinie znajdującej się bezpośrednio na południe od grodziska występują piaski deluwialne¹³. Według *Mapy Litogenetycznej Polski* w skali 1:50 000 stanowisko znajduje się na obszarze występowania piasków żwirowatych pochodenia wodnolodowcowego. Według *Mapy Hydrogeologicznej Polski* w skali 1:50 000 tuż obok grodziska, w dolinie rzeki Wałszy wybija źródło wody.

¹² Antolak 2013: 16–17.

¹³ Rabek i Młyńczak 2002.

BADANIA ARCHEOLOGICZNE

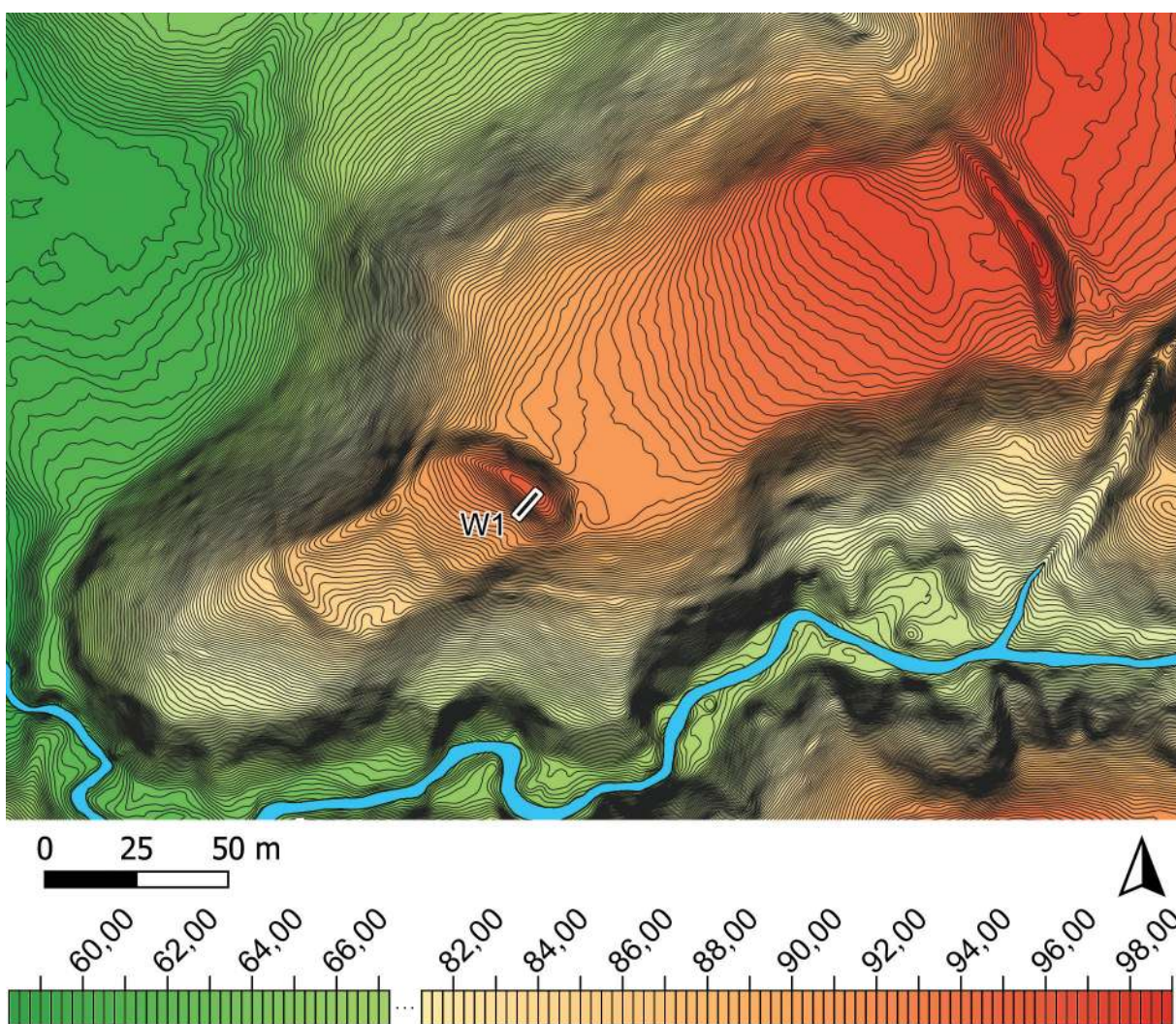
DANIEL SKOCZYLAS I RAFAŁ SOLECKI

Przebieg badań terenowych

Do badań wytypowano część wału wewnętrznego, na odcinku gdzie rozdziela on podgrodzie i majdan, w miejscu występowania na powierzchni pojedynczych fragmentów ceramiki. Wykop archeologiczny (W1) wytyczono w taki sposób, aby przecinał nasyp wału i wkraczał na majdan. Wymiary wykopu wynosiły 2 × 9 m, a jego lokalizację w obrębie stanowiska przedstawia rycina 11.

Stratygrafia stanowiska

W trakcie omawianych badań archeologicznych wydzielono łącznie 24 jednostki stratygraficzne (tabela 1). Możliwe było ich rozdzielanie pomiędzy warstwy naturalne i trzy fazy „użytkowe”. Diagram Harrisa dla wydzielonych jednostek stratygraficznych przedstawia rycina 12, a zadokumentowane powierzchnie ryciny 13–14.



Ryc. 11. Wojnity, st. 1. Plan grodziska z naniesionym wykopem archeologicznym (oprac. R. Solecki)

Warstwy naturalne

W trakcie obecnych badań, jako jednostkę naturalną zidentyfikowano drobno-, średnio-, a w niższych partiach także gruboziarnisty piasek z żelazistymi wytrąceniami 9. Jego najwyższy zanotowany punkt znajdował się w osi wału wewnętrznego i osiągał poziom 93,65 m n.p.m.

Faza I

Z fazą I należy wiązać pierwsze ślady osadnictwa na obszarze stanowiska. Do fazy tej zaliczono sypki piasek z żelazistymi wytrąceniami 13, który znajduje się w osi widocznego w terenie wału. Obecnie warstwa ta ma miąższość do 15 cm, ale być może jest to relikt zniszczonego, najstarszego wału. Za taką interpretacją przemawia występowanie ponad tą warstwą grubego na niemal 25 cm pokładu piasku przemieszany z węglami drzewnymi 7, który może być pozostałością po zniszczonej konstrukcji drewnianej umacniającej wał. Dodatkowo, równolegle do osi wału, od strony majdanu, widoczny jest uchwycony fragmentarycznie rów 19, o przekroju nieckowatym, szerokości do 200 cm i głębokości do 70 cm, który mógł pełnić funkcję zagłębienia przywałowego. Z warstwy 7 pobrano próbę węgla do analizy radiowęglowej. Wynik tej analizy dał po kalibracji przedział lat 774–990 n.e. z prawdopodobieństwem 95,4%. Po obniżeniu prawdopodobieństwa do 89,6% przedział lat zwiększa się do okresu 827–990 n.e.¹⁴. Budowę umocnień należało zatem wiązać z wczesnośredniowiecznym osadnictwem plemion pruskich. Z warstw związanych z tą fazą nie pozyskano materiału zabytkowego, który mógłby potwierdzić taką chronologię.

Faza II

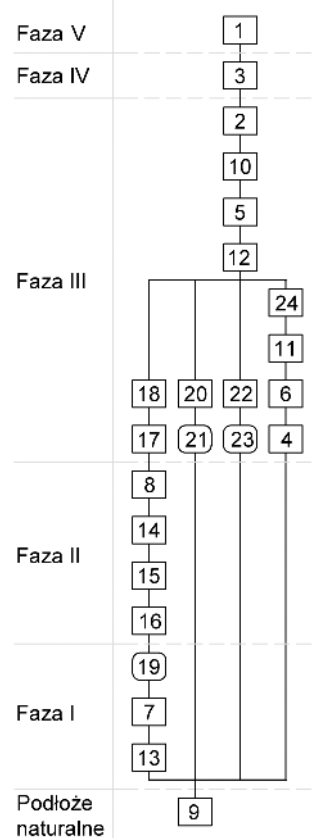
Do fazy II zaliczono jednostki stratygraficzne wydzielone w obrębie zagłębienia przywałowego 19. Znalazły się one tam najpewniej w wyniku bezpośrednio zniszczenia konstrukcji drewnianej, której fragmenty widoczne są w obrębie warstwy 7, a później także w wyniku procesów erozyjnych, które doprowadziły do wypełnienia zagłębienia. W kolejności stratygraficznej wydzielone jednostki to: sypki piasek 16, nieregularne soczewki piasku z dużą domieszką węgli drzewnych 15, sypki piasek przemieszany z drobinami węgla

drzewnych 14 oraz sypki piasek 8. Z warstwy tej nie pozyskano żadnego materiału zabytkowego.

Faza III

Faza ta wyznacza okres odbudowy starszego wału w nowej, zdecydowanie masywniejszej formie. Proces budowy wału można podzielić na trzy etapy:

- przygotowanie obszaru pod planowaną budowę. W ramach tych prac rozgarnięto starszy wał, a materiałem z niego – sypkim piaskiem z pojedynczymi drobinami węgla drzewnych 17 oraz piaskiem przemieszanym z dużą domieszką węgla drzewnego 18 – wyrównano pozostałość po zagłębianiu przywałowym;
- wygrodzenie pasa ziemi pod przyszły wał. Być może śladem takiego wygradzania są dołki posłupowe, które zadokumentowano w odległości około 4,5 m od osi wału, od strony majdanu. Pierwszy dołek 23 miał średnicę 30–40 cm i głębokość do 20 cm. Jego wypełniskiem był piasek z dużą domieszką materii organicznej 22. Drugi wkop 21 uchwycono tylko fragmentarycznie, a jego pozostała część znajdowała się poza granicą wykopu. Jego wypeł-



Ryc. 12. Wojnity, st. 1. Diagram relacji stratygraficznych (oprac. R. Solecki)

¹⁴ Analiza przeprowadzona w Poznańskim Laboratorium Radiowęglowym, próba nr Poz-149693.

Tabela 1. Wojnity, st. 1. Katalog warstw i obiektów oraz ich zależności stratygraficznych (oprac. D. Skoczyłas i R. Solecki)

Numer jednostki	Numer obiektu	Numer wykopu	Położenie w obrębie stanowiska	Współrzędne geodezyczne (PUWG 1992)	Opis jednostki stratygraficznej	Barwa (Munsell)	Pozycja stratygraficzna	
							Zdaje się pod	Znajduje się nad
1	-	1	Obszar całego stanowiska	X=705081,7-705089,9; Y=570955,5-570963,0	Sypki piasek z bardzo dużą domieszką materii organicznej; miąższość do 30 cm; humus leśny	2.5Y 2/1	-	2, 3
2	-	1	Wał wewnętrzny	X=705085,6-705089,9; Y=570958,9-570963,0	Sypki piasek z domieszką materii organicznej; miąższość do 100 cm; nasyp wału wewnętrznego	2.5Y 7/3	1, 3	5, 10
3	-	1	Wał wewnętrzny i majdan	X=705081,7-705088,3; Y=570955,5-570961,8	Sypki piasek z dużą domieszką materii organicznej; miąższość do 30 cm; warstwa erozyjna	2.5Y 4/3	1	2, 4, 6, 10
4	-	1	Majdan	X=705081,7-705085,2; Y=570955,5-570959,1	Sypki piasek z domieszką materii organicznej i żelazistymi wytrąceniami; miąższość do 25 cm; niwelacja związana z formowaniem wału wewnętrznego	10YR 6/6	3, 6	9
5	-	1	Wał wewnętrzny	X=705085,2-705089,9; Y=570958,5-570963,0	Sypki piach z domieszką materii organicznej i pojedynczymi drobinami węgli drzewnych; miąższość do 75 cm; nasyp wału wewnętrznego	10YR 6/2	2, 10	7, 8, 12
6	-	1	Wał wewnętrzny i majdan	X=705082,4-705085,9; Y=570956,4-570959,3	Sypki piasek z domieszką materii organicznej i węglami drzewnymi; miąższość do 50 cm; poziom użytkowy u podnóża wału wewnętrznego	10YR 5/2	3, 10, 11	4, 9
7	-	1	Wał wewnętrzny	X=705087,1-705089,9; Y=570959,9-570963,0	Piaszek przemieszany z węglami drzewnymi; miąższość do 25 cm; destrukt drewnianej konstrukcji na szczytce wału wewnętrznego	10YR 2/1	5, 8, 12	13
8	19	1	Wał wewnętrzny	X=705085,7-705088,5; Y=570958,6-570961,9	Sypki piasek; miąższość do 45 cm; warstwa erozyjna w obiekcie 19	2.5Y 7/4	5, 12, 17, 18	7, 14
9	-	1	Obszar całego stanowiska	X=705081,7-705089,9; Y=570955,5-570963,0	Drobno-, średnio-, w niższych partiach także gruboziarnisty piasek z żelazistymi wytrąceniami; warstwa naturalna	2.5Y 9/4	4, 6, 8, 11, 12, 14, 16, 17, 19, 20, 21, 22, 23	-
10	-	1	Wał wewnętrzny	X=705083,0-705088,3; Y=570956,7-570962,0	Sypki piasek z domieszką materii organicznej; miąższość do 55 cm; nasyp wału wewnętrznego	10YR 6/4	2, 3	5, 6, 11, 12
11	-	1	Wał wewnętrzny	X=705084,0-705086,6; Y=570957,4-570960,3	Przemieszany piaszek z domieszką materii organicznej i pojedynczymi węglami drzewnymi; miąższość do 60 cm; nasyp wału wewnętrznego	10YR 6/3	10	6, 9, 12
12	-	1	Wał wewnętrzny	X=705084,9-705089,5; Y=570958,2-570962,6	Piaszek z domieszką materii organicznej i pojedynczymi węglami drzewnymi; miąższość do 50 cm; nasyp wału wewnętrznego	10YR 6/3	5, 10, 11	8, 17, 18, 20, 22
13	-	1	Wał wewnętrzny	X=705087,1-705089,9; Y=570959,9-570963,0	Sypki piasek z żelazistymi wytrąceniami; miąższość do 15 cm; nasyp wału wewnętrznego	10YR 8/4	7, 14, 16, 19	9
14	19	1	Wał wewnętrzny	X=705085,7-705088,5; Y=570958,6-570961,9	Sypki piasek przemieszany z drobinami węgli drzewnych; miąższość do 25 cm; warstwa erozyjna w obiekcie 19	10YR 4/1	8	7, 13, 15, 16, 19
15	19	1	Wał wewnętrzny	X=705085,7-705088,5; Y=570958,6-570961,9	Nieregularne soczewki piaszku z dużą domieszką węgli drzewnych; średnice w przedziałach 45–70 cm, miąższość do 10 cm; wypełnisko obiektu 19	10YR 3/1	14	16
16	19	1	Wał wewnętrzny	X=705085,7-705088,5; Y=570958,6-570961,9	Sypki piasek; miąższość do 10 cm; warstwa erozyjna w obiekcie 19	2.5Y 7/4	14, 15	9, 13, 19
17	-	1	Wał wewnętrzny	X=705085,7-705088,5; Y=570958,6-570961,9	Sypki piasek z pojedynczymi drobinami węgli drzewnych; miąższość do 20 cm; jedna z frakcji niwelacji	10YR 8/3	12, 18	8, 9
18	-	1	Wał wewnętrzny	X=705085,7-705088,5; Y=570958,6-570961,9	Nieregularna soczewka piasku przemieszanej z dużą domieszką węgli drzewnych; średnica 75–120 cm, miąższość do 15 cm; jedna z frakcji niwelacji	10YR 4/2	12	8, 17
19	19	1	Wał wewnętrzny	X=705085,7-705088,5; Y=570958,6-570961,9	Uchwycony fragmentarycznie wkop, być może rów, w przekroju nieckowaty; szerokość do 200 cm, głębokość do 70 cm; zagłębienie przywałowe?	-	8, 14, 16, 17	9, 13
20	21	1	Wał wewnętrzny	X=705086,1-705087,0; Y=570958,4-570959,1	Piaszek z dużą domieszką materii organicznej, wypełnisko obiektu 21	10YR 6/4	12	9, 21
21	21	1	Wał wewnętrzny	X=705086,1-705087,0; Y=570958,4-570959,1	Uchwycony fragmentarycznie wkop, U-kształtny w przekroju; średnica 10 cm, głębokość 20 cm; dołek posłupowy?	-	20	9
22	23	1	Wał wewnętrzny	X=705086,1-705087,0; Y=570958,4-570959,1	Piaszek z dużą domieszką materii organicznej, wypełnisko obiektu 23	10YR 6/4	12	9, 23

Tabela 1. Wojnity, st. 1. ciąg dalszy (oprac. D. Skoczyłas i R. Solecki)

Numer jednostki	Numer obiektu	Numer wykopu	Polozenie w obrębie stanowiska	Współrzędne geodezyjne (PUWG 1992)	Opis jednostki stratygraficznej	Barwa (Munsell)	Pozycja stratygraficzna	
							Zdajduje się pod	Znajduje się nad
23	23	1	Wał wewnętrzny	X=705086,1-705087,0; Y=570958,4-570959,1	Regularny wkop, ovalny w planie, U-kształtny w przekroju; średnica 30-40 cm, głębokość 20 cm; dotek posłupowy	-	22	9
24	-	1	Wał wewnętrzny	X=705084,0-705086,6; Y=570957,4-570960,3	Nieregularne soczewki piasku z dużą domieszką węgli drzewnych; średnice w przedziałach 15-65 cm, miąższość do 10 cm; destrukt konstrukcji drewnianej	10YR 3/1	12	22

niskiem był piasek z dużą domieszką materii organicznej 20. Przy dołkach tych zarejestrowano układające się horyzontalne nieregularne soczewki piasku z dużą domieszką węgli drzewnych 24, które są prawdopodobnie pozostałościami po spalonej i połamanych elementach drewnianych – być może szalunku trzymającym nasyp ziemny;

- budowa nasypu wału. Ziemię na nasyp brano z najbliższego sąsiedztwa wału, obniżając poziom gruntu wzdłuż jego krawędzi. Obniżenia są dobrze widoczne na Numerycznym Modelu Terenu i na przekroju stanowiska (ryc. 5-6). W W1, u podstawy wału, nie zanotowano ani humusu pierwotnego, ani starszych warstw kulturowych. Ponad calcem znajdowała się niwelacja z redeponowanego piasku calcowego – sypki piasek z domieszką materii organicznej i żelazistymi wytrąceniami 4. Nasyp wału tworzą kolejno: piasek z domieszką materii organicznej i pojedynczymi węglami drzewnymi 12, promieszany piasek z domieszką materii organicznej i pojedynczymi węglami drzewnymi 11, sypki piach z domieszką materii organicznej i pojedynczymi drobnymi węgli drzewnych 5, sypki piasek z domieszką materii organicznej 10 oraz sypki piasek z domieszką materii organicznej 2. Wysokość stworzonego w ten sposób nasypu dochodzi do 165 cm.

W ramach komentarza do formy stworzonego w ten sposób nasypu wału warto wskazać, że pobierana na potrzeby budowy ziemia to starsze warstwy kulturowe przemieszczone z zalegającym poniżej nich piaskiem calcowym. Drugie spostrzeżenie to hipotetyczna interpretacja dotycząca wzajemnych relacji warstw 10, 11 i 12. Wszystkie one tworzyły nasyp wału, ale ich zadokumentowany układ powstał najpewniej nieco później – w wyniku osunięcia się części stoku od strony majdanu. Osunięcie nastąpiło z kolei zapewne w wyni-

ku uszkodzenia szalunku, który tworzyły ślupy z dołów posłupowych 21 i 23, które wiadocznne są jedynie w obrębie calca, a wyżej nie mają kontynuacji. Zadokumentowane w górnej części warstwy 11 soczewki piasku z dużą domieszką węgli drzewnych 24 to być może pozostałość po uszkodzonym szalunku. Obsunięcie się stoku spowodowałoby także przesunięcie się warstwy kulturowej, która na nim się wytworzyła. To mogłoby tłumaczyć, czym jest nieregularny konglomerat sypkiego piasku z domieszką materii organicznej i węglami drzewnymi 6, który wydzielono u podstawy nasypu wału. Być może jest to pozostałość, po osuniętej warstwie kulturowej z okresu funkcjonowania wału?

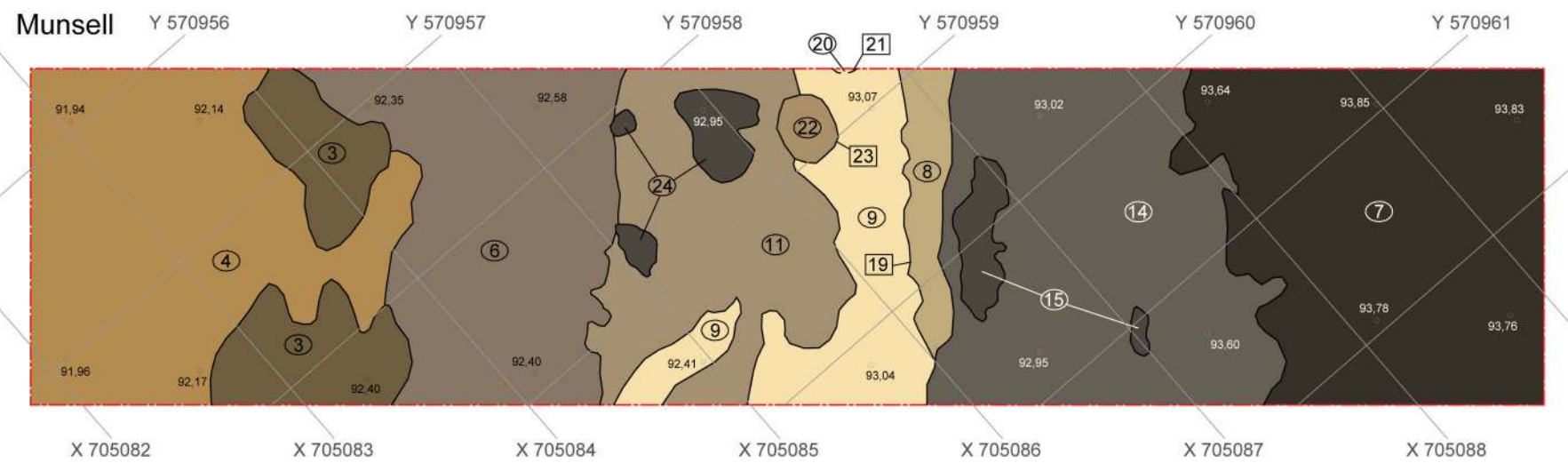
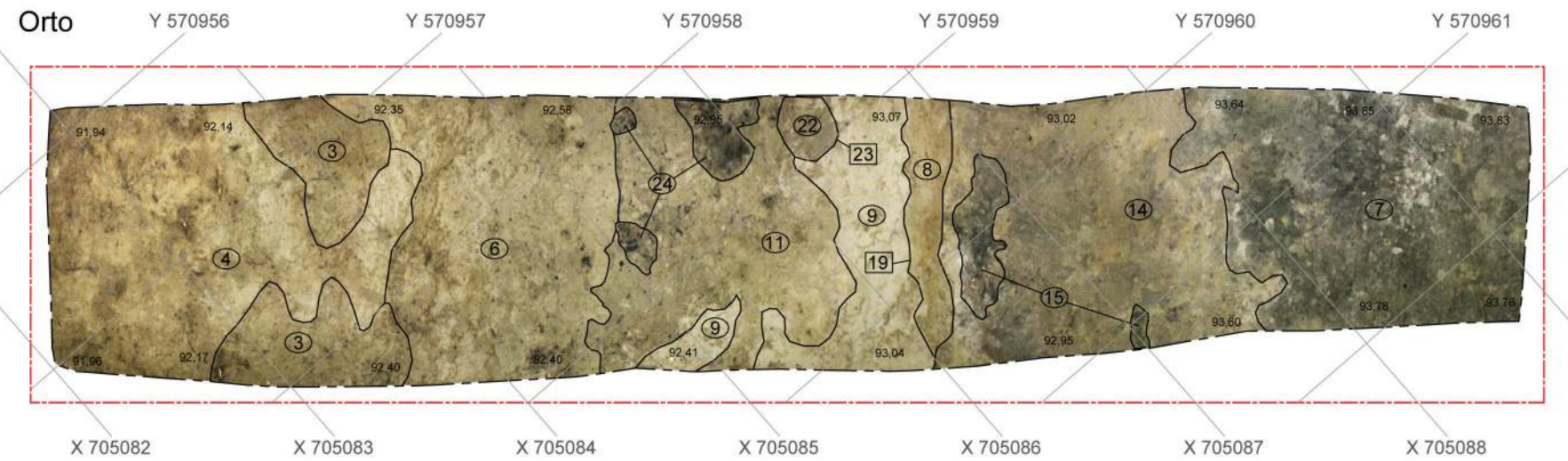
W warstwach przypisanych do tej fazy znaleziono materiał zabytkowy, którego najmłodszy zbiór można datować szacunkowo na XIV–XV wiek, co pozwalałoby na wiązanie tej fazy osadniczej z okresem krzyżackim.

Faza IV

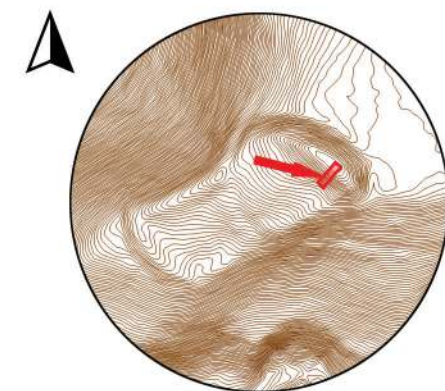
Po opuszczeniu grodziska w późnym średniowieczu jego powierzchnia zaczęła ulegać procesom erozyjnym. Zarejestrowanymi śladami erozji jest sypki piasek z dużą domieszką materii organicznej 3, wydzielony na stoku wału od strony majdanu. W pozyskanym w trakcie badań materiale zabytkowym nie zanotowano zabytków wskazujących, że obszar ten był użytkowany aż do XX wieku.

Faza V

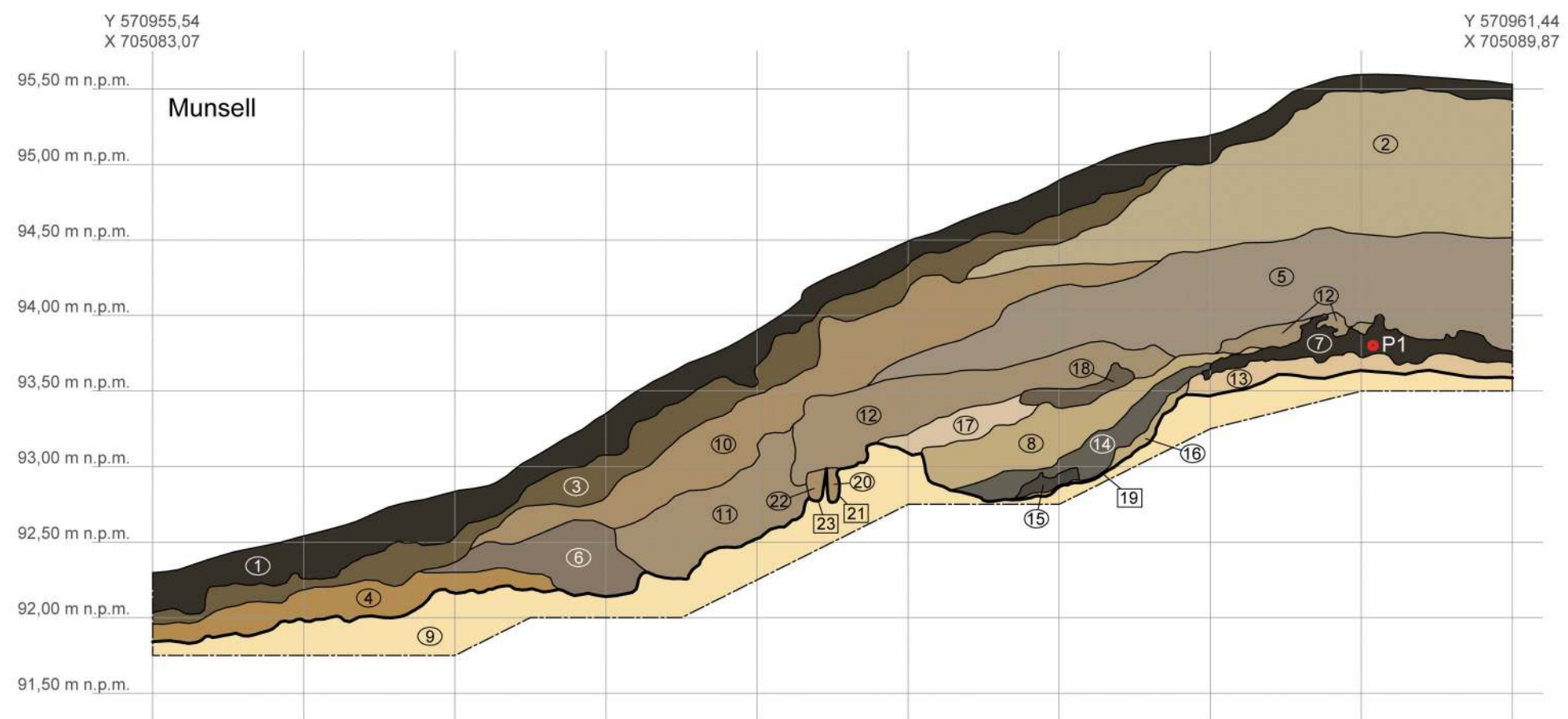
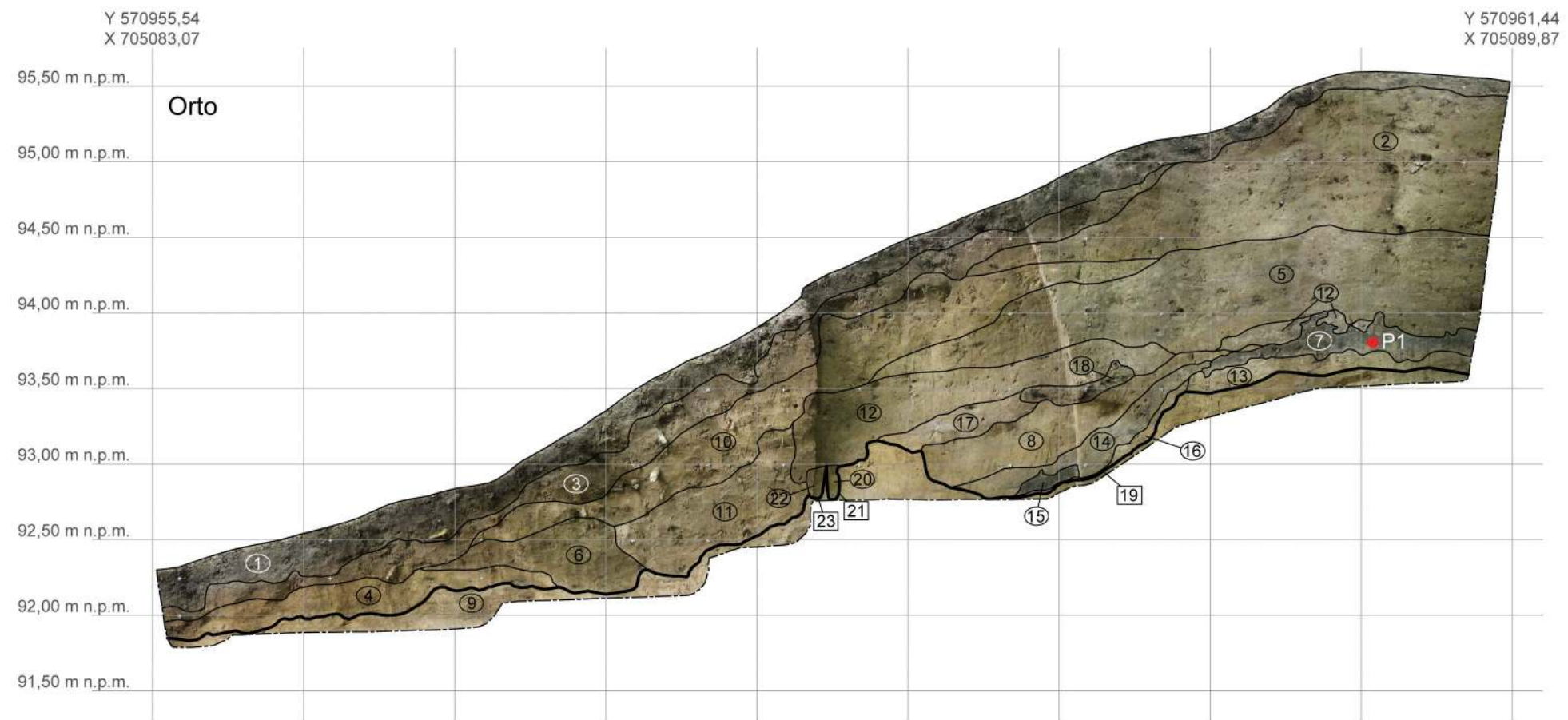
Faza ta wyznacza współczesny poziom użytkowy stanowiska. Warstwa przypisana do tego etapu to sypki piasek z bardzo dużą domieszką materii organicznej 1 – poziom dzisiejszego humusu leśnego. W wielu miejscach jest on naruszony przez zwierzęta, zapewne dziki. Na obszarze podgrodzia widoczne są także w wielu miejscach ślady po współczesnej, najpewniej z okresu II wojny światowej, działalności człowieka.



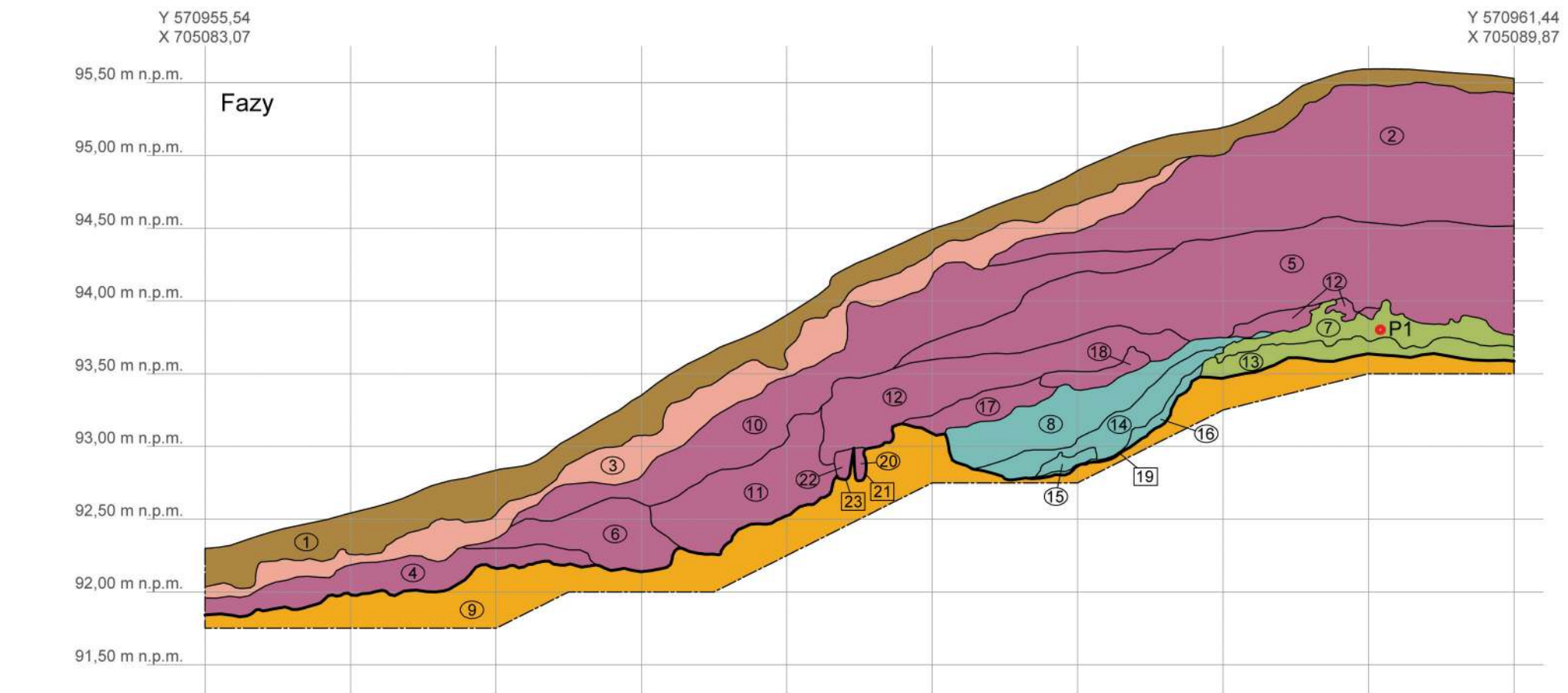
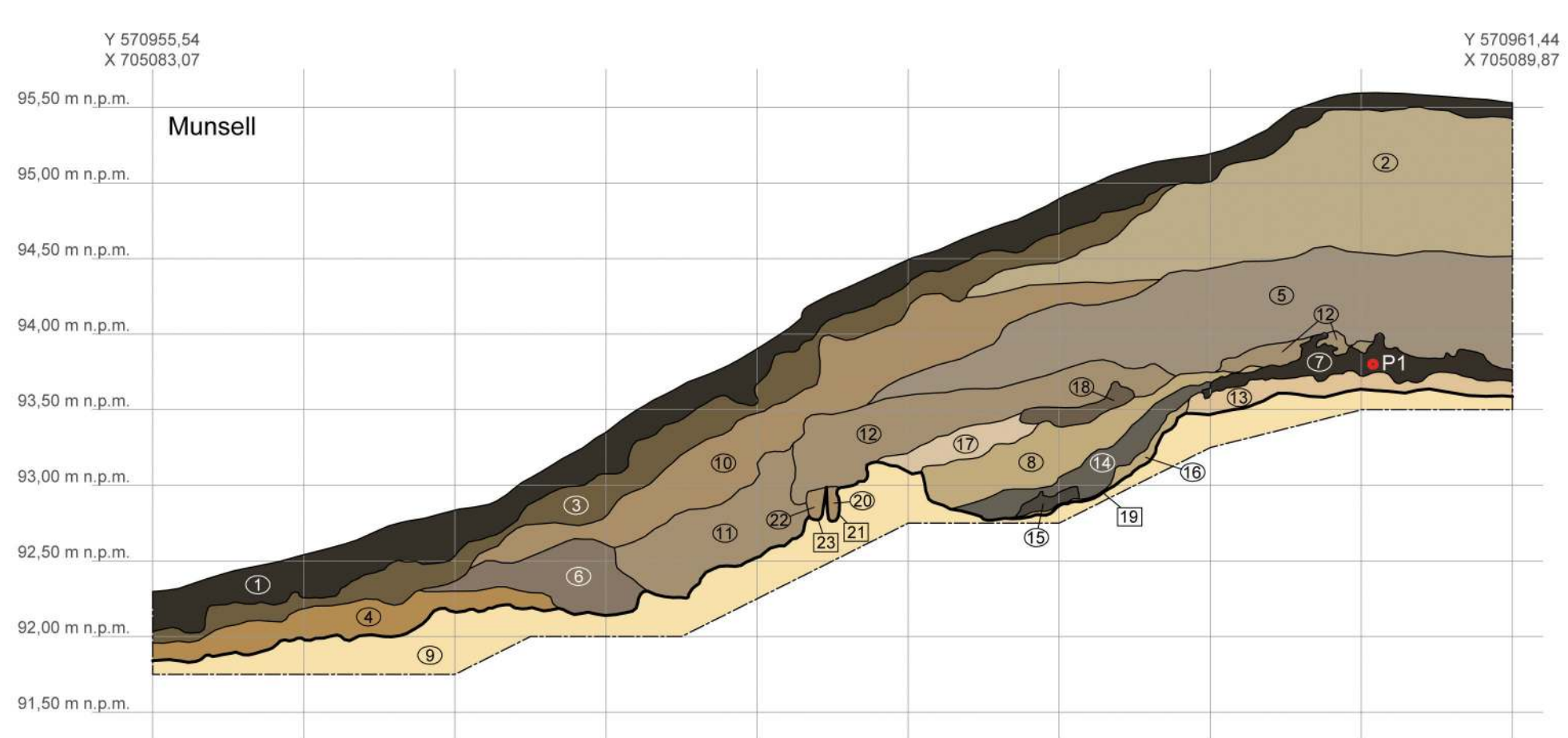
0 1 m



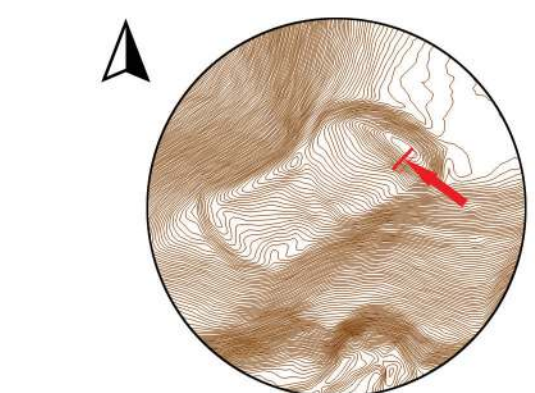
Ryc. 13. Wojnity, st. 1. Stratygrafia nawarstwień w obrębie wału wewnętrznego i krawędzi majdanu – wykop 1, plan (oprac. D. Skoczylas i R. Solecki)



Ryc. 14. Wojnity, st. 1. Stratygrafia nawarstwień w obrębie wału wewnętrznego i krawędzi majdanu – wykop 1, profil północno-zachodni (oprac. D. Skoczyłas i R. Solecki)



P1 – lata 774–990 n.e.
(prawdopodobieństwo 95,4%)



0 1 m

ZNALEZISKA

DANIEL SKOCZYLAS I RAFAŁ SOLECKI

Materiał zabytkowy pozyskany podczas badań archeologicznych na st. 1 w Wojnitach składał się z 17 fragmentów naczyń ceramicznych (tabela 2 i 3) oraz 15 zabytków wydzielonych (tablica 1 i 2).

Ceramika

Pozyskany zbiór 17 fragmentów w całości pochodzi z jednostek stratygraficznych zaliczonych do fazy III, w większości z warstw nasypowych tworzących wał grodziska. Ich stan zachowania można określić jako zadowalający. Przeważają co prawda skorupy małe, których największy wymiar mieści się w przedziale 1–4 cm (10 fragmentów, 58,8% zbioru), ale ich powierzchnia nie jest zniszczona. Stosując klasyfikację zaproponowaną przez Andrzeja Buko 16 fragmentów (94,1% całego zbioru) przypisano do kategorii I – ceramika nie wykazująca większego zniszczenia powierzchni¹⁵.

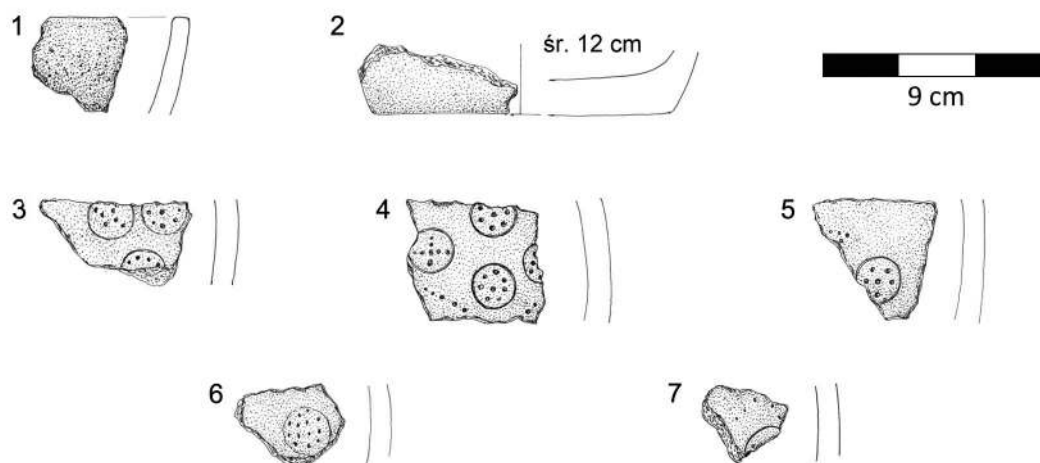
Przeprowadzona analiza wykazała, że pozyskane fragmenty ceramiki reprezentują generalnie jedną grupę technologiczno-sutrowcową. Proces wypału naczyń, z których pochodzą fragmenty, odbywał się w niezawansowanej atmosferze utleniającej. Po nasiąknięciu fragmenty nie kruszą się. Do wyrobu naczyń użyto masy ceramicznej zawierającej dużą ilość drobnej, średniej i grubiej domieszki schudzającej – piasku, drobin tarcznych kamieni, w tym sporadycznie miki, a także szamotu. Powierzchnia naczyń była często wygładzona. Po stronie wewnętrznej niemal

w każdym przypadku, po stronie zewnętrznej siedem fragmentów nosiło ślady zagłady. Grubość ścian wahala się w przedziale 7–10 mm ze średnią 8 mm. Grubość części dennych naczyń dochodzi do 13 mm. Na sześciu fragmentach zanotowano ślady osmalenia lub przepalenia.

W pozyskanym zbiorze był tylko jeden fragment wylewu (ryc. 15:1), ale jest on zbyt mały, aby możliwe było odtworzenie pełnej formy naczynia. Znaleziono także dwa fragmenty den. Jeden z nich (ryc. 15:2) pochodził z naczynia o płaskim dnie średnicy 12 cm. Na 5 fragmentach brzuśca zanotowano bardzo oryginalną formę zdobienia (ryc. 15:3–7). Były to odciśnięte okręgi średnicy około 18 mm, występujące w grupach, ale nie w stałych odstępach. W środku okręgów występowały naklucia w różnych układach – tworzące dookoła pierścień z pojedynczym nakluciem w środku, tworzące krzyż lub chaotycznie rozrzucone. Zanotowano w sumie 10 takich okręgów. Naklucia występowały także poza okręgami, gdzie układały się w linie, prawdopodobnie wydzielające pola na powierzchni naczynia.

Technologia wykonania naczyń przypomina tę, którą stosowano we wczesnym średniowieczu. Jednakże forma zdobienia powierzchni nie jest charakterystyczna dla tego okresu i brak jest bezpośrednich analogii w znaleziskach z obszaru Warmii i Mazur. Fragment ceramiki z odciskiem stempla w kształcie okręgu, ale z regularnym układem kropek, jest znany z wikińskiego miasta Kaupang w Norwegii, gdzie datowany jest szacunkowo na około VIII wiek n.e. Nie można jednak wykluczyć, że był on tam importem z południowego

¹⁵ Buko 1990: 352.



Ryc. 15. Wojnity, st. 1. Ceramika z jednostek stratygraficznych fazy II (rys. B. Karch)

Tabela 2. Zestawienie ilościowe fragmentów ceramiki z grodziska w Wojnitych, st. 1 (oprac. R. Solecki)

				Fragmenty o wypłukanej powierzchni			
				Fragmenty przepalone			
				Rodzaj		Dna	
				Płaskie		Rodzaj	
				Lekko wklęsłe		Dna	
				Wklęsłe		Rodzaj	
				SEN (procent obwodu)		Dna	
				Liczba fragmentów		Rodzaj	
				Części przydenne		Dna	
				Ucha		Rodzaj	
				Ornamentowane		Dna	
				Nieokreślone		Rodzaj	
				Szorstkie		Dna	
				Wyświecane		Rodzaj	
				Gładkie		Dna	
				Chropowaczone		Rodzaj	
				Liczba fr. ogółem		Dna	
				Szyjki		Rodzaj	
				Ornamentowane		Dna	
				SEN (procent obwodu)		Rodzaj	
				Liczba fragmentów		Dna	
				Liczba różnych naczyn		Rodzaj	
				Liczba fragmentów łącznie		Dna	
				Jednostka stratygraficzna		Rodzaj	
				Faza		Dna	
III	2	15	3	1	3	12	6
III	5	1	1			1	1
III	6	1	1			1	1
Suma	17	5	1	3	14	7	44

Tabela 3. Fragmentacja i erozja fragmentów ceramiki z grodziska w Wojnitych, st. 1 (oprac. R. Solecki)

Faza	Jedn. strat.	Kategorie wielkościowe (cm)								Stopień erozji	Suma
		1	2	3	4	5	6	7	8		
III	2		1	4	5	1	1	2	1		14
III	5						1			1	1
III	6						1			1	1
Suma		1	4	5	2	2	1			16	1
											17

wybrzeża Bałtyku¹⁶. Motyw kolistych stempli jest dość powszechny z zbiorze pozyskanym w trakcie badań w grodziska Słowian zachodnich w Groß Raden, w Niemczech wschodnich¹⁷. Zabytki z Wojnit wykonano jednak inną techniką (odcisk stempla i nakluwanie) i można je interpretować jedynie jako lokalne naśladowictwo tamtejszego wzoru. Czy ludność zamieszkująca grodzisko w Wojnitech mogła mieć kontakt z tego typu zabytkami? Być może tak, gdyż stanowisko położone jest w odległości około 40 km od Truso, portu funkcjonującego od końca VII do około XI wieku będącego ważnym punktem wymiany handlowej na Bałtyku¹⁸. Badania archeologiczne potwierdziły, że pobliskie (oddalone o 3,5 km na południowy zachód), posiadające niemal taką samą datę radiowęglową, co Wojnity, grodzisko w Bornitach¹⁹ miało kontakty z Truso. Nie można zatem wykluczyć, że z tego ośrodka napłynęły importowane zabytki, bądź inspiracje.

Zabytki wydzielone

Wszystkie zabytki pozyskano z warstwy humusu w granicach wykopu oraz obszaru, gdzie prowadzone były pomiary. W zbiorze tym znalazły się zabytki współczesne, ale także pojedyncze o metryce średniowiecznej, które znalazły się w humusie w drodze erozji starszych warstw kulturowych.

W zespole zabytków najstarszych znalazła się grupa trzech, fragmentarycznie zachowanych, noży żelaznych²⁰. Pierwszy z nich (tabl. 1:1) miał długość całkowitą 13,5 cm, wąską głownię o długości 9 cm, o lekko łukowatym ostrzu i tylcu oraz prostym trzepieniu w kształcie kolca, równoległego do osi ostrza, został zakwalifikowany do typu 1A wg Ryszarda Rogosza²¹. Na odcinku pomiędzy ostrzem a tylcem jest guzkowate zgrubienie, które może

¹⁶ Pilø 2011: 298–300.

¹⁷ Schuldt 1981: 27–35.

¹⁸ Jagodziński 2010.

¹⁹ Wynik datowania radiowęglowego z Wojnit po kalibracji to 774–990 n.e. z prawdopodobieństwem 95,4%, a wynik datowania radiowęglowego z Bornit to po kalibracji 889–979 n.e. z prawdopodobieństwem 68,2%; Wadyl 2018: 243; Wadyl, Martyka i Malarczyk 2018: 134–135.

²⁰ Przy opisie noże zastosowano terminologię wykorzystaną w klasyfikacji zespołu noży z Pucka, za Michalik 2007.

²¹ Rogosz 1983: 262–267.

być pozostałością po okuciu. Podobny zabytek, lecz o nieco dłuższym ostrzu i nieposiadający guzkowatego jelca został znaleziony na stanowisku w Durągu, pow. ostródzki, w warstwach datowanych na XIV–XV wiek²². W katalogu Gerharda Holtmanna, który obejmuje także zabytki z Europy Środkowej i Zachodniej, zdarzają się noże tego typu z kontekstów o wcześniejszej chronologii sięgającej XI wieku²³. Drugi fragment noża (tabl. 1:2) ma długość całkowitą 6 cm, z czego 4 cm stanowi trzpień w kształcie kolca. Ze względu na złamane ostrze określenie bardziej dokładnej charakterystyki jest problematyczne. Trzeci fragment noża (tabl. 1:3) ma długość całkowitą 6 cm, z czego głownia ma 4 cm. Na zachowanym fragmencie krawędź ostrza jest równoległa do tylca. Fragment tylca został owinięty kawałkiem żelaznej blaszki. Jako że większość trzpienia jest ułamana, a zachowany odcinek dość szeroki, nie można wykluczyć, że trzpień miał formę listwy.

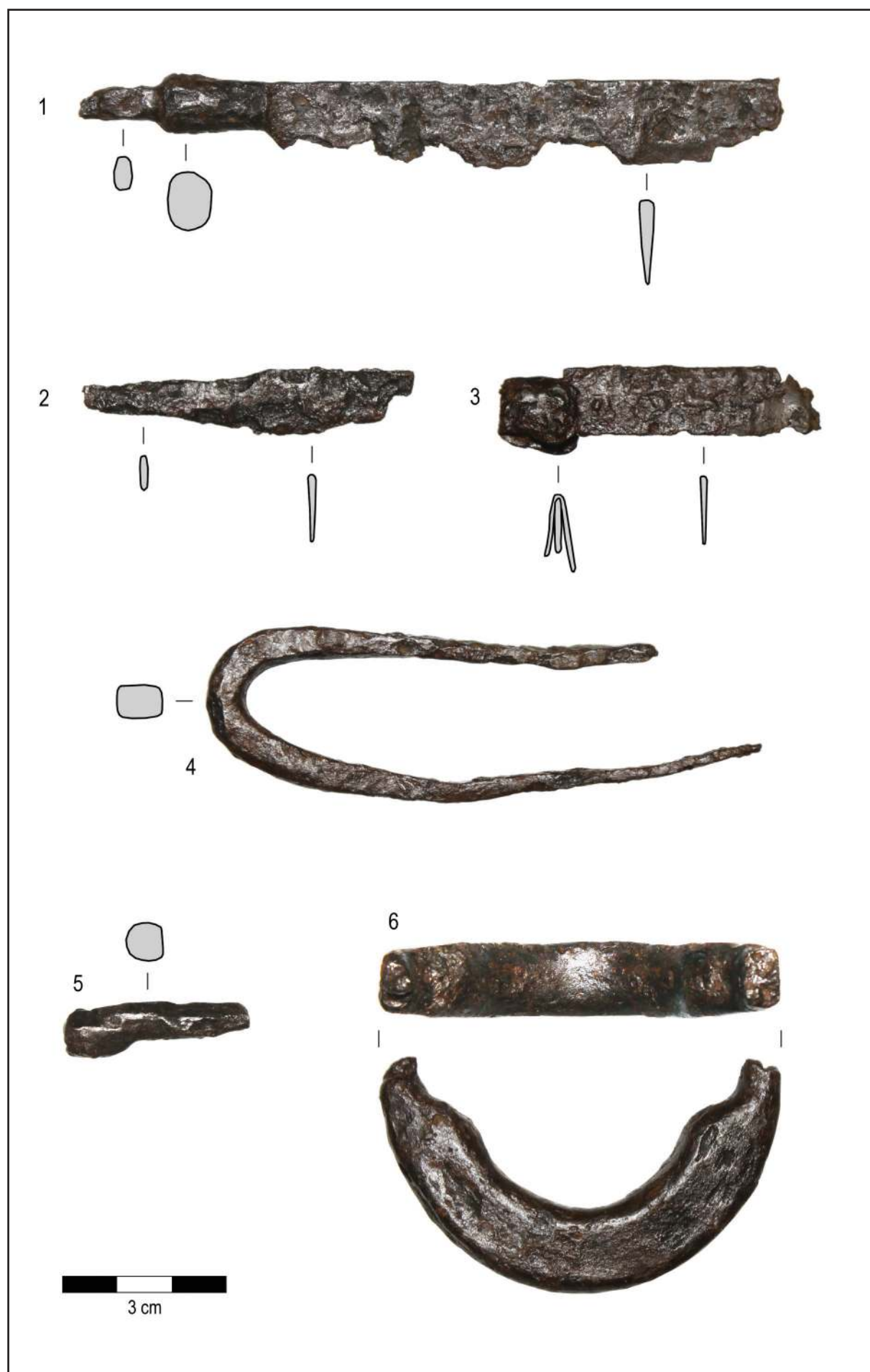
Kolejnymi zabytkami o średniowiecznej chronologii jest żelazna ostroga i brązowe okucie. Ostroga (tabl. 2:1) ma V-kształtny kabłąk, pogrubioną, kolistą w przekroju szyjce z jednym fragmentarycznie zachowanym widełkiem, ramionami łukowatymi długości około 10 cm i jednym zachowanym zaczepem. Szerokość mierzona pomiędzy końcami kabłąka wynosi 10 cm. Ostrogi tego rodzaju można przypisać do typu III w typologii zaproponowanej przez Zofię Hilczerównę. Typ ten datowany jest generalnie na XIV–XV wiek²⁴. Dość podobny egzemplarz, choć nieposiadający tak wyodrębnionej szyjki, pochodzi z grodziska w Rozprzy, pow. piotrkowski, z kontekstu datowanego na XIII–XIV wiek²⁵. Brak kompletnego zachowania widełek, zaczepów czy brak kółka gwiaździstego uniemożliwia dokładną chronologię zabytku oraz kompleksowe określenie typu ostrogi. Brązowe okucie (tabl. 2:4) ma kształt krzyża greckiego z bokami uformowanymi w motyw florystyczny, pośrodku natomiast znajduje się wypustka w kształcie kuli otoczonej czterema mniejszymi kulami. Aplikacja ma wymiary 2,5 × 2,5 cm i wysokość 1,5 cm. Podobne znalezisko, choć nieco większych rozmiarów pochodzi z późnośredniowiecznej siedziby

²² Kobylińska 2017c: 289–291.

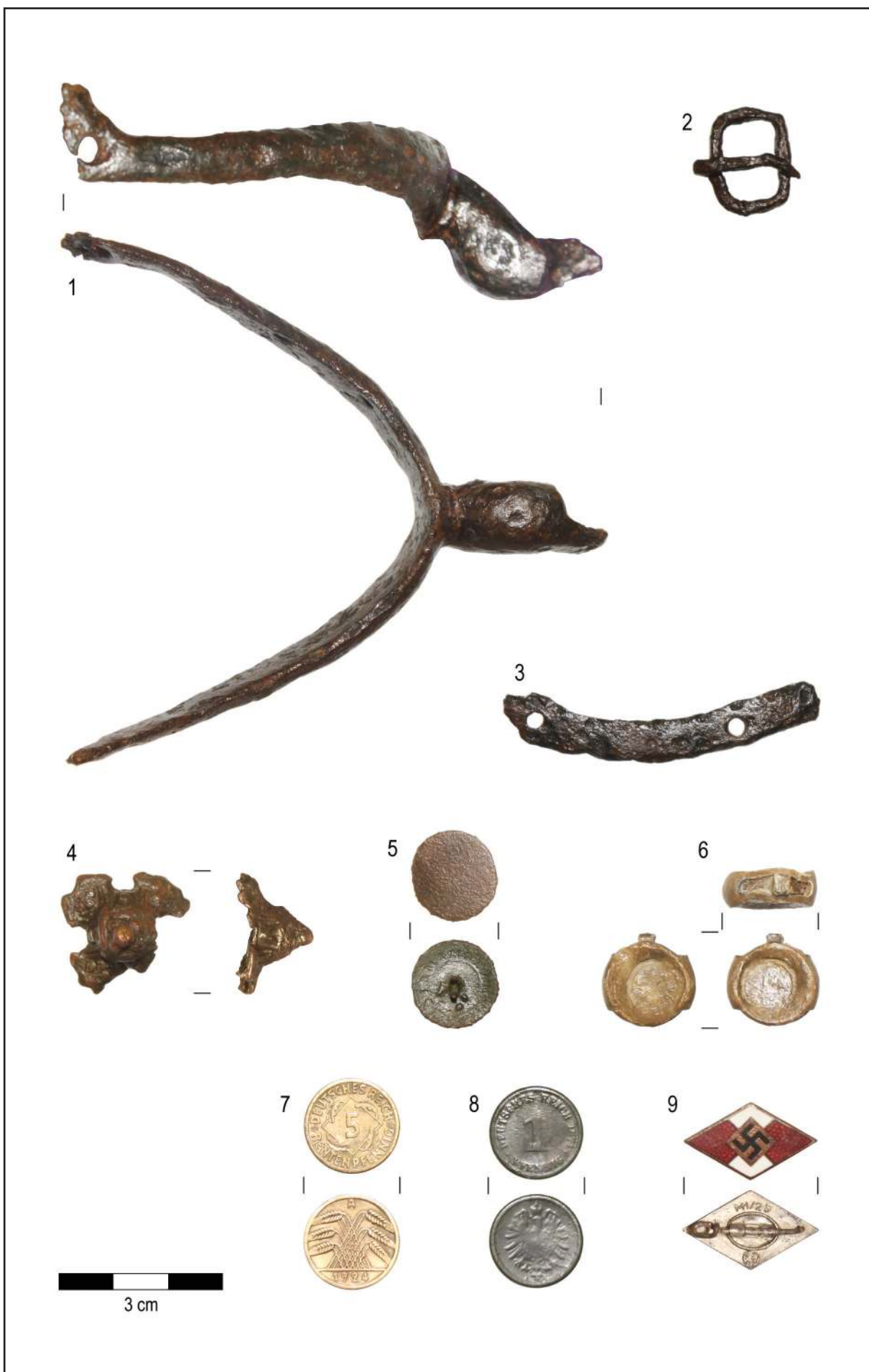
²³ Holtmann 1993: 45, 211–219.

²⁴ Hilczerówna 1956: 15; 62–67.

²⁵ Marciak-Kajzer 2011: 209.



Tablica 1. Wojnity, st. 1. Zabytki wydzielone (fot. R. Solecki)



Tablica 2. Woźniki, st. 1. Zabytki wydzielone (fot. R. Solecki)

obronnej w Trzemszach, pow. turecki, gdzie zinterpretowano ją jako okucie szkutki²⁶. Zabytkiem o średniowiecznej chronologii jest też żelazny skobel (tabl. 1:4) o owalnym profilu, długości ramienia do 10 cm, wykonany ze sztabki o prostokątnym przekroju. Zabytki tego typu spotykane są dość często na stanowiskach ze stałymi fazami zasiedlenia z okresu średniowiecza i późnego średniowiecza²⁷. Podobne skoble odnaleziono między innymi podczas badań wieży mieszkalnej w Plemiętach, pow. grudziądzki²⁸.

Ostatnim zabytkiem o prawdopodobnie późnośredniowiecznej chronologii jest ołowiana plomba o średnicy około 18 mm i grubości 7 mm. Odcisk stempla, który pozwoliłby na precyzyjniejsze określenie chronologii, jest nieczytelny. Zabytki tego typu są dość uniwersalne i występują od późnego średniowiecza aż po późną nowożytność²⁹.

Do grupy zabytków o współczesnej chronologii zaliczono guzik, dwie monety oraz odznakę wojskową. Guzik (tabl. 2:5) wykonano z mosiązdu. Jest to typ guzików jednowarstwowych, płaskich, z uszkiem z drutu. Guziki te są przedmiotami cywilnymi i można je datować na przełom XIX/XX wieku. Pierwsza moneta to miedziany 1 Pfenning z 1877 roku wybitny w mennicy w Berlinie (tabl. 2:8). Awers: Godło Cesarstwa Niemieckiego; rewers: „1 PFENNIG DEUTSCHES REICH”. Druga moneta to 5 Rentenpfennigów z brązalu z 1925 roku wybitych w mennicy berlińskiej (tabl. 2:7). Awers: kłosy zboża „1925 A”; rewers: „5 RENTENPFENNIG DEUTSCHES REICH”. Odznaka wojskowa (tabl. 2:9) to odznaka Hitlerjugend pochodząca z okresu III Rzeszy z sygnaturą M1/25 i monogramem w kole „RZM”.

Ostatnią opisaną grupą zabytków są przedmioty o nieokreślonej chronologii. Pierwszym z nich jest żelazna klamerka (tabl. 2:2) w kształcie prostokąta o wymiarach wewnętrznych 11 × 14 mm, wykonana z kwadratowego w przekroju drutu, o grubości około 2 mm. Przedmiot ten posiada uniwersalny kształt przez co nie jest możliwe określenie dokładnej chronologii. Następnym zabytkiem jest płaska sztabka o długości 6 cm,

szerokości 0,6 cm i grubości 0,3 cm, wygięta w lekki łuk i z dwoma otworami. Znaleziska o podobnych kształtach opisywane są jako podkówki buta, lecz fragmentarność zachowania nie pozwala na jednoznaczną interpretację. Kolejna jest żelazna, półkolista sztabka (tabl. 1:6), w przekroju kwadratowa, o grubości 1,5 cm, która przy końcach ścienia się (być może jest to ślad po wyrobieniu?). Największa szerokość, liczona pomiędzy końcami złamanych ramion, wynosi 7 cm. Jako że zachowany jest tylko fragment, trudno stwierdzić, jak przedmiot wyglądał w całości – czy było to ognivo, czy może masywny skobel konstrukcyjny³⁰. Do grupy tej zaliczono też fragment szpiczastego żelaznego drutu (tabl. 1:5), o owalnym przekroju, długości 3,4 cm i szerokości do 0,7 cm, który być może jest ułamkiem gwoździa.

CHRONOLOGIA I DZIEJE GRODZISKA W WOJNITACH, ST. 1

DANIEL SKOCZYLAS I RAFAŁ SOLECKI

Dotychczas chronologia grodziska w Wojnietach, st. 1 była wskazywana jako staropruska, ale bez podparcia źródłami. Archeologiczne badania wykopaliskowe przeprowadzone w 2021 roku, pomimo ograniczonej skali, pozwoliły wydzielić dwie średniowieczne fazy użytkowe. Są one dobrze czytelne w układzie stratygraficznym wału wewnętrznego, rozdzielającego majdan i podgrodzie. Starszą fazę, na którą wskazują wyniki datowania radiowęglowego, które po kalibracji dały przedział lat 827–990 n.e. z prawdopodobieństwem 89,6%³¹, należy wiązać z osadnicztwem ludności pruskiej. Obecnie faza ta nie ma jednak potwierdzenia w materiale zabytkowym. Pozyskany zbiór fragmentów ceramiki jest bardzo skromny. Dodatkowo, odkryta na skorupach unikatowa forma zdobień nie ma bezpośrednich analogii. Najbliższe zabytki, które mają trochę podobną ornamentykę, znane są z oddalonego o ponad 600 km w linii prostej na zachód grodziska w *Groß Raden*, w Niemczech wschodnich³². Wskazane byłoby zatem szersze rozpoznanie nawarstwień kulturowych związanych z tym horyzontem, po pierwsze w celu potwierdzenie chronolo-

²⁶ Marciak-Kajzer 2016: 99 (tabl. 16:3).

²⁷ Łukomiak 2015: 39–48.

²⁸ Łukomiak 2016: 149.

²⁹ Majewski 2017: 117–123; Połczyński 2017: 201–204.

³⁰ Łukomiak 2016: 39–48.

³¹ Analiza przeprowadzona w Poznańskim Laboratorium Radiowęglowym, próba nr Poz-149693.

³² Schuldt 1981: 27–35.

gii na około IX–X wiek, a po drugie w celu poszerzenia bazy źródeł dla naczyń ceramicznych o oryginalnej formie dekoracji. Informacje te pozwoliłyby lepiej ustalić rangę grodziska w Wojnitach i spozycjonować je na ówczesnej mapie osadnictwa pruskiego.

Młodszy okres osadnictwa średniowiecznego potwierdzony jest zarówno z nawarsztwiach, jak i w materiale zabytkowym, i należy go wiązać z falą osadnictwa krzyżackiego. Tworzenie nowych osad i zaludnianie tego obszaru rozpoczęło się najpewniej pod koniec XIII wieku, po tym, jak kapitule warmińskiej przypadły ziemie wokół dzisiejszego Pieniężna³³. Data lokacji samego Pienieżna nie jest znana, ale jest ono wymieniane w dokumencie z 1282 roku jako *Melzak*³⁴, a w dokumencie z 1312 roku opisane jest następująco: „civitas nostra in quodam nostro territorio Malcekuke pruthenice quod sonat teuthunice Melzak”³⁵. Wieś Wojnity (*Woyniten*) wymieniana jest z kolei po raz pierwszy w 1289 roku³⁶. Szacunkowy okres powstania dwóch

największych pobliskich miejscowości może ramowo wskazywać, kiedy pojawiło się także osadnictwo na obszarze grodziska w Wojnitach. W trakcie przeprowadzonych badań nie natrafiono jednak na wyraźną warstwę kulturową z tego okresu, ani na dużą liczbę zabytków. Co więcej brak jest materiału masowego, który sugerowałby stałe osadnictwo. Być może więc na obszarze grodziska (podgrodzia) w Wojnitach planowane było założenie miasta, ale plan ten nie został zrealizowany. Przykład nieudanej lokacji znany jest z obszaru pod władzami zakonu krzyżackiego, między innymi z Dąbrówna, pow. ostródzki (tu warto wskazać, że stanowisko to ma bardzo zbliżony plan do grodziska w Wojnitach)³⁷ i Barczewa, pow. olsztyński³⁸. Tu także wskazane byłoby przeprowadzenie badań wykopaliskowych na obszarze podgrodzia, które pozwoliłyby na zweryfikowanie tej hipotezy.

Najmłodszy dający się wydzielić epizod związany z wykorzystaniem powierzchni grodziska można łączyć z prawdopodobnie obozowaniem tam grupy Hitlerjugend. W humusie przy wale znaleziono odznakę tej formacji, a na powierzchni podgrodzia widać pozostałości najpewniej drewnianych pryczy.

³³ Koziełło-Poklewski 1973a: 48–50.

³⁴ CW I, dokument 53: 35.

³⁵ Koziełło-Poklewski 1973b: 156; CW I, dokument 163: 91–92.

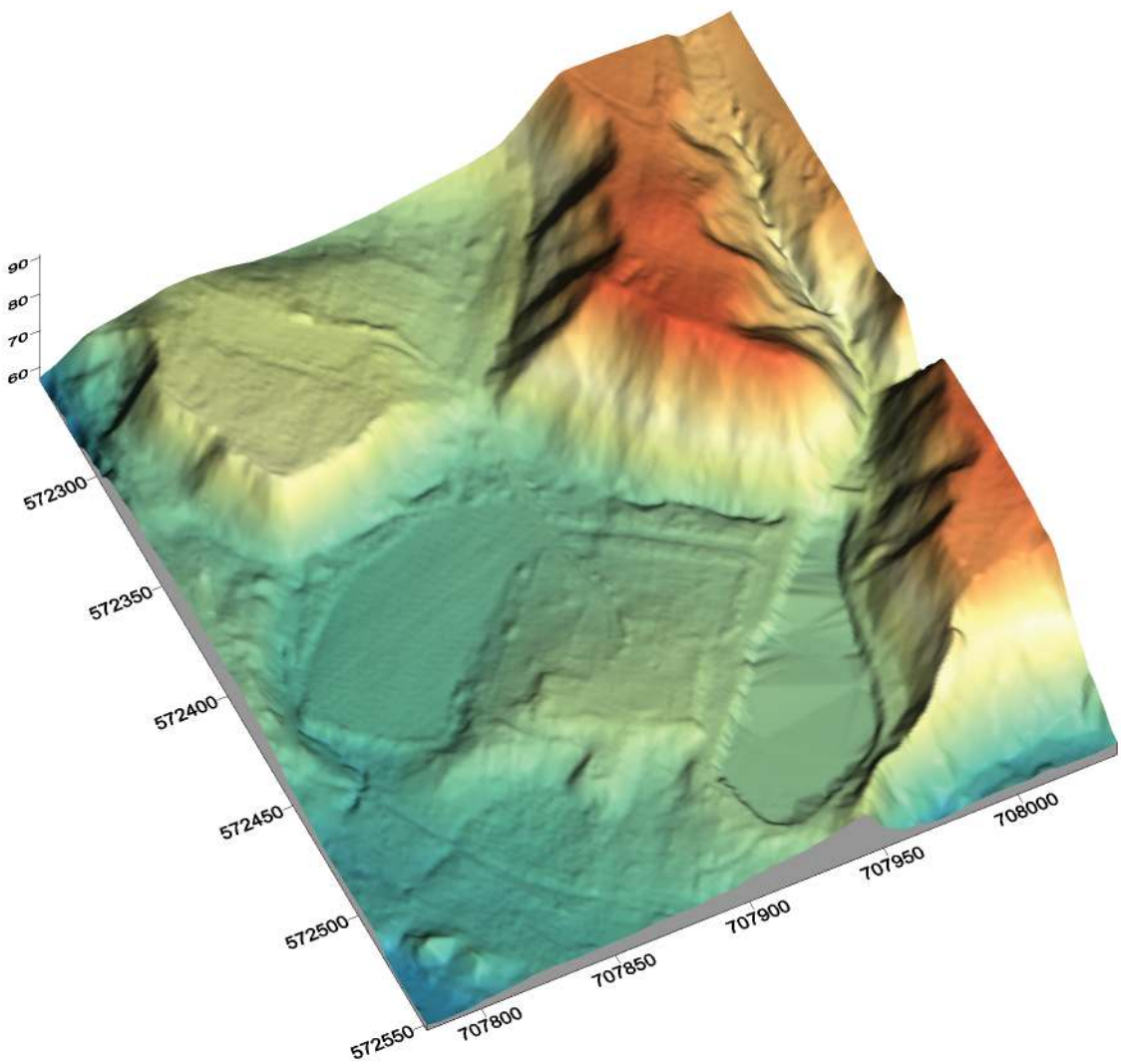
³⁶ Pollakówna 1953: 37; CW I, dokument 83: 48–49.

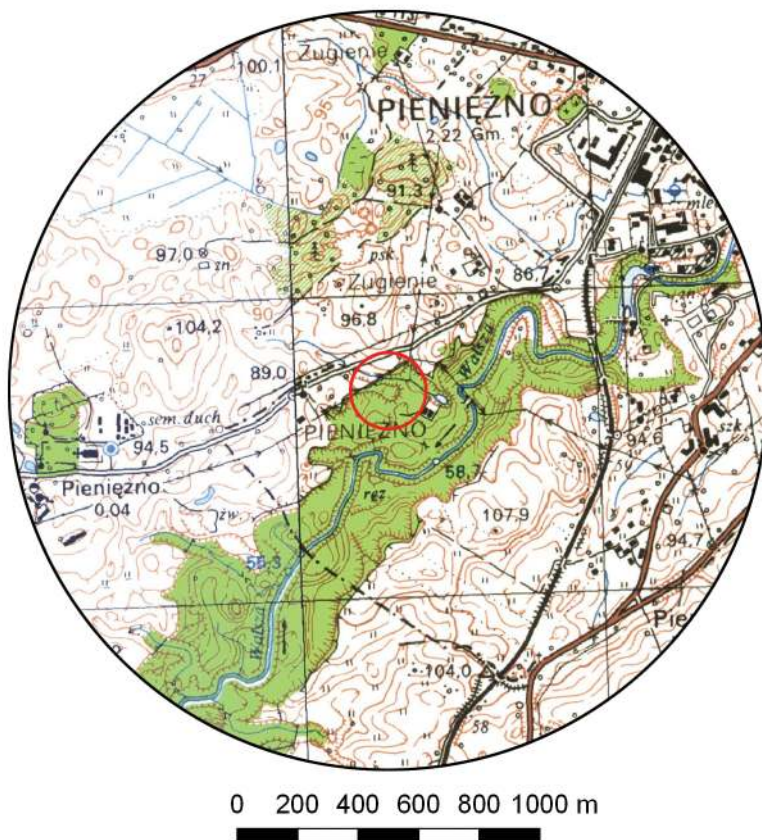
³⁷ Koperkiewicz 2023: 7–27.

³⁸ Biermann *et al.* 2019: 266.

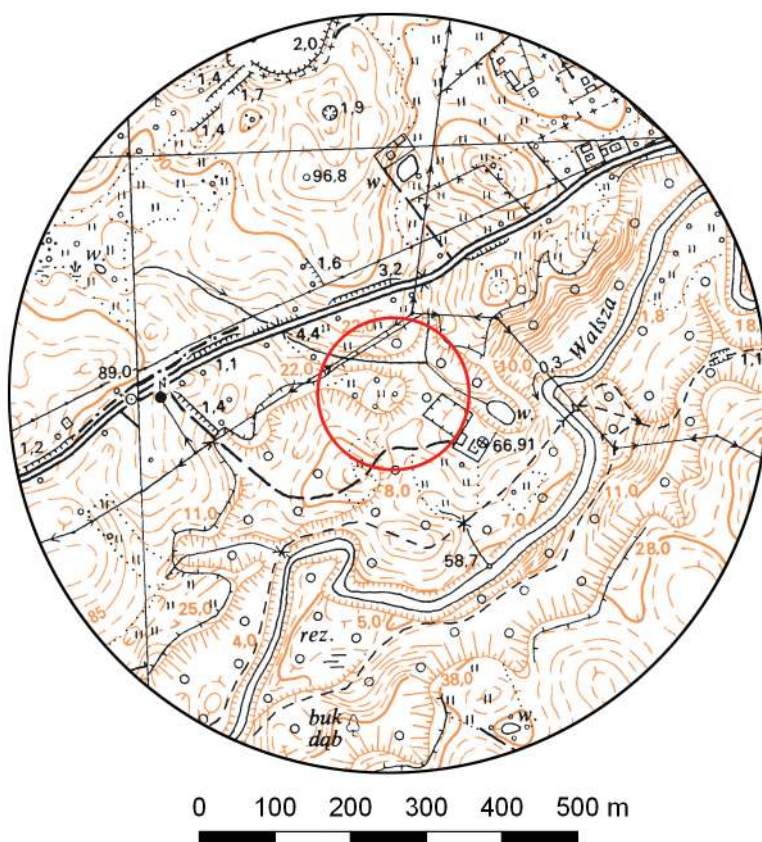
Pieniężno, st. 5

Gmina Pieniężno
Powiat braniewski
Współrzędne geograficzne:
N 54° 13' 51"
E 20° 06' 36"





Ryc. 1. Grodzisko w Pieniężnie, st. 5
na mapie w skali 1:25 000
(na podstawie materiałów GUGiK,
oprac. R. Solecki)



Ryc. 2. Grodzisko w Pieniężnie, st. 5
na mapie w skali 1:10 000
(na podstawie materiałów GUGiK,
oprac. R. Solecki)

POŁOŻENIE GRODZISKA

I JEGO FORMA

RAFAŁ SOLECKI, KAMIL RABIEGA
I PRZEMYSŁAW JAŽDŽYK

Grodzisko w Pienieżnie (niem. *Mehlsack*), st. 5 było zewidencjonowane w ramach projektu Archeologiczne Zdjęcie Polski, ale jego lokalizacja była wskazywana w innym miejscu. Informacje na jego temat znajdowały się jednak w obiegu naukowym. Po raz pierwszy, nie o jednym, a o trzech grodziskach w pobliżu Pienieżna wspominał Johann Michael Guise na początku XIX wieku. Na swych szkicach przedstawia stanowiska zlokalizowane w obrębie doliny rzeki Wałszy. Pierwsze (ryc. 3:A) to opisane w niniejszym tomie grodzisko w Wojnitach (niem. *Woynitt*), st. 1 (które obecnie znajduje się w obrębie ewidencyjnym Kajnity, niem. *Heistern*) skatalogowane w ramach AZP 15-57/34. Drugie (ryc. 3:B), to opisane w niniejszym tomie stanowisko w Kajnitach skatalogowane w ramach AZP 14-57/6. Natomiast trzecie (ryc. 3:C), to grodzisko opisywane w niniejszym rozdziale. Przerysy rysunków J.M. Guisego prezentuje w swej pracy z 1894 roku Adolf Boetticher, podając także ich opisy. Grodzisko położone najbliżej Pienieżna określone jest „*eine Feste eher als Mehlsack, auch vielleicht einem Bergfried dagegen*”¹. Te same stanowiska w swej pracy z 1908 roku wy-

¹ Boetticher 1894: 177.

mienia Emil Hollack, dodając, że dwa z nich znajdują się na prawym brzegu, a trzecie na lewym brzegu rzeki Wałszy². W 1937 roku wymienia je jeszcze Hans Crome, podając nazwy lokalne dwóch z nich: grodzisko w Wojnitach opisał jako *Fliehburg* i *Schwedenschanze*, a grodzisko w Kajnitach jako *Spitzberg*. Trzecie grodzisko, w Pienieżnie, nie posiadało nazwy lokalnej³. Dla wszystkich trzech grodzisk wykonano w okresie międzywojennym karty ewidencyjne, które obecnie znajdują się w *Staatliche Museen zu Berlin, Museum für Vor- und Frühgeschichte* w katalogu *Burgwall-kartei*. Informacje z tych kart pozwalają precyjnie zlokalizować każde grodzisko. Ponadto na szkicu dołączonym do karty grodziska w Pienieżnie znajduje się jego dość szczegółowy plan (ryc. 6:3) z widoczną strukturą odcinającą cypel wcinający się w dolinę rzeki Wałszy od wysoczyzny.

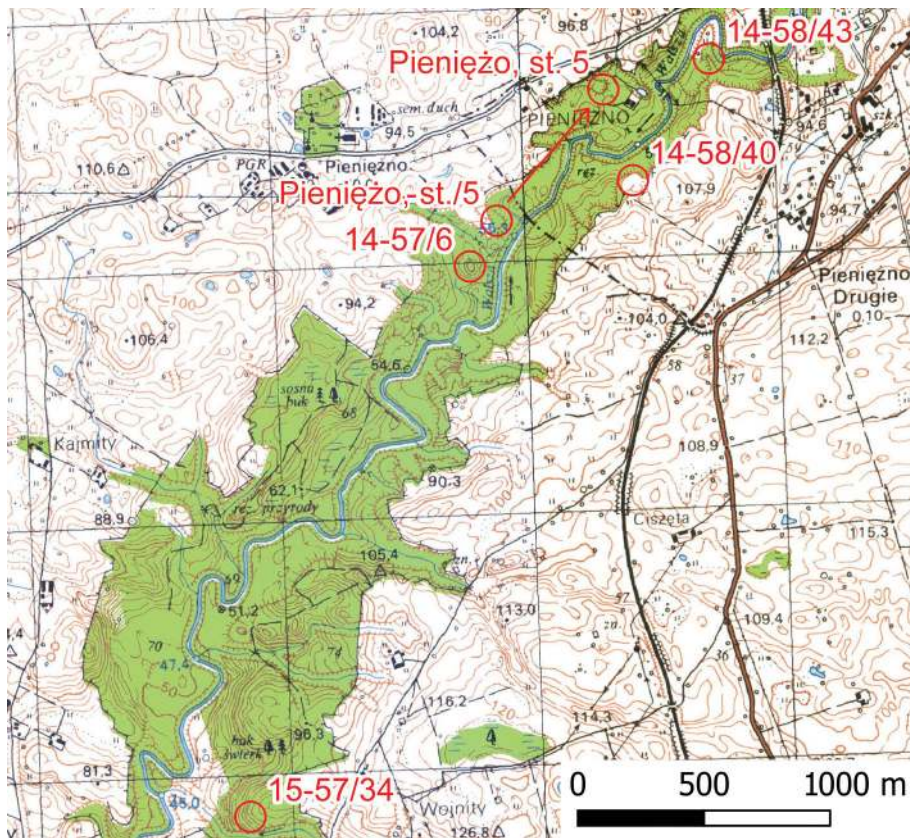
W tym miejscu konieczne jest wskazanie, że w ramach AZP wyróżniono na interesującym nas odcinku doliny Wałszy więcej grodzisk niż tylko te, które naszkicował w trakcie swych prac J.M. Guise (ryc. 4). Co ciekawe, trzy dodatkowe stanowiska także odwołują się do ustaleń J.M. Guisego, A. Boettichera, E. Hollacka i H. Cromego. Pierwsze z nich, o numerze AZP 14-58/40, opisane jest jako „grodzisko ?”, a w trakcie weryfikacji tego miejsca w 1987 roku nie znaleziono żadnego

² Hollack 1908: 98.

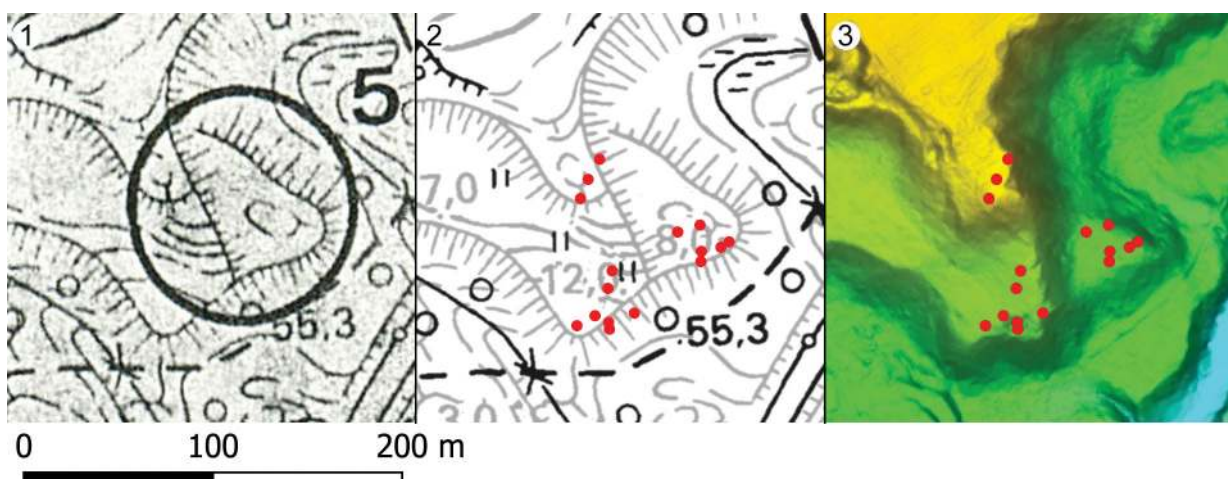
³ Crome 1937: 103.



Ryc. 3. Grodziska w pobliżu Pienieżna na planach Michaela Johanna Guisego z lat 30. XX wieku: A) Wojnity (źródło: Staatliche Museen zu Berlin, Museum für Vor- und Frühgeschichte, PM-IXh 001955), B) Kajnity, C) Pienieżno (źródło: Staatliche Museen zu Berlin, Museum für Vor- und Frühgeschichte, PM-IXh 001957)



Ryc. 4. Stanowiska skatalogowane w ramach AZP i opisane jako grodziska na południowy zachód od Pieniężna (na podstawie materiałów GUGiK i NID, oprac. R. Solecki)



Ryc. 5. Stanowisko AZP 14-57/5: 1) oznaczone na mapie w skali 1:10 000, na Karcie Ewidencji Stanowiska Archeologicznego wykonanej w 1993 roku, 2) na mapie w skali 1:10 000 z zaznaczonymi miejscami, gdzie wykonane były odwierty świdrem geologicznym, 3) na Numerycznym Modelu Terenu z zaznaczonymi miejscami, gdzie wykonane były odwierty świdrem geologicznym (oprac. R. Solecki)

materiału zabytkowego. Funkcję stanowiska określono w oparciu o widoczne w terenie domniemane relikty umocnień⁴. Drugie, o numerze AZP 14-58/43, także opisane jest jako „grodzisko ?” i w trakcie jego oglądu w terenie, w 1987 roku, również nie znaleziono żadnego materiału zabytkowego⁵. Ostatnie, o numerze AZP 14-57/5, opisane jest jako wcześnieśredniowieczne grodzisko pruskie, chociaż w tym przypadku także w trakcie pro-

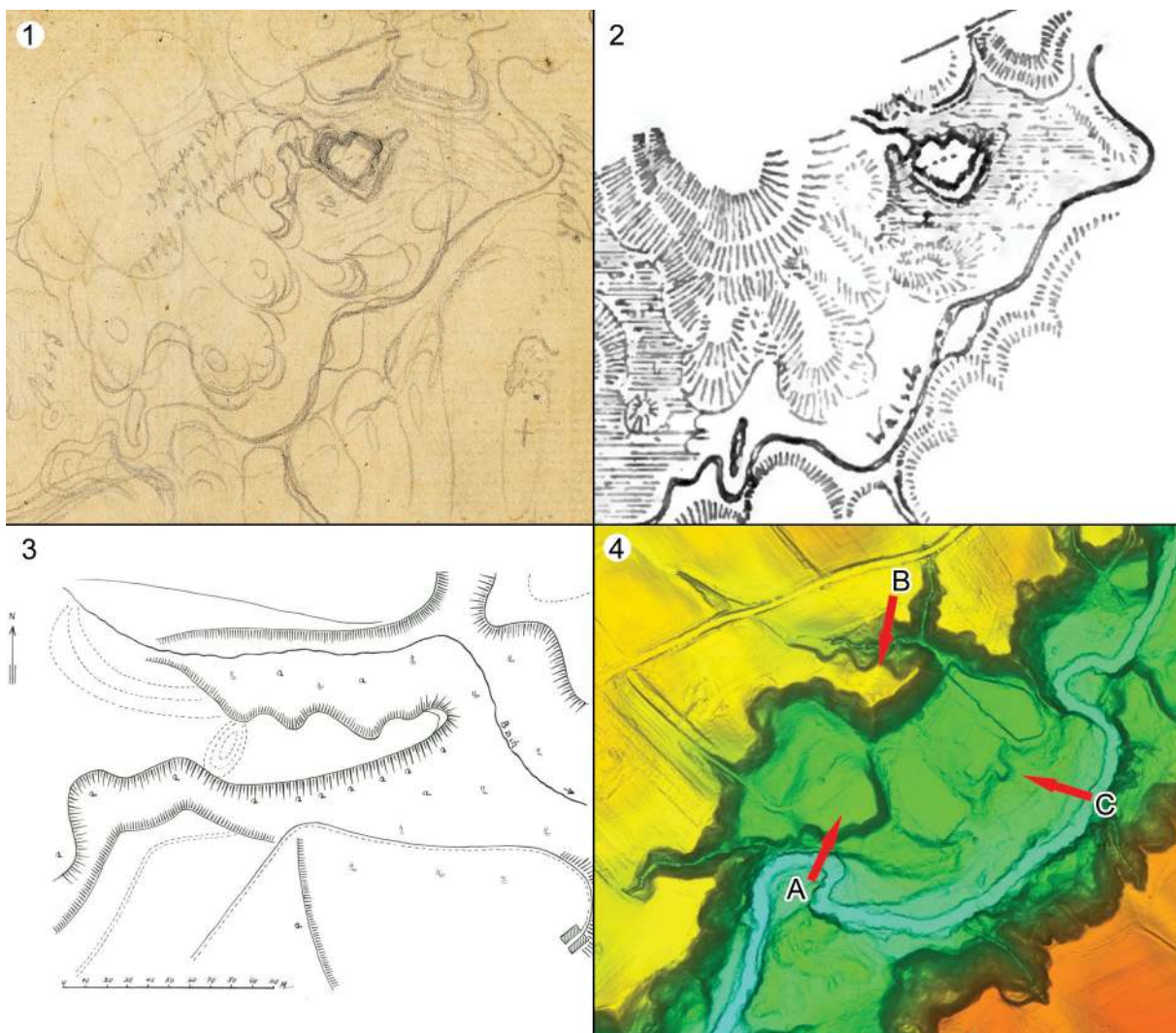
spekcji w 1993 roku nie został znaleziony żaden materiał zabytkowy, a chronologię określono na podstawie analogii zachowanych umocnień do innych grodzisk pruskich⁶.

W celu zweryfikowania, czy zewidencjonowane stanowiska faktycznie są grodziskami, przeprowadzono ich inspekcję. W przypadku stanowisk o numerach AZP 14-58/40 i 14-58/43 w terenie nie odnaleziono opisanych wcześniej reliktów umocnień. Oba miały znajdować się na krawędzi doliny, więc

⁴ Informacja z KESA 14-58/40.

⁵ Informacja z KESA 14-58/43.

⁶ Informacja z KESA 14-57/5.



Ryc. 6. Grodzisko w Pieniężnie, st. 5, wraz z otoczeniem: 1) na planie J.M. Guisego z lat 30. XX wieku (źródło: Staatliche Museen zu Berlin, Museum für Vor- und Frühgeschichte, PM-IXh 001957), 2) na planie z 1894 roku (Boetticher 1894: 177, ryc. 136/2), 3) na planie z karty ze zbioru *Burgwall-kartei* (źródło: Staatliche Museen zu Berlin, Museum für Vor- und Frühgeschichte, IXc 90, Bl. 42), 4) na Numerycznym Modelu Terenu (na podstawie materiałów GUGiK) (oprac. R. Solecki)

nie można wykluczyć, że uległy one zniszczeniu w wyniku obsunięcia się skarpy. Jednak uwzględniając fakt, że stanowiska te miały być grodziskami opisanymi przez J.M. Guisego, a wszystkie trzy stanowiska zostały już potwierdzone w terenie w innych miejscach, nie można wykluczyć, że przy wydzielaniu nowych stanowisk dokonano nadinterpretacji widocznych w terenie form geologicznych.

W przypadku trzeciego stanowiska, o numerze AZP 14-57/5, w terenie faktycznie natrafiono na formę, którą można interpretować jako kopiec, wokół której znajdowało się czytelne obniżenie. Na obszarze tym postanowiono wykonać serię odwiertów (ryc. 5) z wykorzystaniem wiertła geologicznego. Rozpoznanie to jednak nie potwierdziło istnienia na wskazanym obszarze warstwy kulturowej, która można by wiązać z istnieniem tu gro-

diska. Poniżej humusu albo występował bezpośrednio calec w glin zwałowych, gruzu kamiennego bądź na niżej położonych terenach piasków drobno-, średnio- i gruboziarnistych albo miejscowo występowała jeszcze pośrednia warstwa zwietrzelin. Nie można zatem wykluczyć, że wydzielenie w tym miejscu grodziska było także nadinterpretacją.

W miejscu, które wskazał J.M. Guise (ryc. 6:1) i A. Boetticher (ryc. 6:2) jako położenie grodziska, znajduje się cybel długości około 110 m, szerokości do 30 m i powierzchni 26 arów, wchodzący od północy w dolinę rzeki Wałszy (ryc. 6:4B). Porównanie planu tego cypla z rysunkiem znajdującym się na karcie ze zbioru *Burgwall-Kartei* nie pozostawia złudzeń, że to tu powinno znajdować się grodzisko. Jednakże w jego obrębie nie odnotowano czytelnych pozostałości umocnień (ryc. 7 i 8). W miejscu, gdzie powinna

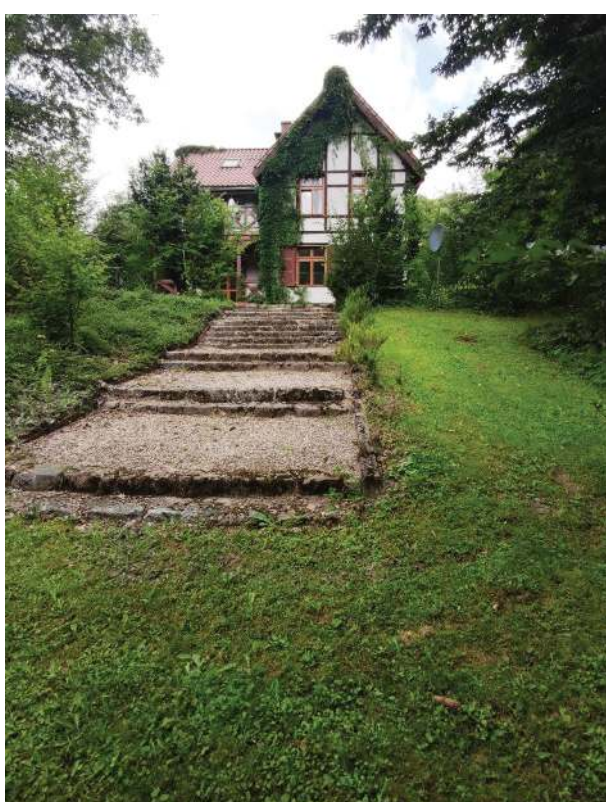


Ryc. 7. Pieniężno, st. 5. Widok w kierunku wschodnim na cypel wskazany przez J.M. Guisego jako lokalizacja grodziska (fot. R. Solecki)



(u góry)

Ryc. 8. Pieniężno, st. 5. Widok w kierunku północno-zachodnim na miejsce, w którym powinien znajdować się wał odcinający cypel od wysoczyzny (miejsce oznaczone strzałką) (fot. R. Solecki)



(po lewej)

Ryc. 9. Pieniężno, st. 5. Widok w kierunku północno-wschodnim na lekkie wypiętrzenie, na których znajduje się leśniczówka (fot. A. Lejzerowicz)

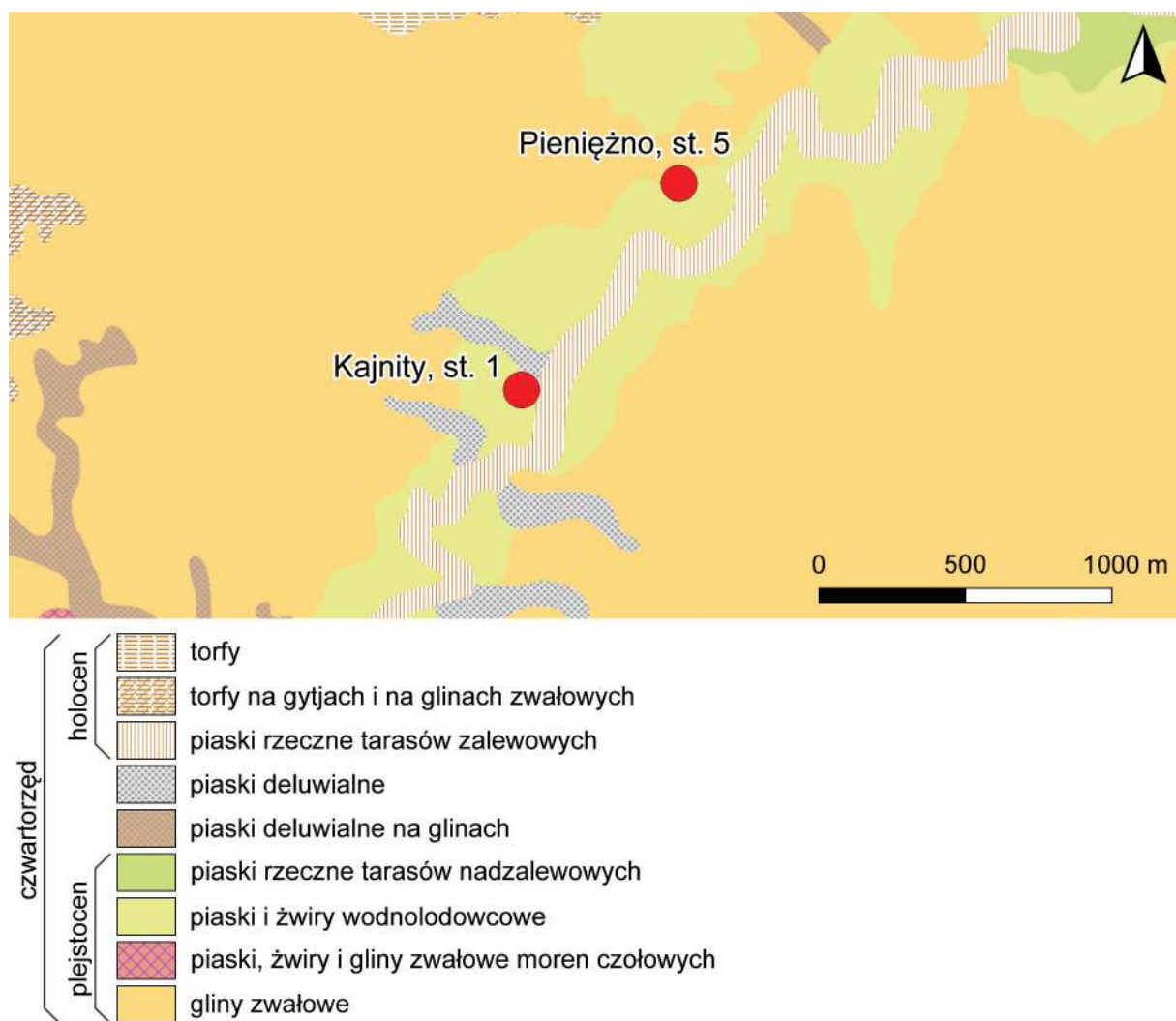
znajdować się struktura odcinająca cybel od wysoczyzny jest nieduże obniżenie, a na obrazowaniu Numerycznego Modelu Terenu widać, że gleba w tym miejscu była kiedyś kultywowa. Zaobserwowało też, że warstwa humusu jest tu dość cienka, a miejscami na powierzchni widoczne są wychodnie naturalnej gliny zwałowej. Na końcu cypla są też ślady nierówności świadczące o nieokreślonych, dawnych pracach ziemnych. W odległości około 750 m na zachód i około 500 m na północ od cypla znajdują się dwa wyrobiska, gdzie pozyskiwano piasek lub żwir⁷. Być może w tym miejscu w przeszłości także doszło do nielegalnego pozyskiwania kruszywa, czego efektem było zniszczenie umocnień, a prawdopodobnie też naruszenie warstw kulturowych. To mogłoby tłumaczyć, czemu po II

wojnie światowej nie udało się tego grodziska zlokalizować.

Na planie z 1932 roku⁸ znajduje się wskazanie położenia grodziska *Burgwall K.D.*, ale nie w miejscu, które wyrysował J.M. Guise, a poniżej wspomnianego cypla, w obrębie niedużego wyniesienia, już w obrębie doliny rzeki (ryc. 6:4C). Obecnie w tym miejscu znajduje się leśniczówka wybudowana przed 1913 rokiem. Zjeżdżając z wysoczyzny w kierunku leśniczówki, przejeżdża się przez duży taras (ryc. 6:4A) położony szacunkowo w połowie wysokości pomiędzy szczytem wysoczyzny a dnem doliny. Taras ten ma płaską powierzchnię około 32 arów, której część zajmuje obecnie parking. W przewodniku turystycznym po gminie Pieniężno jest zapis informujący, że „na górze, którą częściowo zajmuje parking, była osada Prusów (znajdo-

⁷ Miejsca te są zaznaczone na Szczegółowej Mapie Geologicznej Polski w skali 1:50 000 (arkusz Pieniężno) i opisane, jako piaskownie-żwirownie.

⁸ Topographische Karte 1:25 000 (*Meßtischblatt*), karta Mehlsack (471/1786), z 1932 r.



Ryc. 10. Wycinek arkusza Szczegółowej Mapy Geologicznej Polski z zaznaczonymi stanowiskami w Pieniężnie, st. 5 i Kajnity, st. 1 (źródło: www.cbdgmapa.pgi.gov.pl/arcgis/services/kartografia/smgp50k/MapServer/WMServer, oprac. R. Solecki)

wano tu dużo starych skorup) (...) Była ona połączona wątłym mostkiem z grodziskiem obronnym na sztucznej wysepce, w miejscu obecnej leśniczówkii⁹. W trakcie oglądu powierzchniowego opisanego tarasu nie znaleziono żadnego materiału zabytkowego. Ogląd wokół leśniczówki wykazał natomiast obecność pojedynczych skorup ceramicznych w kretowinach, a bardzo duże nagromadzenie zabytków stwierdzono na pasie ziemi położonym około 60 m na południowy wschód od leśniczówki, wzdłuż koryta rzeki. To właśnie ten obszar zdecydowano się rozpoznać archeologicznie.

ŚRODOWISKO FIZYCZNOGEOGRAFICZNE

ANNA LEJZEROWICZ

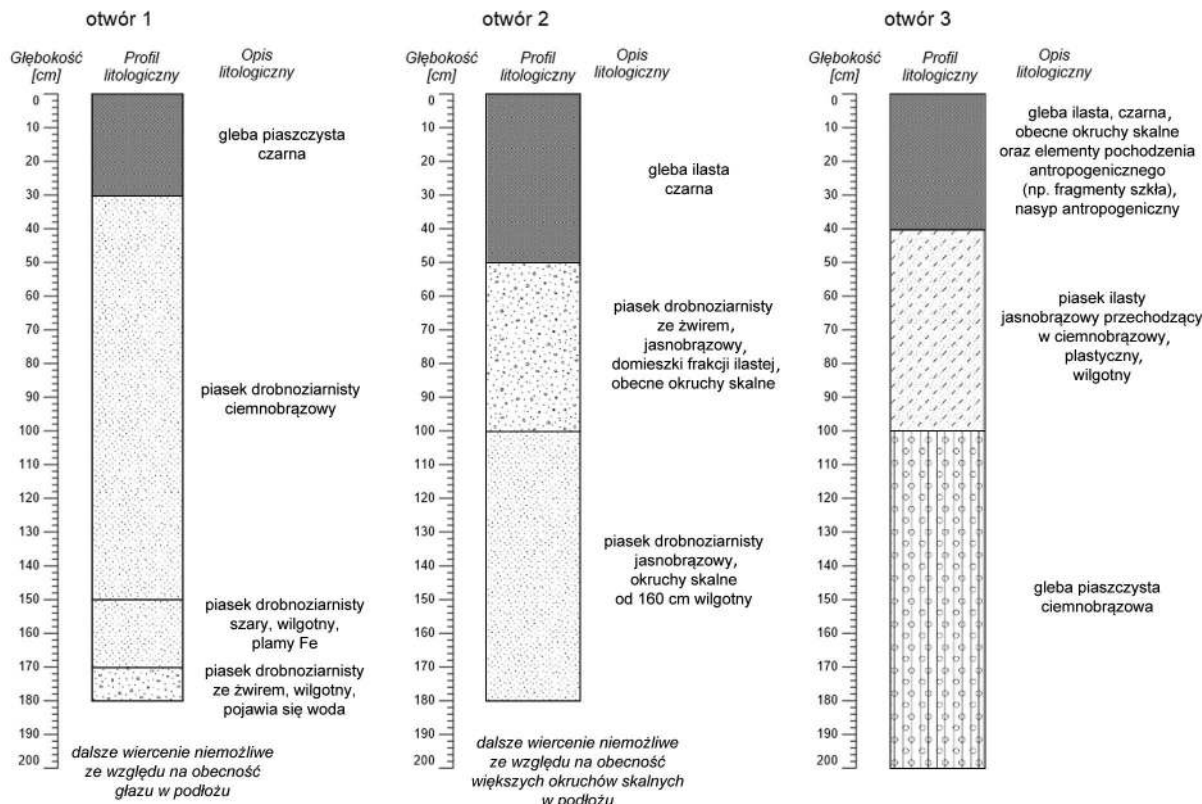
Wstęp do opisu środowiska fizycznogeograficznego, w którym przedstawiono szeroki kontekst jego uwarunkowań, jest taki sam dla grodzisk w Pieniężnie, st. 5 i Kajnity, st. 1, ponieważ oba stanowiska oddalone są od siebie o zaledwie około 900 m. Inne będą natomiast wyniki przeprowadzonych odwiertów geologicznych i przygotowane na ich podstawie przekroje geologiczne przez stanowiska.

⁹ Sowiński 2015: 8.

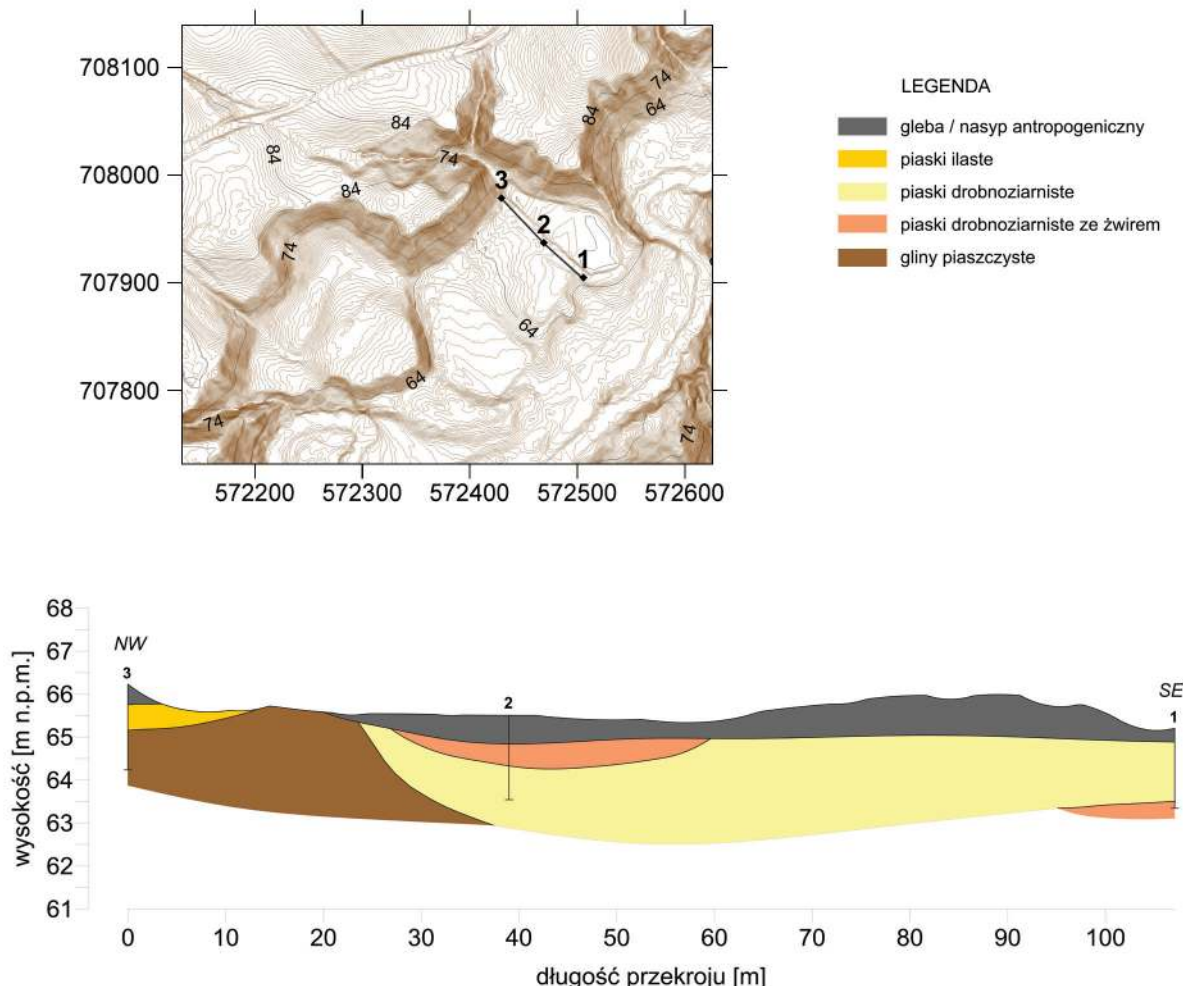
Według podziału fizycznogeograficznego Polski Kondrackiego st. 5 w Pieniężnie i st. 1 w Kajnitych znajduje się w megaregionie Niż Wschodnioeuropejski, prowincji Niż Wschodniobałtycko-Białoruski, podprowincji Pobrzeża Wschodniobałtyckie, makroregionie Nizina Staropruska, mezoregionie Wzniesienia Górowskie¹⁰.

Teren badań znajduje się na synklinie perybałtyckiej platformy wschodnioeuropejskiej, która w paleocenie objęta była płytka zbiornikiem morskim. W eocenie i oligocenie trwała tu akumulacja morska, w wyniku której osadziły się na badanym obszarze piaski glaukonitowe, a miejscami mułki. Nawarstwienia związane z neogenem wskazują, że był to okres lądowy. Sedimentowany wtedy piaski, mułki i ily, niekiedy z prewarstwieniami węgla brunatnego wiązanego z miocenem. Nawarswienia plioceny charakterystyczne są dla akumulacji jeziornej. Łądolód wkroczył na ten obszar w plejstocenie. Świadectwem zlodowaceń północnopolskich jest obecność osadów typu zastoiskowego, wodnolodowcowego i lodowcowego stadia śródkowego i górnego zlodowacenia Wisły. Ostatnie zlodowacenie pozostawiło po sobie ciąg moren czołowych o przebiegu południowy zachód – północny wschód. Wraz z ocie-

¹⁰ Kondracki 2002: 99–102.



Ryc. 11. Profile litologiczne odwiertów wykonanych w otoczeniu grodziska w Pieniężnie, st. 5 (oprac. A. Lejzerowicz)



Ryc. 12. Schematyczny przekrój geologiczny przez otoczenie grodziska w Pieniężnie, st. 5 (oprac. A. Lejzerowicz)

pleniem lądolód zaczął rozpadać się na liczne bryły martwego lodu, z którego wypłukiwany był materiał gruboziarnisty, który w trakcie akumulacji tworzył moreny martwego lodu, kemy w przetainach i ozy w szczelinach lodowych. Po wytopieniu się lądolodu pozostały po nim zagłębienia widoczne na obszarach sandrowych i wysoczyźnie polodowcowej. Zagłębienia te w holocenie zaczęły wypełniać się namułami i torfami. W początkowym okresie holocenu intensywna była erozja rzeczna. To wtedy rzeka Wałsza wyrzeźbiła przełom w wysoczyźnie morenowej¹¹.

Według *Szczegółowej Mapy Geologicznej Polski* w skali 1:50 000 (ryc. 10) na obszarze stanowiska w dolinie występują piaski i żwiry wodnolodowcowe, a na krawędzi wysoczyzny gliny zwałowe. Według *Mapy Geologicznej Polski* w skali 1: 500 000 stanowisko znajduje się na granicy występowania glin zwałowych, ich zwierzelin oraz piasków i żwirów lodowcowych oraz piasków i żwirów sandrowych.

Według *Mapy Litogenetycznej Polski* w skali 1:50 000 stanowisko znajduje się na obszarze występowania piasków żwirowatych pochodzącego wodnolodowcowego.

Grodzisko Pieniężno, st. 5 położone jest w obrębie przełomu rzeki Wałszy, przy jego początkowym odcinku. Właściwe założenie grodowe znajdowało się najpewniej na szczytce wysoczyzny morenowej, a badania archeologiczne objęły także samą dolinę. Obszar wysoczyzny morenowej jest w omawianym rejonie dosyć płaski, gdyż deniwelacje nie przekraczają 10 m. Zbudowany jest z glin zwałowych, często przewarstwionych mułkami ilastymi i piaszczystymi oraz piaskami drobnoziarnistymi. Obszar badań znajdował się w dolinie rzeki Wałszy. Było to niewielkie wzniesienie łagodnie opadające w kierunku rzeki. Zbocza doliny na tym odcinku są strome i podcięte, wielokrotnie występują też obrywy i osuwiska.

W granicach opisanego wyniesienia w dolinie wykonano trzy wiercenia świdrem geo-

¹¹ Rabek i Młyńczak 2002.

logicznym (ryc. 11). Na podstawie wykonanych odwierów stworzony został schematyczny przekrój geologiczny przez stanowisko Pieniężno (ryc. 12). W wiercenach zaobserwowano występowanie głównie osadów piaszczystych oraz glin zwałowych. Wyraźnie zaznaczona jest miąższa warstwa gleby/nasypu antropogenicznego (zwłaszcza na stoku prowadzącym do leśniczówki, przy schodach; ryc. 11, odwier nr 3). Osady piaszczyste to piaski drobnoziarniste, czasami z domieszką frakcji żwirowej. W wiercenach występują również piaski ilaste stanowiące warstwy o stosunkowo nieznaczących miąższościach. W niektórych warstwach zaobserwować można pojedyncze okruchy skalne. Zaobserwowało również obecność materiału pochodzenia antropogenicznego (np. szkło w odwiercie nr 3), co pozwala podejrzewać, że część osadów w warstwie przypowierzchniowej została nanesiona/nasypana przez człowieka (osady nasypowe).

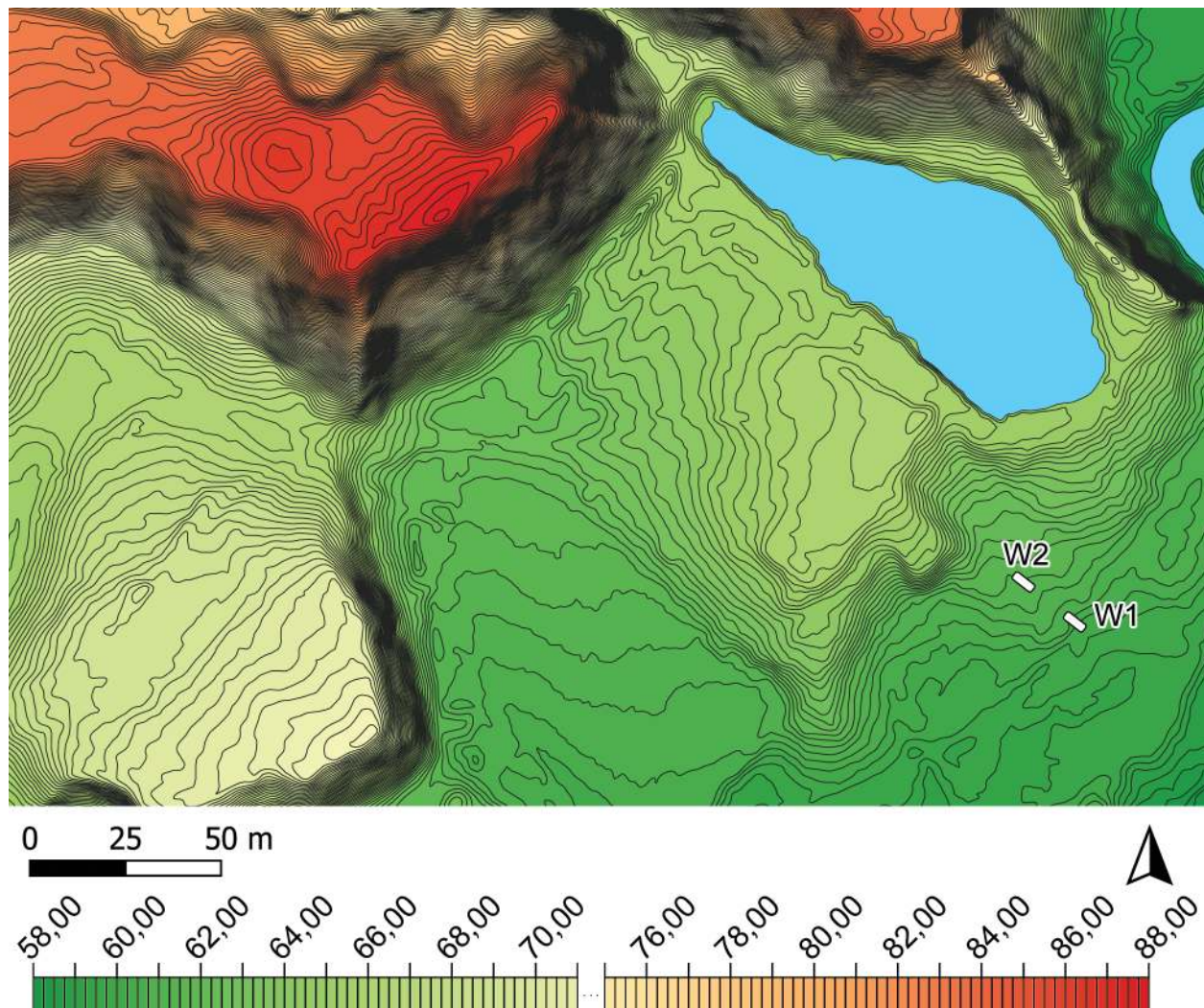
BADANIA ARCHEOLOGICZNE

RAFAŁ SOLECKI

Przebieg badań terenowych

Pierwszym krokiem do rozpoczęcia badań było wytypowanie właściwego obszaru. Jako że na *plateau* cypla, który wskazał J.M. Guise jako lokalizację grodziska, nie było śladów jakichkolwiek umocnień, zdecydowano się na przeprowadzenie badań wykopaliskowych w dolinie rzeki Wałszy, w miejscu, które zostało oznaczone na planie z 1932 roku¹² i opisane jako *Burgwall K.D.* W tej lokalizacji na powierzchni ziemi bardzo licznie występował materiał ceramiczny, także o średniowiecznej chronologii. Rozpoznanie przeprowadzono latem 2021 roku wytyczając dwa wykopy – W1 i W2 – o wymiarach 1 × 5 m, ułożone wzdłuż jednej osi w odległości 12 m od siebie (ryc. 13).

¹² *Topographische Karte 1:25 000 (Meßtischblatt)*, karta Mehlsack (471/1786), z 1932 r.



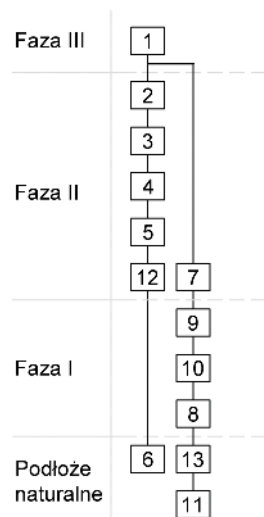
Ryc. 13. Pieniężno, st. 5. Plan otoczenia grodziska z naniesionymi wykopami archeologicznymi (oprac. R. Solecki)

Tabela 1. Pieniężno, st. 5. Katalog warstw i obiektów oraz ich zależności stratygraficznych (oprac. R. Solecki)

Numer jednostki	Numer obiektu	Numer wykopu	Położenie w obrębie stanowiska	Współrzędne geodezyczne (PUWG 1992)	Opis jednostki stratygraficznej	Barwa (Munsell)	Pozycja stratygraficzna	
							Zdaje się pod	Znajduje się nad
1	-	1, 2	wypłaszczenie przy korycie rzeki	X=707852,1-707866,6; Y=572517,1-572535,3	Piaszek z bardzo dużą domieszką materii organicznej, silnie poprzestany korzeniami; miąższość do 25 cm; współczesny poziom użytkowy	10YR 3/2	-	2, 3, 4, 5, 7, 8
2	-	1	wypłaszczenie przy korycie rzeki	X=707854,3-707856,1; Y=572530,6-572532,7	Piaszek z dużą domieszką materii organicznej i pojedynczymi drobinami gruzu ceglanego; miąższość do 30 cm; warstwa niwelacyjna	10YR 3/3	1	2
3	-	1	wypłaszczenie przy korycie rzeki	X=707854,1-707856,1; Y=572530,6-572532,9	Piaszek z dużą domieszką materii organicznej, pojedynczymi żwirkami oraz z soczewkami jasnego, sztywnego piasku; miąższość do 40 cm; warstwa niwelacyjna	10YR 4/3 (70%) 10YR 6/4 (30%)	1, 2	4, 5
4	-	1	wypłaszczenie przy korycie rzeki	X=707853,0-707855,4; Y=572531,4-572533,9	Piaszek z dużą domieszką materii organicznej; miąższość do 40 cm; warstwa niwelacyjna	7.5YR 5/3	1, 3	5
5	-	1	wypłaszczenie przy korycie rzeki	X=707852,1-707856,1; Y=572530,6-572535,3	Przemieszany piaszek z dużą domieszką materii organicznej; miąższość do 60 cm; warstwa niwelacyjna	10YR 4/2	1, 3, 4	6, 12
6	-	1	wypłaszczenie przy korycie rzeki	X=707852,1-707856,1; Y=572530,6-572535,3	Zwarty, drobno-, średnio- i gruboziarnisty piaszek; warstwa naturalna	10YR 6/4	5, 12	-
7	-	2	wypłaszczenie przy korycie rzeki	X=707864,4-707866,6; Y=572517,1-572519,4	Lekko ilasty piaszek z dużą domieszką materii organicznej, żwirkami i pojedynczymi kamieniami o średnicy do 15 cm; warstwa niwelacyjna	2.5Y 4/4	1	8, 9
8	-	2	wypłaszczenie przy korycie rzeki	X=707862,6-707866,6; Y=572517,1-572521,8	Ilasty piaszek z soczewkami gliny i licznymi żwirkami i pojedynczymi kamieniami o średnicy do 20 cm; miąższość do 45 cm; dawny brzeg rzeki Walszy	10YR 6/6	1, 7, 9, 10	11, 13
9	-	2	wypłaszczenie przy korycie rzeki	X=707862,6-707865,3; Y=572518,5-572521,8	Piaszek frakcji od drobno- do gruboziarnistej z licznymi żwirkami; miąższość do 20 cm; dawne dno koryta rzeki Walszy	10YR 7/4	7	8, 10
10	-	2	wypłaszczenie przy korycie rzeki	X=707862,6-707865,3; Y=572518,5-572521,8	Gruboziarnisty piaszek ze żwirem i pojedynczymi kamieniami średnicy do 15 cm oraz z drobinami gruzu ceglanego; miąższość do 30 cm; dawne dno koryta rzeki Walszy	10YR 5/6	9	8, 11
11	-	2	wypłaszczenie przy korycie rzeki	X=707862,6-707866,6; Y=572517,1-572521,8	Gruboziarnisty piaszek ze żwirem i licznymi kamieniami o średnicy do 35 cm; warstwa naturalna	10YR 4/6	8, 10	13
12	-	1	wypłaszczenie przy korycie rzeki	X=707852,1-707854,8; Y=572532,1-572535,3	Lekko przemieszany, lekko ilasty piaszek z domieszką materii organicznej; miąższość do 40 cm; warstwa niwelacyjna	10YR 5/6	5	6
13	-	2	wypłaszczenie przy korycie rzeki	X=707862,6-707866,6; Y=572517,1-572521,8	Zwarty, drobno-, średnio- i gruboziarnisty piaszek z drobnym żwirem i pojedynczymi kamieniami o średnicy do 30 cm; warstwa naturalna	10YR 6/4	8, 11	-

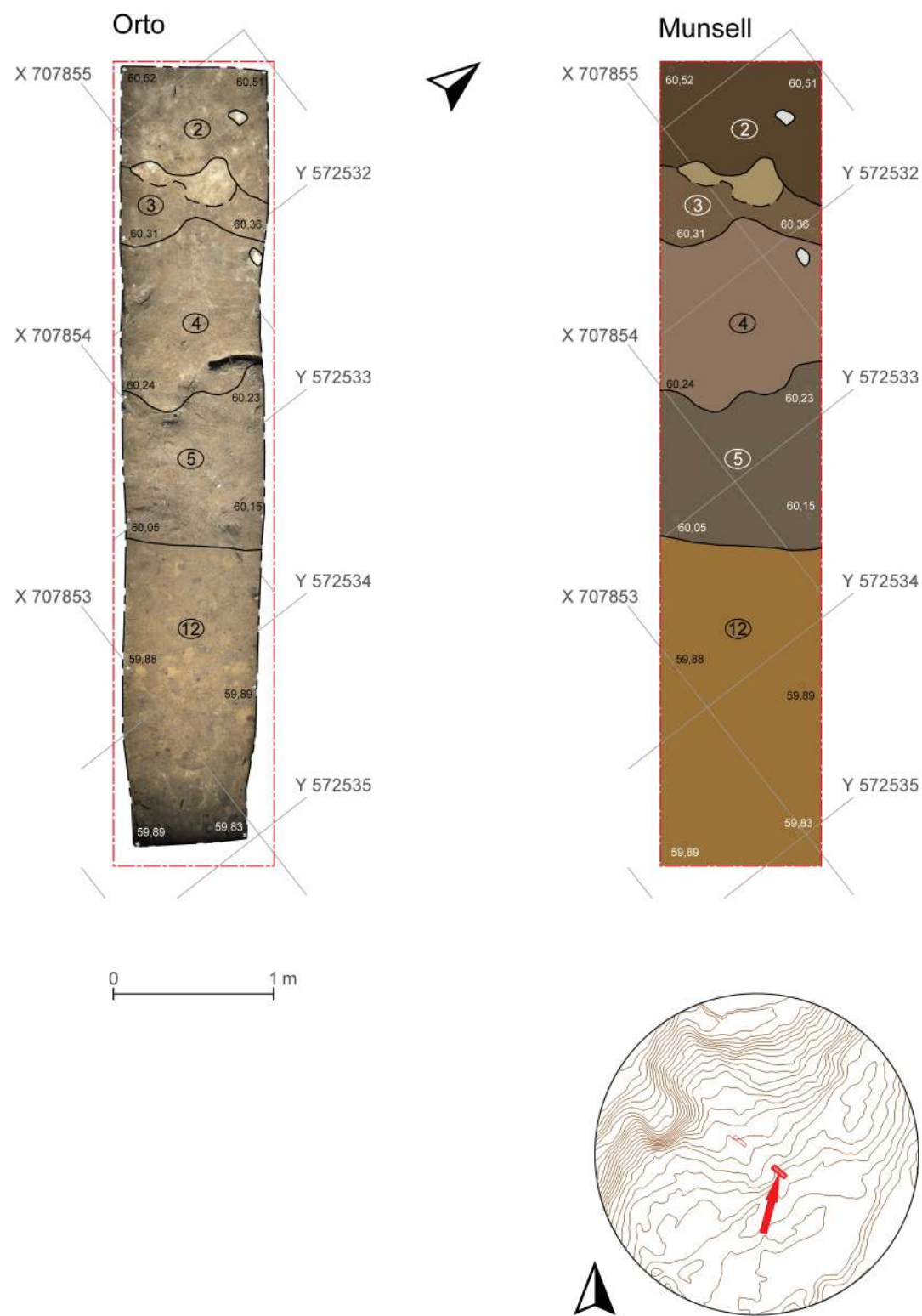
Stratygrafia stanowiska

W trakcie omawianych badań archeologicznych wydzielono łącznie 13 jednostek stratygraficznych (tabela 1). Możliwe było ich rozdzielenie pomiędzy warstwy naturalne i trzy fazy „użytkowe”. Diagram Harrisa dla wydzielonych jednostek stratygraficznych przedstawia ryc. 14, a zadokumentowane powierzchnie ryc. 15–18.

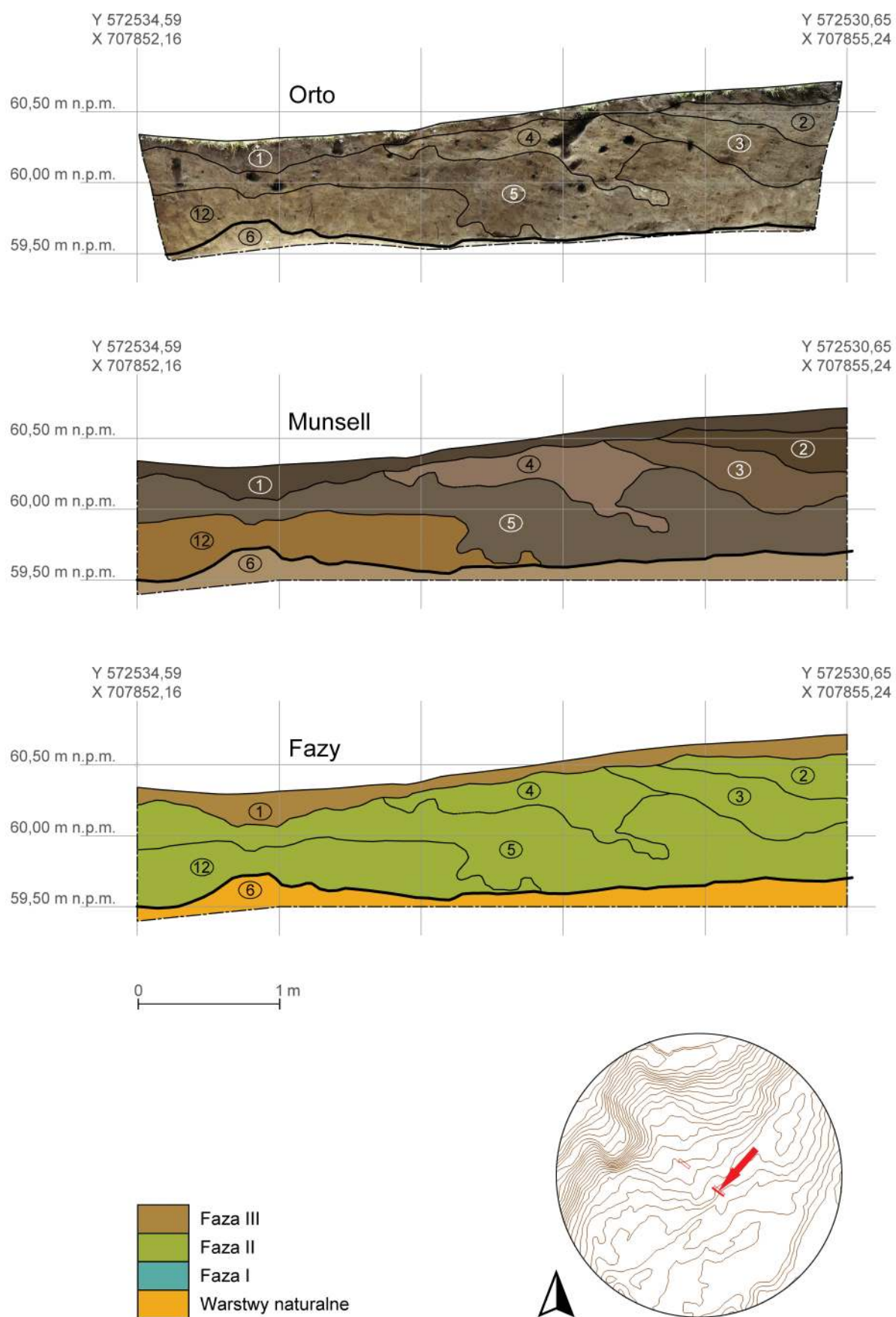
**Ryc. 14.** Pieniężno, st. 5. Diagram relacji stratygraficznych (oprac. R. Solecki)

Warstwy naturalne

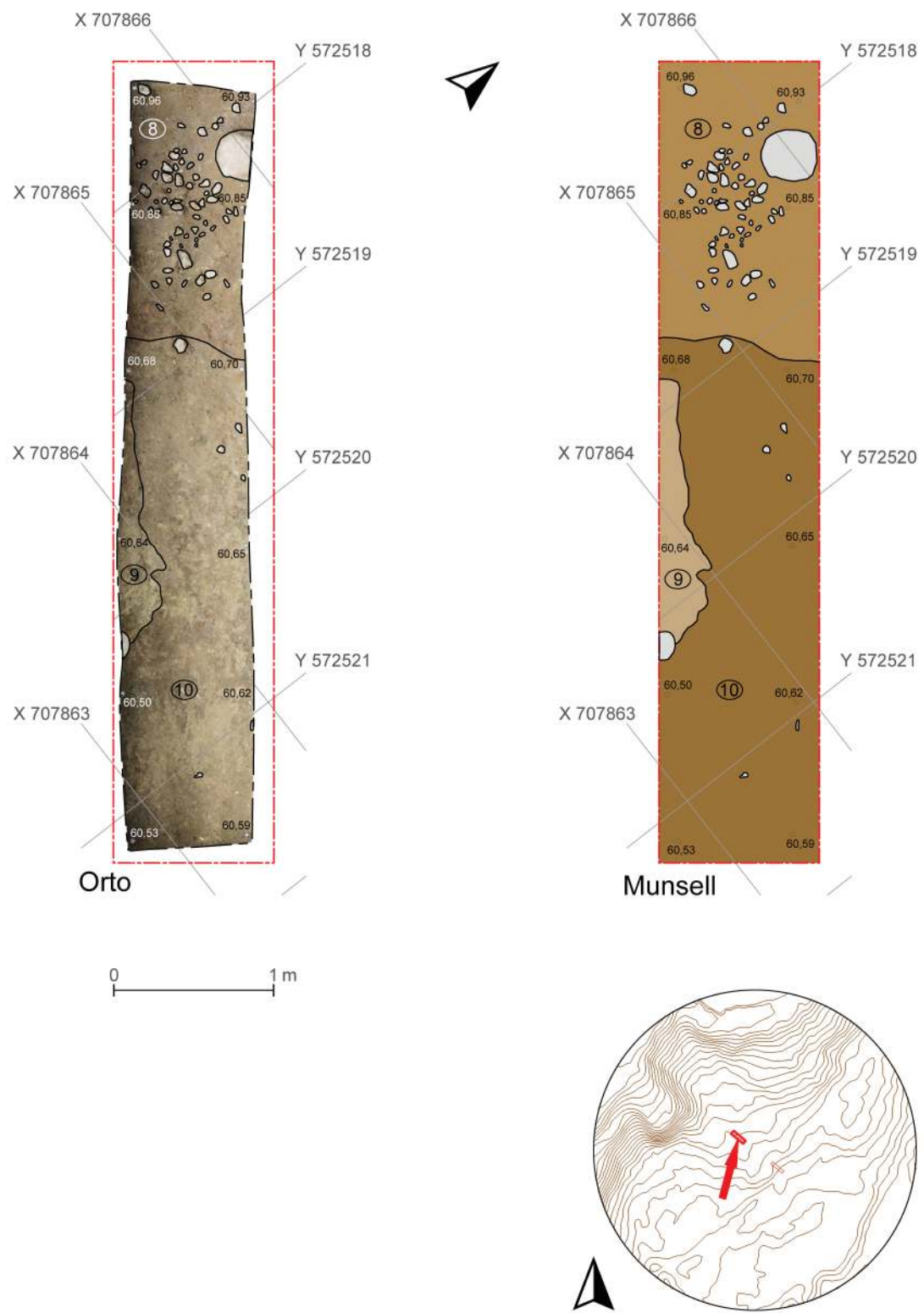
Jako jednostki naturalne sklasyfikowano, w W1 zwarty, drobno-, średnio- i gruboziarnisty piaszek 6, a w W2 gruboziarnisty piaszek ze żwirem i licznymi kamieniami 11 oraz zwarty, drobno-, średnio- i gruboziarnisty piaszek z drobnym żwirem i pojedynczymi kamieniami 13. Strop tych warstw opada delikatnie w kierunku południowo-wschodnim.



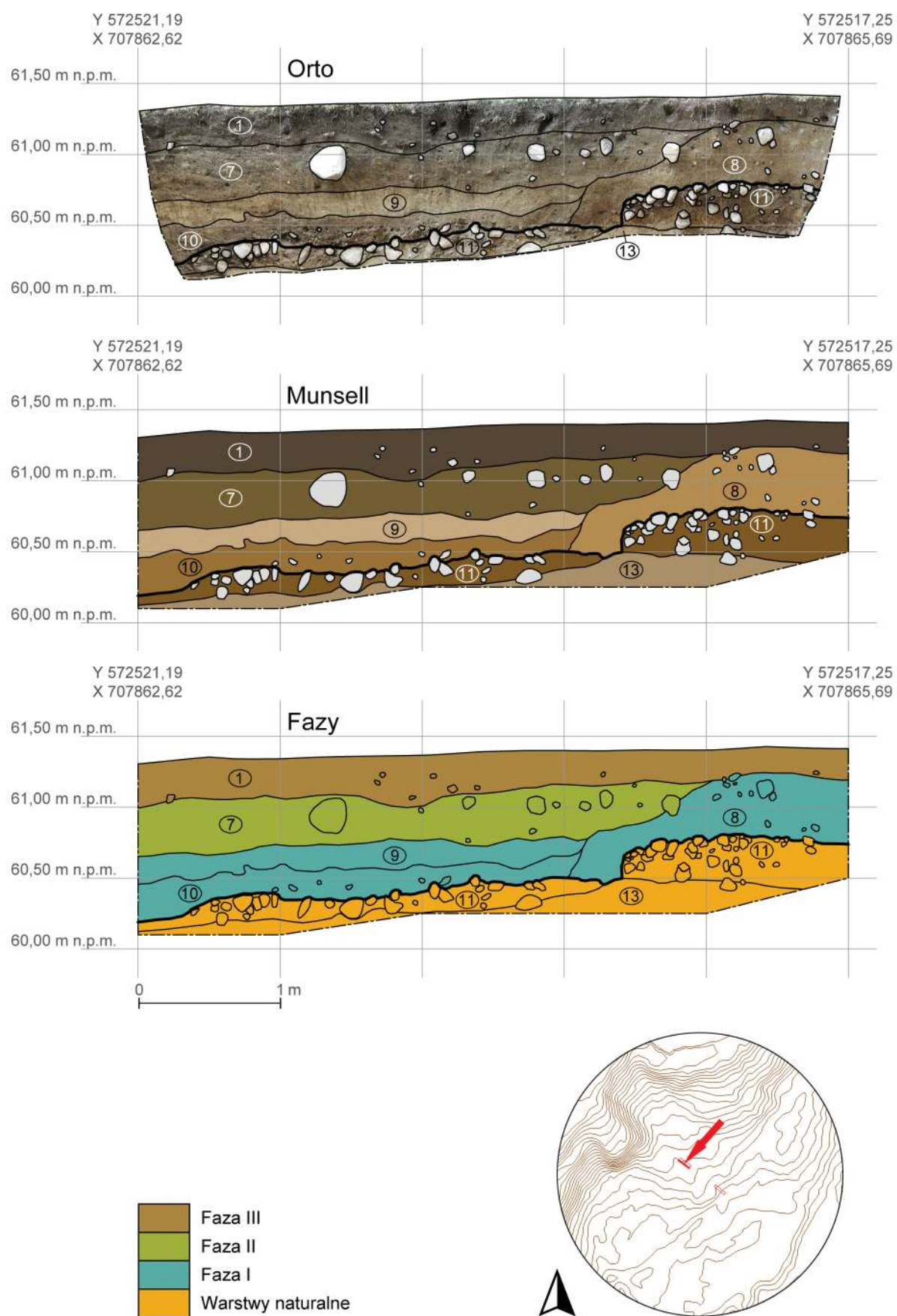
Ryc. 15. Pieniężno, st. 5. Stratygrafia nawarstwień na obszarze wypłaszczenia przy korycie rzeki – wykop 1 (oprac. R. Solecki)



Ryc. 16. Pieniężno, st. 5. Stratygrafia nawarstwień na obszarze wypłaszczenia przy korycie rzeki – wykop 1 (oprac. R. Solecki)



Ryc. 17. Pieniężno, st. 5. Stratygrafia nawarstwień na obszarze wypłaszczenia przy korycie rzeki – wykop 2 (oprac. R. Solecki)



Ryc. 18. Pieniężno, st. 5. Stratygrafia nawarstwień na obszarze wypłaszczenia przy korycie rzeki – wykop 2 (oprac. R. Solecki)

Charakterystyka i układ jednostek w W2 są bardzo zbliżone do tych, które można zaobserwować obecnie bezpośrednio w korycie rzeki.

Faza I

Faza ta wyznacza okres, kiedy koryto rzeki Wałszy znajdowało się nieco bliżej północno-zachodniej skarpy doliny, prawdopodobnie częściowo w granicach W2. Jako pozostałość brzegu paleokoryta zinterpretowano ilasty piasek z soczewkami gliny, licznymi żwirami i pojedynczymi kamieniami 8, który w zadokumentowanym przekroju (ryc. 18) tworzy sklon o nachyleniu około 30° i długości 1,5 m. Różnica wysokości pomiędzy szczytem a dnem tego sklonu wynosi około 65 cm. W powstałym w ten sposób zagłębienniu wydzielono gruboziarnisty piasek ze żwirem i pojedynczymi kamieniami oraz z drobinami gruzu ceglano-gipsowego 10, a ponad nim piasek frakcji od drobno- do gruboziarnistej z licznymi żwirkami 9. Warstwa 10 powstała najpewniej w okresie, gdy w granicach koryta nurt był wartki i działała erozja denna. Piaski warstwy 9 zaczęły narastać zapewne, gdy główny nurt rzeki już się przesunął w kierunku południowo-wschodnim, a strop warstwy 10 był zalewany sporadycznie podczas wyższych stanów rzeki. Obecnie poziom rzeki Wałszy na wysokości miejsca, gdzie prowadzono badania, osiąga poziom 58,00 m n.p.m. Strop warstwy 10, która interpretowana jest jako ostatni zadokumentowany poziom dna paleokoryta, znajduje się na średnim poziomie około 60,55 m n.p.m. Na omówionym przekroju doliny rzeki Wałszy skala obniżenia się poziomu koryta sięga więc około 2,5 m.

Na podstawie analizy materiału zabytkowego pochodzącego z jednostek tej fazy można szacować jej chronologię na późne średniowiecze lub wcześnie nowożytność.

Faza II

Fazę tę wydzielają jednostki o charakterze niwelacji, które wyraźnie podnoszą (miejscami nawet o 80 cm) poziom użytkowy w tej części doliny i go równąją. Do warstw niwelacyjnych zaliczono w W1: nieco przemieszany, lekko ilasty piasek z domieszką materii organicznej 12, przemieszany piasek z dużą domieszką materii organicznej 5, piasek z dużą domieszką materii organicznej 4, piasek z dużą domieszką materii organicznej, pojedynczymi żwirkami oraz z soczewkami jasnego, sypkie-

go piasku 3 oraz piasek z dużą domieszką materii organicznej i pojedynczymi drobinami gruzu ceglano-gipsowego 2. W W2 do fazy tej przypisano tylko lekko ilasty piasek z dużą domieszką materii organicznej, żwirami i pojedynczymi kamieniami 7.

Dokonane obserwacje nie pozwalają jednoznacznie stwierdzić, że niwelacje przeprowadzono w ramach jednego wydarzenia. Być może naworzono je sukcesywnie w dłuższym wymiarze czasu? Analiza materiału zabytkowego pochodzącego z tych działań pokazuje dość duży rozrzułt chronologiczny. Zdarzają się zarówno fragmenty o cechach, które opisano jako wcześnieśredniowieczne, ale również fragmenty o chronologii sięgającej XIX, lub nawet początku XX wieku. Dominuje jednak ceramika ceglana o cechach nowożytnych.

Faza III

Faza ta wyznacza współczesny poziom użytkowy stanowiska. Warstwa przypisana do tego etapu to piasek z bardzo dużą domieszką materii organicznej, silnie poprzeraстany kořeniami 1. Jego strop delikatnie opada w kierunku dzisiejszego koryta rzeki Wałszy.

ZNALEZISKA

RAFAŁ SOLECKI

Zbiór zabytkowy pozyskany w trakcie badań archeologicznych składa się z: 361 fragmentów ceramiki, 8 fragmentów szkła, 33 zabytków wydzielonych oraz 41 kości zwierzęcych.

Ceramika

Pozyskany zespół fragmentów naczyń ceramicznych jest silnie rozdrobniony. Zbiór ułamków o wielkości w przedziale 1–4 cm liczy aż 320 elementów (88,6% całego zbioru). Poza dużym rozdrobnieniem stan zachowania fragmentów jest relatywnie dobry. Stosując klasyfikację zaproponowaną przez A. Buko¹³, 3 fragmenty (0,8% całego zbioru) przypisano do kategorii III (ceramika mocno zerodowana), 103 fragmenty (28,5% całego zbioru) do kategorii II (ceramika zerodowana w średnim stopniu), 246 fragmentów (68,2% całego zbioru) do kategorii I (ceramika nie wykazująca większego zniszczenia powierzchni) i 9 fragmentów (2,5% całego zbioru) do kategorii 0 (ceramika bez śladów zniszczenia).

¹³ Buko 1990: 352.

Tabela 2. Zestawienie ilościowe fragmentów ceramiki z grodziska w Pieniężnie, st. 5 (oprac. R. Solecki)

Faza	Jednostka stratygraficzna	Liczba fragmentów łączne	Liczba różnych naczyn	Szyjki	Wyjewy	Brzusze	Rodzaj powierzchni		Ornamentowane		Ucha		Części przydenne	Podsypka	Wałek dookolny	Płaskie	Rodzaj	Dna	6	28	1	1		
							Liczba fragmentów	SEN (procent obwodu)	Szorstkie	Wyświecane	Gładkie	Chropowaczone												
I	8	31	11	7	22	21	25	6	4	8			3	20	2	1	6							
I	9	1	1	1	4		1		2		1									1				
I	10	2	2	1	4															1	1			
II	2	81	16	11	40		1	54	70	9	2	27	13	2	63	2	2	1	5	2	7	59	1	
II	3	16	5	3	9				12	13	1	2	7	5	1				3	1		16		
II	4	90	31	16	92	1	1	55	86	2	2	43	13	5	1	12	17	6	2	1	10	77	3	
II	5	49	10	8	30	1	30	45	4	4	25	8	1	4	6	68	1	3	1	2	3	1	33	1
II	7	5	3	1	3				3	5				2		1					1	4		
III	1	86	43	12	63	1	57	76	6	4	23	16	4	3	10	54	1	1	7	3	7	69	10	
Suma	361	122	60	264	6	2	233	323	28	10	130	65	13	15	38	222	1	4	20	8	2	34	1	5
Suma	2	116	132	70	23	8	2	4	2	4	2	9	246	103	3	288	4	40	2	4	228	1	1	

Tabela 3. Fragmentacja i erozja fragmentów ceramiki z grodziska w Pieniężnie, st. 5 (oprac. R. Solecki)

Faza	Jedn. strat.	Kategorie wielkościowe (cm)										Stopień erozji						Suma
		1	2	3	4	5	6	7	8	9	10	0	1	II	III			
I	8		10	13	5		1		1			4	19	8				31
I	9				1							1						1
I	10			1	1							1	1					2
II	2	1	30	23	13	7	3	1	2		1		50	30	1	81		
II	3		6	7	3							11	3	2			16	
II	4	18	38	23	7	2	1			1		68	22				90	
II	5		13	18	6	8	2					33	16				49	
II	7		1	2	2							1	3	1			5	
III	1	38	30	16	1							4	60	22			86	
Suma	2	116	132	70	23	8	2	4	2	4	2	9	246	103	3	361		

Na podstawie technologii produkcji naczyń wydzielono 6 grup technologiczno-surowcowych. Z powodu złego stanu zachowania nie udało się zdiagnozować tylko 4 fragmentów.

Ceramika wczesnośredniowieczna

Do grupy technologiczno-surowcowej charakterystycznej dla okresu wczesnego średniowiecza zaliczono 5 fragmentów (1,4% zbioru fragmentów diagnostycznych). Była to ceramika wykonana ze słabo przesortowanej i niedokładnie wyrobionej masy ceramicznej z niedużą domieszką piasku i drobin startego granitu. Znalezione fragmenty to wyłącznie brzuśce o powierzchni gładkiej (2 przypadki) lub szorstkiej (3 przypadki). 3 fragmenty były dodatkowo ozdobione rytymi, równoległymi liniami w układzie poziomym. Naczynia wypalono w niezaawansowanej atmosferze utleniającej. Fragmenty te znaleziono w jednostkach fazy II.

Ceramika wykonana i ozdobiona w zbliżony sposób, pochodząca z mikroregionu Rejenty–Myślice, datowana jest na około XI–XIII wiek¹⁴.

Ceramika siwa

Do grupy ceramiki, tzw. siwej, zaliczono 18 fragmentów (5% zbioru fragmentów diagnostycznych). Czerepy naczyń z tej grupy uformowano z dobrze wyrobionej masy ceramicznej z niedużą domieszką drobno- i średnioziarnistego piasku. Ich powierzchnia jest gładka. Grubość ścianek zamkniętej w przedziale 3–11 mm ze średnią około 5–5,5 mm. Naczynia wypalono w atmosferze redukcyjnej, dzięki czemu ich ściany są barwy szarej i ciemnoszarej. Na dwóch fragmentach zanotowano ślady niedosiwienia. Także na dwóch fragmentach znajdowały się zdobienia w formie rytych linii w układzie poziomym. Ceramika wykonana w taki sposób charakterystyczna jest dla okresu późnego średniowiecza¹⁵.

W analizowanym zbiorze znalazło się 14 fragmentów brzuśca, 1 fragment prawdopodobnie płaskiego dna (tabl. 1:3), 1 fragment nogi, prawdopodobnie patelni lub grapena (tabl. 1:4) i 3 fragmenty wylewów. Dwa z nich (tabl. 1:1–2), zachowane na tyle dobrze, że możliwe było zrekonstruowanie krawędzi

wylewu, miały krawędź wychyloną na zewnątrz, lekko pogrubioną i zaokrągloną, bez czytelnego okapu. Garnki o podobnym wylewie znalezione podczas badań w Pucku datowane są na XV wiek¹⁶. W odniesieniu do ceramicznej nóżki, która często występuje w naczyniach typu grapan, to forma ta pojawia się w Elblągu w drugiej čwierci XIV wieku, a największą popularność zyskuje w wieku XV¹⁷.

Ceramika ceglasta

Do grupy ceramiki ceglastej zaliczono 288 fragmentów (80,7% zbioru fragmentów diagnostycznych). Czerepy naczyń z tej grupy uformowano z dobrze wyrobionej masy ceramicznej z małą domieszką drobnoziarnistego piasku. Ich powierzchnia jest najczęściej gładka. Tylko sporadycznie (20 przypadków/6,9% analizowanej grupy) zdarzają się fragmenty o szorstkiej powierzchni. Naczynia wypalone w zaawansowanej atmosferze utleniającej, co powodowało, że ich powierzchnia była jednolicie pomarańczowa. Aby zmniejszyć nasiąkliwość ścian naczyń stosowano szkliwienie. Jego ślady odnotowano na 105 fragmentach (36,5% analizowanej grupy). Występuje ono najczęściej na wewnętrznej powierzchni naczynia, ale czasami zdarza się także na zewnętrznej. Na ściankach wewnętrznych szkliwo ma kolor żółty lub zielony. Na ścianach zewnętrznych występuje dodatkowo szkliwo kolor brązowego i białawego. Na 57 fragmentach (19,8% analizowanej grupy) zanotowano ślady zdobień. Najczęściej były to poziome, dookoła linie ryte (52 przypadki) (tabl. 2:13–15), ale występują także malowane na biało pasy umiejscowione na powierzchni zewnętrznej (5 przypadków) i 1 przypadek dookoła listwy (tabl. 2:16). Ceramika wykonywana w ten sposób zaczyna się upowszechniać na omawianym obszarze na przełomie XV i XVI wieku¹⁸.

Na podstawie zachowanych ułamków naczyń tej grupy nie udało się zrekonstruować żadnej pełnej formy. W analizowanym zbiorze znalazło się 50 fragmentów wylewów, 1 pokrywka, 26 fragmentów den i 9 fragmentów uchwytów. Na podstawie sposobu ukształtowania wylewu można szacunkowo określić funkcję naczynia. Fragmenty, gdzie górną

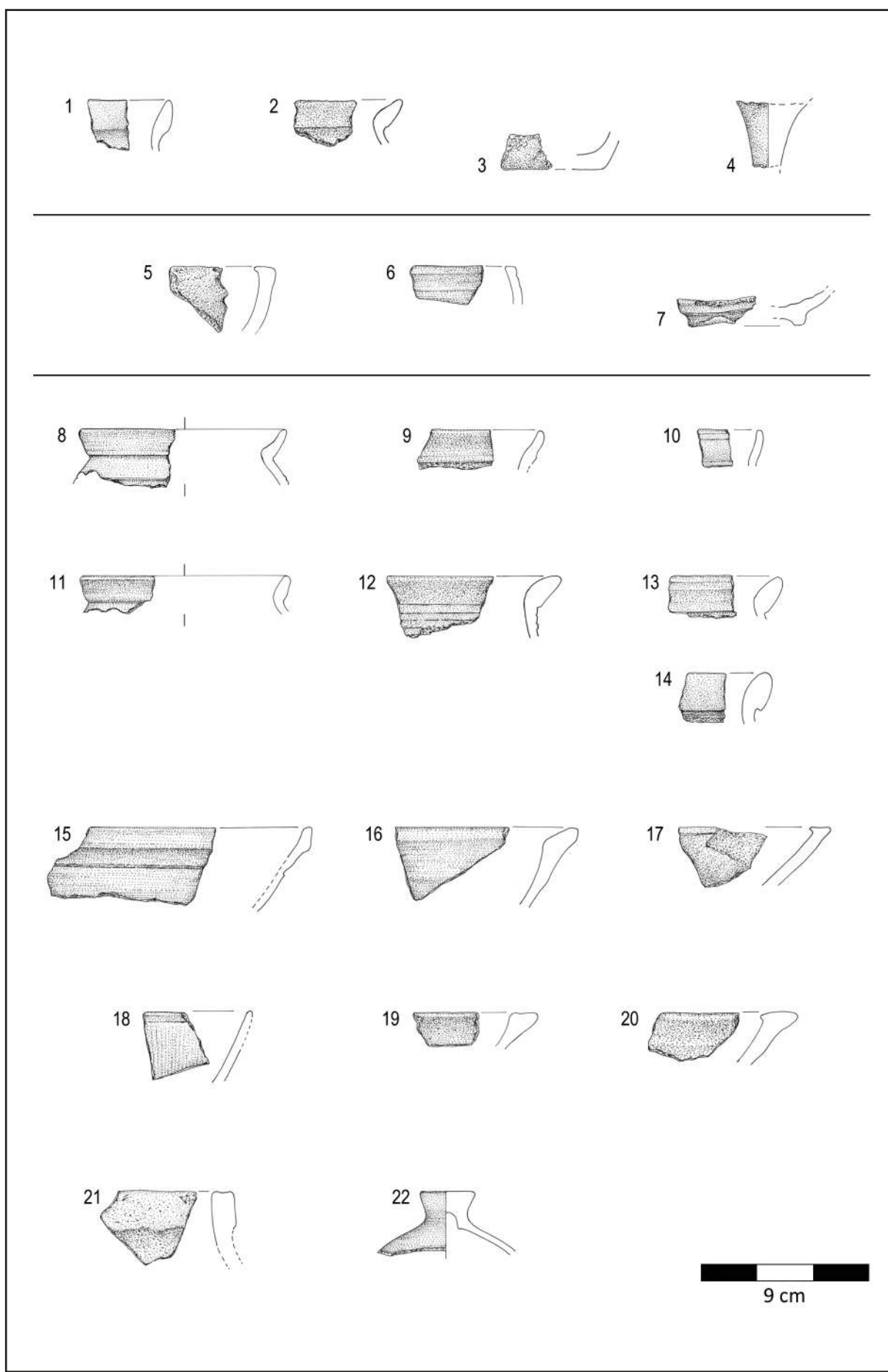
¹⁶ Starki 2009: 209–211, 269 (fig. 23:3), 272 (fig. 26:7).

¹⁷ Marcinkowski 2013: 245.

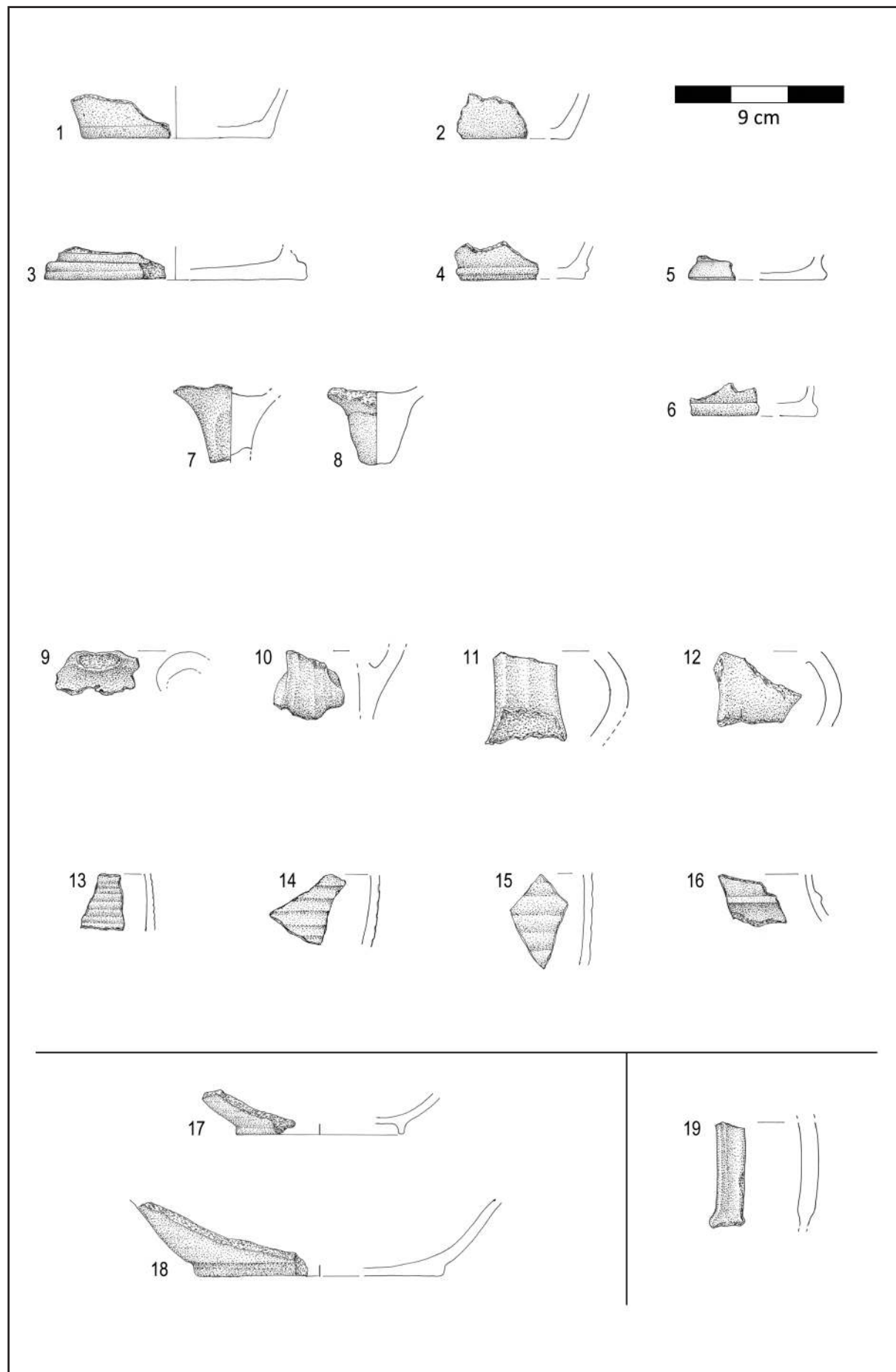
¹⁸ Marcinkowski 2013: 245–247.

¹⁴ Wadyl 2019: 135–144.

¹⁵ Kruppé 1981: 56.



Tablica 1. Pieniężno, st. 5. Ceramika: 1–4) siwa, 5–6) ceglasta z fazy I, 7–21) ceglasta z fazy II (rys. B. Karch)



Tablica 2. Pieniężno, st. 5. Ceramika: 1–16) ceglasta z fazy II, 17–18) fajans, 19) kamionka (rys. B. Karch)

część naczyń zachodzi do wnętrza, a krawędzie wylewów – ścieniające się (tabl. 1:8–10) lub pogrubione (tabl. 1:11–14) – są wywinieto na zewnątrz, można określić jako garnki. Fragmenty, gdzie ściany naczyń i krawędzie wylewów otwierają się na zewnątrz (tabl. 1:15–20) można interpretować jako misy lub patelnie. Fragmenty o krawędziach wylewów zuchylonych do wnętrza (tabl. 1:5–6) mogą pochodzić z czarek. Fragment o krawędzi ustawionej pionowo i pogrubionej, mógłby być zarówno garnkiem, jak i grapenem. Pokrywka zachowana jest we fragmencie (tabl. 1:22), ale można określić, że miała stożkowaty kształt, a guzek także był stożkowaty. Dna były najczęściej płaskie (13 przypadków) (tabl. 2:1–6), rzadziej lekko wklęsłe (4 przypadki) lub wklęsłe (1 przypadek). Na 1 fragmencie zanotowano ślady podsypki, a 2 dna zaopatrzone były w dookolny wałek stanowiący właściwą podstawę naczynia. Tu należy także doliczyć 2 krótkie, masywne nóżki od patelni lub grapena (tabl. 2:7–8). W grupie uchwytów zanotowano tylko ucha. Miały one formę szerokich, masywnych, owalnych w przekroju taśm (tabl. 2:9–12). Analogie dla prawie wszystkich wymienionych typów naczyń można znaleźć w zespole ceramiki z Pucka, z warstw datowanych na XV–XVI wiek¹⁹. Analogie dla wylewów garnków znane są z badań twierdzących Wisłoujście²⁰.

Kamionka

Zbiór fragmentów naczyń kamionkowych jest mały, gdyż liczy tylko cztery elementy (1,1% zbioru fragmentów diagnostycznych). Znalezły się w nim dwa fragmenty brzuśców, jeden fragment części przydennej i jedno ucho wykonane z owalnej, spłaszczonej taśmy (tabl. 2:19). Najstarsze naczynia wykonane w tej technologii znalezione w Gdańsku datowane są nawet na XIV wiek²¹, ale te omawiane są zdecydowanie młodsze, zapewne z XIX–XX wieku.

Fajans

Zbiór fragmentów naczyń fajansowych liczy 40 elementów (11,2% zbioru fragmentów diagnostycznych). Znalezły się w nim 7 fragmentów wylewów, 9 fragmentów dna lub części przydennych, 3 fragmenty uch i 21 frag-

mentów brzuśców. Tylko 2 fragmenty części dennego pozwoliły na przybliżoną rekonstrukcję formy naczyń – głębokich mis (tabl. 2:17–18). Jedna z nich miała najpewniej funkcję dekoracyjną, gdyż w dookolnym wałku uformowanym wzdłuż krawędzi dna, znajdował się otwór do zaczepu. Ze względu na znaczący stopień zniszczenia powierzchni tylko na dwóch fragmentach udało się uchwycić zdobienia malowane niebieską farbą – raz był to motyw roślinny, być może drzewo, w drugim przypadku nieokreślony układ zawijasów.

Najstarsze znaleziska ceramiki tego typu w Polsce datowane są od drugiej połowy XVI wieku i są one importami²². Wytwory lokalne są młodsze, a rozwój ich produkcji można dataować od około początku XVIII do połowy XIX wieku²³.

Porelana

Grupę porcelany tworzą dwa fragmenty (0,5% zbioru fragmentów diagnostycznych) części dennych, pochodzących zapewne z talerzyków. Brak sygnatury i zdobień uniemożliwia bliższe określenie chronologii.

Szkło

W kategorii szkła znalazło się osiem fragmentów, z których jeden to szkło okienne, a siedem to ułamki naczyń. Fragment szyby okiennej jest niewielki, wykonany z cienkiej na około 1 mm taflí żółtawego szkła z widocznymi niedoskonałościami w postaci pęcherzyków. Zabytki tego typu pojawiają się na obszarze dzisiejszej Polski już w XIV wieku²⁴. Fragmentami butelek są najpewniej cztery ułamki grubszego szkła, trzy w kolorze zielonym i jeden w kolorze brązowym. Dwa fragmenty to ułamki kieliszków, jeden to stopka ze szkła białego i jeden wylew ze szkła zielonkawego. Ostatni fragment żółtawego koloru to krawędź, być może, talerzyka. Szkło naczyniowe ma cechy morfologiczne wskazujące na młodszą chronologię, zapewne XIX–początek XX wieku.

Zabytki wydzielone

W grupie zabytków wydzielonych najliczniejszy zbiór, liczący 21 elementów, tworzą gwoździe lub ich fragmenty. Wśród nich najczęściej występuje typ C według klasyfikacji Łukasza

¹⁹ Starki 2009.

²⁰ Dąbał 2015: 223, 229–231.

²¹ Ceynowa 2020: 39–40, 43.

²² Oniszczuk 2013: 26.

²³ Marcinkowski 2011: 35–38.

²⁴ Wyrobisz 1968: 75–76.



Tablica 3. Pieniężno, st. 5. Zabytki wydzielone (fot. R. Solecki)



Tablica 4. Pieniężno, st. 5. Zabytki wydzielone (fot. R. Solecki)

Siczka lub typ E według klasyfikacji Bogusława Gierlacha, który charakteryzuje się główką wyodrębnioną ze wszystkich stron (tabl. 3:1–14). Miały one służyć do łączenia konstrukcyjnych elementów drewnianych, ale też drewna z metalem²⁵. Wszystkie gwoździe przypisane do tego typu mają krępe ostrze o prostokątnym przekroju, główkę średnicę w zakresie 0,8–1,6 cm i długość od 2,5 cm do 14,5 cm. Obok tego zbioru wydzielono także 4 gwoździe o cienkim ostrzu. 2 z nich miały ostrze krótkie i szeroką, płaską główkę (tabl. 3:15–16). Gwoździe tego typu często określane są jako tapicerskie. Kolejne 2 mają dłuższe ostrze do 4 cm, ale zredukowaną główkę (tabl. 3:17–18). Często służyły w meblarstwie do mocowania drewnianych obić. Uzupełnieniem tej grupy są trzy ułamane ostrza gwoździ (tabl. 3:19–21).

Do elementów związanych z zamkaniem drzwi można zaliczyć dwa skoble (tabl. 4:3–4), o długości 2,5 cm i 5 cm. Zabytki tego typu, w niemal niezmienionej formie, występują zasadniczo do XX wieku²⁶.

Jako rzeczy osobiste należy traktować elementy fajki wykonane z jasnej glinki: cybuch (tabl. 4:9) i główkę (tabl. 4:10). Zabytki o takiej uniwersalnej formie można datować od końca XVIII po początek XX wieku²⁷. Kolejna jest żelazna, prostokątna sprzączka (tabl. 4:7) o wymiarach 2 × 2,5 cm wykonana z kwadratowego w przekroju pręcika o boku 3 mm. Taka forma niestety nie ma cech, które pozwoliłyby na jej precyzyjne wydatowanie. Ostatni w tym zespole jest fragment żelaznej łyżki (tabl. 4:8), także o nieokreślonej chronologii.

Wydzielono też zespół przedmiotów o nieokreślonej funkcji. Zaliczono do niego wióry żelazne (tabl. 4:1–2), które z jednej strony można interpretować jako źle zachowane ostrza noży, ale bardzo nieregularna powierzchnia nie wyklucza, że są to odłamki pocisku. Kolejne są dwie grudki ołowiu (tabl. 4:5–6) i grudka korozji brązowej (tabl. 4:12). Pierwsza grudka ołowiu przypomina ciężarkę wędkarski, a druga może być pozostałością po taśmie do mocowania szybek w oknie. Na grudce korozji brązowej zachował się odciśk drewna. Ostatni zabytek to złamana laska ebonitowa (tabl. 4:11) z plamkami farby czerwonej i niebieskiej. Przedmioty tego typu słu-

²⁵ Siczek 2016: 173; Gierlach 1966: 144.

²⁶ Łukomiak 2016: 142.

²⁷ Żurowski 1951.

żyły jako wyposażenie laboratorium w szkołach od końca XIX wieku.

Kości zwierzęce

Zbiór 41 kości zwierzęcych, pomimo że pochodził z przemieszanego kontekstu, nie powstał przypadkowo w wyniku redepozycji przypadkowych kości z powierzchni. Na zdecydowanej większości kości widoczne są ślady, które można wiązać z obróbką i konsumpcją mięsa. W zbiorze tym wydzielono 18 kości bydła, 9 świń, 2 owcy/kozy, 3 dużych ssaków i 9 nieokreślonych. Szczegółowa analiza całego zbioru znajduje się w niezależnym opracowaniu²⁸.

CHRONOLOGIA I DZIEJE GRODZISKA W PIENIĘŻNIE, ST. 5

RAFAŁ SOLECKI

Dokonanie omówienia chronologii i dziejów grodziska w Pieniężnie będzie o tyle trudne, że musi opierać się na bardzo wątym materiale źródłowym. W takim wypadku wygodniejsze będzie wypisanie w punktach informacji, które można uznać za pewne:

- jako pierwszy grodzisko znajdujące się w dolinie rzeki Wałszy poniżej Pieniężna wymienia i szkicuje J.M. Guise na początku XIX wieku. Na podstawie wykonanego planu (ryc. 6:1) możliwe jest precyzyjne zlokalizowanie grodziska w terenie (ryc. 6:4B). Jest to wysoki cypel zlokalizowany bezpośrednio na północny wschód od budynku leśniczówki;
- na szkicu wykonanym przez J.M. Guisego (ryc. 6:1) widoczny jest cypel, którego krańcę otoczone są prawdopodobnie wałem (pogrubiona linia) układającym się w kształt litery „L”. Linia umocnień odcina także cypel od wysoczyzny. Może to oznaczać, że w momencie, gdy sporządzany był plan, czyli najpewniej w latach dwudziestych XIX wieku, umocnienia te były jeszcze widoczne w terenie;
- kolejny chronologicznie plan, nie będący powiększeniem szkicu J.M. Guisego, znajduje się na karcie grodziska w katalogu *Burgwall-kartei*. Karta ta została wykonana w okresie międzywojennym²⁹. Rysunek przedstawia cypel, ale zaznaczona jest na nim tylko struktura odcinająca go od wy-

²⁸ Szczygieł 2024.

²⁹ Herrmann 2002: 92.

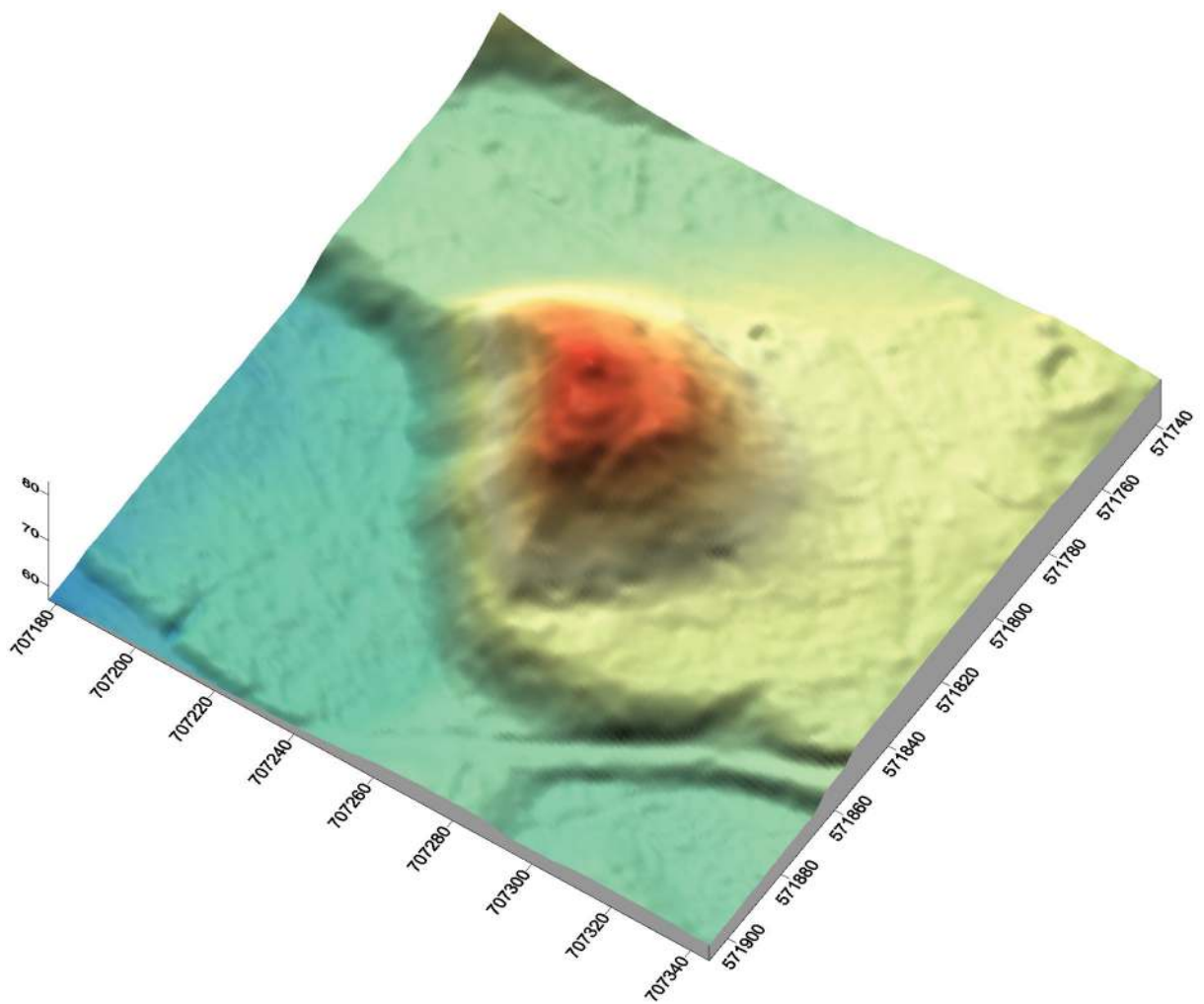
- soczyzny (ryc. 6:3). Brak jest oznaczeń, które sugerowałyby istnienie wałów;
- weryfikacja stanowiska w terenie wykazała brak umocnień w obrębie cypla. Czytelne są natomiast ślady prac ziemnych, być może związanych z kultywacją ziemi albo pozyskiwaniem kruszywa. Tu warto wskazać, że w niedużej odległości od stanowiska (około 750 m na zachód i około 500 m na północ) są dwa miejsca, gdzie pozyskiwano w przeszłości kruszywo. Nie można zatem wykluczyć, że po sporządzeniu planu przez J.M.Guisego na początku XIX wieku obszar stanowiska został zniszczony. Brak czytelnych umocnień nie oznacza, że nie zachowały się wkopane głęboko obiekty związane z grodziskiem. Wykonanie prospekcji nieinwazyjnej w tym miejscu utrudniają jednak warunki – gliniaste podłożo w przypadku georadaru i duża ilość współczesnych śmieci metalowych w przypadku metod wykrywających anomalie magnetyczne;
 - w trakcie weryfikacji powierzchniowej obszaru wokół grodziska natrafiono na dużą liczbę skorup ceramicznych zalegających na powierzchni wokół leśniczówki, która z kolei znajduje się bezpośrednio poniżej cypla z grodziskiem. Weryfikacja wykopaliskowa w tym miejscu dostarczyła informacji, że materiał zabytkowy znajduje się w warstwach niwelacyjnych, które kształtują *plateau* wokół leśniczówki. Z przebadanych 10 m² powierzchni pozyskano 361 fragmentów ceramiki, 8 fragmentów szkła, 33 zabytki wydzielone (w tym 21 gwoździ) oraz 41 kości zwierzęcych. W zbiorze znajdują się zabytki, które można datować od późnego średniowiecza po przełom XIX i XX wieku;
 - można postawić hipotezę, że warstwy niwelacyjne z dużą liczbą materiału zabytkowego, to warstwy kulturowe zrzucone z powierzchni cypla, gdzie J.M. Guise lokalizował grodzisko. Niwelacje wykonano w celu podniesienia i wyrównania powierzchni w obrębie doliny, gdy przygotowywano się do budowy tam budynku leśniczówki. Budynku tego nie ma jeszcze oznaczonego na mapie z 1872 roku³⁰, a jest już na mapie z 1913 roku³¹. Jego budowa musiała zatem odbyć się we wskazanym okresie;
 - jeżeli uznać powyższą hipotezę za prawdziwą i materiał zabytkowy pozyskany z warstw niwelacyjnych pochodziłby z obszaru zniszczonego grodziska, to można spróbować na podstawie tego materiału określić formę grodziska. Zatem prawdopodobnie nie było to typowe grodzisko, bo te związane z początkami Pienieżna jeszcze w drugiej połowie XIII wieku, należy lokalizować w Wojnitach, st. 1 (grodzisko opisane w niniejszym tomie), a potem od XIV wieku już z dzisiejszym miastem. We wskazanej przez J.M. Guisego lokalizacji mógł znajdować się raczej umociony dworek rycerski. Jako że w warstwach niwelacyjnych nie zanotowano wyraźnych pokładów gruzu ceglanego, można zakładać, że budynek był w konstrukcji drewnianej. W asortymencie naczyń ceramicznych dominuje zespół, który można datować od przełomu XIV i XV wieku po XVII wiek. Najpewniej w tym okresie założenie to funkcjonowało najintensywniej.
- Przedstawiona powyżej hipoteza najpewniej ulegnie zmianie w toku kolejnych badań. Na obecnym etapie jest to jednak pierwszy przyczynek, który pozwala odnieść się do źródeł pisanych i kartograficznych dotyczących grodziska położonego w Pienieżnie. Dzięki przeprowadzonemu rozpoznaniu możliwe było także zrewidowanie ustaleń z końca XX wieku związanych z lokalizacją tego grodziska, którego doszukiwano się w kilku miejscowościach wzdłuż koryta rzeki Wałszy. Obecne wskazanie wydaje się być tym właściwym, a przynajmniej tym, które wskazywał J.M. Guise.

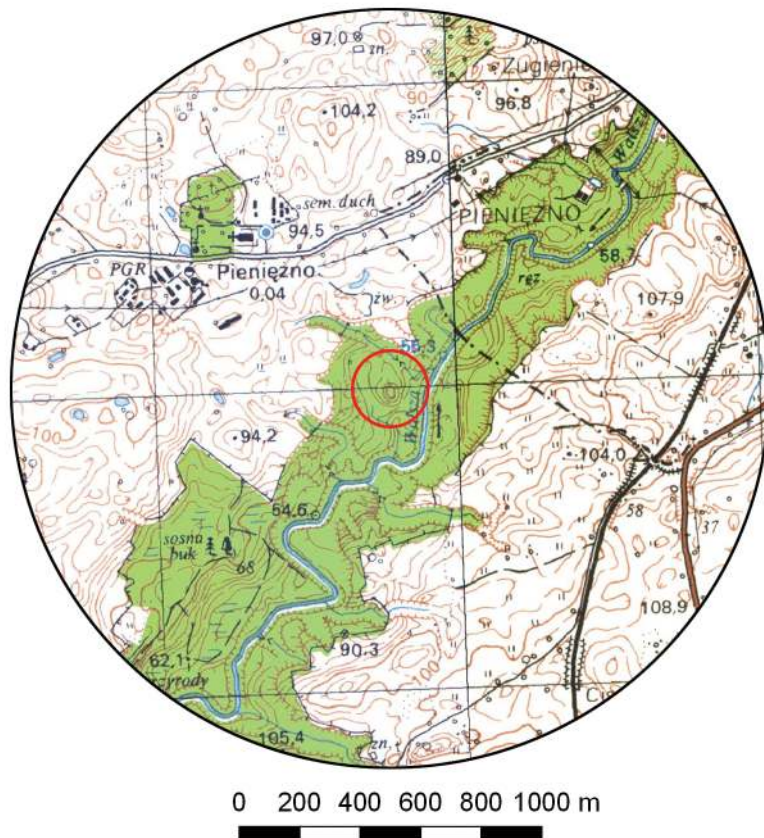
³⁰ Karte des Deutschen Reiches 1:100 000 (Generalstabskarte), karta Wormditt (65), z 1872 r.

³¹ Topographische Karte 1:25 000 (Meßtischblatt), karta Mehlsack (471), z 1913 r.

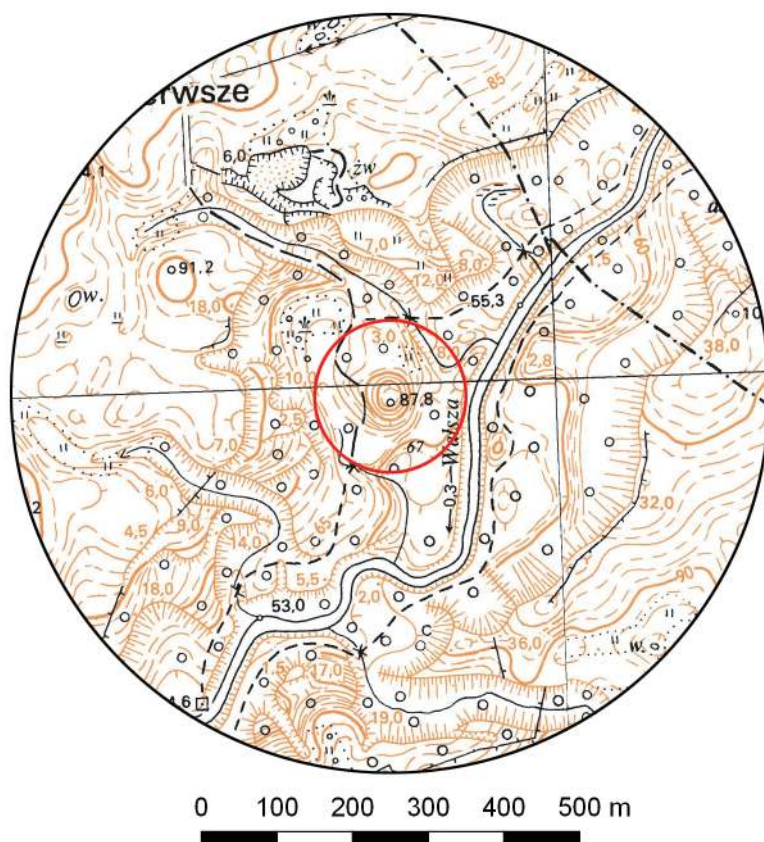
Kajnity, st. 1

Gmina Pieniężno
Powiat braniewski
AZP 14-57/6
Współrzędne geograficzne:
N 54° 13' 28"
E 20° 06' 06"





Ryc. 1. Grodzisko w Kajnitach, st. 1
na mapie w skali 1:25 000
(na podstawie materiałów GUGiK,
oprac. R. Solecki)



Ryc. 2. Grodzisko w Kajnitach, st. 1
na mapie w skali 1:10 000
(na podstawie materiałów GUGiK,
oprac. R. Solecki)

POŁOŻENIE GRODZISKA I JEGO FORMA

RAFAŁ SOLECKI

Grodzisko w Kajnitach (niem. *Heistern*), st. 1 położone jest w odległości około 1,8 km na południowy zachód od Pienieżna (niem. *Mehlsack*). Zajmuje szczyt masywnego wypiętrzenia, które zachowało się w obrębie doliny rzeki Wałszy, przy jej zachodnim brzegu. W 1993 roku stanowisko było weryfikowane w terenie przez Marka Jagodzińskiego, który wykonał dla niego Kartę Ewidencji Stanowiska Archeologicznego. Opisując zachowaną formę grodziska, wskazał, że „od strony północnej, zachodniej i południowej zachował się dobrze czytelny system umocnień w postaci dwóch wałów obronnych i fos”. Określając chronologię, podał, że obejmuje ona XI-

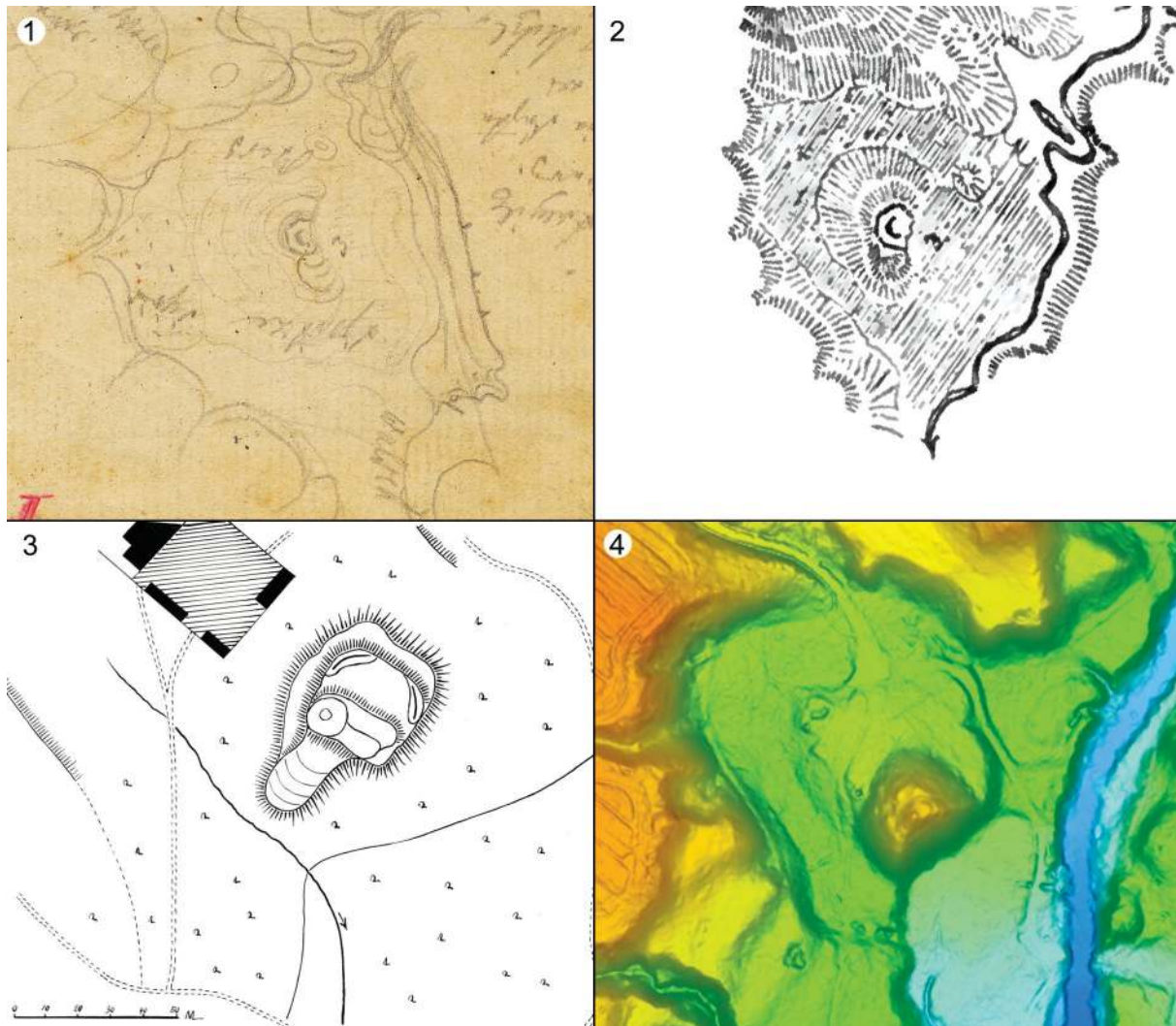
XIII wiek. Tu jednak należy zaznaczyć, że podstawą do takiego datowania nie był materiał zabytkowy, gdyż takiego podczas przeprowadzonej prospekcji nie znaleziono¹.

Grodzisko znane było badaczom niemieckim. Na początku XIX wieku opisał je i naszkicował Johann Michael Guise (ryc. 3:1). W 1894 roku napisał o nim Adolf Bötticher, określając jego nazwę *Spitze Berg*² oraz dodając rysunek będący przerysem starszego szkicu J.M. Guisego (ryc. 3:2). Emil Hollack w swoim spisie wydanym w 1908 roku jedynie wspomina o trzech grodziskach – *drei Burgwälle* – przypisanych do miejscowości Pienieżno³. Hans Crome opisuje je w 1937 roku jako *Spitzberg* wskazując, że jest ono

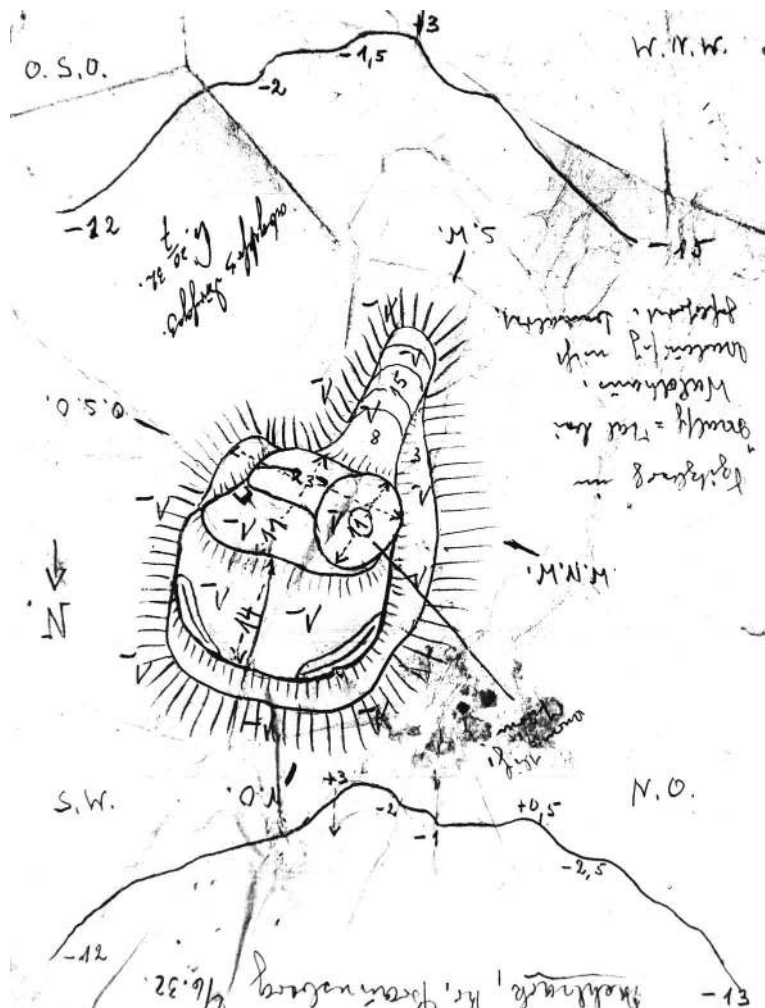
¹ KESA 14-57/6.

² Bötticher 1894: 177.

³ Hollack 1908: 98.



Ryc. 3. Grodzisko w Kajnitach, st. 1: 1) na planie J.M. Guisego z lat 30. XX wieku (źródło: Staatliche Museen zu Berlin, Museum für Vor- und Frühgeschichte, PM-IXh 001957), 2) na planie z 1894 roku (Boetticher 1894: 177, ryc. 136/3), 3) na planie z karty ze zbioru *Burgwall-kartei* (źródło: Staatliche Museen zu Berlin, Museum für Vor- und Frühgeschichte, IXc 90, Bl. 40), 4) na Numerycznym Modelu Terenu (na podstawie materiałów GUGiK) (oprac. R. Solecki)



Ryc. 4. Kajnity, st. 1. Szkic grodziska wykonany 2 czerwca 1932 roku
(źródło: Staatliche Museen zu Berlin, Museum für Vor- und Frühgeschichte, PM-A 1385/1)

staropruskie. Następnie, w 1940 roku, wymienia je jeszcze raz, ale nie dodając już żadnych nowych uwag⁴. Na mapie z 1913 roku grodzisko opisane jest nazwą *Spitz-B.*, a bezpośrednio na północ od niego widoczne są zabudowania⁵.

Grodzisko zostało skatalogowane i ma swoją kartę w zbiorze *Burgwall-kartei*, przechowywanym obecnie w *Die Prussia-Sammlung w Museum für Vor- und Frühgeschichte* w Berlinie. Dołączony do karty szkic stanowiska (ryc. 3:3) jest dokładny i pokazuje wiele elementów mikrotopografii, które obecnie nie są widoczne (ryc. 3:4). Pierwsza różnica to kształt szczytu wyniesienia. Na rysunku dokumentacyjnym jest on zbliżony do kwadratu z kolistym w planie podwyższeniem w zachodnim narożniku oraz pozostałościami wałów w narożnikach północnym i wschodnim. Dodatkowo, na południowo-zachodnim zboczu oznaczony jest obiekt, który mógł być rampą prowadzącą na szczyt. Jest ona też widoczna na szkicu J.M. Guisego (ryc. 3:1). W generalnym ujęciu podobny rysunek, ale uzu-

pełniony o przekrój i pomiary (ryc. 4) znajduje się w tym samym archiwum, ale w zbiorze *Prussia-Archiv*. Można podejrzewać, że jest to szkic wykonany w terenie na potrzeby przygotowania karty.

Obecnie południowo-wschodnia część wypiętrzenia jest zniszczona – uległa oberwaniu w wyniku podmycia przez meandrującą rzekę. Krawędź oberwania przechodzi przez środek wspomnianego wcześniej podwyższenia. To może oznaczać, że ponad połowa szczytu uległa zniszczeniu. Ponadto bezpośrednio przy północno-zachodnim podnóżu wypiętrzenia widoczne są na szkicu zabudowania, które na wspomnianej mapie z 1913 roku podpisane są jako *Whs. Waldhaus*⁶. Nie była to jednak kameralna leśnicówka, a zespół zabudowań przyciągający dużą liczbę turystów (ryc. 5). Na ulotce reklamowej z lat dwudziestych XX wieku znajduje się informacja, że funkcjonował tam pensjonat ze strzelnicą, basenem oraz karuzelami i huśtawkami dla dzieci. Niewykluczone, że w toku prac związanych z rozwojem tego ośrodka doszło

⁴ Crome 1937: 103; 1940: 85.

⁵ Topographische Karte 1:25 000 (Meßtischblatt), karta Mehlack (471), z 1913 r.

Ryc. 5. Ośrodek rekreacyjny u podnóża grodziska w Kajnitach, st. 1 na podmalowanej fotografii z lat 20. XX wieku (źródło: www.polska-org.pl/7557269,foto.html)



Ryc. 6. Kajnity, st. 1. Widok od północy na szczyt wyniesienia z widocznym podwyższeniem (fot. A. Lejzerowicz)

także do naruszeń powierzchni stanowiska. Na fakt, że w tamtym okresie grodzisko było odwiedzane wskazują liczne fragmenty szkła i porcelany zalegające na szczytach.

Obecnie szczyt wypiętrzenia ma nieregularny kształt o wymiarach 26×40 m i powierzchni około 9 arów (ryc. 3:4). W jego centralnej części znajduje się półkoliste w planie podwyższenie o średnicy u podstawy dochodzącej do 16 m i którego wysokość względem otaczającego go od północy plateau wynosi 1,7 m. Od południa powierzchnia wyraźnie opada, co może być po-

zostałością po dawnym osuwisku. Krawędź osuwiska przecina stanowisko po osi zbliżonej do południowy zachód – północny wschód. Najwyższy punkt wyniesienia osiąga poziom 83,1 m n.p.m. Różnica wysokości pomiędzy szczytem wyniesienia a platformą, na której znajdował się pensjonat wynosi około 14,5 m, a pomiędzy szczytem a korytem rzeki Wałszy dochodzi do około 28,5 m. W trakcie wizytacji nie odnotowano naszkicowanych na planie z *Burgwall-Kartei* umocnień, ani tych, które opisane są na karcie ewidencyjnej stanowiska.

ŚRODOWISKO FIZYCZNOGEOGRAFICZNE

ANNA LEJZEROWICZ

Wstęp do opisu środowiska fizycznogeograficznego, w którym przedstawiony zostaje szeroki kontekst jego uwarunkowań, jest taki sam jak w opisany w poprzednim rozdziale grodzisku w Pienieżnie, st. 5. Jest tak, gdyż oba stanowiska oddalone są od siebie w linii prostej o zaledwie około 900 m. Poniżej przedstawione zostały wyniki przeprowadzonych odwierków geologicznych i przygotowane na ich podstawie cięcie stanowiska.

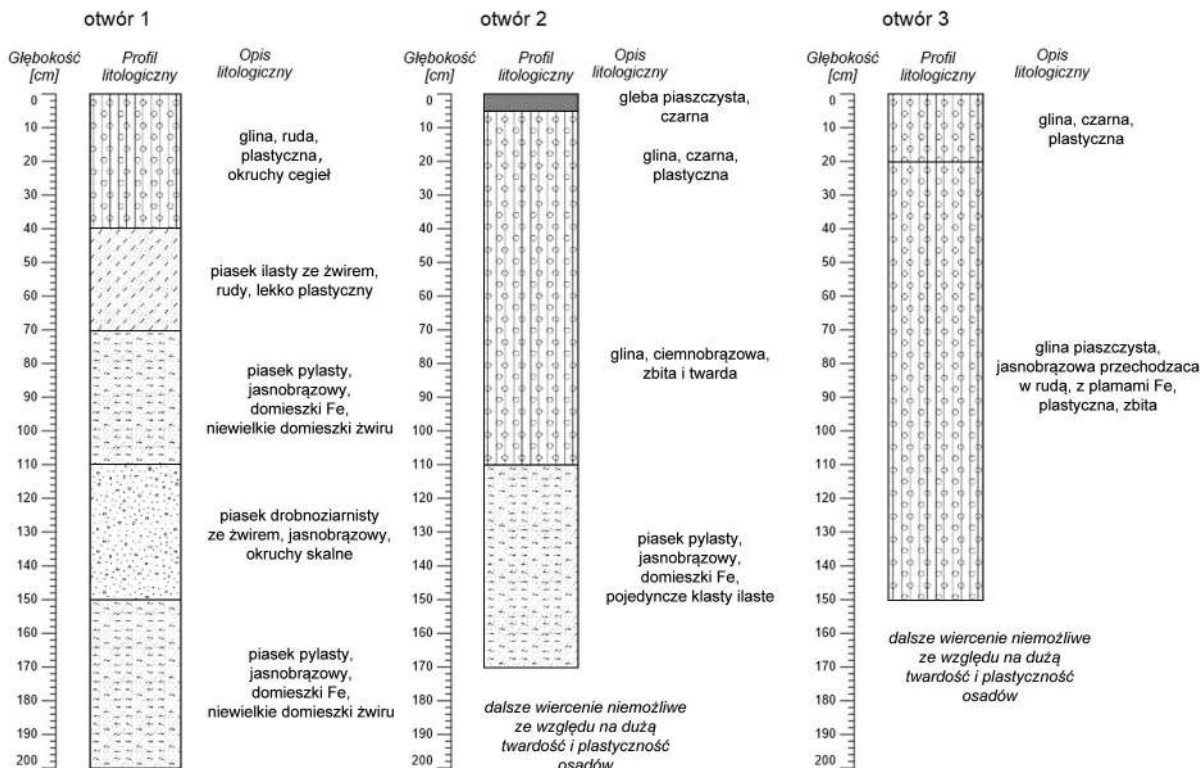
Stanowisko zajmuje szczyt wzniesienia o wysokości dochodzącej do prawie 30 m ponad dolinę rzeki Wałszy. Masyw jest wyraźny w terenie i ograniczony stromymi stokami. Sam szczyt jest bardzo mały, jedynie z niewielkim wypłaszczeniem, którego część zajmuje szpiczasty kopiec (ryc. 6). Południowo-wschodni stok pagórka jest prawie pionowy i schodzi gwałtownie w kierunku doliny.

Według podziału fizycznogeograficznego Polski Jerzego Kondrackiego grodzisko w Kajnach, st. 1 znajduje się w makroregionie Nizina Staropruska i mezoregionie Wzniesienia Górowskie⁷.

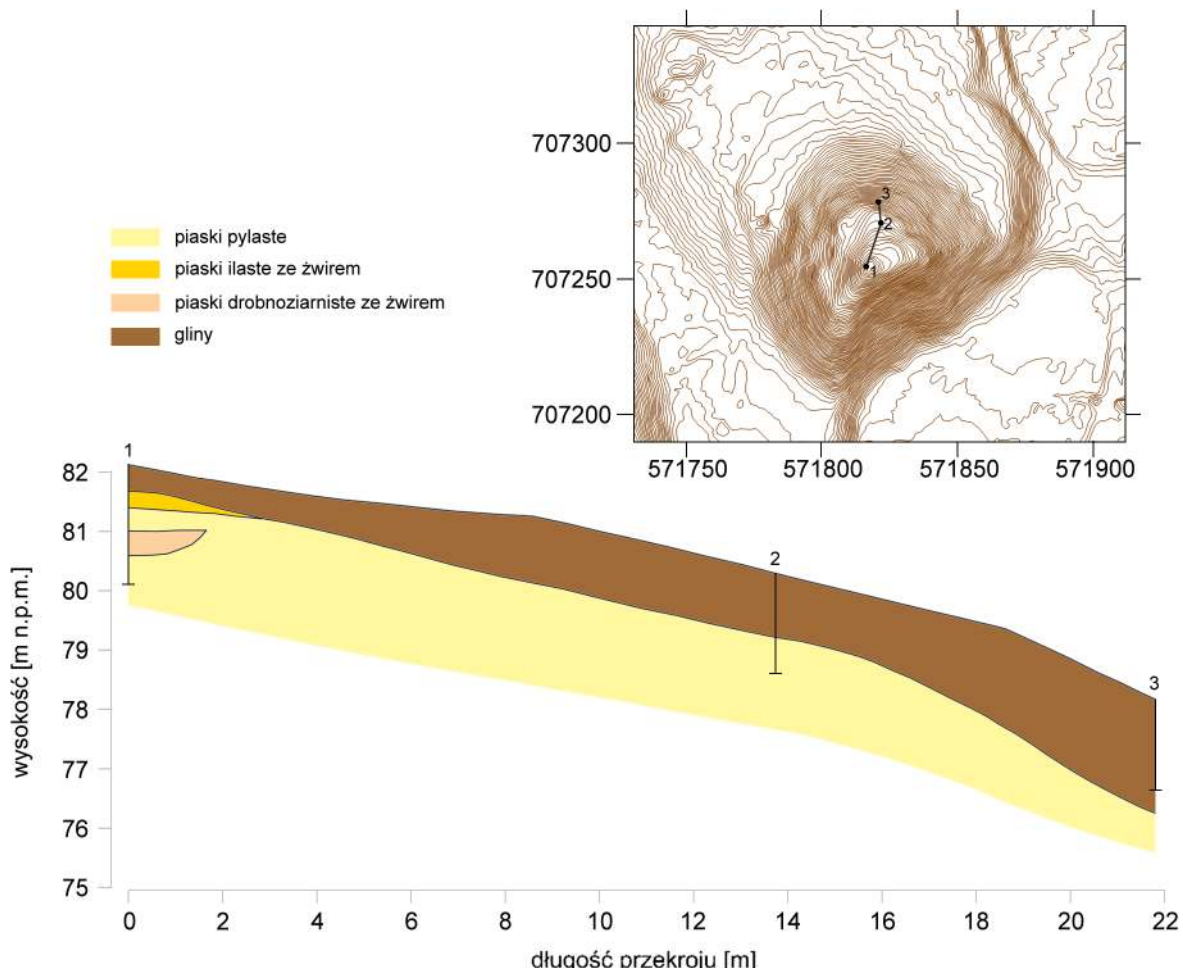
⁷ Kondracki 2002: 101–102.

Według *Szczegółowej Mapy Geologicznej Polski* w skali 1:50 000 na obszarze stanowiska występują piaski i żwiry wodnolodowcowe powstałe w stadiale górnym zlodowacenia Polski. Według *Mapy Litogenetycznej Polski* w skali 1:50 000 stanowisko znajduje się na obszarze występowania piasków żwirowatych pochodzenia wodnolodowcowego. Według *Mapy Geologicznej Polski* w skali 1: 500 000 jest to obszar występowania piasków i żwirów sandrowych.

Na obszarze grodziska wykonano trzy wiercenia sondą ręczną do maksymalnej głębokości 2 m w celu rozpoznania budowy geologicznej. Szczegółowa litologia jest widoczna oraz została opisana na poszczególnych profilach wierceń (ryc. 7). Na podstawie wykonanych wierceń stworzony został schematyczny przekrój geologiczny przez wyniesienie z grodziskiem (ryc. 8). W wierceniach zaobserwowano występowanie głównie glin zwałowych, jak również osadów piaszczystych. Osady gliniaste charakteryzują się dużą plastycznością i twardością, ale też obecnością związków żelaza (rude zabarwienie). Osady piaszczyste to piaski ilaste, piaski pylaste oraz piaski drobnoziarniste, czasami z domieszką frakcji żwirowej. Na powierzchni terenu, na stokach wzniesienia widoczne są również liczne okruchy skalne.



Ryc. 7. Profile litologiczne odwierków wykonanych na grodzisku w Kajnach, st. 1 (oprac. A. Lejzerowicz)



Ryc. 8. Schematyczny przekrój geologiczny przez grodzisko w Kajnitych, st. 1 (oprac. A. Lejzerowicz)

Wykonane wiercenia nie potwierdzają w pełni wskazań ze *Szczegółowej Mapy Geologicznej Polski* w skali 1:50 000, gdyż w odwierach uchwycono dużo glin. Może być tak, gdyż powierzchniowo występujące piaski mogły zostać wymyte i spływać w niższe partie doliny, odsłaniając występujące pod nimi gliny.

BADANIA ARCHEOLOGICZNE

DANIEL SKOCZYLAS I RAFAŁ SOLECKI

Przebieg badań terenowych

Obszar badań rozpoznano za pomocą dwóch wykopów archeologicznych. Pierwszy (W1), o wymiarach 2×3 m, wytyczono na szczytce podwyższenia, które jako najbardziej wyeksponowane mogło w przeszłości być wykorzystywane. Drugi wykop (W2), o wymiarach $1,5 \times 4$ m, wytyczono w południowej części plateau poniżej podwyższenia. To miejsce, gdzie miała znajdować się domniemana rampa prowadząca na szczyt i zaznaczona na archiwalnych szkicach, ale też miejsce, gdzie

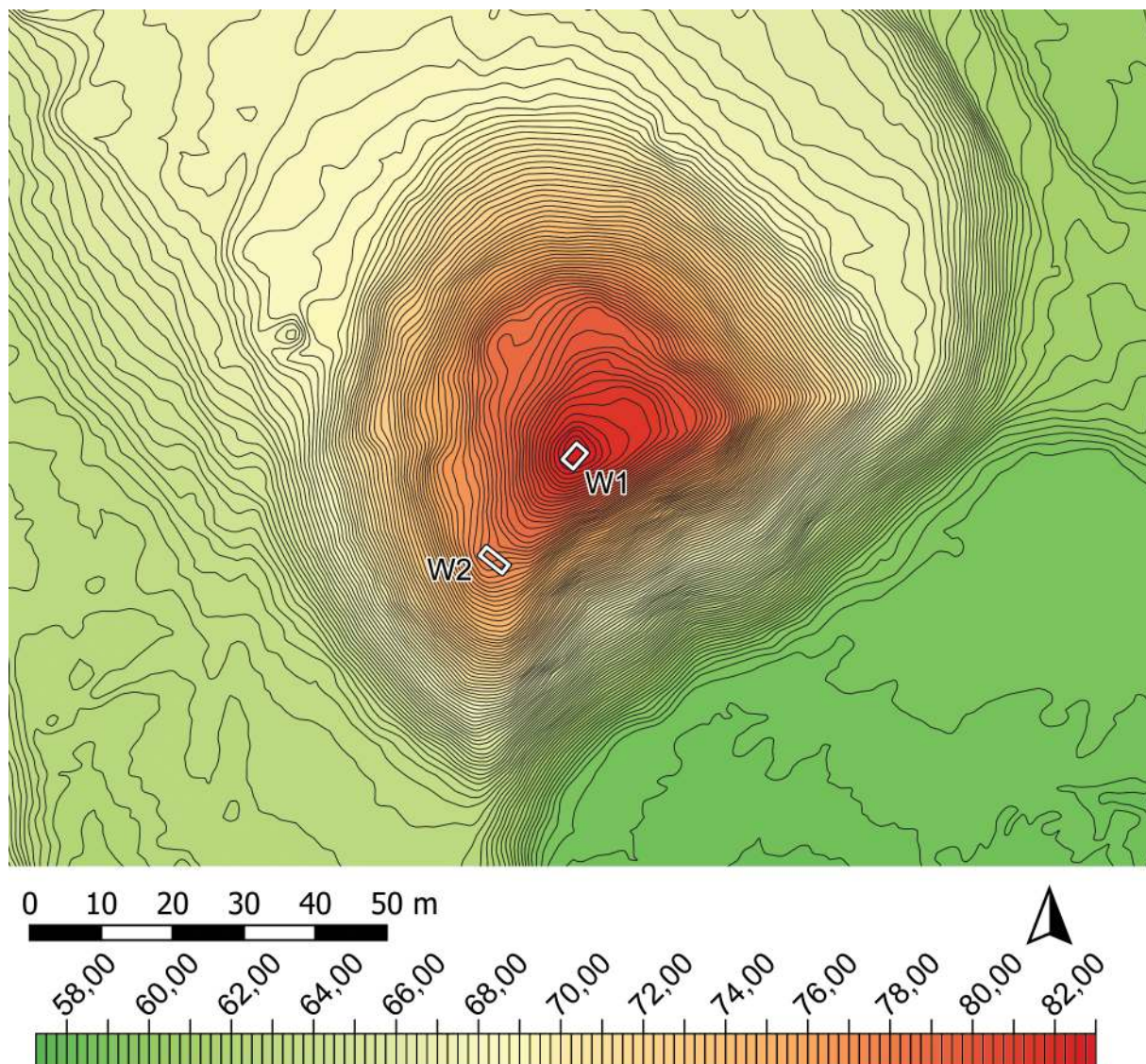
potencjalnie mogłyby występować umocnienia okalające wypłaszczenie pod szczytem – wał i/lub fosa – opisane na karcie ewidencyjnej stanowiska. Lokalizację wykopów w obrębie stanowiska przedstawia rycina 9.

Stratygrafia stanowiska

W trakcie omawianych badań archeologicznych wydzielono łącznie 9 jednostek stratygraficznych (tabela 1). Możliwe było ich rozdzielenie pomiędzy warstwy naturalne i cztery fazy związane z dziejami stanowiska. Diagram Harrisa dla wydzielonych jednostek stratygraficznych przedstawia rycina 10, a za-dokumentowane powierzchnie rycin 11–14.

Warstwy naturalne

W trakcie badań wykopaliskowych jako jednostki naturalne zidentyfikowano: w W1 zbitą glinę z wapiennymi wytrąceniami 5 i w W2 piaszczystą glinę z pojedynczymi okruchami skalnymi 7. Na stropie gliny 5 wydzielono lekko piaszczystą glinę 4 z silnymi, żelazistymi wytrąceniami. Jest to zasadniczo ta sama war-



Ryc. 9. Kajnity, st. 1. Plan grodziska z naniesionymi wykopami archeologicznymi (oprac. R. Solecki)

stwa, co 5, tylko w wyniku wyeksponowania jej powierzchni na działanie czynników atmosferycznych była wymywana, a znajdujące się w glinie tlenki żelaza zaczęły ulegać intensywniejszemu utlenianiu, nadając jej rudą barwę. Najwyższy zanotowany punkt calca osiąga poziom 82,45 m n.p.m.

Faza I

Faza I nie jest reprezentowana przez żadną jednostkę stratygraficzną, a wydzielono ją na podstawie znalezisk ceramiki. Materiał ceramiczny reprezentuje grupę technologiczno-surowcową, którą można łączyć z wcześniejszożelazną kulturą kurhanów zachodniobałtyjskich. Fragmenty ceramiki tego typu znalezione na powierzchni stanowiska, w humusie leśnym, gdzie trafiły najpewniej w wyniku zniszczenia starszych warstw kulturowych bądź obiektów.

Faza II

Do fazy II przypisano tylko jedną jednostkę stratygraficzną o numerze 3 – układające się liniowo skupisko kamieni średnicy do 50 cm. Nieco lepiej zachowany odcinek ma długość do 190 cm, przy maksymalnej szerokości 80 cm i wysokości do 35 cm. Pierwotnie mógł być on dłuższy, ale tworzące go kamienie zmieniły swoje położenie. Relikt tej konstrukcji odsłonięto w najwyższym punkcie wypiętrzenia i być może jest on pozostałością po znajdującej się tam budowli. W trakcie oczyszczania tej konstrukcji nie natrafiono na żaden materiał zabytkowy, co nie pozwala na określenie jej chronologii.

Faza III

Faza ta wyznacza okres zniszczeń powierzchni stanowiska. Do fazy tej przypisano zbitą, twardą glinę 2 z domieszką materii organicznej i pojedynczymi kamieniami średnicy do

Tabela 1. Kajnity, st. 1. Katalog warstw i obiektów oraz ich zależności stratygraficznych
(oprac. D. Skoczyłas i R. Solecki)

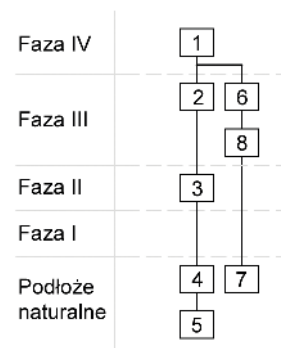
Numer jednostki	Numer obiektu	Numer wykopu	Położenie w obrębie stanowiska	Współrzędne geodezyjne (PUWG 1992)	Opis jednostki stratygraficznej	Barwa (Munsell)	Pozycja stratygraficzna	
							Zdaje się pod	Znajduje się nad
1	-	1, 2	obszar całego stanowiska	X=707237,2-707255,6; Y=571804,3-571819,6	Lekko piaszczysta glina z bardzo dużą domieszką materii organicznej; miąższość do 30 cm; współczesny poziom użytkowy	5Y 4/2	-	2
2	-	1	szczyt wyniesienia	X=707251,9-707255,6; Y=571815,9-571819,6	Zbita, twarda glina z domieszką materii organicznej i pojedynczymi kamieniami o średnicy do 20 cm; miąższość do 55 cm; warstwa erozyjna	7.5Y 6/2	1	3, 4
3	-	1	szczyt wyniesienia	X=707251,9-707255,6; Y=571815,9-571819,6	Układające się liniowo skupisko kamieni o średnicy do 50 cm; prawdopodobnie zniszczony fundament kamienny	-	2	4
4	-	1	szczyt wyniesienia	X=707251,9-707255,6; Y=571815,9-571819,6	Lekko piaszczysta glina z silnymi, żelazistymi wytrąceniami; miąższość do 25 cm; poziom naturalny	2.5Y 6/6	2, 3	5
5	-	1	szczyt wyniesienia	X=707251,9-707255,6; Y=571815,9-571819,6	Zbita glina z wapiennymi wytrąceniami; poziom naturalny	7.5Y 9/3	4	-
6	-	2	plateau poniżej szczytu	X=707237,2-707241,1; Y=571804,3-571808,6	Ilasty piasek z domieszką materii organicznej i pojedynczymi drobnymi kamieniami o średnicy do 10 cm; miąższość do 60 cm; warstwa erozyjna	5Y 6/6	1	7, 8
7	-	2	plateau poniżej szczytu	X=707237,2-707241,1; Y=571804,3-571808,6	Piaszczysta glina z pojedynczymi okruchami skalnymi; poziom naturalny	7.5Y 9/2	6, 8	-
8	-	2	plateau poniżej szczytu	X=707237,2-707241,1; Y=571804,3-571808,6	Nieregularnie rozrzucone kamienie o średnicy do 30 cm; kamienie obsunięte ze szczytu w wyniku procesów erozyjnych	-	6	7

20 cm, występującą na kulminacji wypiętrzenia oraz ilasty piasek 7 z domieszką materii organicznej i pojedynczymi drobnymi kamieniami o średnicy do 10 cm, a także nieregularnie rozrzucone kamienie 8 średnicy do 30 cm, występujące na powierzchni *plateau* poniżej podwyższenia. Skupisko kamieni 8 to najprawdopodobniej obsunięty fragment konstrukcji 3, który stoczył się z podwyższenia w centralnej części wyniesienia i zatrzymał u jego podnóża. Warstwy ziemne związane z tą fazą – o numerach 2 i 6 – nie są homogeniczne i być może powstały w wyniku intencjonalnej działalności człowieka w przeszłości. Może o tym świadczyć chociażby znaczny stopień zniszczenia kamiennego fundamentu 3 i całkowity brak warstwy kulturowej z nim związanego. Po dokonaniu zniwelowania powierzchni stanowiska powstała warstwa, w której znajduje się przemieszany materiał zabytkowy ze zniszczonych warstw kulturowych. Z czasem poziom ten także zaczął ulegać procesom erozyjnym.

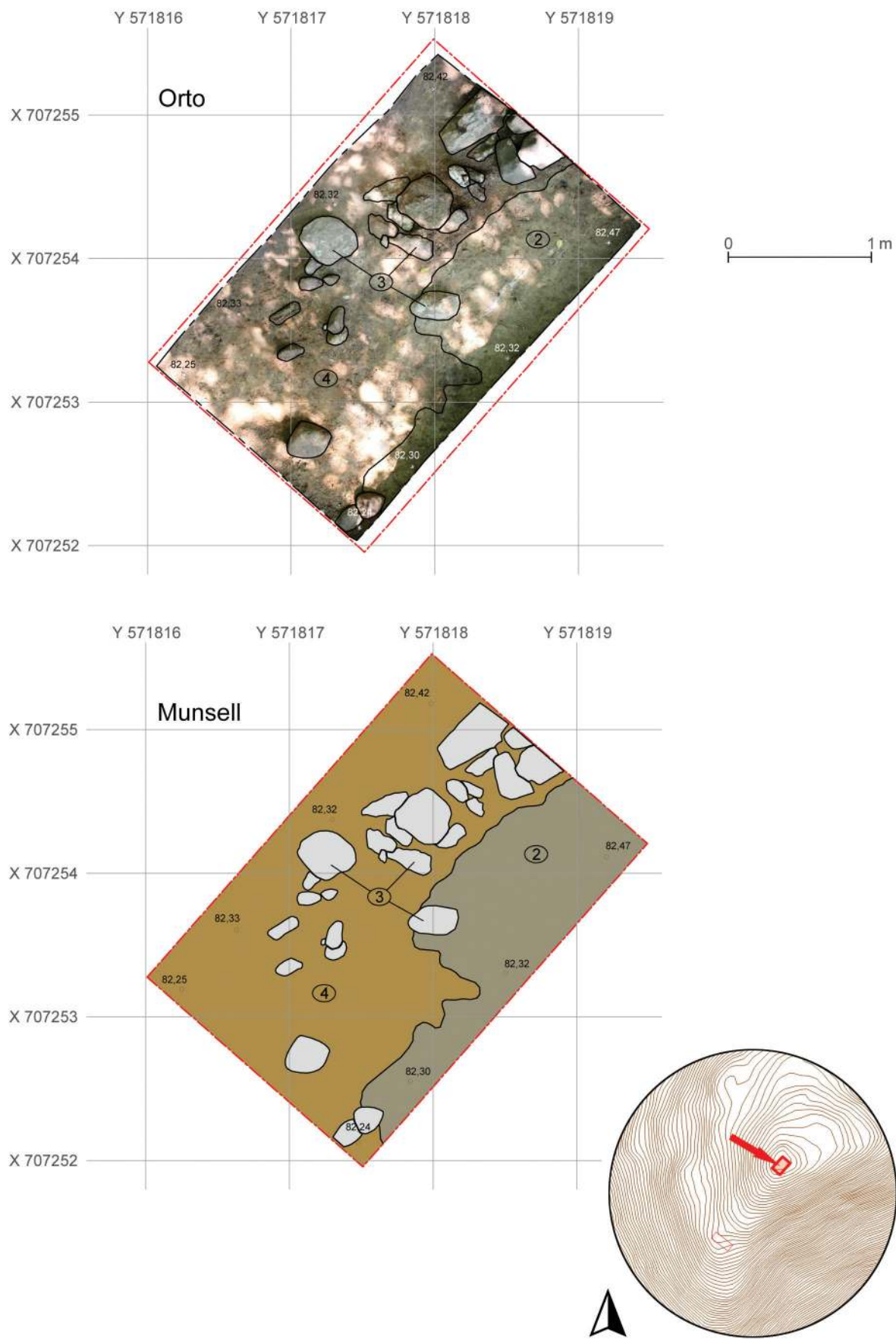
Faza IV

Faza ta wyznacza współczesny poziom użytkowy stanowiska. Warstwa przypisana do tego etapu to lekko piaszczysta glina 1 z bardzo dużą domieszką materii organicznej. Nie pokrywa ona równomiernie całej powierzchni. W niektórych miejscach, zwłaszcza na sto-

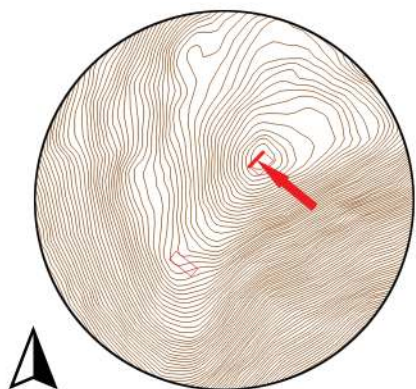
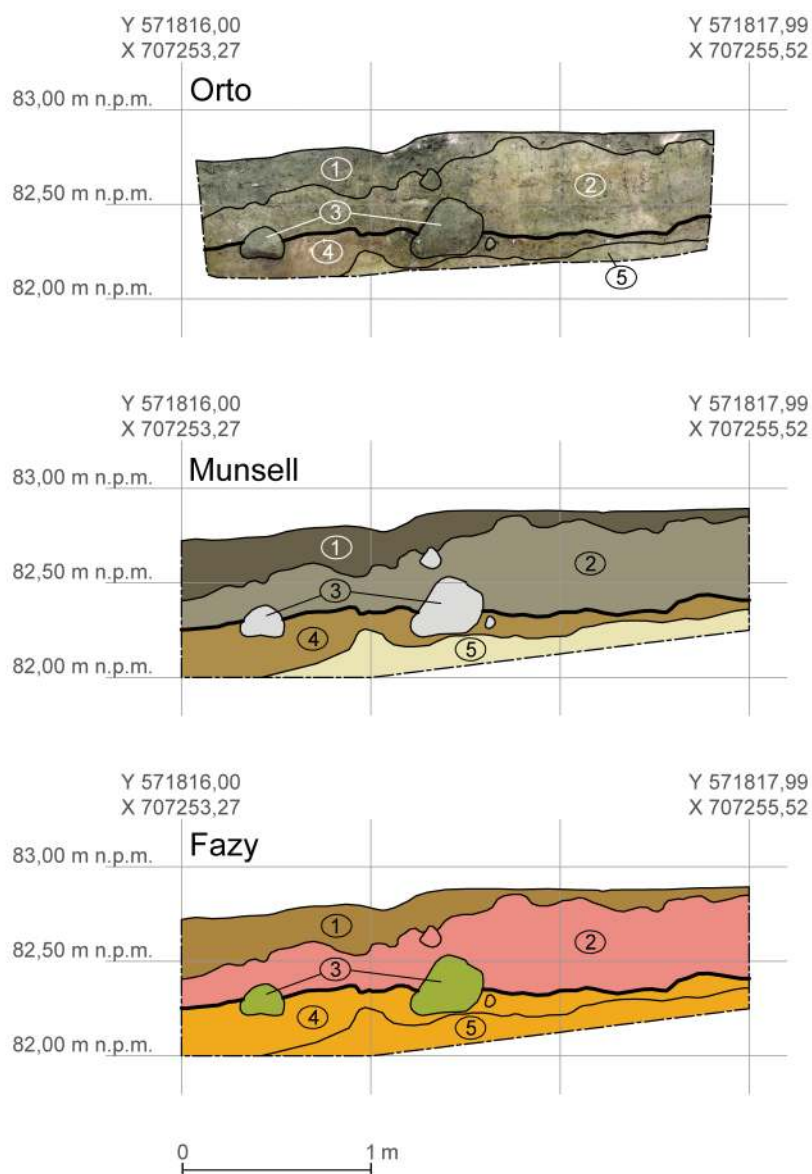
kach, niemalże jej nie ma. Fakt, że warstwa humusu leśnego nie występuje wszędzie, może wskazywać na intensywność procesów erozyjnych, które wymywają ściółkę. Nie można jednak też wykluczyć, że humus nie wytworzył się jeszcze, gdyż nie miał na to wystarczająco dużo czasu – to mogłoby świadczyć, że zniszczenie powierzchni stanowiska nastąpiło niedawno, być może na początku XX wieku. Tu wskazówką może być rysunek dokumentacyjny wykonany w latach 30. XX wieku, gdzie szczyt wyniesienia jest zdecydowanie większy niż obecnie. Oberwanie stoku wyniesienia od strony doliny mogło nastąpić po wykonaniu rysunku. Wtedy też mogło dojść do prac porządkowych w obrębie szczytu, które miały zapobiec dalszym zniszczeniom.



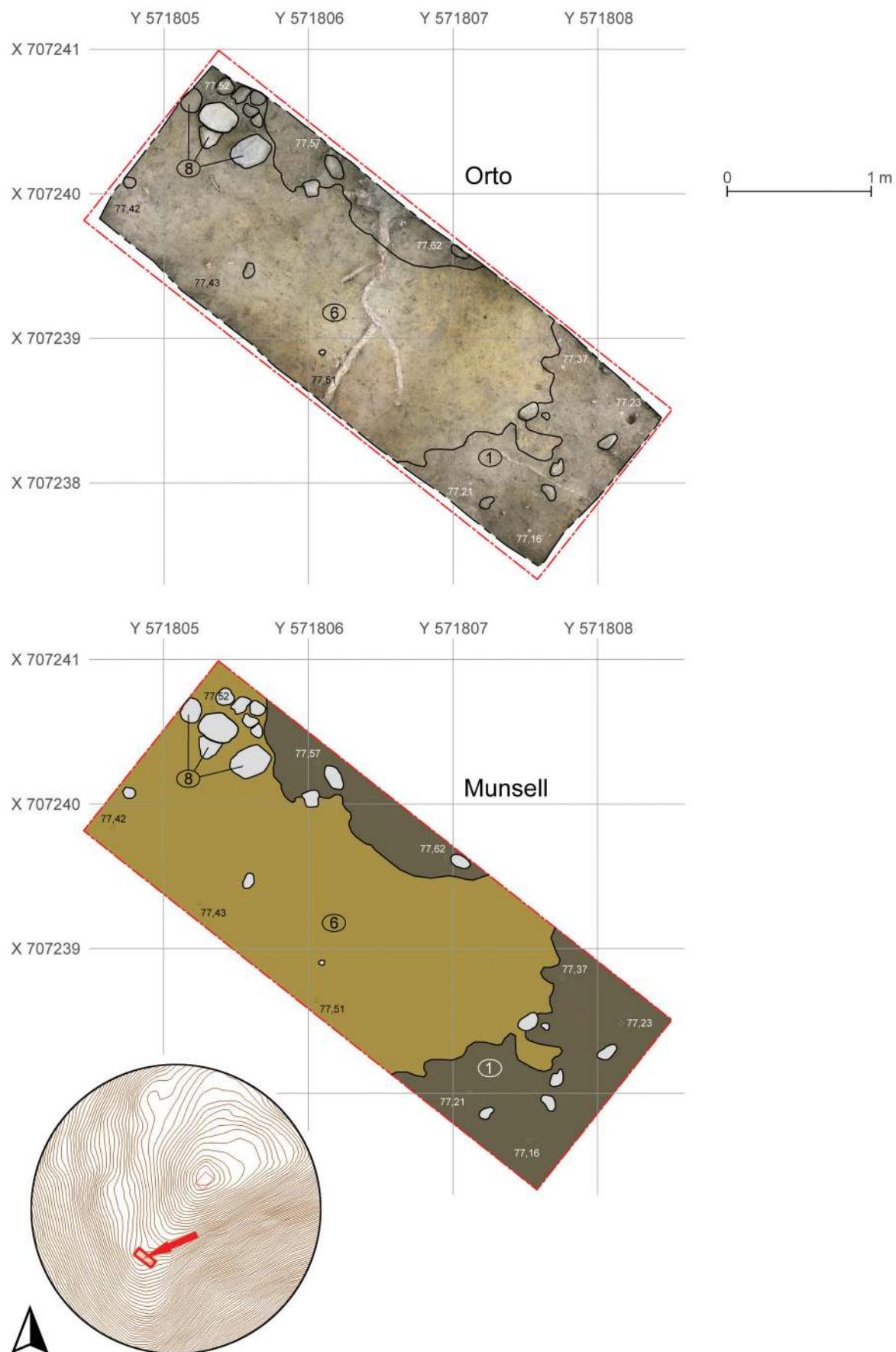
Ryc. 10. Kajnity, st. 1. Diagram relacji stratygraficznych (oprac. R. Solecki)



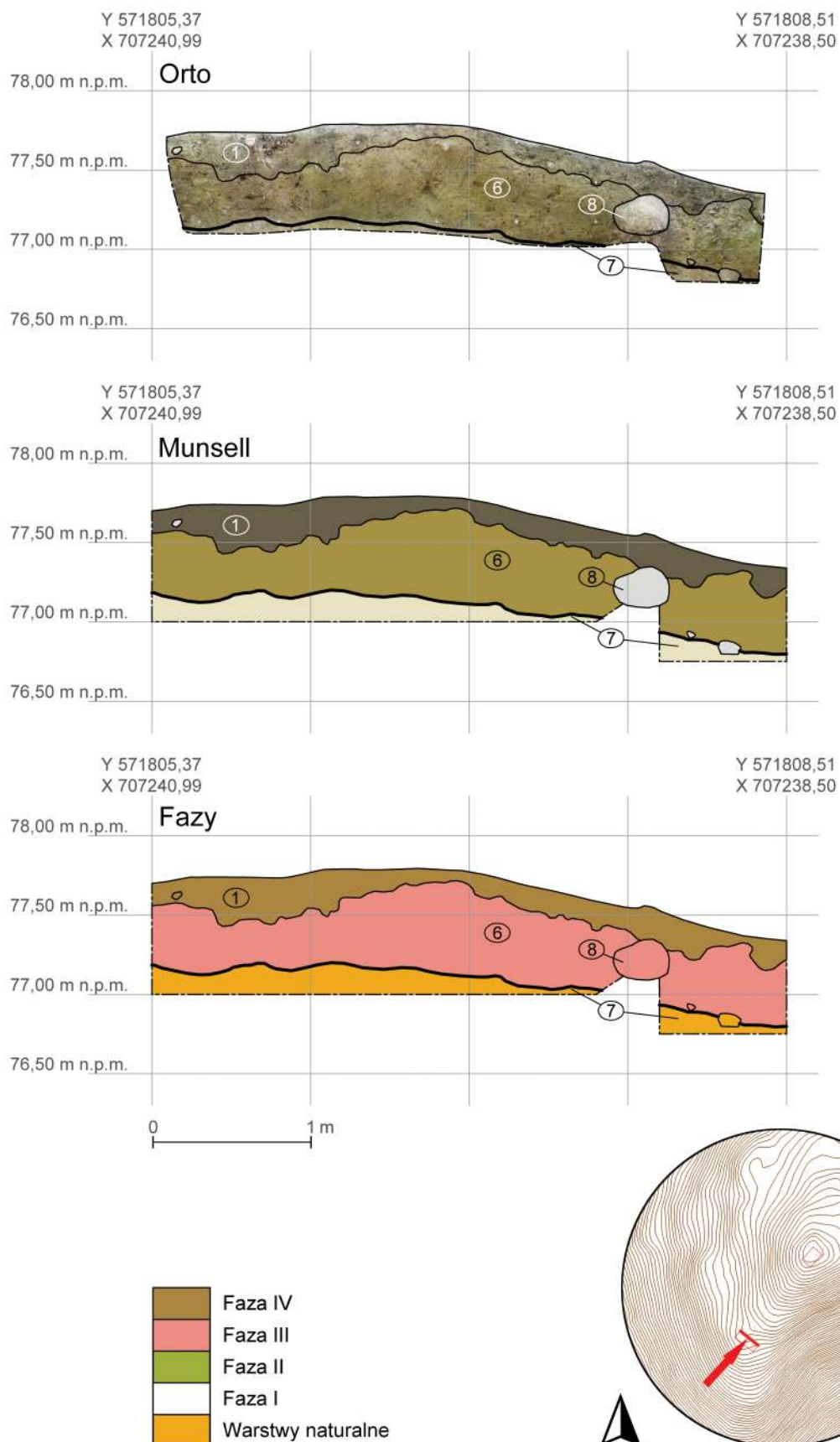
Ryc. 11. Kajnity, st. 1. Stratygrafia nawarstwień na obszarze kulminacji – wykop 1
(oprac. D. Skoczyłas i R. Solecki)



Ryc. 12. Kajnity, st. 1. Stratygrafia nawarstwień na obszarze kulminacji wyniesienia – wykop 1
(oprac. D. Skoczylas i R. Solecki)



Ryc. 13. Kajnity, st. 1. Stratygrafia nawarstwień na obszarze plateau poniżej kulminacji wyniesienia – wykop 2 (oprac. D. Skoczyłas i R. Solecki)



Ryc. 14. Kajnity, st. 1. Stratygrafia nawarstwień na obszarze plateau poniżej kulminacji wyniesienia – wykop 2 (oprac. D. Skoczylas i R. Solecki)

ZNALEZISKA

RAFAŁ SOLECKI

Na materiał zabytkowy pozyskany w trakcie badań archeologicznych składa się 45 fragmentów ceramiki i 4 fragmenty szkła. Wszystkie zabytki znaleziono na powierzchni stanowiska w humusie leśnym.

Ceramika

Pozyskany zespół fragmentów naczyń ceramicznych jest silnie rozdrobniony. Zbiór ułamków o wielkości w przedziale 1–4 cm liczy 32 elementy (71,1% całego zbioru). Stan zachowania powierzchni fragmentów także nie jest dobry. Stosując klasyfikację zaproponowaną przez A. Buko⁸, 4 fragmenty (8,9% całego zbioru) przypisano do kategorii III (ceramika mocno zerodowana), 33 fragmenty (73,3% całego zbioru) do kategorii II (ceramika zerodowana w średnim stopniu), 8 fragmentów (17,8% całego zbioru) do kategorii I (ceramika niewykazująca większego zniszczenia powierzchni). Nie wydzielono ani jednego fragmentu, który można by przypisać do kategorii 0 (ceramika bez śladów zniszczenia). To było powodem, że 20 fragmentów (44,4% całego zbioru) określono jako niediagnostyczne. 25 fragmentów (55,6% całego zbioru), które posiadały jakiekolwiek cechy diagnostyczne, przypisano do dwóch grup technologiczno-surowcowych.

Do pierwszej grupy zaliczono 24 fragmenty. Były to ułamki naczyń wykonanych ze słabo wyrobionej masy ceramicznej z dużą ilością drobnej, średniej i grubej domieszki schudzającej – piasku i drobin startego granitu. Powierzchnia zewnętrzna 13 fragmentów była chropowacza, 8 była szorstka, 3 fragmenty miały powierzchnię gładką. Grubość ścianek wałała się w zakresie 5–11 mm, ze średnią 8 mm. Naczynia wypalone były w niezaawansowanej technologii utleniającej – powierzchnia pozyskanych fragmentów nie miała jednorodnej barwy. Występowały odcień brązu i szarości.

Duży stopień rozdrobnienia materiału ceramicznego nie pozwolił na rekonstrukcję ani jednej pełnej formy naczynia. Dwa fragmenty wylewów o niewyodrębnionej, zuchylonej do wnętrza krawędzi (ryc. 15:1–2) można opisać jako pochodzące od naczyń o kształcie jajowatym (typ IV wg Mirosława

Hoffmanna) lub z mniejszym prawdopodobieństwem od czarek (typ V wg Hoffmann) albo mis (typ VI wg Hoffmann)⁹. Fragment wylewu naczynia o lekko wywiniętej na zewnątrz krawędzi (ryc. 15:3) może natomiast pochodzić od dzbanka (typ XI wg Hoffmann)¹⁰. W zbiorze tym wydzielono jeszcze fragment ucha wykonanego z ovalnej w przekroju taśmy o wymiarach 1 × 2 cm. Naczynia wykonane w takiej technologii i o zbliżonych kształtach występują powszechnie w asortymencie wczesnożelanej kultury kurhanów zachodnioibałtyjskich. Bez bardziej charakterystycznych fragmentów podanie precyzyjniejszej chronologii, niż ramy istnienia tej kultury archeologicznej, jest niemożliwe.

Druga grupa technologiczno-surowcowa reprezentowana jest przez jeden element. Jest to fragment fajansowego kubka lub filiżanki (ryc. 15:5). Czerep z beżowej gliny pokryty jest białym szkliwem z malowanymi niebieską farbą wzorami floralnymi. Przedmioty tego typu można datować na XIX–XX wiek.

Szkło

Znalezione podczas badań cztery fragmenty szkła pochodzą z dwóch naczyń współczesnych. Pierwsze to prostokątna w przekroju butelka ze sfazowanymi narożnikami wykonana z zielonego szkła. Zachowało się jej lekko wkleśle denko. Drugie to misa, lub patera z białego, przezroczystego, rżniętego szkła. Tu zachowały się dwa fragmenty ścianek i jeden fragment uformowanej w falbankę krawędzi.

CHRONOLOGIA I DZIEJE GRODZISKA

W KAJNITACH, ST. 1

RAFAŁ SOLECKI

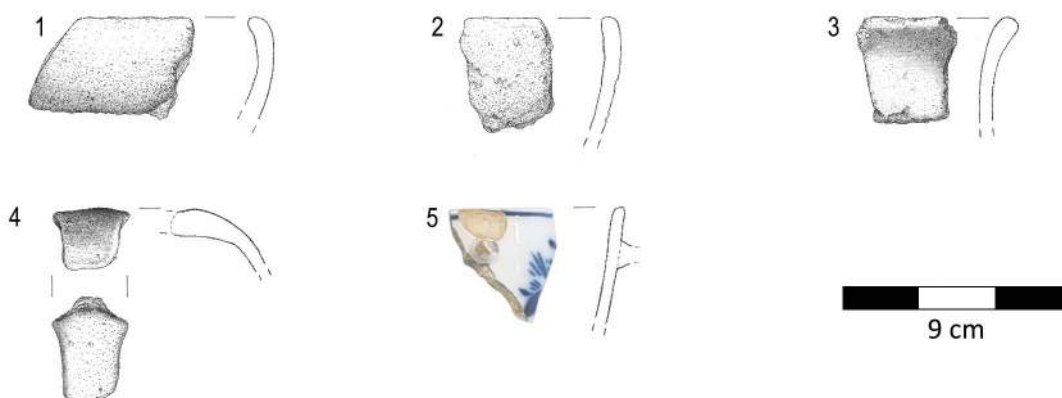
Grodzisko w Kajnitach, st. 1 było znane od dawna, ale do tej pory nie było rozpoznane archeologicznie. Przeprowadzone w 2021 roku badania z jednej strony dostarczyły źródeł do określenia jego chronologii, ale postawiły także kolejne pytanie. Główne wnioski dotyczące jego dziejów można sformułować w kilku punktach:

- Przeprowadzone badania wykazały, że powierzchnia grodziska jest bardzo znisz-

⁹ Klasyfikacja naczyń z I tysiąclecia p.n.e. z obszaru południowo-wschodniej strefy nabałtyckiej – Hoffmann 2000: ryc. 38–40.

¹⁰ Hoffmann 2000: ryc. 44.

⁸ Buko 1990: 352.



Ryc. 15. Kajnity, st. 1. Ceramika: 1–4) starożytna, 5) współczesna (rys. A. Pałasz)

czona. Pomiędzy poziomem calca a humusem leśnym wydzielono w zasadzie jedną warstwę niwelacyjną o miąższości dochodzącej do 60 cm, z której w trakcie eksploracji nie pozyskano żadnego materiału zabytkowego ani prób węgla, które pozwoliłyby na dokonanie datowania radiowęglowego. Powstanie tej warstwy może być wynikiem działania człowieka i to w nieodległej przeszłości, gdyż jeszcze nie na całej powierzchni stanowiska strop tej warstwy przykryty jest humusem leśnym. Humus oczywiście mógł zostać wyerodowany, ale być może nie minęło jeszcze na tyle dużo czasu, aby mógł się on właściwie wykształcić;

- Gdyby chcieć określić chronologię stanowiska na podstawie pozyskanego w trakcie badań materiału zabytkowego reprezentowanego jedynie przez 45 fragmentów ceramiki i 4 fragmenty szkła, to możliwe byłoby wydzielenie dwóch faz. Pierwsza to wcześnie epoka żelaza i wiązana z nią kultura kurhanów zachodniobałtyjskich, a druga to współczesność (schyłek XIX lub początek XX wieku). Wszystkie zabytki zebrane jednak z warstwy współczesnego humusu leśnego. O ile w odniesieniu do znalezisk o współczesnej chronologii można ten poziom traktować jako warstwę kulturową, to zabytki o starożytnej chronologii znalazły się tu w wyniku wypłukania ich ze zniszczonych, dawnych warstw kulturowych. Można zatem przyjąć, że badane wyniesienie było w przeszłości wykorzystywane w nieokreślony sposób przez ludność kultury kurhanów zachodniobałtyjskich. O charakterze tej bytności będzie można powiedzieć więcej,
- gdy przy okazji następnych badań odkryte zostaną warstwa kulturowa lub obiekty związane z tą kulturą archeologiczną;
- Grodzisko zajmuje szczyt masywnego, samotnego wypiętrzenia znajdującego się w dolinie rzeki Wałszy, niemalże bezpośrednio przy jej korycie. Archiwalne szkice wykonane przez J.M. Guisego na początku XIX wieku i na karcie grodziska w katalogu *Burgwall-Kartei* na początku XX wieku wskazują, że na szczyt wyniesienia prowadziła od południa rampa, a szczyt mógł być otoczony wałem. Obecnie po rampie i po wałach nie ma śladu. Jedynym widocznym elementem dawniejszych umocnień może być podwyższenie zlokalizowane w centralnej części *plateau* na szczytowym wyniesieniu. Przeprowadzone badania wykazały, że podwyższenie to nie zostało usypane, a raczej wyrzeźbiono je w szczytowym wyniesieniu, rozgarniając ziemię wokół i formując z jej pomocą platformę, która miała zapewne pełnić funkcję majdanu. Obecnie *plateau* tej platformy zachowane jest jeszcze szcątkowo na północ od podwyższenia, aczkolwiek jego krawędzie dość mocno już opadają po stoku.
- Na szczytowym podwyższeniu uchwycono w trakcie badań prawdopodobnie relikt kamiennego fundamentu. Zbudowany był on z kamieni o średnicy do 50 cm. Nie odnotowano śladów zaprawy, które były wiążąły, ale całość oblepiona była gliną, w której kamienie spoczywały. Zachowany odcinek konstrukcji miał długość do 190 cm, szerokość do 80 cm i wysokość do 35 cm. Badania nie dostarczyły źródeł, które pozwoliłyby na wydatowanie tego obiektu. Możliwe jest jedynie postawienie hipotezy, bazując na celowym

ukształtowaniu szczytu wyniesienia. Włożenie pracy w uformowanie podwyższenia, które dodatkowo mogło podkreślać rangę obiektu, który miałby się na nim znajdować, może sugerować, że był to gródek typu *motte*. Terminem tym zwykło się nazywać wieże zbudowane na sztucznym kopcu, które upowszechniają się około XI–XII wieku i budowane są nadal jeszcze w XIV wieku¹¹. Badacz fortyfikacji tego typu, Edward Krause wydzielił nawet typ, w który wpisywałby się gródek z Kajnit, st. 1 – „2. Grodziska <stożkowate> wykorzystujące naturalne wyniesienia, czasem jeszcze sztucznie podwyższane i odcinane od

reszty terenu fosą (Szamotuły)”¹². W tym świetle możliwe byłoby wydatowanie powstania gródka w Kajnach na okres średniowiecza. Hipoteza ta wymaga weryfikacji za pomocą dalszych badań, zwłaszcza w obrębie kamiennej konstrukcji, która być może jest fundamentem wieży.

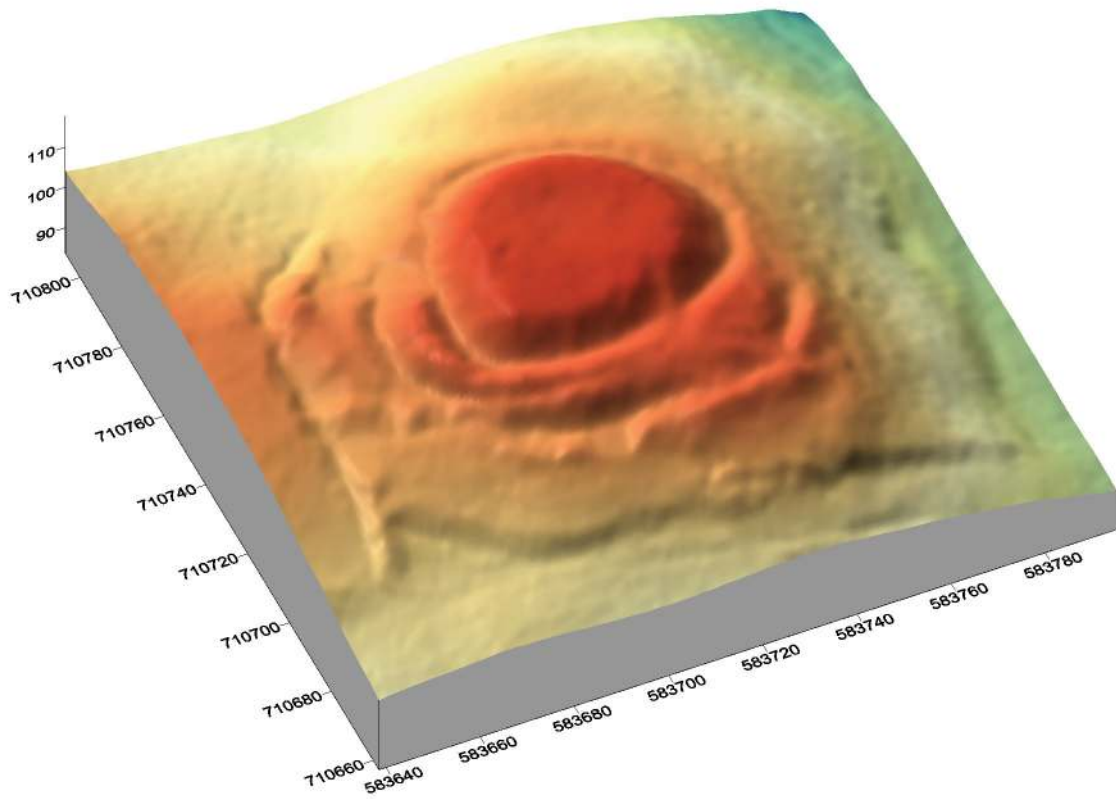
Przeprowadzone badania nie zamknięły tematu chronologii grodziska w Kajnach, a wręcz zachęcają, aby je kontynuować. Ukończenie tego zadania nie powinno być trudne, gdyż obszar możliwych badań nie jest duży, a z powodu specyficznego położenia grodziska jest ryzyko, że kolejnych latach jeszcze się zmniejszy.

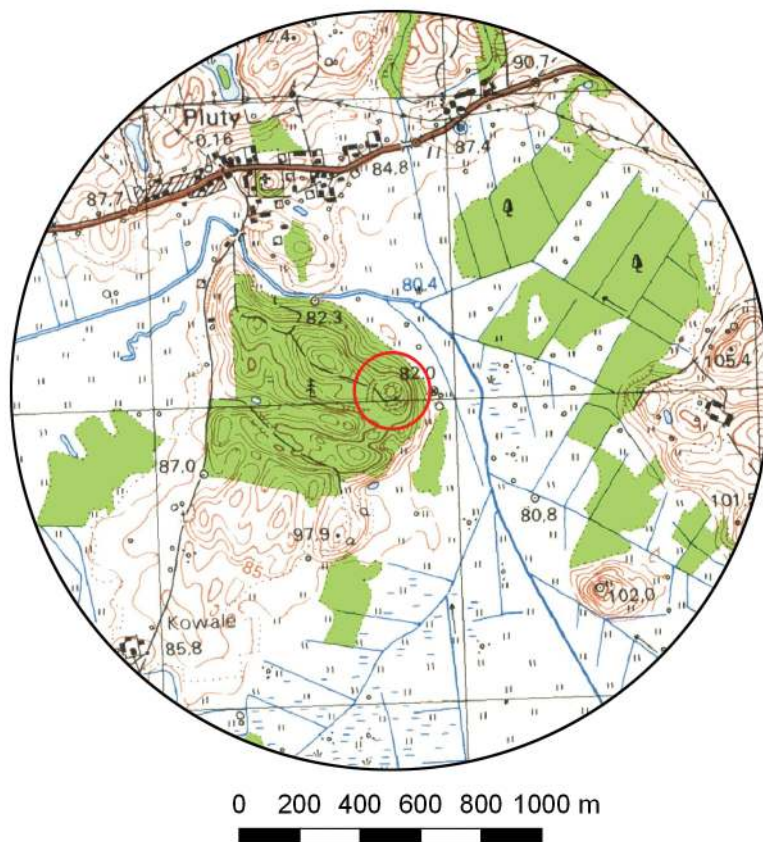
¹¹ Marciniak-Kajzer 2011: 30–31.

¹² Krause 1976: 283.

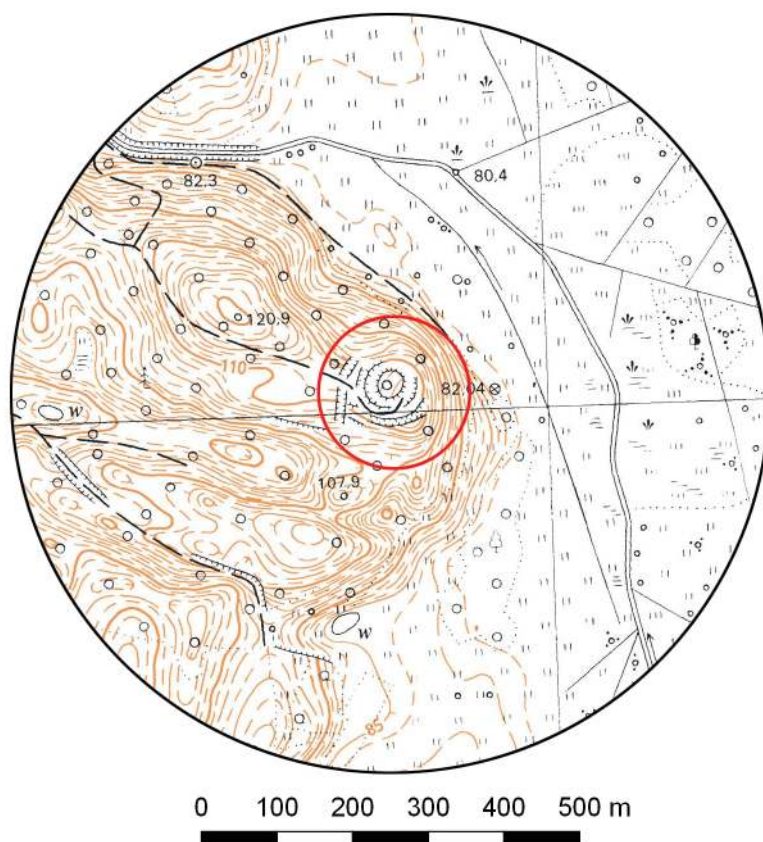
Lubianka, st. 6

Gmina Pieniężno
Powiat braniewski
AZP 14-59/13
Współrzędne geograficzne:
N 54° 15' 14"
E 20° 17' 07"





Ryc. 1. Grodzisko w Lubiance, st. 6
na mapie w skali 1:25 000
(na podstawie materiałów GUGiK,
oprac. R. Solecki)



Ryc. 2. Grodzisko w Lubiance, st. 6
na mapie w skali 1:10 000
(na podstawie materiałów GUGiK,
oprac. R. Solecki)

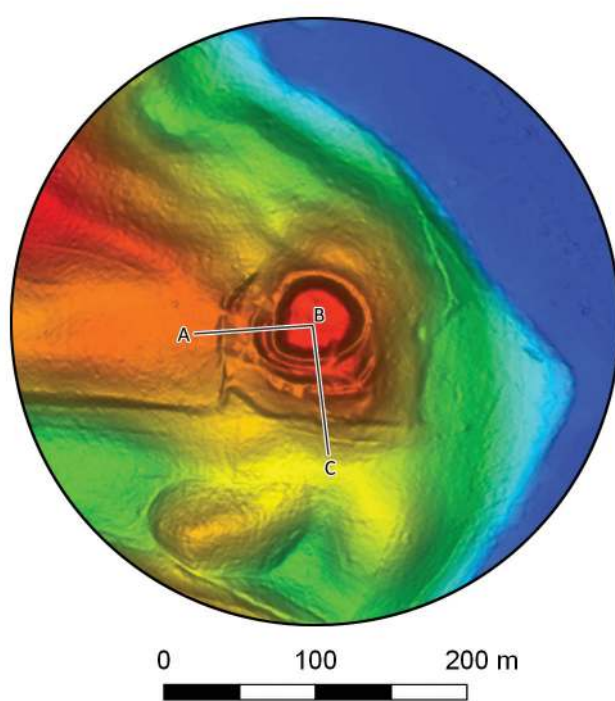
POŁOŻENIE GRODZISKA I JEGO FORMA

DANIEL SKOCZYLAS I RAFAŁ SOLECKI

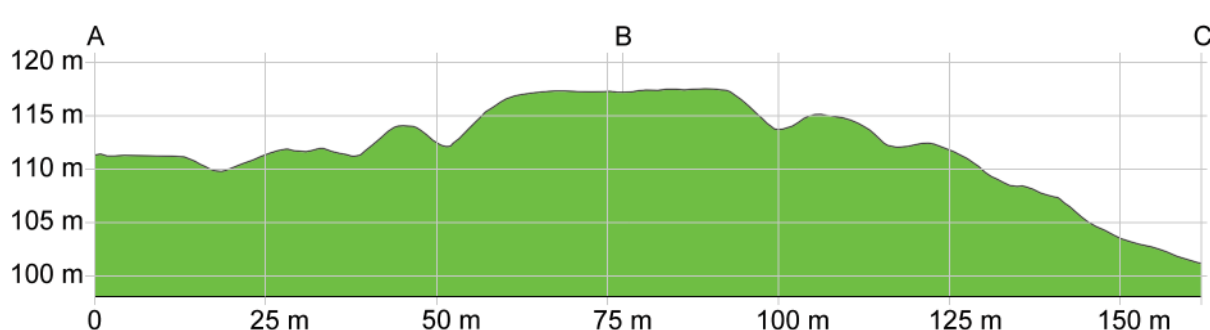
Grodzisko w Lubiance (niem. *Liebenthal*), st. 6 znajduje się w odległości około 2,3 km na północ od wsi. Jest znane od dawna. Znajduje się zarówno w ewidencji stanowisk archeologicznych, jak i zostało wpisane do rejestru zabytków decyzją z 29 grudnia 1969 roku. W tym miejscu należy wyjaśnić, że obecna nazwa grodziska, wynikająca z przypisania go do określonego obrębu ewidencyjnego, nie pokrywa się z nazwą zwyczajową. Grodzisko to bowiem niemal zawsze wiązane było z miejscowością Pluty (niem. *Plauten*), od której oddalone jest o 0,8 km na południe. Nawet na decyzji o wpisie grodziska do rejestru zabytków znajduje się opis „Grodzisko zw. <Starym Zamkiem> w miejscowości Pluty”.

¹ Decyzja nr 67-A o wpisaniu dobra kultury do rejestru zabytków z 29 grudnia 1969 r. Księga C-081.

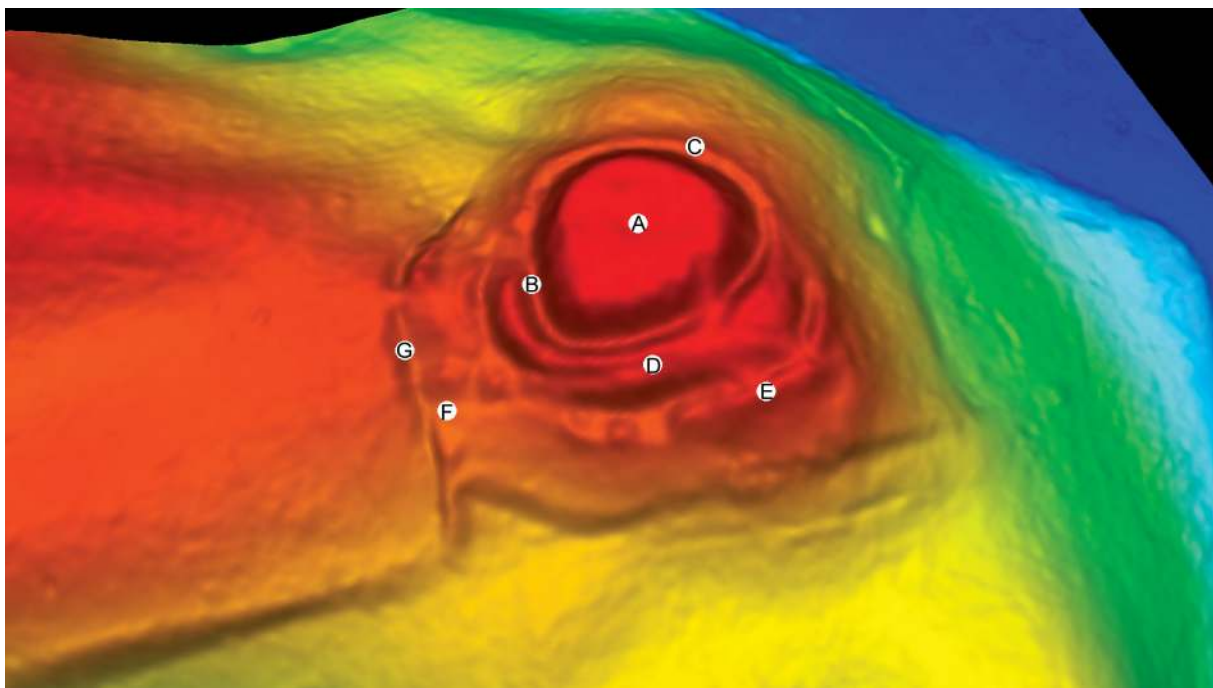
Na południe od miejscowości Pluty znajduje się lokalny masyw, którego szczyt osiąga poziom 120,9 m n.p.m. Grodzisko zajmuje drugi, nieco niższy szczyt położony w odległości około 230 m na południowy wschód (ryc. 3–4). Niższy szczyt ma naturalne cechy obronne – od północy i wschodu chronią go naturalne strome stoki, które opływanie są przez płynącą u podnóża masywu rzekę Wałszę. Od południa grodzisko odcina jar, którego północna krawędź nosi ślady intencjonalnego podcinania, prawdopodobnie w celu zwiększenia nachylenia. Dodatkowo od strony południowej zbudowano wał (ryc. 5:E) długości około 70 m, którego względna wysokość wynosi obecnie około 0,9 m. Dogodne dojście jest tylko od strony północno-zachodniej. Od tej strony zbudowano zewnętrzny wał i fosę (ryc. 5:F–G) o długości 94 m. Na dobrze zachowanym odcinku szerokość tej fosy dochodzi do 5,8 m, jej głębokość względem przedpola osiąga do 1,3 m, a wysokość względem szczytu wału zewnętrznego do-



Ryc. 3. Grodzisko w Lubiance, st. 6 na zobrazowaniu ALS (na podstawie materiałów GUGiK, oprac. R. Solecki)



Ryc. 4. Przekrój grodziska w Lubiance, st. 6 uzyskany z danych ALS (na podstawie materiałów GUGiK, oprac. R. Solecki)



Ryc. 5. Lubianka, st. 6. NMT z opisem wydzielonych elementów grodziska i jego otoczenia: A) majdan, B) fosa poniżej majdanu, C) taras poniżej majdanu, D) wał grodziska z rampą, E) wał południowy, F) wał zewnętrzny, G) fosa zewnętrzna (oprac. R. Solecki)



Ryc. 6. Lubianka, st. 6.
Widok w kierunku południowo-zachodnim na majdan grodziska
(fot. A. Lejzerowicz)



Ryc. 7. Lubianka, st. 6. Widok z majdanu w kierunku południowym na wał grodziska (fot. A. Lejzerowicz)

chodzi do 2,6 m. Pierwotnie wał południowy mógł się łączyć z wałem zewnętrznym, ten odcinek obecnie jest jednak silnie zniszczony i pewności brak. Po minięciu wału zewnętrznego kolejnym umocnieniem jest właściwy wał grodziska (ryc. 5:D), który otacza majdan od zachodu i południa. Jego długość wynosi 110 m, wysokość względem powierzchni przy wale zewnętrznym dochodzi do 3 m, a wysokość względem fosy otaczającej majdan od południa (ryc. 5:B) dochodzi do 2 m. Na zewnętrznym stoku tego wału usypano rampę, która łagodnym podejściem prowadzi na szczyt wału. Za właściwym wałem grodziska znajduje się już majdan (ryc. 5:A), od południa otoczony suchą fosą (ryc. 5:B), a od północy tarasem szerokości do 6 m (ryc. 5:C), wysuniętym w kierunku doliny Wałszy. Jego *plateau* wyniesione jest względem dna fosy i powierzchni tarasu od 4,5 m do nawet 6 m. Majdan ma kształt leżkowaty z narożnikiem od strony południowo-zachodniej (od strony wału zewnętrznego). Przy jego krawędzi nie ma czytelnych reliktów wału bądź innej fortyfikacji. Powierzchnia majdanu wynosi około 13 arów, a powierzchnia całego stanowiska, liczona do krawędzi przedpola za fosą zewnętrzną, wynosi około 1,2 ha.

Na Karcie Ewidencji Stanowiska Archeologicznego z 1985 roku jest adnotacja, że podczas prospekcji nie natrafiono na materiał zabytkowy na powierzchni. Jest jednak informacja, że „w niewielkich wykopach widoczne są fragmenty konstrukcji kamiennych”, a na ziemi można znaleźć okruchy cegieł². W archiwum NID znajduje się teczka grodziska, w której z kolei jest notatka Romualda Odoja sporządzona 5 maja 1959 roku, z której wynika, że wkopy rabunkowe zostały zrobione przez robotników wykonujących w miejscowości prace melioracyjne, ale jako winnych wskazywano także tamtejszego księdza oraz nauczyciela³. Opisane wkopy nie zostały napisane na plan stanowiska i obecnie trudno było ustalić ich położenie. Było to o tyle trudne, że na powierzchni widoczne są także nowe wkopy o charakterze rabunkowym.

Pierwszą informacją o zamku w Plutach jest dokument w *Codex Diplomaticus Warmiensis* z 27 marca 1325 roku, w którym znajduje się odwołanie do *castri*, które

w komentarzu opisane jest jako *Schloss Plut*⁴. Nieco więcej informacji dostarcza notatka Piotra z Dusburga zawarta w jego kronice. Budowę zamku w Plutach przypisuje on Jordaniowi, początkowo proboszczowi kapituły warmińskiej, a w latach 1326–1328 biskupowi warmińskiemu. Oryginalny zapis brzmi: „Et Jordanus Praepositus Warmiensis castrum dictum Plut, circa civitatem Meelsack”⁵. Można zatem podejrzewać, że w Plutach na początku XIV wieku wybudowano zamek, a jako że jego fundatorem była kapituła warmińska, musiał on być w jakiś sposób umocowany w jej strukturze. W pracy Caspara Hennebergera z 1595 roku znajduje się z kolei informacja, że zamek w Plutach jest już opuszczony⁶. To oznacza, że historia tego założenia była bardzo krótka – zamek nie funkcjonował dłużej niż trzy wieki, a biorąc pod uwagę fakt, że na jego temat nie ma więcej wzmianek źródłowych, zapewne istniał jeszcze krócej.

We współczesnych źródłach opis grodziska w Plutach pojawia się w monografii Johanna Voigta *Geschichte Preussens*, tom 4, z 1830 roku. Potwierdził on wcześniejsze przekazy, że prepozyt Jordan był fundatorem zamku w Plutach⁷. W 1863 roku ukazał się 2 tom pracy Antona Eichhorna *Zeitschrift für die Geschichte und Altertumskunde Ermlands*. Autor podał tam między innymi informację, że w Plutach znajdowała się przeprawa przez rzekę Wałszę, a kolejna była dopiero w oddalonym o około 11 km na zachód Pieniężnie. Zamek miał powstać w 1325 roku, aby bronić tej przeprawy⁸. Informacja o budowie zamku w Plutach została podana za kroniką Piotra z Dusburga. Adolf Boeticher w swojej książce z 1894 roku podaje w zasadzie te same informacje, co wcześniej A. Eichhorn. Rozwinięciem jest dodanie planu grodziska nazwanego *Burg Plut* (ryc. 8:A), na którym oznaczony jest zbliżony do kwadratu obiekt umiejscowiony w południowo-zachodniej części majdanu. Uzupełnieniem planu jest szkic pokazujący panoramę z grodziskiem, którego powierzchnia została odlesiona

⁴ Woelky i Saage 1860: 375–376, dokument 221.

⁵ Piotr z Dusburga 1679: 407–408; Wyszomirski 2011: 232–233, dokument 360.

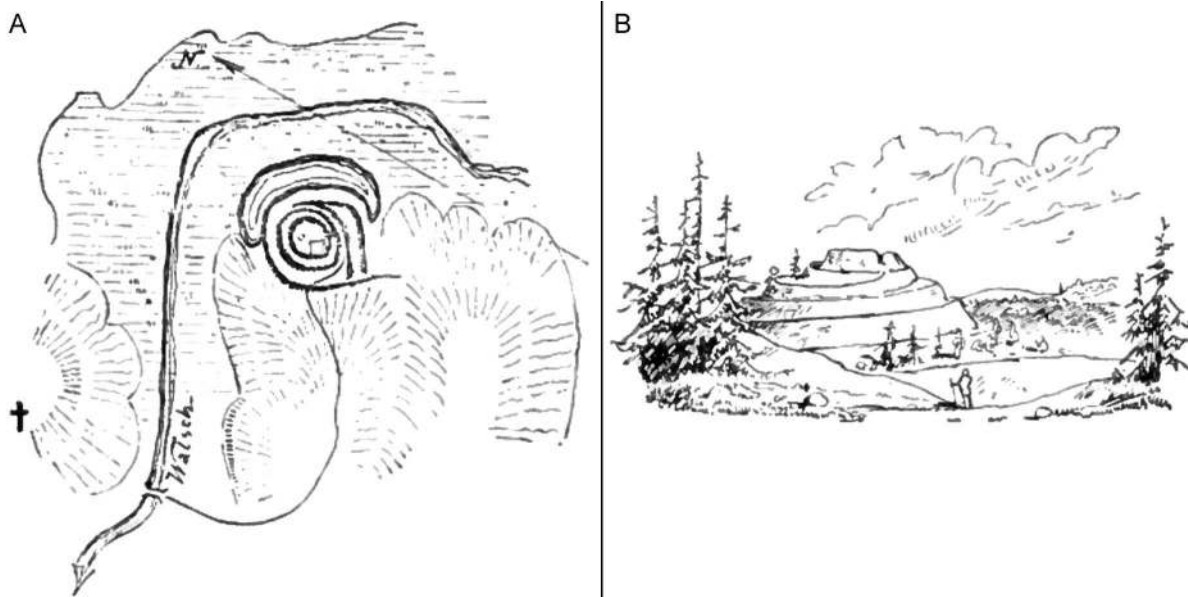
⁶ Henneberger 1595: 349.

⁷ Voigt 1830: 403.

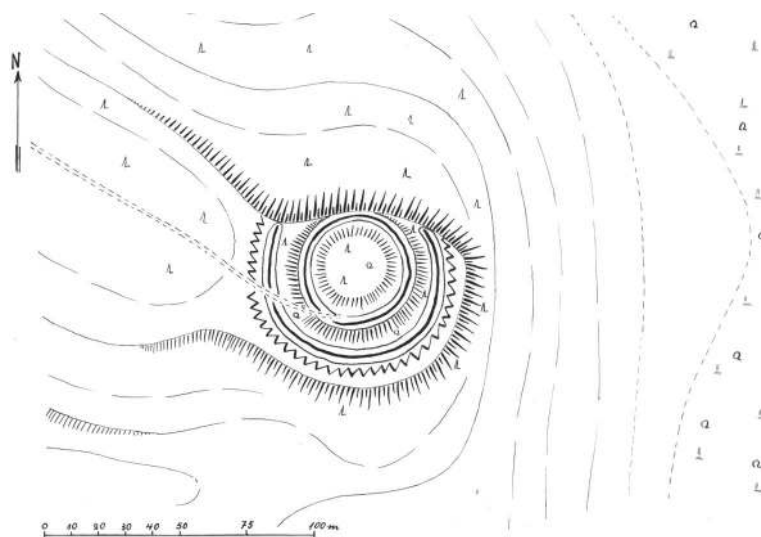
⁸ Eichhorn 1863: 394–395.

² Informacja z KESA 14-59/13.

³ Notatki z teczki grodziska w Plutach z archiwum NID.



Ryc. 8. Grodzisko opisane *Burg Plut*, na przedstawieniu z końca XIX wieku: A) plan, B) panorama (Boetticher 1894: ryc. 155–156)



Ryc. 9. Grodzisko w Lubiance, st. 6 na karcie ze zbioru *Burgwall-kartei*
(źródło: Staatliche Museen zu Berlin, Museum für Vor- und Frühgeschichte, IXc 90, Bl. 45)

(ryc. 8:B)⁹. W 1908 roku Emil Hollack zamieszcza grodzisko w swoim katalogu, ale jego opis jest bardzo skróty. Dodatkową informacją jest jedynie wskazanie, że w odległości około 500-600 kroków od grodziska znajdują się relikty wału¹⁰. W 1937 roku grodzisko wymienia Hans Crome, nazywając je *Wallberg* i *Pluta berg*¹¹, a następnie raz jeszcze w 1940 roku uzupełniając powielony opis o bibliografię¹². Grodzisko w okresie międzywojennym wprowadzono do katalogu *Burgwall-kartei*. Na karcie znajduje się zapis, że podczas prospekcji nie znaleziono żadnych zabytków. Wykonano tylko szkic stanowiska (ryc. 9).

W notatce prasowej, która ukazała się

w *Königsberger Tageblatt*, nr 199, z 21 lipca 1937 roku znalazła się informacja wskazująca, że istniały przesłanki jakoby stanowisko miałoby być dwufazowe – w czasach przedkrzyżackich miało się tam znajdować refugium, na obszarze którego w XIV wieku powstał zamek. Głównym tematem notatki jest jednak odkrycie cmentarzyska datowanego na XIII wiek (ryc. 10). Cmentarzysko to miałoby znajdować się przy umocnieniach, ale z korespondencji znajdującej się w teczce miejscowości Pluty w *Staatliche Museen zu Berlin, Museum für Vor- und Frühgeschichte* wynika, że natrafiono na nie na północ od wsi¹³.

Pomimo że stanowisko było znane od dawna to do 2021 roku nie były w jego obrębie prowadzone badania archeologiczne.

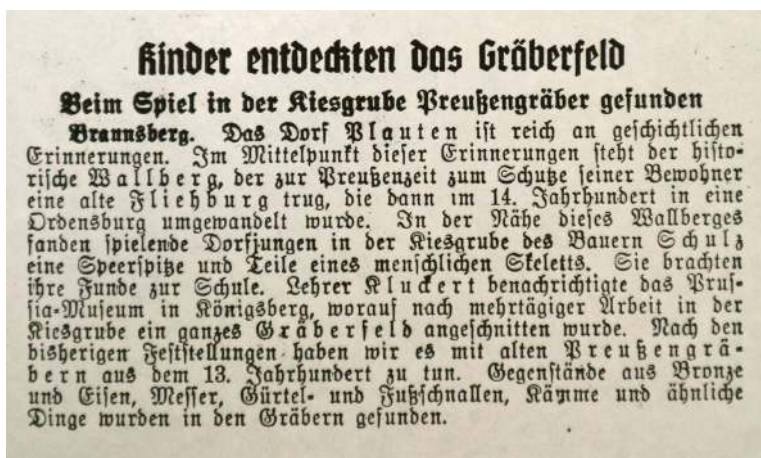
⁹ Boetticher 1894: 203–204.

¹⁰ Hollack 1908: 116.

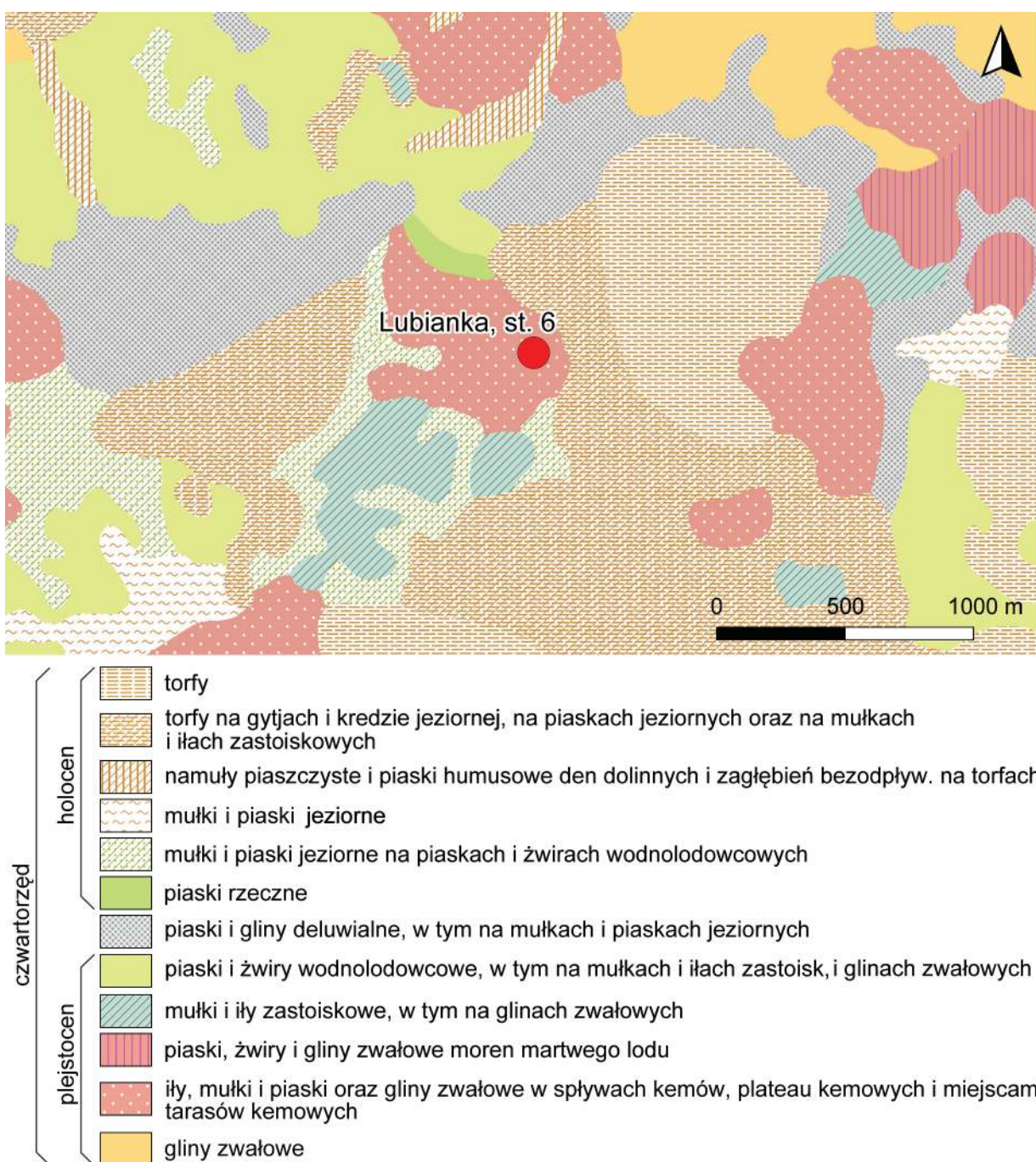
¹¹ Crome 1937: 103.

¹² Crome 1940: 100.

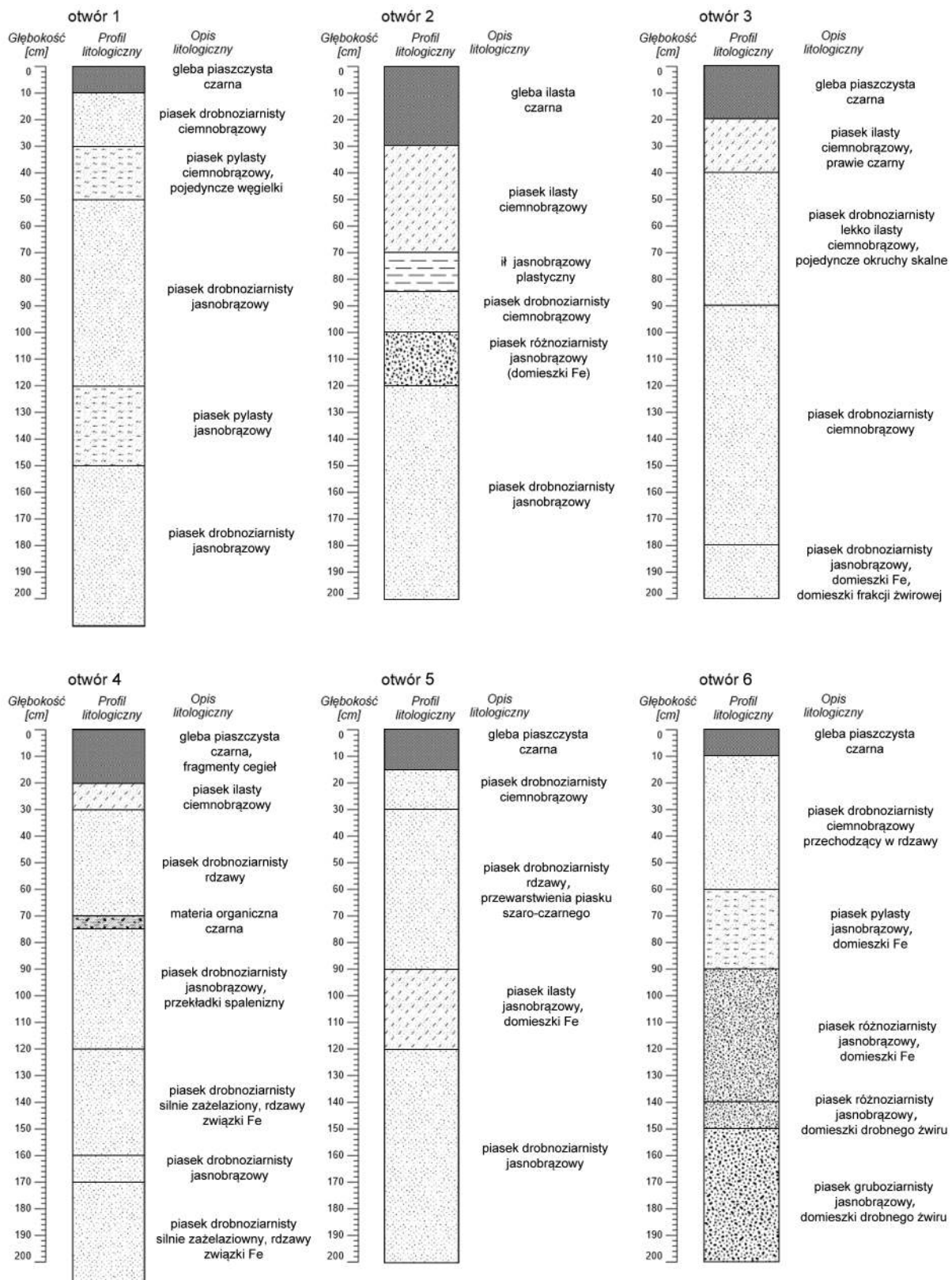
¹³ Teczka miejscowości Pluty w *Staatliche Museen zu Berlin, Museum für Vor- und Frühgeschichte*, PM-A 1138/1.



Ryc. 10. Notatka prasowa na temat znalezisk archeologicznych we wsi Pluty opublikowana w *Königsberger Tageblatt*, nr 199, 21 lipca 1937 r. (źródło: Staatliche Museen zu Berlin, Museum für Vor- und Frühgeschichte, PM-A 1138/1)



Ryc. 11. Wycinek arkusza Szczegółowej Mapy Geologicznej Polski z zaznaczonym stanowiskiem w Lubiance, st. 6 (źródło: www.cbdgmapa.pgi.gov.pl/arcgis/services/kartografia/smgp50k/MapServer/WMServer, oprac. R. Solecki)



Ryc. 12. Profile litologiczne odwiertów wykonanych na grodzisku w Lubiance, st. 6 (oprac. A. Lejzerowicz)

ŚRODOWISKO FIZYCZNOGEOGRAFICZNE

ANNA LEJZEROWICZ

Według podziału fizycznogeograficznego Polski Jerzego Kondrackiego grodzisko w Lubiance znajduje się w mezoregionie Wzniesienia Górowskie¹⁴. Położone jest na kemie, który powstał podczas recesji lądolodu zlodowacenia Wisły. Należy on do grupy niewielkich pagórków kemowych rozrzuconych na obszarze otaczającej stanowisko wysoczyzny morenowej falistej. Tutejsze formy kemów zbudowane są iłów, piasków pyłowo-żwirowatych, piasków pyłowych i mułków¹⁵. Grodzisko znajduje się na szczytce wzniesienia o deniwelacji około 30 m względem doliny rzeki Wałszy opływającej omawiany kem od wschodu. Sam szczyt wzniesienia jest stosunkowo płaski natomiast poniżej niego widoczne są pozostałości wałów obronnych i fos.

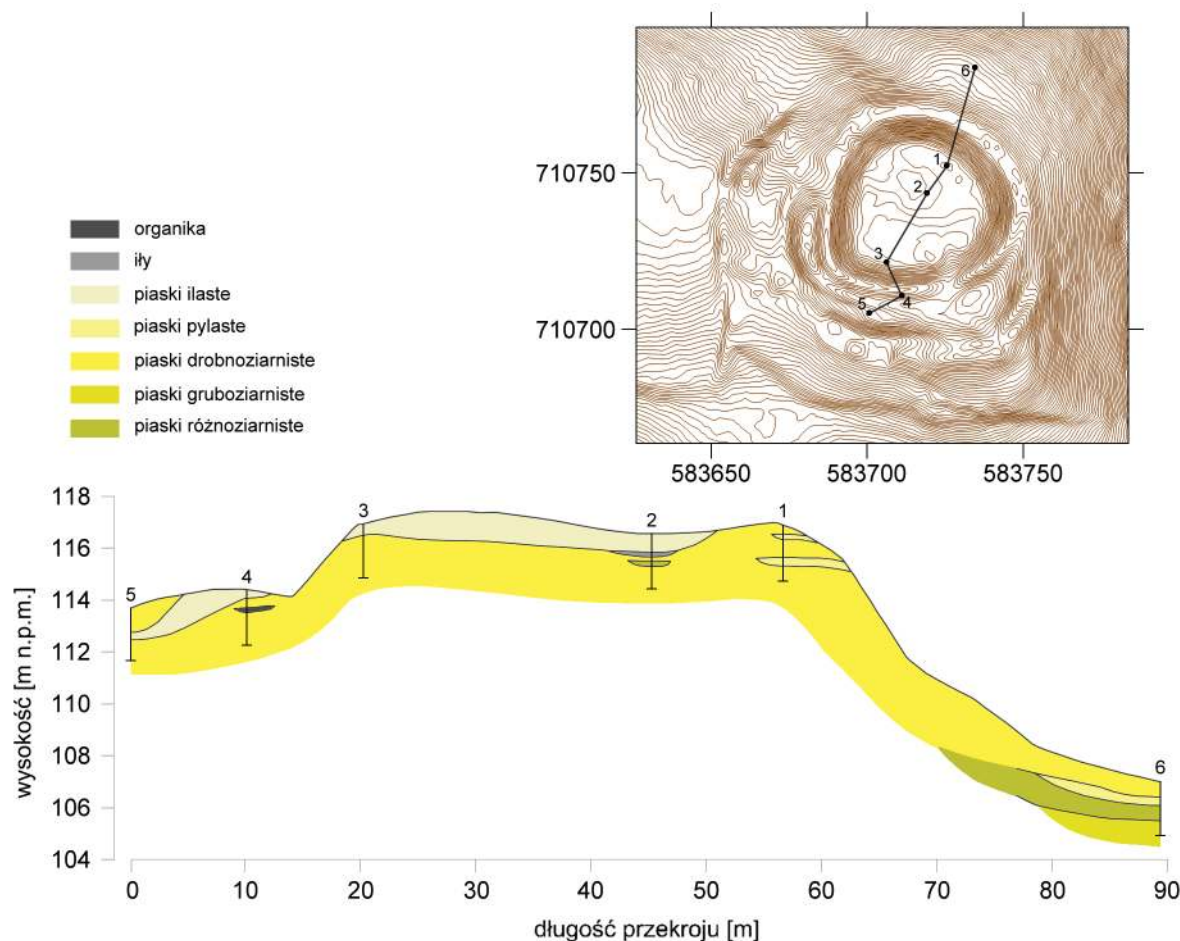
Według Szczegółowej Mapy Geologicznej Polski w skali 1:50 000 na obszarze gro-

¹⁴ Kondracki 2002: 100–102.

¹⁵ Kacprzak i Honczaruk 2014: 11.

dziska występują iły, mułki i piaski oraz gliny zwałowe w spływach kemów, plateau kemowych i miejscami tarasów kemowych (ryc. 11). Według *Mapy Geologicznej Polski* w skali 1:500 000 jest to obszar występowania glin zwałowych, ich zwietrzelin oraz piasków i żwirów lodowcowych.

Na obszarze grodziska wykonano sześć wierceń sondą ręczną do maksymalnej głębokości 2,1 m w celu rozpoznania budowy geologicznej. Na podstawie wykonanych wierceń stworzony został schematyczny przekrój geologiczny przez stanowisko (ryc. 13). W wierceniach zaobserwowano występowanie głównie osadów piaszczystych oraz lokalnie jedynie ilów (ryc. 12 otwór 2) oraz grubszystych przekładek materii organicznej (ryc. 12 otwór 4). Osady piaszczyste to piaski drobnoziarniste o różnym zabarwieniu, często z domieszkami związków żelaza. W wierceniach występują również piaski różnoziarniste, pylaste oraz ilaste stanowiące warstwy o stosunkowo nieznacznych miąższościach. Szczegółowa litologia jest widoczna oraz została opisana na poszczególnych profilach wierceń (ryc. 12).



Ryc. 13. Schematyczny przekrój geologiczny przez grodzisko w Lubiance, st. 6 (oprac. A. Lejzerowicz)

BADANIA ARCHEOLOGICZNE

DANIEL SKOCZYLAS, DAWID F. WIECZOREK
I RAFAŁ SOLECKI

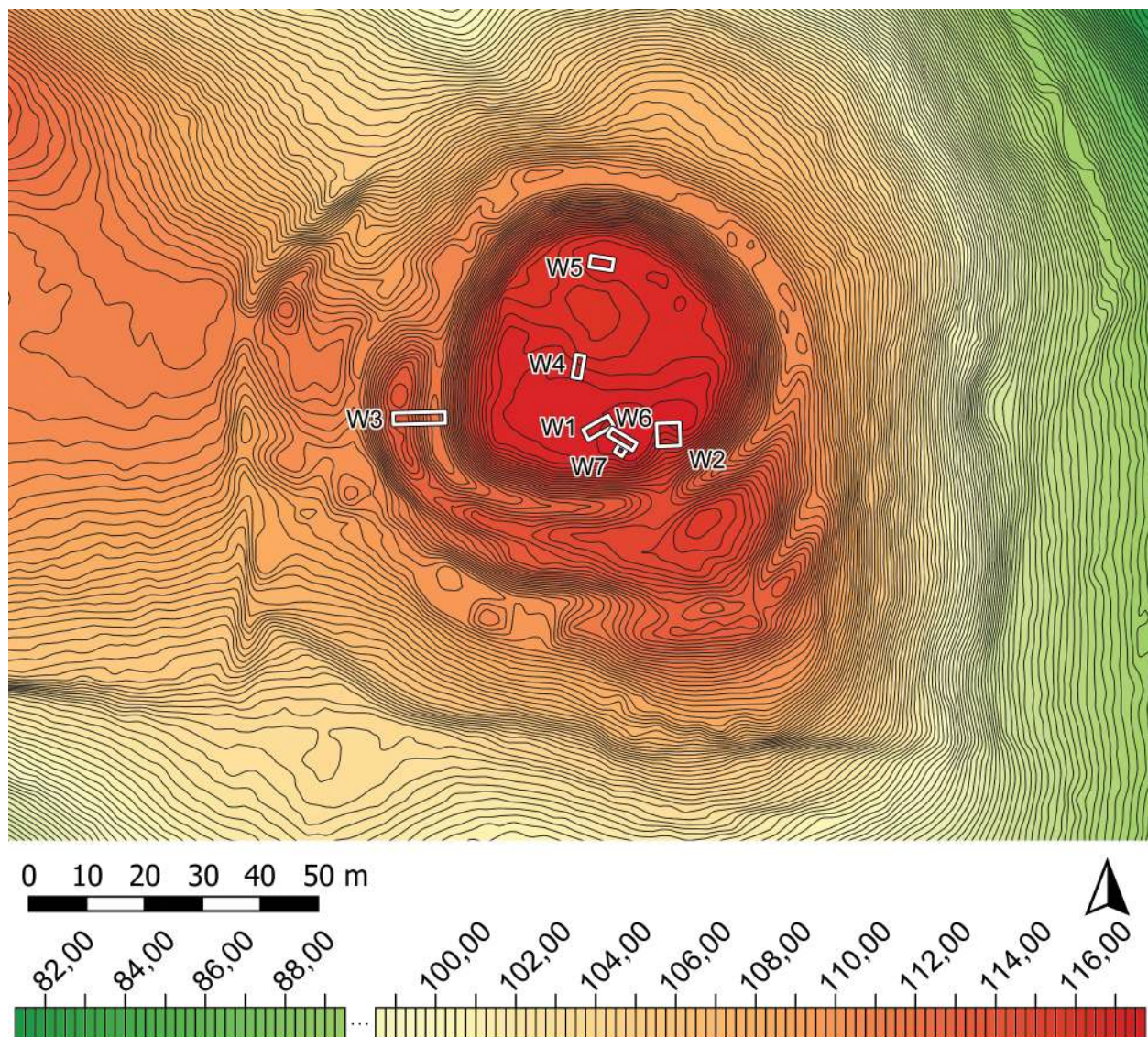
Przebieg badań terenowych

Weryfikację stanowiska w terenie przeprowadzono wiosną, a badania nieinwazyjne i wykopaliskowe latem 2021 roku. Uzupełniające badania wykopaliskowe przeprowadzono latem 2023 roku.

Obszar całego stanowiska jest dość mocno porośnięty lasem, często jeszcze młodym i gęstym (ryc. 6–7). Z tego względu możliwości przeprowadzenia badań nieinwazyjnych były ograniczone. Z tego względu zrezygnowano z rozpoznania powierzchniowego, a wykonano przekrój majdanu grodziska z wykorzystaniem metody tomografii elektrooporowej.

Badania wykopaliskowe także skupiły się na obszarze majdanu, gdyż tam możliwe było jeszcze wytyczanie relatywnie dużych wyko-

pów. Wykopy 1, 6 i 7 (W1, W6. i W7) wytyczono w południowej części majdanu, miały one na celu rozpoznać obszar, gdzie prawdopodobnie mogły znajdować się relikty architektury średniowiecznej, na co wskazywały znaleziska kawałków cegieł w odwiercie i na powierzchni. W1 miał wymiary 2×5 m, W6 $1,5 \times 5$ m, a W7 $1,5 \times 1,5$ m. W2, o wymiarach 4×4 m, wytyczono w południowo-wschodniej części majdanu, w miejscu, gdzie być może znajdowało się wejście na majdan, za czym przemawiał fakt, że na wysokości tego miejsca kończyła się rampa, a w obrębie fosy znajdował się garb mogący pełnić funkcję nasypu pod drogę. W4 i W5 miały na celu rozpoznać anomalie, które uchwycono w czasie badań nieinwazyjnych. W4 miał wymiary $1,5 \times 4$ m i znajdował się w centralnej części majdanu, a W5 miał wymiary 2×4 m i zlokalizowano go w jego północnej części. Stratygrafię nawarstwień w obrębie fosy i wału



Ryc. 14. Lubianka, st. 6. Plan grodziska z naniesionymi wykopami archeologicznymi (oprac. R. Solecki)

pod majdanem rozpoznano tylko jednym wykopem W3, o wymiarach 2×9 m. Wytyczono go na zachód od majdanu, ponad wejściem na obszar grodziska od strony zachodniej. Położenie wykopów prezentuje ryc. 14.

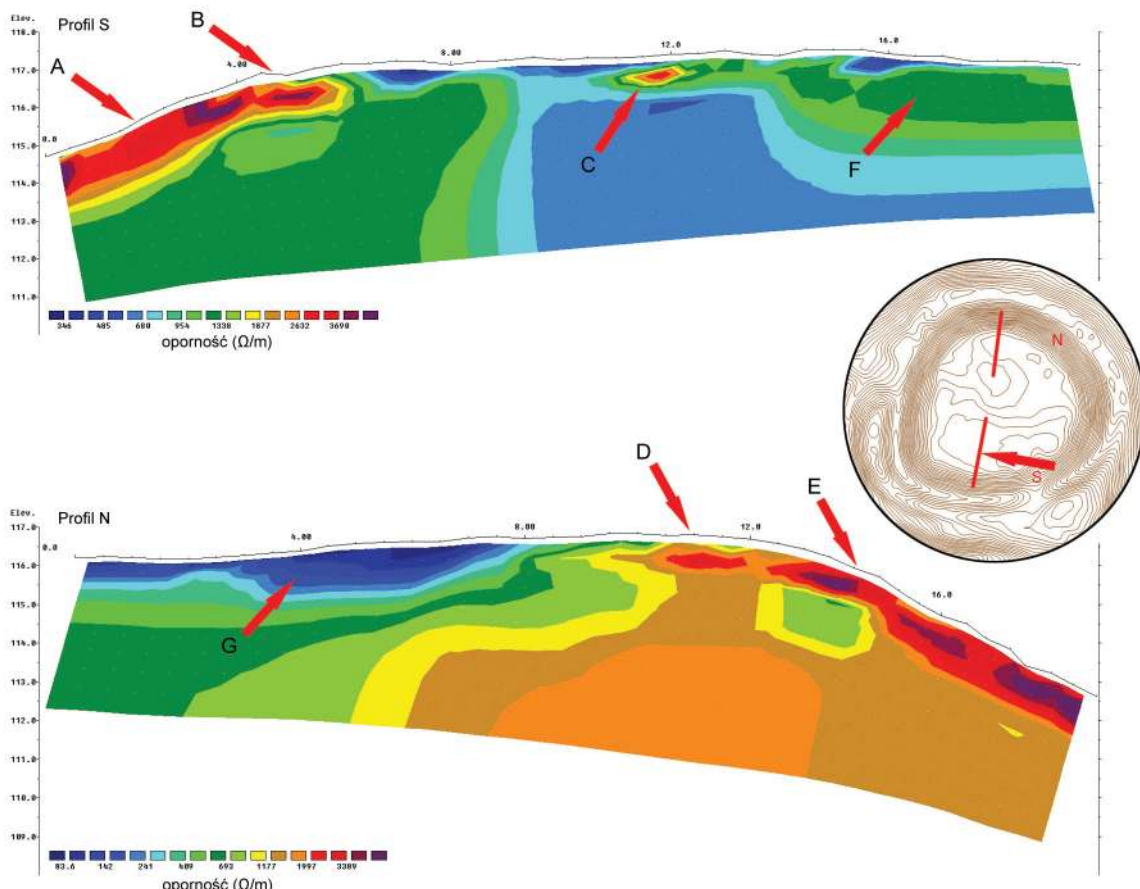
Badania nieinwazyjne

Pomiary z wykorzystaniem metody tomografii elektrooporowej zostały przeprowadzone za pomocą urządzenia ARES II firmy GF Instruments z wieloelektrydowym mierzenikiem rezystywności z 40 elektrodami. Długość mierzonych profili wynosiła 19,5 m, przy odległości między elektrodami wynoszącej 0,5 m. Linia pomiarowa została wytyczona wzdłuż osi zbliżonej do północ-południe. W ramach porównań pomiary zostały wykonane w konfiguracjach Wennera i Schlumbergera¹⁶. Łącznie zarejestrowano 18 profili. Zarejestrowane dane ERT zostały przetworzone za pomocą programu Res2DInv firmy Geotomo z korekty topograficznej. Uzyskany model przedstawia rzeczywisty rozkład mierzonej rezystywności powierzchniowej wzdłuż danej osi.

Na uzyskanych profilach czytelne są an-

omalie (ryc. 15:B, D) wskazujące, że w przeszłości krawędź majdanu była umocniona, być może za pomocą konstrukcji kamiенно-ceglanej, na co wskazuje wysoka wartość oporności. Takie same wartości pomiarów uzyskano na stokach majdanu w kierunku fosy (ryc. 15: A, E), co z kolei może wskazywać, że powierzchnię tę zabezpieczono przed erozją za pomocą płaszczu kamieni albo że są to relikty umocnienia krawędzi majdanu, które w wyniku zniszczenia, bądź rozbiórki, stoczyły się w dół stoku i tam osiadły. Na obszarze majdanu, przy jego południowej krawędzi uchwycono także anomalię z wysoką wartością oporności (ryc. 15:C), która może wskazywać na istnienie obiektu z wypełniskiem kamiennym lub ceglany. W analizowanym profilu widoczne były także dwa regularne zakleszczenia (ryc. 15: F, G), które jednak wyróżniały się niską opornością. Być może są to obiekty wziemne wypełnione luźnym materiałem mineralnym, być może z dodatkiem materii organicznej, który dłużej zatrzymuje wodę. Na podstawie wyników tych badań zdecydowano się na rozpoznanie obiektów wziemnych na obszarze majdanu oraz tak wytyczyć wykop przy krawędzi majdanu, aby była szansa na rozpoznanie formy jej umocnienia.

¹⁶ Pasierb 2012: 192–197.



Ryc. 15. Lubianka, st. 6. Przekrój ERT przez majdan grodziska (oprac. D. Skoczylas)

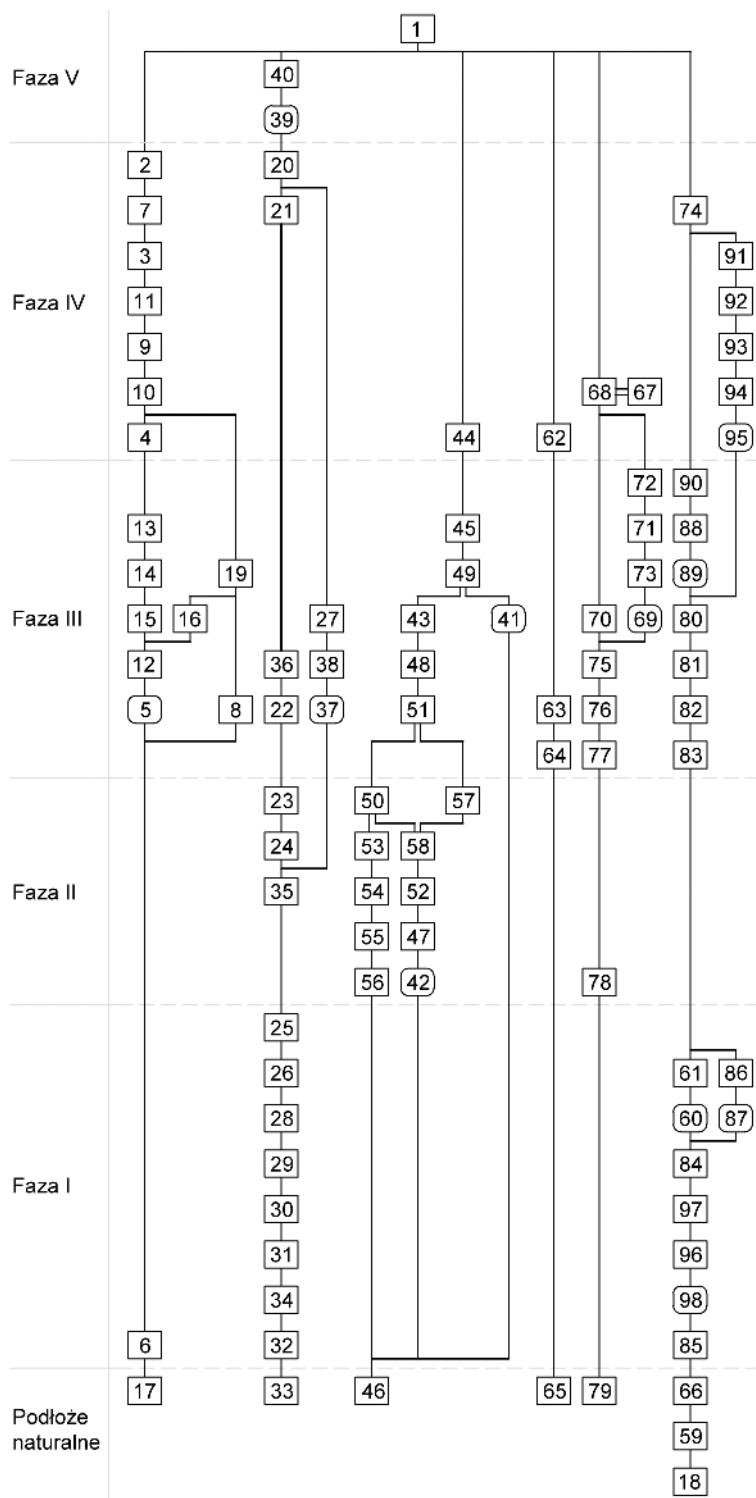
Stratygrafia stanowiska

W trakcie omawianych badań archeologicznych wydzielono łącznie 98 jednostek stratygraficznych (tabela 1). Możliwe było ich rozdzielenie pomiędzy jednostki związane z podłożem naturalnym i pięć faz związań z dziejami stanowiska. Diagram Harris'a dla wydzielonych jednostek stratygraficznych przedstawia ryc. 16, a zadokumentowane powierzchnie ryc. 17–26.

Warstwy naturalne

W trakcie badań jako jednostkę naturalną zidentyfikowano:

- w południowej części majdanu: sypki piasek ze smugami żelazistych wytrąceń 17 i 18, a także lekko ilasty piasek z żyłami żelazistymi wytrąceń 33. W W6 ponad warstwą 18 wydzielono ilasty piasek 59 z silnymi żelazistymi wytrąceniami w obrębie całego pokładu, a w jej stropie ilasty piasek 66 z żelazistymi wytrąceniami w postaci orsztynu.



Ryc. 16. Lubianka, st. 6.
Diagram relacji stratygraficznych
(oprac. D. Skoczylas,
D.F. Wieczorek
i R. Solecki)

Tabela 1. Lubianka, st. 6. Katalog warstw i obiektów oraz ich zależności stratygraficznych
(oprac. D. Skoczylas, D.F. Wieczorek i R. Solecki)

Numer jednostki	Numer obiektu	Numer wykopu	Położenie w obrębie stanowiska	Współrzędne geodezyjne (PUWG 1992)	Opis jednostki stratygraficznej	Barwa (Munsell)	Pozycja stratygraficzna	
							Zdaje się pod	Znajduje się nad
1	-	1, 2, 3, 4, 5, 6, 7	cała powierzchnia stanowiska	X=710721,5- 710756,6; Y=583679,5- 583729,5	Piaszek z bardzo dużą domieszką materii organicznej, silnie poprzeraстany korzeniami; miąższość do 20 cm; współczesny poziom użytkowy	10YR 3/2	-	2, 7, 20, 21, 40, 62, 74
2	-	1	część S majdanu	X=710724,4- 710728,7; Y=583712,4- 583717,9	Przemieszany piaszek z dużą domieszką materii organicznej i pojedynczymi kawałkami gruzu ceglanego; miąższość do 45 cm; warstwa erozyjna	10YR 4/3	1	3, 7, 19
3	-	1	część S majdanu	X=710724,4- 710728,7; Y=583712,4- 583717,9	Przemieszany piaszek z dużymi grudami zwartej glinki, materią organiczną i kawałkami gruzu ceglanego; miąższość do 110 cm; warstwa zasypiskowa	10YR 6/4	2, 7	4, 19
4	-	1	część S majdanu	X=710724,4- 710728,7; Y=583712,4- 583717,9	Sypki piaszek z domieszką drobnego zwiru i silnymi żelazistymi wytrąceniami; miąższość do 45 cm; warstwa zasypiskowa	10YR 5/6	3	12, 13, 14
5	5	1	część S majdanu	X=710724,4- 710728,7; Y=583712,4- 583717,9	Szerokopłaszczyznowy wkop budowlany pod piwniczkę; uchwycone wymiary to szerokość co najmniej 280 cm i głębokość do 110 cm	-	12, 14	6, 17
6	-	1	część S majdanu	X=710724,4- 710728,7; Y=583712,4- 583717,9	Piaszek z bardzo dużą domieszką mialu węglowego i pojedynczymi kamieniami o średnicy do 10 cm; miąższość do 25 cm; warstwa kulturowa	10YR 2/2	5, 8, 19	17
7	-	1	część S majdanu	X=710724,4- 710728,7; Y=583712,4- 583717,9	Piaszek z dużą domieszką materii organicznej i pojedynczymi drobinami węgli drzewnych; miąższość do 80 cm; warstwa zasypiskowa	10YR 4/4	1, 2	3
8	-	1	część S majdanu	X=710724,4- 710728,7; Y=583712,4- 583717,9	Piaszek przemieszany z licznymi drobinami gruzu ceglanego i pojedynczymi węglami drzewnymi; miąższość do 15 cm; warstwa związana z budową piwniczki	10YR 4/6	19	6
9	-	1	część S majdanu	X=710724,4- 710728,7; Y=583712,4- 583717,9	Gлина przemieszana z drobnym rumoszem kamiennego-cegelnym; warstwa zasypiskowa	5YR 5/6	3, 11	4, 10, 13, 19
10	-	1	część S majdanu	X=710724,4- 710728,7; Y=583712,4- 583717,9	Rumosz kamienno-cegły oblepień gliną; zniszczona konstrukcja murowana	-	9, 11	4, 13, 19
11	-	1	część S majdanu	X=710724,4- 710728,7; Y=583712,4- 583717,9	Plastry glinki z grudami polepy i drobinami węgli drzewnych przemieszane z sypkim piaskiem; zrzucone wyleplenie ściany lub posadzki	5YR 6/4 (60%) 10YR 8/3 (40%)	3, 7	9, 10, 13
12	5	1	część S majdanu	X=710724,4- 710728,7; Y=583712,4- 583717,9	Całkowicie zdegradowany relikt spalonej drewnianej ściany piwniczkę; zachowana wysokość 50 cm	10YR 2/2	4, 14, 19	5, 17
13	5	1	część S majdanu	X=710724,4- 710728,7; Y=583712,4- 583717,9	Całkowicie zdegradowany relikt spalonej drewnianej młodszej podłogi piwniczkę	10YR 2/2	4	14
14	5	1	część S majdanu	X=710724,4- 710728,7; Y=583712,4- 583717,9	Sypki piaszek z dużą domieszką materii organicznej i węgli drzewnych; miąższość do 20 cm; podłoże podłogi	10YR 6/4	4, 13	5, 12, 17
15	5	1	część S majdanu	X=710724,4- 710728,7; Y=583712,4- 583717,9	Całkowicie zdegradowany relikt spalonej drewnianej starszej podłogi piwniczkę	10YR 2/2	13, 14	5, 17
16	5	1	część S majdanu	X=710724,4- 710728,7; Y=583712,4- 583717,9	Piaszek z domieszką materii organicznej i drobin węgli drzewnych; wypełnisko obiektu 5	10YR 5/3	12, 19	5, 17
17	-	1	część S majdanu	X=710724,4- 710728,7; Y=583712,4- 583717,9	Sypki piaszek ze smugami żelazistymi wytrąceniami; podłoże naturalne	10YR 7/4	5, 6, 15, 16	-
18	-	6	część S majdanu	X=710722,5- 710726,5; Y=583716,6- 583721,9	Sypki piaszek z żelazistymi wytrąceniami; podłoże naturalne	10YR 7/4	59	-
19	-	1	część S majdanu	X=710724,4- 710728,7; Y=583712,4- 583717,9	Sypki piaszek z domieszką materii organicznej i smugami żelazistymi wytrąceniami; miąższość do 50 cm; warstwa niwelacyjna	10YR 7/5	2, 3	6, 8, 12
20	-	2	część S majdanu	X=710723,2- 710727,5; Y=583725,1- 583729,4	Przemieszany, sypki piaszek z dużą domieszką materii organicznej; miąższość do 35 cm; warstwa erozyjna	10YR 5/4	1, 39, 40	27, 29, 30, 31, 34, 38, 41
21	-	2	część S majdanu	X=710723,2- 710727,5; Y=583725,1- 583729,4	Przemieszany, sypki piaszek z domieszką materii organicznej; miąższość do 55 cm; warstwa erozyjna	10YR 6/4	1, 20, 39, 40	22, 29, 36
22	-	2	część S majdanu	X=710723,2- 710727,5; Y=583725,1- 583729,4	Przemieszany piaszek z dużą domieszką materii organicznej i drobinami węgli drzewnych; miąższość do 40 cm; warstwa kulturowa	10YR 4/4	21, 36	23, 24, 35

Tabela 1. Lubianka, st. 6. Katalog warstw i obiektów oraz ich zależności stratygraficznych, ciąg dalszy (oprac. D. Skoczyłas, D.F. Wieczorek i R. Solecki)

Numer jednostki	Numer obiektu	Numer wykopu	Położenie w obrębie stanowiska	Współrzędne geodezyjne (PUWG 1992)	Opis jednostki stratygraficznej	Barwa (Munsell)	Pozycja stratygraficzna	
							Zdaje się pod	Znajduje się nad
23	-	2	część S majdanu	X=710723,2-710727,5; Y=583725,1-583729,4	Luźne skupisko kamieni o średnicy do 15 cm; umocnienie szczytu wału	-	22, 36	35
24	-	2	część S majdanu	X=710723,2-710727,5; Y=583725,1-583729,4	Przemieszany piasek z dużą domieszką materii organicznej; miąższość do 20 cm; nasyp wału	10YR 6/4	22	26, 28, 29, 35
25	-	2	część S majdanu	X=710723,2-710727,5; Y=583725,1-583729,4	Kamienie o średnicy około 10 cm układające się w skupisko o średnicy około 70 cm; palenisko?	-	35	26
26	-	2	część S majdanu	X=710723,2-710727,5; Y=583725,1-583729,4	Piasek z dużą domieszką węgli drzewnych; miąższość do 15 cm; warstwa kulturowa	10YR 4/2	24, 25, 35	28, 29
27	37	2	część S majdanu	X=710723,2-710727,5; Y=583725,1-583729,4	Przemieszany piasek z domieszką materii organicznej i węgli drzewnych; wypełnisko obiektu 37	10YR 4/3	20	34, 35, 37, 38
28	-	2	część S majdanu	X=710723,2-710727,5; Y=583725,1-583729,4	Sypki piasek; miąższość do 5 cm; warstwa niwelacyjna	10YR 8/3	24, 26, 35	29
29	-	2	część S majdanu	X=710723,2-710727,5; Y=583725,1-583729,4	Przemieszany piasek z dużą domieszką materii organicznej i pojedynczymi drobinami węgli drzewnych; miąższość do 15 cm; warstwa kulturowa	10YR 4/3	20, 21, 22, 24, 26, 28	30, 31, 32
30	-	2	część S majdanu	X=710723,2-710727,5; Y=583725,1-583729,4	Piasek z domieszką materii organicznej, węgli drzewnych i soczewkami jasnego, sypkiego piasku; miąższość do 15 cm; warstwa kulturowa	10YR 6/2	20, 29	31, 32
31	-	2	część S majdanu	X=710723,2-710727,5; Y=583725,1-583729,4	Piasek z domieszką materii organicznej i bardzo dużą domieszką mąki węglowej; miąższość do 15 cm; warstwa kulturowa	10YR 2/2	20, 29, 30	32, 34
32	-	2	część S majdanu	X=710723,2-710727,5; Y=583725,1-583729,4	Sypki piasek z dużą domieszką materii organicznej i węgli drzewnych; miąższość do 50 cm; warstwa kulturowa	10YR 4/3	29, 30, 31, 34, 41	33
33	-	2	część S majdanu	X=710723,2-710727,5; Y=583725,1-583729,4	Lekko ilasty piasek z żyłami żelazistych wytrąceń; podłoże naturalne	10YR 8/4	32	-
34	-	2	część S majdanu	X=710723,2-710727,5; Y=583725,1-583729,4	Przemieszany piasek z nieregularnie rozłożonymi plamami spalenizny i domieszką organicznej; miąższość do 45 cm; nasyp wału?	10YR 7/6	20, 31	32
35	-	2	część S majdanu	X=710723,2-710727,5; Y=583725,1-583729,4	Przemieszany piasek z soczewkami ilastej materii organicznej i pojedynczymi drobinami węgli drzewnych; miąższość do 60 cm; nasyp wału	10YR 7/4	21, 22, 23, 24, 36, 37	25, 26, 28
36	-	2	część S majdanu	X=710723,2-710727,5; Y=583725,1-583729,4	Sypki piasek; miąższość do 60 cm; nasyp wału	7.5YR 7/4	21	22, 23, 35
37	37	2	część S majdanu	X=710723,2-710727,5; Y=583725,1-583729,4	Wkop, nieregularnie owalny w planie, nieregularnie U-kształtny w przekroju; uchwycone wymiary do średnica do 140 cm i głębokość do 80 cm; dół pośladowy	-	27, 38	29, 34, 35
38	37	2	część S majdanu	X=710723,2-710727,5; Y=583725,1-583729,4	Przemeszany piasek, lekko próchniczny; wypełnisko obiektu 37; cień po zdegradowanym palu	10YR 4/4	20, 27, 39, 40	29, 32, 35, 37
39	39	2	część S majdanu	X=710723,2-710727,5; Y=583725,1-583729,4	Wkop, nieregularny w planie i nieregularny w przekroju; uchwycone wymiary do szerokości do 110 cm i głębokość do 75 cm; współczesny wkop rabunkowy?	-	40	20, 21
40	39	2	część S majdanu	X=710723,2-710727,5; Y=583725,1-583729,4	Przemeszany, luźny piasek z dużą domieszką materii organicznej; wypełnisko obiektu 39	10YR 5/4	1	20, 21, 39
41	41	3	fosa poniżej majdanu	X=710727,0-710729,4; Y=583679,5-583688,7	Wkop, rów, w przekroju nieckowyty; uchwycone wymiary do szerokości do najmniej 430 cm i głębokości do 170 cm; fosa fazy III	-	45, 49	46
42	42	3	wał poniżej majdanu	X=710727,0-710729,4; Y=583679,5-583688,7	Wkop, prawdopodobnie rów, w przekroju nieckowyty; uchwycone wymiary do szerokości około 180 cm i głębokości do 75 cm; fosa fazy II	-	47, 52, 58	46
43	-	3	wał poniżej majdanu	X=710727,0-710729,4; Y=583679,5-583688,7	Przemeszany, sypki piasek z dużą domieszką materii organicznej; miąższość do 100 cm; nasyp wału	10YR 4/6	1, 49	48, 52
44	41	3	fosa poniżej majdanu	X=710727,0-710729,4; Y=583679,5-583688,7	Lekko ilasty piasek z bardzo dużą domieszką materii organicznej i pojedynczymi kamieniami o średnicy do 35 cm; warstwa erozyjna	10YR 3/2	1	45

Tabela 1. Lubianka, st. 6. Katalog warstw i obiektów oraz ich zależności stratygraficznych, ciąg dalszy
(oprac. D. Skoczylas, D.F. Wieczorek i R. Solecki)

Numer jednostki	Numer obiektu	Numer wykopu	Położenie w obrębie stanowiska	Współrzędne geodezyczne (PUWG 1992)	Opis jednostki stratygraficznej	Barwa (Munsell)	Pozycja stratygraficzna	
							Zdaje się pod	Znajduje się nad
45	41	3	fosa poniżej majdanu	X=710727,0-710729,4; Y=583679,5-583688,7	Lekko ilasty piasek z bardzo dużą domieszką materii organicznej i żelazistymi wytrąceniami; miąższość do 15 cm; wyłożenie powierzchni dna fosy poniżej majdanu	7.5YR 4/6	44	41, 49
46	-	3	wał i fosa poniżej majdanu	X=710727,0-710729,4; Y=583679,5-583688,7	Sypki piasek, w części stropowej z silnymi, żelazistymi wytrąceniami; podłoże naturalne	7.5YR 7/6	41, 42, 43, 45, 47, 49, 50, 52, 54, 55, 56, 58	-
47	42	3	wał poniżej majdanu	X=710727,0-710729,4; Y=583679,5-583688,7	Sypki piasek z domieszką materii organicznej; miąższość do 10 cm; wypełnisko obiektu 42	10YR 5/2	52, 58	42, 46
48	-	3	wał poniżej majdanu	X=710727,0-710729,4; Y=583679,5-583688,7	Sypki piasek przemieszczany z węglami drzewnymi; miąższość do 20 cm; warstwa niwelacyjna	10YR 4/2	43	50, 51, 52
49	41	3	fosa poniżej majdanu	X=710727,0-710729,4; Y=583679,5-583688,7	Lekko ilasty piasek z dużą domieszką materii organicznej i żelazistymi wytrąceniami; miąższość do 20 cm; wyłożenie powierzchni stoku fosy poniżej majdanu	7.5YR 5/6	1, 45	41, 43, 46
50	-	3	wał poniżej majdanu	X=710727,0-710729,4; Y=583679,5-583688,7	Przemieszany, sypki piasek z soczewkami materii organicznej; miąższość do 50 cm; nasyp wału	10YR 6/3	48, 51	46, 53, 54, 58
51	-	3	wał poniżej majdanu	X=710727,0-710729,4; Y=583679,5-583688,7	Przemieszany, lekko ilasty piasek z domieszką materii organicznej; miąższość do 30 cm; warstwa niwelacyjna	10YR 5/6	48	50, 52, 57, 58
52	52	3	wał poniżej majdanu	X=710727,0-710729,4; Y=583679,5-583688,7	Przemieszany sypki piasek z dużą domieszką materii organicznej; miąższość do 25 cm; wypełnisko obiektu 42	10YR 5/3	43, 48, 51, 58	42, 46, 47
53	-	3	wał poniżej majdanu	X=710727,0-710729,4; Y=583679,5-583688,7	Piasek z drobinami węgli drzewnych; miąższość do 10 cm; nasyp wału	10YR 3/2	50	54
54	-	3	wał poniżej majdanu	X=710727,0-710729,4; Y=583679,5-583688,7	Przemieszany ilasty piasek z domieszką materii organicznej; miąższość do 30 cm; nasyp wału	10YR 5/4	50, 53	46, 55
55	-	3	wał poniżej majdanu	X=710727,0-710729,4; Y=583679,5-583688,7	Sypki piasek z domieszką materii organicznej; miąższość do 10 cm; nasyp wału	10YR 5/3	54	46, 56
56	-	3	wał poniżej majdanu	X=710727,0-710729,4; Y=583679,5-583688,7	Sypki piasek; miąższość do 15 cm; nasyp wału	10YR 6/2	55	46
57	42	3	wał poniżej majdanu	X=710727,0-710729,4; Y=583679,5-583688,7	Pojedyncze kamienie o średnicy do 15 cm grupujące się w obrębie obiektu 42	-	51	58
58	42	3	wał poniżej majdanu	X=710727,0-710729,4; Y=583679,5-583688,7	Sypki piasek z dużą domieszką węgli drzewnych; miąższość do 15 cm; wypełnisko obiektu 42	10YR 3/2	50, 51, 57	42, 46, 47, 52
59	-	6	część S majdanu	X=710722,5-710726,5; Y=583716,6-583721,9	Ilasty piasek z żelazistymi wytrąceniami; miąższość do 75 cm; podłoże naturalne	10YR 6/6	66	18
60	60	6	część S majdanu	X=710722,5-710726,5; Y=583716,6-583721,9	Uchwycone fragmentarycznie wkop, nieregularnie U-kształtny w przekroju; szerokość do 120 cm, głębokość do 80 cm; funkcja nieokreślona	-	84	18, 59, 66
61	60	6	część S majdanu	X=710722,5-710726,5; Y=583716,6-583721,9	Sypki piasek z domieszką materii organicznej; wypełnisko obiektu 61	10YR 6/2	60	18, 59, 66, 85
62	-	4	centralna część majdanu	X=710734,9-710739,3; Y=583710,5-583712,9	Sypki piasek z dużą domieszką materii organicznej i pojedynczymi kawałkami gruzu ceglanego; miąższość do 50 cm; warstwa erozjyna	10YR 4/4	1	63, 64
63	-	4	centralna część majdanu	X=710734,9-710739,3; Y=583710,5-583712,9	Piasek z domieszką materii organicznej przemieszany z grudami gliny; miąższość do 15 cm; niwelacja	10YR 5/6	62	64
64	-	4	centralna część majdanu	X=710734,9-710739,3; Y=583710,5-583712,9	Sypki piasek z dużą domieszką materii organicznej; miąższość do 35 cm; warstwa kulturowa	10YR 4/3	62, 63	65
65	-	4	centralna część majdanu	X=710734,9-710739,3; Y=583710,5-583712,9	Sypki piasek z żelazistymi wytrąceniami; podłoże naturalne	10YR 7/4	64	-
66	-	6, 7	część S majdanu	X=710721,5-710726,5; Y=583716,6-583721,9	Ilasty piasek z silnymi, żelazistymi wytrąceniami; miąższość do 35 cm; podłoże naturalne	2.5Y 6/6	84, 85	59

Tabela 1. Lubianka, st. 6. Katalog warstw i obiektów oraz ich zależności stratygraficznych, ciąg dalszy (oprac. D. Skoczyłas, D.F. Wieczorek i R. Solecki)

Numer jednostki	Numer obiektu	Numer wykopu	Położenie w obrębie stanowiska	Współrzędne geodezyjne (PUWG 1992)	Opis jednostki stratygraficznej	Barwa (Munsell)	Pozycja stratygraficzna	
							Zdaje się pod	Znajduje się nad
67	-	5	część N majdanu	X=710753,6-710756,4; Y=583713,4-583717,9	Lekko ilasty piasek z dużą domieszką materii organicznej i drobinami gruzu ceglanego; miąższość do 30 cm; warstwa erozyjna	10YR 6/6	1	72
68	-	5	część N majdanu	X=710753,6-710756,4; Y=583713,4-583717,9	Lekko ilasty piasek z dużą domieszką materii organicznej i drobinami gruzu ceglanego; miąższość do 50 cm; warstwa erozyjna	10YR 5/6	1	70, 72, 75
69	69	5	część N majdanu	X=710753,6-710756,4; Y=583713,4-583717,9	Wkop, prostokątny w planie, nieregularnie U-kształtny w przekroju; uchwycone wymiary to długość co najmniej 200 cm, szerokość około 150 cm i głębokość do 115 cm; funkcja nieokreślona	-	71, 72, 73	75
70	-	5	część N majdanu	X=710753,6-710756,4; Y=583713,4-583717,9	Kamienie o średnicy do 30 cm grupujące się wokół obiektu 69	-	68	75
71	69	5	część N majdanu	X=710753,6-710756,4; Y=583713,4-583717,9	Rumosz kamiенно-ceglany oblepieony gliną; wypełnisko obiektu 69	-	72	73
72	69	5	część N majdanu	X=710753,6-710756,4; Y=583713,4-583717,9	Piasek z domieszką materii organicznej przemieszany z dużą ilością zbitej gliny i węgli drzewnych; wypełnisko obiektu 69	10YR 6/4	67, 68	69, 71, 73, 75, 76, 77
73	69	5	część N majdanu	X=710753,6-710756,4; Y=583713,4-583717,9	Przemieszany, lekko gliniasty piasek z domieszką materii organicznej; wypełnisko obiektu 69	10YR 6/6	71, 72	69, 77, 78
74	-	6, 7	część S majdanu	X=710721,5-710726,5; Y=583716,6-583721,9	Przemieszany, gliniasty piasek z domieszką gruzu ceglanego; miąższość do 35 cm; warstwa erozyjna	2.5Y 4/2	1	80, 88, 90, 91, 92, 93
75	-	5	część N majdanu	X=710753,6-710756,4; Y=583713,4-583717,9	Piasek z dużą domieszką materii organicznej, kawałkami gruzu ceglanego i pojedynczymi kamieniami o średnicy do 15 cm; miąższość do 30 cm; warstwa kulturowa	10YR 4/3	68, 69, 70	76
76	-	5	część N majdanu	X=710753,6-710756,4; Y=583713,4-583717,9	Przemieszany, sypki piasek z domieszką materii organicznej; miąższość do 60 cm; warstwa niwelacyjna	10YR 5/4	75	77
77	-	5	część N majdanu	X=710753,6-710756,4; Y=583713,4-583717,9	Przemieszany, ilasty piasek z cętkami żelazistych wytrąceń; miąższość do 60 cm; warstwa niwelacyjna	10YR 7/6	69, 72, 73, 76	78
78	-	5	część N majdanu	X=710753,6-710756,4; Y=583713,4-583717,9	Sypki piasek z dużą domieszką materii organicznej; miąższość do 40 cm; warstwa kulturowa	10YR 4/3	69, 73, 77	79
79	-	5	część N majdanu	X=710753,6-710756,4; Y=583713,4-583717,9	Sypki piasek z żelazistymi wytrąceniami; podłoże naturalne	10YR 8/4	78	-
80	-	6, 7	część S majdanu	X=710721,5-710726,5; Y=583716,6-583721,9	Ilasty piasek z domieszką materii organicznej; miąższość do 35 cm; warstwa kulturowa	2.5Y 5/3	88, 89, 93, 94, 95	81
81	-	6, 7	część S majdanu	X=710721,5-710726,5; Y=583716,6-583721,9	Sypki piasek z domieszką materii organicznej i pojedynczymi kamieniami o średnicy do 10 cm; miąższość do 45 cm; warstwa niwelacyjna	2.5Y 7/3	80	82, 83, 84
82	-	6	część S majdanu	X=710722,5-710726,5; Y=583716,6-583721,9	Cienka warstewka popiołów; miąższość do 5 cm; warstwa niwelacyjna	10 YR 3/3	81	83
83	-	6, 7	część S majdanu	X=710721,5-710726,5; Y=583716,6-583721,9	Piasek z domieszką materii organicznej i licznymi drobinami węgli drzewnych; miąższość do 25 cm; warstwa niwelacyjna	10YR 4/3	81, 82	84, 86
84	-	6, 7	część S majdanu	X=710721,5-710726,5; Y=583716,6-583721,9	Piasek z domieszką materii organicznej, węgli drzewnych i ze śladami bielicowania; miąższość do 40 cm; warstwa kulturowa	10YR 6/2	81, 83, 86, 87	85
85	-	6, 7	część S majdanu	X=710721,5-710726,5; Y=583716,6-583721,9	Piasek z domieszką materii organicznej; miąższość do 40 cm; warstwa kulturowa	10YR 5/3	60, 84	66
86	87	6	część S majdanu	X=710722,5-710726,5; Y=583716,6-583721,9	Piasek z dużą ilością mału węglowego; wypełnisko obiektu 87	10YR 2/3	83	84, 87
87	87	6	część S majdanu	X=710722,5-710726,5; Y=583716,6-583721,9	Uchwycony fragmentarnie wkop, nieregularny w planie, nieregularnie nieckowaty w przekroju; średnica do 160 cm, głębokość do 40 cm; funkcja nieokreślona	-	86	84
88	89	6, 7	część S majdanu	X=710721,5-710726,5; Y=583716,6-583721,9	Gliniasty piasek z dużą domieszką materii organicznej; wypełnisko obiektu 88	10YR 3/3	74, 90	80, 81, 89

Tabela 1. Lubianka, st. 6. Katalog warstw i obiektów oraz ich zależności stratygraficznych, ciąg dalszy
(oprac. D. Skoczylas, D.F. Wieczorek i R. Solecki)

Numer jednostki	Numer obiektu	Numer wykopu	Położenie w obrębie stanowiska	Współrzędne geodezyczne (PUWG 1992)	Opis jednostki stratygraficznej	Barwa (Munsell)	Pozycja stratygraficzna	
							Zdajduje się pod	Znajduje się nad
89	89	6, 7	część S majdanu	X=710721,5- 710726,5; Y=583716,6- 583721,9	Uchwycony fragmentarnie wkop, prostokątny w przekroju; szerokość do 160 cm, głębokość do 25 cm; wkop fundamentowy	-	88	80, 81
90	89	6, 7	część S majdanu	X=710721,5- 710726,5; Y=583716,6- 583721,9	Relikty platformy o szerokości około 60 cm ułożonej z pojedynczej warstwy ustawionych na woźówkach cegieł; fundament	-	74	88
91	95	6	część S majdanu	X=710722,5- 710726,5; Y=583716,6- 583721,9	Przemieszana, piaszczysta glina z domieszką materii organicznej i gruzu ceglanego; wypełnisko obiektu 95, warstwa zasypiskowa	10YR 4/4	74	92, 93
92	95	6	część S majdanu	X=710722,5- 710726,5; Y=583716,6- 583721,9	Rumosz kamiennoceglany przemieszany z piaskiem i gliną; wypełnisko obiektu 95, warstwa zasypiskowa	10YR 5/8	74, 91	93, 94
93	95	6	część S majdanu	X=710722,5- 710726,5; Y=583716,6- 583721,9	Przemieszany piasek, glina, materia organiczna i drobiny gruzu ceglanego; wypełnisko obiektu 95, warstwa zasypiskowa	10YR 4/3	74, 91, 92	80, 81, 82, 83, 94, 95
94	95	6	część S majdanu	X=710722,5- 710726,5; Y=583716,6- 583721,9	Przemieszany ilasty piasek z domieszką materii organicznej; wypełnisko obiektu 95, warstwa zasypiskowa	10YR 6/4	92, 93	81, 95
95	95	6	część S majdanu	X=710722,5- 710726,5; Y=583716,6- 583721,9	Uchwycony fragmentarnie obiekt, w przekroju nieregularny; szerokość co najmniej 250 cm, głębokość do 145 cm; obiekt zasypiskowy piwniczki z obiektu 5	-	93, 94	80
96	98	7	część S majdanu	X=710721,5- 710723,7; Y=583717,9- 583720,1	Żelazisty piasek przemieszany z materią organiczną i drobinami węgli drzewnych; wypełnisko obiektu 96	10YR 5/6	84, 97	66, 85, 98
97	98	7	część S majdanu	X=710721,5- 710723,7; Y=583717,9- 583720,1	Piasek z dużą ilością węgli drzewnych; wypełnisko obiektu 98	10YR 3/2	84	96
98	98	7	część S majdanu	X=710721,5- 710723,7; Y=583717,9- 583720,1	Uchwycony fragmentarnie wkop, nieckowaty w przekroju; szerokość do 70 cm, głębokość do 40 cm; funkcja nieokreślona	-	96	85

- w centralnej części majdanu: sypki piasek z żelazistymi wytrąceniami 65.
- w północnej części majdanu: sypki piasek z żelazistymi wytrąceniami 79.
- w obrębie wału i fosy poniżej majdanu po jego zachodniej stronie: sypki piasek 46, w którego części stropowej występowały silne, żelaziste wytrącenia.

Faza I

Najstarsza uchwycona faza związana z użytkowaniem tego obszaru przez człowieka, związana jest z osadnictwem ludności kultury kurhanów zachodniobałtyjskich. W fazie tej powstało osiedle obronne, którego relikty odnotowano jedynie w południowej części majdanu – w W1, W2, W6 i W7 – gdzie zachowały się poniżej młodszych jednostek stratygraficznych.

Główny poziom użytkowy z tego okresu wyznacza w W1 piasek 6 z bardzo dużą domieszką miału węglowego i pojedynczymi kamieniami o średnicy do 10 cm, w W2 sypki piasek z dużą domieszką materii organicznej i węgli drzewnych 32, a w W6 i W7 piasek z domieszką materii organicznej 85. W W2, ponad warstwą 32, przy południowej gra-

nicy majdanu odnotowano prawdopodobnie nasyp wału, który tworzył przemieszany piasek z nieregularnie rozłożonymi plamami spalenizny i domieszką materii organicznej 34 (ryc. 17). Układał się on pasem szerokości co najmniej 150 cm na osi niemalże równoległej do krawędzi szczytu. Największa zachowana miąższość tej warstwy dochodzi do 45 cm. Na stoku tego nasypu od strony majdanu widoczny był piasek z domieszką materii organicznej i bardzo dużą domieszką miału węglowego 31. To być może ślad uszkodzeń konstrukcji drewnianej wieńczącej wał, lub drewnianej konstrukcji przyległej do wału. Ponad warstwą spalenizny wydzielono piasek z domieszką materii organicznej, węgli drzewnych i soczewkami jasnego, sypkiego piasku 30, który jest być może pozostałością po nadsypywaniu wału, oraz przemieszany piasek z dużą domieszką materii organicznej i pojedynczymi drobinami węgli drzewnych 29, będący kontynuacją starszej warstwy kulturowej. Podobną sekwencję kontynuacji starszej warstwy kulturowej zaobserwowano w W6 i W7, gdzie nowszy poziom tworzy piasek z domieszką materii organicznej i węgli drzewnych 84. W warstwie tej



Ryc. 17. Lubianka, st. 6.
Widok na nasyp wału fazy I
i znajdującej się na jego stoku
relikty drewnianej konstrukcji
(fot. D. Skoczyłas)

widoczne są ślady procesu bielicowania bielicowania. To może oznaczać, że powierzchnia majdanu po ustaniu osadnictwa wczesnożelaznego przez długi czas nie była wykorzystywana, jako miejsce stałego bytowania.

Na pewnym etapie funkcjonowania osiedla obronnego przy nasypie wału w jego południowym odcinku powstał prawdopodobnie obiekt o funkcji mieszkalnej. Jego reliktem jest przestrzeń wysypana cienką warstwą jasnego, sypkiego piasku 28. Warstwa ta została wydzielona w W2 ponad jednostką 29, na całej szerokości wykopu i nie ma swej kontynuacji w W6 i W7. Ponad nią znajduje się nieregularna soczewka piasku z dużą domieszką węgli drzewnych 26, średnicy około 190 cm i miąższości do 15 cm, w środku której było skupisko małych kamieni 25 – zapewne pozostałość paleniska.

Z fazą tą należy także łączyć trzy obiekty:

- uchwycony fragmentarycznie wkop 98 w W7; nieckowyty w przekroju; zanotowane wymiary to szerokość do 70 cm i głębokość do 40 cm; wypełniskiem był żelazisty piasek przemieszany z materią organiczną i drobinami węgli drzewnych 96 i zalegający przy stropie piasek z dużą ilością węgli drzewnych 97;
- uchwycony fragmentarycznie wkop 60 w W6; nieregularnie U-kształtny w przekroju; zanotowane wymiary to szerokość do 120 cm i głębokość do 80 cm; wypełniskiem był sypki piasek z domieszką materii organicznej 61;
- uchwycony fragmentarycznie wkop 87 w W6; nieregularny w planie, nieregularnie nieckowyty w przekroju; zanotowane

wymiary to średnica do 160 cm i głębokość do 40 cm.

Obiekty 60 i 87 występują jeden ponad drugim i być może w rzeczywistości jest to jeden, duży obiekt. Wątpliwość w interpretacji wynikała z faktu, że pomiędzy nimi wystąpił piasek calcowy 66, który dostał się do wypełniska niższej partii obiektu najpewniej w wyniku obsypania się jego ścian. Jako że nie jest możliwe stwierdzenie w jakich okolicznościach doszło do rozdzielania się wypełnisk, w opracowaniu pozostawiono dwa obiekty.

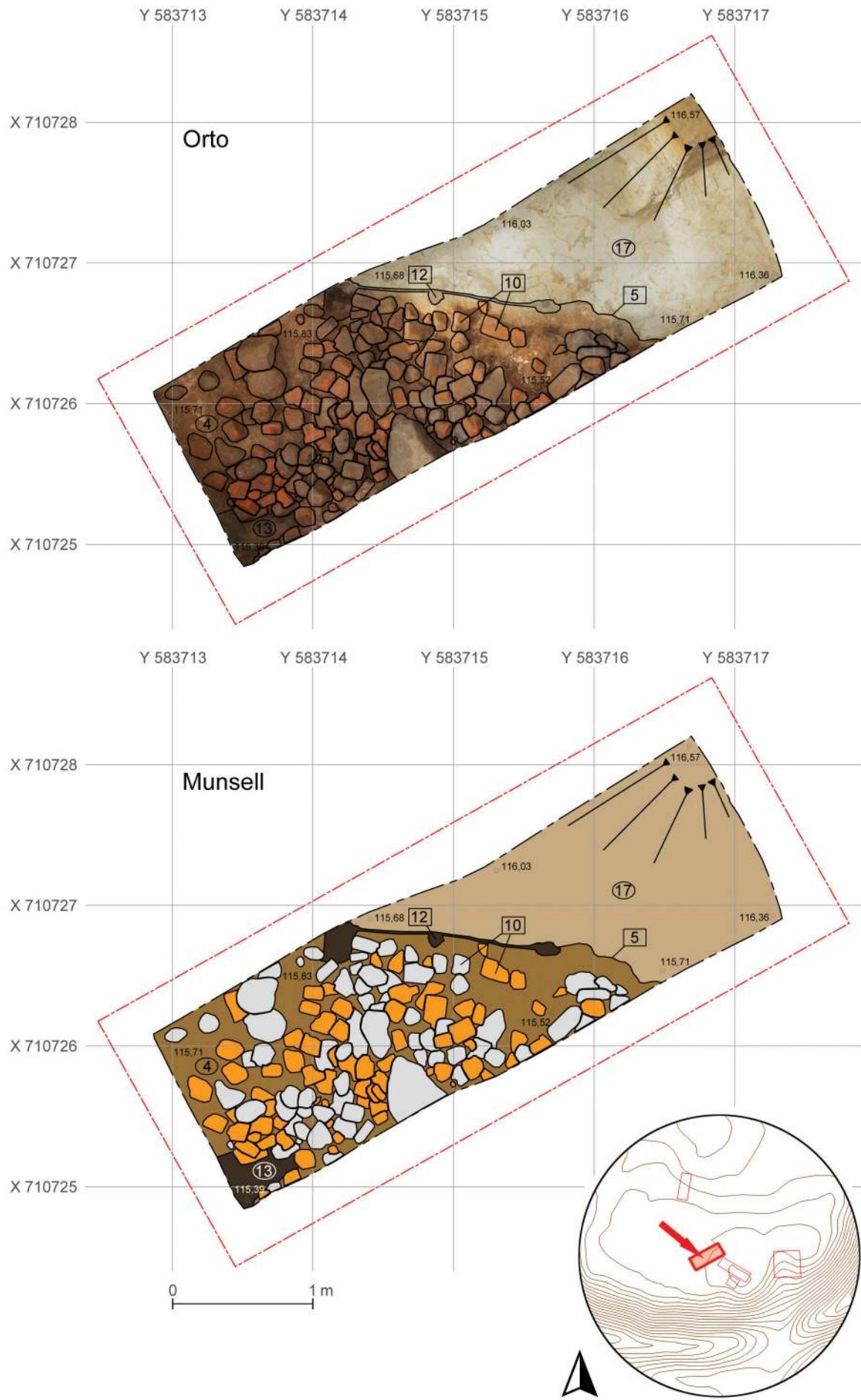
Chronologię funkcjonowania tej fazy określono z jednej strony na podstawie charakterystyki zbioru zabytków (patrz. dalej), ale także poddano analizie radiowęglowej próbę węgla pobraną z warstwy spalenizny 26, która interpretowana jest jako pozostałość paleńska. Wynik tej analizy dał po kalibracji przedział lat 364–121 p.n.e. z prawdopodobieństwem 95,4%¹⁷.

Faza II

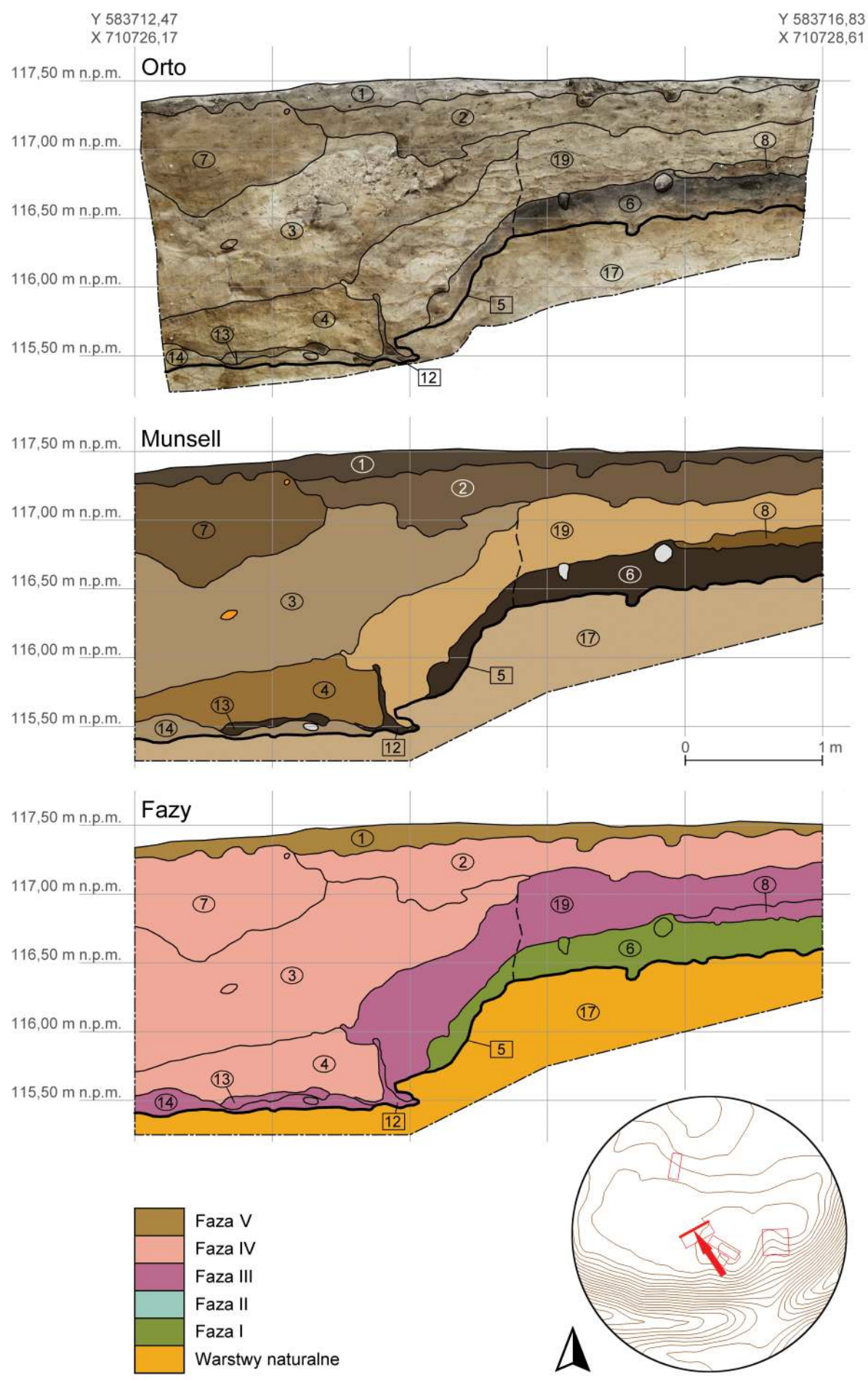
Faza ta związana jest z budową umocnień oraz wykorzystaniem obszaru grodziska w okresie wczesnego średniowiecza. Stan zachowania jednostek stratygraficznych wiązanych z tą fazą jest zły, gdyż zostały one silnie naruszone w wyniku prac ziemnych wiązanych z młodszym, średniowiecznym osadnictwem. Umocnienia, które powstały w tym czasie, to wał wewnętrzny, wał zewnętrzny i fosa.

Pozostałość wału wewnętrznego odkryto w południowej części majdanu, w W2, po-

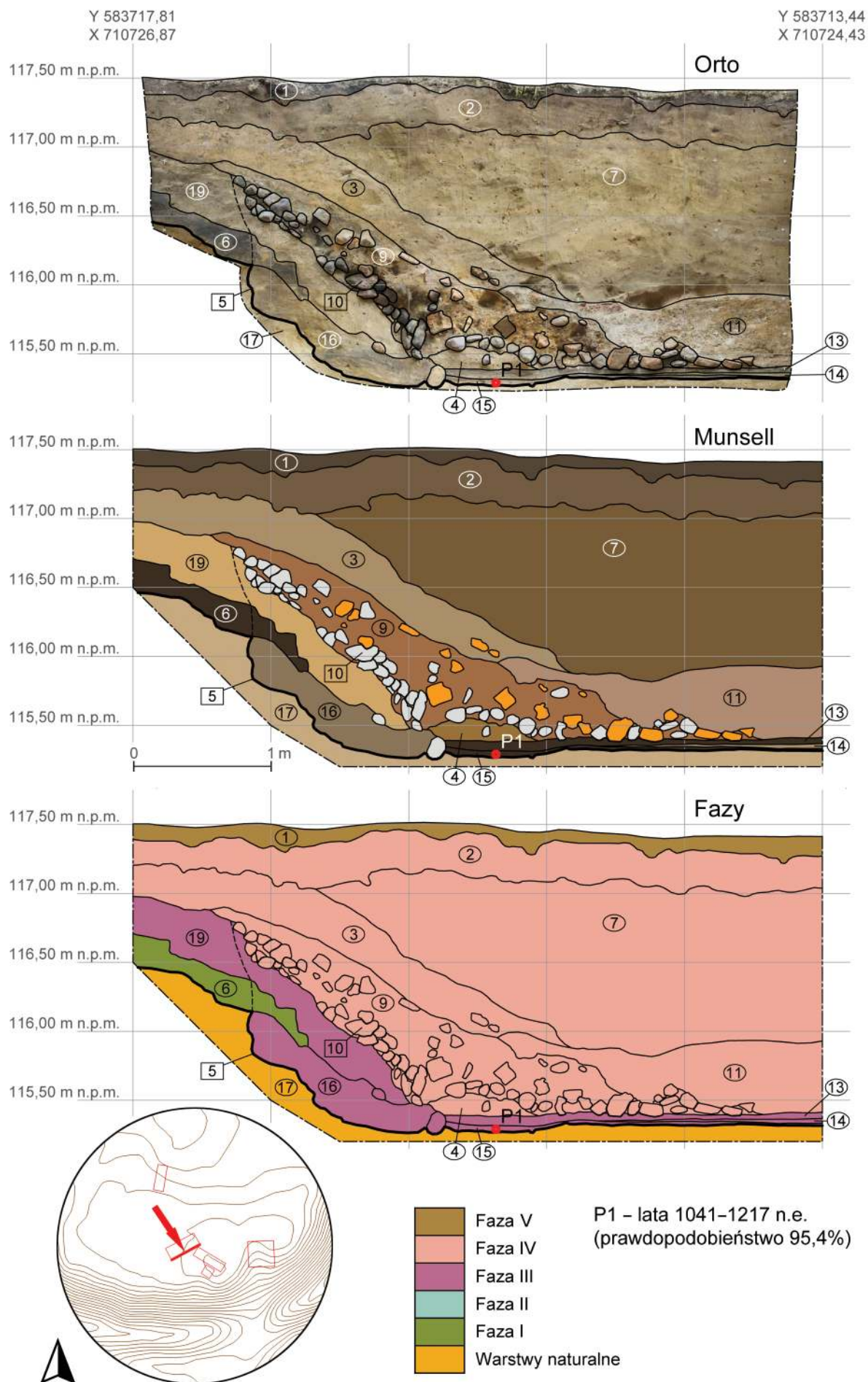
¹⁷ Analiza przeprowadzona w Poznańskim Laboratorium Radiowęglowym, próba nr Poz-149692.



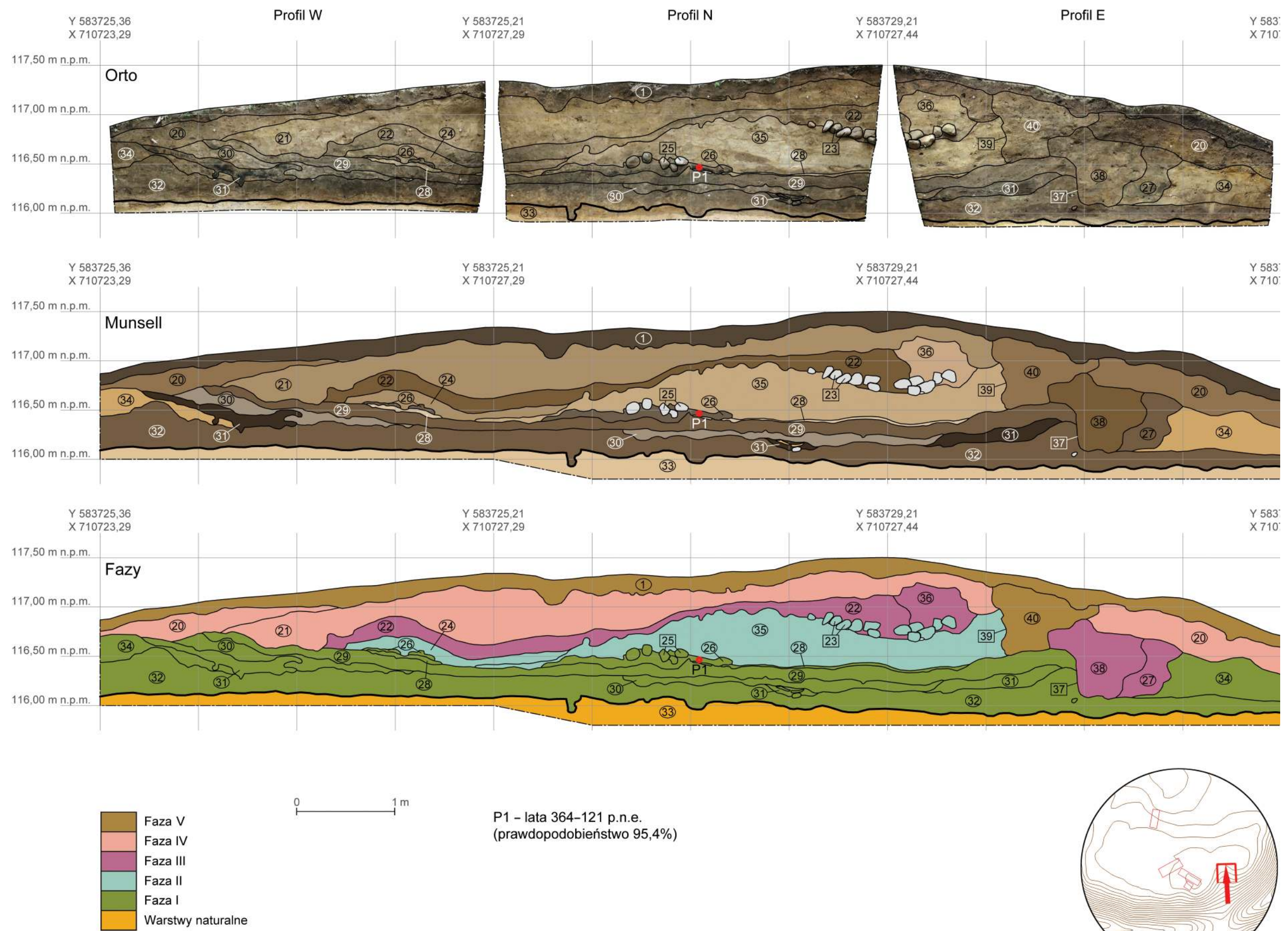
Ryc. 18. Lubianka, st. 6. Stratygrafia nawarstwień w obrębie południowej części majdanu – wykop 1, plan (oprac. D. Skoczylas i R. Solecki)



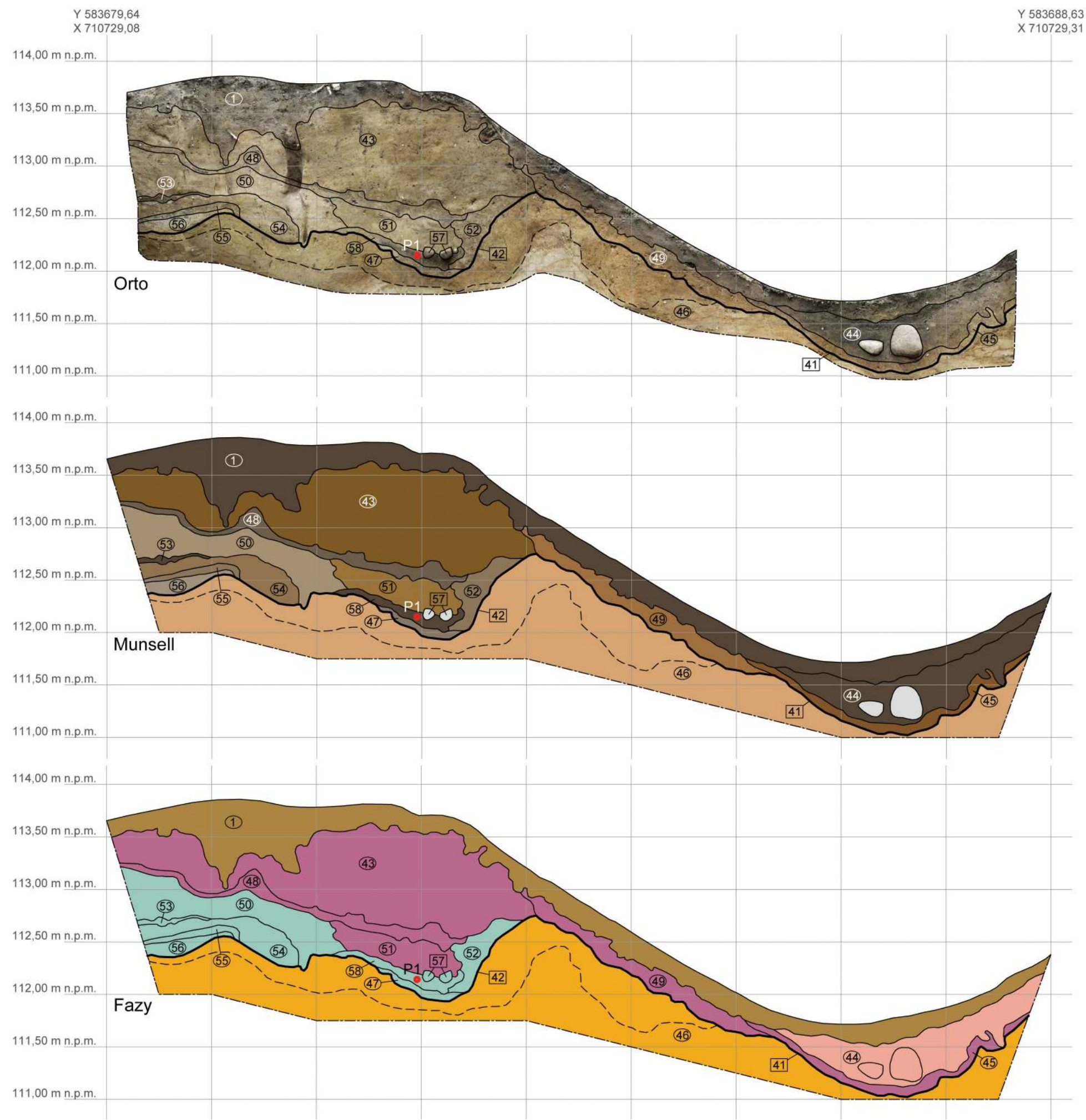
Ryc. 19. Lubianka, st. 6. Stratygrafia nawarstwień w obrębie południowej części majdanu – wykop 1, profil N (oprac. D. Skoczyłas i R. Solecki)



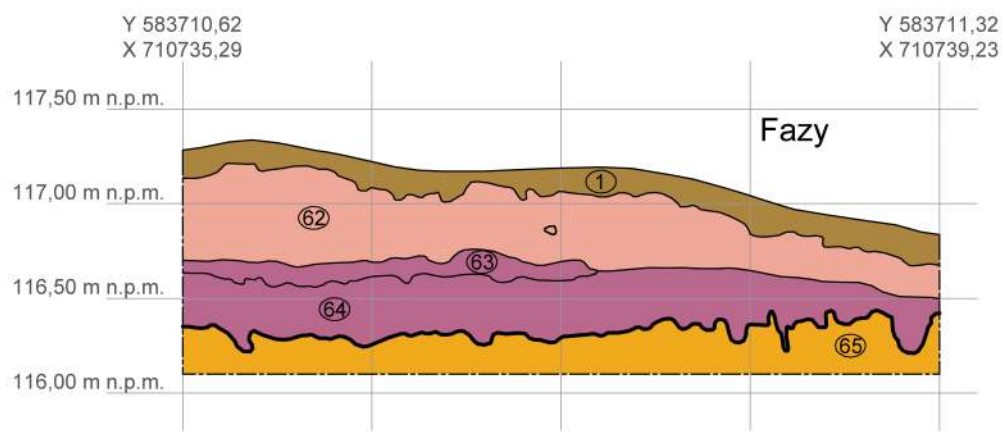
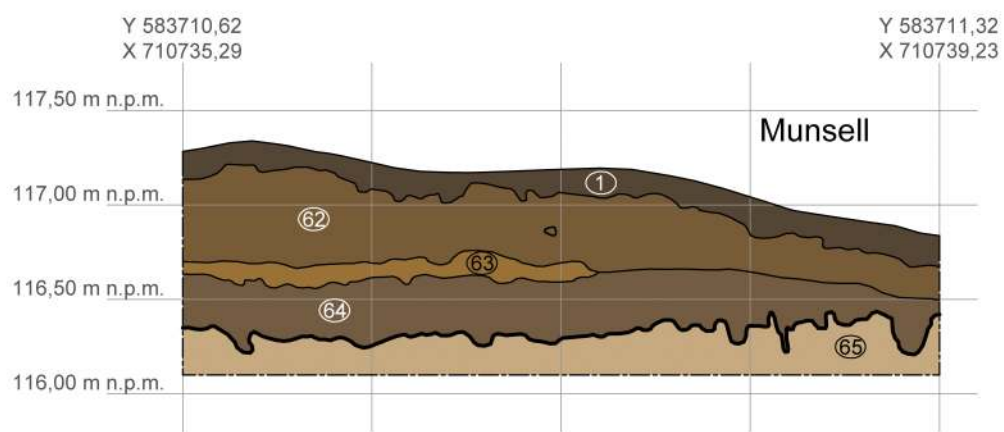
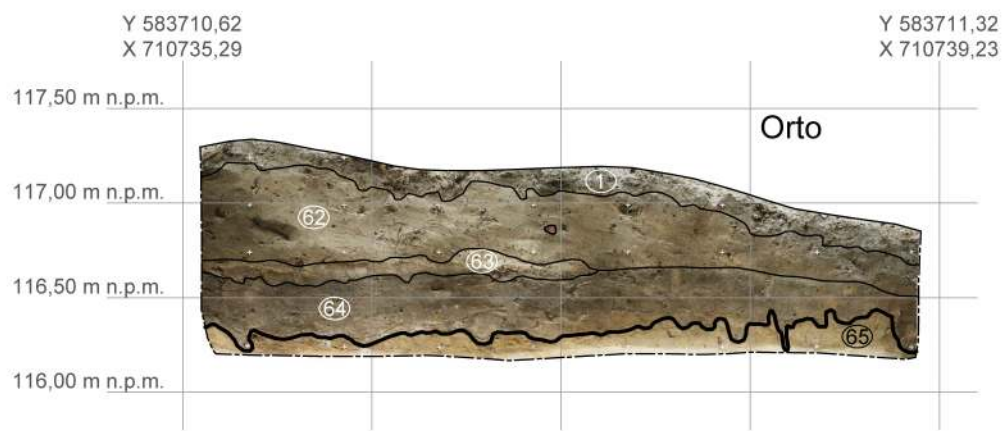
Ryc. 20. Lubianka, st. 6. Stratygrafia nawarstwień w obrębie południowej części majdanu – wykop 1, profil S (oprac. D. Skoczyłas i R. Solecki)



Ryc. 21. Lubianka, st. 6. Stratygrafia nawarstwień w obrębie południowej części majdanu – wykop 2, profile W, N i E (oprac. D. Skoczylas i R. Solecki)

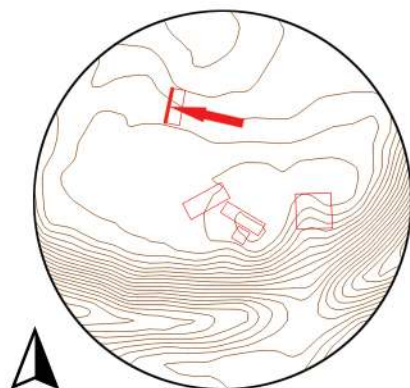


Ryc. 22. Lubianka, st. 6. Stratygrafia nawarstwień w obrębie wału i fosy poniżej majdanu – wykop 3, profil N (oprac. D. Skoczylas i R. Solecki)

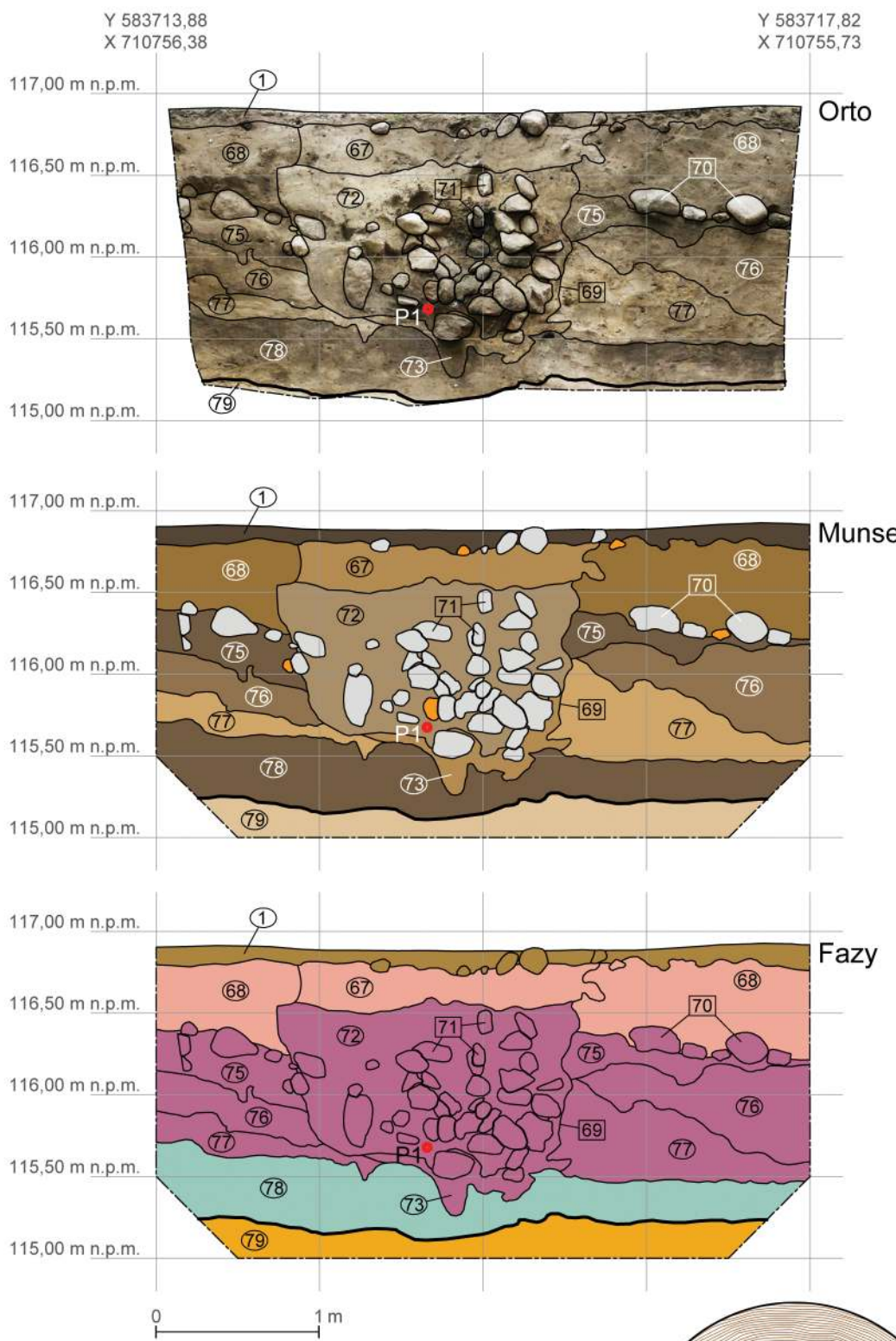


0 1 m

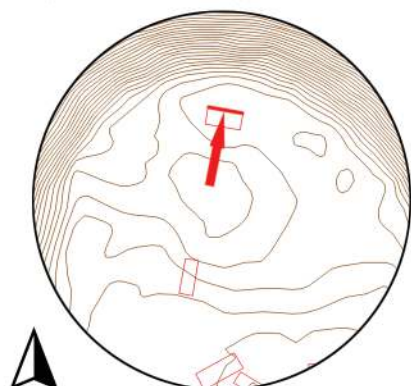
	Faza V
	Faza IV
	Faza III
	Faza II
	Faza I
	Warstwy naturalne



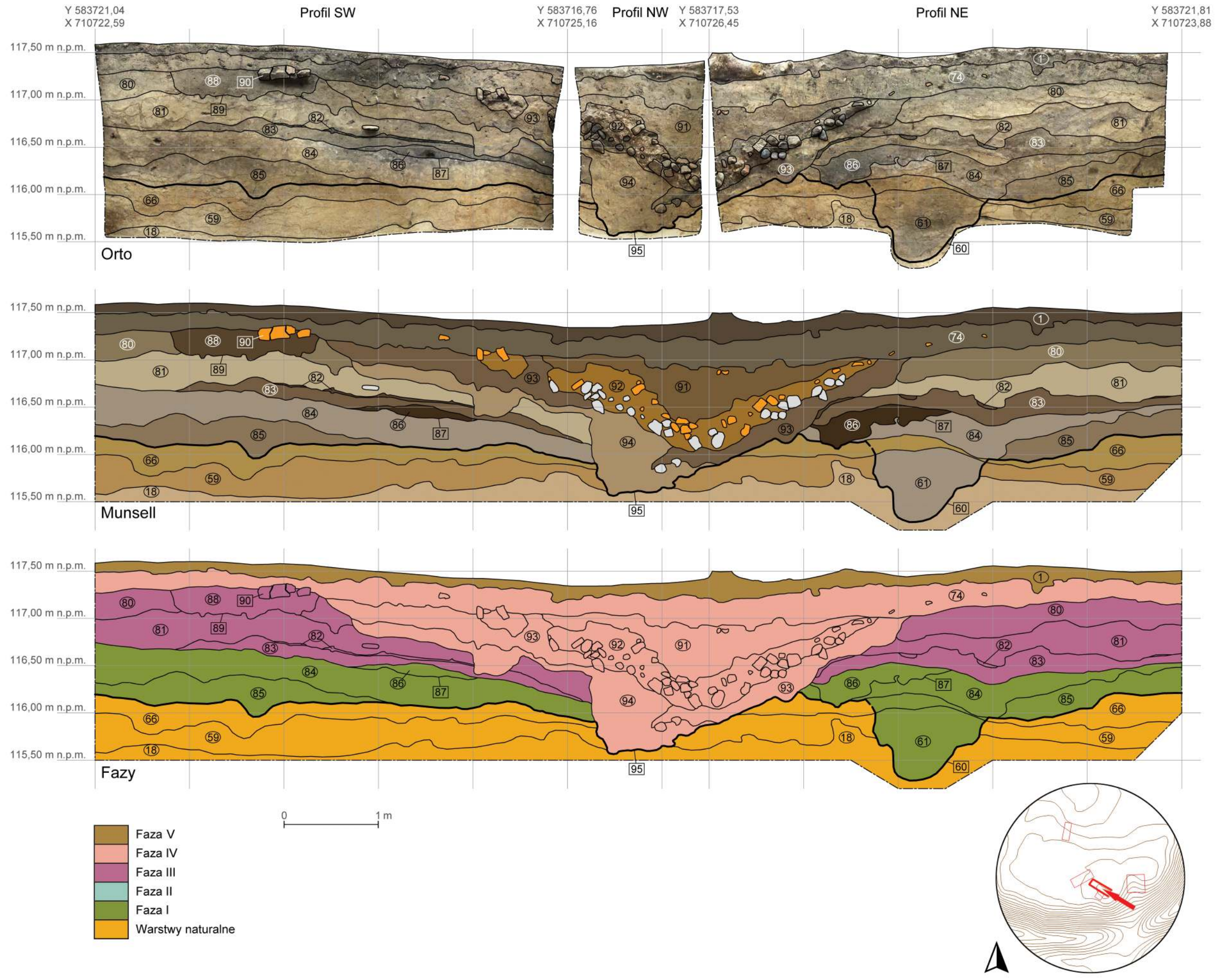
Ryc. 23. Lubianka, st. 6. Stratygrafia nawarstwień w obrębie centralnej części majdanu – wykop 4, profil W (oprac. D. Skoczyłas i R. Solecki)



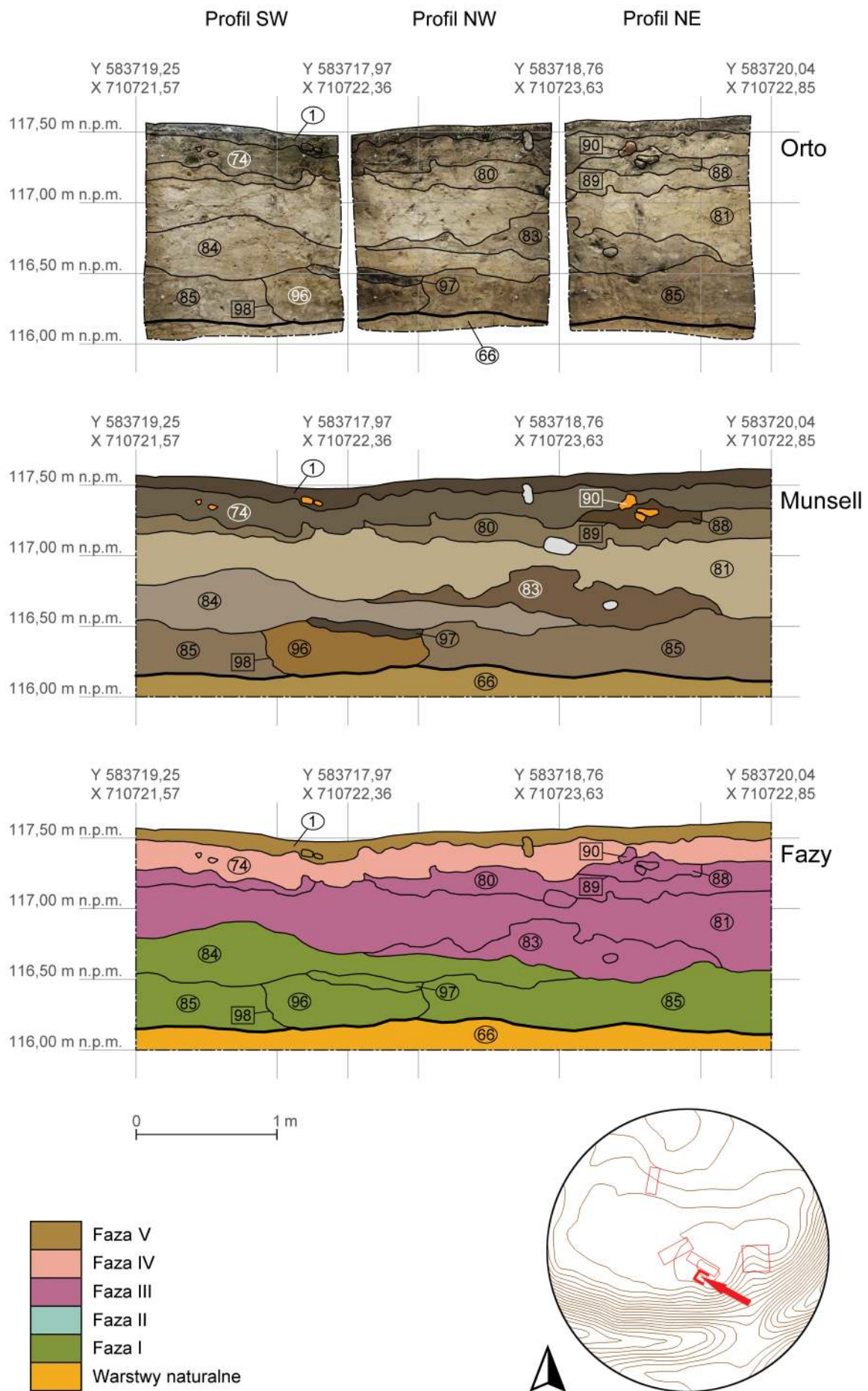
Faza V	P1 – lata 1052–1263 n.e. (prawdopodobieństwo 95,4%)
Faza IV	
Faza III	
Faza II	
Faza I	
Warstwy naturalne	



Ryc. 24. Lubianka, st. 6. Stratygrafia nawarstwień w obrębie północnej części majdanu – wykop 5, profil N (oprac. D. Skoczyłas i R. Solecki)



Ryc. 25. Lubianka, st. 6. Stratygrafia nawarstwień w obrębie południowej części majdanu – wykop 6, profile SW, NW i NE (oprac. D.F. Wieczorek i R. Solecki)



Ryc. 26. Lubianka, st. 6. Stratygrafia nawarstwień w obrębie południowej części majdanu – wykop 7, profile SW, NW i NE (oprac. D.F. Wieczorek i R. Solecki)

nad starszym, wczesnożelaznym wałem. Wał z tej fazy miał inny układ niż starszy, ale też inny niż młodszy – w graniach W2 ułożony był on pod kątem około 45° do wału widocznego obecnie na powierzchni terenu. Nasyp wału tworzyły przemieszany piasek z soczewkami ilastej materii organicznej i pojedynczymi drobinami węgli drzewnych 35 oraz przemieszany piasek z dużą domieszką materii organicznej 24. Jego szerokość u podstawy wynosiła około 400 cm, a zachowana wysokość dochodziła do 60 cm. W stropie nasypu 35 odnotowano obecność luźno występujących kamieni 23 o średnicy do 15 cm.

Wał zewnętrzny i fosę uchwycono w W3, poniżej młodszego nasypu wału z rampą. Fosa 42 miała w przekroju kształt nieckowy, szerokość około 180 cm i głębokość do 75 cm. W jej wypełnisku wydzielono sypki piasek z domieszką materii organicznej 47, przemieszany sypki piasek z dużą domieszką materii organicznej 52, sypki piasek z dużą domieszką węgli drzewnych 58 i grupujące się w rynnie pojedyncze kamienie 57 średnicy do 15 cm. Pierwotnie fosa znajdowała się zapewne na obszarze pomiędzy wałem wewnętrzny, którego w W3 nie uchwycono, i wałem zewnętrznym, który przylega do fosy od strony zachodniej. Wał zewnętrzny w granicach W3 ma szerokość u podstawy około 220 cm i zachowaną wysokość 80 cm. Jego nasyp tworzą kolejno: sypki piasek 56, sypki piasek z domieszką materii organicznej 55, przemieszany, ilasty piasek z domieszką materii organicznej 54, piasek z drobinami węgli drzewnych 53 i przemieszany, sypki piasek z soczewkami materii organicznej 50.

Z fazą tą należy także łączyć pozostałość warstwy kulturowej – sypki piasek z dużą domieszką materii organicznej 78 – którą uchwycono w północnej części majdanu.

Chronologię tej fazy określono na podstawie relacji stratygraficznych oraz podparto analizą radiowęglową. Próbę do analizy pobrano z jednostki 58, będącej wypełniskiem fosy. Wynik tej analizy dał po kalibracji przedział lat 671–876 n.e. z prawdopodobieństwem 95,4%. Przy prawdopodobieństwie 68,2% okres zawiera się do lat 671–779 n.e.¹⁸

Faza III

Faza ta związana jest z budową zamku, o której wspominał Piotr z Dusburga, lokując jego

¹⁸ Analiza przeprowadzona w Poznańskim Laboratorium Radiowęglowym, próba nr Poz-149689.

powstanie w 1325 roku¹⁹ oraz z jego funkcjonowaniem w okresie średniowiecza. To w ciągu tej fazy powstały wszystkie umocnienia czytelne do dziś w morfologii terenu.

Modyfikacja umocnień w obrębie majdanu czytelna jest w W2, gdzie nieznacznie nadrysano krawędź szczytu za pomocą sypkiego piasku 36, formując zarazem przejście w kierunku południowym na wał z rampą. W miejscu, gdzie powinna znajdować się krawędź przejścia bramnego od strony wschodniej, natrafiono na nieregularnie ovalny w planie, nieregularnie U-kształtny w przekroju wkop 37, którego uchwycone wymiary to średnica do 140 cm i głębokość do 80 cm. Jego wypełniskiem był przemieszany piasek z domieszką materii organicznej i węgli drzewnych 27. Możliwe było także wydzielenie prawdopodobnie cienia po zdegradowanym słupie, który wyznaczał przemieszany, lekko próchniczny piasek 38. Opisany obiekt to najpewniej dół posłupowy będący jednym z elementów linii umocnień krawędzi majdanu. Warstwą kulturową, która powstała przy przejściu bramnym jest przemieszany piasek z dużą domieszką materii organicznej i drobinami węgli drzewnych 22.

Działaniem mającym na celu uformowanie docelowego kształtu *plateau* majdanu było wykopanie masywnej fosy 41. Jej wymiary uchwycone w W3 to szerokość 430 cm i głębokość do 170 cm. Urobkiem z kopania tej fosy nadrysano prawdopodobnie powierzchnię majdanu oraz wykorzystano do zbudowania wału z rampą. Przygotowując się do budowy tego wału zniszczeno starsze umocnienia – zepchnięto nasyp wału z fazy II do sąsiadującej z nią fosy. Śladem tej niwelacji są przemieszany, lekko ilasty piasek z domieszką materii organicznej 51 i sypki piasek przemieszany z węglami drzewnymi 48. Następnie warstwy te nadrysano grubym na ponad 100 cm pokładem przemieszanego, sypkiego piasku z dużą domieszką materii organicznej 43, za pomocą którego wymodelowano kształt wału. Aby zabezpieczyć wał przed erozją, jego powierzchnię i stok wyłożono lekko ilastym piaskiem z dużą domieszką materii organicznej i żelazistymi wytrąceniami 49. Dno fosy z kolei wyłożono lekko ilastym piaskiem z bardzo dużą domieszką materii organicznej i żelazistymi wytrąceniami 45.

¹⁹ Piotr z Dusburga 1679: 407–408; Wyszomirski 2011: 232–233, dokument 360.

W południowej części majdanu natrafiono na silnie zniszczone relikty architektury drewnianej i murowanej, które być może pochodzą z wspomnianego przez Piotra z Dusburga zamku. Pierwszą taką pozostałością jest szerokopłaszczyznowy wkop budowlany 5, o głębokości około 110 cm. W jego wnętrzu zachowały się w postaci nadpalonych zwęglonych smug drewna: ściana 12 wysokości 50 cm oraz dwa poziomy drewnianej podłogi, starszej 15 i młodszej 13, rozdzielonej przekładką sypkiego piasku z dużą domieszką materii organicznej i węgli drzewnych 14. Wypełniskiem wkopu budowlanego był piasek z domieszką materii organicznej i drobin węgli drzewnych 16. Piwniczkę po raz pierwszy uchwycono w W1, gdzie jej szerokość wynosiła około 320 cm, ale zadokumentowano tam tylko jedną jej ścianę. Aby uchwycić jej drugą ścianę otworzono W6, ale tam natrafiono tylko na jej zaspisko. Urobkiem z kopania dołu pod piwniczkę podnoszono poziom gruntu wokół niej. W ten sposób powstała warstwa niwelacyjna grubości do 55 cm, stworzona z przemieszanych starszych warstw kulturowych i piasku calcowego, na którą składają się: piasek przemieszany z licznymi drobinami gruzu ceglanego i pojedynczymi węglami drzewnymi 8, sypki piasek z domieszką materii organicznej i smugami żelazistych wytrąceń 19, piasek z domieszką materii organicznej i licznymi drobinami węgli drzewnych 83, cienka warstewka popiołów 82 oraz sypki piasek z domieszką materii organicznej i pojedynczymi kamieniami 81. Głębokość piwniczki liczona od uchwyconej drewnianej podłogi do szczytu warstwy kulturowej, którą przy piwnicze tworzył ilasty piasek z domieszką materii organicznej 81, wynosi 190 cm. Ze zwęglonej podłogi 15 pobrano próbę do analizy radiowęglowej. Wynik tej analizy dał po kalibracji przedział lat 1041–1217 n.e. z prawdopodobieństwem 95,4%²⁰.

Reliktem architektury murowanej jest mały odcinek, długości około 60 cm, platformy 90 ułożonej z pojedynczej warstwy ustawionych na wozówkach cegieł. Konstrukcję tę zadokumentowano na przestrzeni pomieści W6 i W7. Znajdowała się w regularnym, prostokątnym w przekroju wkopie 89, szerokości do 160 cm i głębokość do 25 cm, którego wypełniskiem był gliniasty piasek z dużą

domieszką materii organicznej 88. Funkcja obiektu nie została określona. Może być to fragment fundamentu umocnienia krawędzi wału, gdyż konstrukcja ta znajduje się blisko granicy majdanu. Nie można jednak wykluczyć, że była to też posadzka chodnika.

Obiekt o nieokreślonej funkcji odkryto przy północnej krawędzi majdanu, w W5. Został on wyprowadzony ze szczytu warstw niwelacyjnych: przemieszанego, ilastego piasku z czętkami żelazistych wytrąceń 77 i przemieszанego, sypkiego piasku z domieszką materii organicznej 76 oraz występującej tam warstwy kulturowej, piasku z dużą domieszką materii organicznej, kawałkami gruzu ceglanego i pojedynczymi kamieniami 75. Wkop 69 był prostokątny w planie, nieregularnie U-kształtny w przekroju, a jego uchwycone wymiary to długość co najmniej 200 cm, szerokość około 150 cm i głębokość do 115 cm (ryc. 27). W wypełnisku tego obiektu znajdowały się kolejno: przemieszany, lekko gliniasty piasek z domieszką materii organicznej 73, rumosz kamiенно-ceglany oblepany gliną 71 i piasek z domieszką materii organicznej przemieszany z dużą ilością zbitej gliny i węgli drzewnych 72. Wypełnisko tego obiektu musiało pierwotnie wystawać ponad powierzchnię warstwy kulturowej, gdyż jej granice są wyraźnie pionowe, a krawędź wkopu 69 jest wyraźnie niższa. Być może taki kształt utrzymywał się ze względu na to, że warstwę tworzyła zbita glina, odporniejsza na erozję od warstw piaszczystych. Wokół obiektu zadokumentowano kamienie o średnicy do 30 cm, które grupowały się wyraźnie wokół tego obiektu. Z warstwy 72, spomiędzy kamieni 71 w dolnej części obiektu, pobrano próbę węgla do analizy radiowęglowej. Wynik tej analizy dał po kalibracji przedział lat 1052–1263 n.e. z prawdopodobieństwem 95,4%. Przy prawdopodobieństwie 89,6% okres zawiera się do lat 1156–1263 n.e.²¹

W centralnej części majdanu, w W4, zadokumentowano warstwę kulturową, którą tworzył sypki piasek z dużą domieszką materii organicznej 64. Ponad nim wydzielono piasek z domieszką materii organicznej przemieszany z grudami gliny 63. Typ gliny jest zbliżony do tego z obiektu 69, w którym glinę wykorzystano do spojenia ze sobą cegieł. Być może warstwa ta jest więc związana z pracami budowlanymi, które prowadzono w pobliżu.

²⁰ Analiza przeprowadzona w Poznańskim Laboratorium Radiowęglowym, próba nr Poz-149690.

²¹ Analiza przeprowadzona w Poznańskim Laboratorium Radiowęglowym, próba nr Poz-149691.

Faza IV

Faza ta wyznacza okres, który nastąpił po opuszczeniu zamku. Odkryte ślady jednoznacznie wskazują, że zamek został doszczętnie zniszczony, ale nie sposób określić, czy był to wynik ataku, czy może po opuszczeniu nie został on rozebrany w celu pozyskania budulca. Upadek tego miejsca nastąpił prawdopodobnie na przełomie XV i XVI wieku, gdyż opisujący miejscowościę Pluty w 1595 C. Henneberger podaje, że znajdujący się tam zamek jest opuszczony²².

Najwięcej o charakterze tego miejsca z okresu przed upadkiem mówi wypełnisko drewnianej piwniczki w południowej części majdanu. Znaleziono tam bardzo dużo rumoszu kamiенно-ceglanego, jednoznacznie świadczącego, że tutejsza architektura była murowana i że musiało być to założenie dość duże. Uchwycone w obrębie piwniczki warstwy zasypiskowe 95 to: sypki piasek z domieszką drobnego żwiru i silnymi żelazistymi wytrąceniami 4, rumosz kamiенно-ceglany oblepiony gliną 10, glina przemieszana z drobnym rumoszem kamiенно-ceglanym 9, plastry gliny z grudami polepy i drobinami węgli drzewnych przemieszane z sypkim piaskiem 11, przemieszany piasek z dużymi grudami zwartej gliny, materią organiczną i kawałkami gruzu ceglanego 3, piasek z dużą domieszką materii organicznej i pojedynczymi drobinami węgli drzewnych 7, przemieszany ilasty piasek z domieszką materii organicznej 94, przemieszany piasek, glina, materia organiczna i drobiny gruzu ceglanego 93, rumosz kamiенно-ceglany przemieszany z piaskiem

²² Henneberger 1595: 349.

i gliną 92 oraz przemieszana, piaszczysta glina z domieszką materii organicznej i gruzu ceglanego 91.

W fosie wydzielono warstwę erozyjną powstałą w wyniku wymywania materiału ze stoku wałów. Warstwą tą jest lekko ilasty piasek z bardzo dużą domieszką materii organicznej i pojedynczymi kamieniami 44.

Ponad warstwami zasypiskowymi czytelny jest wyraźny poziom erozyjny powstały w wyniku długotrwałego procesu rozmywania piaszczystych warstw przez wodę. Nie można wykluczyć, że powierzchnię majdanu poddano jakieś formie kultywacji, o czym może świadczyć rycina z XIX wieku, na której szczyt wzgórza z grodziskiem jest całkowicie odlesiony. Wydzielonymi warstwami erozyjnymi są: w W1 przemieszany piasek z dużą domieszką materii organicznej i pojedynczymi kawałkami gruzu ceglanego 2, w W2 przemieszany, sypki piasek z domieszką materii organicznej 21 i przemieszany, sypki piasek z dużą domieszką materii organicznej 20, w W4 sypki piasek z dużą domieszką materii organicznej i pojedynczymi kawałkami gruzu ceglanego 62, w W5 lekko ilasty piasek z dużą domieszką materii organicznej i drobinami gruzu ceglanego 67 i 68, w W6 przemieszany, gliniasty piasek z domieszką gruzu ceglanego 74.

Faza V

Faza ta wyznacza współczesny poziom użytkowy stanowiska. Warstwą przypisaną do tego etapu jest pokrywający jego całą powierzchnię piasek z bardzo dużą domieszką materii organicznej 1.



Ryc. 27. Lubianka, st. 6.
Widok na obiekt 69
z wypełniskiem z rumoszu
kamiенно-ceglanego 71
(fot. D. Skoczyłas)

Z fazą tą można także połączyć nieregularny w planie i nieregularny w przekroju wkop 39, którego uchwycone wymiary to szerokość do 110 cm i głębokość do 75 cm. Wypełniskiem jest przemieszany, luźny piasek z dużą domieszką materii organicznej 40. Wkop ten zadokumentowano w W2, przy wejściu na majdan. Jest to być może pozostałość wspólnego wkopu rabunkowego.

ZNALEZISKA

DANIEL SKOCZYLAS I RAFAŁ SOLECKI

Podczas archeologicznych badań wykopaliskowych grodziska w Lubiance, st. 6 pozyskano łącznie 551 fragmentów ceramiki (tabela 2–3; tablice 1–4), 97 kości zwierzęcych oraz 109 zabytków wydzielonych (tablice 5–13).

Ceramika

Pozyskany zbiór fragmentów ceramiki, liczący 551 elementów, jest generalnie źle zachowany. Większość stanowiły fragmenty małe, których największy wymiar mieścił się w przedziale 1–4 cm (398 fragmentów; 72,2% zbioru). Stosując klasyfikację stanu zachowania powierzchni i krawędzi zaproponowaną przez Andrzeja Buka, 25 fragmentów (4,5% zbioru) przypisano do kategorii III (ceramika mocno zerodowana), 117 fragmentów (21,2% zbioru) do kategorii II (ceramika zerodowana w średnim stopniu), 406 fragmentów (73,7% zbioru) do kategorii I (ceramika nie wykazująca większego zniszczenia powierzchni) i 3 fragmenty (0,6% zbioru) do kategorii 0 (ceramika bez śladów zniszczenia). Pomimo to tylko 51 fragmentów (9,2% zbioru) określono jako niediagnostyczne. Jest tak dlatego, gdyż duża część drobnych fragmentów pochodziła ze zniszczonych naczyń zachowanych *in situ* i pozwalających na ich wyklejenie.

Zbiór fragmentów ceramiki posiadających jakiekolwiek cechy diagnostyczne liczy 500 elementów i można go podzielić na pięć grup technologiczno-surowcowych.

Ceramika wczesnożelazna

Do grupy technologiczno-surowcowej charakterystycznej dla okresu wczesnej epoki żelaza zaliczono 127 fragmentów (25,4% zbioru fragmentów diagnostycznych).

Fragmenty z tej grupy można podzielić wewnętrznie, bazując na formie opracowa-

nia ścian naczyń. Naczynia, gdzie ściany miały powierzchnię chropowatą lub szorstką (łącznie 60 ułamków, 47,2% tej grupy), były wykonane ze słabo wyrobionej masy ceramicznej z dość dużą ilością drobnej, średniej i grubiej domieszki schudzającej – piasku, drobin startego granitu i miki. Drugi typ obejmuje naczynia, gdzie ściany były gładkie (64 ułamki, 50,4% tej grupy). Tu masa garnarska była nieznacznie lepiej wyselekcyjowana i zawierała raczej drobną domieszkę schudzającą. 3 fragmenty miały wypłukaną powierzchnię i nie określono ich typu. Naczynia o gładkiej powierzchni miały nieznacznie cieńsze ścianki – ich średnia grubość wynosi 6,5 mm. Naczynia o powierzchni szorstkiej lub chropowatowej miały średnią grubość ścianek 7,7 mm. Naczynia wypalone były w niezaawansowanej technologii utleniającej, co powodowało, że ściany miały barwę niejednorodną, obejmującą odcień od pomarańczowego, przez beże, do brązów i szarości.

W analizowanym zbiorze znalazło się 17 fragmentów wylewów, 104 brzuśce, 4 części przydenne i 2 ułamki ucha. Stan zachowania pozwolił na częściową rekonstrukcję kilku naczyń. Pierwszy wydzielony typ to naczynia wazowate lub dwustójkowe – typ I lub II wg klasyfikacji Mirosława Hoffmanna²³ lub typ III wg klasyfikacji Łucji Okulicz²⁴ (tabl. 1:1–4). Mają one ustawione pionowo, niewydzielone krawędzie wylewów, których średnice wynoszą 15 cm, 15 cm i około 33 cm. Poniżej krawędzi wylewu znajdowała się krótka szyjka przechodząca w silnie wydęty brzusiec. Krawędź przejścia jest wyraźna, a w przypadku największego naczynia dodatkowo zaakcentowana niewielkimi dołkami wykonanymi poprzez załuskanie paznokciem (tabl. 1:1). Naczynia o podobnej formie znane są z oddalonego o 25 km na południe Stolna, gm. Miłakowo, gdzie znalezione je w kurhanie, w grobie łączonym z wczesnolateńską fazą osadnictwa ludności kultury kurhanów zachodniobałtyjskich²⁵. Kolejne, także znalezione w kurhanie, pochodzi ze wsi Boguchwały, gm. Miłakowo²⁶ oddalonej o 39 km na południe. Kolejnym typem jest amfora (tabl.

²³ Hoffmann 2000: ryc. 35–36.

²⁴ Okulicz 1970: 25.

²⁵ Hoffmann 1999: 260, tabl. LVI; Waluś i Kowalewska 1999.

²⁶ Hoffmann 1992: 21, 29, tabl. 1:6.

Tabela 2. Zestawienie ilościowe fragmentów ceramiki z grodziska w Lubiance, st. 6 (oprac. D. Skoczyłas, K. Turzyński R. Solecki)

Faza	Jednostka stratygraficzna	Liczba różnych naczyń	Liczba fragmentów łącznie	Wylevy	Brzuśce		Rodzaj powierzchni		Dna		Grupa technologiczna	
					Ornamentowane		Nieokreślone		Nowożytne		Ceglasta	
					Szyjki		Szorstkie		Wyświecane		Gładkie	
					Ornamentowane		Szorstkie		Wypłukanej powierzchni		Lekko wkleśle	
					Szyjki		Szorstkie		Wypłukanej powierzchni		Płaskie	
					Ornamentowane		Szorstkie		Wypłukanej powierzchni		Dna	
I	6	2	1	2	4	2	4	6	8	1	4	2
I	26	8	1	15	50	20	32	6	2	1	8	2
I	29	60	14	6	43	2	3	13	6	3	58	2
I	30	18	5	4	38	1		10	7	4	18	
I	31	11	4	1	2			9	1		11	
II	78	10	3	1			9	1	5	4	6	
III	8	3	3			3	1	2	1		2	
III	13	6	4			6	5	1	1		5	
III	15	2	2			1	1	1	1		1	
III	64	33	8	2	4	1	28	16	1	12	4	3
III	72	3	2			3	2	19	10	9	3	2
III	75	22	6	1	3			33	1	19	19	2
III	76	39	7	4	10	2		8	1	4	3	
IV	81	8	4								2	3
IV	83	1	1	1							1	4
IV	88	1	1								1	1
IV	2	25	7	7	20	4	15	1	17	7	2	
IV	3	12	3	3	30	3	9	1	11	5	3	
IV	4	1	1								1	10
IV	21	4	3	2	6	1		2	1		1	1
IV	62	2	1					2	2		2	1
IV	68	67	11	6	14	1	54	32	34	1	6	1
IV	74	30	11	5	12	1	23	2	9	3	16	2
IV	91	81	18	11	43	1	69	4	45	1	31	1
IV	92	26	4	5	15		20	2	22	1	1	1
IV	93	6	5				6	1	3	2	1	1
V	1	66	33	7	16		52	1	33	1	30	3
Suma	551	164	68	274	17	3	446	41	292	6	199	12
										1	5	17
										41	3	127
										13	334	23
										51		

Tabela 3. Fragmentacja i erozja fragmentów ceramiki z grodziska w Lubiance, st. 6 (oprac. D. Skoczyłas, K. Turzyński i R. Solecki)

Faza	jedn. strat.	Kategorie wielkościowe (cm)										Stopień erozji			Suma
		1	2	3	4	5	6	7	8	9	10	0	I	II	III
I	6			1	1	1	1				2		6		6
I	26			1				2	1	1	3		8		8
I	29	1	14	10	9	10	7	4	1	4			55	5	60
I	30		5	5	1	1	1			5		11	7	18	18
I	31		4	5	1	1					11		11		11
II	78		5	4		1					10		10		10
III	8		1			1					2	1		3	3
III	13		4	2							6		6		6
III	15			2							2		2		2
III	64	6	12	9	4	1		1			27	6	33		33
III	72		1	2							3		3		3
III	75	2	9	6	2	2	1				18	4	22		22
III	76	1	10	12	7	3	2	2	1	1	28	9	2	39	39
III	81	4		2	2						5	3	8		8
III	83	1									1		1		1
III	88	1									1		1		1
IV	2		3	9	5	5	2		1		2	20	3	25	25
IV	3		1	3	1	2	3	1		1	1	9	2	12	12
IV	4							1				1		1	1
IV	21	1	1	1	1						4		4		4
IV	62	1	1								1	1	1	2	2
IV	68	4	24	22	10	3	2	1	1			56	11	67	67
IV	74	7	15	4	4							1	17	12	30
IV	91	9	20	22	17	7	2	1	2			54	21	6	81
IV	92	1	3	13	4	3	1		1			25	1		26
IV	93	1	2	2	1							6		6	6
V	1	5	11	13	16	13	6	1	1		36	25	5	66	66
Suma	30	79	160	129	61	36	20	13	7	16	3	406	117	25	551

1:5) typu III, grupy III lub IV według Hoffmanna, którą autor datuje na okres lateński A/B (grupa III) lub wczesny okres przedrzymski (grupa IV)²⁷. Ma ona profil zbliżony do wcześniej opisanych naczyń wazowatych/dwustożkowatych, ale zaopatrzona jest w małe, krępe ucho umieszczone na największej wydłużłości brzuśca. Zbliżona forma znana jest z osiedla obronnego w Tolkmicku, gm. *loco oddalonego o 49 km na zachód i datowanego na okres wczesnolateński*²⁸. Fragmenty misy lub mis – typ VI wg Hoffmanna²⁹ – znalezione tuż obok siebie i pomimo że mają nieznacznie inaczej uformowane krawędzi wylewów, to być może pochodzą z jednego naczynia. Jako że brak pewności, to na tablicy 1 zaprezentowano je niezależnie (tabl. 1:6–7). Reprezentują one odmianę płytowych mis, o dużej średnicy i o przekroju wycinka kuli. Ostatni typ to naczynia o jajowatym kształcie (tabl. 2:1–2) – typ IV wg M. Hoffmanna³⁰. Dobrze zachowany fragment takiego naczynia (tabl. 2:2) miał górną partię zagładzoną z szerokim, taśmowatym uchem umieszczonym przy krawędzi wylewu. Dolna część naczynia była intencjonalnie chropowacona. Zbliżone naczynie, również z uchem, ale o chropowaczeniu dochodzącym pod sam wylew, znane jest z oddalonego o 74 km na południowy zachód wczesnożelaznego osiedla obronnego w Dzierzgoniu Starym³¹. Zapewne jajowata formę miało także naczynie, którego fragment znaleziono na wtórnym złożu. Miało ono chropowaczą powierzchnię brzuśca, a krawędź wylewu była nieznacznie pocieniona (tabl. 2:7).

Na wtórnym złożu znaleziono fragment wylewu o wychylonej na zewnątrz, nieco pogrubionej krawędzi wylewu, która po zewnętrznej stronie była zdobiona pasem skośnych nacięć (tabl. 2:4). Zdobienie tej części naczynia występuje dość często na naczyniach bałtyjskiego kręgu kulturowego, od wcześniej epoki żelaza – tu przykład analogii z oddalonego o około 85 km na północny wschód osiedla obronnego w Welawie (niem. *Alt Wehlau*)³² – aż po wczesne średniowiecze – tu przykład oddalonego o 92 km na zachód

stanowiska w Węgrach, gm. Sztum³³. W tym przypadku, przy zachowanym jedynie niedużym fragmencie, precyzyjne określenie chronologii nie jest możliwe.

Ceramika wczesnośredniowieczna

Zbiór ceramiki, którą przypisano do grupy technologiczno-surowcowej charakterystycznej dla okresu wczesnego średniowiecza liczy 13 fragmentów (2,6% zbioru fragmentów diagnostycznych), a tylko 6 z nich znaleziono w warstwie kulturowej łączonej z fazą II, która przypisana jest do wczesnego średniowiecza. Pozostałe fragmenty znaleziono na wtórnym złożu, w młodszych jednostkach stratygraficznych.

W analizowanym zbiorze znalazły się trzy fragmenty wylewów i osiem brzuśców. Tylko jeden wylew był w warstwie fazy II – to ułamek o niepogrubitowej krawędzi wylewu i esowatym profilu (tabl. 2:3). Dwa podobne profile, ale o nieco pogrubionej krawędzi wylewu miały kawałki znalezione na wtórnym złożu (tabl. 2:5–6). Jeden z nich miał dodatkowo pojedyncze, luźno ułożone nacięcia w po przeczkę krawędzi wylewu (tabl. 2:5). Podobne zdobienie znane jest z badań domniemaneego grodziska w Malborku-Wielbarku datowanego na około XI–XII wiek³⁴ oraz grodziska w Bornitach, gm. Pieniężno, z fazy datowanej na IX–X wiek³⁵. Na brzuścach znalezionych na złożu wtórnym odnotowano obecność zdobień, które często występują na ceramice wczesnośredniowiecznej – linii falistej (tabl. 2:8) i skośnych nacięć (tabl. 2:9). Nie pozwalają one jednak na określenie bardziej precyzyjnej chronologii.

Ceramika siwa

Do grupy ceramiki wypalonej w atmosferze redukcyjnej i zwyczajowo określonej mianem siwej zaliczono 334 fragmenty (66,8% zbioru fragmentów diagnostycznych). Naczynia uformowano z dobrze wyrobionej masy ceramicznej z nie dużą domieszką drobno- i średnioziarnistego piasku. Ich powierzchnia była najczęściej gładka (200 przypadków 59,9% tej grupy), rzadziej szorstka (200 przypadków 39,5% tej grupy), a na 2 fragmentach (0,6% tej grupy) odnotowano ślady wyściecania. Średnia grubość ścianek wynosi

²⁷ Hoffmann 2000: ryc. 37.

²⁸ Antoniewicz 1964: 145–147, tabl. 39:e.

²⁹ Hoffmann 2000: ryc. 40.

³⁰ Hoffmann 2000: ryc. 38.

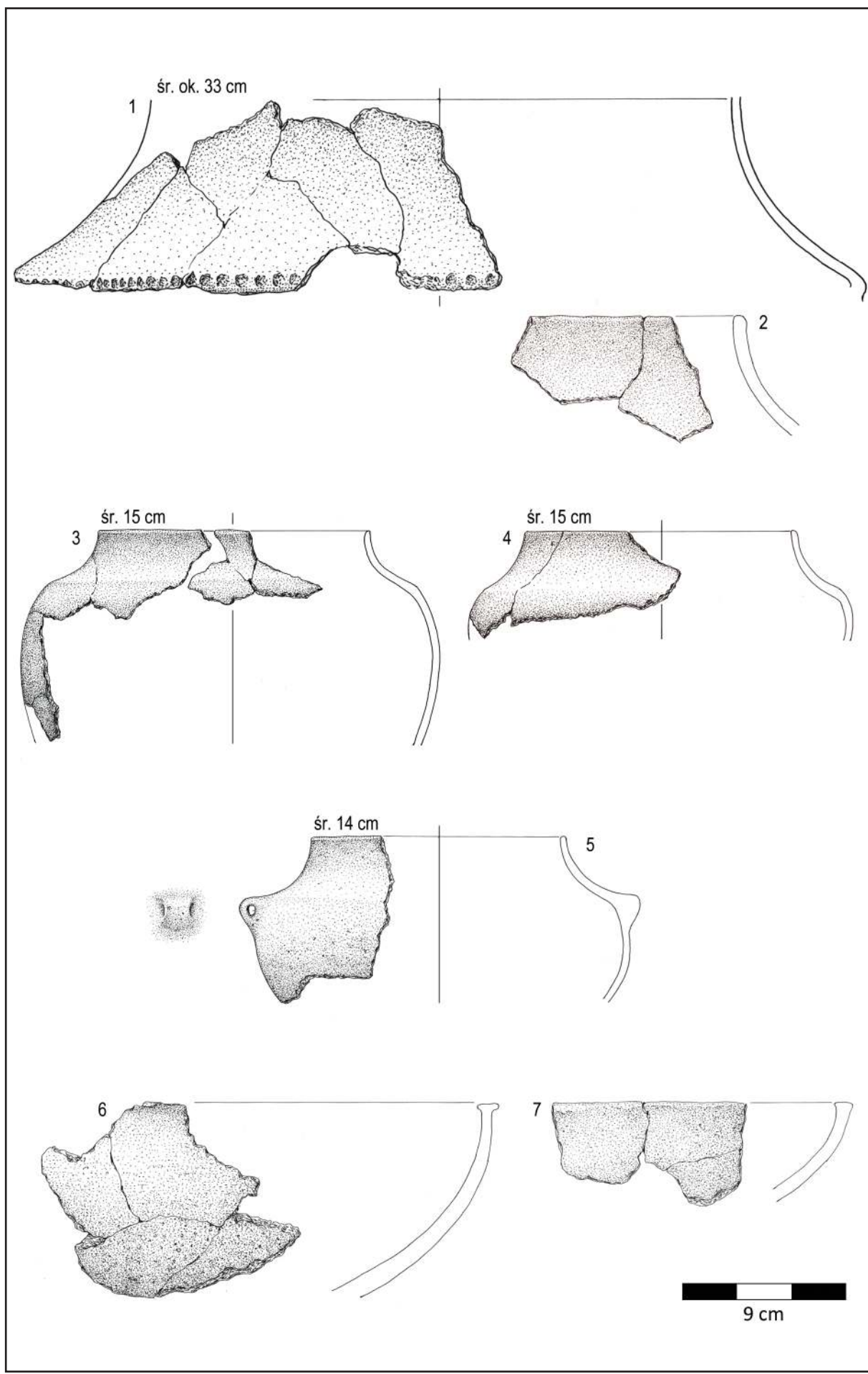
³¹ Okulicz 1970: 256, tabl. XXV:7.

³² Hoffmann 1999: 11, 235, tabl. XXXI:1

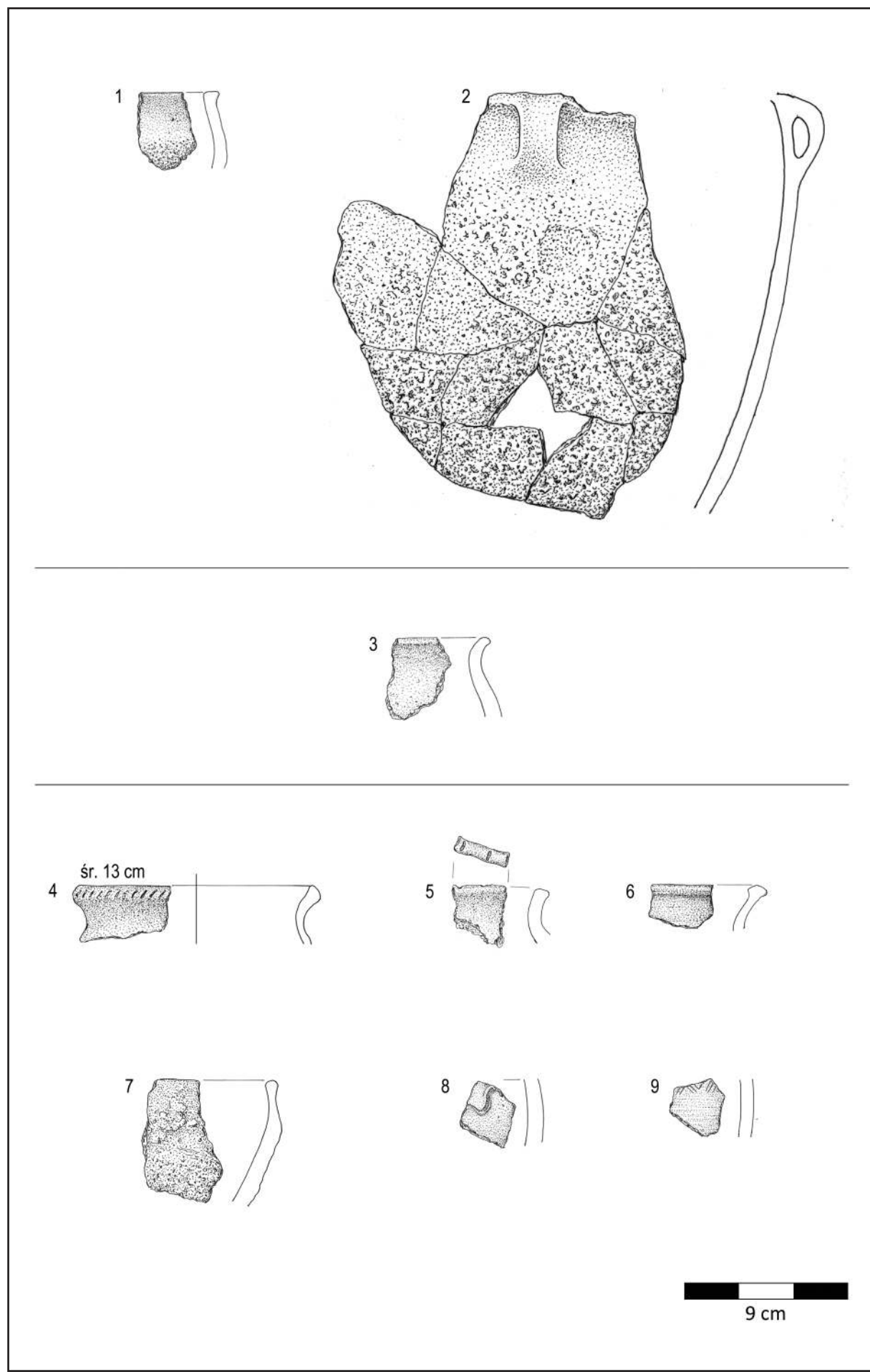
³³ Haftka i Wadyl 2015: 222, tabl. 11:d.

³⁴ Wadyl 2019: 83–106, ryc. 61.

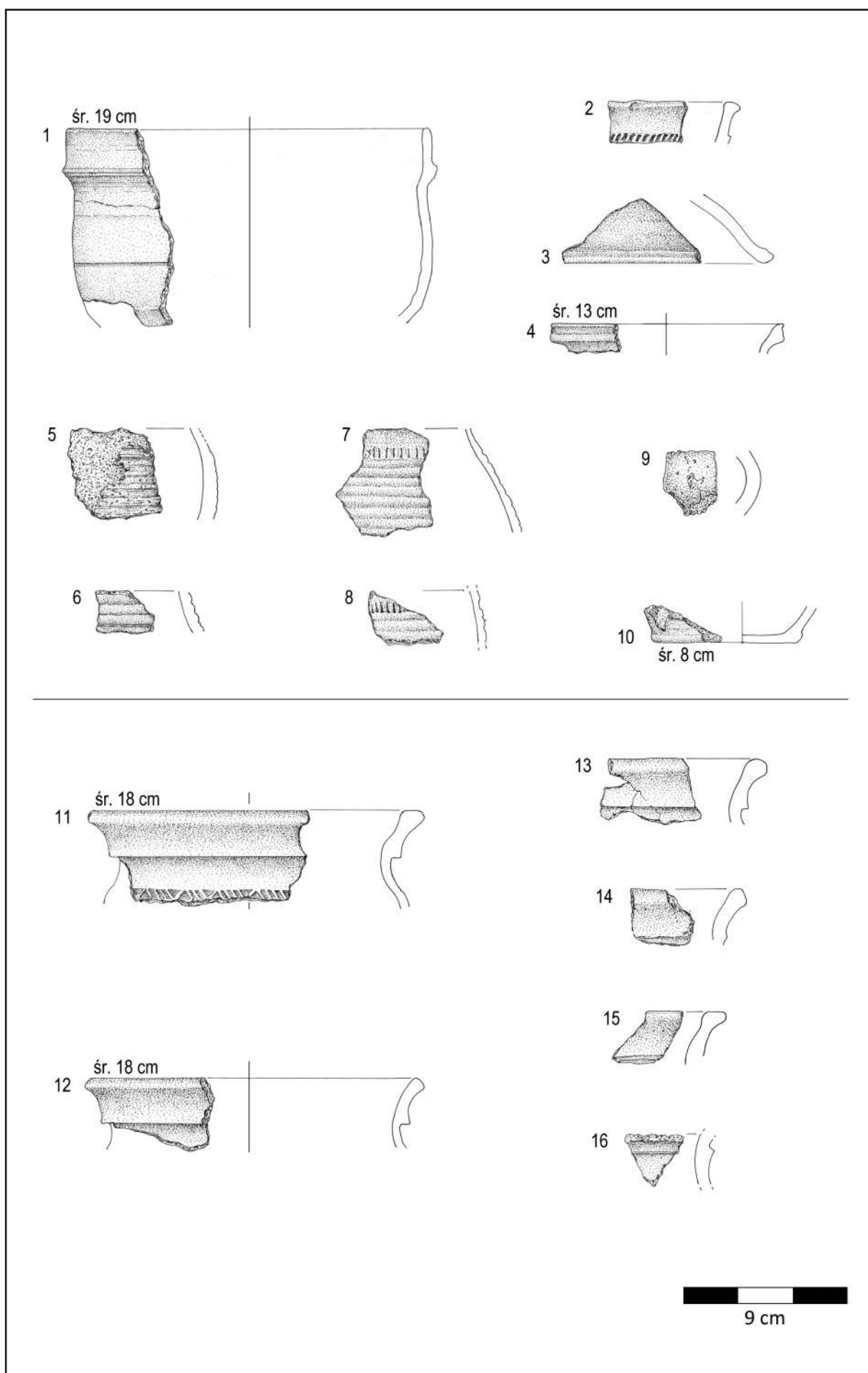
³⁵ Wadyl i Martyka 2019: 83–86.



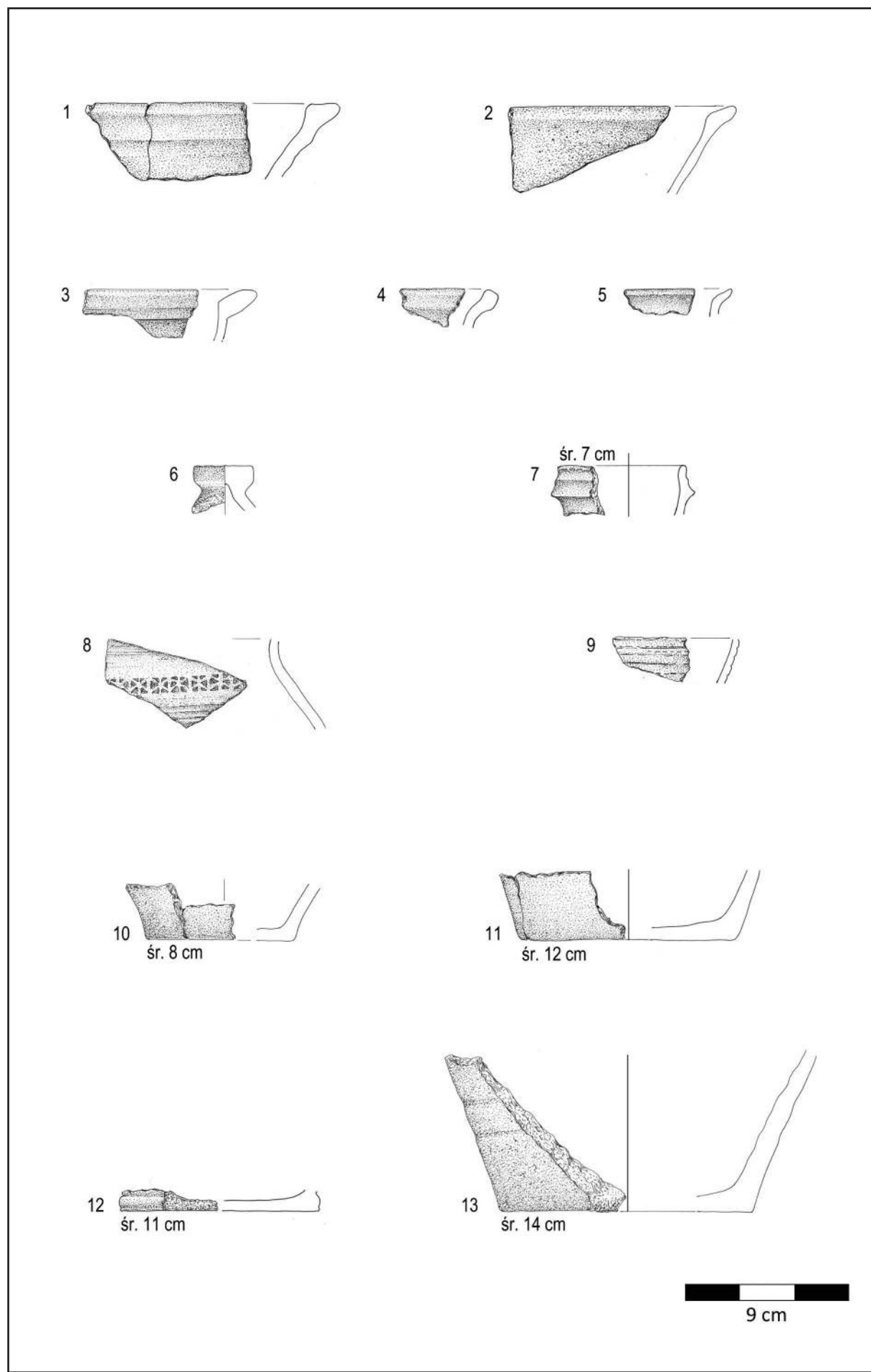
Tablica 1. Lubianka, st. 6. Ceramika z fazy I (rys. B. Karch)



Tablica 2. Lubianka, st. 6. Ceramika: 1–2) z fazy I, 3) z fazy II, 4–9) z fazy III (rys. B. Karch)



Tablica 3. Lubianka, st. 6. Ceramika: 1–10) z fazy III, 11–16) z fazy IV (rys. B. Karch)



Tablica 4. Lubianka, st. 6. Ceramika z fazy IV i V (rys. B. Karch)

si 5,5 mm. Naczynia wypalone w atmosferze redukcyjnej, dzięki czemu ich ściany są barwy szarej i ciemnoszarej. Na 44 fragmentach odnotowano zdobienia w postaci dookolnych rowków (tabl. 3:5–8, 4:8–9), pionowych bądź lekko ukośnych karbów (tabl. 3:2, 7–8) albo stempelka z kombinacjami trójkątów i kresek (tabl. 3:11, 4:8), także tworzących dookolne pasy. Ceramika wykonana w taki sposób upowszechnia się na omawianym obszarze od około 2. połowy XIII wieku³⁶ i utrzymuje się do przełomu XV i XVI wieku³⁷.

W analizowanym zbiorze znalazło się 38 fragmentów wylewów, 277 brzuściów, 1 ucho, 1 część przydenna i 18 fragmentów denek. Z warstw przypisanych do fazy III pozyskano jedynie 84 fragmenty (25,1% tej grupy). Pozostałe 250 fragmentów znaleziono na wtórnym złożu w młodszych warstwach. Ze znalezisk, które znajdowały się w swych prawidłowych kontekstach, udało się określić formę tylko 1 naczynia – garnka o średnicy wylewu 19 cm, który przypisano do typu V.1 wg klasifikacji Michała Starskiego (tabl. 3:1). Charakterystyczną cechą tych garnków jest ich U-kształtny profil, ze średnicą wylewu zbliżoną do największej wydłużności brzuśca. Autor typologii określił chronologię takich garnków, bazując na zbiorze z Pucka, na czwartą część XV i początek XVI wieku³⁸. Z innych znalezisk *in situ* można wymienić fragment wylewu z okapem (tabl. 3:2), wylewu o średnicy 13 cm z miejscem na pokrywkę (tabl. 3:4), fragment pokrywki (tabl. 3:3), czy fragment ucha z taśmą (tabl. 3:9). Więcej informacji o charakterystyce zbioru dają fragmenty redeponowane. Tu wydzielono fragmenty wylewów 2 garnków, obu o średnicy 18 cm, zaopatrzonych w okapy (tabl. 3:11–12). Asortyment garnków był zapewne bogatszy, gdyż analogicznych fragmentów znaleziono nieco więcej (tabl. 3:13–16). Kolejny typ to misy – typ I.1 wg Starskiego³⁹ – o wychylonych na zewnątrz ścianach i pogrubionej krawędzi wylewu (tabl. 4:1–2). Wydzielono też wylew dzbanka o średnicy 7 cm (tabl. 4:7) i guzek pokrywki (tabl. 4:6). Sposób fragmentów den 13 było płaskich (tabl. 3:10, 4:10–13) o średnicach 8 cm, 8 cm, 11 cm, 12 cm i 14 cm. Na 1 ułamku dna zaobserwowano dookolny wałek.

³⁶ Lubowicka 2011: 129.

³⁷ Marcinkowski 2013: 245.

³⁸ Starski 2009: 210, 263, fig. 17.

³⁹ Starski 2009: 218, 263, fig. 17.

Ceramika ceglasta

Do grupy ceramiki ceglastej zaliczono 23 fragmenty (4,6% zbioru fragmentów diagnostycznych). Czerepy naczyń z tej grupy uformowano z dobrze wyrobionej masy ceramicznej z małą domieszką drobno- i średnioziarnistego piasku. Ich powierzchnia jest najczęściej gładka – w 16 przypadkach (69,5% analizowanego zbioru) – rzadziej szorstka – 7 przypadków (30,5% analizowanego zbioru). Grubość ścianek wahau się w przedziale 3–6 mm ze średnią 3,8 mm. Naczynia wypalone w zaawansowanej atmosferze utleniającej, co powodowało, że ich powierzchnia była jednolicie pomarańczowa. Aby zmniejszyć nasiąkliwość ścian naczyń stosowano szkliwanie. Jego ślady odnotowano na 9 fragmentach (39,1% analizowanej grupy). Na 5 fragmentach odnotowano ślady osmalenia lub przepalania. Ceramika wykonywana w ten sposób zaczyna się upowszechniać na omawianym obszarze na przełomie XV i XVI wieku⁴⁰.

Ułamki tej grupy (w liczbie trzech sztuk) znalezione tylko raz w warstwie przypisanej do fazy III, wiązanej z funkcjonowaniem zamku. W pozostałych przypadkach były znajdowane na wtórnym złożu w warstwach przypisanych do fazy IV i V.

W grupie tej znalazło się 5 wylewów, 17 brzuściów, 1 fragment dna. Żaden z tych fragmentów nie pozwolił na rekonstrukcję formy naczynia, z którego pochodził.

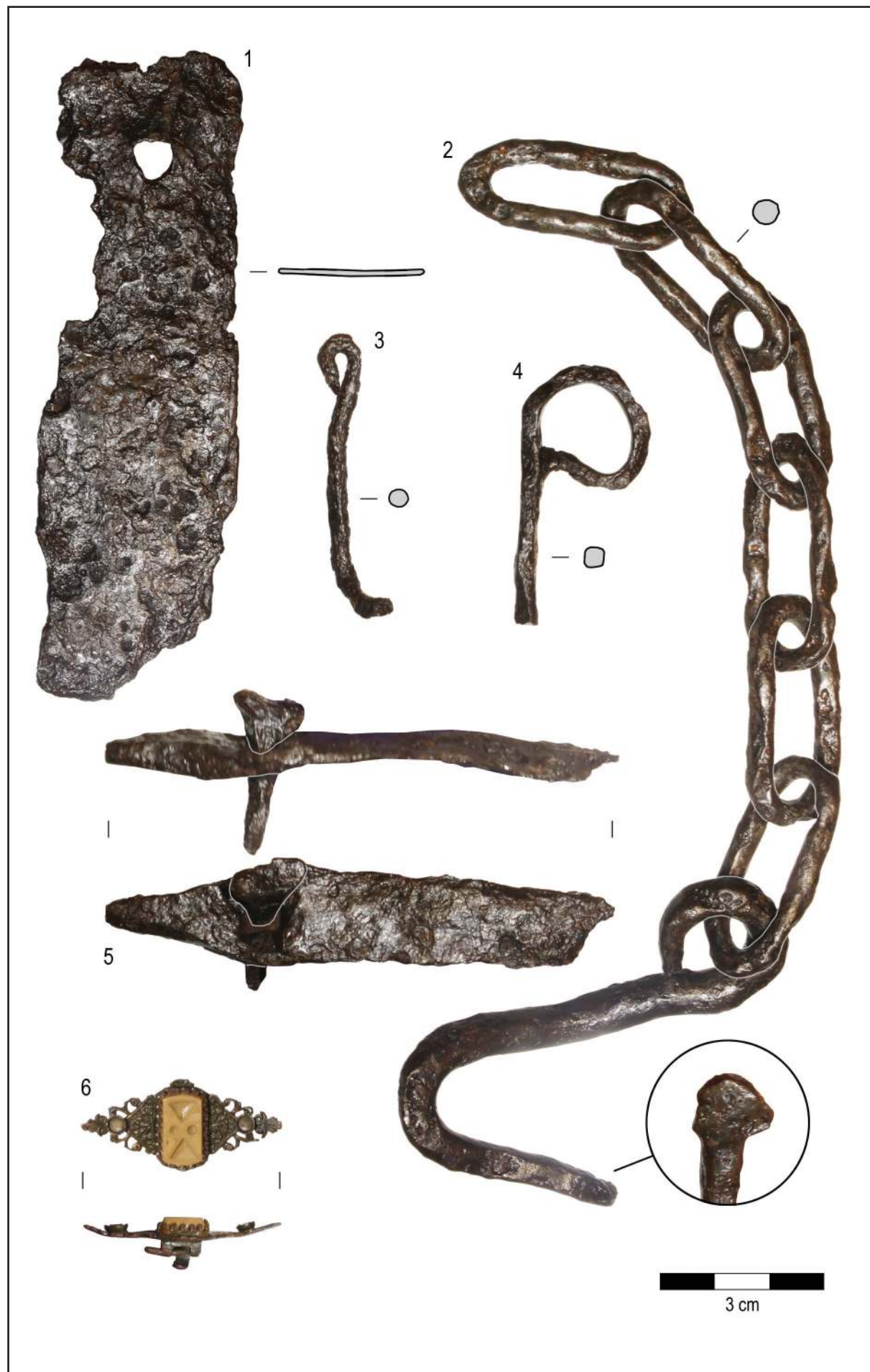
Porcelana

Do grupy tej zaliczono trzy niewielkie ułamki naczyń, które nie pozwalały na określenie formy naczynia ani precyzyjnej chronologii. Znaleziono je w warstwach przypisanych do fazy IV i należy je najpewniej wiązać z okazjonalnymi odwiedzinami obszaru grodziska w czasach współczesnych.

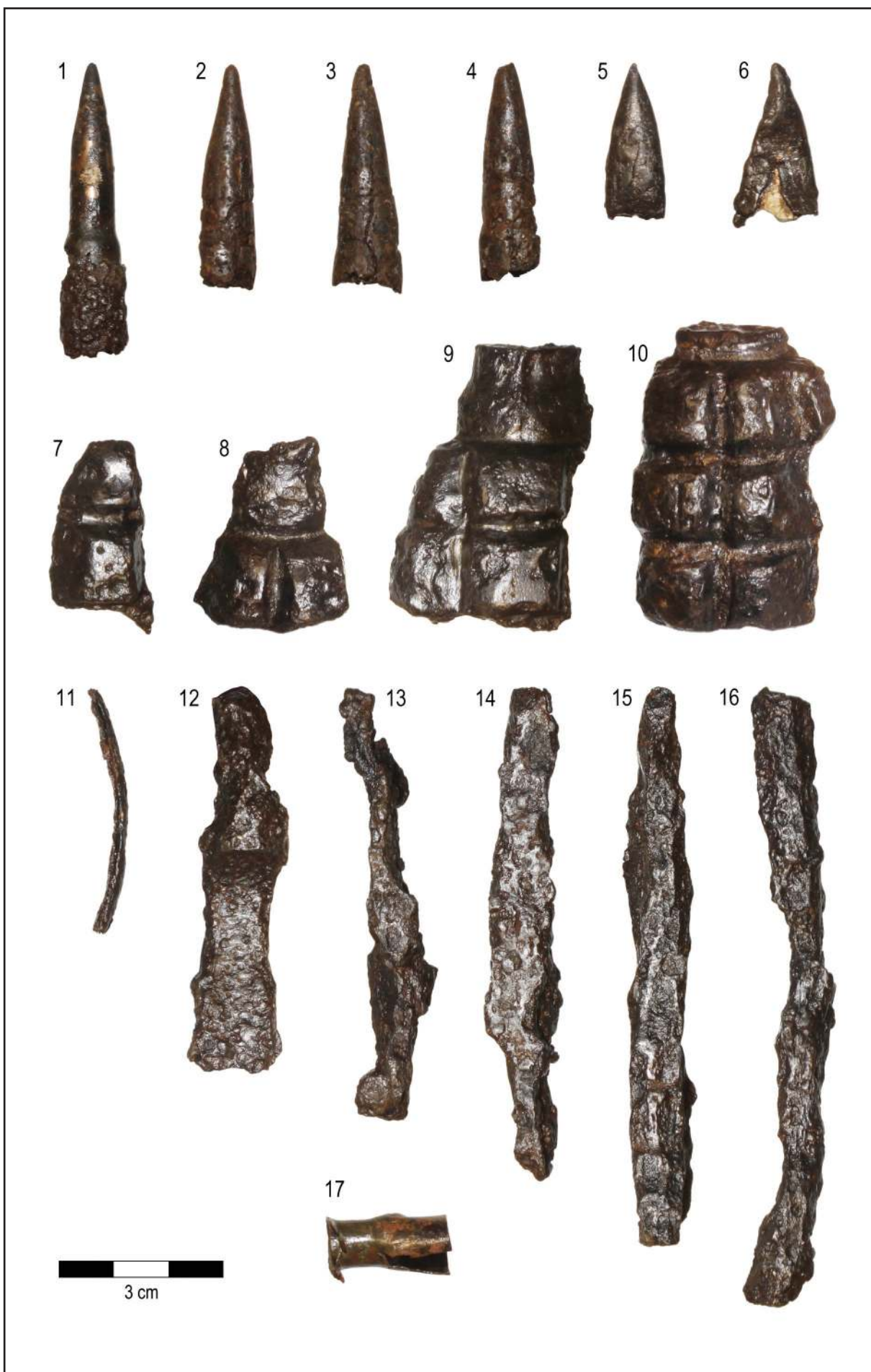
Zabytki wydzielone

Do kategorii zabytków wydzielonych zakwalifikowano 109 zabytków metalowych, które zostały podzielone pod kątem ich chronologii. Warto zauważyć, że ze względu na przekształcenia stanowiska większość zabytków została odnaleziona na wtórnym złożu, w kontekstach młodszych niż wynikałoby to z ich właściwej chronologii opartej na analizie typologicznej.

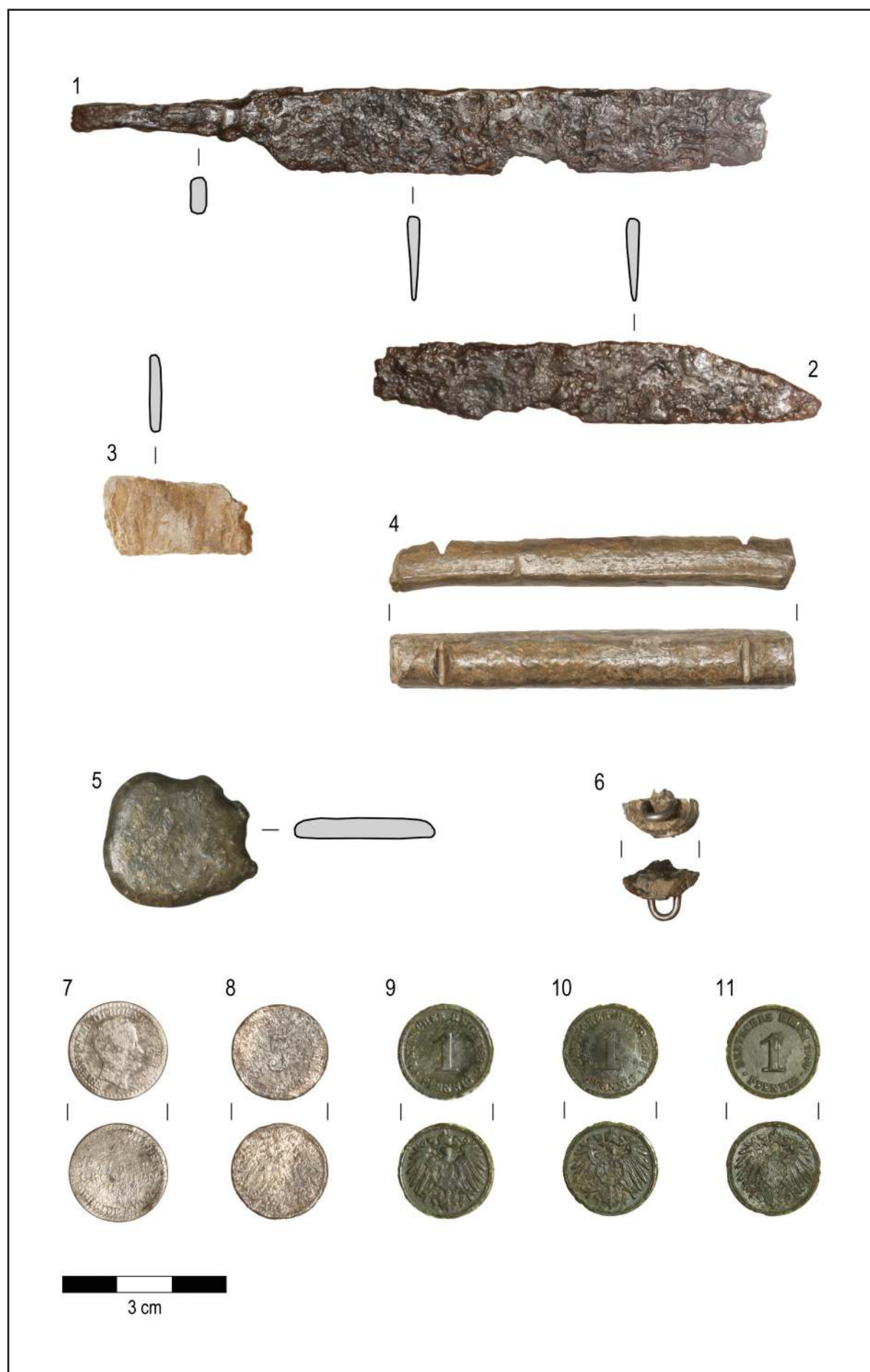
⁴⁰ Marcinkowski 2013: 245–247.



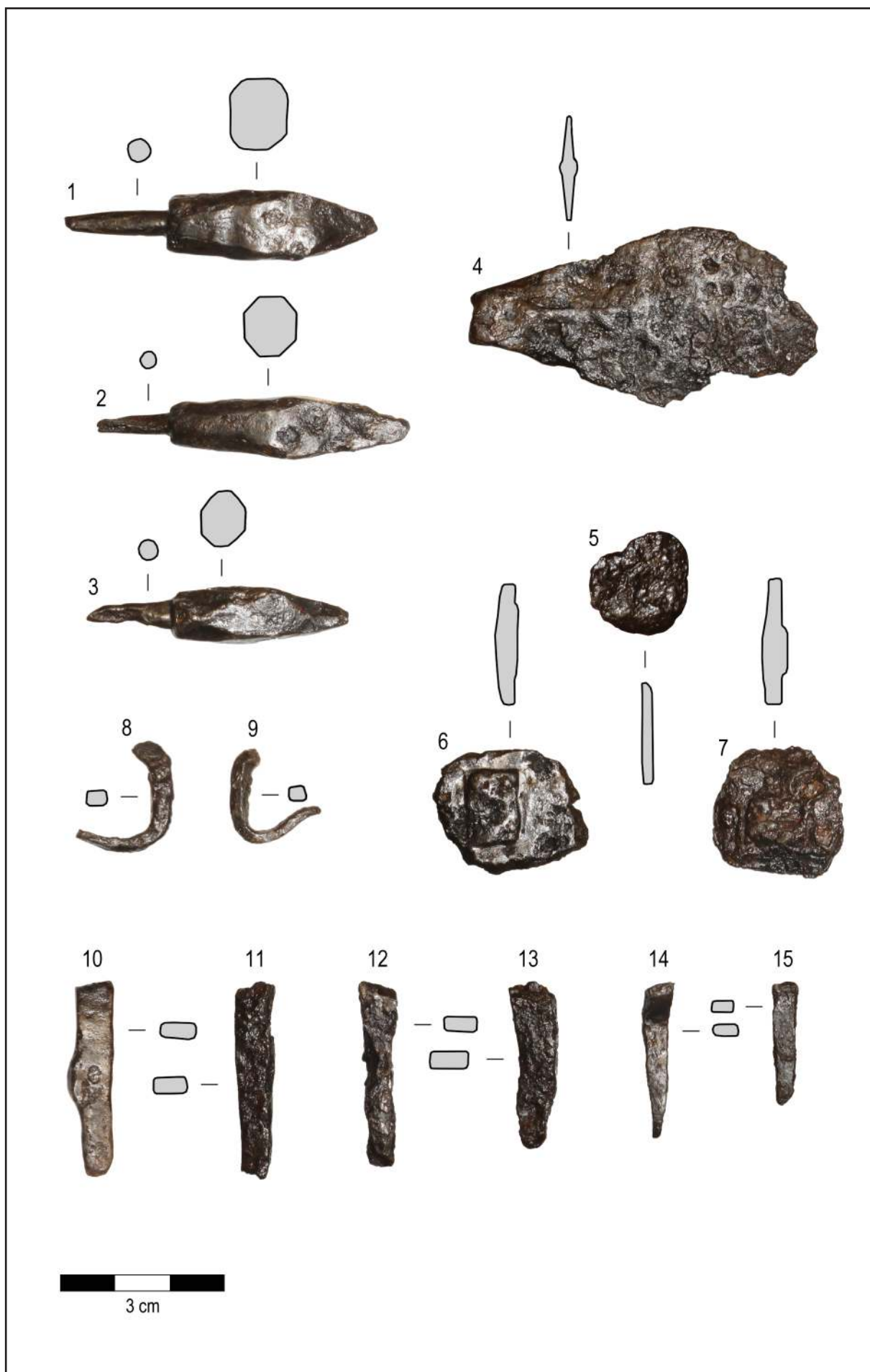
Tablica 5. Lubianka, st. 6. Zabytki wydzielone (fot. R. Solecki)



Tablica 6. Lubianka, st. 6. Zabytki wydzielone (fot. R. Solecki)



Tablica 7. Lubianka, st. 6. Zabytki wydzielone (fot. R. Solecki)



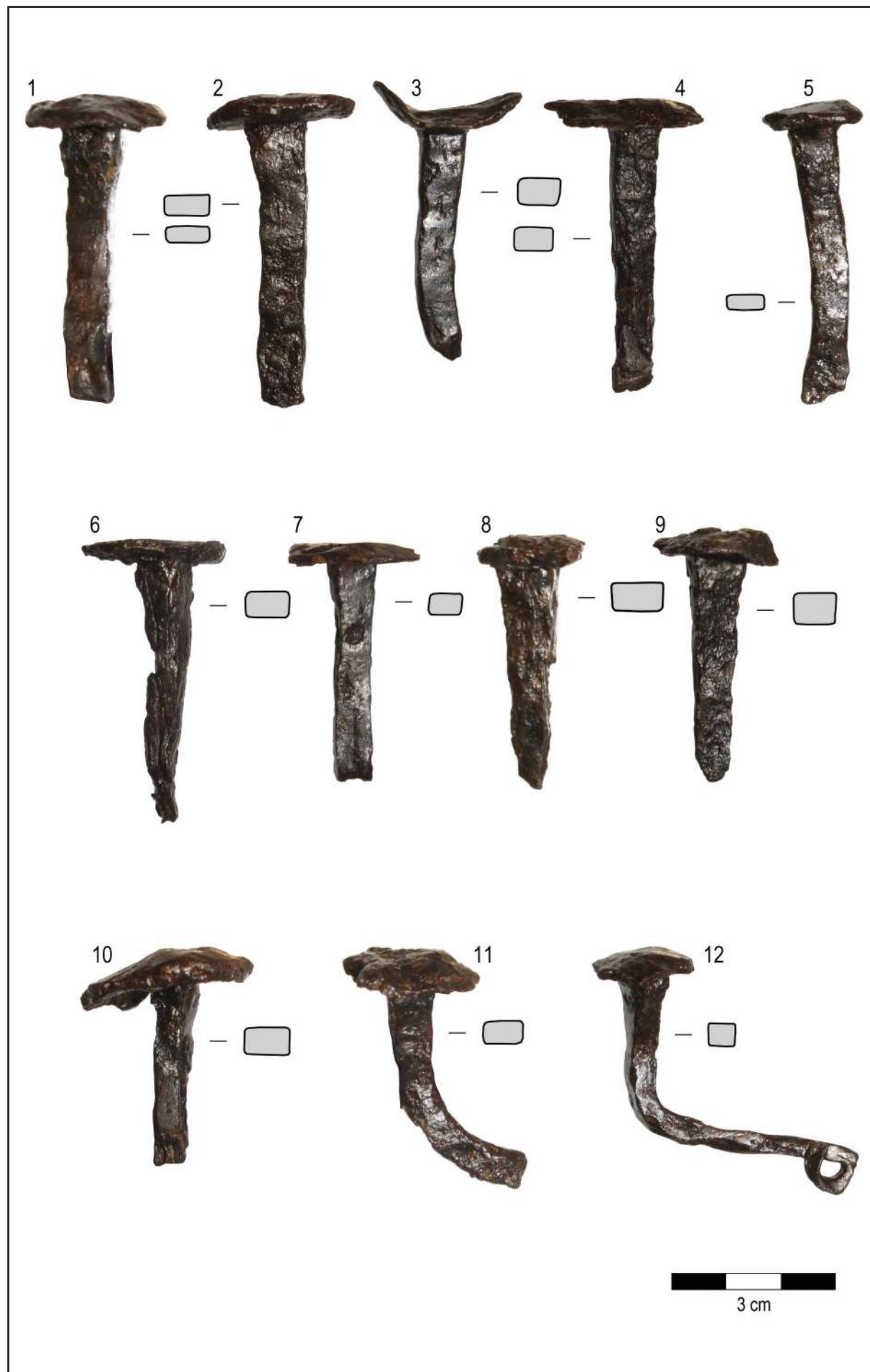
Tablica 8. Lubianka, st. 6. Zabytki wydzielone (fot. R. Solecki)



Tablica 9. Lubianka, st. 6. Zabytki wydzielone (fot. R. Solecki)



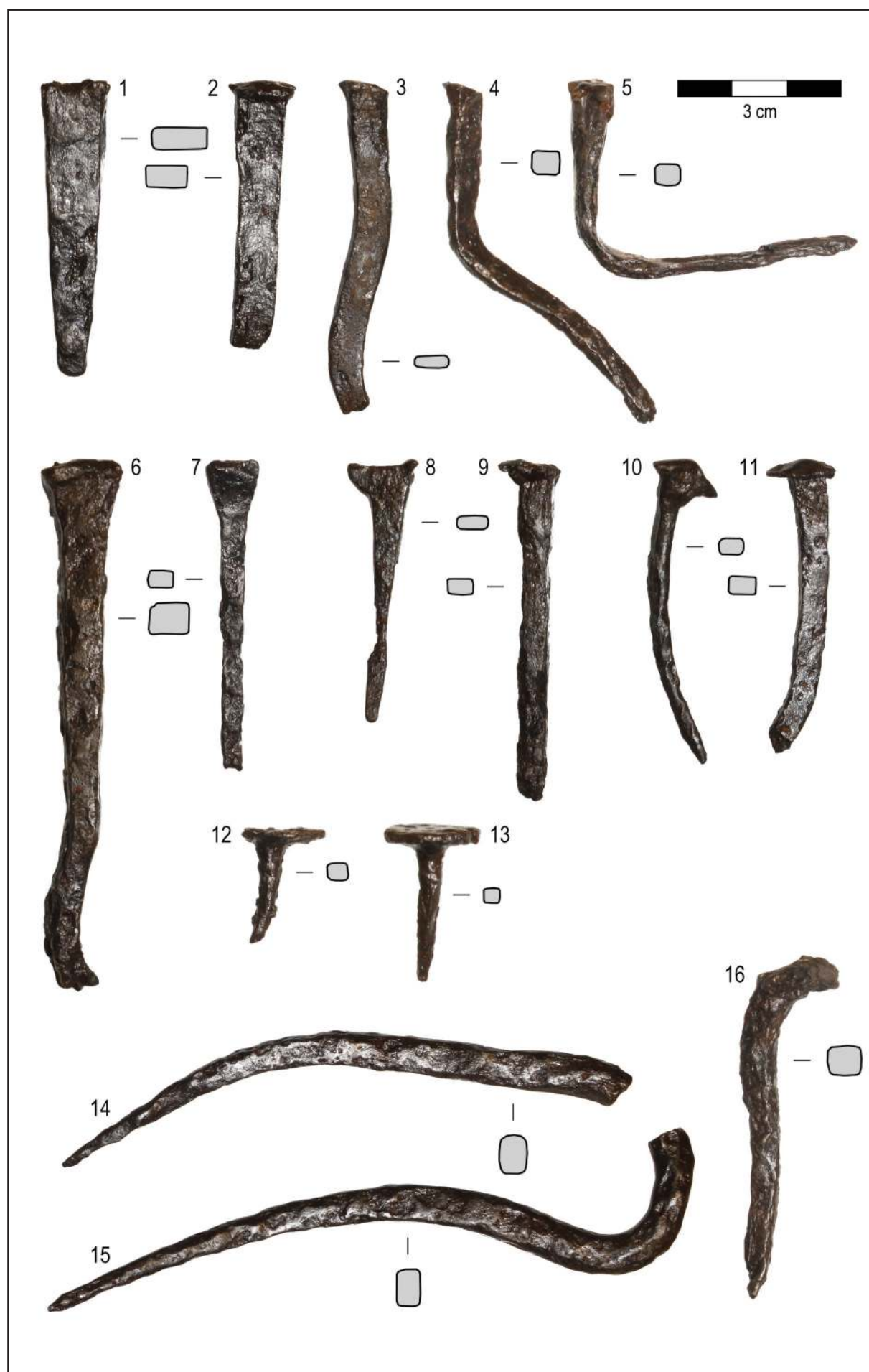
Tablica 10. Lubianka, st. 6. Zabytki wydzielone (fot. R. Solecki)



Tablica 11. Lubianka, st. 6. Zabytki wydzielone (fot. R. Solecki)



Tablica 12. Lubianka, st. 6. Zabytki wydzielone (fot. R. Solecki)



Tablica 13. Lubianka, st. 6. Zabytki wydzielone (fot. R. Solecki)

Do grupy średniowiecznych militariów należy sześć przedmiotów. Pierwszy z nich to fragmentarycznie zachowany grot strzały. (tabl. 8:4). Był on mocowany za pomocą trzpienia i miał płaskie, szerokie ostrze, prawdopodobnie o kształcie laurowatym lub lancetowatym. W typologii Andrzeja Nadolskiego należy on do typu III, którego najwcześniej znaleziska z terenu Polski datowane są IX–X wiek⁴¹, ale występuje także w kontekstach dużo młodszych, nawet z XIII–XIV wieku⁴². Następne trzy zabytki to groty bełtów z trzpieniem (tabl. 8:1–3), reprezentujące typ II wg A. Nadolskiego⁴³. Są to okazy występujące dość często na stanowiskach średniowiecznych. Podobne groty znaleziono m.in. na grodzisku w Grabinie, gm. Ostróda⁴⁴, czy Leszczu, gm. Dąbrówno⁴⁵. Typ ten datowany jest szeroko na XIV–XV wiek. Kolejne dwa przedmioty to fragmentarycznie zachowane noże. Pierwszy nóż (tabl. 7:1) reprezentuje typ Ia wg klasyfikacji Ryszarda Rogosza⁴⁶, o prostym tylcu, stosunkowo wąskiej głowni i łagodnie łukowatym ostrzu oraz trzpieniu wyodrębnionym dwustronnie. Egzemplarz ten ma długość 13 cm. Drugi fragment noża (tabl. 7:2) formą zakończenia ostrza odpowiada typowi II wg R. Rogosza, natomiast stan zachowania nie pozwala mieć pewności. Precyzyjne określenie chronologii noży jest utrudnione, ze względu na ich dość popularną formę oraz odkrycie ich na złożu wtórnym.

Do grupy narzędzi zaliczono żelazny haczyk z esowato zawiniętym uszkiem (tabl. 5:3). Podobne haczyki znalezione na grodzisku w Bornitach, gm. Pieniężno⁴⁷ oraz podczas badań zespołu osadniczego w miejscowości Węgry, gm. Sztum w nawarstwieniach z XI–XII wieku⁴⁸. Ten typ haczyka jest dość popularny i nie sposób określić jego dokładnej chronologii. Następny przedmiot to żelazny drut o kwadratowym przekroju, ze sklepionym, jednostronnie wygiętym uchem (tabl. 5:4). Zachowana część ma długość około 6 cm. Taki kształt jest dość uniwersalnym uchwytem i może występować m.in. przy pro-

stych kluczach. Dwa żelazne okucia (tabl. 5:1, 5) także mają uniwersalny kształt. Pierwsze z nich to prostokątna żelazna blaszka o długości 10,5 cm i szerokości 3,5 cm, posiadająca otwór do mocowania. Drugie okucie ma kształt sztabki długości 9,1 cm i szerokości 1,5 cm, z jedną stroną zwężoną i otworem, w którym nadal utkwiony jest gwóźdź. Podobne okucia znalezione na późnośredniowiecznym grodzisku we wspomnianym już Leszczu interpretowane są jako związane ze skrzynią⁴⁹. Kolejne dwa przedmioty to fragmenty żelaznych skobli (tabl. 13:14–15) o prostokątnym przekroju i długości w przedziale od 6 do 12 cm. Żelazne skoble są dość częstym zabytkiem spotykanym na stanowiskach mieszkalnych z okresu średniowiecza i nowożytności⁵⁰. Z zamknięciem drzwi być może także związany jest łańcuch o sześciu ovalnych ogniwach zakończony haczykowato wygiętym pręcikiem z trójkątną główką (tabl. 5:2). Taka forma zbliżona jest do wrzeciądza⁵¹.

Ostatnią opisaną grupą średniowiecznych zabytków są gwoździe, lub ich fragmenty, których łącznie pozyskano 68 sztuk. Klasyfikacje wykonano według typologii zaproponowanej przez Łukasza Siczka⁵². Typ A to gwoździe bez wyraźnie wyodrębnionej główkii, służące jako uniwersalne łączniki. Na grodzisku w Lubiance znaleziono łącznie 17 takich przedmiotów, długości od 4 do 11 cm (tabl. 12:1–12, tabl. 13:1–5). Typ B to gwoździe o główce uformowanej przez sklepanie wyrostka pozostałego po odcięciu pręta. Często służyły do mocowania gontów. W omawianym zbiorze odnalezione 4 takie egzemplarze o długości od 4,5 do 10 cm (tabl. 13:6–9). Typ C to gwoździe o główce wyodrębnionej ze wszystkich stron, służyły do łączenia ze sobą drewna, ale też łączenia metalu z drewnem. Do tego typu zaliczono 2 egzemplarze o długości około 6 cm (tabl. 13:10–11). Typ D to gwoździe z wyraźnie uformowaną główką, służące do wykonywania i okuwania mebli i skrzyń. Do tego typu zaliczono 2 gwoździe o długości 2–3 cm (tabl. 13:12–13). Gwoździe typu E posiadają główkę wyraźnie i równomiernie wyodrębnioną względem ostrza oraz pełnią uniwersalną funkcję. Podczas badań znaleziono łącznie 32 tego typu zabytki (tabl. 9:1–10,

⁴¹ Nadolski 1954: 64–65, 271, tabl. XXXI:4.

⁴² Kuśnierz 2005: 118–120.

⁴³ Nadolski 1954: 60–66.

⁴⁴ Solecki 2017: 324–325, 329, tabl. 10:5.

⁴⁵ Marciniak-Kajzer 2006: 12–16.

⁴⁶ Rogosz 1983: 264–265.

⁴⁷ Wadyl i Martyka 2019: 85, ryc. 8:d

⁴⁸ Haftka i Wadyl 2015: 151–152, 217, tabl. 6.

⁴⁹ Marciniak-Kajzer 2006: 12–16.

⁵⁰ Łukomiak 2015: 39–48.

⁵¹ Łukomiak 2015: 48–58.

⁵² Siczek 2016.

tabl. 10:1–10, tabl. 11:1–12). Ich długość wała się od 4,5 do 10 cm. Ponadto znaleziono trzy ułamane główki gwoździ typu E (tabl. 8:5–7) oraz ułamane ostrza gwoździ nieokreślonych typologicznie (tabl. 8:8–15). Wymienione typy gwoździ są dość popularne i występują powszechnie od około XIII wieku, aż po XVIII wiek.

Z okresem nowożytnym i współczesnym można powiązać 24 zabytki. Pierwszą grupą są tu przedmioty osobiste i numizmaty. Ozdobą jest miedziana broszka, która ma formę zdobionego, ażurowego rombu, z miejscem na ozdobne kamienie pośrodku (tabl. 5:6). Kolejnym zabytkiem jest fragment mosiężnego guzika z aluminiowym uszkiem. Typ dwuwarstwowy. Jest to guzik cywilny i można go datować na czasy współczesne (tabl. 7:6). Znaleziono również 5 monet. Pierwsza to 1 srebrny grosz Cesarstwa Niemieckiego (tabl. 7:7) – awers: „FRIEDR WILH III KOENIG V PREUSSEN”, rewers: „1 SILBER GROSCHEN 30 EINEN THALER 18.. SCHEIDE MÜNZE”. Kolejna moneta to 5 Pfennigów z miedzioniklu (tabl. 7:8) – awers: Herb Cesarstwa, rewers „DEUTSCHER REICH 5 PFENNING”. Następne numizmaty to trzy monety o nominale 1 Pfenniga – awers: Herb Cesarstwa Niemieckiego, rewers: „DEUTSCHER REICH 1890 1 PFENNING” (tabl. 7:9), „DEUTSCHER REICH 1896 1 PFENNING” (tabl. 7:10), „DEUTSCHER REICH 1900 1 PFENNING” (tabl. 7:11).

Nastecną grupą są współczesne militaria, których znaleziono 17. Cztery z nich to fragmenty skorupy radzieckiego granatu obronnego F-1 (tabl. 6:7–10). Kolejne 6 to odłamki żeliwne o podłużnej formie (tabl. 6:11–16). Jest tu też fragmentarycznie zachowana miedziana luska o długości 2,5 cm (tabl. 6:17) oraz 6 pocisków karabinowych. Pięć z nich ma kaliber około 7–8 mm (dokładny pomiar jest niemożliwy ze względu na zły stan zachowania) (tabl. 6:1–5), co może odpowiadać kalibrowi 7,62 mm używanemu w karabinach Mosin, lub 7,92 mm używanemu w karabinach Mauser. Jeden pocisk jest zmiażdżony (tabl. 6:6), co uniemożliwia jego identyfikację.

Ostatnia kategoria to zabytki o nieokreślonej funkcji oraz chronologii. Pierwszy przedmiot to niewielka grudka stopu miedzi o wymiarach około 3×3 cm (tabl. 7:5). Jest to zapewne odpad produkcyjny. Kolejny to cienka blaszka ołowiana długości 3 cm, szerokości 1 cm i grubości nie przekraczającej 0,5 cm

(tabl. 7:3). Ostatnim zabytkiem jest sztaba ołowiu długości 7,5 cm (tabl. 7:4). Posiada ona nacięcia, naprawdopodobnie ułatwiające jej przełamanie w oznaczonym miejscu. Tu najbliższą analogią są sztaby metali i punce metalurgiczne odkryte podczas badań archeologicznych w Janowie Pomorskim⁵³. Zabytek z Lubianki mógłby być surowcem używanym przy wytapianiu stopów metali, a karby miałyby wskazywać odpowiednią porcję.

Kości zwierzęce

W trakcie przeprowadzonych badań pozyskano dość liczny zbiór 97 kości zwierzęcych, który należy wiązać z użytkowaniem obszaru grodziska w okresie średniowiecza. Udało się dokonać oznaczeń 16 kości bydła, 9 konia, 53 świń, 9 owcy/kozy, oraz po 1 małego przeżuwacza, ptaka i ryby. Na licznych kościach odnotowano ślady konsumpcji. Szczegółowa analiza całego zbioru znajduje się w niezależnym opracowaniu⁵⁴.

CHRONOLOGIA I DZIEJE GRODZISKA W LUBIANCE, ST. 6

DANIEL SKOCZYLAS / RAFAŁ SOLECKI

Pomimo że grodzisko w Lubiance jest znane od dawna i swoją formą terenową jednoznacznie wskazuje na wysoką rangę, jaką pełniło w przeszłości, to do 2021 roku nie były na nim prowadzone żadne badania wykopaliskowe. Informacje o grodzisku i jego chronologii prezentowane w publikacjach opierały się wyłącznie na powielanych przekazach źródłowych.

Badania archeologiczne przeprowadzone w 2021 i 2023 roku pozwoliły potwierdzić przekazy Piotra z Dusburga, że we wsi Pluty znajdował się w 1325 roku gród⁵⁵. Ponadto dostarczyły ważnych źródeł do opisu formy, jaką mógł on posiadać, a także wykazały, że budowa zamku była tylko kolejną fazą wykorzystywania tego miejsca jako umocnionego punktu oporu.

Pierwszy potwierdzony horyzont osadniczy można datować na wczesną epokę żelaza, prawdopodobnie na okres lateński B/C. W tym czasie funkcjonowało tu osiedle

⁵³ Strobin i Żołędzowski 2021: 236, tabl. XLVII:26, 237, tabl. XLVII:3, 224, tabl. XXXV:3.

⁵⁴ Szczygieł 2024.

⁵⁵ Piotr z Dusburga 1679: 407–408; Wyszomirski 2011: 232–233, dokument 360.

obronne, którego relikty uchwycono na obszarze dzisiejszej południowej części majdanu. Zadokumentowano tam pozostałość silnie zniszczonego nasypu wału ziemnego z przyległą do niego warstwą kulturową bogatą w materiał ceramiczny. Z warstwą tą związane były jednostki stratygraficzne, które można wiązać z istnieniem obiektu mieszkalnego. W skład tych jednostek wchodziło skupisko kamieni i warstwa z dużą ilością węgli drzewnych, które można interpretować jako ślad po palenisku. Próba węgla pobrana z tej warstwy i poddana analizie radiowęglowej wskazała po kalibracji na przedział lat 364–121 p.n.e. z prawdopodobieństwem 95,4%⁵⁶. Jednostki stratygraficzne związane z tym osadnictwem są generalnie dość dobrze zachowane, gdyż zabezpieczyły je młodsze niwelacje nadsypane powyżej.

Kolejny horyzont osadniczy związany ze starszą fazą wczesnego średniowiecza został rozpoznany na bardzo małym obszarze. Z okresem tym można powiązać jednostki stratygraficzne tworzące linie umocnień – wał w południowej części dzisiejszego majdanu oraz wał i fosę poniżej nasypu wału z ramą. Z wypełniska wspomnianej fosy pobrano próbę węgla do datowania radiowęglowego. Wynik tej analizy dał po kalibracji przedział lat 671–876 n.e. z prawdopodobieństwem 95,4%, a przy prawdopodobieństwie 68,2% okres zawdzielił się do lat 671–779 n.e.⁵⁷ Można zatem potwierdzić, że w miejscu tym istniało grodzisko o bardzo wczesnej średnio wiecznej metryce, ale szersze rozpoznanie tego osadnictwa może być problematyczne. Powodem jest fakt, że zabezpieczyło ono starszy horyzont wczesnożelazny, który zachował się dość dobrze, ale prace ziemne związane z młodszym osadnictwem średniowiecznym, w pierwszej kolejności dotyczyły warstw kulturowych tego horyzontu. Dlatego też większość materiału zabytkowego, który można wiązać z osadnictwem wczesnośredniowiecznym została odnaleziona na wtórnym złożu, w młodszych warstwach niwelacyjnych.

Grodzisko w Lubiance, które zasadniczo powinno być łączone ze wsią Pluty, znaną jest przede wszystkimi z przekazu Piotra z Dusburga, który przekazał informację, że w 1325 roku prepozyt kapituły warmińskiej

⁵⁶ Analiza przeprowadzona w Poznańskim Laboratorium Radiowęglowym, próba nr Poz-149692.

⁵⁷ Analiza przeprowadzona w Poznańskim Laboratorium Radiowęglowym, próba nr Poz-149689.

wybudował w Plutach zamek⁵⁸. W świetle przeprowadzonych badań wydaje się jednak, że wspomniany w zacytowanym tekście źródłowym zamek był rozbudową nieco wcześniejszego założenia obronnego. Być może dotyczyło to budowy murowanego budynku w obrębie istniejącego już grodu drewnianego. Za taką interpretacją przemawiają pozyskane w trakcie badań daty radiowęglowe. Pierwszą pobrano z podłogi drewnianej piwniczki, którą odkryto w południowej części majdanu. Wynik tej analizy dał po kalibracji przedział lat 1041–1217 n.e. z prawdopodobieństwem 95,4%⁵⁹. Drugą próbę pobrano z dna obiektu wypełnionego kamieniami, który odsłonięto w północnej części majdanu. Wynik tej analizy dał po kalibracji przedział lat 1052–1263 n.e. z prawdopodobieństwem 95,4%, a przy prawdopodobieństwie 89,6% zawdzielił się do lat 1156–1263 n.e.⁶⁰ Nie można zatem wykluczyć, że w początkach osadnictwa krzyżackiego na tym obszarze, zapewne około połowy XIII wieku, wybudowany został tu drewniany gród, który miał za zadanie zabezpieczyć jedną z przepraw przez Wałszę, która miała się w znajdować na wysokości wsi Pluty. Na fakt, że w XIII wieku w Plutach funkcjonowała już osada, może wskazywać znalezione jeszcze w okresie przedwojennym cmentarzysko o właśnie taki chronologii (ryc. 10)⁶¹.

Komornictwo pienińskie, w którego skład wchodziła wieś Pluty, stało się częścią uposażenia kapituły warmińskiej na mocy dokumentu z 10 lipca 1277 roku⁶². Parafia w Plutach jest jednak młodsza, gdyż powstała najpewniej w 1326 roku⁶³. W tym okresie powstała murowana świątynia i najpewniej murowany budynek na obszarze wcześniejszego grodu. Potwierdzeniem istnienia architektury murowanej na obszarze majdanu są znaleziska dużej liczby cegieł palcówek, w większości zrzuconych jako element zasypiska starszej piwniczki. Dokładnego po-

⁵⁸ Piotr z Dusburga 1679: 407–408; Wyszomirski 2011: 232–233, dokument 360.

⁵⁹ Analiza przeprowadzona w Poznańskim Laboratorium Radiowęglowym, próba nr Poz-149690.

⁶⁰ Analiza przeprowadzona w Poznańskim Laboratorium Radiowęglowym, próba nr Poz-149691.

⁶¹ Informacja z teczki miejscowości Pluty w *Staatliche Museen zu Berlin, Museum für Vor- und Frühgeschichte*, PM-A 1138/1.

⁶² Kopiczko 2018: 12.

⁶³ Klimek 2021: 463.

łożenia samego budynku murowanego jednak nie potwierdzono. Wskazane byłoby przeprowadzenie w tym celu rozpoznania z wykorzystaniem metod nieinwazyjnych. W obecnej sytuacji, gdy majdan jest silnie zaleziony, takie rozpoznanie jest jednak utrudnione.

Na podstawie przeprowadzonych badań nie sposób określić kiedy dokładnie doszło do zniszczenia zamku. Można jedynie szacować na podstawie materiału zabytkowego, że był to prawdopodobnie przełom XV i XVI wieku. Tu przesłanką jest występowanie pojedynczych fragmentów ceramiki ceglastej, która w tym okresie zaczyna się upowszechniać. Ten typ ceramiki stanowi jednak tylko 4,6% zbioru fragmentów diagnostycznych, więc jest to najpewniej dopiero początkowy okres wprowadzania takich naczyń tego typu. Pomocna jest tu także informacja przekazana przez C. Hennebergera w 1595 roku, który wskazuje, że zamek w Plutach jest już opuszczony⁶⁴. Tu warto także odnotować, że obszar majdanu został prawdopodobnie poddany intencjonalnej niwelacji, która doprowadziła do całkowitego zatarcia śladów po zamku. Jego murowane ściany zostały też najpewniej w dużej mierze rozebrane w celu pobrania materiału budowlanego.

Najmłodszy okres, kiedy obszar grodziska był wykorzystywany w celach obronnych, to czasy II wojny światowej. Na powierzchni stanowiska natrafiono w trakcie prospekcji te-

renowej na liczne ślady działań wojennych. Nie wykluczone, że podczas tego epizodu powstały umocnione stanowiska ognistwe, które częściowo naruszają starsze umocnienia. Mogą to być jednak także ślady wkopów rąbunkowych, których obecność stwierdzono już w okresie powojennym⁶⁵.

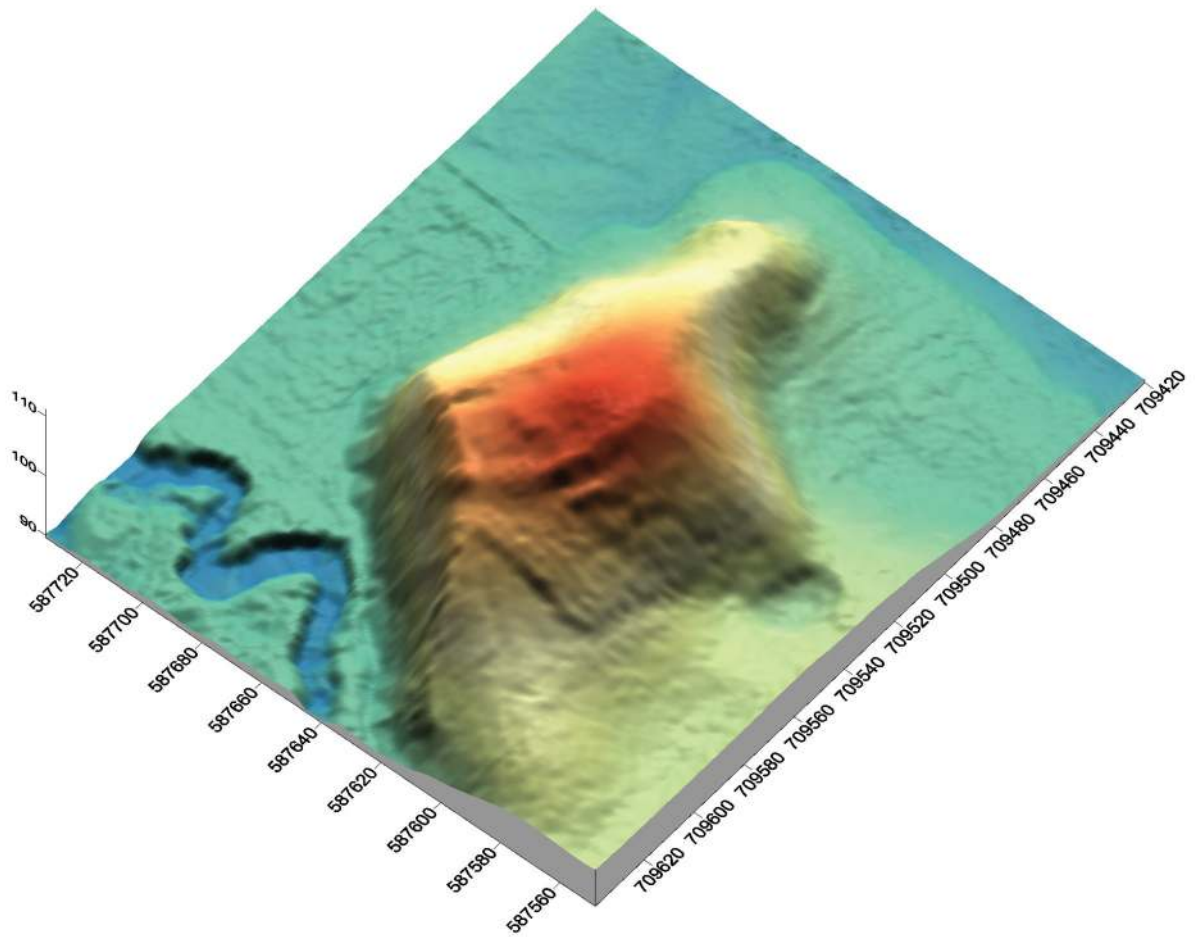
Reasumując, grodzisko w Lubiance jest niezwykle ciekawym stanowiskiem archeologicznym o wielofazowej chronologii i bardzo dobrze zachowanej formie terenowej, prezentującej formę umocnień z najmłodszego, późnośredniowiecznego horyzontu osadniczego. Przeprowadzone badania wykazały, że liczba źródeł archeologicznych, które nadal są możliwe do pozyskania, jest bardzo duża i stanowisko zdecydowanie zasługuje, aby w jego granicach przeprowadzić archeologiczne badania wykopaliskowe. Dzięki nim będzie możliwe lokalizowanie reliktów architektury murowanej związanej z zamkiem, który miał się tam znajdować. Obecne badania bowiem pozwoliły tylko na stwierdzenie, że taka architektura była, a jej pozostałości odnaleziono w postaci gruzu ceglanego w warstwach niwelacyjnych i zasypiskowych. Grodzisko ze względu na swą dobrze zachowaną i bardzo atrakcyjną formę może także stać się ciekawym punktem na mapie turystycznej gminy. Obecnie szlak prowadzący na stanowisko nie jest oznaczony i dojście tam może być dużym wyzwaniem.

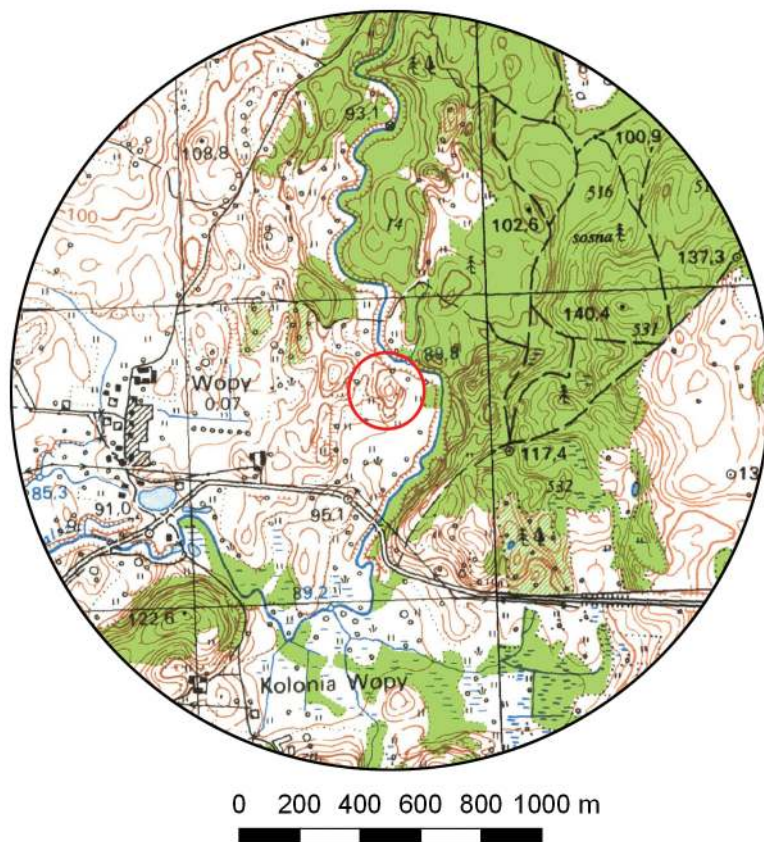
⁶⁴ Henneberger 1595: 349.

⁶⁵ Informacja z KESA 14-59/13.

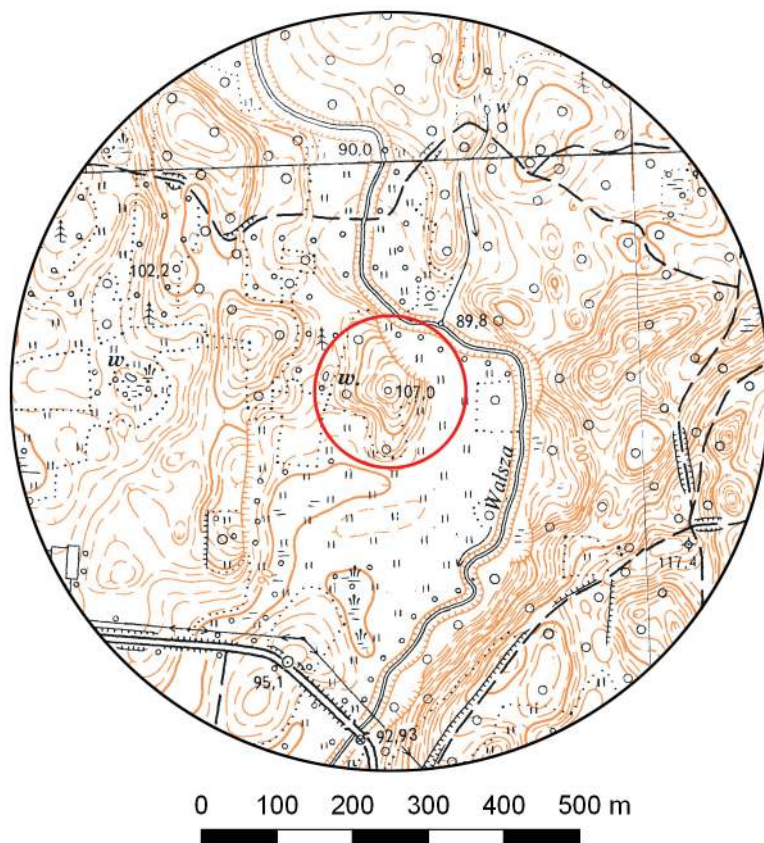
Wopy, st. 5

Gmina Pieniężno
Powiat braniewski
AZP 14-60/22
Współrzędne geograficzne:
N 54° 14' 33"
E 20° 20' 42"





Ryc. 1. Grodzisko w Wopach, st. 5
na mapie w skali 1:25 000
(na podstawie materiałów GUGiK,
oprac. R. Solecki)



Ryc. 2. Grodzisko w Wopach, st. 5
na mapie w skali 1:10 000
(na podstawie materiałów GUGiK,
oprac. R. Solecki)

POŁOŻENIE GRODZISKA I JEGO FORMA

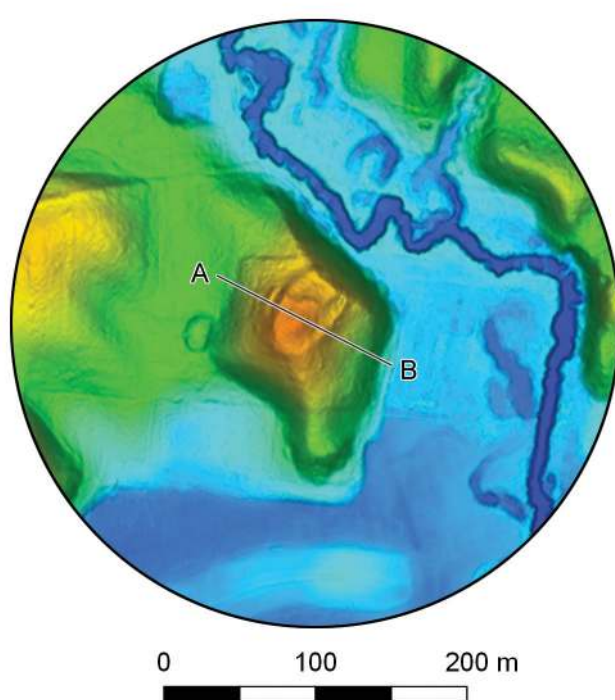
RAFAŁ SOLECKI

Grodzisko w Wopach (niem. *Woppen*), st. 5 nie było do tej pory zewidencjonowane w ramach projektu Archeologiczne Zdjęcie Polski. Zostało rozpoznane po raz pierwszy w 2020 roku, podczas weryfikacji realizowanych w ramach projektu NPRH *Katalog grodzisk Warmii i Mazur. Część II. Warmia Wschodnia i Natangia*.

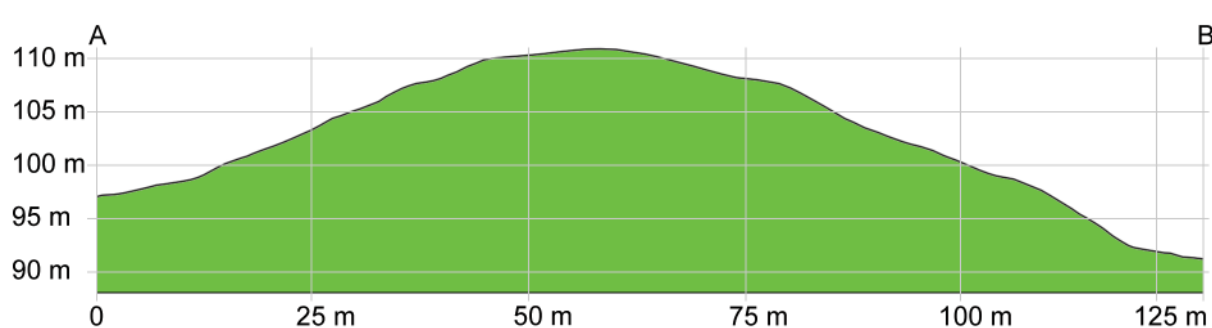
Grodzisko położone jest w odległości około 900 m na wschód od wsi. Zajmuje szczyt wysokiego wyniesienia, które od wschodu podmywane jest przez rzekę Wałszę, płynącą na tym odcinku z północy na południe. Podmycia doprowadziły do częściowego zniszczenia umocnień i majdanu od strony rzeki. Obecnie obszar stanowiska porośnięty jest kilkuletnim młodnikiem, co w bardzo dużym stopniu utrudnia ogląd jego powierzchni. Jednakże jest ono dobrze widoczne na obrazo-

waniu danych ALS (ryc. 3, 5:C), które było wykonane w 2011 roku, po zakończeniu wycinki starego lasu porastającego omawiane wyniesienie, a przed zasadzeniem nowego.

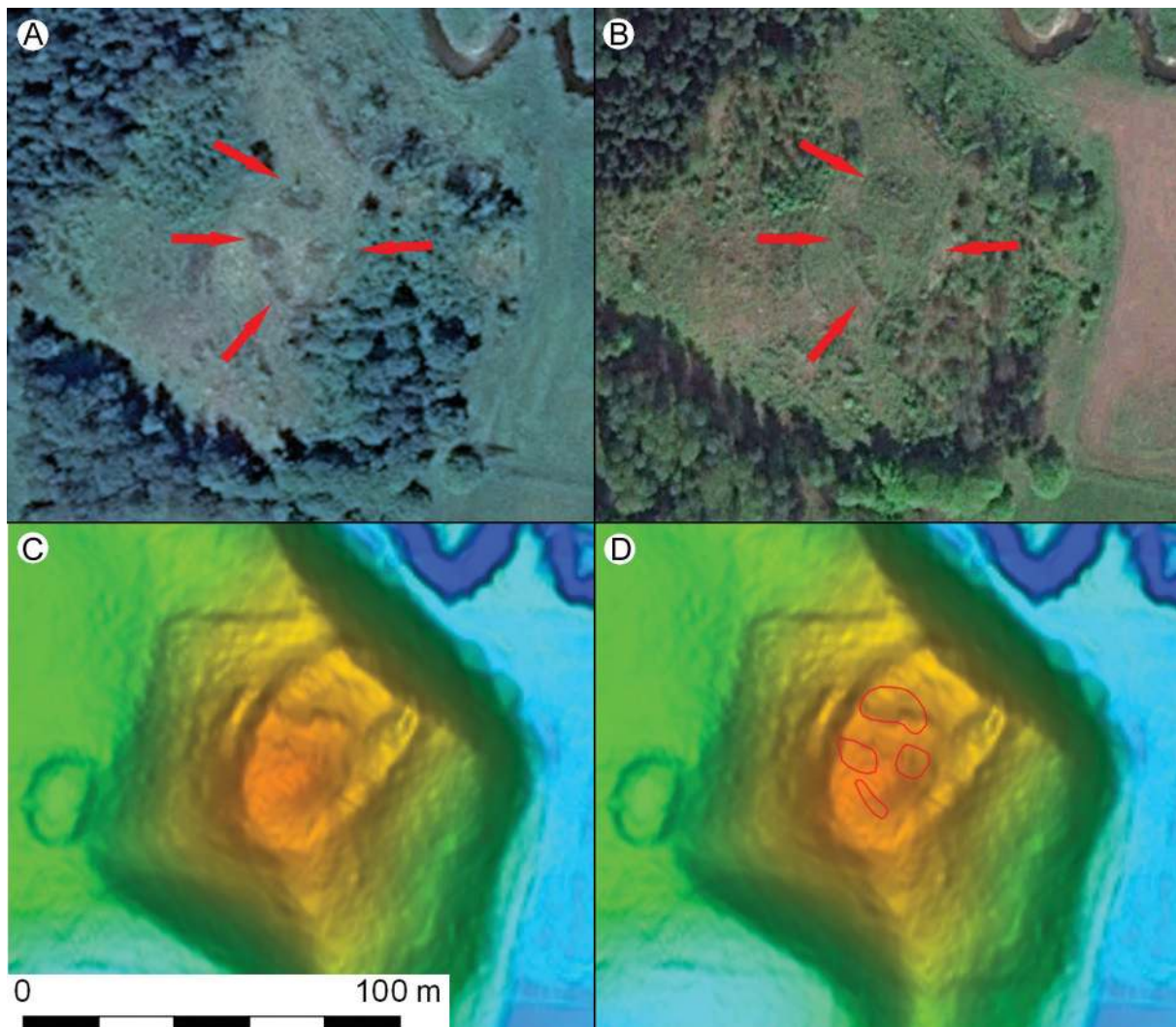
Majdan grodziska jest ovalny, o przekątnych w zakresie 27–47 m i powierzchni około 12 arów. Jego powierzchnia jest lekko wypukła, z wyraźną kulminacją w części południowej, która osiąga poziom około 111,20 m n.p.m. Jego północno-wschodnia część została podmyta i spadła do rzeki. Majdan otoczony był wałem, długości 120 m, który jest niemal w całości zniszczony. W najlepiej zachowanym miejscu, przy wschodniej krawędzi, jego wysokość dochodzi do 0,5 m przy szerokości u podstawy około 5,5 m. Tu także widoczne jest płytke zagłębienie przywałowe. Na całej pozostałe długości wysokość wału nie przekracza 0,1 m. Poniżej wału otaczającego majdan, na północno-zachodnim stoku, widoczny jest relikt drugiego wału, którego zachowana długość to 16 m.



Ryc. 3. Grodzisko w Wopach, st. 5
na zobrazowaniu ALS (na podstawie materiałów
GUGiK, oprac. R. Solecki)



Ryc. 4. Przekrój grodziska w Wopach, st. 5
uzyskany z danych ALS (na podstawie
materiałów GUGiK, oprac. R. Solecki)



Ryc. 5. Wopy, st. 5: A) zdjęcie lotnicze z 2014 roku z zaznaczonymi wyróżnikami wegetacyjnymi (źródło: Google Earth, CNS/Airbus), B) zdjęcie lotnicze z 2016 roku z zaznaczonymi wyróżnikami wegetacyjnymi (źródło: Google Earth, Maxar Technologies), C) Numeryczny Model Terenu w widokiem grodziska źródło: geoportal.gov.pl), D) Numeryczny Model Terenu w widokiem grodziska i z oznaczeniem granic występowania wyróżników wegetacyjnych (źródło: geoportal.gov.pl) (oprac. R. Solecki)

Jego wysokość dochodzi do 0,3 m, przy szerokości u podstawy około 4,5 m. Przestrzeń pomiędzy oboma wałami tworzy taras, który w przeszłości mógł być suchą fosą, a która wypełniała się spływami erozyjnymi.

Na zdjęciach lotniczych z serwisu Google Earth, które zostały wykonane w latach 2014 i 2016, widoczne są na obszarze majdanu cztery wyróżniki wegetacyjne (ryc. 5:A, B), sugerujące występowanie tam obiektów, być może antropogenicznych. Trzy z nich znajdują się w obrębie wypiętrzenia w południowej części majdanu, a czwarty zbliżony kształtem do prostokąta o wymiarach około 6×11 m, ułożony jest prostopadle do linii wału majdanu, w jego północno-zachodnim odcinku (ryc. 5:D). W trakcie badań wykopaliskowych prowadzonych w 2021 roku, to właśnie ten obiekt starano się rozpoznać, gdyż pozostałe były porośnięte roślinnością.

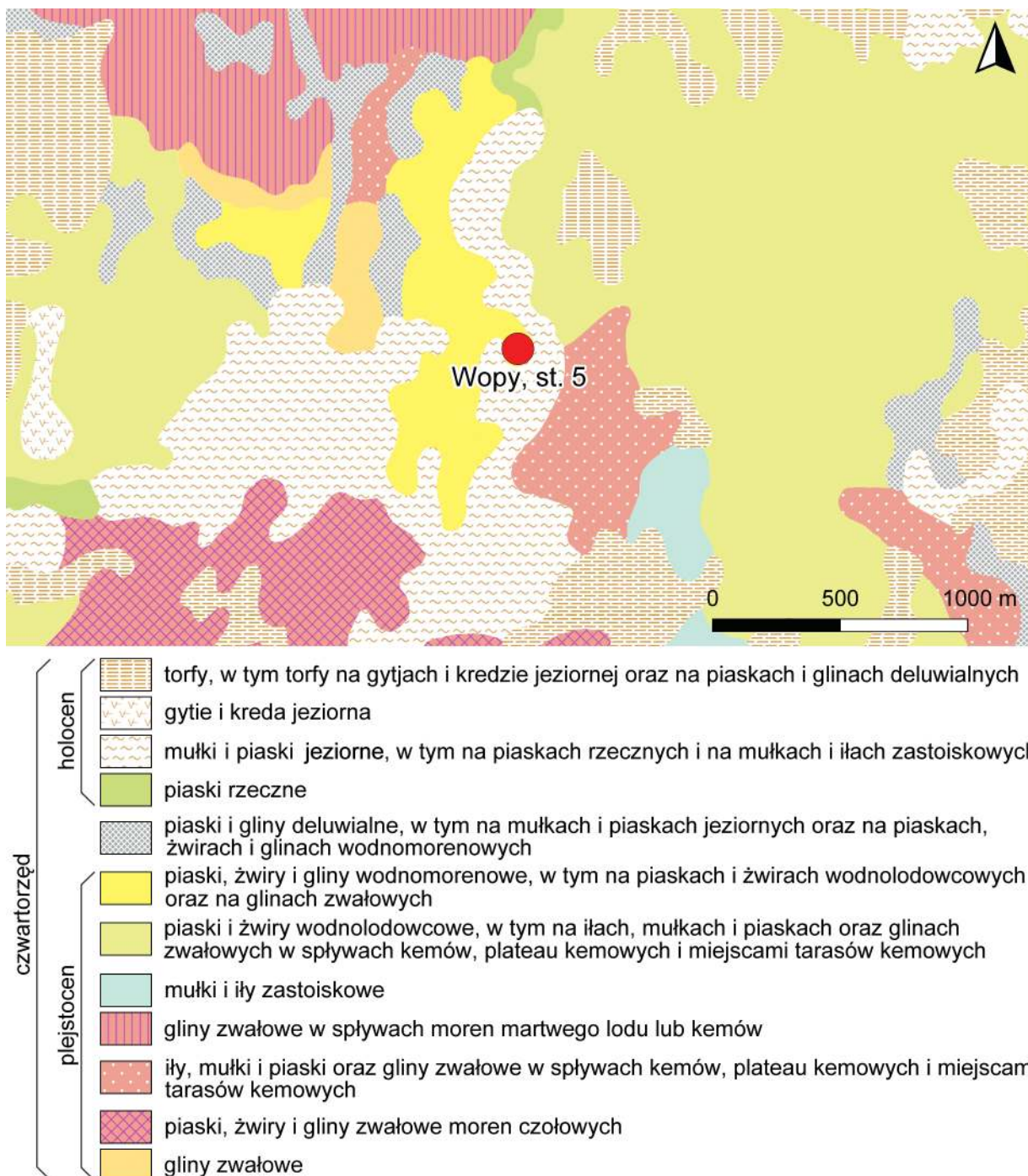
ŚRODOWISKO FIZYCZNO-GEOGRAFICZNE ANNA LEJZEROWICZ

Według podziału fizycznogeograficznego Polski Jerzego Kondrackiego, grodzisko w Wopach, st. 5 znajduje się w mezoregionie Wzniesienia Górowskie¹. Według *Szczegółowej Mapy Geologicznej Polski* w skali 1:50 000 (arkusz Górowo Iławeckie)² na obszarze stanowiska występują piaski, żwiry oraz gliny wodnomorenowe (ryc. 6). Według *Mapy Geologicznej Polski* w skali 1:500 000 stanowisko znajduje się na obszarze występowania piasków i żwirów sandrowych.

Teren badań znajduje się na synklinie perybałtyckiej platformy wschodnio-

¹ Kondracki 2002: 100–102.

² Kacprzak i Honczaruk 2014.



Ryc. 6. Wycinek arkusza Szczegółowej Mapy Geologicznej Polski z zaznaczonym stanowiskiem w Wopach, st. 5 (źródło: www.cbdgmapa.pgi.gov.pl/arcgis/services/kartografia/smgp50k/MapServer/WMServer, oprac. R. Solecki)

europejskiej. Utwory paleogenu stanowią tu bezpośrednie podłożę osadów czwartorzędowych – stwierdzone je w czterech odwiertach kartograficznych i dziesięciu badawczych³. W paleocenie środkowym obszar był dnem płytkiego zbiornika morskiego, na którym osadzały się piaski glaukonitowe. W eocenie i oligocenie miała miejsce akumulacja morska, a z kolei neogen był okresem lądowym, w trakcie którego sedymentowały mioceńskie piaski, mułki i ily, niekiedy

z przewarstwieniami węgla brunatnego. Następnie w pliocenie miała miejsce akumulacja jeziorna. W pleistocenie lądolody zlodowacenia. Na obszar ten wielokrotnie wkraczały lądolody: po dwa razy w trakcie zlodowaceń Narwi, Nidy i Odry. To ostatnie pozostało po sobie dwa poziomy glin zwałowych. Utwory ostatniego zlodowacenia – Wisły – zaliczono do dwóch stadiałów: środkowego (Świecia) i górnego (leszczyńsko-pomorskiego). Są one wykształcone głównie w postaci glin zwałowych rozdzielonych osadami

³ Kacprzak i Honczaruk 2014.

wodnolodowcowymi i zastoiskowymi, ale także utworów akumulacji szczelinowej tworzących wzgórza kemowe i ozy. Deglacjacja obszaru odbyła się arealnie. W holocenie ostatnie bryły martwego lodu zaczęły intensywnie topnieć i w obrębie dolin rzecznych zachodziła akumulacja piasków i mad, a w płytowych jeziorach i zagłębieniach osadzały się mułki i piaski⁴.

Grodzisko w Wopach położone jest na obszarze wysoczyzny morenowej falistej powstałe podczas recessji lądolodu zlodowacenia Wisły. Osadami budującymi tę wysoczyznę są piaski i żwiry wodnomorenowe (powstałe w wyniku krótkotrwałego przepływu wód roztopowych blisko czoła lądolodu), jak również gliny wodnomorenowe, które powstały na skutek spływu osadów błotnych⁵. Do tego obszaru przylega dolina rzeki Wałszy. Grodzisko zajmuje szczyt wzniesienia o wysokości około 16 m ponad dolinę rzeki Wałszy, która opływa stanowisko od wschodu. Zbocza wzniesienia są stosunkowo strome, a szczyt płaski.

Niemal całe wzniesienie jest gęsto porośnięte drzewami i krzewami (ryc. 7), co utrudniło obserwacje i przeprowadzenie wierceń. Z tego względu wykonano jedynie trzy wiercenia sondą ręczną do maksymalnej głębokości 2 m. W wierceniach zaobserwowano występowanie głównie osadów

⁴ Kacprzak i Honczaruk 2014.

⁵ Kacprzak i Honczaruk 2014.

piaszczystych oraz pylastycznych: piaski drobnoziarniste o różnym zabarwieniu, często z domieszkami związków żelaza; piaski pylaste oraz pyły. Szczegółowa litologia jest widoczna oraz została opisana na poszczególnych profilach wierceń na ryc. 8. Na podstawie wyników wierceń powstał schematyczny przekrój geologiczny (ryc. 9).

Wykonane wiercenia potwierdzają obecność na badanym stanowisku przede wszystkim piasków drobnoziarnistych i pylastycznych, jak również pyłów. Lokalnie osady zwierają związki żelaza, co nadaje im żółtawe czy też rdzawe zabarwienie. Osady te budują obszar wysoczyzny morenowej falistej, która wg Szczegółowej Mapy Geologicznej Polski w tym miejscu zbudowana jest z piasków i żwirów wodnomorenowych, jak również z glin wodnomorenowych które to powstały na skutek spływu osadów błotnych.

BADANIA ARCHEOLOGICZNE

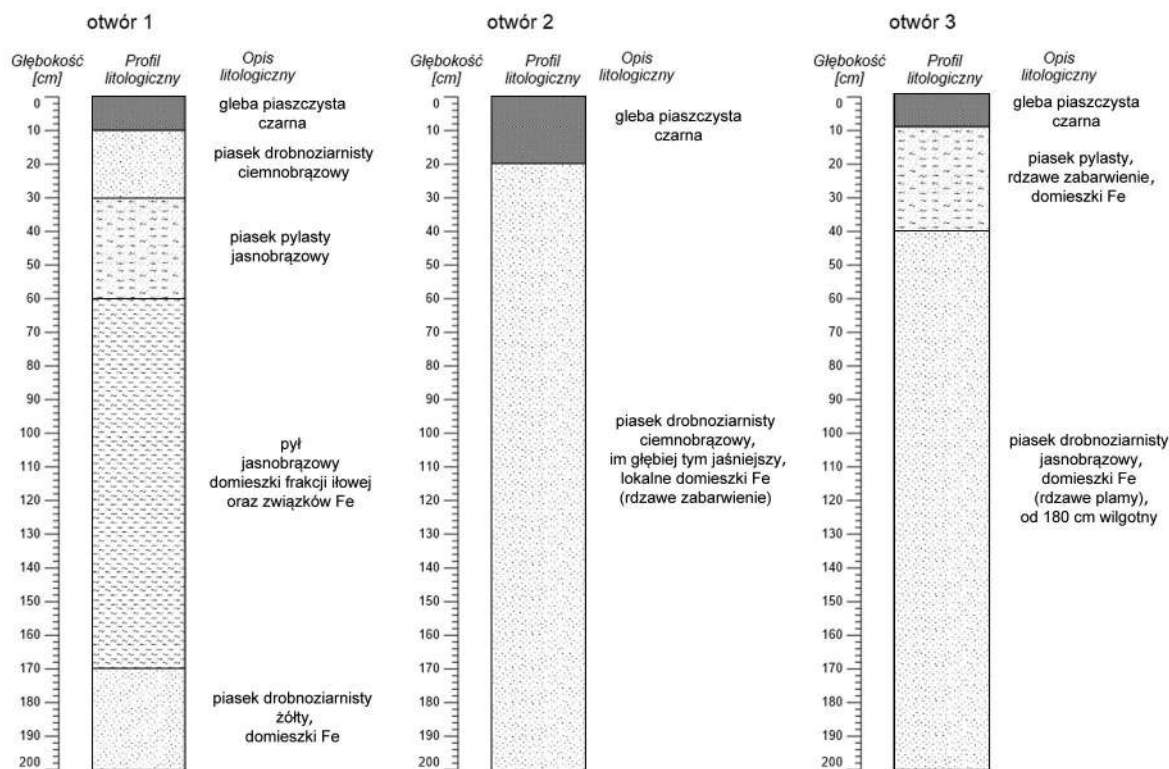
RAFAŁ SOLECKI

Przebieg badań terenowych

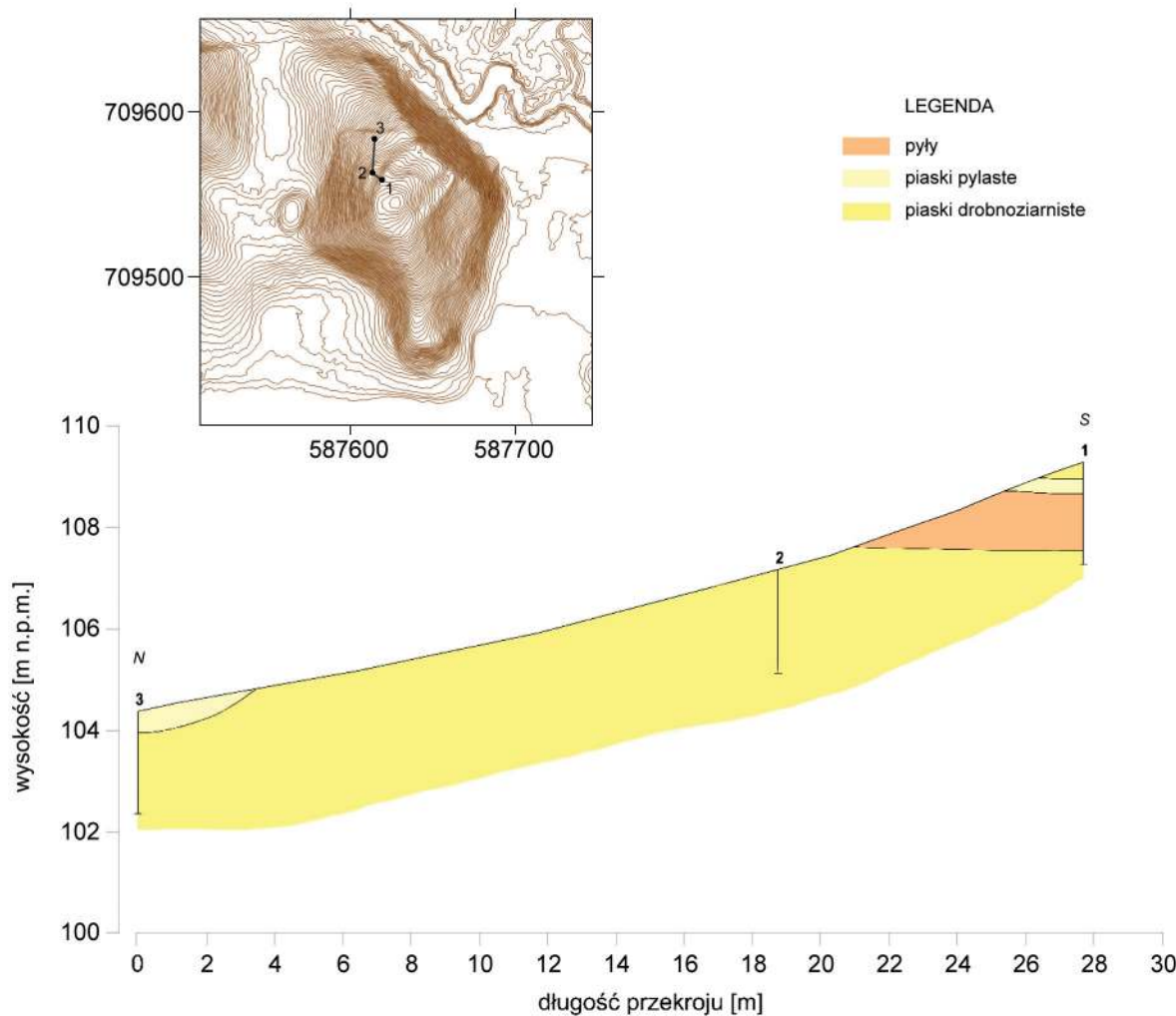
Grodzisko znaleziono, prowadząc analizę danych Numerycznego Modelu Terenu, udostępnionych na serwisie www.geoportal.gov.pl. W terenie stanowisko zweryfikowano latem 2020 roku. Wiosną 2021 roku przeprowadzono wiercenia geologiczne, a wczesną jesienią 2021 roku przystąpiono do badań wykopaliściowych.



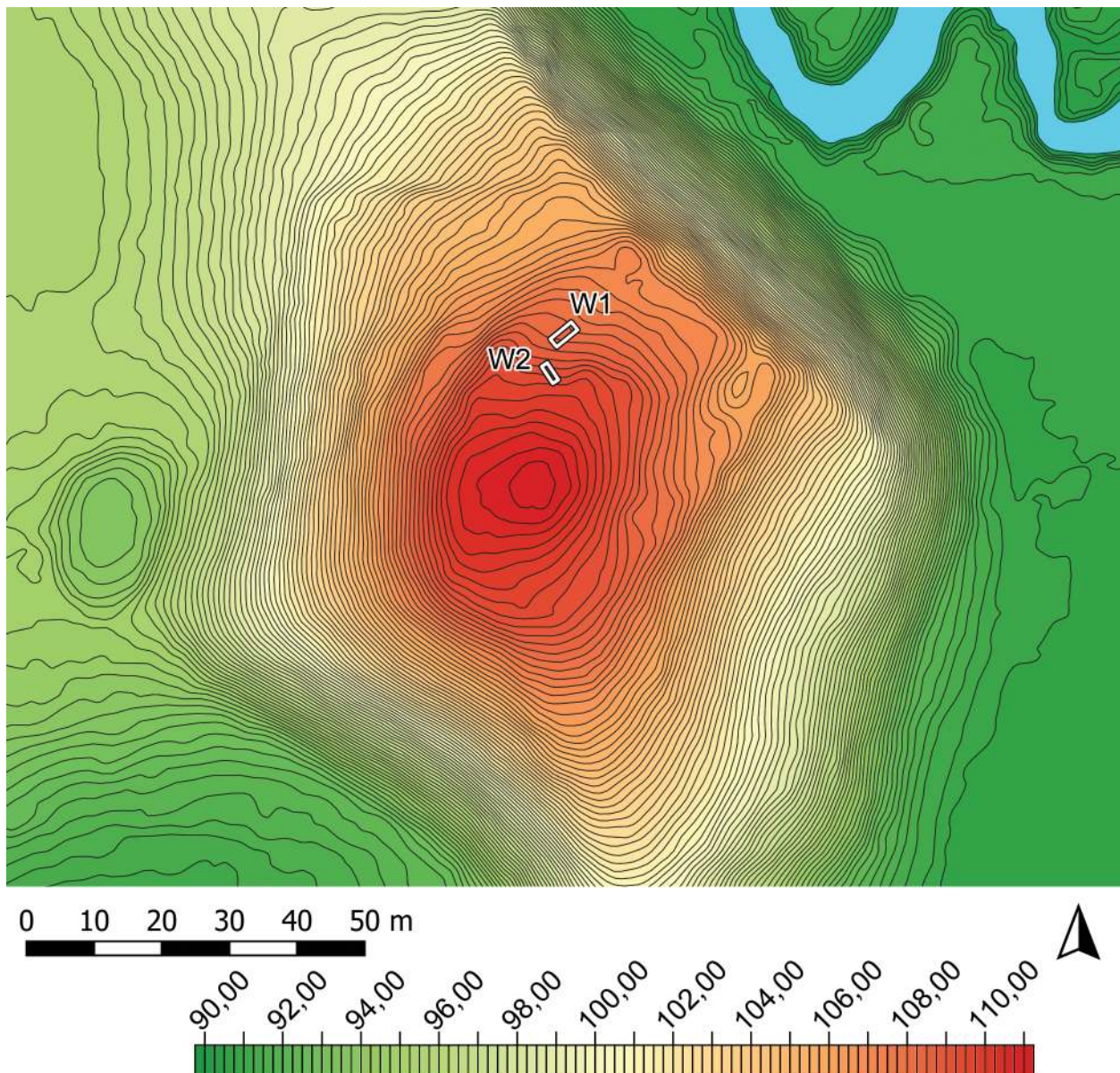
Ryc. 7. Wopy, st. 5. Zdjęcie poglądowe na majdan i wypiętrzenie znajdujące się w jego południowej części (fot. A. Lejzerowicz)



Ryc. 8. Profile litologiczne odwiertów wykonanych na obszarze grodziska w Wopach, st. 5 (oprac. A. Lejzerowicz)



Ryc. 9. Schematyczny przekrój geologiczny przez grodzisko w Wopach, st. 5 (oprac. A. Lejzerowicz)



Ryc. 10. Wopy, st. 5. Plan stanowiska z naniesionymi wykopami archeologicznymi (oprac. R. Solecki)

Możliwość wytyczania wykopów badawczych była bardzo utrudniona ze względu na fakt, że cały obszar stanowiska był porośnięty młodym lasem. Korzystając z uprzejmości władz Nadleśnictwa Górowo Iławeckie, pod którego zarządem znajduje się las, w którym zlokalizowane jest grodzisko, udało się oczyścić niewielki plac w północno-zachodniej części majdanu, w obrębie domniemanego zagłębiazenia przywałowego. W miejscu tym miał znajdować się wyróżnik wegetacyjny, widoczny na zdjęciach lotniczych – duży, nieregularnie prostokątny kształt, najbardziej wysunięty na północ (ryc. 5:A, B). Wytyczony tam wykop badawczy W1 miał wymiary $1,5 \times 4$ m. Na południe od niego, w odległości około 3 m, wytyczono W2 o wymiarach 1×3 m. Wykop ten miał za zadanie rozpoznać układ jedno-

stek stratygraficznych na stoku wyniesienia znajdującego się w południowej części majdanu. Położenie wykopów prezentuje ryc. 10.

Stratygrafia stanowiska

W trakcie badań archeologicznych wydzielono 17 jednostek stratygraficznych (tabela 1). Możliwe było ich rozdzielenie pomiędzy warstwy naturalne i cztery fazy „użytkowe”. Diagram Harrisa dla wydzielonych jednostek stratygraficznych przedstawia ryc. 11, a zadowolone powierzchnie ryc. 13–17.

Warstwy naturalne

W trakcie badań jako jednostkę naturalną zidentyfikowano popielaty piasek z żelazistymi wytrąceniami 11, który podczas przegłębia-

Tabela 1. Wopy, st. 5. Katalog warstw i obiektów oraz ich zależności stratygraficznych (oprac. R. Solecki)

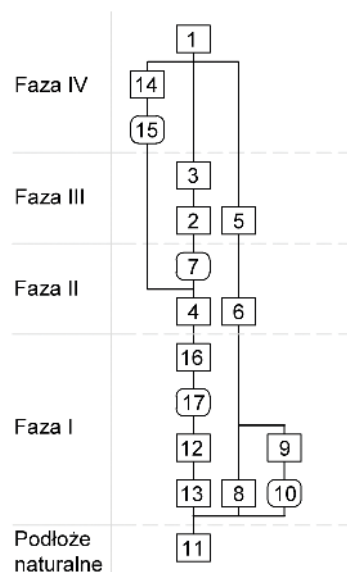
Numer jednostki	Numer obiektu	Numer wykopu	Położenie w obrębie stanowiska	Współrzędne geodezyjne (PUWG 1992)	Opis jednostki stratygraficznej	Barwa (Munsell)	Pozycja stratygraficzna	
							Zdaje się pod	Znajduje się nad
1	-	1, 2	zagłębienie przyawałowe i stok wypiętrzenia na majdanie	X=709560,3-709569,6; Y=587628,3-587633,9	Ciemna, mocno organiczna ziemia, silnie poprzeraстаana korzeniami; miąższość do 20 cm; humus leśny	10YR 2/2	-	2, 4, 5, 6, 14
2	7	1	zagłębienie przyawałowe	X=709565,8-709568,8; Y=587629,7-587632,5	Piaszczysta ziemia z pojedynczymi drobinami węgli drzewnych; miąższość do 55 cm; wypełnisko obiektu 7	10YR 4/2	1, 3	4, 7, 11, 12
3	7	1	zagłębienie przyawałowe	X=709567,1-709567,5; Y=587630,3-587630,9	Ilasty piasek tworzący ovalną soczewkę w stropie warstwy 2; średnica 35-50 cm, miąższość do 10 cm; wypełnisko obiektu 7	10YR 4/4	1	2
4	-	1	zagłębienie przyawałowe	X=709565,8-709569,3; Y=587629,7-587633,6	Ilasty piasek z drobinami węgli drzewnych i pojedynczymi kamieniami o średnicy do 15 cm; miąższość do 25 cm; poziom użytkowy w obrębie majdanu	10YR 5/3	2, 7, 14, 15	12, 16
5	-	2	stok wypiętrzenia na majdanie	X=709560,4-709562,9; Y=587629,0-587631,0	Ziemisty piasek; miąższość do 30 cm; warstwa erozyna	10YR 4/3	1	6, 8
6	-	2	stok wypiętrzenia na majdanie	X=709561,1-709563,5; Y=587628,4-587630,4	Piasek z domieszką materii organicznej; miąższość do 30 cm; poziom użytkowy w obrębie majdanu	10YR 5/4	1, 5	8, 9, 11
7	7	1	taras I	X=709565,8-709568,8; Y=587629,7-587632,5	Uchwycony fragmentarnie nieregularny wkop w kształcie płytka niecki; zarejestrowane wymiary do szerokości do 310 cm i głębokość do 55 cm; obiekt gospodarczy?	-	2	4, 11, 12
8	-	2	stok wypiętrzenia na majdanie	X=709560,4-709562,1; Y=587629,3-587631,0	Ilasty piasek; miąższość do 35 cm; warstwa formująca nasypy w południowej części majdanu	10YR 4/4	5, 6	11
9	10	2	stok wypiętrzenia na majdanie	X=709562,1-709563,1; Y=587628,5-587629,7	Ilasty piasek z drobinami węgli drzewnych; wypełnisko obiektu 10	10YR 7/3	6	10, 11
10	10	2	stok wypiętrzenia na majdanie	X=709562,1-709563,1; Y=587628,5-587629,7	Uchwycony fragmentarnie płytki, nieckowaty w przekroju rowek; zarejestrowane wymiary do szerokości do 85 cm i głębokości do 15 cm; funkcja nieokreślona	-	9	11
11	-	1, 2	zagłębienie przyawałowe	X=709560,3-709569,6; Y=587628,3-587633,9	Popielaty piasek z żelazistymi wytraceniami, podczas przegląbania coraz bardziej gliniasty; warstwa naturalna	10YR 6/4	6, 8, 9, 10, 12, 13	-
12	-	1	zagłębienie przyawałowe	X=709565,8-709569,3; Y=587629,7-587633,6	Drobnoziarnisty piasek; miąższość do 35 cm; niwelacja formująca plateau majdanu	10YR 7/3	2, 4, 7, 16, 17	11, 13
13	-	1	zagłębienie przyawałowe	X=709567,5-709569,3; Y=587630,9-587633,1	Drobnoziarnisty piasek z domieszką frakcji ilastej; miąższość do 20 cm; niwelacja formująca plateau majdanu	10YR 8/2	12	11
14	15	1	zagłębienie przyawałowe	X=709567,5-709569,3; Y=587632,4-587633,8	Przemieszany, ziemisty, luźny piasek; wypełnisko obiektu 15	10YR 5/4	1	4, 11, 15
15	15	1	zagłębienie przyawałowe	X=709567,5-709569,3; Y=587632,4-587633,8	Uchwycony fragmentarnie nieregularny obiekt; zarejestrowane wymiary do szerokości do 160 cm i głębokości do 50 cm; wkop związany z zakładaniem szkółki leśnej	-	14	4, 11
16	17	1	zagłębienie przyawałowe	X=709562,0-709562,6; Y=587632,1-587632,8	Drobnoziarnisty piasek z niedużą domieszką materii organicznej; wypełnisko obiektu 17	10YR 4/4	4	11, 12, 17
17	17	1	zagłębienie przyawałowe	X=709562,0-709562,6; Y=587632,1-587632,8	Uchwycony fragmentarnie wkop, kolisty w planie, U-kształtny w profilu; średnica 55 cm, głębokość do 35 cm; prawdopodobnie dół posłupowy	-	16	11, 12

nia stawał się coraz bardziej ilasty (gliniasty). Najwyższy zanotowany punkt naturalnego podłoża geologicznego znajdował się w W2, gdzie osiągał poziom 109,00 m n.p.m. i podniósł w kierunku szczytu wyniesienia.

Faza I

Fazę tę należy wiązać z pracami budowlanymi mającymi na celu zaaranżowanie szczytu wyniesienia na cele osiedla obronnego. Do fazy tej zaliczono dwie układające się ho-

ryzontalnie warstwy widoczne w W1: drobnoziarnisty piasek z domieszką frakcji ilastej 13 oraz drobnoziarnisty piasek 12. Ich łączna miąższość wynosi około 30 cm. Są to najpewniej niwelacje związane z formowaniem *plateau* majdanu. W trakcie eksploracji tych warstw nie znaleziono żadnego materiału zabytkowego. W stropie warstwy 12 zado dokumentowano kolisty w planie, U-kształtny w profilu wkop 17, średnicy około 55 cm i głębokości do 35 cm. Jego wypełniskiem był drobnoziarnisty piasek z niedużą domieszką



Ryc. 11. Wopy, st. 5. Diagram relacji stratygraficznych (oprac. R. Solecki)

materii organicznej 16. Obiekt ten to zapewne dół posłupowy. W W2 z fazą tą połączono uchwycony fragmentarycznie płytki, nieckowaty w przekroju rowek 10, którego zarejestrowane wymiary to szerokość do 85 cm i głębokość do 15 cm. Obiekt ten układał się równolegle do podstawy wyniesienia w południowej części majdanu. Jego wypełniskiem był ilasty piasek z drobinami węgli drzewnych 9. Być może zagłębienie to miało zbiegać i odprowadzać wodę opadową spływającą z wyniesienia? Na stoku wspomnianego wyniesienia wydzielono ilasty piasek 8, którego miąższość dochodziła do 35 cm. Warstwa ta formowała jego powierzchnię, a być może także była jedną z warstw tworzących nasyp.

Faza II

Faza ta wyznacza okres funkcjonowania stanowiska w okresie wpływów rzymskich. Zaliczono do niej dwie warstwy – w W1 ilasty piasek z drobinami węgli drzewnych i pojedynczymi kamieniami 4, a w W2 piasek z domieszką materii organicznej 6 – tworzące poziom użytkowy. Z warstwy 4 pobrano próbę węgla do analizy radiowęglowej. Wynik tej analizy dał po kalibracji przedział lat 125–318 n.e. z prawdopodobieństwem 95,4%. Przy prawdopodobieństwie 88,2% przedział zawiera się do lat 125–252 n.e.⁶ Z warstwy tej pozyskano



Ryc. 12. Wopy, st. 5. Zdjęcie poglądowe żarna nieckowatego *in situ* (fot. R. Solecki)

około 80% wszystkich znalezionych w trakcie badań fragmentów ceramiki oraz fragment żarna nieckowatego. Strop warstwy 4 był naruszony przez nieregularny wkop 7 w kształcie płytkiej niecki, którego zarejestrowane wymiary to szerokość do 310 cm i głębokość do 55 cm. Wspomniane powyżej żarno znalezione na styku warstwy 4 i obiektu 7 (ryc. 12). Nie można wykluczyć, że był to obiekt o funkcji gospodarczej, który umieszczono przy krawędzi wału majdanu, w obrębie znajdującego się tam zagłębienia.

Faza III

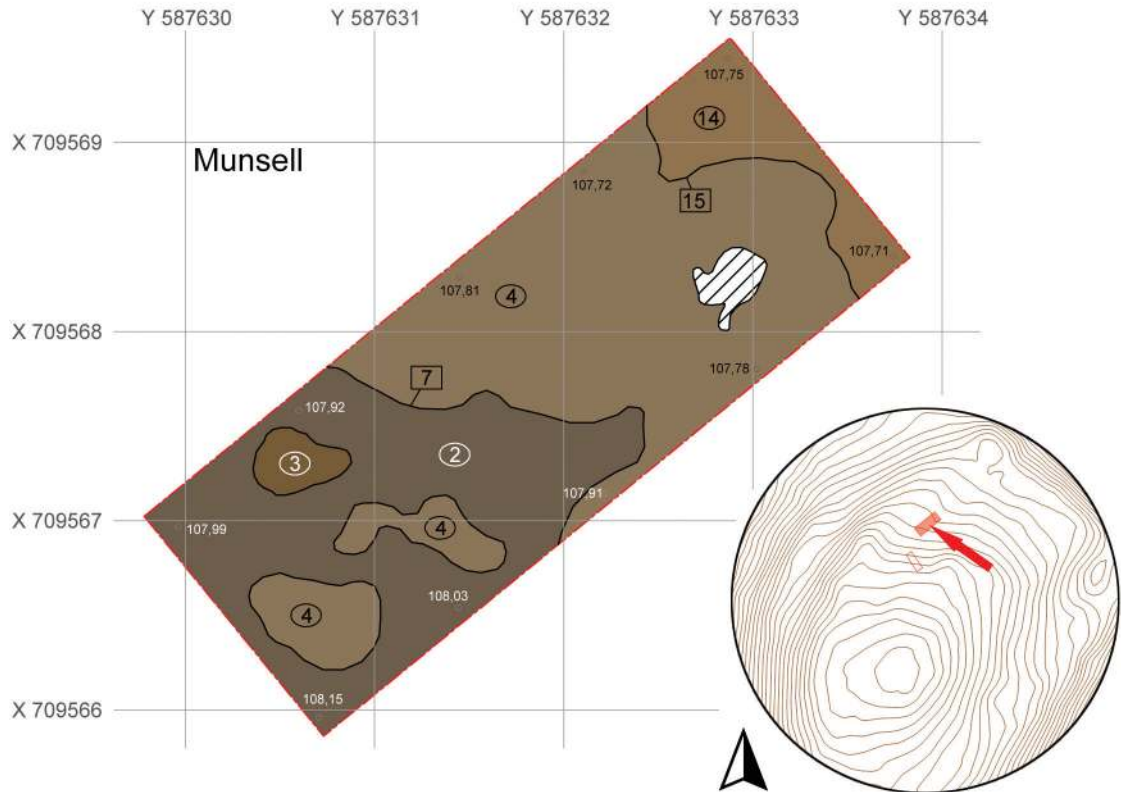
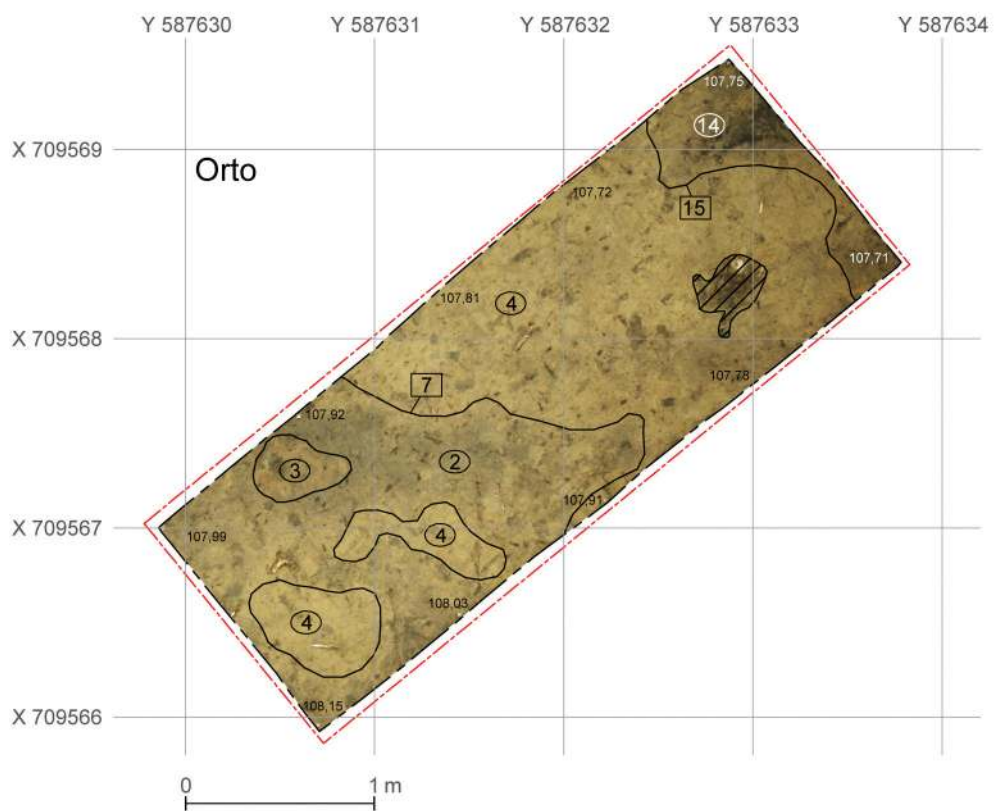
Faza ta wyznacza okres po opuszczeniu stanowiska, kiedy jego obszar był stopniowo niszczony w wyniku działania procesów erozyjnych.

Warstwy związane z tą fazą to piaszczysta ziemia z pojedynczymi drobinami węgli drzewnych 2 i ilasty piasek 3, które wydzielono w granicach obiektu 7. Powstały one najpewniej w trakcie rozmywania warstwy 4. W W2 z fazą tą należy łączyć ziemisty piasek 5, który jest erozyjnym spływem na stoku wyreaterenia, w południowej części majdanu.

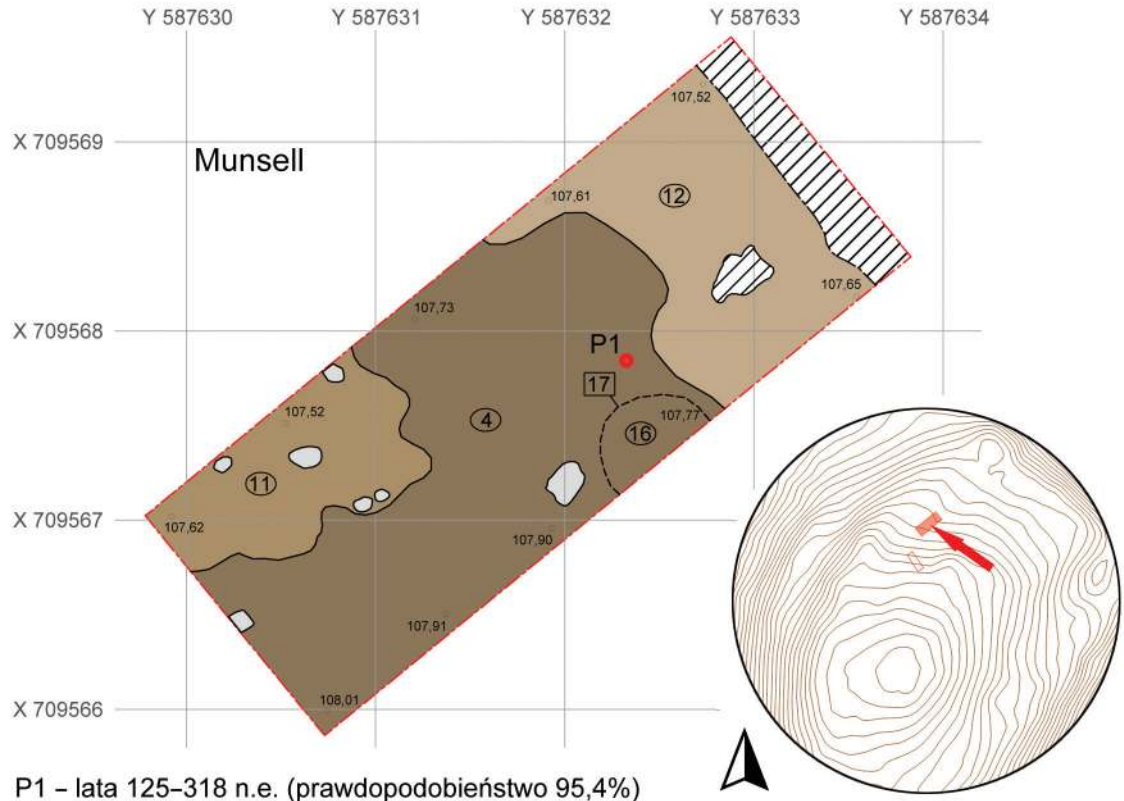
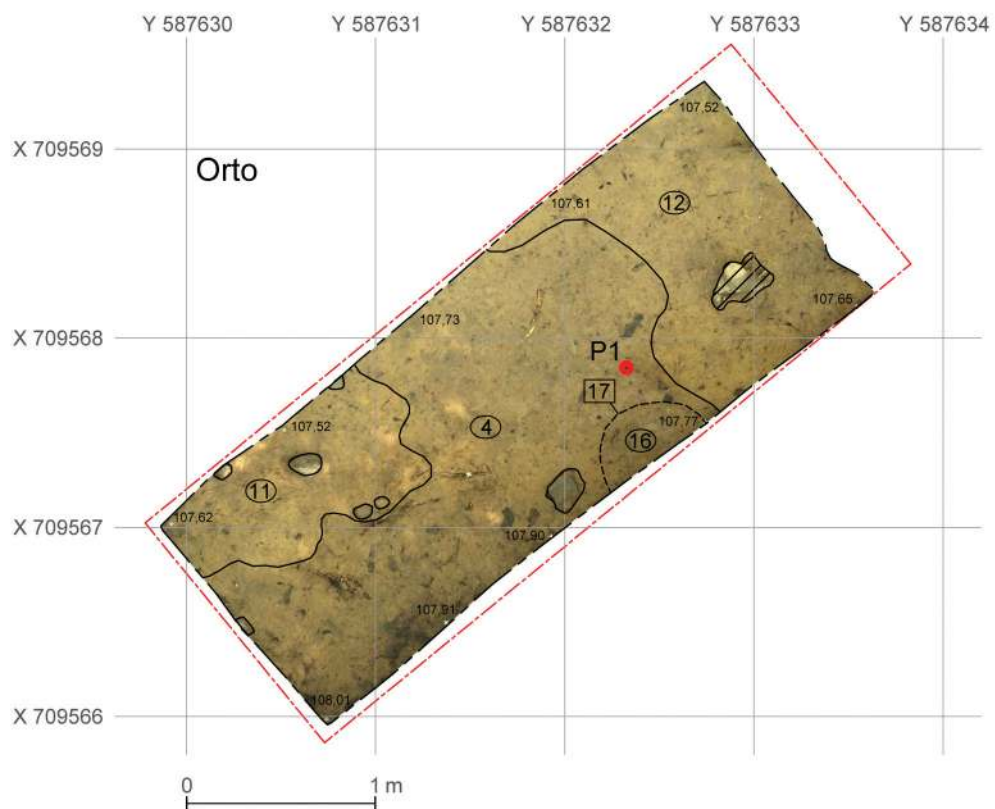
Faza IV

Faza ta wyznacza współczesny poziom użytkowy stanowiska. Warstwa przypisana do tej fazy to ciemna, mocno organiczna ziemia, silnie poprzerastana korzeniami 1 – poziom

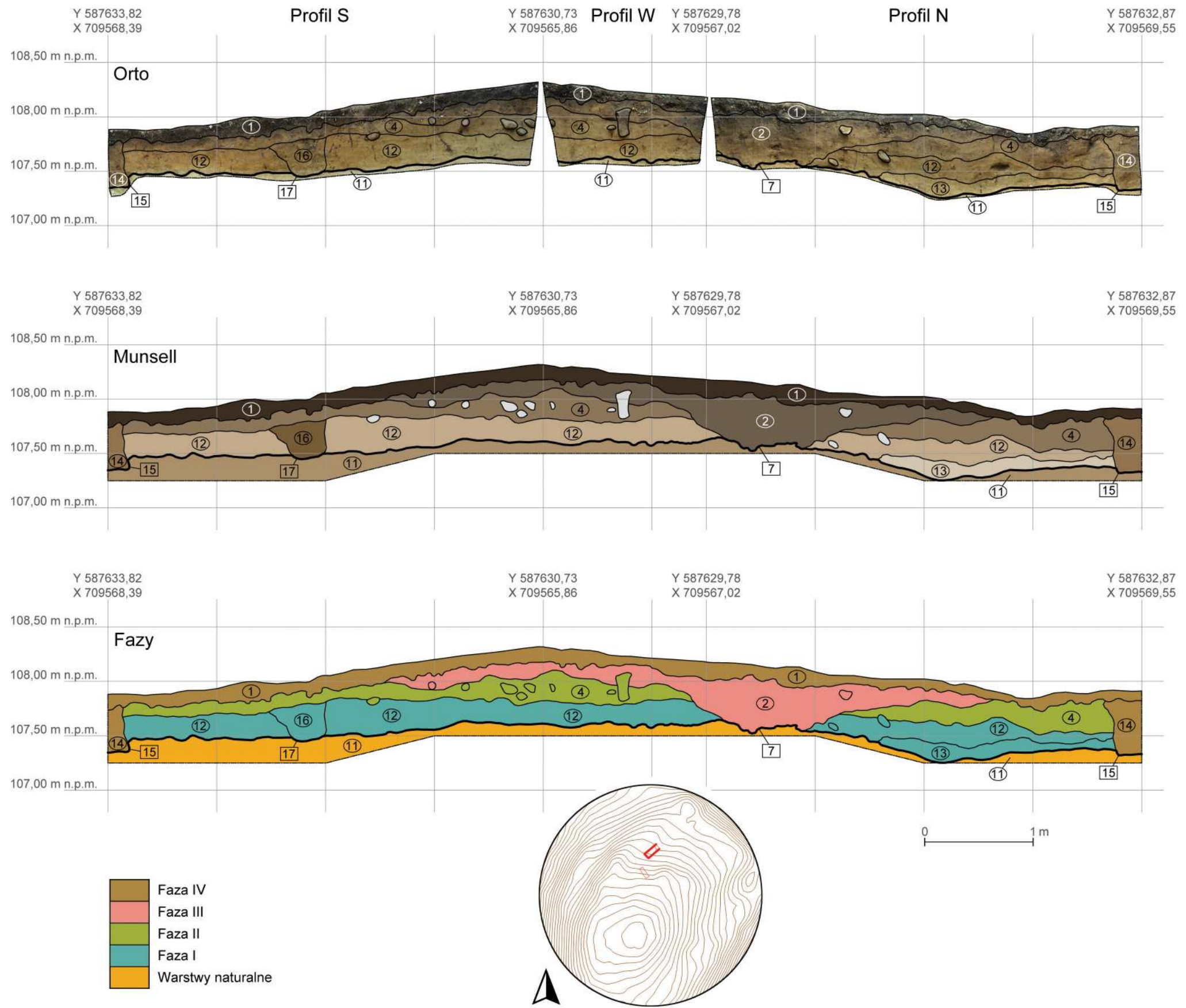
⁶ Analiza przeprowadzona w Poznańskim Laboratorium Radiowęglowym, próba nr Poz-149694.



Ryc. 13. Wopy, st. 5. Stratygrafia nawarstwień na granicy majdanu i zagłębienia przywałowego – wykop 1 (oprac. R. Solecki)



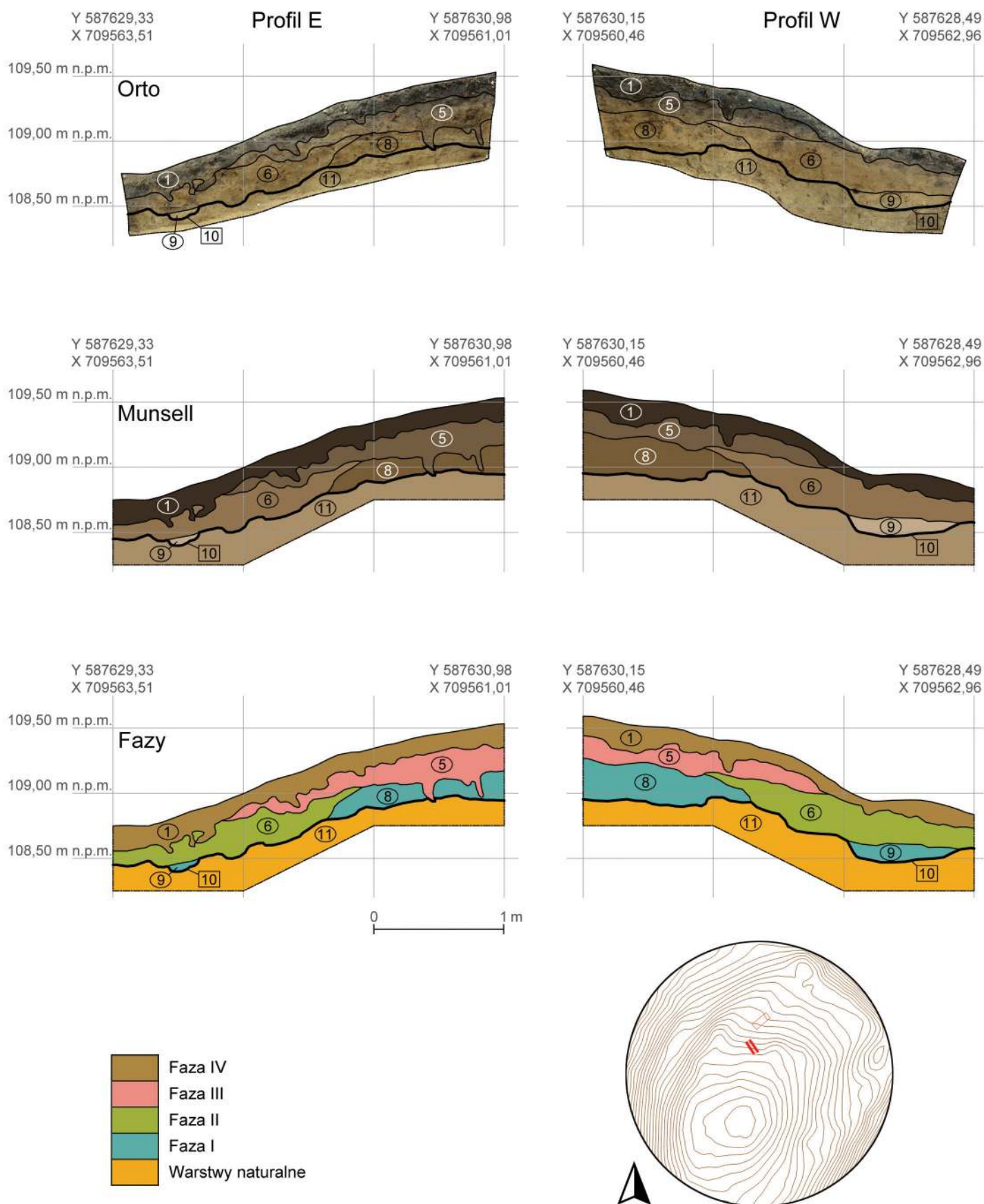
Ryc. 14. Wopy, st. 5. Stratygrafia nawarstwień na granicy majdanu i zagłębienia przywałowego – wykop 1 (oprac. R. Solecki)



Ryc. 15. Wopy, st. 5. Stratygrafia nawarstwień na granicy majdanu i zagłębienia przywałowego – wykop 1 (oprac. R. Solecki)



Ryc. 16. Wopy, st. 5. Stratygrafia nawarstwień w stoku wypiętrzenia w południowej części majdanu – wykop 2 (oprac. R. Solecki)



Ryc. 17. Wopy, st. 5. Stratygrafia nawarstwień w stoku wypiętrzenia w południowej części majdanu – wykop 2 (oprac. R. Solecki)

dzisiejszego humusu leśnego. Z fazą tą należy łączyć także nieregularny wkop 14, którego wypełniskiem był przemieszany, ziemisty, luźny piasek 15. Być może jest to ślad po usuwaniu pnia po przeprowadzeniu ścinki, a przed założeniem szkołki leśnej. Szkółka na obszarze grodziska została założona po 2016 roku.

ZNALEZISKA

RAFAŁ SOLECKI

Na materiał zabytkowy pozyskany w trakcie badań archeologicznych grodziska w Wopach, st. 5 w 2021 roku składa się zbiór fragmentów ceramiki i żarno nieckowatej.

Ceramika

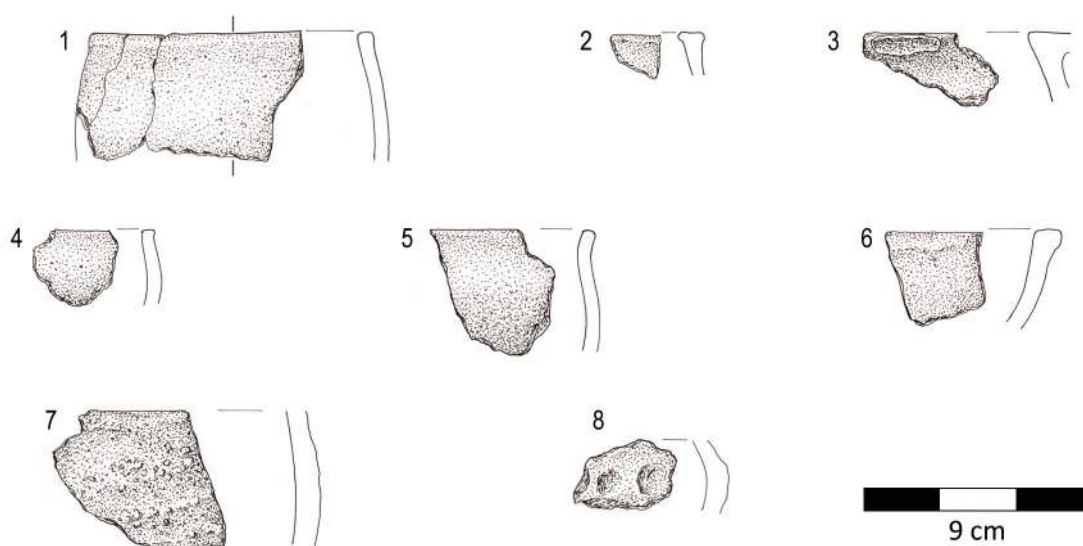
W trakcie badań pozyskano 83 fragmenty ceramiki. Ich stan zachowania można określić jako zły. Przeważają skorupy małe, których największy wymiar mieści się w przedziale 1–4 cm (75 fragmentów; 90,3% zbioru). Stosując klasyfikację stanu zachowania powierzchni i krawędzi zaproponowaną przez Andrzeja Buka, 33 fragmenty (39,8% zbioru) przypisano do kategorii III (ceramika mocno zerodowana), 45 fragmentów (54,2% zbioru) do kategorii II (ceramika zerodowana w średnim stopniu) i 5 fragmentów (6% zbioru) do kategorii I (ceramika nie wykazująca większego zniszczenia powierzchni). Do kategorii 0 (ceramika bez śladów zniszczenia) nie zakwalifikowano ani jednego fragmentu⁷. Z tego

⁷ Buko 1990: 352.

względem ponad połowa zbioru (46 fragmentów; 55,4% zbioru) określono jako fragmenty niediagnostyczne.

37 fragmentów (44,6% zbioru), które posiadały jakiekolwiek cechy diagnostyczne, reprezentowały generalnie jedną grupę technologiczno-surowcową. Naczynia wykonane były ze słabo wyrobionej masy ceramicznej z dość dużą ilością drobnej i średniej domieszki schudzającej – piasku i drobin startego granitu, często barwy czerwonej. Na fragmentach o niechropowaconej powierzchni sporadycznie występowała także mika. Powierzchnia zewnętrzna 28 fragmentów była chropowacna, 8 była szorstka, a 1 fragment miał powierzchnię gładką. Powierzchnia wewnętrzna generalnie gładka, ze śladami zagładzania. Grubość ścianek wahala się w zakresie 5–9 mm, ze średnią 7 mm. Naczynia wypalane były w niezaawansowanej technologii utleniającej – powierzchnia pozyskanych fragmentów nie miała jednorodnej barwy, przechodziła od szarości, przez brązy, do pomarańczowej, a same fragmenty łatwo nasiąkały wodą, stawały się miękkie i się kruszyły.

Duży stopień rozdrobnienia materiału ceramicznego nie pozwolił na rekonstrukcję ani jednej pełnej formy naczynia. W jednym przypadku – prawdopodobnie naczynia o kształcie jajowatym (ryc. 18:1) – udało się ustalić średnicę wylewu, która miała 11 cm. Naczynie takie można zaliczyć do typu VII wg klasyfikacji Mirosława Hoffmanna. Bez pełnej formy naczynia nie jest możliwe określenie grupy i odmiany, a w takim przypadku rozciągłość



Ryc. 18. Wopy, st. 5. Ceramika starożytna (rys. B. Karch)

Tabela 2. Zestawienie ilościowe fragmentów ceramiki z grodziska w Wopach, st. 5 (oprac. R. Solecki)

Faza	Jedn. strat.		Kategorie wielkościowe (cm)										Stopień erozji	Suma	
			1	2	3	4	5	6	7	8	9	10	0		
II	4	1	25	17	16	2	3	2	1				2	35	30
II	6	1		1									1		1
III	2	12	5		12	4		5	3	1			2	7	3
III	5	1	1		1		1								1
IV	1	2	2	1	5	1		2						1	1
Suma	83	16	13	66	70	28	1	40	14	1			5	45	33
															83

Tabela 3. Fragmentacja i erozja fragmentów ceramiki z grodziska w Wopach, st. 5 (oprac. R. Solecki)

Faza	Jedn. strat.		Kategorie wielkościowe (cm)										Stopień erozji	Suma	
			1	2	3	4	5	6	7	8	9	10	0		
II	4	1	25	17	16	2	3	2	1				2	35	30
II	6	1		1									1		1
III	2		11		1								2	7	3
III	5		1											1	1
IV	1		2											2	2
Suma	1	38	17	19	2	3	2	1					5	45	33
															83

chronologiczna sięga od schyłku epoki brązu, aż po wczesny okres przedrzymski⁸. Zbliżony, lekko esowaty kształt profilu wylewu miały jeszcze dwa fragmenty (ryc. 18:4–5). Dwa wylewy (ryc. 18:2–3) miały krawędź zachyloną do wnętrza, a jeden z nich zaopatrzony był w taśmowate ucho (ryc. 18:3). Zdobienia zaobserwowano tylko na dwóch fragmentach. Pierwszy fragment brzuśca zaopatrzony był w listwę plastyczną, którą ozdobiono odciiskiem paznokcia (ryc. 18:8). Dobrą analogią dla takiego zdobienia są dwa fragmenty znalezione w warstwie kulturowej przy cmentarzysku kulturowym w Strużynie, pow. ostródzki, które datowane jest na schyłek epoki brązu i początek epoki żelaza (HaD/VIEB)⁹. Na fragmencie wylewu, prawdopodobnie misy (ryc. 18:6), bardzo słabo widoczne były nakłucia, które pierwotnie mogły tworzyć skośne linie. Na jednym fragmencie brzuśca o chropowaczej powierzchni czytelne były ślady po pociągnięciach palcami (ryc. 18:7), ale raczej jest to ślad po rozprowadzaniu masy chropowaczej niż faktyczne zdobienie.

Niemal wszystkie fragmenty (31; 83,8% zbioru) z grupy diagnostycznych znaleziono w warstwach należących do fazy II. Pozostałe sześć fragmentów znaleziono na wtórnym złożu, w warstwach erozyjnych (faza III) i we współczesnym humusie leśnym (faza IV).

⁸ Hoffmann 2000: 88–99, ryc. 41.

⁹ Gładki i Jaremek 2021: 88–89.

Zabytki wydzielone

Jednym zabytkiem wydzielonym, znalezionym w trakcie badań wykopaliskowych, było żarno nieckowate (ryc. 19). Zabytki tego typu znane są z kilku wczesnożelaznych osiedli obronnych kultury kurhanów zachodnio-bałtyjskich: w Tątławkach, pow. ostródzki¹⁰, w Wysokiej Wsi, pow. ostródzki, st. 7¹¹ i st. 8¹² i w Wieprzu, pow. iławski¹³. Znaleziono je także na wspomnianym nieco wcześniej cmentarzysku kurhanowym w Strużynie¹⁴. Generalnie jednak zabytki tego typu nie są dobrym datownikiem, gdyż występują na terenie Polski północnej zarówno wcześniej, już na przełomie neolitu i wczesnej epoki brązu¹⁵, jak i później, w okresie wpływów rzymskich¹⁶.

CHRONOLOGIA I DZIEJE GRODZISKA W WOPACH, ST. 5

RAFAŁ SOLECKI

Zakres przeprowadzonych badań wykopaliskowych na grodzisku w Wopach, st. 5 był bardzo ograniczony, gdyż obejmował obszar zaledwie 9 m². Liczba pozyskanych źródeł, jak na taką małą powierzchnię, jest znaczna, ale ich interpretacja nastręcza jednak pewnych

¹⁰ Kobylińska 2017a: 134–135.

¹¹ Solecki, Welc i Nowacki 2021: 127–132.

¹² Rabiega *et al.* 2021: 97–98, 114.

¹³ Kobylińska 2017b: 259.

¹⁴ Gładki i Jaremek 2021: 88–92.

¹⁵ Kurzyk i Ostasz 119–122.

¹⁶ Gryzińska-Sawicka 2012: 97–98.



Ryc. 19. Wopy, st. 5. Żarno nieckowate (fot. R. Solecki)



problemów. Dotyczy to zwłaszcza określenia chronologii funkcjonowania stanowiska. Mianowicie, w trakcie przeprowadzonych badań wydzielono dwie główne fazy użytkowe. Faza I związana jest z formowaniem powierzchni majdanu i najpewniej umocnień. Z jednostek stratygraficznych związanych z tą fazą nie pozyskano niestety żadnego materiału zabytkowego ani prób węgla. Faza II związana jest z użytkowaniem powierzchni majdanu. Z warstw związanych z tą fazą pozyskano niemal cały materiał zabytkowy oraz próbę węgla, która pozwoliła na uzyskanie datowania bezwzględnego. Wynik analizy radiowęglowej wskazał po kalibracji na przedział lat 125–318 n.e. z prawdopodobieństwem 95,4%, a przy zmniejszeniu prawdopodobieństwie do 88,2% przedział lat zawodził się do okresu 125–252 n.e.¹⁷ Odpowiada on w chronologii względnej fazom B_{2b} – C_{1b} periodyzacji okresu wpływów rzymskich¹⁸. W tym czasie grodzisko w Wopach znajdowało się na pograniczu kultur wielbarskiej i Dollkeim-Kovrovo¹⁹.

Dalsze ustalenia, ze względem na ograniczony zakres badań, należy traktować, jako hipotetyczne. Ocena chronologii i/lub afiliacji kulturowej zbioru ceramiki jest utrudniona, gdyż pozyskany materiał jest silnie rozdrobniony i zerodowany. Przejawia on co prawda cechy, które pozwalają go łączyć z bałtyjską, wczesnożelazną kulturą kurhanów zachodniobałtyjskich, ale powiązania te nie są silne, zwłaszcza bez możliwości rekonstrukcji żadnej pełnej formy naczynia. Przykładowo ślady chropowacenia powierzchni i obmazywania można także znaleźć na naczyniach charakterystycznych dla kultury wielbarskiej²⁰, ale również w kulturze Dollkeim-Kovrovo²¹. Nie można także wykluczyć, że w obrębie pozyskanego zbioru znajdują się zarówno zdeponowane na wtórnym złożu fragmenty starsze (wczesnożelazne), jak i młodsze (z okresu wpływów rzymskich), a ich prawidłowe rozdzielenie utrudnia zły stan zachowania. Tu trzeba jednak wskazać, że w analizowanym zbiorze brak jest ułamków naczyń cha-

rakterystycznych dla kultury wielbarskiej, które można by przypisać do form stołowych, o zupełnie odmiennej technologii produkcji – cienkościennych o wyścieconej powierzchni zewnętrznej²². Można je raczej dopasować do form tzw. kuchennych o grubszych ścianach i bardziej szorstkiej powierzchni zewnętrznej. Technologia produkcji analizowanych naczyń bliższa jest kręgowi bałtyjskiemu i zbiorem ceramiki z tamtejszych osiedli obronnych – przykładowo z pobliskich Wilknitów²³. Dlatego też bardziej prawdopodobne jest wiązanie osadnictwa zarejestrowanego w Wopach z kręgiem bałtyjskim.

Warto tu także przytoczyć słowa Jerzego Okulicza odnoszące się do grupy sambijsko-natangijskiej (to inna nazwa kultury Dollkeim-Kovrovo). Wskazywał on, że u ludności tej grupy „obserwuje się silne nawiązania do miejscowej tradycji wczesnej epoki żelaza”²⁴. Co prawda w dalszym opisie przytoczone są raczej kontynuacje dotyczące obrządku pogrzebowego, ale pewne analogie do form naczyń także są uchwytnie – przykładowo dwustoszkołkowe kubki o esowatym profilu²⁵. Ludność tej grupy miała, według badacza, w okresie wczesnorzymskim tworzyć dwa skupiska, pierwsze w rejonie Marmonowa (obecnie w Obwodzie Kaliningradzkim nad Zalewem Wiślanym), a drugie w rejonie Bartoszyc. Wopy położone są szacunkowo w połowie odległości pomiędzy tymi miejscowościami (około 30–35 km w linii prostej). Być może zatem ślady osadnictwa w Wopach datowane na okres wpływów rzymskich należy wiązać właśnie z tą kulturą.

Tu też należy wspomnieć o formie samego grodziska. Obecnie czytelny jest majdan i wydzielający go relikt wału. Być może pierwotnie na stoku poniżej majdanu znajdował się taras, którego nieduży odcinek widoczny jest od strony północno-zachodniej. Taka forma, z majdanem otoczonym za pomocą co najmniej dwóch wałów, charakterystyczna jest dla wczesnożelaznych osiedli obronnych kultury kurhanów zachodniobałtyjskich²⁶. W niedużej odległości od Wopów znajdują się dwa tego typu osiedla obronne – w Lubiance

¹⁷ Analiza przeprowadzona w Poznańskim Laboratorium Radiowęglowym, próba nr Poz-149694.

¹⁸ Kontny 2005: 60.

¹⁹ Cieśliński 2016: 224–226; Mączyńska 2019: 43–49, ryc. 5.

²⁰ Wołagiewicz 1993: 12, tabl 3:2.

²¹ Chilińska-Früboes 2018: 17–19.

²² Wołagiewicz 1993: 11–12.

²³ Grodzisko omówione w niniejszym tomie.

²⁴ Okulicz 1973: 366.

²⁵ por. Hoffmann 2000: ryc. 41; Okulicz 1973: ryc. 181.

²⁶ Solecki 2021.

(odległej o 4 km) i w Wilknitach (odległych o 9 km)²⁷. Wiązanie tych umocnień z ludnością kultury wielbarskiej jest mniej prawdopodobne, gdyż taka forma osadnictwa nie jest dla tej kultury znamienna. Z kolei w kręgu bałtyjskim budowa osiedli obronnych na szczytach wyniesień jest potwierdzona, nie tylko dla okresu wczesnej epoki żelaza, ale także w pierwszej połowie pierwszego tysiąclecia naszej ery. Bardzo dużo osiedli obronnych z tego okresu, które można wiązać z kulturą Dollheim-Kovrovo, znanych jest z obszaru Sambii²⁸.

Na podstawie przytoczonych powyżej ustaleń można wysnuć obecnie dwie hipotezy:

- 1) umocnienia w Wopach w fazie I zbudowała ludność należąca do kręgu bałtyjskiego, przynależna do wczesnożelaznej kultury kurhanów zachodniobałtyjskich. W fazie II obszar ten ponownie został zajęty przez ludność bałtyjską, tym razem związaną z kulturą Dollheim-Kovrovo;

²⁷ Oba grodziska opisane w niniejszym tomie

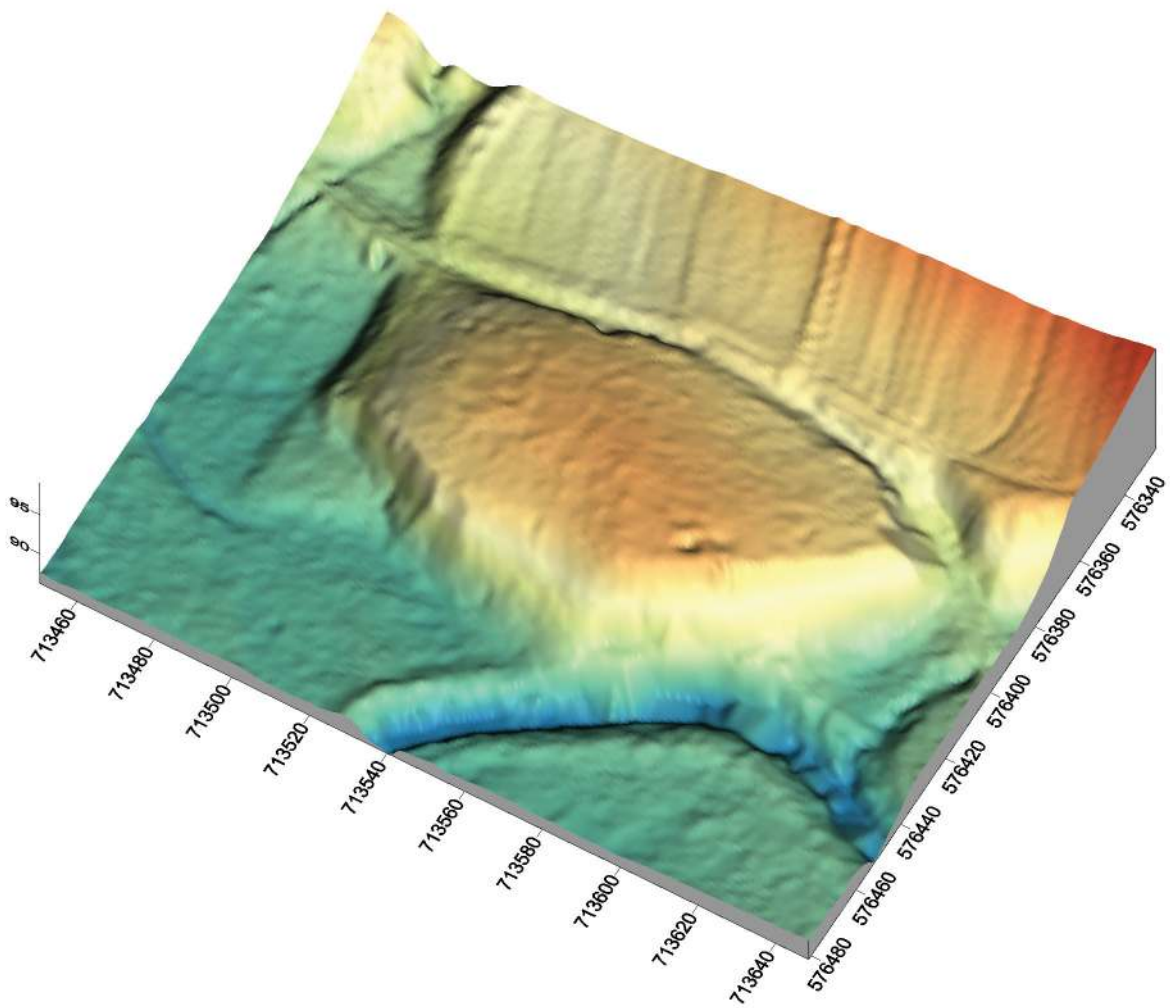
²⁸ Khomiakova, Skhodnov i Chaukin 2018: 78–81; Khomiakova 2021.

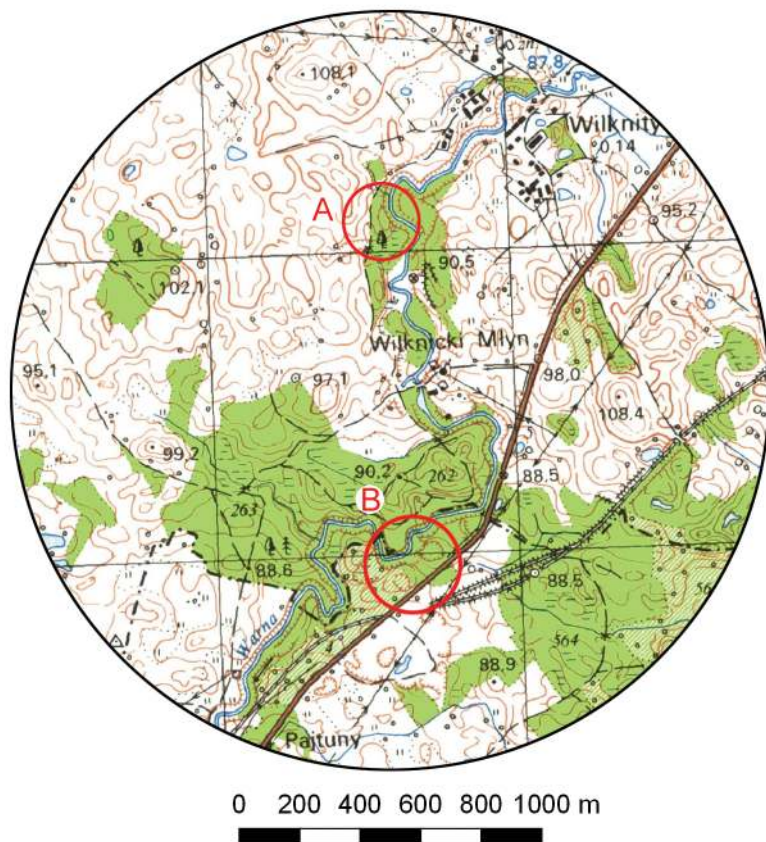
- 2) fazy I i II należy utożsamić i przyjąć, że umocnienia w Wopach zostały zbudowane w okresie wpływów rzymskich przez ludność bałtyjską związaną z kulturą Dollheim-Kovrovo.

Przeprowadzone w 2021 roku w Wopach badania archeologiczne pozwoliły potwierdzić, że znajduje się tam grodzisko oraz na określenie wstępnych ustaleń dotyczących jego chronologii i afiliacji kulturowej. Dzięki nim możliwe stało się także objęcie tego miejsca ochroną konserwatorską. W przyszłości, gdy porastający stanowisko las dojrzał i przerzedzi się, wskazane jednak będzie przeprowadzenie kolejnych badań archeologicznych, które pozwolą zweryfikować zaproponowane obecnie hipotezy. Jest to o tyle ważne, że stanowiska obronne z tego okresu na omawianym obszarze nie są częste. Wynika to z faktu, że właściwy obszar rozwoju kultury Dollheim-Kovrovo znajduje się bardziej na północ, w granicach dzisiejszego Obwodu Kaliningradzkiego, a rozpoznane stanowisko znajdowałoby się na jego wysuniętych na południe rubieżach.

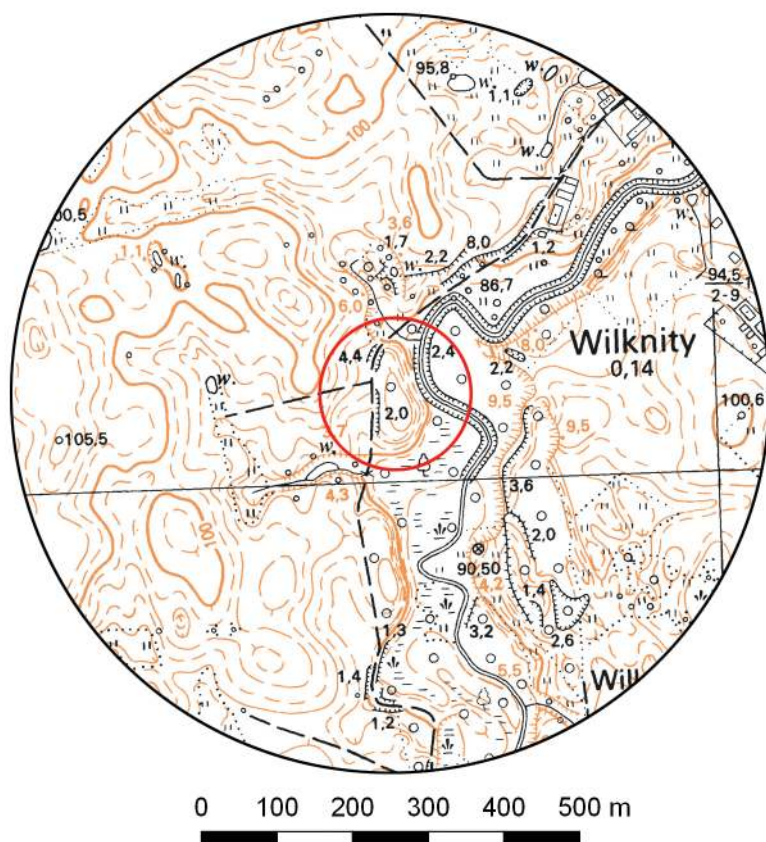
Wilknity, st. 1

Gmina Lelkowo
Powiat braniewski
AZP 13-58/5
Współrzędne geograficzne:
N 54° 16' 49"
E 20° 10' 25"





Ryc. 1. Stanowisko w Wilknitach, st. 1 (A) i stanowisko w Pajtunach (B) na mapie w skali 1:25 000 (na podstawie materiałów GUGiK, oprac. R. Solecki)



Ryc. 2. Stanowisko w Wilknitach, st. 1 na mapie w skali 1:10 000 (na podstawie materiałów GUGiK, oprac. R. Solecki)

WYNIKI WERYFIKACJI

RAFAŁ SOLECKI

W zbiorze Archeologicznego Zdjęcia Polski znajduje się karta grodziska w Wilkniach. Zostało ono skatalogowane jako AZP 13-58/5, st. 1, a jego opis brzmi „grodzisko?”. Znak zapytania dodany do opisu był o tyle wskazany, że nie ma żadnych przesłanek, które przemawiałyby za istnieniem w oznaczonym miejscu grodziska – nie znaleziono żadnego materiału zabytkowego ani nie odwołano się do żadnych informacji źródłowych¹. W miejscu oznaczonym na mapie dołączonej do KESA (Karty Ewidencji Stanowiska Archeologicznego) z 1987 roku znajduje się lokalne wypiętrzenie (ryc. 3:1) odcięte od pobliskiego pola starą drogą, ale w obrębie tego *plateau* brak jest form, które można by interpretować jako umocnienia. Nieco na północ znajduje się forma, która faktycznie jest antropogeniczna i mogłaby być uznana za kopiec gródka stożkowatego (ryc. 3:2), ale w rzeczywistości jest to pozostałość po dawnej gliniance. Wydaje się więc zasadne zakwestionowanie istnienia grodziska we wskazanej lokalizacji.

Poszukiwania grodziska w okolicy wsi Wilknity (niem. *Wilknitt*) mogły wynikać ze wzmianki w katalogu sporządzonym przez Emila Hollacka. Wskazał on, że we wsi Pajtuny (niem. *Peythunen*) położonej w odległości około 2 km na południe od Wilknit znajduje

¹ Informacja z KESA AZP 13-58/5 z 1987 roku z archiwum NID.

się grodzisko, które opisał jako *Burgwall*². Informację o nim zaczerpną ze starszej publikacji z 1866 roku – *Zeitschrift für die Geschichte und Altertumskunde Ermlands* – w której znajduje się tylko wzmianka „*Wall bei Peithunen*”³. Brak przy tym jakiegokolwiek wskazania co do położenia umocnień.

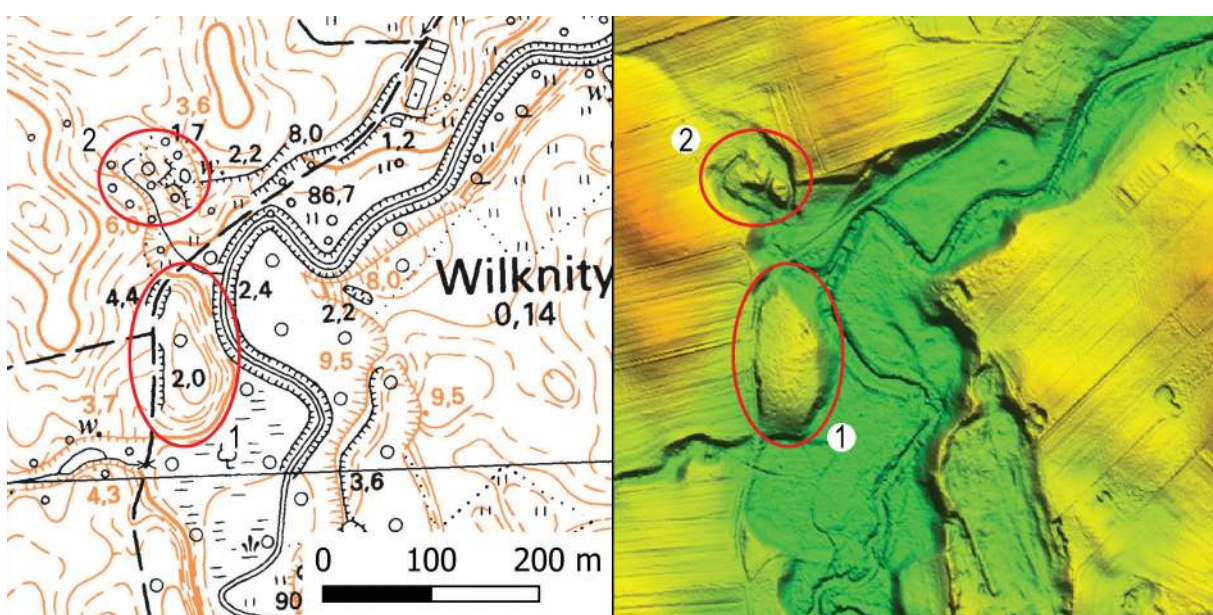
W zbiorze *Prussia-Archiv* przechowywanym w *Staatliche Museen zu Berlin, Museum für Vor- und Frühgeschichte* znajdują się dwie notatki z wizytacji miejscowości Pajtuny i Wilknity. Młodsza, z 27 czerwca 1931 roku, jest niepodpisana, a zamieszczony jest na niej szkic wyniesienia (ryc. 4), które można utożsamić z tym, które oznaczone jest także na KESA 13-58/5. Druga notatka została sporządzona przez Leonharda Fromma 5 października 1929 roku i dołączony jest do niej szkic (ryc. 5) przedstawiający obiekty, które autor interpretuje jako „*Ringwall*”⁴, a które znajdują się w miejscowości Pajtuny.

Miejsce wskazane przez L. Fromma udało się precyzyjnie zlokalizować na Numerycznym Modelu Terenu. Widoczne są na nim dwa „pierścieniowe” zagłębienia o średnicy 70–80 m położone przy południowym brzegu rzeki Warny, które na granicy z doliną mają czytelny wał (ryc. 6:A). Jednak oprócz

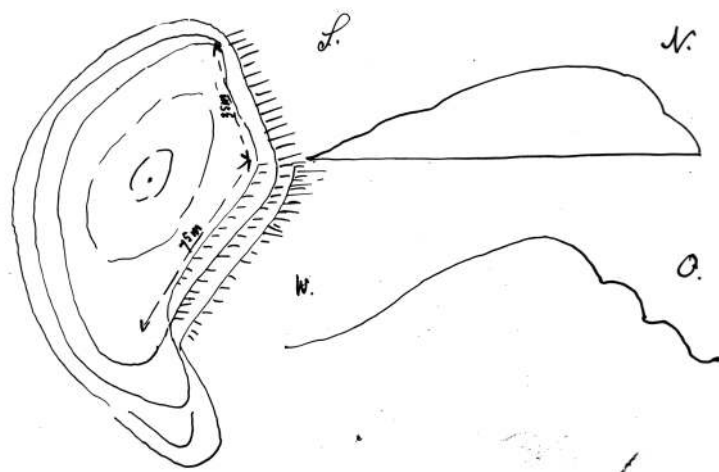
² Hollack 1908: 113.

³ Eichhorn 1866: 693.

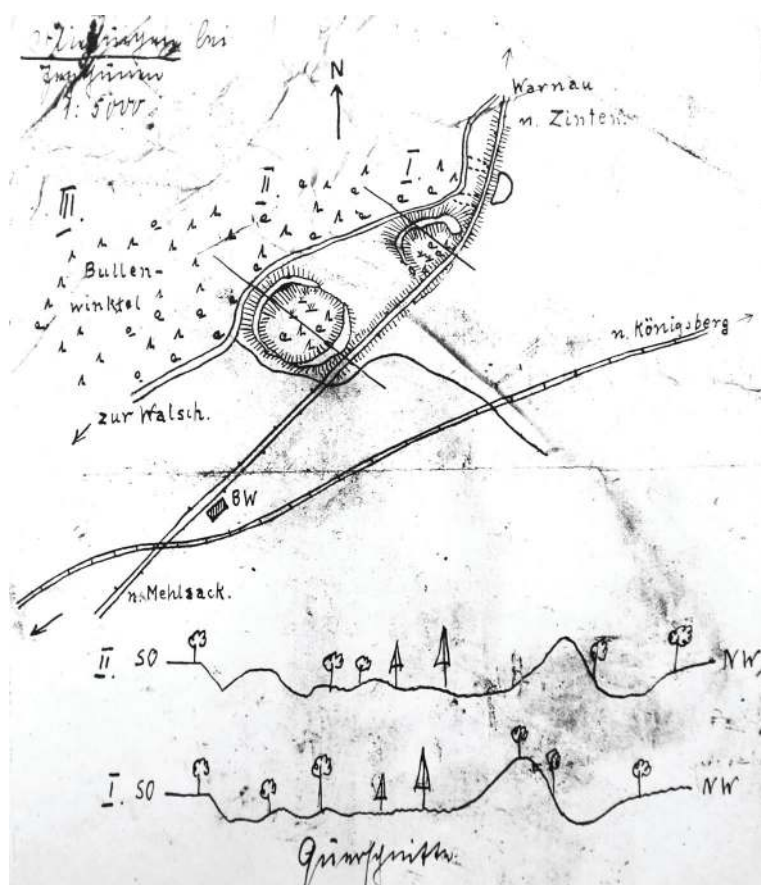
⁴ Informacja z notatki znajdującej się w archiwum *Staatliche Museen zu Berlin, Museum für Vor- und Frühgeschichte* z dnia 5 października 1929 r. (PM-A 1167/1).



Ryc. 3. Mapa topograficzna i Numeryczny Model Terenu z zaznaczonym: 1) domniemanym grodziskiem w Wilkniach skatalogowanym jako AZP 13-58/5 na KESA z 1987 roku, 2) stara glinianka (na podstawie materiałów GUGiK, oprac. R. Solecki)



Ryc. 4. Stanowisko w Wilknitach na szkicu z notatkami z 27 czerwca 1931 roku (źródło: Staatliche Museen zu Berlin, Museum für Vor- und Frühgeschichte, PM-A 1167/1)

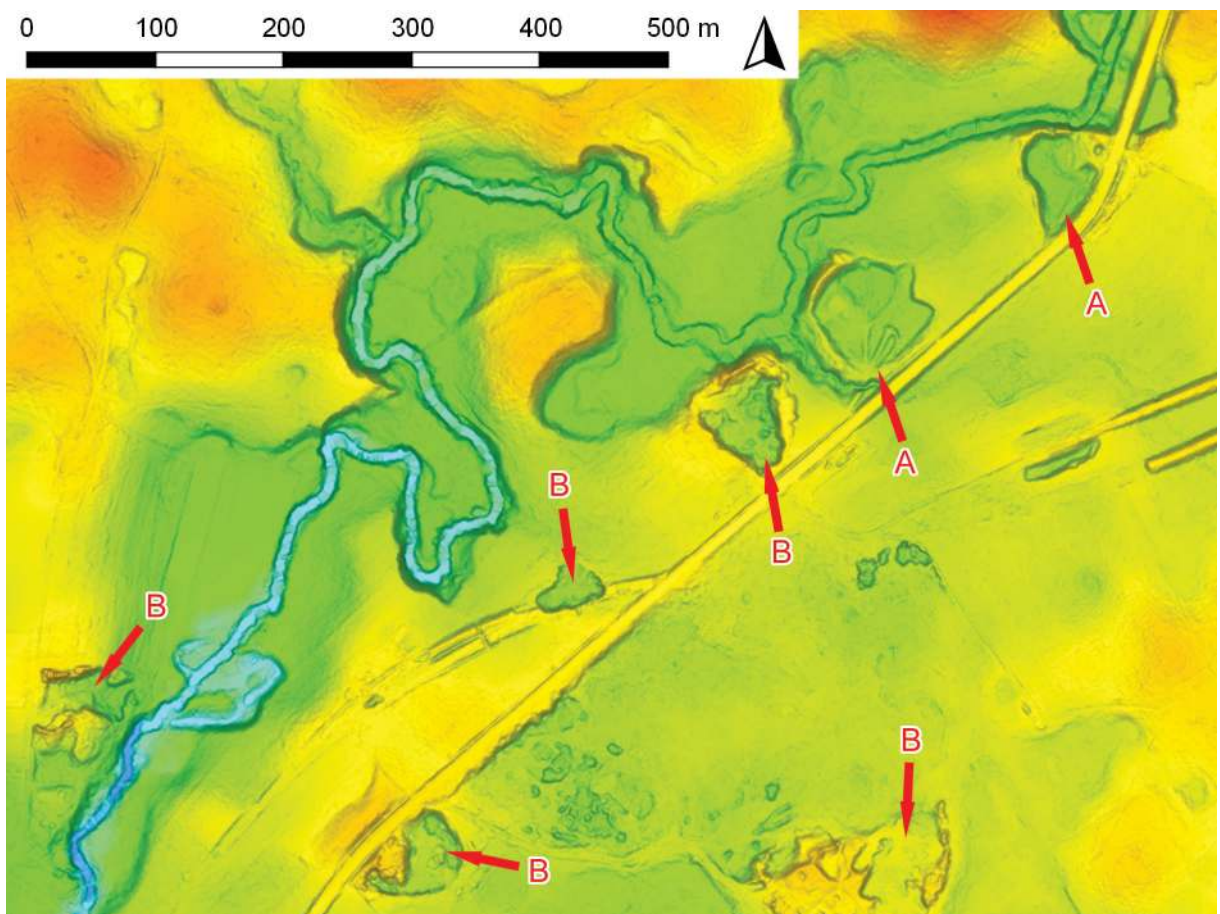


Ryc. 5. Stanowisko w Pajtunach na szkicu z notatkami z 5 października 1929 roku (źródło: Staatliche Museen zu Berlin, Museum für Vor- und Frühgeschichte, PM-A 1167/1)

dwoch obiektów wskazanych przez L. Fromma, w najbliższej okolicy znajduje się jeszcze pięć podobnych form (ryc. 6:B). Wszystkie one z pewnością zostały wykonane, ale z dużą dozą prawdopodobieństwa nie są to obiekty, które miały pełnić funkcje obronne. Nieregularny kształt, ewidentnie wgębna forma i występowanie na tym obszarze piasków wodnolodowcowych zalegających na glinach zwałowych może sugerować, że są to miejsca pozykiwania surowca budowlanego. Część tych wyrobisk jest stara, gdyż odwoływano się do nich jeszcze w połowie XIX wieku, ale niektóre są zdecydowanie młodsze, gdyż narusza-

ją dawny nasyp kolejowy. Analogiczne wyrobiska widoczne są jeszcze w górnym odcinku rzeki, na wysokości miejscowości Wilknity (ryc. 3).

W 2021 roku przeprowadzono weryfikację informacji o grodzisku w Wilknitach i Pajtunach i dokonano wizytacji obu wskazanych miejsc. W żadnym z nich nie natrafiono na pozostałości po umocnieniach ani żadne inne ślady mogące świadczyć, że miejsca te w przeszłości pełniły funkcje obronne. Należały zatem wykluczyć, że w jakimkolwiek ze wskazanych miejsc istniało tu w przeszłości grodzisko.



Ryc. 6. Numeryczny Model Terenu okolic miejscowości Pajtuny przedstawiający: A) obiekty opisane przez L. Fromma jako stanowiska archeologiczne, B) obiekty o analogicznej formie, jakie opisywał L. Fromma (na podstawie materiałów GUGiK, oprac. R. Solecki)

Bieniewo, st. 7

Gmina Lubomino

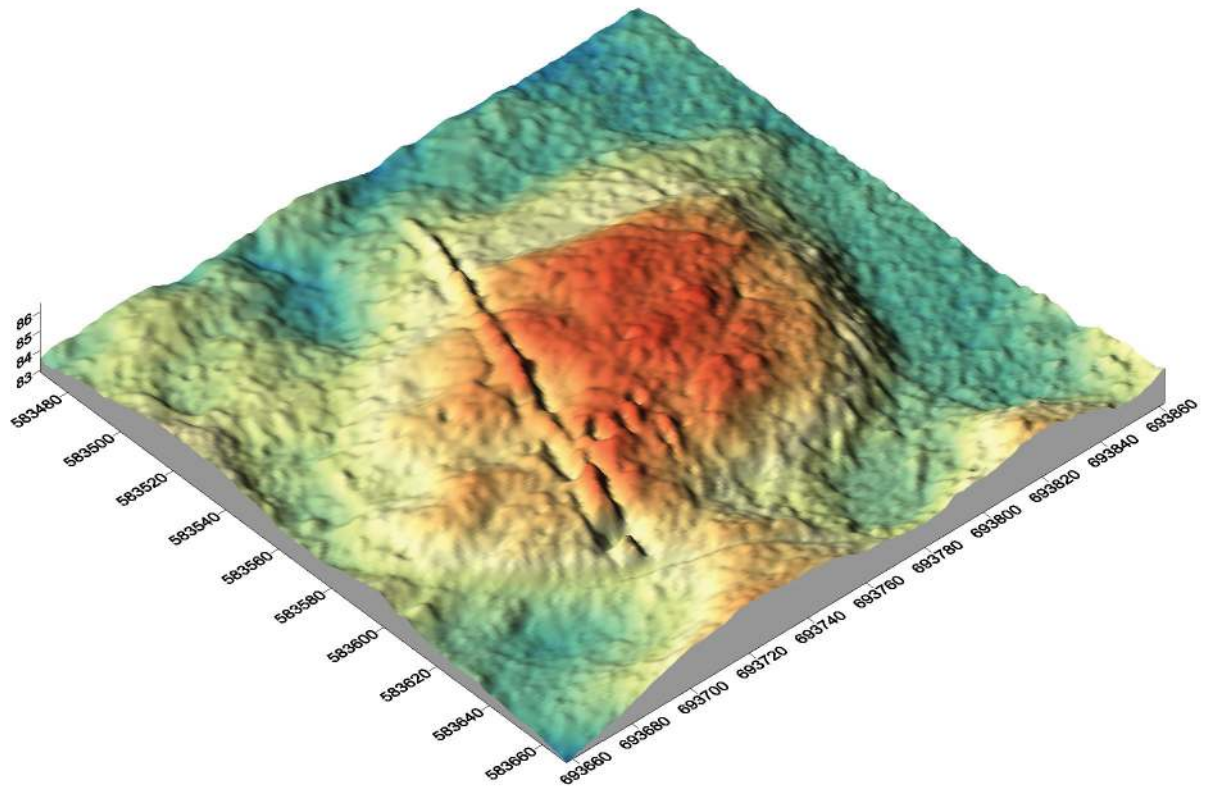
Powiat lidzbarski

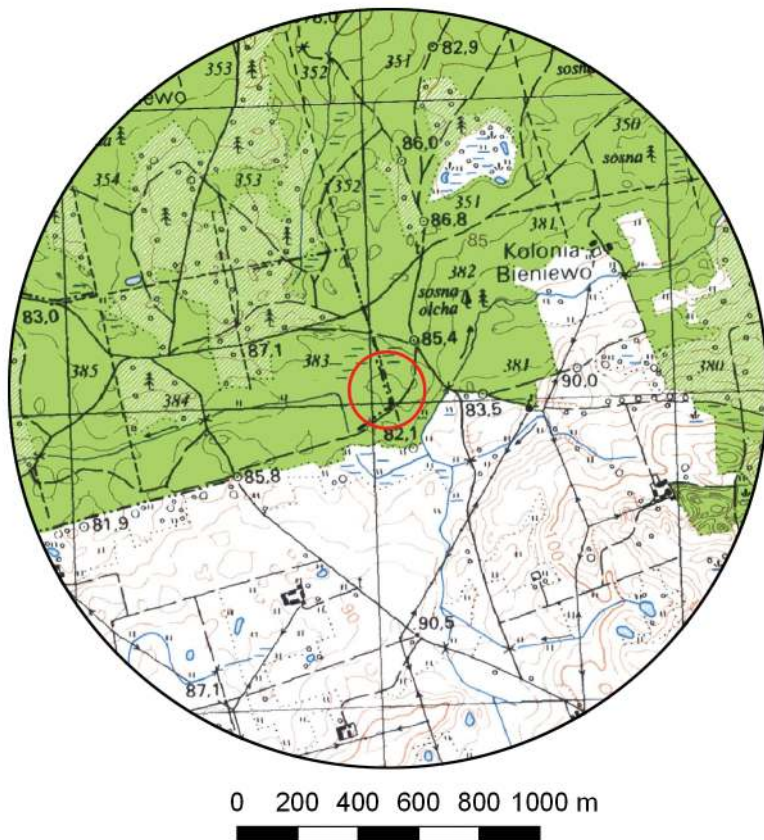
AZP 17-59/8

Współrzędne geograficzne:

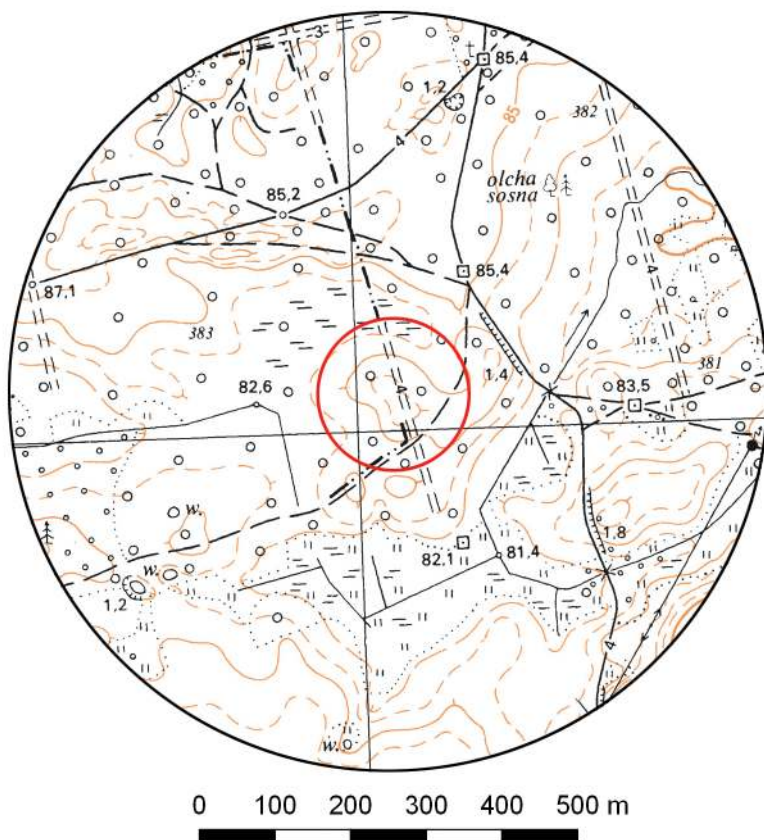
N 54° 06' 05"

E 20° 16' 42"





Ryc. 1. Stanowisko w Bieniewie, st. 7 na mapie w skali 1:25 000
(na podstawie materiałów GUGiK, oprac. R. Solecki)



Ryc. 2. Stanowisko w Bieniewie, st. 7 na mapie w skali 1:10 000
(na podstawie materiałów GUGiK, oprac. R. Solecki)

WYNIKI WERYFIKACJI

RAFAŁ SOLECKI

W ramach programu AZP zewidencjonowane jest grodzisko w miejscowości Bieniewo (niem. *Benem*), gmina Lubomino (ryc. 1–2). W Karcie Ewidencji Stanowiska Archeologicznego (KESA) o numerze AZP 17-59/8 znajduje się zapis informujący, że stanowisko ma funkcję grodziska, ale bez wskazania żadnego okresu chronologicznego. Interpretacja ta nie została potwierdzona znalezieniem jakiegokolwiek materiału zabytkowego na powierzchni, a także nie przeprowadzono żadnych badań archeologicznych.

Sugestia, że we wskazanej lokalizacji znajduje się grodzisko wynikała najpewniej z analizy archiwalnych map. Na mapach z serii *Topographische Karte (Meßtischblatt)* w skali 1:25 000, na kartach *Migehnen*, znajdują się oznaczenia: na karcie z 1913 roku *Schweeden-shanze* (ryc. 3), a na karcie z 1932 roku *K.D. Schanze* (ryc. 4). Tu należy zaznaczyć, że oznaczeń takich brak na mapach starszych, datowanych na XIX wiek.

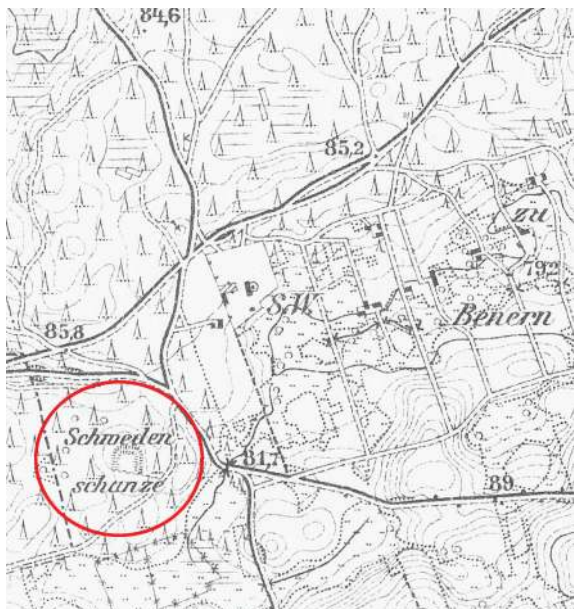
Wskazane na KESA miejsce to nieduże, nieregularne prostokątne w planie, generalnie płaskie wyniesienie (ryc. 5–6) o średnicy w przedziale 130–165 m i najwyższym punkcie osiągającym poziom 86,5 m n.p.m. Wznosi się ono do wysokości około 3,4 m ponad otaczające je ze wszystkich stron mokradła. W południowej części wyniesienia widocz-

ny jest rów i znajdujący się tuż obok niego, po południowej stronie, nasyp (ryc. 7). Rów jest równy, wytyczony wzdłuż prostej zbliżonej układem do osi wschód-zachód. Ma on długość około 150 m i szerokość do 4 m. Różnica wysokości pomiędzy dnem rowu a szczytem nasypu dochodzi do 1 m. Przy wschodnim kraju nasypu, po jego południowej stronie, także widoczny jest krótki odcinek rowu. Obrazowanie danych Numerycznego Modelu Terenu sugeruje, że rów w tej części okałał nasyp.

Szczegółowa Mapa Geologiczna Polski w skali 1:50 000 wskazuje, że domniemanie grodzisko położone jest na pleistoceńskich piaskach i żwirach wodnolodowcowych z górnego stadiału zlodowacenia Wisły. Piaski te tworzą nieduży ostaniec, który od południa i wschodu otaczają torfy, a od północy i zachodu namuły piaszczyste i piaski humusowe den dolinnych i zagłębień bezodpływowych¹.

Obecnie obszar domniemanego grodziska pokrywa we wschodniej części młodnik, a w zachodniej młodnik jest w planach – na terenie tym ścięto drzewa i przygotowany został pod nasadzenia. Z tego względu nie było możliwe przeprowadzenie archeologicznych badań wykopaliskowych, a jedynie ogląd dostępnej powierzchni. Na szczeście w trakcie przygotowywania wydzielenia pod młodnik przeprowadzono wyoranie bruzd na głębokość około 30 cm (ryc. 8), co pozwoliło na

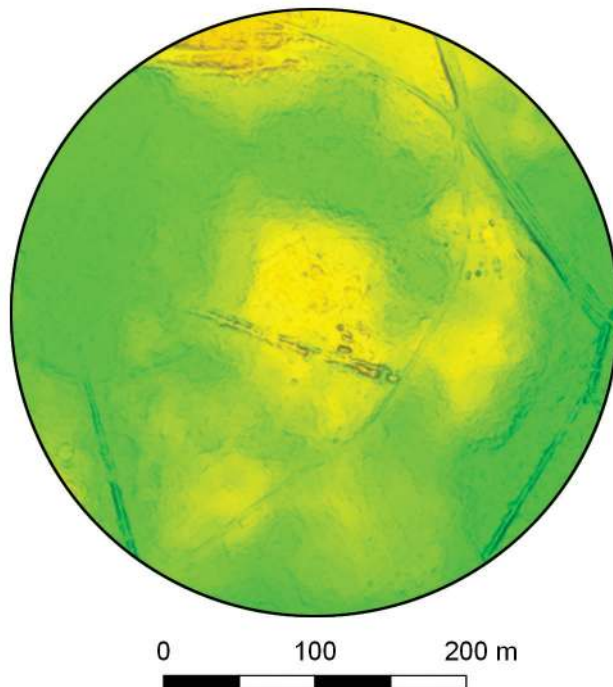
¹ Honczaruk i Kacprzak 2014b.



Ryc. 3. Stanowisko w Bieniewie, st. 7 na mapie *Topographische Karte (Meßtischblatt)* 1:25 000, karta *Migehnen* (549), z 1913 r.
(źródło: www.maps.mapywig.org)



Ryc. 4. Stanowisko w Bieniewie, st. 7 na mapie *Topographische Karte (Meßtischblatt)* 1:25 000, karta *Migehnen* (549/1887), z 1932 r.
(źródło: www.maps.mapywig.org)



Ryc. 5. Stanowisko w Bieniewie, st. 7 na zobrazowaniu ALS (na podstawie materiałów GUGiK, oprac. R. Solecki)



Ryc. 6. Bieniewo, st. 7. Widok od strony południowej na szczyt wypiętrzenia (fot. R. Solecki)



Ryc. 7. Bieniewo, st. 7. Widok w kierunku północno-zachodnim na domniemany wał i fosę (fot. R. Solecki)



Ryc. 8. Bieniewo, st. 7.
Widok w kierunku północnym na zerwany pas humusu wzduż ogrodzenia przecinającego domniemane grodzisko po osi zbliżonej do północ-południe. Poniżej humusu widoczna warstwa naturalna (fot. R. Solecki)

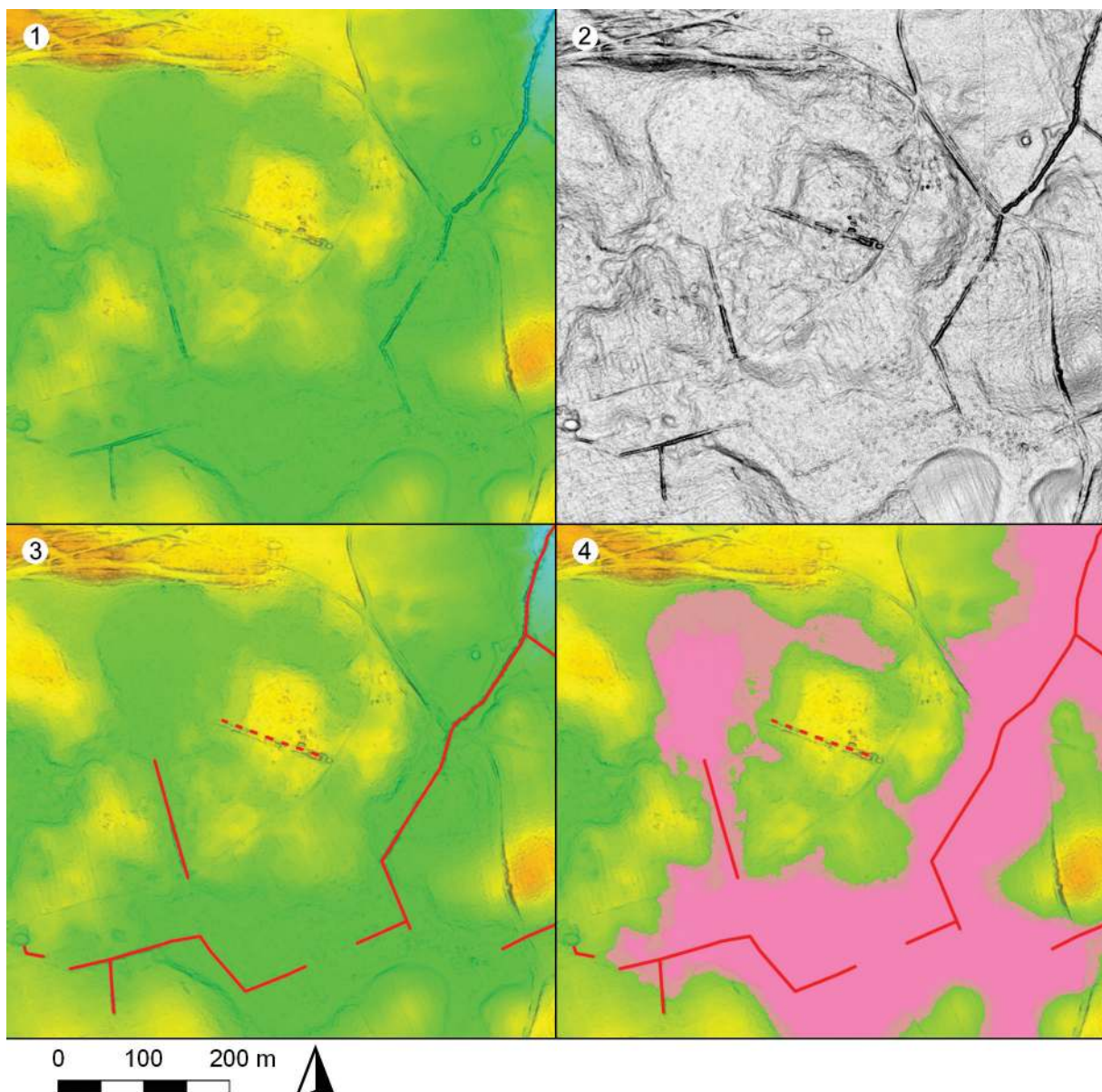
rozpoznanie obszaru domniemanego stanowiska poniżej poziomu darni, niemal wzduż całej średnicy ułożonej szacunkowo na osi północ-południe. W trakcie tego rozpoznania okazało się, że niemal bezpośrednio poniżej humusu leśnego znajduje się calec – sypki piasek barwy żółto-pomarańczowej z czytelnymi, żelazistymi wytrąceniami. W żadnym odsłoniętym miejscu nie zanotowano warstwy kulturowej, ani nie natrafiono na żadne zabytki.

Opisane powyżej miejsce nie wydaje się zatem być grodziskiem. Czy jest jednak tak, jak wskazuje to jeden z archiwalnym planów, *Szwedzkim Szańcem*?² Analiza nasypu i rowu na Numerycznym Modelu Terenu wykazuje, że są one bardzo regularne – mają układ liniowy (ryc. 9:3). Wysokość samego nasypu jest nieduża – dochodzi do 1 m względem dna rowu i oscyluje wokół 0,5 m w stosunku do powierzchni dookoła – i najpewniej nigdy nie był on wyższy. Z tego względu mógł pełnić funkcję ochronną jedynie w ograniczonym zakresie.

² *Topographische Karte (Meßtischblatt) 1:25 000, karta Migechnen (549), z 1913 r.*

Na Numerycznym Modelu Terenu widoczne są natomiast w okolicy liczne kanały melioracyjne, których zadaniem było odprowadzenie lokalnie zbierającej się wody w celu osuszenia terenu. Przeprowadzając symulację podniesienia lustra wody o 2,5 m, do poziomu 82,5 m n.p.m. (ryc. 9:4), można zauważać, że kanały te znajdują się właśnie w lokalnych obniżeniach terenu, z wyjątkiem omawianego rowu. Ten jednak wytyczony jest na odcinku, który łączy dwa, dość duże obniżenia, w których obecnie są mokradła. Być może więc omawiany rów jest nieukończonym rowem melioracyjnym, a towarzyszący mu nasyp – hałdą powstałą w trakcie jego budowy?

Przedstawiona powyżej hipoteza będzie wymagała weryfikacji, ale wydaje się, że już na obecnym etapie należy zrezygnować z interpretowania omówionego miejsca jako grodziska. Za dotychczas wskazywaną funkcją nie przemawiają dokonane ustalenia – brak czytelnej warstwy kulturowej na obszarze wyniesienia, w pasie zerwanej darni odsłoniętym podczas wycinania drzew, a także przeprowadzona analiza Numerycznego Modelu Terenu wykazująca, że nasyp i rów nie



Ryc. 9. Bieniewo, st. 7. Analiza Numerycznego Modelu Terenu: 1) mapa stanowiska zwizualizowana za pomocą opcji *Atlas Shader* (kolorystyka jak w przypadku mapy fizycznej), 2) mapa stanowiska zwizualizowana za pomocą opcji *Slope Shader* (zaakcentowane powierzchnie silnie nachylone), 3) mapa stanowiska zwizualizowana za pomocą opcji *Atlas Shader* z zaznaczonymi melioracjami (czerwona, ciągła linia) i domniemanym wałem i fosą (czerwona, przerywana linia), 4) mapa stanowiska zwizualizowana za pomocą opcji *Atlas Shader* z zaznaczonymi melioracjami (czerwona, ciągła linia) i domniemanym wałem i fosą (czerwona, przerywana linia) oraz z zaznaczonym na różowo zasięgiem taflą wody, gdyby jej poziom podnieść o 2,5 m (do poziomu 82,5 m n.p.m.) (oprac. R. Solecki)

mają formy charakterystyczne dla grodzisk ani też młodszych form obronnych z czasów wojen szwedzkich. Jak potwierdzają to badania mikrotoponimii, miejsca opisywane jako Szwedzkie Szańce nie zawsze należą wiązać z funkcjonowaniem grodzisk. Mogły w ten sposób być także opisywane miejsca, które lokalnej ludności kojarzyły się z miejscami obronnymi, ale nie miały określonej chronologii, miejsca bez cech obronnych, ale kojarzone z dawnymi czasami, jak chociażby cmentarzyska, ale też miejsca generalnie kojarzone ze Szwedami i ich najazdem, na przykład miejsca potyczek. W pewnym momencie po-

wstała wręcz moda na odnoszenie nazw miejscowości do dawnych czasów i łączenie ich właśnie ze Szwedami?³ Być może tak właśnie jest w przypadku omawianego miejsca, gdyż jak zostało już wskazane we wstępie, nazwa *Schweden-shanze*⁴ występuje tu dopiero od początku XX wieku, wymiennie z nazwą *K.D. Schanze*⁵.

³ Łapo 2009: 248–254.

⁴ *Topographische Karte (Meßtischblatt) 1:25 000, karta Migehnen (549), z 1913 r.*

⁵ *Topographische Karte (Meßtischblatt) 1:25 000, karta Migehnen (549/1887), z 1932 r.*

Rogiedle, st. 1

Gmina Lubomino

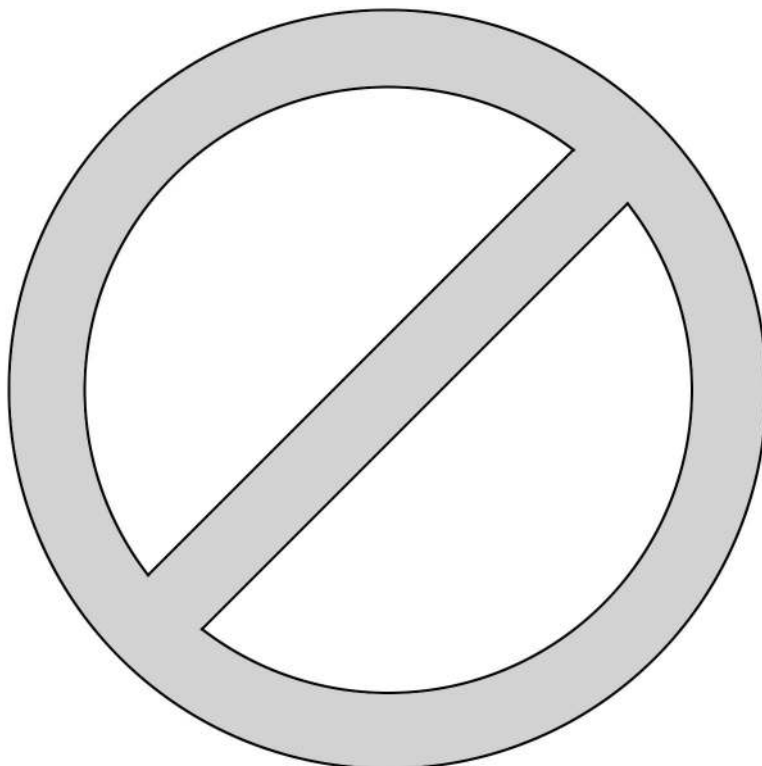
Powiat lidzbarski

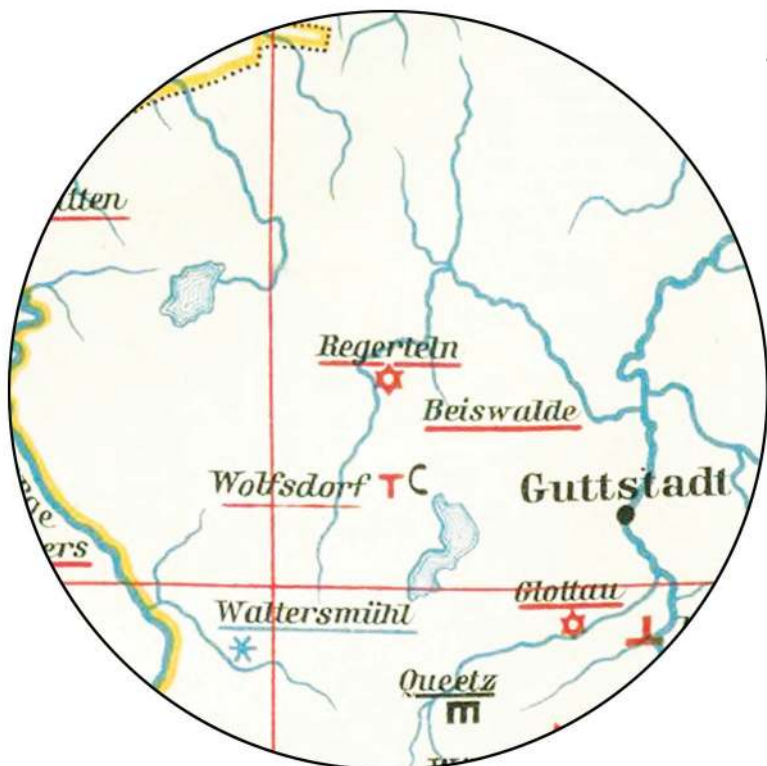
AZP 18-59/4

Współrzędne geograficzne:

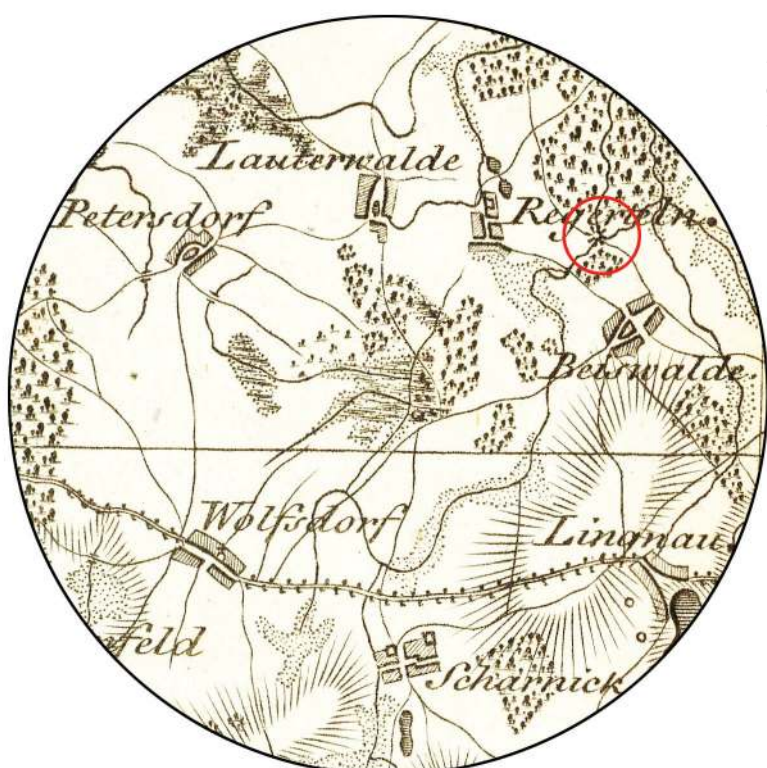
N -

E -





Ryc. 1. Fragment mapy autorstwa E. Hollacka z 1908 roku z zaznaczonym grodziskiem pomiędzy miejscowościami Rogiedle (*Regerteln*), Bzowiec (*Beiswalde*) i Wilczkowo (*Wolsdorf*)
(źródło: www.maps.mapywic.org)



Ryc. 2. Fragment mapy Schrötter: Karte von Ost-Preussen nebst Preussisch Lithauen und West-Preussen nebst dem Netzdistrict z około 1908 roku z zaznaczonym młynem pomiędzy miejscowościami Rogiedle (*Regerteln*) i Bzowiec (*Beiswalde*)
(źródło: www.maps.mapywic.org)

WYNIKI WERYFIKACJI

RAFAŁ SOLECKI

Na drukowanej wersji mapy obszaru AZP 18-59 pod numerem 4 oznaczono stanowisko opisane jako grodzisko o prawdopodobnie wcześnieśredniowiecznej chronologii (przy datowaniu znak „?”). Przypisano je do miejscowości Rogiedle (niem. *Regerteln*), gdzie otrzymało numer 1. Symbol użyty do oznaczenia grodziska to pusty trójkąt, co oznacza, że jego lokalizacja jest nieznana¹. W tym miejscu należy odnotować, że do tego samego grodziska odwołuje się Karta Ewidencji Stanowiska Archeologicznego z sąsiedniego arkusza AZP 19-59/1. W znajdującej się tam miejscowości Bzowiec (niem. *Beiswalde*) pod numerem 1 zewidencjonowane jest grodzisko o nieznanej chronologii i nieznanej afiliacji kulturowej – w polach, gdzie powinny znaleźć się te informacje, jest symbol „?”. Stanowisko to na mapie obszaru także oznaczone jest pustym trójkątem, co oznacza, że jego lokalizacja jest nieznana².

Zdublowanie tego samego grodziska w dwóch miejscowościach wynika z faktu, że w książce Emila Hollacka z 1908 roku, która opisuje jego położenie, znajduje się pod hasłem *Regerteln* zapis "Schloßberg nach Beiswalde zu"³. Zwrot ten można tłumaczyć, jako grodzisko położone pomiędzy *Regerteln* a *Beiswalde*. Obie miejscowości położone są tuż obok siebie, w odległości około 2,2 km. Z mapy, która uzupełnia książkowy katalog wynika, że grodzisko położone powinno być bliżej Rogiedli, przy wschodnim brzegu rzeki Sunia (ryc. 1). E. Hollack jednak sam powołuje się na źródło swoich informacji wskazując serię *Zeitschrift für die Geschichte und Altertumskunde Ermlands*. W tomie II na stronie 655 znajduje się rozdział zatytułowany „Der Schloßberg bei Wolfsdorf”⁴. Miejscowość *Wolfsdorf* to dzisiejsze Wilczkowo, położone w odległości około 4 km na południe od Rogiedli. Według informacji w zawartej w opisie grodziska miałoby ono znajdować się na wschód od Wilczkowa w kierunku Rogiedli i zajmować szczyt niewielkiego wyniesienia

¹ Informacja z KESA 18-59/4 oraz mapy obszaru AZP 18-59.

² Informacja z KESA 19-59/1 oraz mapy obszaru AZP 19-59.

³ Hollack 1908: 131.

⁴ Eichhorn 1863: 655.

z trzech stron otoczonego łąkami. W połowie XIX wieku nie były już widoczne pozostałości umocnień i nie było przekazów co do historii tego miejsca. W tomie IX na stronach 74–75, także jest odniesienie do grodziska w Wilczkowie, gdzie wskazano, że znajduje się ono w kierunku Rogiedli i że obecnie nie ma po nim już śladu. W opisie nazywane jest *Schloßberg*⁵. W świetle tego przekazu nie można zatem wykluczyć, że wszystkie trzy przekazy odnoszą się do jednego grodziska, gdyż powinno się ono znajdować w trójkącie pomiędzy Rogiedlami, Bzowcem i Wilczkowem, ze wskazaniem na bliskość do tego pierwszego.

Analiza Numerycznego Modelu Terenu obszaru wokół wszystkich trzech wymienionych miejscowości nie wykazała obecności stanowiska o własnej formie terenowej, które można by interpretować jako grodzisko. Przeprowadzony zwiad tego terenu także nie przyniósł nowych odkryć.

W świetle powyżej przedstawionych informacji możliwe jest zaproponowanie hipotezy dotyczącej położenia omawianego grodziska oraz poddającej w wątpliwość, czy opisywany obiekt faktycznie pełnił funkcje obronne. Przyczynkiem do budowy tej hipotezy jest mapa z około 1802 roku, na której pomiędzy miejscowościami Rogiedle i Bzowiec, niemalże w tym samym miejscu, w którym E. Hollack oznaczył grodzisko, znajduje się symbol młyna (ryc. 2). Młyn w Rogiedlach powstał bardzo wcześnie, gdyż jest poświadczony w dokumencie datowanym na 1297 rok. Miejscowość jest w nim nazwana *Campus Rogedel*⁶. Średniowieczna metryka młyna mogła przełożyć się na późniejsze określenie chronologii domniemanego grodziska. W kwestii lokalizacji tego młyna, to nałożenie dawnych planów na współczesny podkład geodezyjny wskazuje, że znajdował się najpewniej w miejscu, gdzie poprowadzona została linia kolej. To z kolei może tłumaczyć, czemu miejsce to nie zostało wcześniej zlokalizowane. W dół i w górę rzeki Suni, przy jej brzegach, odnotowano pozostałości po innych młyniskach, także o średniowiecznej metryce.

W toku weryfikacji nie udało się zlokalizować grodziska w Rogiedlach. Jeżeli przyjąć zaproponowaną hipotezę, że było to młynisko, to zostało ono najpewniej zniszczone w trakcie budowy linii kolejowej.

⁵ Bender 1887: 74–75.

⁶ Kubicki 2013: 52–53; Woelky i Saage 1860: 60–61 (dokument nr 185).

Wilczkowo, st. 1

Gmina Lubomino

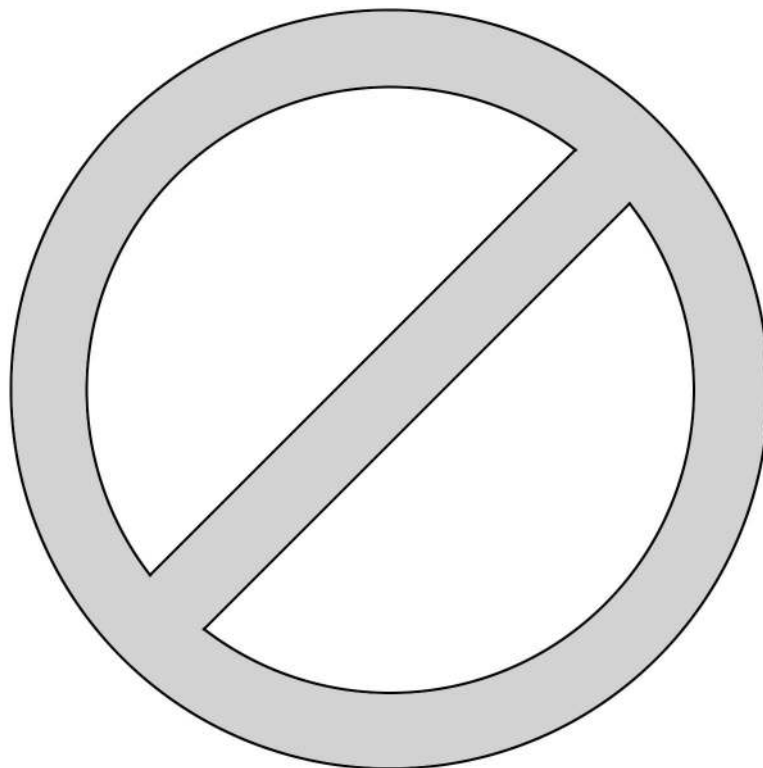
Powiat lidzbarski

AZP 19-59/2

Współrzędne geograficzne:

N -

E -



WYNIKI WERYFIKACJI

RAFAŁ SOLECKI

Na drukowanej wersji mapy obszaru AZP 19-59 pod numerem 2 oznaczono stanowisko opisane jako grodzisko. Przypisano je do miejscowości Wilczkowo (niem. *Wolfsdorf*), w której otrzymało numer 1. Dla obiektu tego nie określono ani afiliacji kulturowej, ani chronologii. Symbol użyty do oznaczenia grodziska to pusty trójkąt, co oznacza, że jego lokalizacja jest nieznana¹.

Grodzisko w Wilczkowie zostało oznaczone w oparciu o źródła archiwalne – krótkie rozdziały w 2² i 9³ tomie serii *Zeitschrift für die Geschichte und Altertumskunde Ermlands*. Pierwszy z tych tekstów dokładne przetłumaczył Leszek Godzieba: „Grodzisko w Wilczkowie (...) zlokalizowane było około 1/4 mili na wschód od wsi, w kierunku na Rogiedle; miało to być łagodnie zaokrąglone wyniesienie, z trzech stron otoczone łąkami, a tylko z czwartej strony łączyło się łagodniejszym spadkiem z ciągnącym się na pół.-wsch. grzbietem wyniesień. Tylko tradycja określała to miejsce jako grodzisko (zamek), jako że w czasie zanotowania tej informacji brak już było wszelkich śladów, które mogłyby potwierdzać jego pierwotne przeznaczenie; (...) wg informacji okolicznych mieszkańców jeszcze przed kilku laty (tj. około poł. XIX wieku) góra była porośnięta świerkami, a resztki zapadniętych wałów okrężnych można było wyraźnie rozpoznać”⁴.

¹ Informacja z KESA 19-59/2 oraz mapy obszaru AZP 19-59.

² Eichhorn 1863: 655.

³ Bender 1887: 74–75.

⁴ Przekład rozdziału „Der Schloßberg bei Wolfsdorf” z książki Antona Eichhorna *Zeitschrift für die Geschichte und Altertumskunde Ermlands*, tom 2 zamieszczony w sprawozdaniu z badań powierzchniowych przeprowadzonych na obszarze AZP 19-59.

W przeszłości grodzisko było poszukiwane co najmniej dwukrotnie – w 1969 roku przez zespół prowadzony przez Dariusza Czlonkowskiego, a w 2004 roku przez zespół Leszka Godzieby. Pomimo podjętych prób stanowisko nie zostało znalezione⁵. Próby podjęte w 2023 roku, realizowane ze wsparciem analizy zdjęć lotniczych i danych Numerycznego Modelu Terenu, także nie przyniosły pozytywnych rezultatów.

Tu warto odnotować, że opisując grodzisko w pobliskich Rogiedlach, Emil Hollack odwołuje się do wspomnianej publikacji Antona Eichhorna *Zeitschrift für die Geschichte...*, gdzie znajduje się opis grodziska w Wilczkowie⁶. To może oznaczać, że obecne wydzielanie w ramach AZP trzech grodzisk w tej okolicy (trzech, gdyż grodzisko w Rogiedlach utożsamiane jest z grodziskiem w pobliskich Bzowcach⁷), dla których sporządzono trzy niezależne karty ewidencyjne, wynika z nadinterpretacji analizowanych źródeł. Wyniki weryfikacji dotyczących grodziska w Rogiedlach zostały opisane w niniejszym tomie, w rozdziale „Rogiedle, st. 1”.

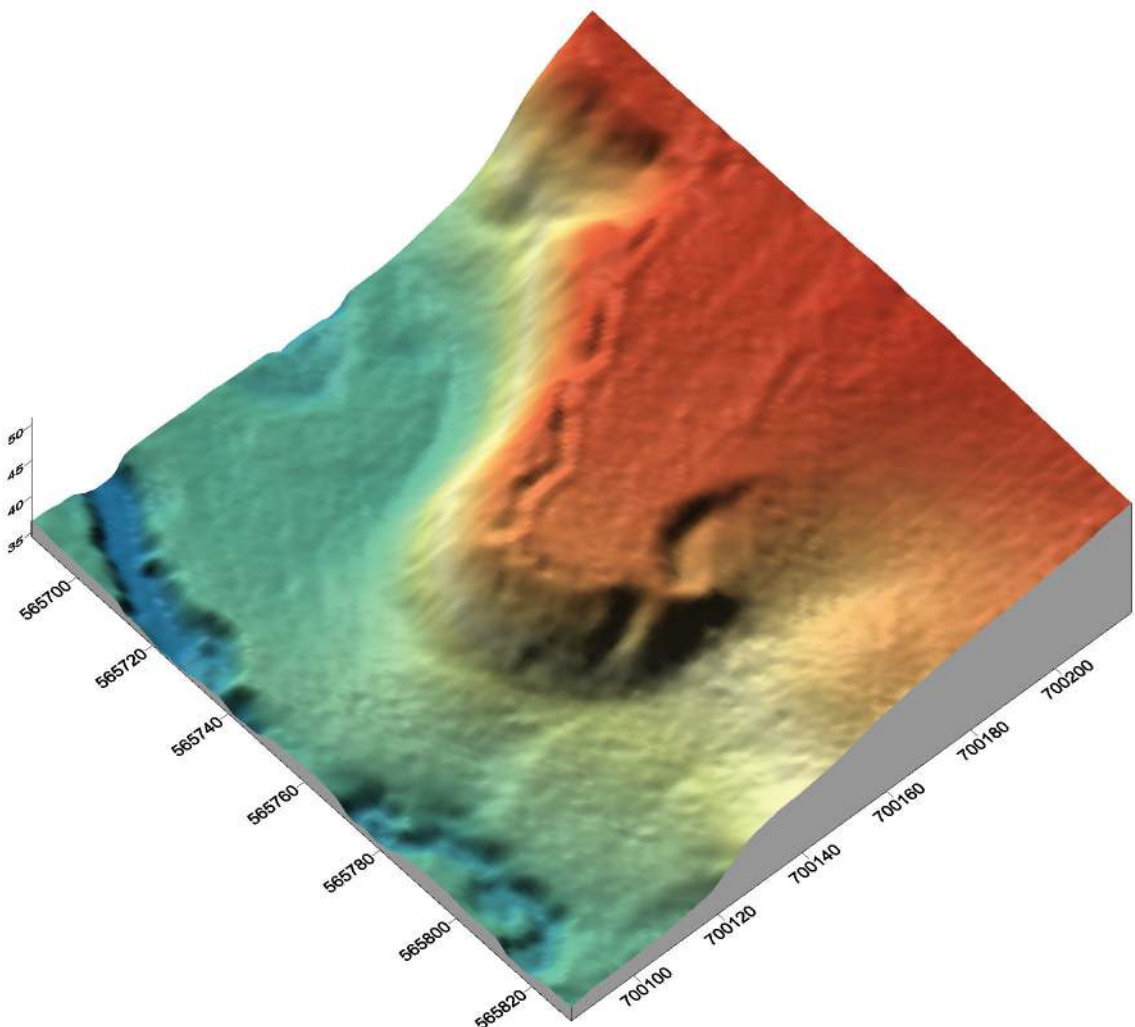
⁵ Informacja ze sprawozdaniu z badań powierzchniowych przeprowadzonych na obszarze AZP 19-59

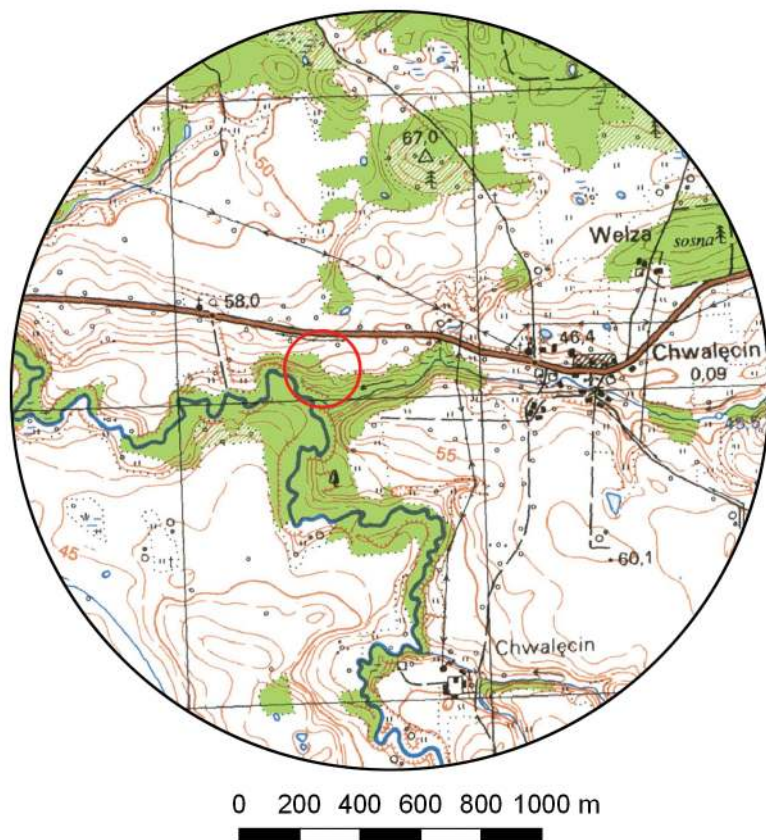
⁶ Hollack 1908: 131.

⁷ Informacja z KESA 19-59/1.

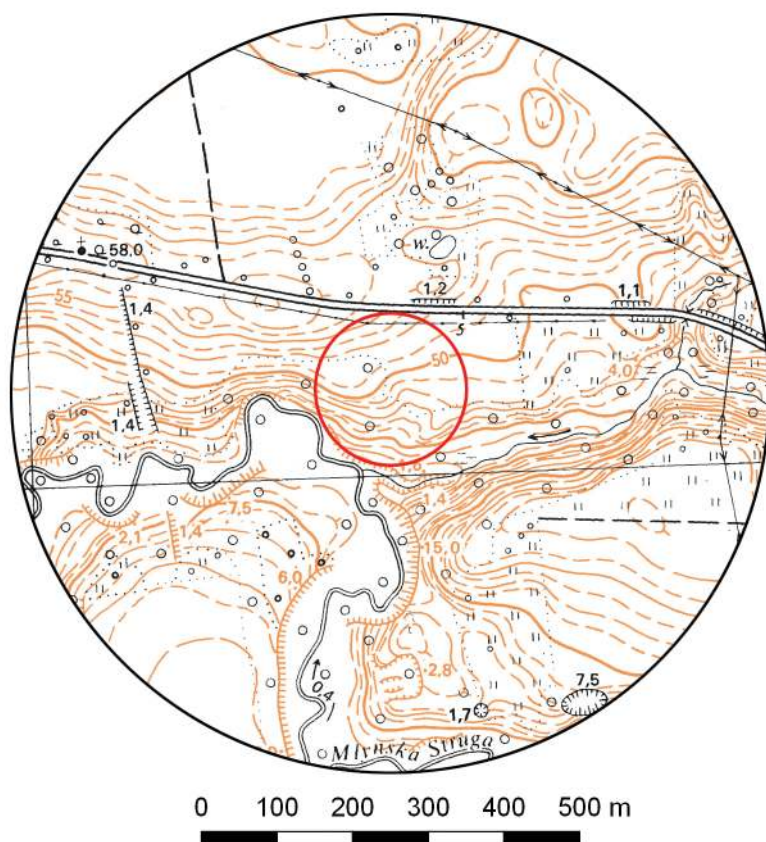
Chwałęcin, st. 2

Gmina Orneta
Powiat lidzbarski
AZP 16-57/11
Współrzędne geograficzne:
N 54° 09' 41"
E 20° 00' 26"





Ryc. 1. Stanowisko w Chwałęcinie, st. 2 na mapie w skali 1:25 000 (na podstawie materiałów GUGiK, oprac. R. Solecki)



Ryc. 2. Stanowisko w Chwałęcinie, st. 2 na mapie w skali 1:10 000 (na podstawie materiałów GUGiK, oprac. R. Solecki)

WYNIKI WERYFIKACJI

RAFAŁ SOLECKI

Na mapie obszaru AZP 16-57 oznaczone jest pod numerem 11 grodzisko. Na Karcie Ewidencji Stanowiska Archeologicznego grodzisko to przypisane jest do miejscowości Chwałęcin (niem. *Stegmannsdorf*), gdzie ma numer 2¹.

Grodzisko to nie było wcześniej uwzględnione w najważniejszych spisach grodzisk sporządzonych przez badaczy niemieckich – nie wymienia go ani Emil Hollack, ani Hans Crome², ani nie ma go w katalogu *Burgwall-Kartei*. Pomimo że dla stanowiska została wykonana Karta Ewidencji Stanowiska Archeologicznego, to sam jej autor wskazuje, że jest to grodzisko domniemanego, co podkreślił dodając „?” przy opisie zabytku w polach „funkcja obiektu”, „kultura”, „bliąsza chronologia” i „materiał masowy”. W opisie formy stanowiska znajduje się informacja, że „Obszar cypla o powierzchni około 0,5 ha otoczony jest wałem ziemnym o szerokości podstawy 3–5 m i wysokości 0,5–1,3 m, od strony północnej widoczne jest nieznaczne zagłębienie w postaci /fosy/? o szerokości ok. 7 m i głębokości 0,5–0,7 m”. Podczas wizytacji tego miej-

sca w terenie w czasie, gdy wykonywano kartę ewidencyjną, nie znaleziono żadnego materiału zabytkowego³.

Wskazany w opisie stanowiska obszar poddano analizie, bazując na Numerycznym Modelu Terenu. Położenie stanowiska ustalone dokładnie i faktycznie zlokalizowano cywil, na którym miało znajdować się grodzisko (ryc. 1–2). Ma on kształt zbliżony do prostokąta, długości do 75 m, szerokości do 45 i powierzchnię około 30 arów. Cywil ten od północy wcina się w dolinę potoku, który poniżej stanowiska zasila rzekę Młyńską Strugę. Opisany przez autora KESA wał jest widoczny, ale nie okala on cypla, a jedynie występuje wzduż jego zachodniej krawędzi (ryc. 3–4). Różnica widoczna jest także w wymiarach nasypu – o ile szerokość u podstawy może jeszcze mieścić się we wcześniej wskazanym przedziale, to wysokość względna wału jest niższa, nie przekracza 1 m, a na większości odcinka wału dochodzi do 0,7 m. Jego mniejsza wysokość może wynikać z postępującej erozji powierzchni, która zaszła w okresie ponad 30 lat, które upłynęły od momentu wykonania karty ewidencyjnej stanowiska. Wspomniana w KESA fosa od strony północnej stanowiska nie jest widoczna, ale występuje rów równoległy do linii wału, po jego wschodniej stronie. Wydaje się, że oba obiekty – nasyp

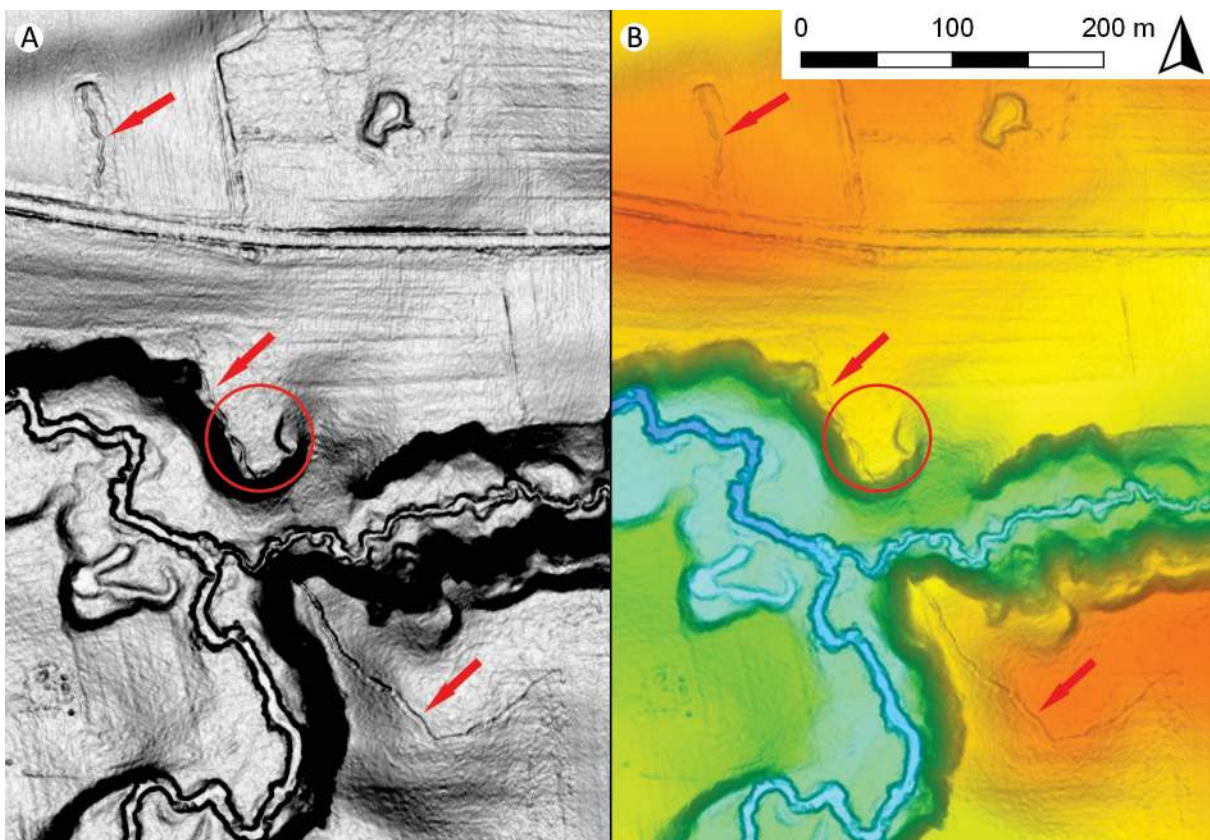
¹ Informacja z KESA 16-57/11 oraz mapy obszaru AZP 16-57.

² Hollack 1908; Crome 1937.

³ Informacja z KESA 16-57/11.



Ryc. 3. Chwałęcin, st. 2. Widok w kierunku południowym na rów i nasyp (fot. R. Solecki)



Ryc. 4. Chwałęcin, st. 2. Analiza Numerycznego Modelu Terenu: A) mapa stanowiska zwizualizowana za pomocą opcji *Slope Shader* (zaakcentowane powierzchnie silnie nachylone), B) mapa stanowiska zwizualizowana za pomocą opcji *Atlas Shader* (kolorystyka jak w przypadku mapy fizycznej). Na mapach stanowisko zaznaczono okręgiem, a strzałkami zaznaczono linię rowów (oprac. R. Solecki)

i rów – są ze sobą związane, to jest nasyp jest hałdą powstałą w wyniku kopania rowu.

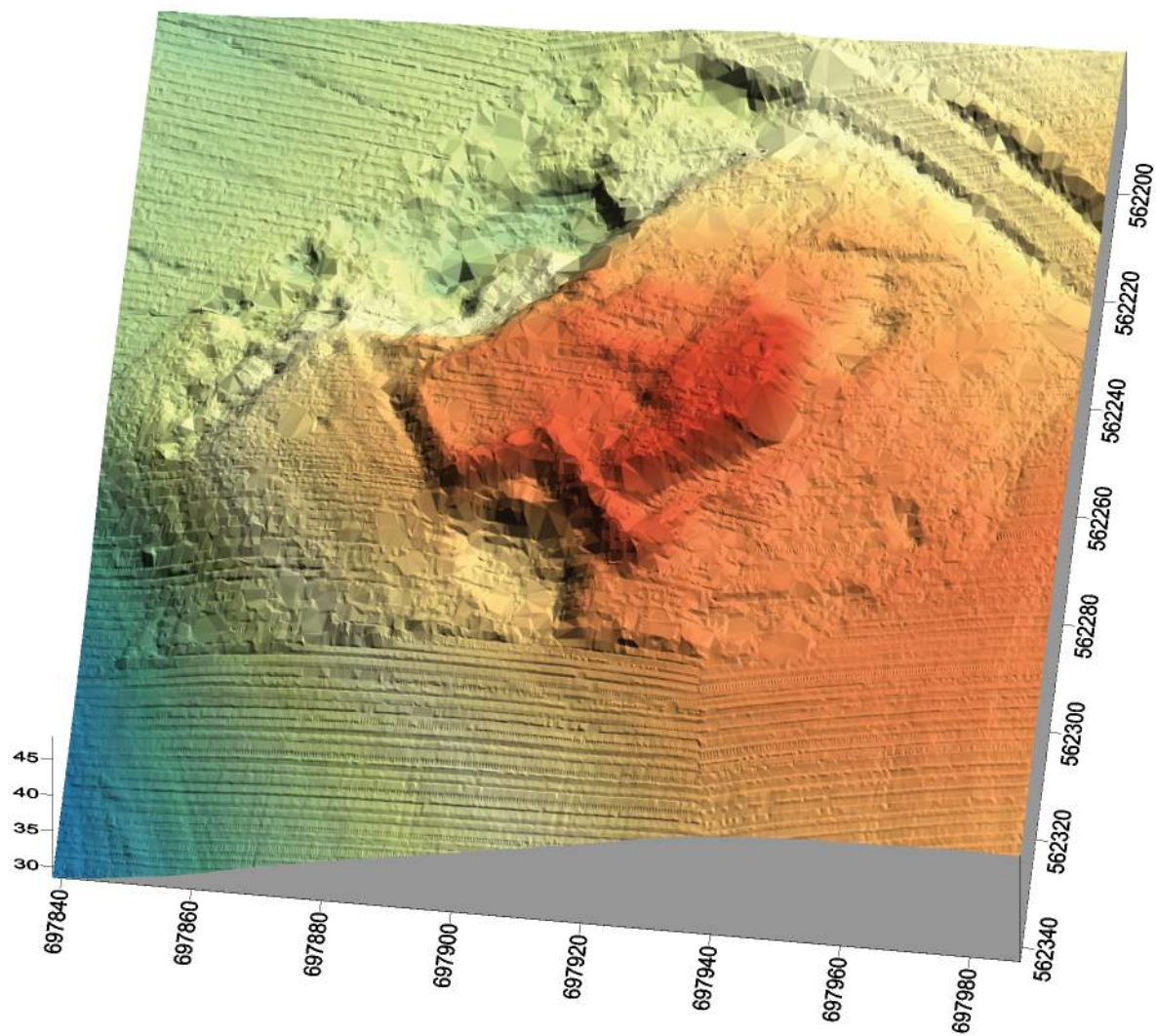
Należy w tym miejscu spróbować określić, czym jest opisany nasyp. Na Numerycznym Modelu Terenu jest on widoczny wraz z równoległy do niego rowem na obszarze cypla, gdzie układają się na osi zbliżonej do północ-południe i mają długość około 103 m. To powoduje, że wychodzą one także poza powierzchnię cypla. Rów ma także swoją kontynuację na południe od doliny potoku, gdzie jego długość dochodzi do 250 m i na odcinku tym zmienia on także swój układ na oś zbliżoną do wschód-zachód. Kontynuacji rowu można doszukiwać się też w odległości około 80 m na północ od cypla, poza granicą pola i drogi. Występujący tam rów ma długość oko-

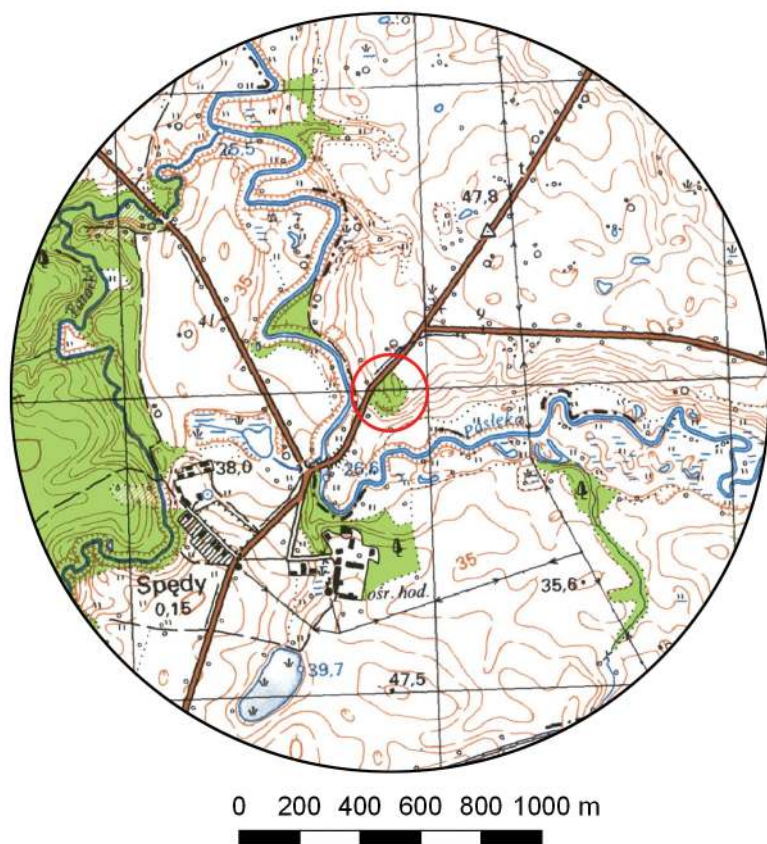
ło 67 m. Rowy o takiej formie i układzie są zazwyczaj interpretowane jako okopy i datowane na okres XIX i XX wieku. W trakcie wizytacji stanowiska w terenie nie natrafiono na żaden materiał zabytkowy, w tym łuksi lub naboje. Wydaje się jednak, że w przypadku Chwałęcina opisaną formę nasypu i rowu należy raczej interpretować jako współczesne okopy niż starsze wały będące pozostałościami grodziska.

Podsumowując, wyniki przeprowadzonego rozpoznania nie wykazały obecności form terenowych, które mogłyby być pozostałościami umocnień starszych niż XIX-XX wiek, a co za tym idzie nie potwierdzono informacji z Karty Ewidencji Stanowiska Archeologicznego o istnieniu w tym miejscu grodziska.

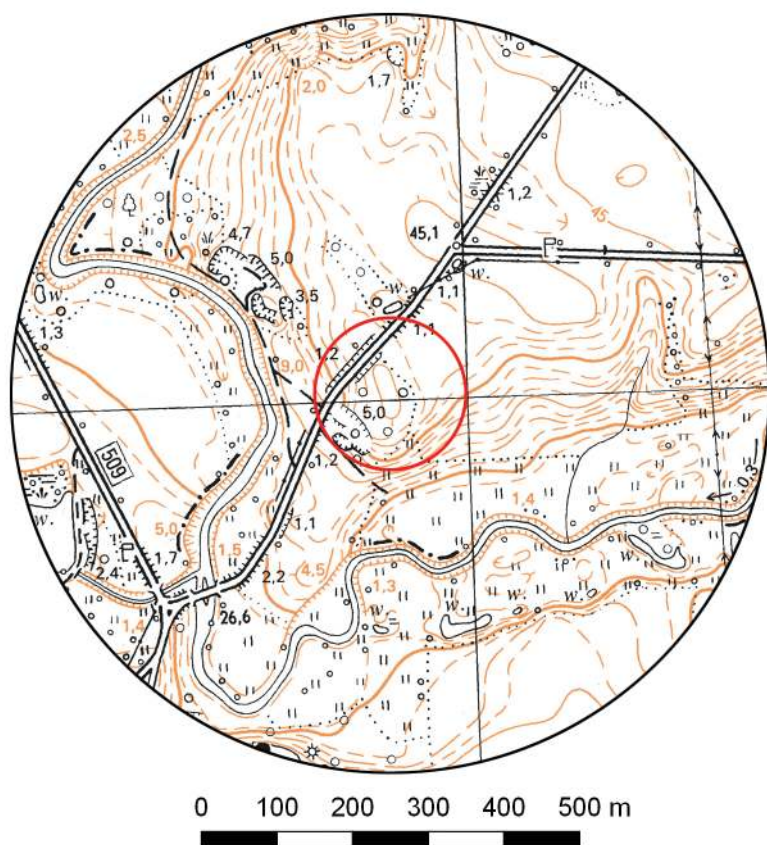
Osetnik, st. 2

Gmina Orneta
Powiat lidzbarski
AZP 16-56/9
Współrzędne geograficzne:
N 54° 08' 30"
E 19° 57' 12"





Ryc. 1. Stanowisko w Osetniku, st. 2 na mapie w skali 1:25 000 (na podstawie materiałów GUGiK, oprac. R. Solecki)



Ryc. 2. Stanowisko w Osetniku, st. 2 na mapie w skali 1:10 000 (na podstawie materiałów GUGiK, oprac. R. Solecki)

WYNIKI WERYFIKACJI

KAMIL RABIEGA I PRZEMYSŁAW JAŻDŻYK

Stanowisko znajduje się w zakolu rzeki Pasłęki, około 2,5 km na południe od wsi Osetnik, przy południowo-zachodniej granicy Warmii. W najbliższym otoczeniu znajduje się wieś Spędy, której zabudowania oddalone są o około 0,7 km na południe. W odległości około 2,5 km na północny zachód znajduje się miejscowości Gdańskie, natomiast 3 km na wschód miejscowości Dąbrówka (ryc. 1–2). Według ostatniej przygotowanej dla stanowiska karty ewidencyjnej z 1987 roku sklasyfikowane jest pod numerem AZP 16-56/9 i przypisane do miejscowości Dąbrówka, gdzie otrzymało numer 2. Według obecnego podziału administracyjnego znajduje się w obrębie ewidencyjnym Osetnik.

Stanowisko, ze względu na lakoniczność przekazu Hansa Cromego, było błędnie określane grodziskiem i opisywane w literaturze jako grodzisko w Osetniku (niem. *Wusen*) lub w Spędach (niem. *Spanden*). W 1937 roku Hans Crome zinwentaryzował stanowisko jako *Alte Schanzen* z czasów wojen napoleońskich znajdujące się w Osetniku¹. Trzy lata później w swojej ewidencji grodzisk notuje istnienie *Wehranlage* w Spędach/Osetniku (na wschód od Osetnika i na północ od rzeki Pasłęki bądź w zakolu na jej prawym brzegu)². Poza tym, w miejscowości Spędy wymienia *Schloßberg*, położony

¹ Crome 1937: 104.

² Crome 1940: 124, 145.

w *Spandener Walde* („lesie spędowskim”), na zachód od rzeki Pasłęki, 3 km na północ od Spędów i 1 km na wschód od Gdańskich. Pierwsze z wymienionych miejsc jest zapewne tożsame z omawianym francuskim przyczółkiem mostowym z 1807 roku. Drugie zostało zweryfikowane i znane jest obecnie jako grodzisko w Gdańskach, st. 1⁴.

Już około lat 1826–1828 przyczółek mostowy został zewidencjonowany w formie notatki i szkicu przez Johanna Michaela Guisego (ryc. 3). Na niemieckich mapach sprzed II wojny światowej miejsce opisywane było jako *Alte Schanzen* (Stary Szaniec) (ryc. 5:A), lub *Franz. Brückenkopf* (Francuski Przyczółek) (ryc. 5:B).

Te okoliczności spowodowały, że próby odnalezienia grodziska w Osetniku/Spędach prowadzone były w złym miejscu i bez rezultatów. Takie poszukiwania w 1967 roku prowadzili Mieczysław Haftka i Marian Bosy. Specjalistowali oni lewy brzeg Pasłęki na odcinku od wsi Spędy aż po las w Gdańskach, lecz wynik ich poszukiwań był negatywny. W toku przeprowadzonych wywiadów dowiedzieli się, że podczas prac melioracyjnych we wsi Spędy nad Pasłęką znalezione „średniodwieczny hełm rycerski bogato inkrustowany złotem”. Hełm miał być przechowywany przez lekarza weterynarii Stanisława Daszkiewicza z Rychlików, lecz według słów wyżej wymienionego został mu skradziony. Na

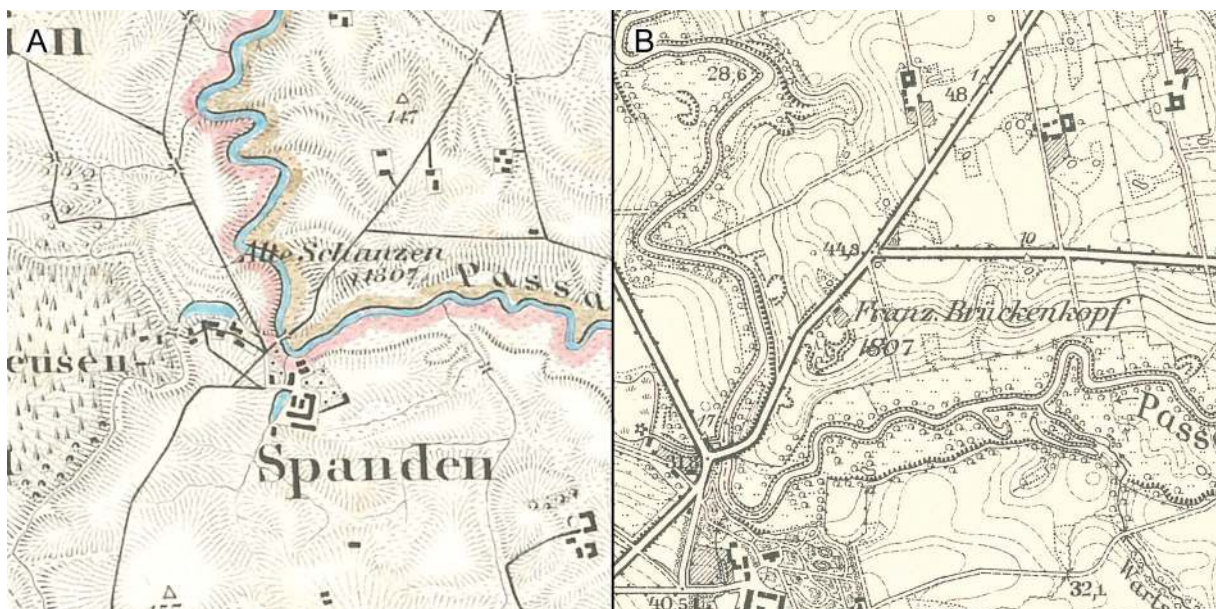
³ Crome 1940: 124.

⁴ Opisane w 3 tomie Katalogu grodzisk Warmii i Mazur.



Ryc. 4. Stanowisko w Osetniku, st. 2 na planie Johanna Michaela Guisego z lat 20. XX wieku

(źródło: Staatliche Museen zu Berlin, Museum für Vor- und Frühgeschichte, PM-IXh)



Ryc. 5. Stanowisko w Osetniku, st. 2 na: A) mapie *Karte des Deutschen Reiches Generalstabskarte*, 1:100 000, karta Wormditt, z około 1872 r. (źródło: www.maps.mapywig.org), B) mapie *Topographische Karte 1:25 000, Meßtischblatt*, karta Wusen (547), z 1913 r. (źródło: www.maps.mapywig.org)

ręcznie sporządzonej mapie dołączonej do notatki z poszukiwań, autorzy zaznaczyli „grodzisko w pobliskiej wsi Osetnik”, o którego istnieniu dowiedzieli się od dyrektora miejscowego PGR. Prawdopodobnie oznaczyli wówczas przyczółek mostowy⁵.

W 1987 roku stanowisko trafiło do ewidencji stanowisk archeologicznych, a opisano je jako przyczółek mostowy. Wpisu dokonano na podstawie badań powierzchniowych prowadzonych w 1985 roku przez Elżbiętę Kowalczyk (pierwszy wpis był dla wsi Dąbrówka, st. 2, AZP 16/56-9 i został zmieniony na Osetnik). Weryfikacji stanowiska dokonał w 1995 roku Marek Jagodziński w ramach programu „Adalbertus”. Opisano je wówczas jako „grodzisko cyplowe, z potężnym wałem zaporowym od północy. Obiekt częściowo zniszczony podczas wojen napoleońskich oraz w czasie ostatniej wojny znajdowały się na nim stanowiska artyleryjskie”. Mimo braku materiału zabytkowego i ustalonej chronologii uznano je za wczesnośredniowieczne i przypisano do kultury pruskiej⁶. Przegląd map sporządzonych w XVI i XVII wieku nie wykazuje istnienia w tym miejscu umocnień obronnych przed XIX wiekiem⁷.

⁵ Informacja z notatki znajdującej się w teczce Spedy (Ar/99) w Archiwum WUOZ w Olsztynie, delegatura w Elblągu.

⁶ Jagodziński 1997: 87.

⁷ Mapa Caspara Hennenbergera z widocznym mostem Osetniku i przeprawą w Bardynach (za: Hennenberger 1576) oraz mapa *Stromlauf*

Wczesną wiosną 2017 roku amatorscy pasjonaci historii oraz członkowie grup rekonstrukcyjnych przy użyciu wykrywaczy metali podjęli poszukiwania mające na celu ustalenie miejsca bitwy pod Spędami. Główny obszar działania detektorystów objął okolice przyczółka mostowego po drugiej stronie drogi prowadzącej do Dąbrówki. Na podstawie szkicu J.M. Guisego z lat 20. XIX wieku można domniemywać, że obszar ten stanowił pierwotnie zachodnią część umocnień przyczółka, które zostały zniwelowane przez prace rolne i dziś są zupełnie nieczytelne. Głównymi znaleziskami poszukiwaczy na dawnym polu bitwy były kulki muszkietowe i pistoletowe, dwie kule armatnie i odłamki kul – granatów armatnich, najprawdopodobniej rosyjskich. Znaleziono m.in. dwie kule od kartaczownicy, pruski ozdobnik z munsztuku z wizerunkiem konia, element rosyjskiego karabinu, guzik napoleoński 8. Pułku Piechoty Liniowej i wytopek ołowiovy o wadze 12,7 kg. Nagrano przy tej okazji program telewizyjny z serii „Poszukiwacze historii”. W poszukiwaniach brał udział m.in. Krzysztof Werner, członek elbląskiego Stowarzyszenia Historyczno-Poszukiwawczego „Denar”.

vom Ausfluss aus dem Sarong-See bis Braunsberg Federzeichnung z widocznym mostem koło Olkowa, drogą do Bażyn i Ornety oraz brodami w Lemitach, Spędach (jeden z palisadą) i w Bardynach; mapy te zostały szczegółowo opracowane przez Roberta Klimka, zob. Klimek 2017.

Do 2022 roku stanowisko nie było badane wykopaliskowo. Ze względu na liczne i niejasne informacje o grodzisku w Osetniku/Spędach postanowiono dokonać rozpoznana stanowiska. Celem badań było zweryfikowanie śladów starszego osadnictwa i ustalenie chronologii najstarszych kulturowych. W tym celu wytyczono dwa wykopy badawcze. Wykop 1 (W1), o wymiarach $1,5 \times 5$ m, znajdował się na szczycie reduty w miejscu największego wyniesienia, a wykop 2 (W2) o wymiarach $1,5 \times 7$ m zlokalizowano na zewnętrznym stoku reduty w kierunku północno-wschodnim i wytyczono tak, aby przecinał zbocze wału reduty, rów obronny i wał zewnętrzny. Położenie wykopów przedstawia ryc. 6.

Stratygrafia stanowiska

W trakcie badań archeologicznych wydzielono łącznie 30 jednostek stratygraficznych, w tym dwa obiekty (tabela 1). Możliwe było ich rozdzielenie pomiędzy warstwy naturalne i dwie fazy „użytkowe”, z czego dla fazy I

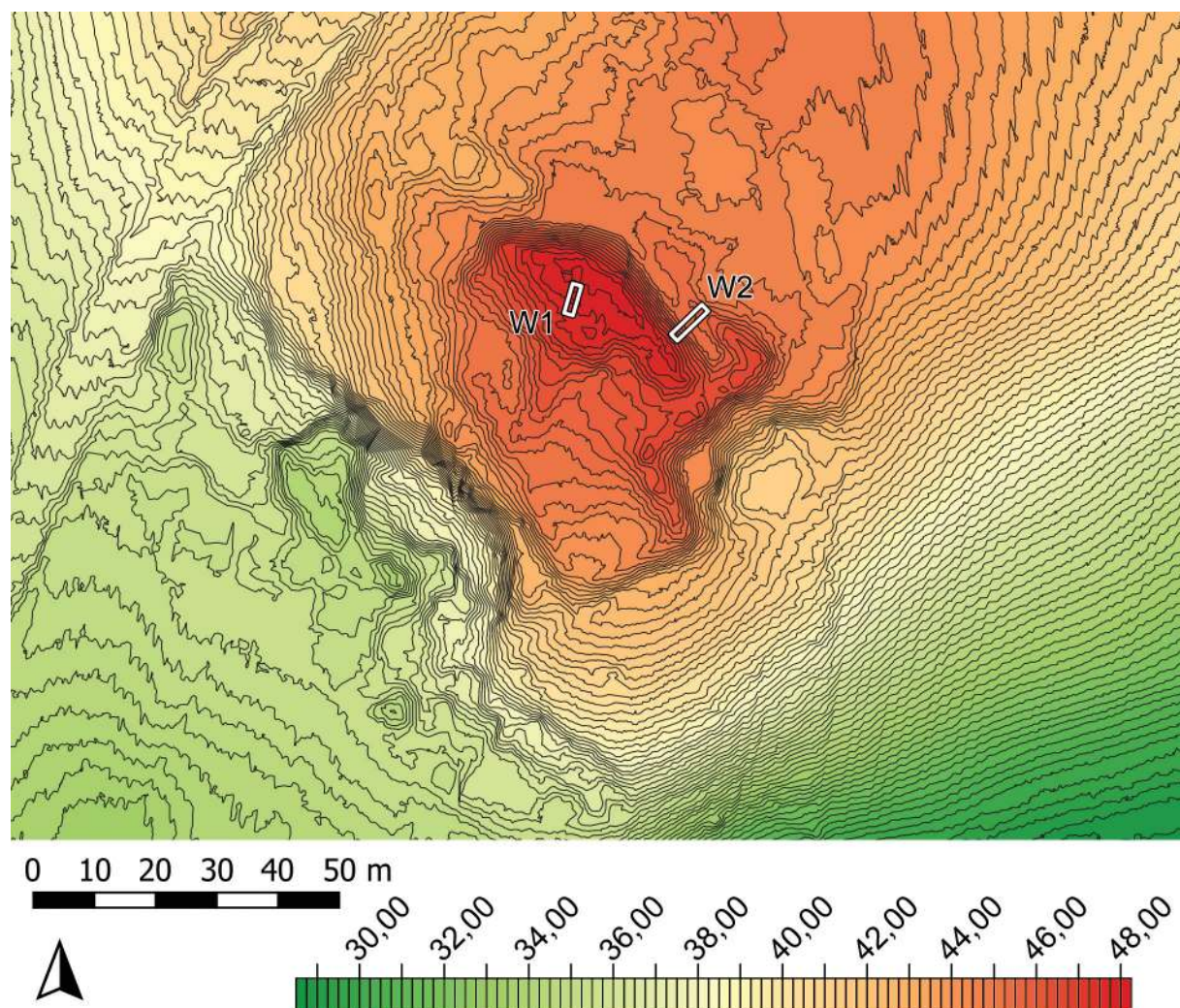
wydzielono trzy mniejsze podfazy A-C, a dla fazy II dwie podfazy A-B. Diagram Harris'a dla wydzielonych jednostek stratygraficznych przedstawia ryc. 7, a zadokumentowane powierzchnie ryc. 8-10.

Warstwy naturalne

Wzniesienie składa się z przemieszanych frakcji glin i piasków. W trakcie badań jako jednostki naturalne w obu wykopach wydzielono ilasty, miejscami sypki, a miejscami zbity piasek z żelazistymi wytrąceniami 17, a także częściowo zalegającą na nim w W2 warstwę gliny z wytrąceniami żelazistymi 28.

Faza I

Fazę tę należy wiązać z okresem wojen napoleońskich i obecnością wojsk francuskich w tych okolicach od 1807 roku. Wtedy to rozpoczęto budowę przyczółka mostowego nad Pasłęką. Na podstawie stratygrafii zadokumentowanych jednostek wydzielono trzy podfazy o oznaczeniach A-C.



Ryc. 6. Osetnik, st. 2. Plan stanowiska z naniesionymi wykopami archeologicznymi (oprac. R. Solecki)

Tabela 1. Osetnik, st. 2. Katalog warstw i obiektów oraz ich zależności stratygraficznych
(oprac. K. Rabiega i P. Jaźdzyk)

Numer jednostki	Numer obiektu	Numer wykopu	Polozenie w obrębie stanowiska	Współrzędne geodezyczne (PUGW 2000)	Opis jednostki stratygraficznej	Barwa (Munsell)	Pozycja stratygraficzna	
							Znajduje się pod	Znajduje się nad
1	-	1, 2	Całe stanowisko	Y=7431608,7-7431632,5; X=6001751,4-6001760,6	Piaszczysta, organiczna, humusowa ziemia; miąższość do 30 cm; znaleziono w niej nabój z okresu II wojny światowej, fragment żelaza, fragment szkła i 2 fragmenty ceramiki; humus leśny	10YR 3/2	-	2, 3, 4, 5, 6, 7, 8, 12, 24
2	-	1	Szczyt wału reduty	Y=7431608,7-7431611,6; X=6001755,4-6001760,6	Piaszczysta, sypka warstwa; miąższość do 45 cm; znaleziono w niej fragment żelaza; nasyp reduty	10YR 5/4	1, 3, 4	11, 15
3	-	1	Szczyt wału reduty	Y=7431609,6-7431611,6; X=6001758,2-6001760,6	Przemieszana warstwa twardej gliny i zbitego, gliniastego piasku; miąższość do 30 cm; nasyp wału reduty na szczycie	10YR 3/4	1, 4	2
4	-	1	Szczyt wału reduty	Y=7431609,4-7431611,3; X=6001757,7-6001759,6	Piaszczysta, przemieszana zbita warstwa organicznej ziemi; miąższość do 20 cm; znaleziono w niej 7 nabolów i 2 łuski z okresu II wojny światowej; zagłębienie przy szczycie wału reduty	10YR 3/3	1	2, 3
5	29	2	Rów po północno-wschodniej stronie wału reduty	Y=7431628,1-7431630,3; X=6001753,2-6001755,3	Piaszczysto-gliniasta ziemia z dużą ilością organik; miąższość do 20 cm; znaleziono w niej fragment żelaza; spływy - najmłodsze wypełnisko rówu obronnego	10YR 4/4	1	6, 8
6	29	2	Rów po północno-wschodniej stronie wału reduty	Y=7431628,4-7431630,9; X=6001753,4-6001755,9	Piaszczysta i piaszczysto-gliniasta, przemieszana sypka ziemia; miąższość do 85 cm na jej dnie znaleziono okrągły nabój ołowiany i fragment żelaza; spływy - starsze wypełnisko rówu obronnego	10YR 5/8	1, 5	7, 8, 12, 18, 21, 25, 26, 29
7	-	2	Niski wał po północno-wschodniej stronie reduty	Y=7431630,3-7431632,4; X=6001754,5-6001757,3	Gliniasta, przemieszana, zbita ziemia; miąższość do 40 cm; górna warstwa nasypu wału po północno-wschodniej stronie rówu obronnego	10YR 4/4	1, 6	9, 12
8	-	2	Północno-wschodnie zbocze wału reduty	Y=7431626,2-7431629,3; X=6001751,4-6001754,6	Piaszczysto-gliniasta ziemia z grudkami gliny; miąższość do 40 cm; warstwa nasypu wału reduty	10YR 5/4	1, 5, 6, 24	18, 23, 29
9	-	2	Niski wał po północno-wschodniej stronie reduty	Y=7431630,3-7431632,4; X=6001755,2-6001757,3	Przemieszana glina z elementami sedymendu piaszczystego i bielicowymi wtrętami; miąższość do 70 cm; warstwa nasypu wału po północno-wschodniej stronie rówu obronnego	10YR 5/6	7	12
10	-	1	Szczyt wału reduty	Y=7431608,7-7431611,6; X=6001755,4-6001760,6	Piaszczysta jednorodna warstwa; miąższość do 50 cm; nasyp reduty	10YR 4/6	11, 16, 30	13, 14
11	-	1	Szczyt wału reduty	Y=7431608,7-7431611,6; X=6001755,4-6001760,6	Piaszczysta jednorodna ziemia z bielicowymi przejaśnieniami; miąższość do 20 cm; warstwa użytkowa po wykopaniu jamy zasobowej	10YR 5/4	2, 15	10, 16, 30
12	-	2	Niski wał po północno-wschodniej stronie reduty	Y=7431629,6-7431632,4; X=6001754,5-6001757,3	Gliniasto-piaszczysta, zbita ziemia; miąższość do 65 cm; najstarsza warstwa nasypu wału po północno-wschodniej stronie rówu obronnego	10YR 4/4	1, 6, 7, 9	17, 27, 29
13	-	1	Szczyt wału reduty	Y=7431608,7-7431611,6; X=6001755,4-6001760,6	Piaszczysta warstwa z drobinami węgli drzewnych; miąższość do 15 cm; znaleziono w niej obręcz żelazna, 2 fragmenty ceramiki i 5 fragmentów kości zwierzęcych; humus pierwotny	10YR 6/6	10, 14, 16	17
14	-	1	Szczyt wału reduty	Y=7431608,7-7431611,6; X=6001755,4-6001760,6	Twarda i zbita glina; miąższość do 15 cm; warstwa utwardzająca grunt nad humusem pierwotnym powstała na początku budowy reduty	10YR 6/4	10, 16	13
15	16	1	Szczyt wału reduty	Y=7431609,8-7431611,1; X=6001758,2-6001759,8	Piaszczysta jednorodna ziemia; miąższość do 70 cm; znaleziono w niej 1 fragment ceramiki; wypełnisko prostokątnego obiektu (jamy zasobowej)	10YR 5/6	2	11, 16, 30
16	16	1	Szczyt wału reduty	Y=7431609,8-7431611,1; X=6001758,2-6001759,8	Prostokątny obiekt; szerokość ok. 130 cm; głębokość ok. 70 cm; zagłębiony w humus pierwotny i podłoże naturalne ok. 25 cm; jama zasobowa	-	11, 15, 30	10, 13, 14, 17
17	-	1, 2	Całe stanowisko	Y=7431608,7-7431632,5; X=7431627,3-6001760,6	Ilasty, miejscami szpiky, a miejscami zbita piasek z żelazistymi wytrąceniami; podłoże naturalne	10YR 5/4	12, 13, 16, 22, 26, 27, 29	28
18	-	2	Północno-wschodnie zbocze wału reduty	Y=7431626,2-7431629,3; X=6001751,4-6001754,6	Gliniasto-piaszczysta, przemieszana ziemia; miąższość do 70 cm; nasyp wału reduty	10YR 4/3	6, 8, 23	19, 21
19	-	2	Północno-wschodnie zbocze wału reduty	Y=7431626,2-7431628,0; X=6001751,4-6001753,2	Cienka warstwa ciemnej zbitiej gliny i zglinionego piasku między 20 a 21; miąższość do 20 cm; starszy element nasypu wału reduty	10YR 4/3	18, 21	20
20	-	2	Północno-wschodnie zbocze wału reduty	Y=7431626,2-7431628,0; X=6001751,4-6001753,2	Zbita piaszczysto-gliniasta ziemia; miąższość do 20 cm; starszy element nasypu wału reduty	10YR 6/4	19, 21	22, 25
21	-	2	Północno-wschodnie zbocze wału reduty	Y=7431626,2-7431629,3; X=6001751,4-6001754,6	Zbita piaszczysto-gliniasta ziemia; miąższość do 25 cm; starszy element nasypu wału reduty	10YR 6/4	6, 18	19, 20, 22, 25, 26

Tabela 1. Osetnik, st. 2. Katalog warstw i obiektów oraz ich zależności stratygraficznych (oprac. K. Rabiega i P. Jaźdzyk)

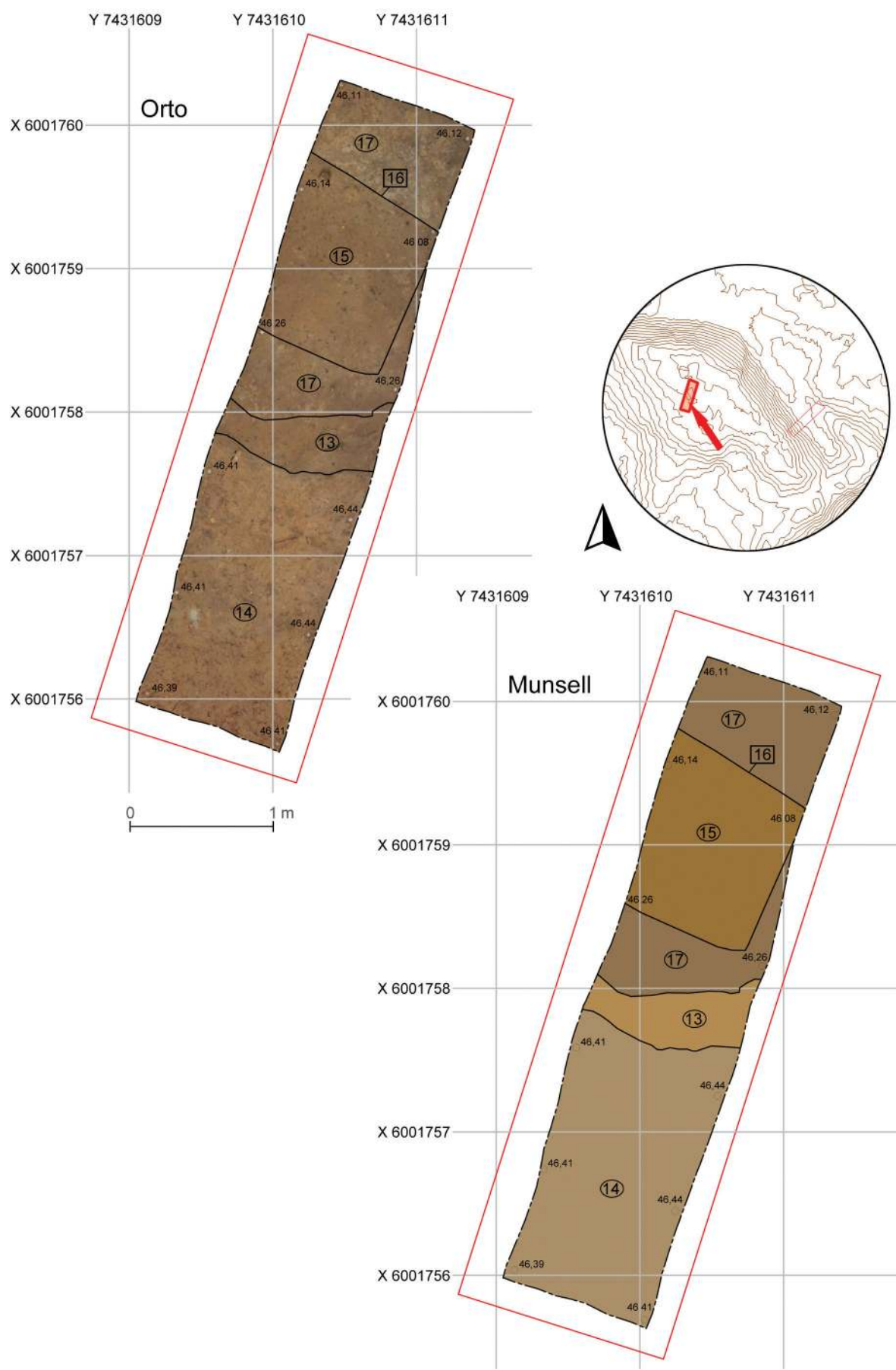
Numer jednostki	Numer obiektu	Numer wykopu	Położenie w obrębie stanowiska	Współrzędne geodezyczne (PUGW 2000)	Opis jednostki stratygraficznej	Barwa (Munsell)	Pozycja stratygraficzna	
							Znajduje się pod	Znajduje się nad
22	-	2	Północno-wschodnie zbocze wału reduty	Y=7431626,2; 7431629,3; X=6001751,4-6001754,6	Piaszczysta warstwa z drobinami węgli drzewnych; miąższość do 30 cm; humus pierwotny	10YR 6/3	20, 21, 25, 26	17, 28
23	-	2	Północno-wschodnie zbocze wału reduty	Y=7431626,2; 7431627,9; X=6001751,4-6001753,5	Twarda grudkowata glina z frakcjami piaszczystymi i zbielicowanymi wtrątami; miąższość do 50 cm; nasyp wału reduty	10YR 5/3	8	18
24	-	2	Północno-wschodnie zbocze wału reduty	Y=7431626,2; 7431627,6; X=6001751,4-6001752,9	Gliniasta, przemieszana, zbita ziemia; miąższość do 30 cm; najmłodszy element nasypu wału reduty od strony północno-wschodniej	10YR 4/2	1	8
25	-	2	Północno-wschodnie zbocze wału reduty	Y=7431627,3; 7431629,5; X=6001751,9-6001754,6	Gliniasto-piaszczysta ziemia; miąższość do 20 cm; najstarszy element nasypu wału reduty	10YR 4/3	6, 20, 21	22, 26
26	-	2	Północno-wschodnie zbocze wału reduty	Y=7431628,3; 7431629,5; X=6001753,4-6001754,6	Przemieszana gliniasto-piaszczysta ziemia; miąższość do 20 cm; osunięcie powstałe w trakcie sypania wału	10YR 6/4	6, 21, 25	17, 22, 29
27	-	2	Niski wał po północno-wschodniej stronie reduty	Y=7431629,9; 7431632,1; X=6001755,8-6001757,1	Piaszczysta warstwa z drobinami węgli drzewnych, miąższość do 15 cm; humus pierwotny	10YR 6/3	12	17
28	-	2	Północno-wschodnie zbocze wału reduty	Y=7431626,7; 7431629,5; X=6001751,4-6001753,5	Glina z wytrąceniami żelazistymi; podłoże naturalne	10YR 6/6	17, 22	-
29	29	2	Rów po północno-wschodniej stronie wału reduty	Y=7431628,4; 7431630,4; X=6001753,4-6001755,6	Rów o szerokości do 140 cm; zagębliony w podłożu naturalnym ok. 50 cm; wkop rówu obronnego	-	6, 8, 12, 26	17
30	-	1	Szczyt reduty	Y=7431610,1; 7431611,6; X=6001759,4-6001760,6	Twarda warstwa gliny; miąższość do 20 cm; wzmacnienie wału zabezpieczające przed osuwaniem się ziemi w pobliżu jamy zasobowej	10YR 6/4	11, 15	10, 16



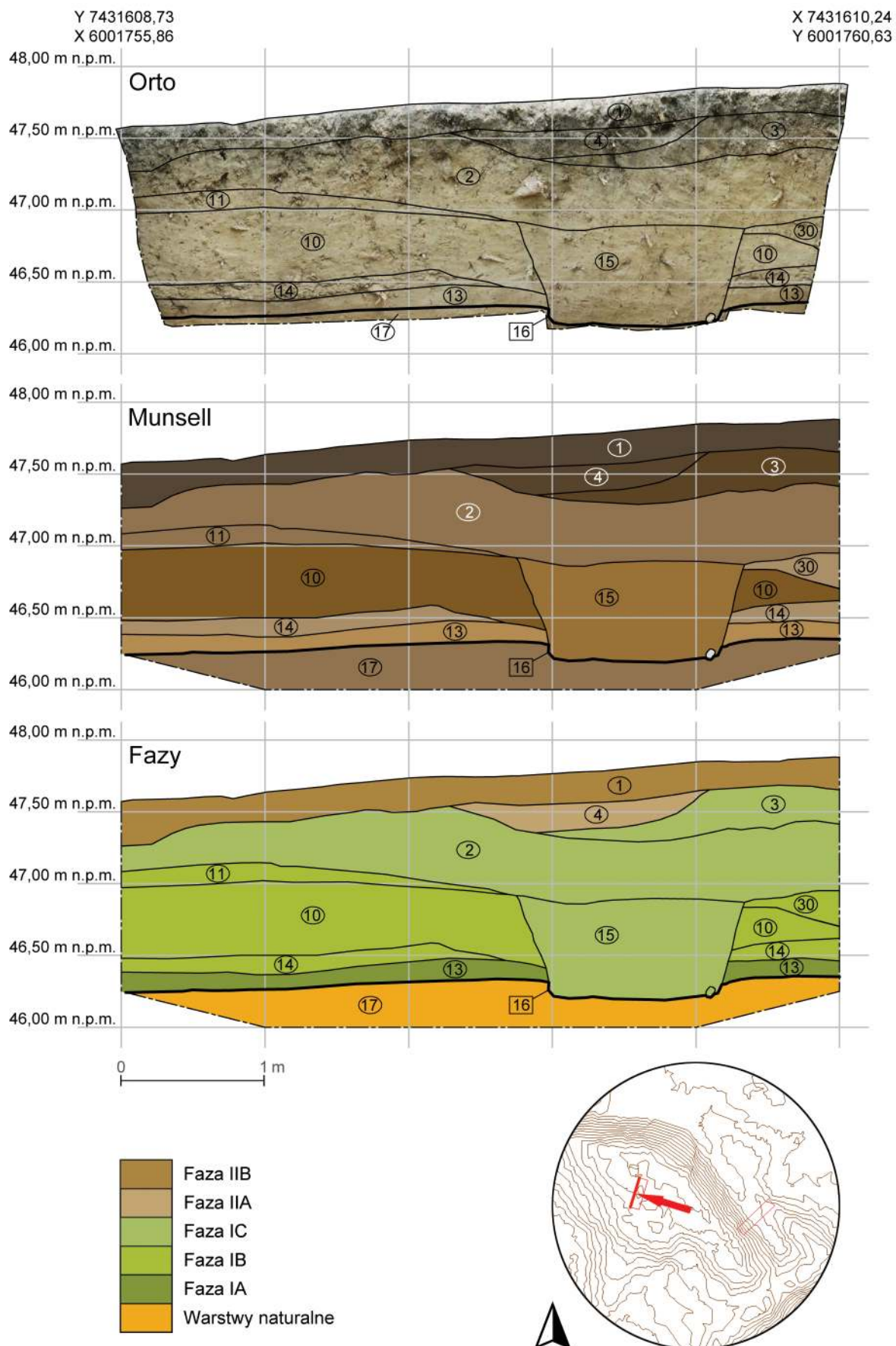
Ryc. 7. Osetnik, st. 2. Diagram relacji stratygraficznych (oprac. K. Rabiega)

Faza IA wiąże się z początkiem obecności francuskiej i rozpoczęciem prac na zastanych nawarstwieniach. Wówczas nad naturalnym podłożem pagórka morenowego zalegał humus pierwotny, którego ślady zachowały się w obu wykopach w postaci stosunkowo cienkich piaszczystych warstw ziemi zawierających drobiny węgli drzewnych. Humus pierwotny w W1 reprezentuje piasek z drobinami węgli drzewnych 13, w którym znaleziono żelazną obręcz, 2 fragmenty ceramiki i 5 fragmentów kości zwierzęcych. W W2 były to piaski 22 i 27 z drobinami węgli drzewnych.

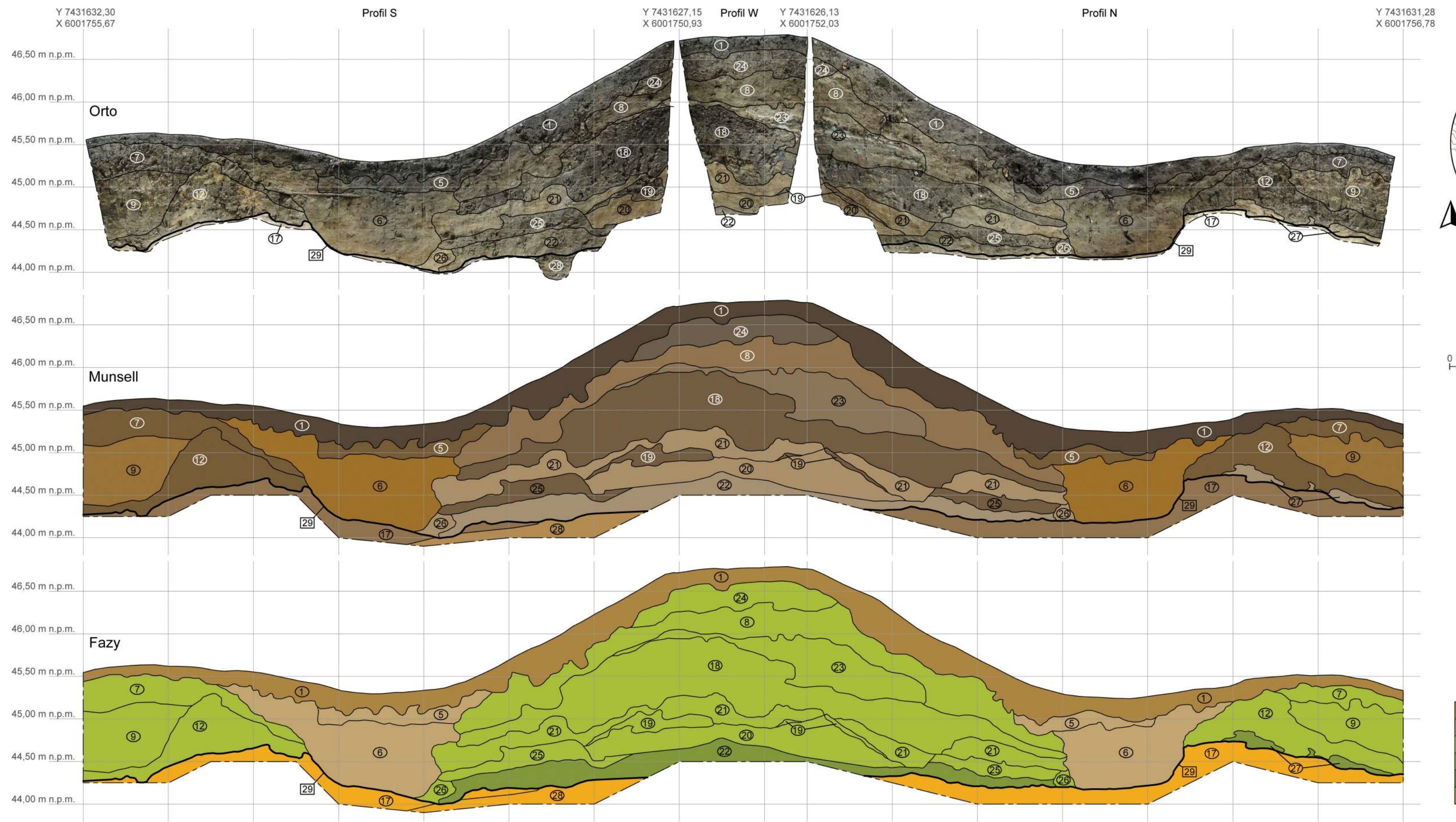
Faza IB odzwierciedla budowę umocnień ziemnych reduty, ukształtowanie szańców i wałów. Szczyt wzniesienia został utwardzony zbitą gliną 14 o miąższości do 15 cm, położoną bezpośrednio nad humusem pierwotnym. Powyżej nadsypano 50 cm piaszczystej, jednorodnej warstwy ziemi 10, a przy krawędzi najwyższej punktu reduty uformowano prostokątną jamę zasobową 16 poprzez częściowe zagęblenie w humusie pierwotnym i podłożu naturalnym (na głębokość około 25 cm). Jej szerokość wynosiła około 130 cm, a głębokość prawdopodobnie 70 cm. Od strony północnej jamę zabezpieczała warstwa twardej gliny 30, która wzmacniała wał, zabezpieczając przed osuwaniem się ziemi. Powyżej



Ryc. 8. Osetnik, st. 2. Stratygrafia nawarstwień na szczycie reduty – wykop 1, plan (oprac. K. Rabiega)



Ryc. 9. Osetnik, st. 2. Stratygrafia nawarstwień na szczycie reduty – wykop 1, profil W (oprac. K. Rabiega)



Ryc. 11. Osetnik, st. 2. Stratygrafia nawarstwień poniżej szczytu reduty od strony wschodniej – wykop 2, profile S, W i N (oprac. K. Rabiega, R. Solecki i P. Jaźdzyk)

Faza IIIB
Faza IIA
Faza IC
Faza IB
Faza IA
Warstwy naturalne

zalegała stosunkowo cienka warstwa użytkowa, która zachowała się w postaci piaszczystej, jednorodnej ziemi z bielicowymi przejaśnieniami 11, powstała najpewniej w trakcie funkcjonowania reduty.

W W2 zarejestrowano nawarstwienia związane z budową reduty oraz niższego wału od strony północno-wschodniej. W pierwszej kolejności powstał wkop rowu obronnego 29, zagębiony w podłoże naturalne na około 50 cm. Jego szerokości dochodziła do 140 cm. Na południowy zachód od rowu usypano stok wału reduty. Tworzą go przemieszane piaszczysto-gliniaste warstwy o zróżnicowanych frakcjach: starsze jednostki o stosunkowo małej miąższości (26, 25, 20, 19, 21), a także młodsze o maksymalnej miąższości do około 40–50 (18, 23, 8). Najmłodszym elementem nasypu wału reduty od strony północno-wschodniej jest gliniasta, przemieszana, zbita ziemia 24. Nasyp mniejszego wału po północno-wschodniej stronie rowu obronnego tworzą warstwy gliniasto-piaszczyste (12, 9, 7).

W fazie IC widoczne są nawarstwienia wskazujące na intencjonalne podwyższenie reduty przyczółka. Prawdopodobnie zasypyano wówczas jamę zasobową piaszczystą jednorodną ziemią 15, w której podczas badań natrafiono na 1 fragment ceramiki. Ponadto najwyższy punkt wzniesienia został podniesiony o około 50 cm poprzez nadsypanie jednorodnej piaszczystej ziemi 2, podobnej do wypełniska jamy zasobowej. W najwyższym punkcie nadsypano dodatkowo przemieszaną warstwę twardej gliny i zbitego, gliniastego piasku 3 o miąższości do 30 cm.

Faza II

Do tej fazy zaliczono jednostki powstałe w wyniku procesów erozyjnych, które zachodziły w okresie po opuszczeniu stanowiska przez wojska francuskie w pierwszej połowie XIX wieku. Na podstawie stratygrafii z dokumentowanych jednostek wydzielono dwie podfazy oznaczone A–B.

Fazę IIA w W1 reprezentuje piaszczysta, przemieszana, zbita warstwa organicznej ziemi 4. Tworzyła ona zagębienie przy szczytce wału reduty i związana jest z okresem II wojny światowej – znaleziono w niej 2 łuski i 7 nabojów do karabinu.

W W2 do tej podfazy tej przypisano wypełnisko rowu obronnego – piaszczystą i piaszczysto-gliniastą, przemieszaną, sypką ziemię 6, na której dnie znaleziono okrągły nabój

ołowiany i fragment żelaza; a także piaszczysto-gliniastą ziemię z dużą ilością materii organicznej 5, w której znaleziono fragment żelaza.

Do fazy IIB należy współczesny poziom użytkowy złożony z ciemnej, piaszczystej, organicznej ziemi 1, pokrywającej cały obszar stanowiska.

Znaleziska

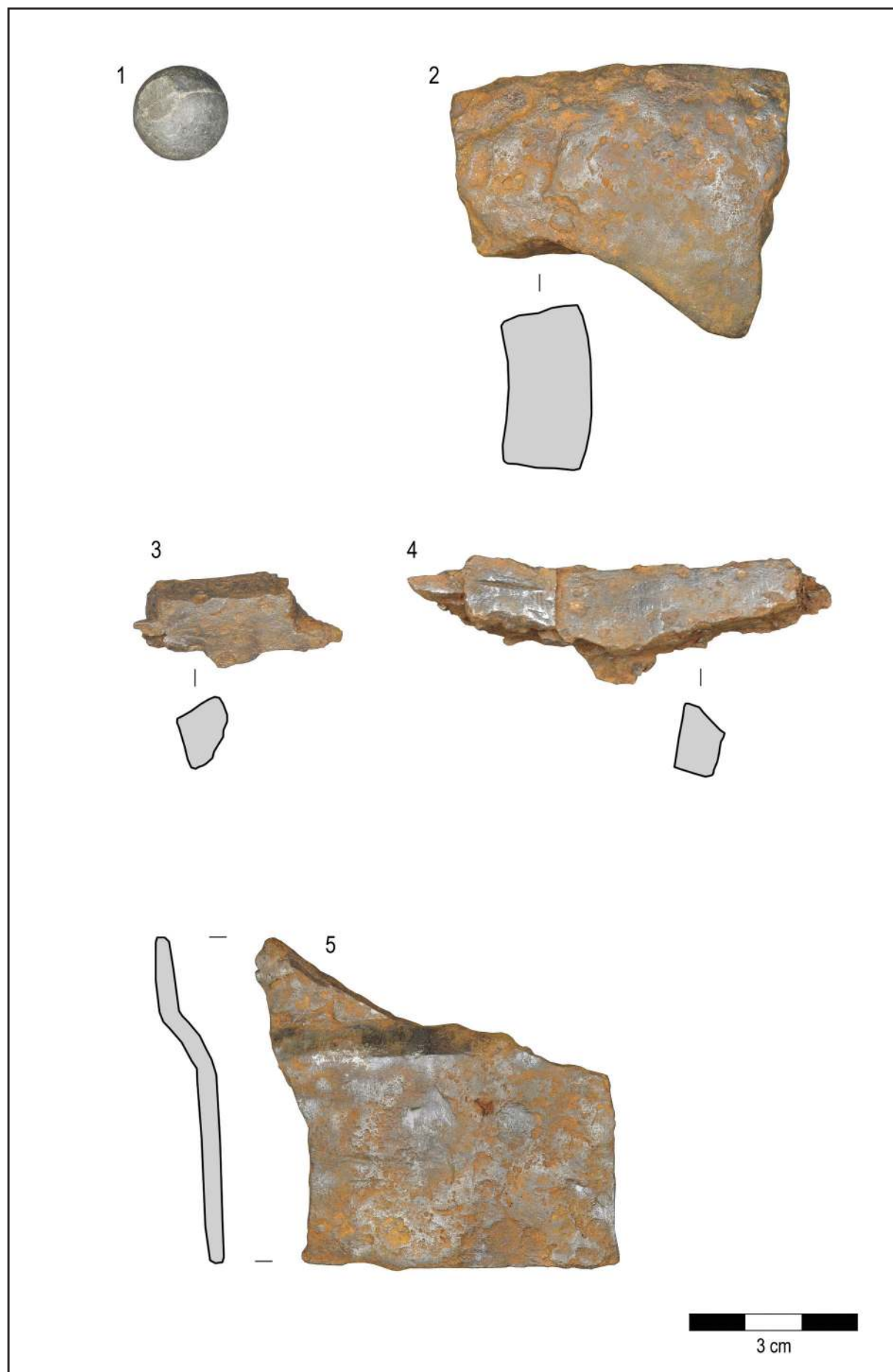
W trakcie badań pozyskano 5 fragmentów ceramiki. Noszą one cechy diagnostyczne, które pozwalają je datować na wcześnie epokę żelaza. Większość z nich znaleziono jednak na wtórnym złożu, a znalazły się tu w trakcie nawożenia ziemi do usypania szańców. Ziemię najpewniej pobierano z najbliższej okolicy, a analiza osadnictwa przeprowadzona w oparciu o karty ewidencyjne stanowisk archeologicznych z AZP wskazuje, że tuż obok wyniesienia reduty, na północ od niej, lokalizowane są dwa stanowiska z wcześniej epoki żelaza¹. Najpewniej więc, znaleziona ceramika pochodzi ze wspomnianych zniszczonych stanowisk. W trakcie badań nie uchwycono bowiem żadnej jednostki stratygraficznej, którą można by datować na tak wcześnie okres.

Z okresem wojen napoleońskich można łączyć znalezisko ołowianej kulki do muszkiety, o średnicy 17 mm (tabl. 1:1) oraz odłamek żeliwnej kuli armatniej (tabl. 1:2). Zapewne z tego okresu pochodzą także żeliwne i stalowe odłamki, ale o niedającym się ustalić pochodzeniu (tabl. 3–5). Być może to pozostałości kuli armatnich, bądź zniszczonego sprzętu wojskowego (np. armaty).

Chronologia

We wcześniej epoce żelaza, w zakolu rzeki Pasłęki przy jej północnym brzegu, na wysokości dzisiejszej miejscowości Spędy, funkcjonowała osada, prawdopodobnie o charakterze otwartym. Zamieszkiwała ją ludność, która można łączyć z archeologiczną kulturą kurhanów zachodniobałtyjskich. Prowadzone w przeszłości badania powierzchniowe, ani przeprowadzone w 2021 roku badania wykopaliskowe, nie wykazały umocnień, które można by datować na ten okres. Do chwili

¹ Są to: osada kultury pomorskiej lub kultury kurhanów zachodniobałtyjskich skatalogowana, jako AZP 16-56/14 oraz osada kultury kurhanów zachodniobałtyjskich skatalogowana jako AZP 16-56/15.



Tablica 1. Osetnik, st. 2. Zabytki wydzielone (fot. W. Weker)

obecnej możliwe jest uchwycenie jej pozostałości w postaci materiału ceramicznego występującego na powierzchni ziemi, na obszarze przylegającym od północy do drogi 509 pomiędzy miejscowościami Spedy i Osetnik.

W latach 1807–1813 ta część Prus Wschodnich była okupowana przez wojska francuskie. W omawianym miejscu, w roku 1807, zbudowano umocniony przyczółek mostowy przy bardzo ważnej przeprawie przez Pasłękę. Główna reduta znajdowała się 300 m od mostu, zaś na przedpolu znajdował się podwójny zasiek. Wszystko uzupełnione było rowem i palisadą. Wewnątrz przyczółka położony był duży obóz dla żołnierzy. Od reduty przebiegała droga do mostu, również zabezpieczona mniejszym szańcem i zasiekami. 4 i 5 czerwca 1807 roku w pobli-

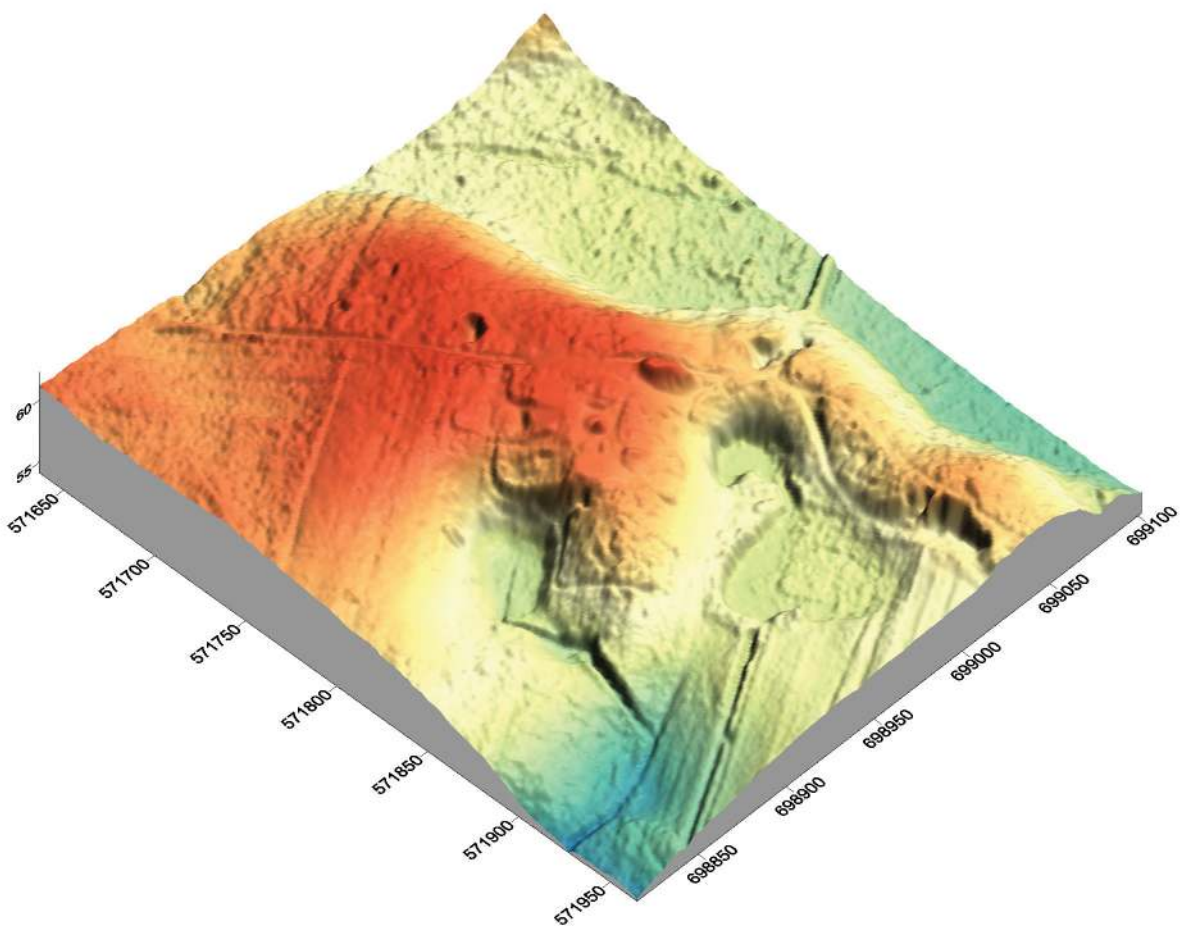
żu przyczółka mostowego w Spędach wojska napoleońskie starły się z siłami rosyjsko-pruskimi. W bitwie tej Francuzi pokonali zjednoczonych Prusaków i Rosjan, a następnie ścigali ich aż do Osetnika. Atak na Spedy zakończył się klęską sił prusko-rosyjskich i stratą około 500 żołnierzy².

Pozostałości przyczółka mostowego powstały na początku XIX wieku są dość dobrze zachowane, a forma terenowa czytelna. Przeprowadzone badania archeologiczne nie wykazały obecności form terenowych, które mogłyby być pozostałościami umocnień starszych niż XIX–XX wiek, a co za tym idzie, nie potwierdzono informacji w literaturze przedmiotu o istnieniu w tym miejscu grodziska.

² Arnold i Reinertsen 2012: 160.

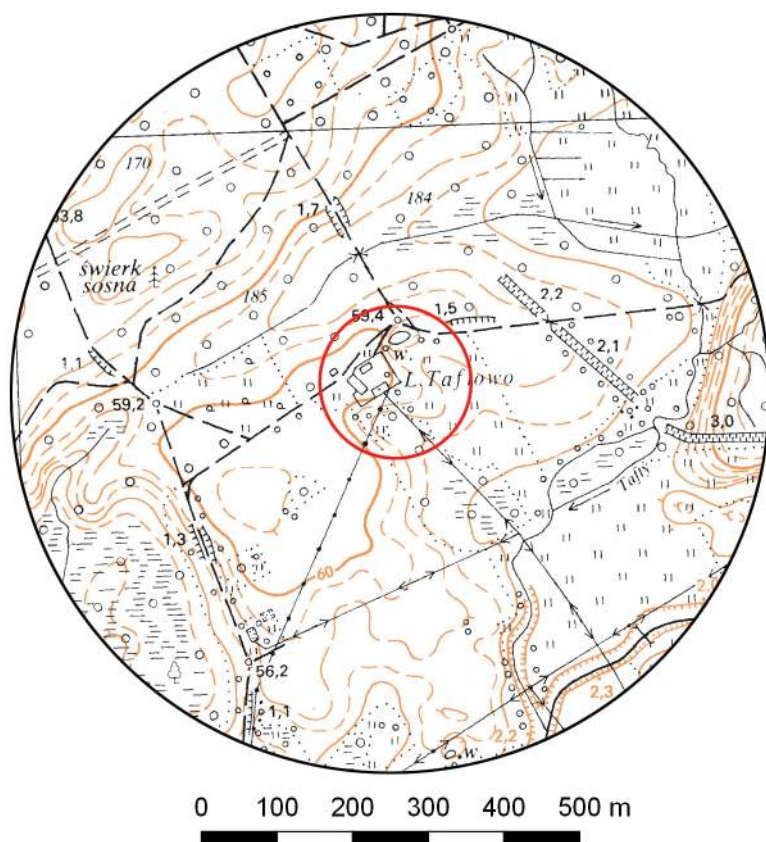
Tawty, st. 1

Gmina Orneta
Powiat lidzbarski
AZP 16-57/12
Współrzędne geograficzne:
N 58° 08' 59"
E 20° 05' 58"





Ryc. 1. Stanowisko w Tawtach, st. 1
na mapie w skali 1:25 000
(na podstawie materiałów GUGiK,
oprac. R. Solecki)



Ryc. 2. Stanowisko w Tawtach, st. 1
na mapie w skali 1:10 000
(na podstawie materiałów GUGiK,
oprac. R. Solecki)

WYNIKI WERYFIKACJI

RAFAŁ SOLECKI

Na drukowanej wersji mapy obszaru AZP 16-57 oznaczone jest pod numerem 12 grodzisko. Na Karcie Ewidencji Stanowiska Archeologicznego grodzisko to przypisane jest do miejscowości Tawty (niem. *Tauten*¹), gdzie ma numer 1. W obowiązującym obecnie po-dziale administracyjnym miejsce wskazane na mapie znajduje się w obrębie ewidencyjnym Augustyny (niem. *Agstein*)². Symbol użyty do oznaczenia grodziska to pusty trójkąt, co oznacza, że lokalizacja stanowiska jest nie-znana³. Serwis www.zabytek.pl podaje informację o lokalizacji stanowiska za pomocą „pin-zezki”, bez informacji o symbolu oryginalnego zaznaczenia. To sprawia, że we wskazanej lokalizacji (ryc. 1– 2) wyświetla się informacja sugerująca, że jest to potwierdzone położenie grodziska, a w rzeczywistości jest tam budynek leśniczówka Leśnictwa Taftowo (na dawnych mapach niem. *Tafter Waldhaus*) (ryc. 3). W tym miejscu należy jednak zaznaczyć, że oprócz jeziora nazywanego obecnie Tauty albo Taftowo (niem. *Tafter-See*) nie ma innej lokalizacji, która nosiłaby taką nazwę. Należałoby zatem przyjąć, że domniemanie grodzisko powinno znajdować się w najbliższej okolicy.

Na zobrazowaniu danych Numerycznego

¹ Nazwa *Tauten* występuje na mapie *Historische Karte des Bistums Ermland* z 1755 roku.

² Informacja z KESA 16-57/12 oraz mapy obszaru AZP 16-57.

³ Jagielska 2020: 19.

Modelu Terenu (ryc. 4) widoczne jest, że stanowisko (na ryc. 4 oznaczone okręgiem) znajduje się na cyplu wchodzący w dolinę Tauckiego Potoku. Wokół współczesnych zabudowań leśniczówki czytelne są nieduże liniowe nasypy lub uskokki, ale należy je łączyć z wygradzaniem działki po budynek leśniczówki. Od północy i od południa znajdują się tereny podmokłe, które w przeszłości mogły być sztucznyymi stawami. Ich granice w najbliższym sąsiedztwie stanowiska wyznaczają trzy groble (na ryc. 4 oznaczone strzałkami), które w obrębie dawnego rozlewiska wyznaczają mniejsze zbiorniki. System ten może być pozostałością dawnego młyna.

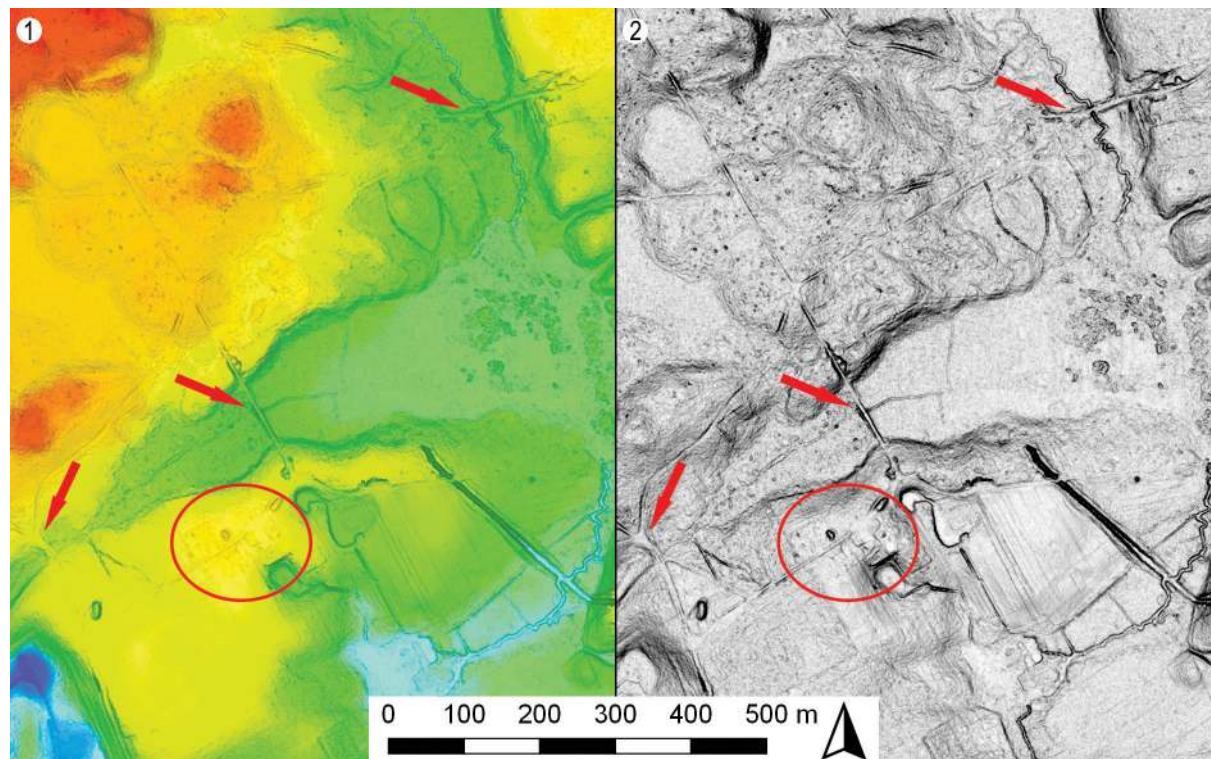
Informacja o młynie przy południowym brzegu Jeziora Taftowo, nad Potokiem Tauckim, znajduje się w dokumencie – nadaniu ziemi – z 1336 roku. Młyn ten nazwany jest tam *Kinappel*, a z opisu w tekście wynika, że znajduje się on w graniach parafii w pobliskim Henrykowie (niem. *Heinrikau*)⁴. W późniejszych dokumentach nie ma już o nim wzmianek.

Może to oznaczać, że dokonana w przeszłości interpretacja wskazująca, że w Tawtach znajduje się grodzisko, była mylna. Jeżeli już chcieć szukać tu pozostałości dawnej bytności człowieka, to raczej tej związanej z budową i funkcjonowaniem średniowiecznego młyna. Na obecnym etapie badań trudno też określić, czy młyn ten mógł znajdować się w miejscu dzisiejszej leśniczówki. W trakcie oglądu powierzchni wokół zabudowań

⁴ Kubicki 2012: 523; Woelky i Saage 1860: 161 (dokument nr 430).



Ryc. 3. Budynek Leśnictwa Taftowo – miejsce, gdzie miałoby znajdować się grodzisko (fot. R. Solecki)



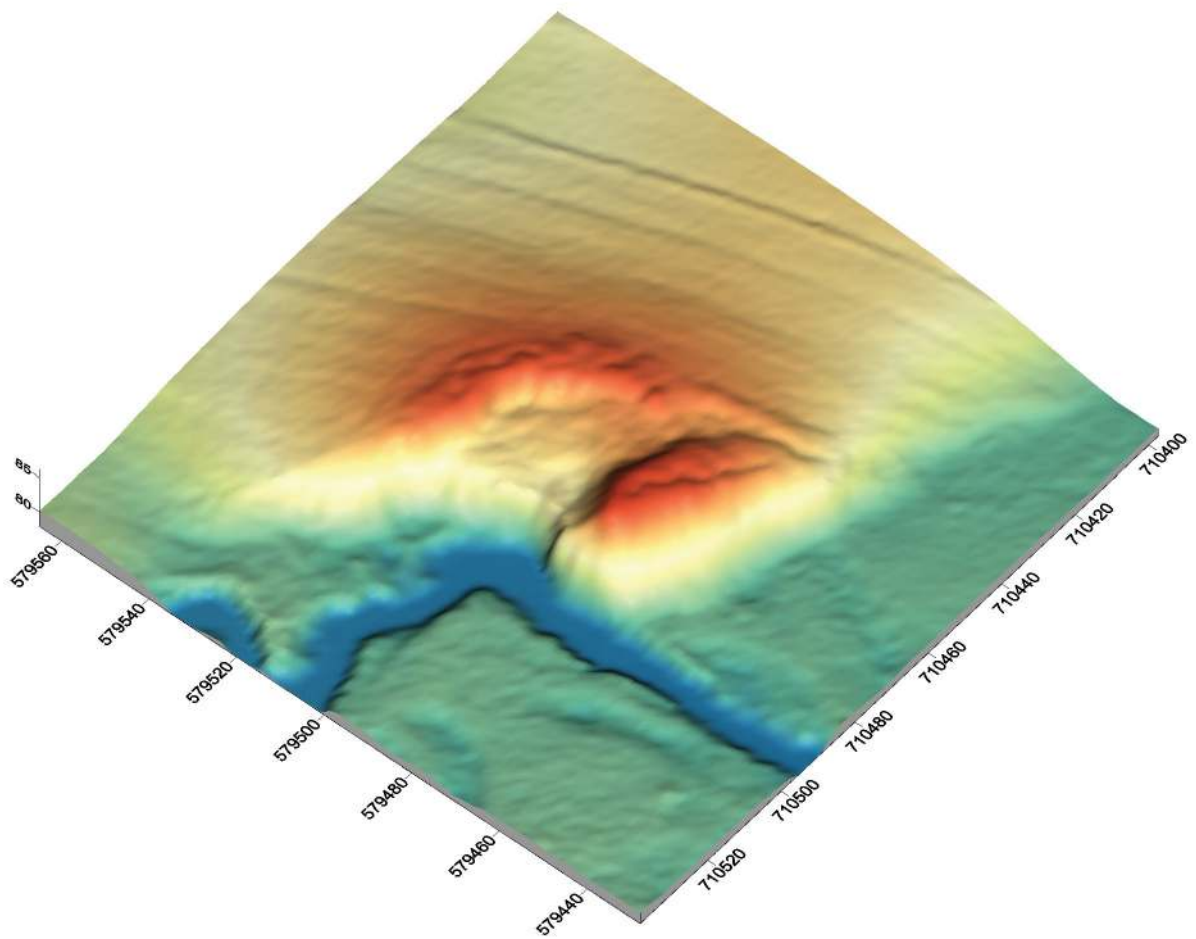
Ryc. 4. Tawty, st. 1. Analiza Numerycznego Modelu Terenu: 1) mapa stanowiska zwizualizowana za pomocą opcji *Atlas Shader* (kolorystyka jak w przypadku mapy fizycznej), 2) mapa stanowiska zwizualizowana za pomocą opcji *Slope Shader* (zaakcentowane powierzchnie silnie nachylone). Na mapach stanowisko zaznaczono okręgiem, a strzałkami zaznaczono groble przecinające dolinę (oprac. R. Solecki)

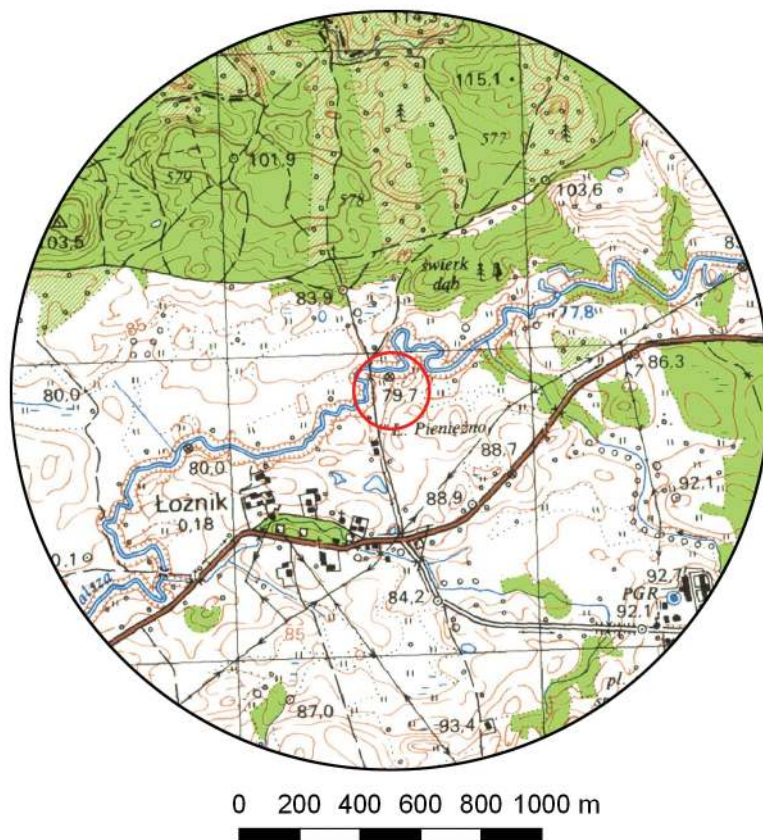
nie natrafiono na żaden materiał zabytkowy. Ewentualnych reliktów dawnej zabudowy należało zatem szukać w okolicy, ale raczej bliżej grobli, które mogły służyć do spiętrzania wody, która z kolei przelewając się przez kanał ulgi, zasilała młyn.

Wyniki przeprowadzonego rozpoznania nie wykazały obecności form terenowych będących pozostałościami dawnych umocnień, a co za tym idzie nie potwierdzono informacji z Karty Ewidencji Stanowiska Archeologicznego o istnieniu w tym miejscu grodziska.

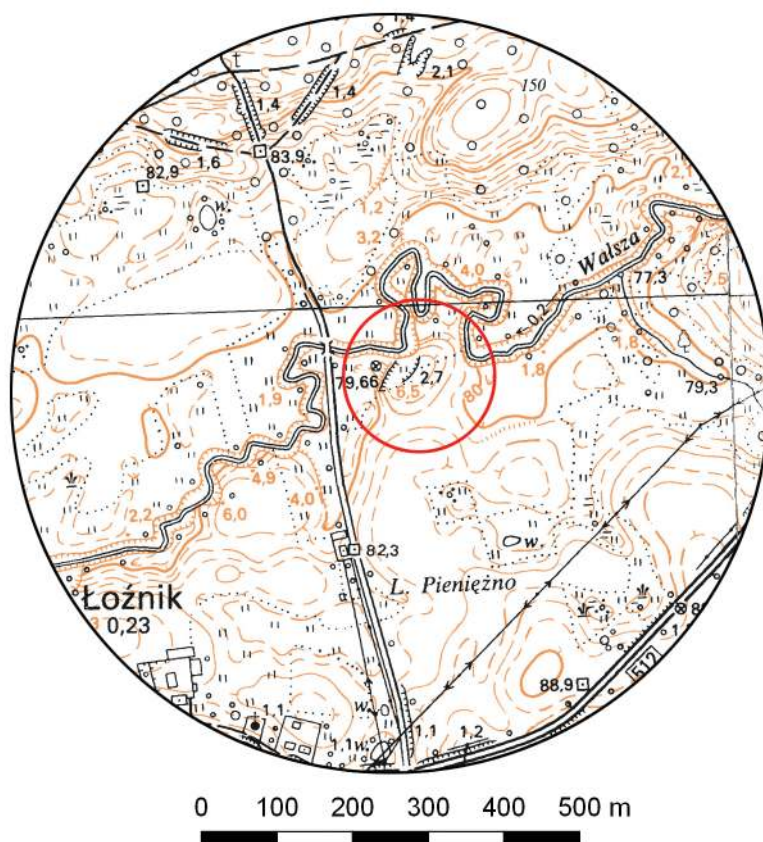
Łoźnik, st. 6

Gmina Pieniężno
Powiat braniewski
AZP 14-58/53
Współrzędne geograficzne:
N 54° 15' 08"
E 20° 13' 14"





Ryc. 1. Stanowisko w Łoźniku, st. 6
na mapie w skali 1:25 000
(na podstawie materiałów GUGiK,
oprac. R. Solecki)



Ryc. 2. Stanowisko w Łoźniku, st. 6
na mapie w skali 1:10 000
(na podstawie materiałów GUGiK,
oprac. R. Solecki)

WYNIKI WERYFIKACJI

RAFAŁ SOLECKI

Na drukowanej wersji mapy obszaru AZP 14-58 pod numerem 53 oznaczono stanowisko opisane jako wał obronny i wał grodowy. Przypisano go do miejscowości Łoźnik (niem. *Lotterfeld*), gdzie otrzymał numer 6. Dla obiektu tego nie określono ani afiliacji kulturowej, ani chronologii – pola te są oznaczone „?”¹. Symbol użyty do oznaczenia grodziska to pusty trójkąt, co oznacza, że jego lokalizacja jest nieznana².

Autorka Karty Ewidencji Stanowiska Archeologicznego – Łucja Okulicz – przy próbie określenia położenia stanowiska powołuje się na informacje przekazane przez Hansa Cromeego. Tu odwołuje się do grodziska znajdującego się w *Mehlacker Stadtheide*, które według H. Cromeego zlokalizowane jest 3 km na północ od miejscowości *Lotterfeld*³. Autorce jednak nie udało się znaleźć grodziska, dla tego też stanowisko na mapie arkusza oznaczono wspomnianym wcześniej pustym trójkątem⁴. H. Crome wymienia jednak jeszcze jedno grodzisko w samym Łoźniku. Nazwane jest ono *Schwedenberg* i znajduje się około 1 km na północny wschód od miejscowości. W uwagach do opisu dodał „Keine resten, zweifelhaft, ob Wehranlage”, co można tłumaczyć, że już wtedy obiekt ten był zniszczony i istniały wątpliwości, czy jest to pozostałość systemu obronnego⁵. H. Crome dokonał wpisu stanowiska prawdopodobnie w oparciu o nieco wcześniejszą informację zawartą na mapie z 1932 roku, gdzie zaznaczone jest stanowisko *K.D. Schwedenberg*, ale położone

¹ Informacja z KESA 14-58/53.

² Informacja z KESA 14-58/53 oraz mapy obszaru AZP 14-58.

³ Tu w KESA 14-58/53 jest zapewne pomyłka - Ł. Okulicz odwołuje się do artykułu H. Crome *Karte und Verzeichnis der vor- und frühgeschichtlichen Wehranlagen in Ostpreussen* w czasopiśmie *Altpreußen*, ale opis położenia stanowiska pochodzi z artykułu *Verzeichnis der Wehranlagen Ostpreußens* w czasopiśmie *Prussia: Zeitschrift für Heimatkunde*. W czasopiśmie *Altpreußen* położenie grodziska podane jest względem miejscowości *Schönborn* a w czasopiśmie *Prussia* względem miejscowości *Lotterfeld*.

⁴ Grodzisko to ostatecznie zostało zlokalizowane w 2021 roku i jego opis znajduje się w niniejszym tomie, w rozdziale „Wiknity, st. 6”.

⁵ Crome 1937: 104.

żone w odległości około 0,5 km na północ od miejscowości, przy południowym brzegu rzeki Wałszy (ryc. 3)⁶. Tu warto zaznaczyć, że stanowisko to nie jest zaznaczone na starszych mapach z tej serii.

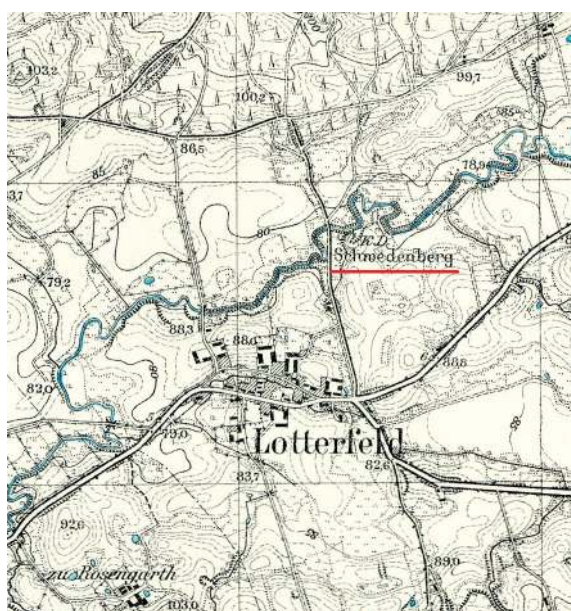
W miejscu oznaczonym na mapie z 1932 roku znajduje się niewielkie wyniesienie (ryc. 4), którego szczyt został zniszczony prawdopodobnie w wyniku wybierania piasku. Musiało to nastąpić już dawno, gdyż najprawdopodobniej taką formę opisał w latach 30. XX wieku H. Crome, wspominając o znaczących zniszczeniach. Poniżej pierwotnego szczytu wyniesienia, na krawędziach wyrobiska, widoczne są pozostałości rowu, prawdopodobnie współczesnego okopu (ryc. 5). Miejsce to pełniło zatem funkcje obronne, ale dopiero w czasach najnowszych. Jego zadaniem mogło być ubezpieczanie pobliskiego mostu, który w tym miejscu funkcjonuje od XIX wieku – nie ma go na mapie z 1802 roku⁷, a jest już na mapie z 1893 roku⁸.

Północna część wypiętrzenia została zniszczona w wyniku podmywania przez

⁶ *Topographische Karte 1:25 000 (Meßtischblatt)*, karta Lichtenau (472), z 1932 r.

⁷ *Schrötter: Karte von Ost-Preussen nebst Preussisch Litthauen und West-Preussen nebst dem Netzdistrict 1:150 000*, arkusz Elbing (X), z około 1802 roku.

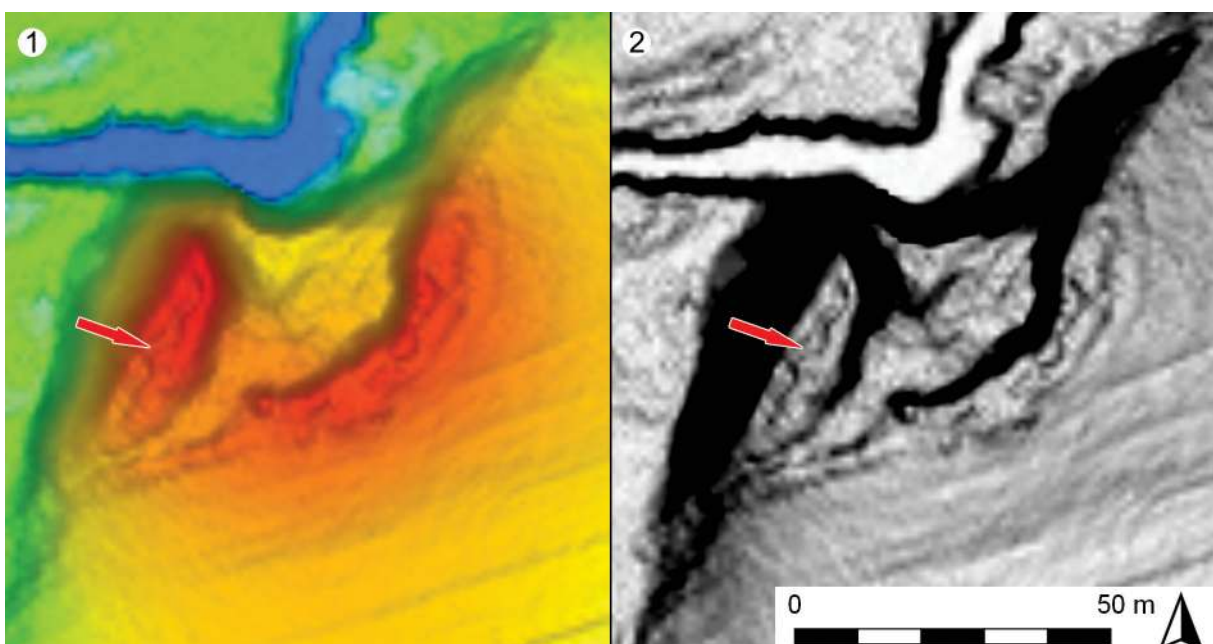
⁸ *Karte des Deutschen Reiches, Generalstabskarte 1:100 000*, arkusz Heiligenbeil (73), z około 1893 roku.



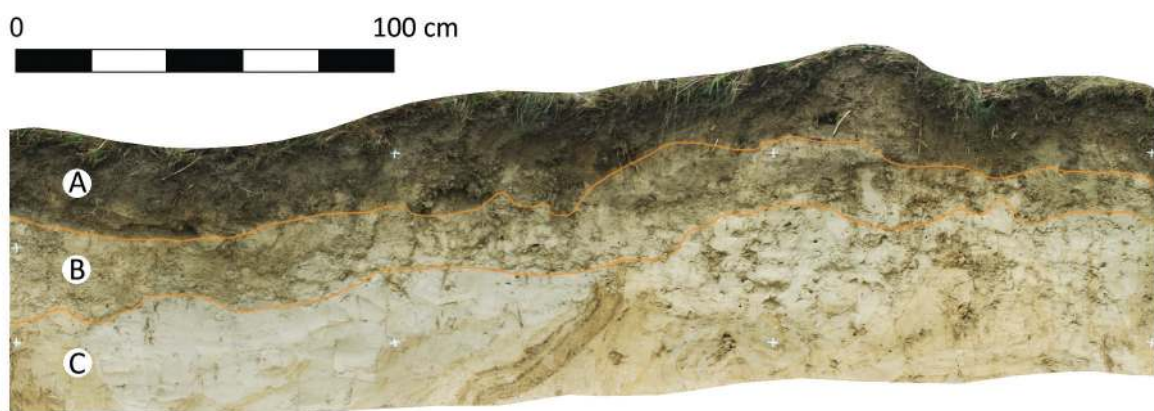
Ryc. 3. Stanowisko w Łoźniku, st. 6 na mapie *Topographische Karte (Meßtischblatt) 1:25 000*, karta Lichtenau (472), z 1932 r.
(źródło: www.maps.mapywig.org)



Ryc. 4. Wyniesienie opisane, jako „Schwedenberg” na mapie *Topographische Karte (Meßtischblatt)*, karta Lichtenau (472), z 1932 r. (fot. R. Solecki)



Ryc. 5. Łoźnik, st. 6. Tawty, st. 1. Analiza Numerycznego Modelu Terenu: 1) mapa stanowiska zwizualizowana za pomocą opcji *Atlas Shader* (kolorystyka jak w przypadku mapy fizycznej), 2) mapa stanowiska zwizualizowana za pomocą opcji *Slope Shader* (zaakcentowane powierzchnie silnie nachylone). Na mapach strzałką zaznaczono linię okopów (oprac. R. Solecki)



Ryc. 6. Łoźnik, st. 6. Układ nawarstwień widoczny w oberwanej ścianie wypiętrzenia (oprac. R. Solecki)

meandrującą na tym odcinku Wałszę. W oberwanej ścianie widoczny jest przekrój przez obniżenie znajdujące się jego w centralnej części. Widać na nim, że proces humifikacji doprowadził do wytworzenia się dość grubiej warstwy gleby (ryc. 6:A). Poniżej znajduje się poziom przemieszanego piasku calcowego z domieszką materii organicznej (ryc. 6:B), który prawdopodobnie powstał w trakcie wybierania stąd surowca. Jeszcze niżej występuje jedynie sypki, drobno- i średnioziarnisty piasek calcowy (ryc. 6:C). Nie zaobserwowało jakiekolwiek warstwy kulturowej z materiałem zabytkowym. W oberwanej ścianie wypiętrzenia, zalegającej poniżej na brzegu rzeki także nie natrafiono na żaden materiał zabytkowy.

Przeprowadzona weryfikacja wskazała, że obiekt ten nie pełnił najpewniej w odległej przeszłości żadnych funkcji obronnych. Jego powstanie należy łączyć raczej z czasami najnowszymi – konfliktami zbrojnymi, które objęły omawiany obszar w XIX lub XX wieku. Na koniec należy wspomnieć, że w granicach miejscowości Łoźnik natrafiono na pozostałości dawnego osadnictwa, sięgającego chronologią XIII–XIV wieku. W trakcie wizytacji

przeprowadzonej przez Carla Engela w 1930 roku opisał on odkrycie grubej warstwy polepy z ceramiką średniowieczną i licznymi kośćmi zwierzętymi. Ślady te miały być znalezione w niedużej odległości na południe od drogi przecinającej wieś⁹.

W wyniku przeprowadzonej analizy Numerycznego Modelu Terenu udało się zlokalizować stanowisko opisane przez H. Cromeego jako grodzisko. Rozpoznanie tego miejsca w terenie wykazało jednak, że brak jest czytelnych jednostek stratygraficznych, które można by interpretować jako warstwy kulturowe. Nie znaleziono też żadnego materiału zabytkowego. Należały zatem wykluczyć, że istniało tu w przeszłości grodzisko. Czytelne na powierzchni wyniesienia liniowe rowy są z kolei najpewniej pozostałością współczesnych okopów, co mogłoby świadczyć, że w XIX lub XX wieku miejsce to pełniło funkcje obronne.

⁹ Informacja z karty znajdującej się w teczce miejscowości *Lotterfeld* w archiwum *Staatliche Museen zu Berlin, Museum für Vor- und Frühgeschichte*, nr PM-A 1442/1. Tu serdecznie podziękowania należą się dr. Robertowi Klimkowi za udostępnienie kopii dokumentu.

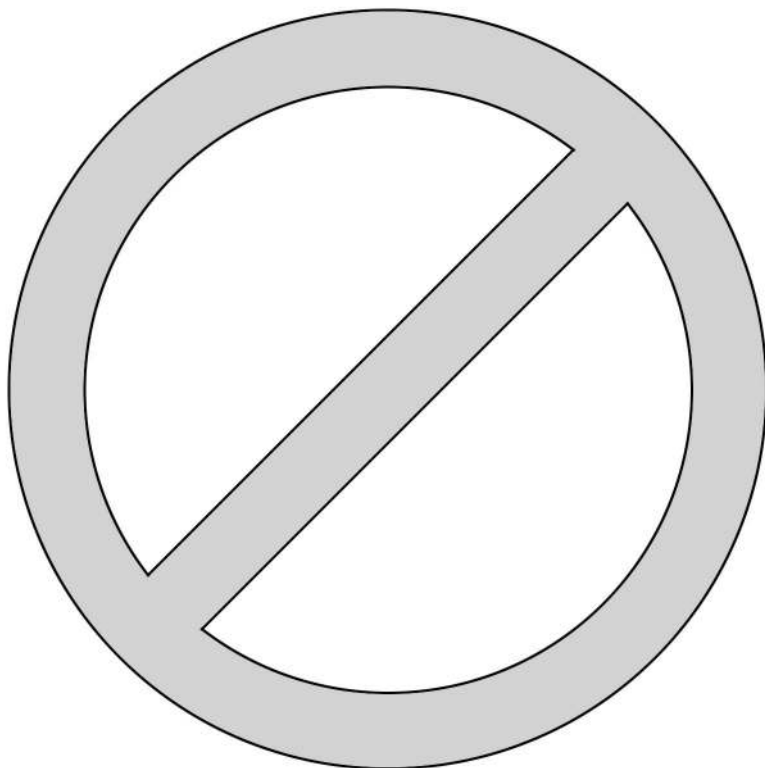
Różaniec, st. 6

Gmina Pieniężno
Powiat braniewski
AZP 14-58/55

Współrzędne geograficzne:

N -

E -



WYNIKI WERYFIKACJI

RAFAŁ SOLECKI

Na drukowanej wersji mapy obszaru AZP 14-58 pod numerem 55 oznaczono stanowisko opisane, jako grodzisko. Przypisano je do miejscowości Różaniec (niem. *Rosengarth*), w której otrzymał numer 2. Dla obiektu tego nie określono ani afiliacji kulturowej, ani chronologii – pola te są oznaczone „?”¹. Symbol użyty do oznaczenia grodziska to pusty trójkąt, co oznacza, że jego lokalizacja jest nieznana².

W opisie stanowiska znajduje się odwołanie do publikacji Hansa Cromeego *Karte und Verzeichnis der vor- und frühgeschichtlichen Wehranlagen in Ostpreussen* z 1937 roku,

¹ Informacja z KESA 14-58/53.

² Informacja z KESA 14-58/53 oraz mapy obszaru AZP 14-58.

w której grodzisko to miało być scharakteryzowane. W artykule tym jednak nie ma odwołań do miejscowości *Rosengarth*, *Kr. Braunsberg*, jest natomiast do *Rosengarten*, *Kr. Angerburg*, w pobliżu którego faktycznie miałby znajdować się szaniec³. Być może zatem doszło do pomyłki i na arkuszu AZP 14-58 oznaczono stanowisko, które powinno znajdować się w zupełnie innym miejscu.

Najbliższą miejscowością do Różańca, która wymieniona jest w spisie H. Cromeego, jest Łoźnik⁴, oddalony o 2,5 km na północny wschód. Znajdujące się tam stanowisko zostało opisane w niniejszym tomie, w rozdziale „Łoźnik, st. 6”.

W wyniku przeprowadzonej weryfikacji stwierdzono, że w obrębie ewidencyjnym Różaniec nie ma grodziska.

³ Crome 1937: 103–104, 113.

⁴ Crome 1937: 104.

WYKAZ CYTOWANEJ LITERATURY

- Antolak, M.
2013. Problemy zagospodarowania turystycznego rezerwatów przyrody na przykładzie rezerwatu przyrody „Dolina rzeki Wałszy”. *Zeszyty Naukowe. Inżynieria Środowiska* 149(29), 14–22.
- Antoniewicz, J.
1964. Osiedla obronne okresu wczesnożelaznego w Prusach. *Świątowit* 25: 5–211.
- Arnold, J.R. i R.R. Reinertsen
2012. *Triumf Napoleona. Kampania Frydlandzka 1807 roku*. Oświęcim: Wydawnictwo Napoleon V.
- Bender, J.
1871. Grabhügel im Födersdorfer Forste. *Altpreußische Monatsschrift* 8, 177–182.
1887. *Zeitschrift für die Geschichte und Altertumskunde Ermlands*. Band 9, Heft 27–29. Braunsberg: Verlag von Hune's Buchhandlung.
- Bezzenberger, A.
1909. Hügelgräber in dem Födersdorfer Forst. *Sitzungsberichte der Altertumsgesellschaft Prussia* 22: 1–27.
- Biermann, F., C. Herrmann, A. Koperkiewicz i E. Ubis
2019. Burning Alt-Wartenburg. Archaeological evidence for the conflicts between the Teutonic Order and the Grand Duchy of Lithuania from a deserted medieval town near Barczewko (Warmia, Poland). *Lietuvos archeologija* 45: 265–293
DOI: 10.33918/25386514-045008
- Biskup, M.
2019. *Wojny Polski z Zakonem Krzyżackim 1308–1521*. Oświęcim: Napoleon V.
- Bötticher, A.
1894. *Die Bau- und Kunstdenkmäler der Provinz Ostpreußen. 4: Die Bau- und Kunstdenkmäler in Ermland*. Königsberg: Teichert.
- Buko, A.
1990. Wykorzystanie zjawiska erozji ceramiki w analizach procesów formowania się stanowisk osadniczych. *Sprawozdania Archeologiczne* 42: 349–359.
- Ceynowa B. (red.)
2020. *Kawa czy herbata? Archeologiczne świadectwa konsumpcji napojów w dawnym Gdańsku*, Gdańsk: Muzeum Archeologiczne w Gdańskim.
- Chilińska-Früboes, A.
2018. Zapinki oczkowate serii głównej jako głos w dyskusji nad początkami kultury Dollkeim-Kovrovo, [w:] S. Wadyl, M. Karczewski i M. Hoffmann (red.), *Materiały do archeologii Warmii i Mazur. Tom 2*: 15–41. Warszawa-Białystok-Olsztyn: Instytut Archeologii Uniwersytetu Warszawskiego, Wydział Historyczno-Socjologiczny Uniwersytetu w Białymostku, Instytut Historii i Stosunków Międzynarodowych Uniwersytetu Warmińsko-Mazurskiego w Olsztynie.
- Chojnacka-Banaszkiewicz, A.
- 2017a. Stary Folwark, st. 1: znaleziska, [w:] Z. Kobyliński (red.), *Katalog grodzisk Warmii i Mazur. Tom 1*: 129–182. Warszawa: Instytut Archeologii Uniwersytetu Kardynała Stefana Wyszyńskiego w Warszawie i Fundacja Res Publica Multiethnica.
- 2017b. Stary Folwark, st. 1: chronologia stanowiska, [w:] Z. Kobyliński (red.), *Katalog grodzisk Warmii i Mazur. Tom 1*: 191–193. Warszawa: Instytut Archeologii Uniwersytetu Kardynała Stefana Wyszyńskiego w Warszawie i Fundacja Res Publica Multiethnica.
- Cieśliński, A.
2016. The society of Wielbark culture, AD 1–300, [w:] A. Rzeszotarska-Nowakiewicz (red.), *The Past Societies. Polish lands from the first evidence of human presence to the early middle ages. Chapter 4. 500 BC – 500 AD*: 217–255. Warszawa: Instytut Archeologii i Etnologii Polskiej Akademii Nauk.
- Crome, H.
1937. Karte und Verzeichnis der vor- und frühgeschichtlichen Wehranlagen in Ostpreussen. *Altpreußen* 2: 97–125.
1940. Verzeichnis der Wehranlagen Ostpreußens. *Prussia: Zeitschrift für Heimatkunde* 34: 83–154.
- Dąbal, J.
2015. Wyroby ceramiczne, [w:] J. Dąbal, K. Krawczyk i T. Widerski (red.), Gdańsk, Twierdza Wisłoujście. *Badania archeologiczno-architektoniczne w latach 2013–2014*: 221–264. Gdańsk: Instytut Archeologii i Etnologii PAN i Uniwersytet Gdańskiego.
- Dąbrowski, J.
1960. Badania na grodzisku Łęcze pow. Elbląg w roku 1958. *Wiadomości Archeologiczne* XXVI/3–4: 266–272.
1967. Wyniki prac wykopaliskowych na grodzisku Łęcze, pow. Elbląg. *Wiadomości Archeologiczne* XXXII/3–4: 385–404.
1997. *Epoka brązu w północno-wschodniej Polsce*. Białystok: Białostockie Towarzystwo Naukowe, Instytut Archeologii i Etnologii Polskiej Akademii Nauk.
- Drzewicz, A.
2004. *Wyroby z kości i poroża z osiedla obronnej ludności kultury łużyckiej w Biskupinie*. Warszawa: Wydawnictwo Naukowe Semper.
- Eichhorn, A.
1863. *Zeitschrift für die Geschichte und Altertumskunde Ermlands*. Band 2, Heft 4–6. Mainz: Verlag von Franz Kichheim.

1866. *Zeitschrift für die Geschichte und Altertumskunde Ermlands*. Band 3, Heft 7–9. Braunsberg: Verlag von Eduard Peter.
- Florek, M.
2014. Czy „grodzisko” to dawny, zniszczony gród? O niebezpieczeństwach korzystania ze źródeł topomastycznych. *Materiały i Sprawozdania Rzeszowskiego Ośrodka Archeologicznego* XXXV: 171–188.
- Gackowski, J.
2000. Osiedla nawodne z Mołtajn i Pieczarek na tle osadnictwa Pojezierza Mazurskiego we wczesnej epoce żelaza. *Światowit* 2(43)/Fasc. B: 65–69.
- Gierlach, B.
1966. Zabytki metalowe, [w:] J. Gąssowski, B. Gierlach i E. Kowalczevska (red.), *Materiały wykopaliskowe z Zamku Królewskiego w Warszawie. Tom I:* 141–150. Warszawskie Materiały Archeologiczne 1. Warszawa: Prezydium Stołecznej Rady Narodowej – Wydział Kultury, Urząd Konserwatorski M. St. Warszawy – Konserwator Zabytków Archeologicznych.
- Gładki, M. i A. Jaremek
2021. Materiały z badań ratowniczych na stan. 25 w Strużynie, gm. Morąg, pow. ostródzki. Kolejny głos w dyskusji nad tzw. „po-graniczem bałtyjsko-pomorskim” w późnej epoce brązu i początkach wczesnej epoki żelaza. *Światowit Supplement Series B: Barbaricum* 15: 79–98.
- Gryzińska-Sawicka, N.
2012. Próba modelowego ujęcia gospodarki na Pomorzu we wczesnym okresie rzymskim. *Przegląd Archeologiczny* 60: 85–105.
- Haftka M. i S. Wadyl
2015. *Węgry: zespół osadniczy na pograniczu pomojsko-pruskim w XI–XII w.* Malbork: Muzeum Zamkowe w Malborku.
- Henneberger, C.
1576. *Prussiae, das ist des Landes zu Preussen, welches das herrichste Theil ist Sarmathiae Europae eigentliche und warhaftige Beschreibung*, skala około 1:370 000, Königsberg.
1595. *Erclerung der Preüssischen grössem Landtaffel oder Mappen Mit leicht erfindung alter Stedte, Schlösser, Electen, Kirchdörffer, Orter, Ströme fliesser vnd See so darinnen begriffen.* Królewiec: bey Georgen Osterbergern.
- Herrmann, J.
2002. Tradition und Neubeginn ur- und frühgeschichtlicher Forschungen an der Berliner Akademie der Wissenschaft 1946–1952. Zum 110. Geburtstag von Wilhelm Unverzagt. *Sitzungsberichte der Leibniz-Sozietät* 54/3: 85–100.
- Hilczerówna, Z.
1956. *Ostrogi Polskie z X–XIII wieku.* Poznań: Państwowe Wydawnictwo Naukowe.
- Hollack, E.
1908. *Erläuterungen zur vorgeschichtlichen Übersichtskarte von Ostpreußen. Im Auftrage des ostpreußischen Provinzialverbandes bearbeitet und herausgegeben.* Glogau-Berlin: Kommissions Verlag von Carl Flemming.
- Holtmann, G.F.W.
1993. *Untersuchung zu mittelalterlichen und frühneuzeitlichen Messern.* Göttingen.
- Hoffmann, M.J.
1992. Nieznane materiały kultury kurhanów zachodniobałtyjskich. *Światowit Supplement Series B: Barbaricum* 2: 20–38.
1999. *Źródła do kultury i osadnictwa południowo-wschodniej strefy nadbałtyckiej w I tysiącleciu p.n.e.* Rozprawy i Materiały Ośrodka Badań Naukowych im. Wojciecha Kętrzyńskiego w Olsztynie 177, Olsztyn: Towarzystwo Naukowe i Ośrodek Badań Naukowych im. Wojciecha Kętrzyńskiego.
2000. *Kultura i osadnictwo południowo-wschodniej strefy nadbałtyckiej w I tysiącleciu p.n.e.* Rozprawy i Materiały Ośrodka Badań Naukowych im. Wojciecha Kętrzyńskiego w Olsztynie 191, Olsztyn: Towarzystwo Naukowe i Ośrodek Badań Naukowych im. Wojciecha Kętrzyńskiego.
- Honczaruk, M. i L. Kacprzak
- 2014a. *Objaśnienia do Szczegółowej Mapy Geologicznej Polski: 1:50.000. Arkusz Głęboczek (34).* Warszawa: Państwowy Instytut Geologiczny.
- 2014b. *Objaśnienia do Szczegółowej Mapy Geologicznej Polski: 1:50.000. Arkusz Wolnica (98).* Warszawa: Państwowy Instytut Geologiczny.
- Horanin, M.
2005. Sieć leprozoriów w państwie zakonnym w Prusach. *Komunikaty Mazursko-Warmińskie* 2: 133–155.
- Ilan, D.
2016. The ground stone components of drills in the ancient Near East: sockets, flywheels, cobble weights, and drill bits. *Journal of Lithic Studies* 3/3: 261–277.
DOI: 10.2218/jls.v3i3.1642
- Jagielska, E.
2020. (red.) Standardy prowadzenia badań archeologicznych. Cz. 1. Badania nieinwazyjne lądowe. *Kurier Konserwatorski* 17: 9–49.
- Jagodziński, M.F.
1997. *Archeologiczne ślady osadnictwa między Wisłą a Pasłęką we wczesnym średniowieczu. Katalog stanowisk.* Warszawa: Instytut Archeologii i Etnologii PAN.

2010. *Truso. Między Weonodlandem a Witlandem*. Elbląg: Muzeum Archeologiczno-Historyczne w Elblągu.
2017. *Janów Pomorski/Truso. Struktura i zabudowa strefy portowej (badania 1982–1991)*. Elbląg: Muzeum Archeologiczno-Historyczne w Elblągu.
Kacprzak L. i M. Honczaruk
2014. *Objaśnienia do Szczegółowej Mapy Geologicznej Polski: 1:50 000. Arkusz Górowo Iławskie (62)*. Warszawa: Państwowy Instytut Geologiczny.
Kadrow, S.
1994. Co datują laboratoria radiowęglowe? *Światowit XXXIX*: 143–151.
- Khomiakova O.
2021. Sambian-Natangian hillforts in the 1st millennium AD settlement system of the southeastern Baltic region, [w:] T. Ibsen, K. Ilves, B. Maixner, S. Messal i J. Schneeweiß (red.), *Fortifications in their Natural and Cultural Landscape: From Organising Space to the Creation of Power: 35–49. Schriften Des Museums Für Archäologie Schloss Gottorf* 15. Bonn: Habelt-Verlag.
- Khomiakova O., I. Skhodnov i S. Chaukin
2019. Hillforts of the Central Nadruvians: a case study of settlement patterns and social organization in former East Prussia in the first half of the 1st millennium AD. *Archaeologia Lituana* 19: 78–99.
DOI: 10.15388/ArchLit.2018.19.5
- Klimek, R.
2017. Obraz rzeki Pasłęki na nieznanej mapie archiwalnej, [w:] M. Dzik i G. Śnieżko (red.), *Fines testis temporum. Studia ofiarowane Profesor Elżbiecie Kowalczyk Heyman w pięćdziesięciolecie pracy naukowej: 197–219*. Rzeszów: Oficyna Wydawnicza Ziemiowit.
2021. Pierwsze kościoły na Warmii i ich wpływ na rozwój dróg lokalnych. *Komunikaty Mazursko-Warmińskie* 3(313): 459–472.
DOI: 10.51974/kmw-141599
2022. Brody na Warmii w średniowiecznych dokumentach i na nowożytnych mapach rękopiśmiennych. *Komunikaty Mazursko-Warmińskie* 1(316): 123–143.
DOI: 10.51974/kmw-149251
- Kobylińska, U.
- 2017a. Tątławki, st. 2: znaleziska, [w:] Z. Kobyliński (red.), *Katalog grodzisk Warmii i Mazur. Tom 2*: 118–132. Warszawa: Instytut Archeologii Uniwersytetu Kardynała Stefana Wyszyńskiego w Warszawie i Fundacja Res Publica Multiethnica.
- 2017b. Wieprz, st. 20: znaleziska, [w:] Z. Kobyliński (red.), *Katalog grodzisk Warmii i Mazur. Tom 2*: 249–259. Warszawa: Instytut Archeologii Uniwersytetu Kardynała Ste-
- fana Wyszyńskiego w Warszawie i Fundacja Res Publica Multiethnica.
- 2017c. Durag, st. 1: znaleziska, [w:] Z. Kobyliński (red.), *Katalog grodzisk Warmii i Mazur 2*: 272–295. Warszawa: Instytut Archeologii Uniwersytetu Kardynała Stefana Wyszyńskiego w Warszawie i Fundacja Res Publica Multiethnica.
- 2017d. Podagi, st. 2: znaleziska, [w:] Z. Kobyliński (red.), *Katalog grodzisk Warmii i Mazur 1*: 444–459. Warszawa: Instytut Archeologii Uniwersytetu Kardynała Stefana Wyszyńskiego w Warszawie i Fundacja Res Publica Multiethnica.
- Kobylińska, U., R. Solecki i J. Wysocki
2017. Tątławki, st. 2: chronologia stanowiska, [w:] Z. Kobyliński (red.), *Katalog grodzisk Warmii i Mazur 2*: 135–136. Warszawa: Instytut Archeologii Uniwersytetu Kardynała Stefana Wyszyńskiego w Warszawie i Fundacja Res Publica Multiethnica.
- Kondracki, J.
2002. *Geografia regionalna Polski*. Warszawa: Wydawnictwo Naukowe PWN.
- Kontny, B.
2005. Czas wojny czy czas dobrobytu? Zmiany w obrazie wyposażenia w broń grobów kultury przeworskiej w rozwinietym odcinku fazy B2. *Studia i Materiały Archeologiczne* 12: 59–88.
- Koperkiewicz, A.
2023. Civitas Ylienburg. Głos wołającego na Puszczy (Galindzkiej) o ratunek dla pierwszych lokacji miejskich Warmii i Mazur. *Warmińsko Mazurski Biuletyn Konserwatorski* 15: 6–27.
- Kopiczko, A.
2018. Warmińska kapituła katedralna. Zarys dziejów. *Studia Elbląskie XIX*: 11–27.
2019. Parafia i kościół w Ornetce w świetle protokołu powizytacyjnego z 1798 r. *Archiva, Biblioteki i Muzea Kościelne* 111: 129–145.
DOI: 10.31743/abmk.2019.111.07
- Kosmowska-Ceranowicz, B. i T. Pietrzak
1982. *Znaleziska i dawne kopalnie bursztynu w Polsce*. Warszawa: Wydawnictwa Geologiczne.
- Koziełło-Poklewski
- 1973a. Dzieje powiatu, [w:] M. Lossman (red.), *Braniewo. Z dziejów miasta i powiatu*: 37–84. Olsztyn: Pojezierze.
- 1973b. Orneto, Pienieżno, [w:] M. Lossman (red.), *Braniewo. Z dziejów miasta i powiatu*: 137–169. Olsztyn: Pojezierze.
- Krause, E.
1976. Z problematyki badań tzw. „grodzisk stożkowatych” w Polsce. *Sprawozdania Archeologiczne XXVIII*: 283–284.
- Kruppé, J.
1981. *Garnkarstwo północnośredniowieczne w Pol-*

- sce. Wrocław-Warszawa-Kraków-Gdańsk-Łódź: Zakład Narodowy im. Ossolińskich. Wydawnictwo Polskiej Akademii Nauk.
- Kubicki, R.
2012. *Młynarstwo w państwie Zakonu Krzyżackiego w Prusach w XIII-XV wieku (do 1454 r.)*, Gdańsk: Wydawnictwo Uniwersytetu Gdańskiego.
- Kurzyk, K. i A. Ostasz
2015. Osada kultury iwieńskiej z Mieścina, gm. Tczew, woj. pomorskie, stan. 17. *Pomorania Antiqua* XXIV: 105–130.
- Kuśnierz, J.
2005. Militaria z Czermna nad Huczwą. Próba rekonstrukcji sposobu ataku Tatarów na gród (w 1240 r.) na podstawie dotychczasowych badań archeologicznych. *Acta Militaria Mediaevalia* 1: 115–132.
- Labuda, G.
1990. Podbój Prus w XIII wieku, [w:] M. Biskup (red.), *Ekspansja niemieckich zakonów rycerskich w strefie Bałtyku od XIII do połowy XVI wieku*: 31–50. Toruń: Instytut Historii Polskiej Akademii Nauk, Zakład Historii Pomorza.
- Lubowicka, A.M.
2011. Ceramika z najnowszych badań zamku krzyżackiego w Toruniu. O naczyniach i wiktualach z krzyżackiej kuchni. *Rocznik Toruński* 38: 127–155.
- Łagiewka, M., L. Oprychał i M. Wanat
2015. Rola obiektów hydrotechnicznych na obszarach objętych ochroną przyrody. *Przegląd Naukowy – Inżynieria i Kształtowanie Środowiska* 69: 249–256.
- Łapo, J.M.
2009. Wokół Szwedzkiego Szańca. Echa Wojen Szwedzkich w ludowych podaniach historycznych i mikropoemonimii na obszarze dawnych Ziemi Pruskich. *Pruthenia* 4: 241–286.
- Łukomiak, K.
2015. *Sposoby zamykania pomieszczeń i skryń w późnym średniowieczu na tle źródeł archeologicznych z terenu Polski*. Praca magisterska, promotor prof. nadzw. dr hab. Anna Marciniak-Kajzer, Instytut Archeologii, Uniwersytet Łódzki.
2016. Zamykanie pomieszczeń w późnośredniowiecznych siedzibach mieszkalno-obronnych na podstawie źródeł archeologicznych, [w:] K. Marinow, K. Szadkowski, K. Węgrzyńska (red.), *Varia Mediaevalia. Studia nad średniowieczem w 1050. Rocznice Chrztu Polski*: 141–154. Łódź: Wydawnictwo Uniwersytetu Łódzkiego.
DOI: 10.18778/8088-325-3.14
- Majewski, M.
2017. Plomby ołowiane, [w:] M. Majewski i K. Stań (red.), *Archeologia Stargardu. Badania na Rynku Staromiejskim*: 117–125.
- Stargard: Muzeum Archeologiczno-Historyczne w Stargardzie.
- Marciniak-Kajzer, A.
2006. Północnośredniowieczny dwór rycerski w Leszczu. Przyczynek do dyskusji na temat funkcji niektórych siedzib możnowładczych. *Komunikaty Mazursko-Warmińskie* 1:7–17.
2011. *Średniowieczny dwór rycerski w Polsce. Wizerunek archeologiczny*. Łódź: Wydawnictwo Uniwersytetu Łódzkiego.
2016. *Archaeology on Medieval Knights' Manor Houses in Poland*. Łódź-Kraków: Wydawnictwo Uniwersytetu Łódzkiego, Wydawnictwo Uniwersytetu Jagiellońskiego.
2018. Gródki stożkowate czy zamki typu motte. *Archaeologia Historica Polona* 26: 59–70.
- Marcinkowski, M.
2011. *Fajans pomorski ze Starego Miasta w Elblągu*, Elbląg.
2013. Cechy obce i lokalne w średniowiecznej i nowożytnej ceramice elbląskiej. Zarys problematyki na podstawie wybranych przykładów. *Archaeologia Historica Polona* 21: 239–255.
DOI: 10.12775/AHP.2013.011
- Mączyńska, M.
2019. Faza C3 w kulturze wielbarskiej – próba wyróżnienia. *Wiadomości Archeologiczne LXX*: 43–63.
DOI: 10.36154/wa.70.2019.02
- Melcher, B. i A. Melcher
1903. *Handbuch des Grundbesitzes im Deutschen Reiche. Dritte Lieferung: Provinz Ostpreussen. Mit einer Karte der Provinz Ostpreussen*. Berlin: Verlag des Königlichen Statistischen Landesamts.
- Michałik, P.
2007. *Północnośredniowieczne i wczesnonowożytne noże z zamku w Pucku*. Światowit Supplement Series P: Prehistory and Middle Ages 15, Warszawa: Instytut Archeologii Uniwersytetu Warszawskiego.
- Nadolski, A.
1954. *Studia nad uzbrojeniem polskim w X, XI i XII wieku*. Łódź: Zakład im. Ossolińskich we Wrocławiu.
- Okulicz, Ł.
1970. *Kultura kurhanów zachodniobałtyjskich we wczesnej epoce żelaza*. Wrocław: Zakład Narodowy im. Ossolińskich, Wydawnictwo Polskiej Akademii Nauk.
- Okulicz, J.
1973. *Pradzieje ziemi pruskich od późnego paleolitu do VII w. n.e.* Wrocław-Warszawa-Kraków-Gdańsk: Zakład Narodowy Imienia Ossolińskich, Ośrodek Badań Naukowych Imienia Wojciecha Kętrzyńskiego w Olsztynie.
- Oniszczuk A.
2013. *Życie odbite w naczyniu. Konsumpcja*

- luksusowa i codzienna w Gdańsku w XVII–XIX wieku na podstawie naczyń ceramicznych z terenu Centrum Dominikańskiego i kwartału Długi Targ - Powroźnicza*, T. I. Warszawa.
- Pasierb, B.
2012. Techniki pomiarowe metody elektrooporowej. *Czasopismo Techniczne. Środowisko* 109/2: 191–199.
- Pilø, L.
2011. The Pottery, [w:] D. Skre (red.), *Things from the Town: Artefacts and Inhabitants in Viking-Age Kaupang. Volume 3:* 281–304. Aarhus: Aarhus University Press.
DOI: 10.2307/jj.608256.12
- Piotr z Dusburga.
1679. *Ordinis Teutonici Sacerdotis, Chronicon Prussiae, in quo Ordinis Teutonici origo, nec non res ab ejusdem Ordinis magistris ab An. MCCXXVI. usque ad An. MCCCXXVI. in Prussia gestae exponuntur, cum incerti auctoris continuatione usque ad Annum MCCCCXXXV.*
- Pollakówna, M.
1953. *Osadnictwo Warmii w okresie krzyżackim*. Poznań: Instytut Zachodni.
- Połczyński, Ł.
2017. Ołówiane plomby towarowe z Gdańska, Długich Ogrodów, stanowisko 86. *Gdańskie Studia Archeologiczne* 6: 201–216.
- Popkiewicz, E. i J. Czebreszuk
2016. Wiedza i umiejętności rzemieślników obrabiających bursztyn w epoce brązu. Studium archeologii eksperymentalnej na przykładzie produkcji bursztynowego pektorału kultury mykeńskiej. *Fontes Archaeologici Posnanienses* 52: 81–101.
- Purowski, T.
2008. Wyniki badań wykopaliskowych osady obronnej w Tarławkach, pow. węgorzewski. *Wiadomości Archeologiczne* LX: 335–360.
- Rabek, W. i M. Narwojsz
2014. *Objaśnienia do Szczegółowej Mapy Geologicznej Polski: 1:50.000. Arkusz Orneta (97)*. Warszawa: Państwowy Instytut Geologiczny.
- Rabek, W. i A. Młyńczak
2002. *Objaśnienia do Szczegółowej Mapy Geologicznej Polski: 1:50.000. Arkusz Pieniężno (61)*. Warszawa: Państwowy Instytut Geologiczny.
- Rabek, W. i B. Świerszcz
2002. *Objaśnienia do Szczegółowej Mapy Geologicznej Polski: 1:50.000. Arkusz Chruściel (60)*. Warszawa: Państwowy Instytut Geologiczny.
- Rabiega, K., F. Welc, R. Solecki i B. Nowacki
2021. Wyniki badań na stanowisku Wysoka Wieś, stan. 8, pow. ostródzki, [w:] R. Solecki (red.), *Interdyscyplinarne badania wielofazowych osiedli obronnych z Pojezierza Hławskiego i Garbu Lubawskiego: 71–90*. Archaeologica Hereditas. Prace Instytutu Archeologii Uniwersytetu Kardynała Stefana Wyszyńskiego w Warszawie 18. Warszawa: Wydawnictwo Naukowe Uniwersytetu Kardynała Stefana Wyszyńskiego w Warszawie.
- Rabiega, K., F. Welc, R. Solecki, B. Nowacki, A. Orłowska i J. Wysocki
2021. Wyniki badań na stanowisku Stańkowo, stan. 1, pow. kwidzyński, [w:] R. Solecki (red.), *Interdyscyplinarne badania wielofazowych osiedli obronnych z Pojezierza Hławskiego i Garbu Lubawskiego: 21–42*. Archaeologica Hereditas. Prace Instytutu Archeologii Uniwersytetu Kardynała Stefana Wyszyńskiego w Warszawie 18. Warszawa: Wydawnictwo Naukowe Uniwersytetu Kardynała Stefana Wyszyńskiego w Warszawie.
- Radkowski, J. i J. Wysocki
2016. Wstęp do problematyki gródków stożkowatych z terenu średniowiecznego państwa zakonu krzyżackiego, znajdujących się na obszarze województwa warmińsko-mazurskiego, [w:] Z. Kobyliński (red.), *Grodziska Warmii i Mazur 2. Nowe badania i interpretacje*: 295–385. Archaeologica Hereditas. Prace Instytutu Archeologii Uniwersytetu Kardynała Stefana Wyszyńskiego w Warszawie 7. Warszawa: Instytut Archeologii UKSW, Fundacja Res Publica Multiethnica.
- Rogosz, R.
1983. Obróbka i zastosowanie żelaza, [w:] E. Cnotliwy, L. Leciejewicz i W. Łosiński (red.), *Szczecin we wczesnym średniowieczu. Wzgórze Zamkowe*: 262–267. Wrocław-Warszawa-Kraków-Gdańsk-Łódź: Zakład Narodowy Imienia Ossolińskich, Wydawnictwo Polskiej Akademii Nauk.
- Rutkowska, P.
2020. *Przebieg procesu bielicowania w cyklu uprawy monokultur sosnowych w wybranych obszarach piaszczystych Polski Północnej*. Doktorat przygotowany w Katedrze Gleboznawstwa i Kształtowania Krajobrazu Uniwersytet Mikołaja Kopernika w Toruniu.
- Rutyna, M.
2017. Strużyna, st. 21: znaleziska, [w:] Z. Kobyliński (red.), *Katalog grodzisk Warmii i Mazur 2*: 79–88. Warszawa: Instytut Archeologii Uniwersytetu Kardynała Stefana Wyszyńskiego w Warszawie i Fundacja Res Publica Multiethnica.
- Schuldt, E.
1981. *Gross Raden. Die Keramik einer slawischen Siedlung des 9./10. Jahrhunderts*. Berlin: VEB Deutsches Verlag der Wissenschaften.

- Siczek, Ł.
2016. Gwoździe jako zabytek archeologiczny. Materiały z badań zamku Chojnika. *Śląskie Sprawozdania Archeologiczne* 58: 165–179.
DOI: 10.17427/SSA16009
- Solecki, R.
- 2017a. Strużyna, st. 24: znaleziska, [w:] Z. Kobyliński (red.), *Katalog grodzisk Warmii i Mazur. Tom 2:* 101–105. Warszawa: Instytut Archeologii Uniwersytetu Kardynała Stefana Wyszyńskiego w Warszawie i Fundacja Res Publica Multiethnica.
- 2017b. Grabin, st. 1: znaleziska, [w:] Z. Kobyliński (red.), *Katalog grodzisk Warmii i Mazur. Tom 2:* 315–332. Warszawa: Instytut Archeologii Uniwersytetu Kardynała Stefana Wyszyńskiego w Warszawie i Fundacja Res Publica Multiethnica.
2021. (red.) *Interdyscyplinarne badania wielofazowych osiedli obronnych z Pojezierza Iławskiego i Garbu Lubawskiego*. Archaeologica Hereditas. Prace Instytutu Archeologii Uniwersytetu Kardynała Stefana Wyszyńskiego w Warszawie 18. Warszawa: Wydawnictwo Naukowe Uniwersytetu Kardynała Stefana Wyszyńskiego w Warszawie.
- 2022a. Boreczno, st. 8: położenie grodziska i jego forma, [w:] R. Solecki (red.), *Katalog grodzisk Warmii i Mazur. Tom 3:* 192–194. Warszawa: Wydawnictwo Naukowe Uniwersytetu Kardynała Stefana Wyszyńskiego w Warszawie.
- 2022b. Winiec, st. 2: znaleziska, [w:] R. Solecki (red.), *Katalog grodzisk Warmii i Mazur. Tom 3:* 119–132. Warszawa: Wydawnictwo Naukowe Uniwersytetu Kardynała Stefana Wyszyńskiego w Warszawie.
- Solecki, R., F. Welc i B. Nowacki
2021. Wyniki badań na stanowisku Wysoka Wieś, stan. 7, pow. ostródzki, [w:] R. Solecki (red.), *Interdyscyplinarne badania wielofazowych osiedli obronnych z Pojezierza Iławskiego i Garbu Lubawskiego:* 91–105. Archaeologica Hereditas. Prace Instytutu Archeologii Uniwersytetu Kardynała Stefana Wyszyńskiego w Warszawie 18. Warszawa: Wydawnictwo Naukowe Uniwersytetu Kardynała Stefana Wyszyńskiego w Warszawie.
- Solecki, R. i J. Wysocki
2017. Wieprz, st. 20: położenie grodziska i jego forma, [w:] Z. Kobyliński (red.), *Katalog grodzisk Warmii i Mazur 2:* 243–244. Warszawa: Instytut Archeologii Uniwersytetu Kardynała Stefana Wyszyńskiego w Warszawie i Fundacja Res Publica Multiethnica.
- Solon, J., J. Borzyszkowski, M. Bidłasik, A. Richling, K. Badura, J. Balon, T. Brzezińska-Wójcik, Ł. Chabudziński, R. Dobrowolski, I. Grzegorczyk, M. Jodłowski, M. Kistowski, R. Kot, P. Kraż, J. Lechnio, A. Macias, A. Majchrowska, E. Malinowska, P. Migoń, U. Myga-Piątek, J. Nita, E. Papińska, J. Rodzik, M. Strzyż, S. Terpiłowski i W. Ziaja
2018. Physico-geographical mesoregions of Poland: Verification and adjustment of boundaries on the basis of contemporary spatial data. *Geographia Polonica* 91/2: 143–170.
DOI: 10.7163/GPol.0115
- Sowiński, T.
2015. *Z biegiem Wałszy. Szlaki dydaktyczno-historyczne w gminie Pieniężno*. Pieniężno: Urząd Miejski w Pieniężnie.
- Starski, M.
2009. Północnośredniowieczne naczynia gliniane z zamku w Pucku. *Studia i Materiały Archeologiczne* 14: 195–284.
- Szczygieł, K.
2024. Wyniki analizy szczątków zwierzęcych pochodzących z warstw kulturowych grodzisk badanych w ramach projektu „Katalog grodzisk Warmii i Mazur. Część 2. Warmia Wschodnia”, [w:] R. Solecki (red.), *Grodziska Warmii i Mazur 3: Odkrywane na nowo*. Warszawa: Wydawnictwo Naukowe Uniwersytetu Kardynała Stefana Wyszyńskiego w Warszawie.
- Thielen, P. G.
1958. *Das grosse Zinsbuch des Deutschen Ritterordens (1414–1438)*. Marburg: N.G. Elwert Verlag.
- Wadyl, S.
- 2013a. Wczesnośredniowieczny zespół osadniczy w Rejsytach, gm. Rychliki (stan. 1 i 2) w świetle wyników badań archeologicznych. *Pruthenia* VIII: 149–164.
- 2013b. Wczesnośredniowieczna ceramika naczyniowa z mezoregionu dorzecza górnej Drwęcy. *Acta Universitatis Nicolai Copernici* XXXIII: 129–152.
DOI: 10.12775/AUNC_ARCH.2013.007
2015. Wczesnośredniowieczna ceramika naczyniowa z mikro-regionu Baldram-Podzamcze, gm. Kwidzyn. *Pomorania Antiqua* 24: 411–452.
2018. Ostroga z zaczepami haczykowatymi zagiętymi do wnętrza z Bornit, pow. braniewski. *Pomorania Antiqua* XXVII: 241–254.
2019. *Studia nad kształtowaniem się pogranicza pomorsko- i mazowiecko-pruskiego we wczesnym średniowieczu*. Olsztyn: Oficyna Wydawnicza Pruthenia.
2022. Wprowadzenie, [w:], S. Wadyl (red.), *Miejsce, które rodziło władcę. Gród z początków wczesnego średniowiecza w Pasymiu*

- na Pojezierzu Mazurskim*: 13–19. Warszawa: Wydział Archeologii Uniwersytetu Warszawskiego.
- DOI: 10.47888/9788366210301.13-19
- Wadyl, S. i K. Martyka
2019. Nowy element układanki. Wczesnośredniowieczne grodzisko w Bornitach koło Pieniężna. *Slavia Antiqua LX*: 75–93.
DOI: 10.14746/sa.2019.60.4
- Wadyl, S., K. Martyka i D. Malarczyk
2018. Wczesnoabbasydzkie dirhamy z nowo odkrytego grodziska w Bornitach koło Pieniężna. *Wiadomości Numizmatyczne* 62/1–2(205–206): 129–143.
DOI: 10.24425/wn.2018.125040
- Waluś, A.
1987. Wstępne wyniki badań cmentarzyska kurhanowego w miejscowości Piórkowo, gm. Płoskinia, woj. elbląskie [w:] A. Pawłowski (red.), *Badania archeologiczne w województwie elbląskim w latach 1980–83*: 177–192. Malbork: Muzeum Zamkowe.
1990. „Łużycka” faza cmentarzyska kultury kurhanów zachodniobałtyjskich w Piórkowie, woj. elbląskie, [w:] T. Malinowski (red.), *Problemy kultury luzyckiej na Pomorzu*: 117–132. Słupsk: Wyższa Szkoła Pedagogiczna w Słupsku.
1992. Cmentarzysko kurhanowe w Piórkowie, woj. elbląskie, w świetle prac wykopaliskowych przeprowadzonych w latach 1984–1987. *Światowit Supplement Series B: Barbaricum* 2: 39–52.
- Waluś A. i B. Kowalewska
1999. *Kurhan I i II z cmentarzyska w Stolnie, gm. Miłakowo, woj. warmińsko-mazurskie*. (= Światowit Supplement Series P: Prehistory and Middle Ages 1). Warszawa: Uniwersytet Warszawski.
- Wiewióra, M.
2016. Gród i zamek w państwie krzyżackim – miejsce tradycji czy tradycja miejsca? *Archaeologia Historica Polona* 24: 195–231.
DOI: 10.12775/AHP.2016.010
- Woelky, C.P. i J.M. Saage
1860. *Codex diplomaticus Warmiensis oder Regesten und Urkunden zur Geschichte Ermlandes. Bd. 1: Urkunden der Jahre 1231–1340*. Mainz: Verlag von Franz Kirchheim.
- Woelky, C.P.
1874. *Codex diplomaticus Warmiensis oder Regesten und Urkunden zur Geschichte*
- te Ermlands. Bd. 3, Urkunden der Jahre 1376–1424 nebst Nachträgen*. Braunschweig-Leipzig: Eduard Peter.
- Wołagiewicz, R.
1993. *Ceramika kultury wielbarskiej między Bałtykiem a Morzem Czarnym*. Szczecin: Muzeum Narodowe.
- Woźniakowski, A.
2017. *Trójgat Lidzbarski odcinek 1 Frombork – Płoskiński Młyn. Mapa turystyczna fortyfikacji na terenie Nadleśnictwa Zaporowo*. Wejherowo: Casamata.
- Wólkowski, W.
2017. Początki zamków warmińskich – problem pierwotnych układów funkcjonalno-przestrzennych zamków dominium warmińskiego do połowy XIV w., [w:] A. Bocheńska i P. Mrozowski (red.), *Początki murewanych zamków w Polsce do połowy XIV w.*: 105–118. Warszawa: Arx Regia – Ośrodek Wydawniczy Zamku Królewskiego w Warszawie.
- Wyrobisz, A.
1968. *Szkło w Polsce od XIV do XVII wieku*. Wrocław-Warszawa-Kraków: Zakład Narodowy im. Ossolińskich, Wydawnictwo Polskiej Akademii Nauk.
- Wyszomirski, S. (tłum.).
2011. *Piotr z Dusburga. Kronika ziemi pruskiej*. Toruń: Wydawnictwo Naukowe Uniwersytetu Mikołaja Kopernika.
- Voigt, J.
1830. *Geschichte Preussens : von den aeltesten Zeiten bis zum Untergange der Herrschaft des deutschen Ordens*. Tom 4 (= Die Zeit von der Unterwerfung der Preussen 1283 bis zu Dieterichs von Altenburg Tod 1341). Königsberg: Verlage der Gebrüder Bornträger.
- Żórawska, A.
2000. Osada ludności kultury kurhanów zachodniobałtyjskich w Piórkowie, woj. warmińsko-mazurskie. *Światowit* 2(43)/Fasc. B: 286–290.
2001. Bursztyn w kulturze kurhanów zachodniobałtyjskich. *Światowit* 3(44)/Fasc. B: 213–231.
- Żurowski, T.
1951. Fajki gliniane: z badań archeologicznych. *Ochrona Zabytków* 4/1–2(12–13): 39–57.

